

การเลือกชุดพารามิเตอร์สำหรับระเบียบขั้นตอนวิธีเชิงพันธุกรรม  
ในการคำนวณย้อนกลับหาค่าโมดูลัสชั้นทางแอสฟัลต์คอนกรีต

SELECTION OF GENETIC ALGORITHM PARAMETERS FOR  
BACKCALCULATION OF LAYER MODULI OF  
ASPHALT CONCRETE PAVEMENT

จักรพงษ์ นามหาไชย

วิทยานิพนธ์นี้เป็นส่วนหนึ่งของการศึกษาตามหลักสูตร  
ปริญญาวิศวกรรมศาสตรมหาบัณฑิต สาขาวิชาวิศวกรรมโยธา

คณะวิศวกรรมศาสตร์

มหาวิทยาลัยเทคโนโลยีราชมงคลธัญบุรี

ปีการศึกษา 2556

ลิขสิทธิ์ของมหาวิทยาลัยเทคโนโลยีราชมงคลธัญบุรี

การเลือกชุดพารามิเตอร์สำหรับเปรียบเทียบขั้นตอนวิธีเชิงพันธุกรรม  
ในการคำนวณย้อนกลับหาค่าโมดูลัสชั้นทางแอสฟัลต์คอนกรีต

จักรพงษ์ นามหาไชย

วิทยานิพนธ์นี้เป็นส่วนหนึ่งของการศึกษาตามหลักสูตร  
ปริญญาวิศวกรรมศาสตรมหาบัณฑิต สาขาวิชาวิศวกรรมโยธา  
คณะวิศวกรรมศาสตร์  
มหาวิทยาลัยเทคโนโลยีราชมงคลธัญบุรี  
ปีการศึกษา 2556  
ลิขสิทธิ์ของมหาวิทยาลัยเทคโนโลยีราชมงคลธัญบุรี

หัวข้อวิทยานิพนธ์

การเลือกชุดพารามิเตอร์สำหรับระเบียบขั้นตอนวิธีเชิงพันธุกรรม  
ในการคำนวณย้อนกลับหาค่าโมดูลัสชั้นทางแอสฟัลต์คอนกรีต  
Selection of Genetic Algorithm Parameters for Backcalculation  
of Layer Moduli of Asphalt Concrete Pavement

ชื่อ - นามสกุล

นายจักรพงษ์ นามหาไชย

สาขาวิชา

วิศวกรรมโยธา

อาจารย์ที่ปรึกษา

อาจารย์พุทธพล ทองอินทร์ดำ, Dr.-Ing.

ปีการศึกษา

2556

คณะกรรมการสอบวิทยานิพนธ์

..... ประธานกรรมการ  
(ผู้ช่วยศาสตราจารย์ปิติสานต์ กร้ามาตร, ปร.ด.)

..... กรรมการ  
(ผู้ช่วยศาสตราจารย์ชัยณรงค์ อธิสกุล, ปร.ด.)

..... กรรมการ  
(อาจารย์บุญชัย ผึ้งไผ่งาม, ปร.ด.)

..... กรรมการ  
(อาจารย์พุทธพล ทองอินทร์ดำ, Dr.-Ing.)

คณะวิศวกรรมศาสตร์ มหาวิทยาลัยเทคโนโลยีราชมงคลธัญบุรี อนุมัติวิทยานิพนธ์ฉบับนี้  
เป็นส่วนหนึ่งของการศึกษาตามหลักสูตรปริญญาโทฉบับนี้

..... คณบดีคณะวิศวกรรมศาสตร์  
(ผู้ช่วยศาสตราจารย์ศิวกร อ่างทอง, Ph.D.)

วันที่ 18 เดือน มิถุนายน พ.ศ. 2557

|                   |   |
|-------------------|---|
| หัวข้อวิทยานิพนธ์ | การเลือกชุดพารามิเตอร์สำหรับระเบียบขั้นตอนวิธีเชิงพันธุกรรม<br>ในการคำนวณย้อนกลับหาค่าโมดูลัสชั้นทางแอสฟัลต์คอนกรีต |
| ชื่อ - นามสกุล    | นายจักรพงษ์ นามหาไชย  |
| สาขาวิชา          | วิศวกรรมโยธา  |
| อาจารย์ที่ปรึกษา  | อาจารย์พุทธพล ทองอินทร์คำ, Dr.-Ing.   |
| ปีการศึกษา        | 2556  |

### บทคัดย่อ

ในปัจจุบันการประเมินกำลังรับน้ำหนักของโครงสร้างทาง ด้วยวิธีการคำนวณย้อนกลับ จากค่าการยุบตัวของผิวทาง มักพบกับปัญหาจุดต่ำสุดเฉพาะที่ของพื้นผิวคำตอบ ในช่วงหลายปีที่ผ่านมา ระเบียบขั้นตอนวิธีเชิงพันธุกรรมถูกนำมาประยุกต์ใช้ในการแก้ปัญหานี้ได้เป็นอย่างดี ความสำเร็จ ในขณะที่การใช้เทคนิคแบบใหม่ของระเบียบขั้นตอนวิธีเชิงพันธุกรรมซึ่งเป็นส่วนสำคัญ ในการช่วยเพิ่มประสิทธิภาพของการค้นหาคำตอบกลับก่อให้เกิดการเพิ่มของตัวแปรที่มากขึ้น

ดังนั้นงานวิจัยนี้จึงมุ่งเน้นที่จะศึกษาการคัดเลือกชุดพารามิเตอร์ที่เหมาะสมในการคำนวณย้อนกลับเพื่อหาค่าโมดูลัสชั้นทางแอสฟัลต์คอนกรีต โดยในการศึกษาได้มีการกำหนดและสุ่มชุดตัวอย่างของชุดพารามิเตอร์นี้ด้วยหลักการทางสถิติ และทำการวิเคราะห์เพื่อประเมินความเหมาะสม ทั้งจากแบบจำลองโครงสร้างทางที่สมมุติขึ้นและจากข้อมูลการทดสอบจริงในสนาม โดยใช้ระดับความถูกต้องของผลคำตอบที่ต้องการและภาระการคำนวณของคอมพิวเตอร์ เป็นเกณฑ์ตัดสินเพื่อคัดเลือกชุดพารามิเตอร์

ผลการศึกษาพบว่าชุดพารามิเตอร์ที่เลือกให้ค่าความคลาดเคลื่อนของผลคำตอบส่วนใหญ่ น้อยกว่าร้อยละ 3 ซึ่งอยู่ในเกณฑ์ที่ยอมรับได้ โดยชุดพารามิเตอร์ที่เหมาะสมคือ มีจำนวนรุ่นสูงสุด 100 รุ่น ขนาดประชากรเท่ากับ 40 ใช้อัตราการผสมข้ามแบบสม่ำเสมอ การกลายพันธุ์แบบกระโดดและ การกลายพันธุ์แบบสืบ เท่ากับ 0.77, 0.016 และ 0.140 ตามลำดับ รวมถึงมีการเปิดใช้การคัดเลือกผู้นำ และวิธีกลุ่มเฉพาะ

**คำสำคัญ:** ระเบียบขั้นตอนวิธีเชิงพันธุกรรม การคำนวณย้อนกลับ ค่าโมดูลัสชั้นทาง

|                       |  |
|-----------------------|--|
| <b>Thesis Title</b>   | Selection of Genetic Algorithm Parameters for Backcalculation of Layer Moduli of Asphalt Concrete Pavement |
| <b>Name - Surname</b> | Mr. Chakrapong Nammahachai   |
| <b>Program</b>        | Civil Engineering  |
| <b>Thesis Advisor</b> | Mr. Puttapon Thongindam, Dr.-Ing.  |
| <b>Academic Year</b>  | 2013   |

## ABSTRACT

Recently, backcalculation from pavement surface deflections has been used to evaluate layer moduli of asphalt concrete road structure. It was found that the local minima occur from the process mentioned. Genetic algorithms (GAs) have been used successfully in the past for backcalculation program by showing the capability to overcome the local minima problem. While the introduction of new GA techniques are of importance for improvement of solution accuracy, this makes selection of GA parameters more complicate.

Hence, this research focuses on the selection of optimal GA parameters to be adopted for backcalculation of layer moduli of asphalt concrete pavement. A number of parameter sets have been randomly generated using statistical method. The generated parameter sets have been evaluated by the level of accuracy desired and the corresponding computational effort. The selected parameters have been evaluated using some hypothetical and field problems.

The results show that the optimal GA parameter set could, in most of the cases, decrease the root mean square error to less than 3% which is considered as acceptable. The optimal GA parameter set found in this study are as follow: number of generations: 100, number of population: 40, uniform crossover probability: 0.77, jump mutation probability: 0.016, creep mutation probability: 0.140 with elitism and niching.

**Keywords:** genetic algorithms, backcalculation, pavement layer moduli

## กิตติกรรมประกาศ

วิทยานิพนธ์ฉบับนี้สำเร็จลุล่วงไปได้ด้วยความช่วยเหลือเป็นอย่างดีของ ดร.พุทธพล ทองอินทร์คำ อาจารย์ที่ปรึกษาวิทยานิพนธ์ ผู้ช่วยศาสตราจารย์ ดร.ปิติสานต์ กร้ามาตร ดร.บุญชัย ผึ้งไผ่งาม กรรมการสอบ และผู้ช่วยศาสตราจารย์ ดร.ชัชณรงค์ อธิสกุล ผู้ทรงคุณวุฒิ ที่กรุณาให้คำแนะนำและให้คำปรึกษาตลอดจนให้ความช่วยเหลือแก้ไขข้อบกพร่องต่าง ๆ เพื่อให้วิทยานิพนธ์ฉบับนี้มีความสมบูรณ์ ผู้วิจัยขอกราบขอบพระคุณเป็นอย่างสูงไว้ ณ โอกาสนี้

ขอขอบพระคุณคณาจารย์ทุกท่านที่ได้ประสิทธิ์ประสาทวิชา บ่มเพาะจนผู้วิจัยสามารถนำเอาหลักการมาประยุกต์ใช้และอ้างอิงในงานวิจัยชิ้นตอนนี้

ขอขอบคุณบุคลากร สำนักงานบัณฑิตศึกษา คณะวิศวกรรมศาสตร์ มหาวิทยาลัยเทคโนโลยีราชมงคลธัญบุรี ทุกคนที่เป็นกำลังใจ และให้ความช่วยเหลือแนะนำตลอดจนให้คำปรึกษาตลอดช่วงเวลาของการศึกษาและการทำวิจัย

ขอขอบพระคุณ กรมการบินพลเรือน (Department of Civil Aviation) ที่เอื้อเฟื้อข้อมูลการทดสอบของท่าอากาศยานเพชรบูรณ์ ด้วยเครื่องทดสอบการยุบตัวด้วยลูกตุ้มกระแทก (Falling Weight Deflectometer, FWD) และศูนย์วิจัยเทคโนโลยีผิวทางถนนและท่าอากาศยาน (RAPTR) ภาควิชาวิศวกรรมโยธา คณะวิศวกรรมศาสตร์ มหาวิทยาลัยเทคโนโลยีราชมงคลธัญบุรี ที่เอื้อเฟื้อเอื้อเฟื้อเครื่องมือและซอฟต์แวร์โปรแกรมคอมพิวเตอร์ตลอดจนสถานที่ในการศึกษาวิจัยในครั้งนี้

ขอขอบพระคุณ และมอบความดีทั้งหมดนี้ให้แก่ คุณพ่อ คุณแม่ พี่น้อง เพื่อนที่แสนดีและคณะครู-อาจารย์ ที่ให้การสนับสนุนและเป็นกำลังใจให้ จนสามารถดำเนินการวิจัยและจัดทำวิทยานิพนธ์ฉบับนี้ได้เสร็จสมบูรณ์

สุดท้ายนี้ ผู้วิจัยหวังเป็นอย่างยิ่งว่างานวิจัยฉบับนี้จะเป็นประโยชน์สำหรับผู้ที่สนใจ หากวิจัยฉบับนี้ขาดตกบกพร่อง หรือไม่สมบูรณ์ประการใด ผู้วิจัยขอกราบขออภัยมา ณ โอกาสนี้ด้วย

จักรพงษ์ นามหาไชย

## สารบัญ

|   | หน้า |
|---|------|
| บทคัดย่อภาษาไทย.....  | (3)  |
| บทคัดย่อภาษาอังกฤษ.....   | (4)  |
| กิตติกรรมประกาศ.....  | (5)  |
| สารบัญ.....   | (6)  |
| สารบัญตาราง.....  | (8)  |
| สารบัญรูป.....  | (9)  |
| คำอธิบายสัญลักษณ์และคำย่อ.....  | (11) |
| บทที่ 1 บทนำ.....   | 12   |
| 1.1 ความเป็นมาและความสำคัญของปัญหา.....   | 12   |
| 1.2 วัตถุประสงค์.....   | 16   |
| 1.3 ขอบเขต.....   | 16   |
| 1.4 ขั้นตอนการวิจัย.....  | 16   |
| 1.5 ประโยชน์ที่คาดว่าจะได้รับ.....  | 17   |
| บทที่ 2 ทฤษฎีและงานวิจัยที่เกี่ยวข้อง.....  | 18   |
| 2.1 ลักษณะทางกายภาพและการประเมินความแข็งแรงของผิวทางแอสฟัลต์คอนกรีตใน<br>ประเทศไทย..... | 18   |
| 2.2 การคำนวณย้อนกลับหาค่าโมดูลัสชั้นทาง.....  | 20   |
| 2.3 ระเบียบขั้นตอนวิธีเชิงพันธุกรรม (Genetic Algorithm, GA).....                        | 28   |
| 2.4 ระเบียบขั้นตอนวิธีเชิงพันธุกรรมในการคำนวณย้อนกลับ.....                              | 29   |
| 2.5 โปรแกรมคำนวณย้อนกลับเกมเล็ต (GAMLET).....   | 30   |
| 2.6 การกำหนดค่าพารามิเตอร์.....   | 32   |
| 2.7 ทฤษฎีการสุ่มตัวอย่าง.....   | 35   |
| 2.8 การวิเคราะห์เพื่อเลือกชุดพารามิเตอร์.....   | 36   |
| 2.9 การทดสอบหาค่าการยุบตัวด้วยเครื่องมือ FWD ในสนาม.....                                | 37   |
| บทที่ 3 วิธีการดำเนินการวิจัย.....  | 42   |
| 3.1 เครื่องมือที่ใช้ในงานวิจัย.....   | 43   |

## สารบัญ (ต่อ)

|  | หน้า |
|--|------|
| 3.2 วิธีการดำเนินงาน .....   | 44   |
| 3.3 การทดสอบ FWD บริเวณทางวิ่งของท่าอากาศยานเพชรบูรณ์ .....  | 48   |
| บทที่ 4 ผลการวิจัยและการวิเคราะห์ .....  | 53   |
| 4.1 การวิเคราะห์เพื่อเลือกชุดพารามิเตอร์ .....   | 53   |
| 4.2 ภาระการคำนวณของโปรแกรมแก้มัลติทียกับ โปรแกรมอื่นที่ใช้ขั้นตอนวิธีเชิง<br>พันธุกรรม.....              | 62   |
| 4.3 ประสิทธิภาพของโปรแกรมแก้มัลติทียในการคำนวณข้อมูลจริงในสนามเทียบกับ<br>โปรแกรมเชิงพาณิชย์.....        | 62   |
| บทที่ 5 สรุปผลการวิจัยและข้อเสนอแนะ .....  | 64   |
| 5.1 สรุปผลการวิจัย .....   | 64   |
| 5.2 ข้อเสนอแนะ .....   | 65   |
| รายการอ้างอิง.....   | 66   |
| ภาคผนวก.....   | 71   |
| ภาคผนวก ก ผลการคำนวณหาค่าการยุบตัวจากแบบจำลอง โครงสร้างทาง โดยใช้โปรแกรม<br>BISAR 3.0.....               | 72   |
| ภาคผนวก ข รายละเอียดของค่าพารามิเตอร์ที่ได้จากการสุ่ม .....  | 84   |
| ภาคผนวก ค ผลการคำนวณย้อนกลับจากข้อมูลผลการทดสอบด้วยเครื่อง FWD บริเวณ<br>ทางวิ่งของสนามบินเพชรบูรณ์..... | 170  |
| ภาคผนวก ง ผลงานตีพิมพ์เผยแพร่ .....  | 172  |
| ประวัติผู้เขียน .....  | 192  |



## สารบัญตาราง

|   | หน้า |
|---|------|
| ตารางที่ 2.1 ค่าอัตราส่วนปัวซงของ ( $\mu$ ) โดยทั่วไปของวัสดุชั้นทางที่แนะนำโดย AASHTO.....                       | 25   |
| ตารางที่ 2.2 ค่าโมดูลัสยืดหยุ่น ( $E$ ) โดยทั่วไปของวัสดุชั้นทางที่แนะนำโดย AASHTO .....                          | 26   |
| ตารางที่ 2.3 ลักษณะโครงสร้างชั้นทางที่ Reddy และคณะสมมติขึ้น.....   | 34   |
| ตารางที่ 2.4 สรุปลักษณะค่าพารามิเตอร์ที่ใช้ในการคำนวณย้อนกลับหาค่าโมดูลัสชั้นทาง.....                             | 34   |
| ตารางที่ 2.5 ตัวอย่างตำแหน่งการวางตัวของอุปกรณ์วัดค่าการยุบตัวที่ใช้ในแต่ละหน่วยงาน .....                         | 39   |
| ตารางที่ 2.6 รายละเอียดทางเทคนิคของเครื่องมือ FWD แต่ละรุ่น.....  | 41   |
| ตารางที่ 3.1 วิธีการเลือกช่วงของค่าพารามิเตอร์สำหรับการคำนวณย้อนกลับด้วยโปรแกรม<br>แกมเลียท .....                 | 46   |
| ตารางที่ 3.2 ตำแหน่งและระยะห่างของจุดทดสอบที่ใช้ทั่วไปสำหรับทางวิ่งและทางขับ.....                                 | 49   |
| ตารางที่ 4.1 รายละเอียดของค่าพารามิเตอร์ที่มีค่าความเหมาะสมมากที่สุด 10 อันแรก .....                              | 58   |
| ตารางที่ 4.2 ตัวอย่างบางส่วนของค่าโมดูลัสชั้นทางที่ได้จากการคำนวณย้อนกลับ .....                                   | 59   |
| ตารางที่ 4.3 รายละเอียดของชุดพารามิเตอร์ที่ความคลาดเคลื่อนต่ำสุดและชุดพารามิเตอร์ที่มี<br>ประสิทธิภาพสูงสุด ..... | 61   |

## สารบัญรูป

|  | หน้า |
|--|------|
| รูปที่ 1.1 สาเหตุความเสียหายของผิวทางที่เกิดจากรถบรรทุก.....   | 13   |
| รูปที่ 1.2 การตรวจสอบเพื่อประเมินความเสียหายของถนน .....   | 13   |
| รูปที่ 2.1 รูปแบบทั่วไปของโครงสร้างชั้นทางแอสฟัลต์คอนกรีต.....   | 18   |
| รูปที่ 2.2 ตำแหน่งตัวแปรทางกลศาสตร์ที่ใช้วิเคราะห์โครงสร้างชั้นทางแอสฟัลต์คอนกรีต .....  | 20   |
| รูปที่ 2.3 หน่วยแรงและค่าการยุบตัวที่เกิดจากน้ำหนักบรรทุกกระทำแบบวงกลมของ Boussinesq ..  | 21   |
| รูปที่ 2.4 หลักการของทฤษฎีความหนาเทียบเท่า (MET) .....   | 22   |
| รูปที่ 2.5 หลักการของทฤษฎียืดหยุ่นหลายชั้นทาง (MLET) .....   | 23   |
| รูปที่ 2.6 ตัวอย่างพื้นผิวคำตอบของระบบชั้นทาง 2 ชั้น ที่ใช้ค่า <i>RMSE</i> เป็นดัชนีชี้วัดคำตอบ .....  | 27   |
| รูปที่ 2.7 ลักษณะการทำงานของเครื่องมือ FWD [42] .....  | 38   |
| รูปที่ 3.1 เครื่องมือทดสอบการยุบตัวด้วยลูกตุ้มกระแทก รุ่น Dynatest Model 8000 .....  | 43   |
| รูปที่ 3.2 เครื่องมือ Ground Penetrating Radar (GPR) .....   | 44   |
| รูปที่ 3.3 แบบจำลองโครงสร้างโครงสร้างชั้นทางที่ใช้ในการพิจารณา .....   | 45   |
| รูปที่ 3.4 ผังบริเวณของพื้นที่ทดสอบ FWD บริเวณทางวิ่งของท่าอากาศยานเพชรบูรณ์.....  | 48   |
| รูปที่ 3.5 แนวการทดสอบ FWD บริเวณทางวิ่งของท่าอากาศยานเพชรบูรณ์ .....  | 50   |
| รูปที่ 3.6 การทดสอบ FWD บริเวณทางวิ่งของท่าอากาศยานเพชรบูรณ์ .....   | 51   |
| รูปที่ 4.1 ความสัมพันธ์ระหว่างค่าความเหมาะสมและจำนวนรุ่นสูงสุด .....   | 54   |
| รูปที่ 4.2 ความสัมพันธ์ระหว่างค่าความเหมาะสมและจำนวนประชากร .....  | 55   |
| รูปที่ 4.3 ความสัมพันธ์ระหว่างค่าความเหมาะสมและค่าอัตราการผสมข้าม .....  | 55   |
| รูปที่ 4.4 ความสัมพันธ์ระหว่างค่าความเหมาะสมและค่าอัตราการกลายพันธุ์แบบกระโดด.....   | 56   |
| รูปที่ 4.5 ความสัมพันธ์ระหว่างค่าความเหมาะสมและค่าอัตราการกลายพันธุ์แบบสืบ .....   | 56   |
| รูปที่ 4.6 ค่าความเหมาะสมที่ได้จากการตั้งค่าชุดพารามิเตอร์ที่ต่างกัน .....   | 57   |
| รูปที่ 4.7 ความสัมพันธ์ระหว่างค่าความเหมาะสมและค่า <i>CE</i> .....   | 58   |
| รูปที่ 4.8 ความสัมพันธ์ระหว่างค่าความคลาดเคลื่อนของค่าโมดูลัสชั้นทางและค่า <i>RMSE</i> กับ<br>ค่า <i>CE</i> ของพารามิเตอร์ทั้ง 77 ชุด .....                              | 60   |
| รูปที่ 4.9 ความสัมพันธ์ระหว่างค่าความคลาดเคลื่อนของค่าโมดูลัสชั้นทางและค่า <i>RMSE</i> กับ<br>ค่า <i>CE</i> หลังจากคัดเลือกเพื่อสังเกตแนวโน้มของค่าความคลาดเคลื่อน ..... | 61   |

## สารบัญรูป (ต่อ)

หน้า

|  |    |
|--|----|
| รูปที่ 4.10 ค่า $CE$ ของโปรแกรมแก้มเล็ทเทียบกับโปรแกรมอื่นที่ใช้ขั้นตอนวิธีเชิงพันธุกรรม.....                                | 62 |
| รูปที่ 4.11 ค่า $RMSE$ ที่ได้จากการคำนวณย้อนกลับของข้อมูลผลการทดสอบด้วยเครื่อง FWD<br>บริเวณทางวิ่งของสนามบินเพชรบูรณ์ ..... | 63 |



## คำอธิบายสัญลักษณ์และคำย่อ

|                 |  |
|-----------------|--|
| $\mu_i$         | ค่าอัตราส่วนบิวซ์ของของวัสดุชั้นทางที่ $i$                   |
| $CE$            | Computational Effort (ภาระการประมวลผลของคอมพิวเตอร์)         |
| $d_i$           | ค่าการยุบตัวของผิวทางที่ที่วัดได้จริงที่อุปกรณ์วัดค่าที่ $i$ |
| $D_i$           | ค่าการยุบตัวของผิวทางที่คำนวณได้ที่อุปกรณ์วัดค่าที่ $i$      |
| $E_i$           | ค่าโมดูลัสยืดหยุ่นของชั้นทางที่ $i$                          |
| $H_i$           | ความหนาของวัสดุชั้นทางที่ $i$                                |
| <i>ibstmold</i> | การปิด-เปิด การคัดเลือกผู้นำ                                 |
| <i>icreep</i>   | การปิด-เปิด การกลายพันธุ์แบบสืบ                              |
| <i>iunifirm</i> | การปิด-เปิด การผสมข้ามแบบสม่ำเสมอ                            |
| <i>maxgen</i>   | จำนวนรุ่นสูงสุด  |
| $N$             | จำนวนอุปกรณ์วัดค่าการยุบตัว                                  |
| <i>niching</i>  | การปิด-เปิด วิธีกลุ่มเฉพาะ                                   |
| <i>numpop</i>   | ขนาดของประชากร   |
| <i>pcreepmu</i> | อัตราความเป็นไปได้ของการกลายพันธุ์แบบสืบ                     |
| <i>pcross</i>   | อัตราความเป็นไปได้ของการผสมข้ามแบบจุดเดียว                   |
| <i>pjumpmu</i>  | อัตราความเป็นไปได้ของการกลายพันธุ์แบบกระโดด                  |
| $RMSE$          | ค่าคลาดเคลื่อนกำลังสองน้อยสุด                                |
| FWD             | เครื่องทดสอบการยุบตัวด้วยลูกตุ้มกระแทก                       |
| GA              | ขั้นตอนวิธีเชิงพันธุกรรม                                     |
| GAMLET          | โปรแกรมคำนวณย้อนกลับหาค่าโมดูลัสชั้นทางแกมเล็ต               |
| MLET            | ทฤษฎียืดหยุ่นหลายชั้นทาง                                     |
| NDT             | การทดสอบแบบไม่ทำลาย  |
| SGA             | ขั้นตอนวิธีเชิงพันธุกรรมอย่างง่าย                            |

# บทที่ 1

## บทนำ

### 1.1 ความเป็นมาและความสำคัญของปัญหา

เนื่องจากในสภาวะปัจจุบันประเทศไทยมีการขยายตัวทางเศรษฐกิจเพิ่มขึ้นทำให้มีการคมนาคมขนส่งทางบกเพิ่มมากขึ้นตามไปด้วย จากรายงานประจำปี 2555 ของกรมทางหลวงพบว่า เฉพาะกรมทางหลวงเพียงหน่วยงานเดียวมีสายทางที่อยู่ในความรับผิดชอบถึง 67,793 กิโลเมตรต่อสองช่องจราจร ในจำนวนนี้เป็นสายทางที่จำเป็นต้องมีการบำรุงรักษาอยู่ถึง 66,871 กิโลเมตรต่อสองช่องจราจร หรือคิดเป็นร้อยละ 98.64 ของสายทางที่อยู่ในความรับผิดชอบ เพื่อให้ตอบโจทย์แผนยุทธศาสตร์กรมทางหลวง พ.ศ. 2555-2559 ซึ่งจากระยะทางดังกล่าวส่งผลให้ต้องสูญเสียงบประมาณในการซ่อมบำรุงถึง 23,586.60 ล้านบาท คิดเป็นร้อยละ 46.78 ของงบประมาณกรมทางหลวง หรือคิดเป็นร้อยละ 0.99 ของงบประมาณประเทศ 2.38 ล้านล้านบาท) [1] โดยความเสียหายดังกล่าวมีสาเหตุมาจากสภาพการใช้งาน ปริมาณการจราจร สภาพแวดล้อม ลักษณะภูมิประเทศและภูมิอากาศ ยกตัวอย่างความเสียหายที่เกิดจากสภาพแวดล้อม เช่น การเกิดภัยพิบัติทางธรรมชาติ รวมไปถึงการเกิดการยุบตัวและการสไลด์ของดินคันทาง เป็นต้น [2] ส่วนด้านการใช้งานนั้นเป็นที่ทราบกันดีอยู่แล้วว่าเกิดจากปริมาณการจราจร และน้ำหนักของรถบรรทุกเป็นหลัก ดังแสดงในรูปที่ 1.1 จากสถิติการจดทะเบียนรถตามกฎหมายว่าด้วยการขนส่งทางบกสะสม ณ วันที่ 30 มิถุนายน 2556 พบว่ามีรถบรรทุกจำนวน 927,441 คัน เป็นรถบรรทุกส่วนบุคคลจำนวน 713,713 คัน และรถบรรทุกไม่ประจำทางจำนวน 213,728 คัน ในจำนวนนี้รถบรรทุกส่วนหนึ่งทำการบรรทุกสิ่งของที่มีน้ำหนักเกินกว่าที่กฎหมายกำหนด [3]

จากสาเหตุดังกล่าวจึงก่อให้เกิดความเสียหายกับโครงสร้างชั้นทางและหากพิจารณาความเสียหายที่เกิดขึ้นนั้นสามารถแบ่งออกเป็นสองส่วนคือ ความเสียหายด้านการใช้งาน (Functional Failure) ได้แก่ การเกิดร่องล้อ ความขรุขระของผิวทางและการสูญเสียการยึดเกาะของผิวทาง เป็นต้น อีกส่วนหนึ่งคือ ความเสียหายด้านโครงสร้าง (Structural Failure) [4] เช่น การยุบตัวของถนน การเกิดรอยแตกต่างๆ และหลุมบ่อ เป็นต้น [5]



รูปที่ 1.1 สาเหตุความเสียหายของผิวทางที่เกิดจากรถบรรทุก [5]

ด้วยเหตุนี้จึงจำเป็นต้องมีการทดสอบและวิเคราะห์เพื่อให้ทราบความเสียหายของโครงสร้างทาง เช่นในรูปที่ 1.2 เป็นการตรวจสอบเพื่อประเมินความเสียหายของถนน โดยการตรวจสอบร่องล้อ เป็นต้น พร้อมหาอายุการใช้งานที่เหลืออยู่และทำการบำรุงรักษาให้สามารถใช้งานได้ตามอายุที่ออกแบบไว้ต่อไป

ในการประเมินความเสียหาย หากเป็นทางด้านการใช้งานก็จะสามารถสังเกตได้ง่าย เช่น การสังเกตด้วยตาเปล่า แต่หากเป็นการประเมินด้านโครงสร้างนั้น จำเป็นต้องมีการทดสอบ ซึ่งมีวิธีการที่ซับซ้อนยิ่งขึ้น



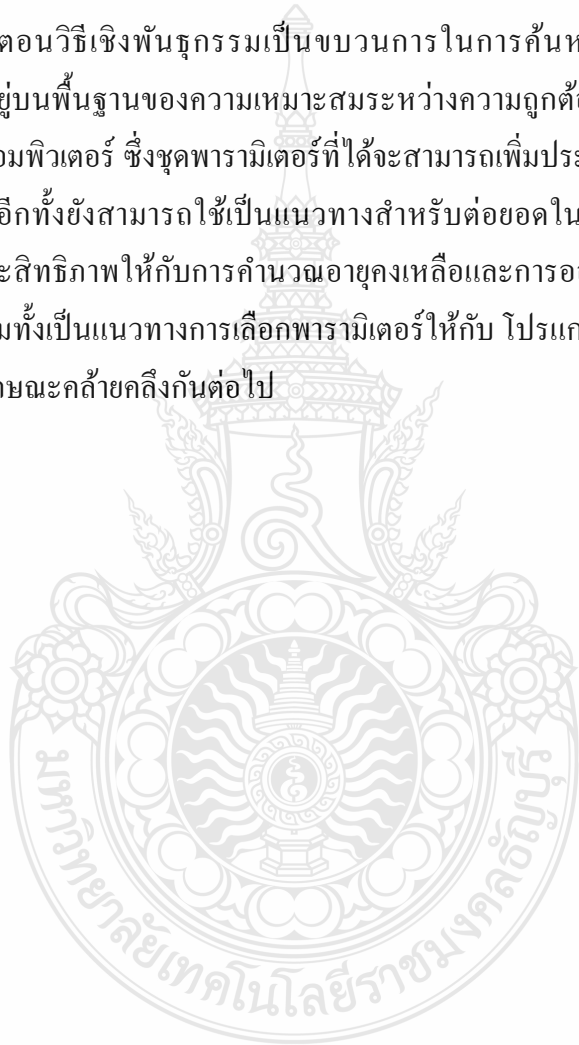
รูปที่ 1.2 การตรวจสอบเพื่อประเมินความเสียหายของถนน [6]

ในการประเมินกำลังรับน้ำหนักของโครงสร้างชั้นทางนั้น สามารถกระทำได้ทั้งการทดสอบแบบทำลาย (Destructive Test) และการทดสอบแบบไม่ทำลาย (Nondestructive Test, NDT)

ซึ่งการทดสอบแบบทำลายนั้น ได้แก่ การทดสอบด้วยวิธีเจาะเก็บก้อนตัวอย่าง (Coring) ส่วนการทดสอบแบบไม่ทำลาย ได้แก่ การทดสอบด้วยเครื่องมือเบนเคลแมนบีม (Benkelman Beam) [7] และทดสอบด้วยเครื่องมือทดสอบการยุบตัวด้วยลูกตุ้มกระแทก (Falling Weight Deflectometer, FWD) [8] เป็นต้น ซึ่งในปัจจุบันการทดสอบแบบไม่ทำลายกำลังเป็นที่นิยม โดยเฉพาะการทดสอบด้วย FWD จัดว่าเป็นวิธีการประเมินความแข็งแรงของโครงสร้างถนนและสนามบินที่ได้รับการยอมรับอย่างกว้างขวาง เนื่องจากเป็นวิธีการทดสอบที่ทำได้รวดเร็วและปลอดภัย อีกทั้งยังมีความน่าเชื่อถือสูง โดยหลักการการทำงานของเครื่องมือชนิดนี้คือวัดค่าการยุบตัว (Deflection) ของผิวทางที่ได้จากน้ำหนักกระทำแบบกระแทกที่เครื่องสามารถสร้างขึ้นเองได้ จากนั้นนำค่าการยุบตัวที่ได้มาทำการวิเคราะห์หาความแข็งแรง อันได้แก่ ค่าโมดูลัสยืดหยุ่นของวัสดุในแต่ละชั้น ซึ่งขั้นตอนในการคำนวณทั้งหมด เรียกว่าการคำนวณย้อนกลับ (Backcalculation) [8]

การคำนวณย้อนกลับเพื่อหาค่าโมดูลัสชั้นทางจำเป็นต้องมีโปรแกรมที่ใช้ในการคำนวณ ซึ่งสมรรถนะและประสิทธิภาพของแต่ละโปรแกรมขึ้นอยู่กับระเบียบวิธีชุดคำสั่งของโปรแกรมนั้นๆ [9] ซึ่งในปัจจุบันมีหลายเทคนิคที่แต่ละโปรแกรมเลือกใช้ในการคำนวณเช่น วิธีโครงข่ายประสาทเทียม (Artificial Neural Networks, ANN) [10] วิธีวิทยาการศึกษาสำนึก (Heuristics) [11] แต่สำหรับวิธีที่กำลังถูกนำมาประยุกต์ใช้อย่างประสบความสำเร็จและกำลังเป็นที่นิยมและแพร่หลายคือขั้นตอนวิธีเชิงพันธุกรรม (Genetic Algorithm, GA) [12] เนื่องจากเป็นวิธีที่ขจัดปัญหาของค่าคำตอบที่ได้ขัดแย้งกับความเป็นไปได้จากมุมมองทางวัสดุวิศวกรรม ซึ่งเป็นปัญหาของโปรแกรมส่วนใหญ่ที่ใช้การคำนวณย้อนกลับ โดยมีสาเหตุหลักมาจากความซับซ้อนและประกอบด้วยจุดต่ำสุดเฉพาะที่ (Local Minima) จำนวนมากของพื้นผิวคำตอบ แต่ข้อจำกัดของขั้นตอนวิธีเชิงพันธุกรรม คือ ระยะเวลาในการคำนวณที่นานขึ้น และปัญหาในการเลือกตัวแปรหรือค่าพารามิเตอร์ที่เหมาะสม โดยค่าพารามิเตอร์ที่สำคัญสำหรับขั้นตอนวิธีเชิงพันธุกรรมเช่น จำนวนประชากรตั้งต้น (Size Population) จำนวนรุ่นของประชากรสูงสุด (Maximum Generation) อัตราการผสมข้าม (Crossover Rate) อัตราการเปลี่ยนแปลงยีนส์ (Mutation Rate) เป็นต้น ซึ่งในปัจจุบันได้มีนักวิจัยหลายท่านได้ศึกษาเกี่ยวกับการเลือกชุดพารามิเตอร์ที่เหมาะสมในแต่ละโปรแกรม เพื่อเพิ่มประสิทธิภาพและลดระยะเวลาในการคำนวณลง [13] แต่ชุดพารามิเตอร์ดังกล่าวจะสามารถใช้ได้กับโปรแกรมนั้นๆ เท่านั้น และถ้าหากใช้เทคนิคแบบใหม่ของระเบียบขั้นตอนวิธีเชิงพันธุกรรมยิ่งทำให้จำนวนของค่าพารามิเตอร์เพิ่มขึ้น ส่งผลให้การคัดเลือกค่าพารามิเตอร์ที่เหมาะสมมีความยากมากยิ่งขึ้น และถ้ามีการกำหนดค่าพารามิเตอร์ที่ไม่เหมาะสมก็จะทำให้ประสิทธิภาพในการคำนวณของโปรแกรมนั้นๆ ต่ำลง ทำให้จะมีผลต่อเนื่องถึงประสิทธิภาพในการคำนวณอายุคงเหลือและการออกแบบเสริมความแข็งแรงของโครงสร้างทาง

ดังนั้น การศึกษาวิจัยนี้จึงมุ่งหวังคัดเลือกชุดพารามิเตอร์ที่เหมาะสมเพื่อใช้ในการกำหนดค่าให้กับ โปรแกรมเกมเล็ต (GAMLET) [12] จำนวน 9 พารามิเตอร์ ประกอบด้วย จำนวนรุ่นสูงสุด ขนาดประชากร อัตราการผสมข้าม การกลายพันธุ์แบบกระโดดและการกลายพันธุ์แบบคืบ การปิด-เปิดใช้งานการผสมข้ามแบบสม่ำเสมอ การคัดเลือกผู้นำและวิธีกลุ่มเฉพาะ ซึ่ง โปรแกรมเกมเล็ต เป็นโปรแกรมคำนวณย้อนกลับหาค่าโมดูลัสชั้นทางที่ถูกพัฒนาขึ้น โดยพุทธพล [12] และใช้ทฤษฎียึดหยุ่นของชั้นทางเป็นแบบจำลองของการคำนวณแบบเดินหน้าและประยุกต์ใช้เทคนิคแบบใหม่ของระเบียบขั้นตอนวิธีเชิงพันธุกรรมเป็นขบวนการในการค้นหาคำตอบ การคัดเลือกชุดพารามิเตอร์ดังกล่าวอยู่บนพื้นฐานของความเหมาะสมระหว่างความถูกต้องของคำตอบและการะในการประมวลผลของคอมพิวเตอร์ ซึ่งชุดพารามิเตอร์ที่ได้จะสามารถเพิ่มประสิทธิภาพและความแม่นยำในการค้นหาคำตอบ อีกทั้งยังสามารถใช้เป็นแนวทางสำหรับต่อขอคในการเลือกชุดพารามิเตอร์ที่เหมาะสม เพื่อเพิ่มประสิทธิภาพให้กับการคำนวณอายุคงเหลือและการออกแบบเสริมความแข็งแรงของโครงสร้างทางรวมทั้งเป็นแนวทางการเลือกพารามิเตอร์ให้กับ โปรแกรมอื่นที่ใช้ระเบียบขั้นตอนวิธีเชิงพันธุกรรมในลักษณะคล้ายคลึงกันต่อไป





## 1.2 วัตถุประสงค์

1.2.1 เพื่อศึกษาถึงชุดพารามิเตอร์ที่เหมาะสมสำหรับโปรแกรมเกมเล็ท ที่ใช้ขั้นตอนวิธีเชิงพันธุกรรมในการคำนวณย้อนกลับเพื่อหาค่าโมดูลัสชั้นทางแอสฟัลต์คอนกรีต

1.2.2 เพื่อศึกษาถึงประสิทธิภาพของโปรแกรมเกมเล็ท หลังจากผ่านการเลือกชุดพารามิเตอร์ที่เหมาะสม กับการใช้งานกับข้อมูลจริงในสนาม

1.2.3 เพื่อให้ทราบถึงแนวโน้มของค่าความเหมาะสมที่แปรผันตามค่าพารามิเตอร์แต่ละชนิด

## 1.3 ขอบเขต

1.3.1 ใช้โครงสร้างชั้นทางที่สอดคล้องกับถนนในประเทศไทย โดยเลือกใช้ผิวทางแบบยึดหยุ่นเป็นแบบจำลอง

1.3.2 ใช้ลักษณะของโครงสร้างชั้นทางแบบ 3 ชั้นทางในการวิเคราะห์

1.3.3 จำลองโครงสร้างชั้นทางเพื่อคำนวณค่าการยุบตัวของชั้นผิวทางจากการวิเคราะห์ด้วยโปรแกรม BISAR

1.3.4 คัดเลือกชุดพารามิเตอร์ที่เหมาะสมเพื่อใช้กับโปรแกรมเกมเล็ท ที่พัฒนาจากระเบียบขั้นตอนวิธีเชิงพันธุกรรมในการวิเคราะห์ความแข็งแรงของโครงสร้างทางจากการคำนวณย้อนกลับ

1.3.5 ใช้ฐานข้อมูลค่าการยุบตัวของชั้นผิวทาง ที่ได้จากการทดสอบในสนามด้วยเครื่องมือทดสอบแบบลูกตุ้มกระแทก (FWD)

## 1.4 ขั้นตอนการวิจัย

1.4.1 ศึกษารวบรวมทฤษฎีและงานวิจัยที่เกี่ยวข้อง

1.4.2 ศึกษาลักษณะโครงสร้างชั้นทางและน้ำหนักบรรทุกที่สอดคล้องกับที่ใช้ในประเทศไทย

1.4.3 สร้างแบบจำลองและวิเคราะห์ค่าการยุบตัว ด้วยโปรแกรม BISAR 3.0

1.4.4 ศึกษาและสร้างชุดพารามิเตอร์จากการสุ่มเพื่อใช้ในการวิเคราะห์ประสิทธิภาพในการคำนวณ

1.4.5 ทดสอบชุดพารามิเตอร์ที่สร้างขึ้นเพื่อประเมินประสิทธิภาพในการคำนวณ

1.4.6 วิเคราะห์ประสิทธิภาพในการคำนวณจากชุดพารามิเตอร์เพื่อให้มีความเหมาะสมระหว่างความถูกต้องของคำตอบและการคำนวณของคอมพิวเตอร์

1.4.7 ทดสอบชุดพารามิเตอร์ที่ได้รับการคัดเลือกกับแบบจำลองโครงสร้างชั้นทางที่สร้างขึ้นเพื่อประเมินประสิทธิภาพของชุดพารามิเตอร์

1.4.8 นำชุดพารามิเตอร์มาใช้งานกับข้อมูลการทดสอบจริงในสนาม

- 1.4.9 เปรียบเทียบประสิทธิภาพกับ โปรแกรมในเชิงพาณิชย์
- 1.4.10 สรุปผลข้อมูลและรวบรวมผลการศึกษา
- 1.4.11 จัดทำรูปเล่มวิทยานิพนธ์และตีพิมพ์เพื่อเผยแพร่ในการประชุมวิชาการ หรือวารสารวิชาการระดับชาติ

## 1.5 ประโยชน์ที่คาดว่าจะได้รับ

- 1.5.1 สามารถใช้ชุดพารามิเตอร์ดังกล่าว เพื่อการเพิ่มประสิทธิภาพการทำงานของ โปรแกรมเกมเล็ทให้สมบูรณ์แบบมากยิ่งขึ้น
- 1.5.2 ชุดพารามิเตอร์และ โปรแกรมดังกล่าวสามารถนำมาประเมินสภาพชั้นทางได้อย่างถูกต้องแม่นยำ ทำให้การซ่อมบำรุงรักษาทางให้มีความแข็งแรง ปลอดภัย เป็นไปอย่างถูกวิธี ส่งผลให้สามารถใช้งานประมาณในการซ่อมบำรุงทางอย่างเกิดประสิทธิภาพ
- 1.5.3 ทราบถึงผลกระทบจากค่าพารามิเตอร์ที่มีผลต่อการคำนวณย้อนกลับ
- 1.5.4 ทราบถึงประสิทธิภาพของ โปรแกรมเกมเล็ทภายใต้การตั้งค่าด้วยพารามิเตอร์ที่เหมาะสมเมื่อเทียบกับ โปรแกรมอื่นในเชิงพาณิชย์
- 1.5.5 เพื่อเป็นแนวทางสำหรับต่อขอคิดในการเลือกชุดพารามิเตอร์ที่เหมาะสม เพื่อเพิ่มประสิทธิภาพให้กับ โปรแกรมอื่นที่ใช้ระเบียบขั้นตอนวิธีเชิงพันธุกรรมเช่นกัน
- 1.5.6 ได้พัฒนาและต่อขอคิดทรัพยากรที่มีอยู่ เพื่อประยุกต์ใช้กับงานวิจัยได้อย่างมีประสิทธิภาพ

## บทที่ 2

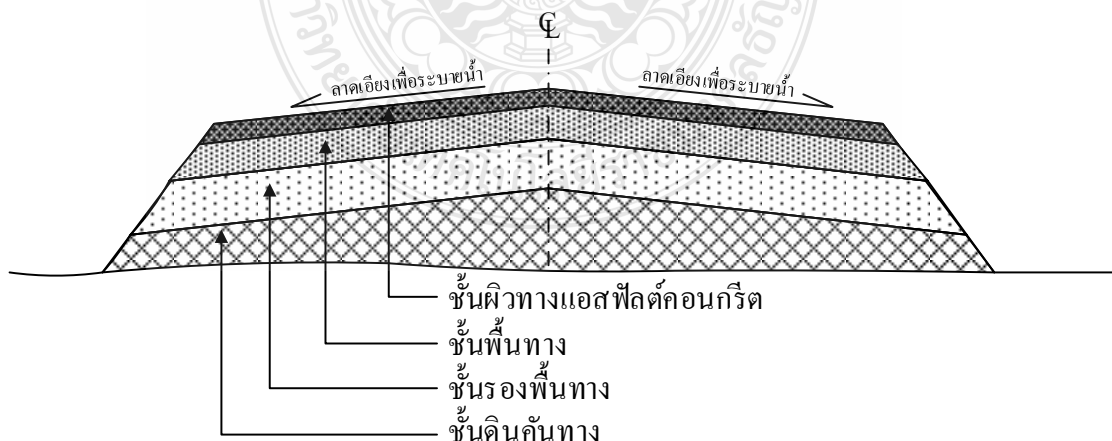
### ทฤษฎีและงานวิจัยที่เกี่ยวข้อง

งานวิจัยนี้มีวัตถุประสงค์หลักในการเลือกชุดพารามิเตอร์ที่เหมาะสมให้กับโปรแกรมเกมเล็ทซึ่งเป็นโปรแกรมคำนวณย้อนกลับหาค่าโมดูลัสชั้นทางที่ใช้ระเบียบวิธีขั้นตอนเชิงพันธุกรรม เป็นกระบวนการคำนวณย้อนกลับ โดยมีทฤษฎีและงานวิจัยที่เกี่ยวข้องดังนี้

#### 2.1 ลักษณะทางกายภาพและการประเมินความแข็งแรงของผิวทางแอสฟัลต์คอนกรีตในประเทศไทย

##### 2.1.1 ลักษณะทางกายภาพของโครงสร้างผิวทางแอสฟัลต์คอนกรีตในประเทศไทย

โครงสร้างผิวทางแอสฟัลต์คอนกรีตถูกจัดไว้เป็นโครงสร้างผิวทางแบบยืดหยุ่น (Flexible Pavement Structure) ที่มีลักษณะการก่อสร้างเป็นชั้น ๆ โดยเรียงลำดับความแข็งแรงจากมากไปหาน้อยการพิจารณาจากชั้นบนลงล่าง โดยวัสดุที่ใช้มีการกำหนดความหนาแน่นและความแข็งแรงเป็นเกณฑ์มาตรฐานขั้นต่ำที่ใช้สำหรับก่อสร้าง โดยชั้นผิวบนเป็นชั้นที่มีความแข็งแรงมากที่สุด และมีการใช้สารบิโทเมนหรือยางมะตอยเป็นวัสดุประสานเพื่อยึดมวลรวมเข้าไว้ด้วยกันและยังทำหน้าที่ป้องกันน้ำที่จะซึมลงไปทำลายความแข็งแรงของวัสดุชั้นล่าง โดยคุณภาพของวัสดุและความหนาของชั้นทางนั้นขึ้นอยู่กับวัตถุประสงค์ และอายุการใช้งานรวมถึงงบประมาณในการก่อสร้าง ซึ่งความหนาของชั้นผิวทางที่ใช้นั้นจะมีความหนาตั้งแต่ 5 ซม. ขึ้นไปสำหรับถนน และอาจมากกว่า 20 ซม. เช่นในกรณีของผิวทางที่ใช้รองรับน้ำหนักของอากาศยานในท่าอากาศยาน เป็นต้น โดยรูปแบบทั่วไปของโครงสร้างชั้นทาง แสดงในรูปที่ 2.1



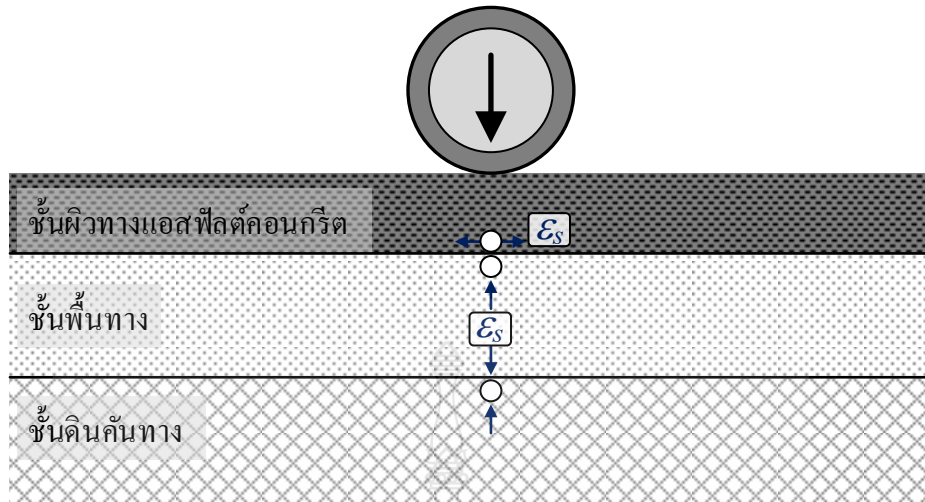
รูปที่ 2.1 รูปแบบทั่วไปของโครงสร้างชั้นทางแอสฟัลต์คอนกรีต

### 2.1.2 การประเมินความแข็งแรงของผิวทางแอสฟัลต์คอนกรีต

การก่อสร้างชั้นทางนั้นนอกจากจะคำนึงถึงคุณสมบัติด้านความปลอดภัยและความสะดวกสบายในการใช้งานแล้ว ยังต้องคำนึงถึงความแข็งแรงโครงสร้างชั้นทางเพื่อรองรับน้ำหนักยานพาหนะด้วยเหตุนี้ในการประเมินความเสียหายของโครงสร้างทางจึงแบ่งออกเป็น 2 ส่วนคือ ความเสียหายด้านการใช้งาน (Functional Failure) เช่นการขีดเกาะ การสะท้อนแสง เป็นต้น และความเสียหายด้านโครงสร้าง (Structural Failure) เช่น การเกิดโพรงใต้ผิวทาง การสูญเสียกำลังรับน้ำหนักของชั้นทาง เป็นต้น ในการประเมินกำลังรับน้ำหนักหรือความแข็งแรง นิยมบ่งบอกในรูปของค่าความโมดูลัสชั้นทาง โดยปัจจุบันนิยมทดสอบด้วยการใช้เครื่องมือวัดค่าการยุบตัวด้วยลูกตุ้มกระแทก (Falling Weight Deflectometer, FWD) ซึ่งจัดอยู่ในประเภทเครื่องมือแบบใช้แรงกระตุ้น (Impulse Device) ที่เป็นการแบบไม่ทำลาย (Nondestructive Testing, NDT) โดยในการทดสอบด้วยเครื่องมือชนิดนี้จะได้ค่าการยุบตัวที่เกิดจากกอนน้ำหนักกระแทก โดยเมื่อนำค่าการยุบตัวที่ได้นี้รวมกับความหนาของชั้นทางจะสามารถคำนวณหาค่าโมดูลัสชั้นทางได้ ซึ่งเป็นหนึ่งในตัวแปรสำคัญที่จะนำไปสู่การวิเคราะห์โครงสร้างของถนนลาดยาง เพื่อหาค่าความเปลี่ยนแปลงทางกลศาสตร์ที่เกิดขึ้นกับโครงสร้างชั้นทางแอสฟัลต์คอนกรีต ซึ่งโดยทั่วไปมีตัวแปรทางกลศาสตร์ที่สำคัญคือ [14]

1. ความเครียดดึงแนวราบ (Horizontal Tensile Strain,  $\epsilon_x$ ) ที่ใต้ชั้นผิวทางแอสฟัลต์ ซึ่งเกิดขึ้นเนื่องจากจำนวนเที่ยวสะสมจากน้ำหนักกระทำของยานพาหนะที่แล่นผ่านที่มากขึ้น โดยจะเกิดการสะสมของความเครียดจนเกินกว่าที่แอสฟัลต์จะรับได้จะทำให้แอสฟัลต์เกิดรอยแตก (Crack) ซึ่งความเสียหายที่เกิดขึ้นในลักษณะนี้มีผลมาจากความล้าของวัสดุ โดยจะเริ่มเกิดที่ผิวด้านล่างก่อน แล้วค่อยลามขึ้นไปสู่ผิวด้านบน ความเครียดดึงแนวราบนี้จะเกิดในชั้นวัสดุที่มีการเชื่อมแน่น (Bound Materials) เช่น วัสดุคินซีเมนต์ แต่จะไม่เกิดในชั้นวัสดุที่ไม่มีการเชื่อมแน่น (Unbound Materials) เช่น หินคลุกหรือวัสดุมวลรวม

2. ความเครียดอัดแนวตั้ง (Vertical Compressive Strain,  $\epsilon_z$ ) บนผิววัสดุที่ไม่มีการเชื่อมแน่น เช่น ชั้นหินคลุกหรือวัสดุมวลรวม เกิดขึ้นเนื่องจากน้ำหนักกระทำของยานพาหนะ มากเกินกำหนดทำให้โครงสร้างชั้นทางวิบัติในลักษณะของรอยร่องล้อ เนื่องจากดินคันทางมีความแข็งแรงน้อยที่สุด ค่าโมดูลัสต่ำที่สุด สัดส่วนของความเครียดอัดทางตั้งในชั้นดินคันทางจึงมีค่ามากที่สุด โดยค่าความเครียดที่เกิดขึ้นในโครงสร้างถนนลาดยางที่กล่าวข้างต้นแสดงไว้ในรูปที่ 2.2



รูปที่ 2.2 ตำแหน่งตัวแปรทางกลศาสตร์ที่ใช้วิเคราะห์โครงสร้างชั้นทางแอสฟัลต์คอนกรีต

นอกจากนั้นค่าโมดูลัสชั้นทางได้ยังสามารถนำไปคำนวณหาอายุคงเหลือและการออกแบบเสริมความแข็งแรงของโครงสร้างทางได้ แต่ในการคำนวณหาค่าโมดูลัสชั้นทางต้องอาศัยโปรแกรมคอมพิวเตอร์ในการคำนวณย้อนกลับ โดยรายละเอียดของการคำนวณย้อนกลับจะอธิบายในหัวข้อถัดไป

## 2.2 การคำนวณย้อนกลับหาค่าโมดูลัสชั้นทาง

การคำนวณย้อนกลับเป็นการประเมินกำลังรับน้ำหนักโครงสร้างทางของแต่ละชั้นซึ่งแสดงในรูปของค่าโมดูลัสชั้นทาง โดยการคำนวณหาค่าโมดูลัสชั้นทางจากวิธีการทดสอบแบบไม่ทำลาย (Nondestructive Test, NDT) นิยมใช้ค่าแองการยวบตัวที่ได้จากการทดสอบด้วยเครื่อง FWD เป็นข้อมูลนำเข้า ซึ่งจำเป็นต้องมีโปรแกรมหรือซอฟต์แวร์คอมพิวเตอร์ช่วยในการคำนวณย้อนกลับ กระบวนการคำนวณจะเริ่มจากการกำหนดค่าโมดูลัสตั้งต้นให้กับโปรแกรม ร่วมกับนำเข้าข้อมูลของคุณสมบัติทางกลศาสตร์ของแต่ละชั้นทาง (ความหนาและค่าบิวซ์ซองของแต่ละชั้นทาง) รวมถึงค่าการยวบตัวของผิวทาง น้ำหนักและรัศมีของน้ำหนักกระทำ จากนั้นโปรแกรมจะคำนวณแบบเดินหน้าเพื่อสร้างแองการยวบตัว และนำไปเปรียบเทียบกับค่าการยวบตัวที่ได้จากการทดสอบด้วยเครื่อง FWD หากค่าความคลาดเคลื่อนของค่าการยวบตัวที่ได้จากการคำนวณน้อยกว่าค่าที่ยอมให้ กระบวนการก็จะสิ้นสุดลง แต่ถ้าค่าความคลาดเคลื่อนมากกว่าค่าที่ยอมให้ก็จะเข้าสู่ขั้นตอนการคำนวณย้อนกลับเพื่อกำหนดค่าโมดูลัสยึดหยุ่นใหม่อีกครั้ง กระบวนการทั้งหมดจะวนซ้ำจนกว่าจะค่าความคลาดเคลื่อนจะ

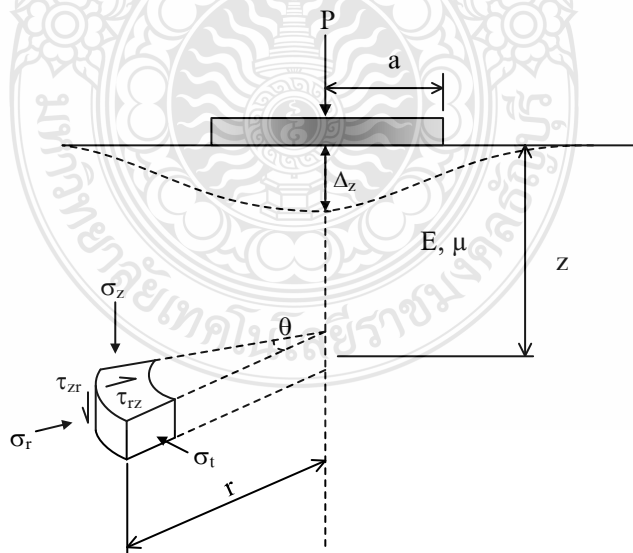
น้อยกว่าค่าที่ยอมให้กระบวนการจึงจะสิ้นสุดลง และถือว่าค่าโมดูลัสนั้นเหมาะสมที่จะนำไปใช้ในการวิเคราะห์ต่อไป

### 2.2.1 กระบวนการคำนวณแบบเดินหน้า (Forward Mechanistic Process)

กระบวนการคำนวณแบบเดินหน้าเป็นกระบวนการสำคัญที่ใช้ในการคำนวณแ่งการยุบตัวของโปรแกรมคำนวณย้อนกลับเพื่อเปรียบเทียบกับแ่งการยุบตัวที่วัดได้ในสนามจากเครื่องมือ FWD โดยทฤษฎีของกระบวนการคำนวณแบบเดินหน้าที่มักใช้ในโปรแกรมคำนวณย้อนกลับ เช่น สมการของ Boussinesq ที่ใช้ร่วมกับทฤษฎีความหนาเทียบเท่า ทฤษฎียึดหยุ่นหลายชั้นทาง เป็นต้น

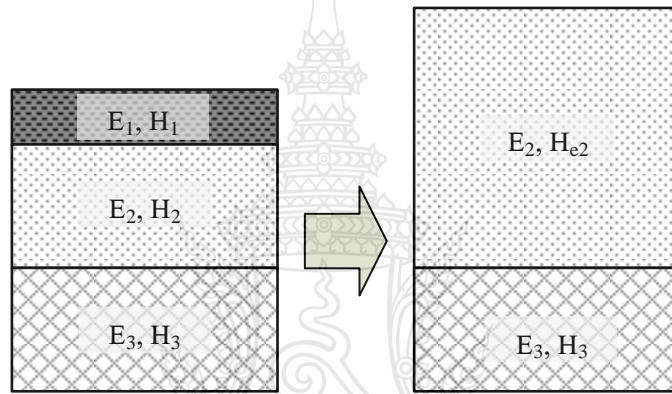
1. สมการของ Boussinesq (Boussinesq's Equation) และ ทฤษฎีความหนาเทียบเท่า (Method of Equivalent Thickness, MET)

ในปี 1885 Boussinesq ได้พัฒนาสมการ เพื่อใช้วิเคราะห์หาค่าหน่วยแรงเค้น ความเครียด และค่าการยุบตัวที่เกิดขึ้นในมวลดิน จากน้ำหนักบรรทุกทุกกระทำแบบวงกลมในระบบชั้นเดียวดังรูปที่ 2.3 ภายใต้สมมติฐานของวัสดุที่จะต้องมีความสมบัติกึ่งอนันต์ เป็นเนื้อเดียวกัน มีความสม่ำเสมอเท่ากันทุกทิศทาง และเป็นวัสดุยึดหยุ่น โดยจากสมการการทรุดตัวของ Boussinesq แสดงถึงความสัมพันธ์ระหว่างค่าการยุบตัวและค่าโมดูลัส ซึ่งสามารถนำมาใช้ในการคำนวณหาค่าโมดูลัสผิวทาง (Surface Modulus) ได้โดยตรง แต่จากงานวิจัยที่ผ่านมาพบว่าการคำนวณโดยตรงด้วยวิธีการนี้มีความแม่นยำน้อย [15] ยกตัวอย่างเช่น ค่าโมดูลัสของชั้นผิวทางที่คำนวณได้มีค่าต่ำกว่าความเป็นจริงมาก เป็นต้น



รูปที่ 2.3 หน่วยแรงและค่าการยุบตัวที่เกิดจากน้ำหนักบรรทุกทุกกระทำแบบวงกลมของ Boussinesq

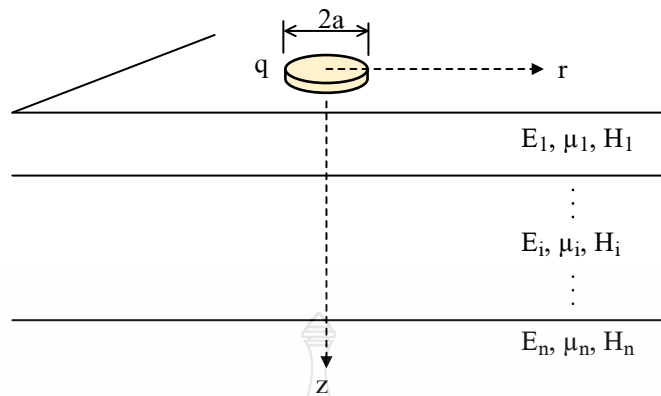
ดังนั้นต่อมามีนักวิจัยบางท่านมีแนวคิดที่จะนำเอาทฤษฎีความหนาเทียบเท่าหรือที่รู้จักกันในชื่อ MET ที่พัฒนาโดย Odemark ในปี 1949 มาใช้ร่วมกับสมการของ Boussinesq โดย MET เป็นทฤษฎีที่ใช้แปลงความหนาชั้นทางที่มีค่าโมดูลัสต่างกันให้เป็นชั้นทางที่มีค่าโมดูลัสเดียวกันดังรูปที่ 2.4 ซึ่งมีหลักการคล้ายกันกับทฤษฎีคานผสม (Composite Beam) โดยในส่วนของ การแปลงความหนานั้นต้องมีการใช้ตัวคูณปรับแก้ซึ่งขึ้นอยู่กับจำนวนชั้นทาง ความหนาแต่ละชั้น ค่าอัตราส่วนปริมาตรของ รวมไปถึงค่าอัตราส่วนโมดูลัส นอกจากนั้น MET ยังมีข้อกั๊ดอื่น ๆ อีกเช่น ค่าโมดูลัสชั้นทางของชั้นที่อยู่ถัดลงมาจะต้องมีค่าน้อยกว่าชั้นที่อยู่ด้านบน รวมไปถึงความหนาของชั้นผิวทางต้องมีค่ามากกว่ารัศมีของพื้นที่น้ำหนักระทำ เป็นต้น จากที่กล่าวมาจะพบว่าวิธีการนี้ยังมีจุดอ่อนอยู่มาก



รูปที่ 2.4 หลักการของทฤษฎีความหนาเทียบเท่า (MET)

## 2. ทฤษฎียืดหยุ่นหลายชั้นทาง (Multi-Layered Elastic Theory, MLET)

ทฤษฎียืดหยุ่นหลายชั้นทางหรือที่รู้จักกันในชื่อ MLET ถูกนำเสนอครั้งแรกโดย Burmister ในปี 1943 เพื่อใช้ในการวิเคราะห์ค่าความเค้น และค่าการยุบตัว ของระบบ 2 ชั้นทางและได้รับการพัฒนาต่อจนสามารถวิเคราะห์ในระบบ 3 ชั้นทางได้ในปี 1945 จนกระทั่งเข้าสู่ยุคคอมพิวเตอร์ได้มีการพัฒนาให้สามารถคำนวณได้หลายชั้นทางมากยิ่งขึ้น โดยมีหลักการดังรูปที่ 2.5



รูปที่ 2.5 หลักการของทฤษฎียึดหยุ่นหลายชั้นทาง (MLET)

โดย MLET ได้มีการนำมาพัฒนาเป็นโปรแกรมคอมพิวเตอร์ที่สามารถคำนวณ ความเค้น ความเครียด และค่าการยุบตัวที่เกิดขึ้นในชั้นทางให้สามารถวิเคราะห์ได้หลายชั้นทางมากยิ่งขึ้น และโปรแกรม BISAR ที่พัฒนาโดย Shell International Oil Products เป็นหนึ่งในโปรแกรมที่มีพื้นฐานมาจากทฤษฎีนี้ ซึ่งกำลังได้รับความนิยมอย่างกว้างขวาง

### 3. การวิเคราะห์หาค่าการยุบตัวของโครงสร้างทางโดยใช้โปรแกรม Bitumen Stress Analysis in Roads (BISAR)

โปรแกรม BISAR เป็นโปรแกรมที่ใช้วิเคราะห์พฤติกรรมทางกลศาสตร์ของชั้นทาง ที่วิจัยและพัฒนาขึ้นโดย Shell ในปี ค.ศ.1978 โดยก่อนหน้านี้ได้พัฒนาเป็นโปรแกรมที่ใช้ในระบบเมนเฟรมคอมพิวเตอร์ และต่อมาได้มีการพัฒนาเรื่อยมาจนเป็น โปรแกรม BISAR 3.0 ที่รองรับการติดตั้งบนระบบปฏิบัติการ Windows และมีศักยภาพในการคำนวณวิเคราะห์เพิ่มขึ้น สามารถแสดงผลข้อมูลในรูปแบบเพิ่มข้อมูลและการจัดการฐานข้อมูลจากการคำนวณในขั้นตอนเดียวกัน รวมไปถึงมีการปรับปรุงการวิเคราะห์คุณสมบัติชั้นทางเพิ่มขึ้น ทำให้การประมวลผลของโปรแกรมมีประสิทธิภาพและมีความถูกต้องแม่นยำมากขึ้น [16]

#### 1) องค์ประกอบหลักที่สำคัญของโปรแกรม BISAR

BISAR เป็นโปรแกรมที่พัฒนาขึ้นเพื่อใช้คำนวณหา ค่าความเค้น (Stress) ความเครียด (Strain) และการยุบตัว (Displacement) โดยมีพื้นฐานการวิเคราะห์จากทฤษฎียึดหยุ่นหลายชั้นทาง ซึ่งกำหนดรูปแบบและพฤติกรรมของวัสดุดังต่อไปนี้



- (1) ชั้นทางในแนวราบมีความสม่ำเสมอ โดยวางอยู่บนวัสดุที่กึ่งอนันต์ที่แผ่ไปด้านข้างอย่างไม่สิ้นสุด (Semi-Infinite หรือ Half Space)
- (2) ชั้นทางในแนวราบแผ่ไปด้านข้างอย่างไม่สิ้นสุด
- (3) วัสดุแต่ละชั้นทางเป็นเนื้อเดียว (Homogeneous) และมีคุณสมบัติเหมือนกันทุกทิศทาง (Isotropic)
- (4) วัสดุมีคุณสมบัติยืดหยุ่นและความสัมพันธ์ระหว่างหน่วยแรงเค้นกับความเครียดมีลักษณะเป็นเส้นตรง

โดยลักษณะของน้ำหนักระทำจะเป็นรูปวงกลมที่มีการกระจายตัวของหน่วยน้ำหนักสม่ำเสมอบนพื้นที่วงกลม

## 2) ข้อมูลที่ต้องการสำหรับการคำนวณของโปรแกรม BISAR

- (1) จำนวนชั้นทาง
- (2) ค่าโมดูลัสยืดหยุ่นของวัสดุแต่ละชั้นทาง
- (3) ค่าอัตราส่วนปัวซอง (Poisson's Ratios) ของวัสดุแต่ละชั้นทาง
- (4) ความหนาของแต่ละชั้นทาง
- (5) ค่า Interface Shear Spring Compliance ที่บริเวณรอยต่อของแต่ละชั้น
- (6) จำนวนน้ำหนักระทำ
- (7) พิกัดตำแหน่งของจุดศูนย์กลางที่น้ำหนักระทำ
- (8) รูปแบบของน้ำหนักระทำ ซึ่งมี 3 รูปแบบคือ หน่วยแรงดันและน้ำหนักระทำและรัศมี หน่วยแรงดันและรัศมี
- (9) แรงกระทำในแนวราบ (ถ้ามี)
- (10) พิกัดตำแหน่งของผลลัพธ์ที่ต้องการ

### 2.2.2 กระบวนการคำนวณย้อนกลับ (Inverse Algorithms)

กระบวนการคำนวณย้อนกลับนับเป็นขั้นตอนสำคัญที่ใช้ในขั้นตอนการคำนวณย้อนกลับ ซึ่งในปัจจุบันมีการพัฒนาโปรแกรมที่สามารถคำนวณย้อนกลับเพื่อหาค่าโมดูลัสชั้นทางจำนวนมาก โดยแต่ละโปรแกรมจะใช้ระเบียบขั้นตอนในการคำนวณย้อนกลับที่แตกต่างกัน ซึ่งสามารถแบ่งได้เป็น 3 ประเภทดังนี้ [17]

1. วิธีความหนาเทียบเท่า (เช่น โปรแกรม ELMOD, RoSy DESIGN)
2. วิธีการคำนวณซ้ำ (เช่น โปรแกรม MODCOMP, EVERCALC)
3. วิธีหาค่าความเหมาะสม (เช่น โปรแกรม BACKGA, GAPAVE)

วิธีความหนาเทียบเท่า (MET) นั้นเป็นวิธีที่มีข้อจำกัดในการวิเคราะห์อยู่ค่อนข้างมาก ดังที่ได้กล่าวไว้ในหัวข้อย่อยที่ 1 ของหัวข้อที่ 2.2.1 แต่เนื่องจากวิธีการนี้ใช้ระยะเวลาในการประมวลผลน้อย จึงทำให้ยังคงมีการนำวิธีการนี้ไปพัฒนาเป็นโปรแกรมคำนวณย้อนกลับ ซึ่งบางโปรแกรมมีการพัฒนาจนสามารถออกแบบเสริมผิวทางและคำนวณหาอายุคงเหลือของชั้นทางได้

ในปัจจุบันวิธีการที่นิยมนำมาใช้ในขั้นตอนวิธีคำนวณผกผันสำหรับโปรแกรมคำนวณย้อนกลับเพื่อหาค่าโมดูลัสชั้นทางคือ วิธีการคำนวณวนซ้ำ (Iteration) ซึ่งวิธีการนี้จำเป็นต้องกำหนดค่าโมดูลัส ดั้งเดิม โดยสามารถกำหนดได้เองจากผู้งานหรือมาจากการสุ่มเลือกชั้นเองของโปรแกรม และค่าอัตราส่วนบิวซ์ชอง โดย American Association of State Highway and Transportation Officials หรือ AASHTO ซึ่งเป็นหน่วยงานด้านการขนส่งและทางหลวงของประเทศสหรัฐอเมริกาได้แนะนำค่าโมดูลัสชั้นทางและค่าอัตราบิวซ์ชองโดยทั่วไปไว้ดังตารางที่ 2.1 และตารางที่ 2.2 เพื่อนำไปใช้ในการคำนวณค่าเองการยุบตัวแล้วนำมาเปรียบเทียบกับค่าการยุบตัวที่ได้จากการวัด

ตารางที่ 2.1 ค่าอัตราส่วนบิวซ์ชอง ( $\mu$ ) โดยทั่วไปของวัสดุชั้นทางที่แนะนำโดย AASHTO [18]

| Materials                                | Range       | Remarks  | Typical Value |
|--|-------------|--|---------------|
| Portland Cement Concrete                 | 0.10 – 0.20 | -  | 0.15          |
| Hot Mixed Asphalt / Asphalt Treated Base | 0.15 – 0.45 | For Temperatures < 30 <sup>o</sup> C use 0.15;<br>For Temperatures > 50 <sup>o</sup> C use 0.45. | 0.35          |
| Cement Stabilized Base                   | 0.15 – 0.30 | When Sound Free Of Cracks Use 0.15;<br>With Crack Use 0.30.                                      | 0.20          |
| Granular Base / Subbase                  | 0.30 – 0.40 | Crushed Material Use Low Value ;<br>Unprocessed Rounded Gravel / Sand Use High Values            | 0.35          |
| Subgrade Soils                           | 0.30 – 0.50 | For Cohesiveless Soils Use Value Near 0.30 ;<br>For Very Plastic / Cohesive Clays Use 0.50.      | 0.40          |

ตารางที่ 2.2 ค่าโมดูลัสยืดหยุ่น ( $E$ ) โดยทั่วไปของวัสดุชั้นทางที่แนะนำโดย AASHTO [18]

| Pavement Material             | Range [MPa]     | Typical Value [MPa] |
|-------------------------------|-----------------|---------------------|
| Hot Mixed Asphalt             | 1,500 – 3,500   | 3,000               |
| Portland Cement Concrete      | 20,000 – 50,000 | 30,000              |
| Asphalt Treated Base          | 500 – 3,000     | 1,000               |
| Cement Treated Base           | 3,500 – 7,000   | 5,000               |
| Lean Concrete                 | 7,000 – 20,000  | 10,000              |
| Granular Base                 | 100 – 350       | 200                 |
| Granular Subgrade Soils       | 50 – 150        | 100                 |
| Fine – Grained Subgrade Soils | 20 – 50         | 30                  |

จากนั้นโปรแกรมจะค้นหาค่าโมดูลัสชั้นทางที่ทำให้แอมพลิจูดการยุบตัวที่คำนวณได้มีความสอดคล้องกับแอมพลิจูดการยุบตัวที่ได้จากการวัด ซึ่งจะมีการค้นหาโดยวนซ้ำไปเรื่อย ๆ โดยกระบวนการนี้จะเป็นการหาค่าคำตอบโดยใช้การวนซ้ำเพื่อลดค่าความแตกต่างระหว่างค่ายุบตัวที่ได้จากการคำนวณและจากการวัดจริง ค่าความแตกต่างของค่ายุบตัวโดยส่วนใหญ่มักใช้ค่าความคลาดเคลื่อนหรือค่า Root Mean Square Error ( $RMSE$ ) เป็นดัชนีชี้วัด ซึ่งสามารถคำนวณได้ดังสมการที่ 2.1 [12]

$$RMSE = \sqrt{\frac{1}{N} \sum_{i=1}^n \left( \frac{d_i - D_i}{D_i} \right)^2} \quad (2.1)$$

โดยที่

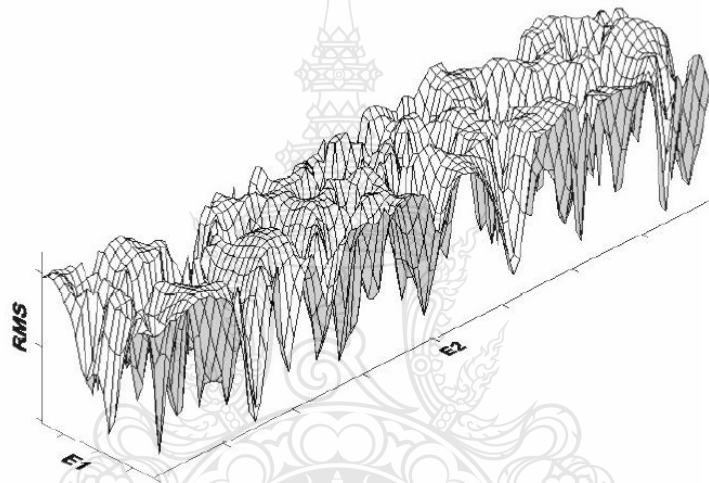
$N$  = จำนวนของข้อมูลค่าการยุบตัว

$d_i$  = ค่าการยุบตัวที่ได้จากการคำนวณในตำแหน่งของค่าการยุบตัวที่  $i$

$D_i$  = ค่าการยุบตัวที่ได้จากการวัดในตำแหน่งของค่าการยุบตัวที่  $i$

ซึ่งจากข้างต้นพบว่า การกำหนดค่าโมดูลัสชั้นทางตั้งต้น มีผลต่อเป็นอย่างมากการค้นหาค่าโมดูลัสชั้นทาง และในทางปฏิบัติมักเกิดปัญหามือคำตอบที่ได้จากโปรแกรมขัดแย้งกับมุมมองทางวิศวกรรม [19] โดยปัญหานี้เกิดจากหลายสาเหตุ และหนึ่งในสาเหตุหลักก็คือพื้นผิวคำตอบของปัญหานั้นมีความซับซ้อนและประกอบด้วยจุดต่ำสุดเฉพาะที่ (Local Minimum) หลายจุด ดังแสดงใน

รูปที่ 2.6 ซึ่งแสดงความสัมพันธ์ระหว่างที่ได้จากการคำนวณย้อนกลับและค่า  $RMSE$  ซึ่งแสดงเป็นพื้นผิวคำตอบ โดยบริเวณที่มีจุดต่ำสุดคือตำแหน่งที่เหมาะสมที่จะเป็นคำตอบ โดยจากรูปจะพบว่า มีจุดต่ำสุดอยู่หลายแห่ง ซึ่งเรียกจุดเหล่านี้ว่าจุดต่ำสุดเฉพาะที่ ส่วนตำแหน่งที่เหมาะสมที่จะคำตอบมากที่สุดเรียกว่าจุดต่ำสุดองค์รวม (Global Minimum) ซึ่งเป็นจุดที่ต่ำที่สุดและมีอยู่เพียงจุดเดียวของพื้นที่คำตอบ ดังนั้นเพื่อแก้ไขปัญหาดังกล่าวได้มีนักวิจัยหลายท่านที่ได้พยายามนำเอาขั้นตอนวิธีเชิงพันธุกรรม (Genetic Algorithm, GA) มาประยุกต์ใช้ในการคำนวณย้อนกลับหาค่าโมดูลัสชั้นทาง โดยผลที่ได้พบ GA มีศักยภาพที่ดีในการค้นหาจุดต่ำสุดองค์รวม แต่ GA ก็ยังมีข้อจำกัด เช่น ปัญหาในการเลือกตัวแปรหรือค่าพารามิเตอร์เหมาะสม ซึ่งรายละเอียดของ GA จะขอกกล่าวถึงในหัวข้อถัดไป



รูปที่ 2.6 ตัวอย่างพื้นผิวคำตอบของระบบชั้นทาง 2 ชั้น ที่ใช้ค่า  $RMSE$  เป็นดัชนีชี้วัดคำตอบ [17]

### 2.2.3 การคำนวณย้อนกลับเพื่อหาค่าโมดูลัสชั้นทางโดยใช้โปรแกรม PAVERS

โปรแกรม PAVERS เป็นหนึ่งในโปรแกรมคำนวณย้อนกลับที่สามารถใช้วิเคราะห์พฤติกรรมทางกลศาสตร์รวมไปถึงออกแบบและประเมินความกำลังรับน้ำหนักของโครงสร้างชั้นทางถนนและท่าอากาศยาน พัฒนาขึ้นครั้งแรกในปี 1999 เป็นรุ่น 1.0 สำหรับใช้ในงานแผ่นพื้นคอนกรีตระบบ UEC-Slab ในกระทรวงกลาโหม ของประเทศเนเธอร์แลนด์ และได้รับการปรับปรุงเรื่อยมาจนเป็นโปรแกรมเชิงพาณิชย์ โดยรุ่นปัจจุบันคือ 2.8 ในที่ได้รับการปรับปรุงในปี 2008 ซึ่งมีความสามารถในการนำค่าการยุบตัวที่ได้จากการทดสอบด้วยเครื่อง FWD สำหรับคำนวณย้อนกลับหาค่าโมดูลัสชั้นทางในรูปแบบของไฟล์ที่สร้างโดยโปรแกรม Microsoft Excel มีฐานข้อมูลน้ำหนักลงเพลามาตรฐานของรถบรรทุกและของอากาศยานอีกหลายชนิดและยังสามารถนำเข้าข้อมูลเพิ่มเติมเพื่อ

ปรับปรุงฐานข้อมูลน้ำหนักที่มีอยู่รวมถึงค่า ACN ของอากาศยาน โปรแกรม PAVERS ใช้ทฤษฎียี่ดหุ่่นหลายชั้นทาง (MLET) เป็นแบบจำลองในการคำนวณแบบเดินหน้าและใช้วิธีการวนซ้ำลดค่าความแตกต่างระหว่างค่าขุ่บตัวที่ได้จากการคำนวณและจากการวัดจริงเป็นกระบวนการคำนวณย้อนกลับ [20] สำหรับในงานวิจัยนี้ได้นำเอาโปรแกรม PAVERS 2.8 มาใช้ในการคำนวณย้อนกลับสำหรับเปรียบเทียบประสิทธิภาพของโปรแกรมเกมเล่ที่ที่ได้รับการตั้งค่าด้วยชุดพารามิเตอร์ที่ผ่านการคัดเลือกให้เหมาะสม โดยใช้ข้อมูลทดสอบค่าการขุ่บตัวจริงในสนามในการเปรียบเทียบ

### 2.3 ระเบียบขั้นตอนวิธีเชิงพันธุกรรม (Genetic Algorithm, GA)

ระเบียบขั้นตอนวิธีเชิงพันธุกรรม (Genetic Algorithm, GA) คิดค้นขึ้นโดย John Holland (1975) เพื่อหาค่าผลเฉลยที่เหมาะสม โดยมีแรงบันดาลใจมาจาก ทฤษฎีวิวัฒนาการของ Charles Darwin (1859) ซึ่งเป็นการเลียนแบบกลไกการคัดเลือกทางธรรมชาติ นั่นคือ สายพันธุ์ที่เหมาะสมกับสภาพแวดล้อมคือสายพันธุ์ที่อยู่รอด ซึ่งโดยพื้นฐาน GA ประกอบไปด้วย 5 ขั้นตอนคือ การสร้างกลุ่มประชากร (Creation of Population) การประเมินความเหมาะสม (Evaluation) การคัดเลือก (Selection) การจับคู่ผสมข้าม (Crossover) และการกลายพันธุ์ (Mutation) [9]

การทำงานของระเบียบขั้นตอนวิธีเชิงพันธุกรรมอย่างง่าย (Simple Genetic Algorithm, SGA) จะเริ่มจากกลุ่มสร้างชุดรหัสเลขฐานสองเรียกว่า โครโมโซม ซึ่งสามารถแปลงรหัสกลับไปเป็นค่าพารามิเตอร์เลขฐานสิบใช้ในการคำนวณวิเคราะห์ และทำการประเมินค่าความเหมาะสม (Fitness Evaluation) แล้วนำมาคัดเลือกเพื่อนำไปเป็นกลุ่มประชากรรุ่นพ่อแม่ จากนั้นประชากรที่ถูกเลือกในรูปแบบของโครโมโซมจะถูกนำมาดำเนินการทางพันธุกรรม (Genetic Operation หรือ Reproduction Operation) คือการผสมข้ามและการกลายพันธุ์ เพื่อสร้างประชากรรุ่นลูกหรือทายาท และเมื่อนำประชากรกลุ่มนี้มาประเมินค่าความเหมาะสมแล้วพบคำตอบที่เหมาะสมกับปัญหา กระบวนการทำงานก็จะสิ้นสุดลง แต่หากยังไม่พบคำตอบที่ต้องการ กระบวนการทำงานก็จะดำเนินต่อไป โดยมีการแทนที่ของประชากรรุ่นพ่อแม่ด้วยรุ่นลูกซึ่งพิจารณาโอกาสในการแทนที่จากค่าความเหมาะสมสายรหัสโครโมโซมที่มีค่าความเหมาะสมมากก็จะมีโอกาสที่จะถูกเลือกมาก ในทางตรงข้ามสายรหัสที่มีความเหมาะสมน้อยก็จะมีโอกาสถูกเลือกน้อยและอาจสูญพันธุ์ไปในที่สุด เมื่อแทนที่เสร็จก็จะกลับเข้าสู่กระบวนการคัดเลือกใหม่ โดยกระบวนการเหล่านี้จะดำเนินการไปเรื่อย ๆ เมื่อผ่านไปหลาย ๆ รุ่น ลักษณะทางพันธุกรรมที่ดีของรุ่นบรรพบุรุษจะถูกถ่ายทอดไปยังรุ่นทายาท ซึ่งจะทำให้รุ่นถัดไปมีค่าความเหมาะสมสูงขึ้นจนนำไปสู่การค้นพบคำตอบที่เหมาะสม

จุดเด่นของ GA อยู่ที่การค้นหาคำตอบที่มีความเหมาะสมโดยรวม ซึ่งเป็นผลมาจากการจับคู่ผสมพันธุ์ของประชากรที่มีค่าความเหมาะสมต่างกันทำให้มีโอกาสในการค้นหาคำตอบ

ที่กว้างขึ้น [9] และการกลายพันธุ์ที่ทำให้การค้นหาคำตอบไม่ติดอยู่กับหรือจุดต่ำสุดเฉพาะที่ แต่การค้นหาคำตอบที่เหมาะสมโดยรวมจะเกิดขึ้นได้ก็ต่อเมื่อมีการกำหนดตัวดำเนินการทางพันธุกรรมหรือพารามิเตอร์ที่เหมาะสม ซึ่งเปรียบเสมือนการกำหนดสภาพแวดล้อมให้กับกลุ่มประชากรในทางกลับกันการเลือกชุดพารามิเตอร์ที่ไม่เหมาะสมก็จะทำให้คำตอบที่ได้เป็นคำตอบที่ติดอยู่กับจุดต่ำสุดเฉพาะที่ของพื้นผิวคำตอบเท่านั้น

#### 2.4 ระเบียบขั้นตอนวิธีเชิงพันธุกรรมในการคำนวณย้อนกลับ

Fwa และ คณะ [21] ได้พัฒนาโปรแกรม NUS-GABACK ในปี 1997 ซึ่งเป็นบทความแรกที่ได้ที่มีการนำเสนอการนำ GA มาประยุกต์ใช้ในงานวิศวกรรมชีวทาง Kameyama และคณะ [22] ในปี ค.ศ. 1998 ได้พัฒนาโปรแกรมคำนวณย้อนกลับหาค่าโมดูลัสชั้นทางทั้งชีวทางที่เป็นแบบยืดหยุ่นและชีวทางแบบแข็งในปีถัดมา ต่อมา Reddy และคณะ [23] ได้พัฒนาโปรแกรม BACKGA สำหรับคำนวณย้อนกลับหาค่าโมดูลัสชั้นทางในปี ค.ศ. 2002 และทำการหาค่าพารามิเตอร์ที่เหมาะสมในปี ค.ศ. 2006 [9] Park และคณะ [24] ได้พัฒนาโปรแกรม GAPAVE ในปี ค.ศ. 2006 และได้มีการหาค่าพารามิเตอร์เพื่อเพิ่มประสิทธิภาพการคำนวณย้อนกลับโดย Park ในปี ค.ศ. 2009 และในปี 2007 Alkasawneh [17] ได้พัฒนาโปรแกรม Back Genetic 3d ขึ้น

โดยโปรแกรมที่ได้กล่าวมาส่วนใหญ่ใช้กระบวนการคำนวณแบบเดินหน้าที่ต่างกันและใช้ SGA ในการคำนวณย้อนกลับ ซึ่งประกอบด้วยขั้นตอนพื้นฐานดังนี้

##### 2.4.1 การสร้างกลุ่มประชากร

ค่าโมดูลัสชั้นทางแต่ละชั้นจะถูกสุ่มผลิตขึ้นจากขอบเขตของคำตอบที่เป็นไปได้ (ตัวแปร  $E$ ) แล้วแปลงเป็นระบบเลขฐานสอง เพื่อแทนเป็นยีนส์แต่ละชุดซึ่งจะถูกนำไปเรียงต่อกันเป็นสายโครโมโซม นั้นหมายความว่าสายโครโมโซมหนึ่งสายแทนลักษณะโครงสร้างชั้นทางหนึ่งแบบโดยจำนวนลักษณะ โครงสร้างชั้นทางคือจำนวนประชากรของสายโครโมโซมที่ผู้กำหนด (ตัวแปร  $numpop$ )

##### 2.4.2 การประเมินค่าความเหมาะสม

ค่าความเหมาะสมส่วนใหญ่จะถูกประเมินจากค่า  $RMSE$  ของการยุบตัวของชีวทางที่ได้จากการทดสอบจริงในสนามด้วยเครื่อง FWD และจากการคำนวณแบบเดินหน้าของโปรแกรม โดยประชากรที่มีค่า  $RMSE$  น้อยก็จะมีค่าความเหมาะสมมาก

### 2.4.3 การคัดเลือกประชากร

ประชากรทั้งหมดจะถูกคัดเลือกจากค่าความเหมาะสม โดยประชากรที่มีค่าความเหมาะสมมากที่สุดจะมีโอกาสขยายพันธุ์มากที่สุด ส่วนประชากรที่มีความเหมาะสมน้อยก็จะมีโอกาสขยายพันธุ์น้อยและอาจสูญพันธุ์ไปในที่สุด

### 2.4.4 การผสมข้ามแบบจุดเดียว

เป็นการจับคู่ของประชากรแล้วผสมข้ามจุดใดจุดหนึ่งบนสายโครโมโซมเพื่อผลิตรุ่นลูกหรือทายาทตามอัตราความเป็นไปได้ของการผสมข้ามตามที่ผู้ใช้กำหนด (ตัวแปร  $p_{cross}$ )

### 2.4.5 การกลายพันธุ์แบบกระโดด

เป็นการเปลี่ยนแปลงลักษณะของประชากรโดยมีการเปลี่ยนจากค่า 0 เป็น 1 หรือกลับกัน ในตำแหน่งใดๆที่สุ่มขึ้นบนสายโครโมโซมตามอัตราความเป็นไปได้ของการผสมข้ามแบบกระโดดที่ผู้ใช้กำหนด (ตัวแปร  $p_{jumpmu}$ )

จากนั้นกระบวนการค้นหาคำตอบจะดำเนินการไปเรื่อย ๆ จนกว่าจะครบจำนวนรุ่นที่กำหนดไว้ (ตัวแปร  $maxgen$ ) หรือจนกว่าจะพบคำตอบที่เหมาะสมตามเงื่อนไขที่ตั้งไว้ เช่น  $RMSE_{\text{ค่าคำนวณได้}} < RMSE_{\text{ค่าที่ยอมให้}}$  เป็นต้น

จากที่ได้กล่าวมาข้างต้นจะเห็นได้ว่าขั้นตอนพื้นฐานของ SGA ประกอบไปด้วยจำนวนของพารามิเตอร์ที่ไม่มากนัก แต่สำหรับโปรแกรมที่ใช้เทคนิคแบบใหม่ของ GA อย่างโปรแกรมเกมเล็กจะทำให้มีจำนวนพารามิเตอร์ที่เพิ่มมากขึ้น ทำให้ค่าพารามิเตอร์ที่ได้กล่าวมาใช้เป็นเพียงแนวทางได้เท่านั้น ไม่สามารถนำมากำหนดค่าได้โดยตรง ดังนั้นในงานวิจัยนี้จึงได้มีการคัดเลือกค่าพารามิเตอร์ที่เหมาะสมสำหรับโปรแกรมเกมเล็ก ซึ่งรายละเอียดและจุดเด่นของโปรแกรมจะกล่าวในหัวข้อถัดไป

## 2.5 โปรแกรมคำนวณย้อนกลับเกมเล็ก (GAMLET)

เกมเล็กเป็นโปรแกรมคำนวณย้อนกลับหาค่าโมดูลัสชั้นทางที่พัฒนาขึ้นโดย พุทธิพล [12] ด้วยภาษาคอมพิวเตอร์ Digital Fortran ใช้ทฤษฎียืดหยุ่นของชั้นทาง (Multi-Layered Elastic Theory, MLET) ในการคำนวณแบบเดินหน้าเพื่อหาค่าการยุบตัวของผิวทางและใช้ GA คำนวณย้อนกลับหาค่าโมดูลัสชั้นทางด้วยเทคนิคแบบใหม่ โดยหลักการทำงานของเกมเล็กอาศัยข้อมูลนำเข้าจากการทดสอบด้วยเครื่อง FWD ประกอบไปด้วยค่าการยุบตัวแต่ละตำแหน่งที่วัดจริงจากสนาม ระยะห่างของตำแหน่งที่วัดการยุบตัวจากหน้าหน้ากระทำ แรงดันและรัศมีของหน้าหน้ากระทำ ร่วมกับข้อมูลของวัสดุชั้นทางคือความหนาแต่ละชั้นทางในตำแหน่งที่ทำการทดสอบ และค่าอัตราส่วนปัวซองของ

แต่ละชั้นทาง โดยเกมเล็ทสามารถวิเคราะห์โครงสร้างชั้นทางได้มากถึงสามสิบชั้น แต่ในงานวิจัยนี้ใช้ GAMLET 308 ที่สามารถคำนวณย้อนกลับหาค่าโมดูลัสชั้นทางได้ 3 ชั้น จากค่าการยุบตัวของผิวทาง 8 ตำแหน่ง โดยเกมเล็ทมีคุณลักษณะโดดเด่นที่สำคัญที่สามารถสรุปได้ดังนี้

### 2.5.1 การคัดเลือกประชากร

เกมเล็ทเลือกใช้วิธีการคัดเลือกประชากรแบบ Tournament ซึ่งได้ทำการศึกษาโดย Goldberg และ Deb [25] และพบว่ามีประสิทธิภาพในการลู่เข้าหาคำตอบและต้องการกลุ่มประชากรน้อยกว่าวิธี Roulette-Wheel ที่ใช้ใน SGA ทั่วไป

### 2.5.2 การประเมินค่าความเหมาะสม

จากที่โปรแกรมคำนวณย้อนกลับที่ใช้ SGA อื่น ใช้เพียงสมการเดียวในการประเมินค่าความเหมาะสม เพื่อเพิ่มศักยภาพในการคำนวณย้อนกลับ โปรแกรมเกมเล็ทได้ใช้สมการในการประเมินค่าความเหมาะสมมากถึง 3 สมการ ซึ่งประกอบไปด้วย [12]

$$\text{ค่าน้อยสุดของ } f_1 = \max \text{ of } \left| \frac{(d_i - D_i)}{D_i} \times 100 \right| \quad (2.2)$$

$$\text{ค่าน้อยสุดของ } f_2 = \sqrt{\frac{1}{n} \sum_{i=1}^N \left( \frac{d_i - D_i}{D_i} \right)^2} \times 100\% \quad (2.3)$$

$$\text{ค่ามากที่สุดของ } f_3 = \frac{1}{1 + \left( \frac{OBJ}{10^6} \right)} \quad (2.4)$$

$$\text{โดย } OBJ = \sum_{i=1}^N (d_i - D_i)^2 \quad (2.5)$$

โดยที่

$N$  = จำนวนอุปกรณ์วัดค่าการยุบตัว

$d_i$  = ค่าการยุบตัวที่ได้จากการคำนวณในตำแหน่งที่  $i$

$D_i$  = ค่าการยุบตัวที่ได้จากการวัดจริงในตำแหน่งที่  $i$

โดยจากสมการทั้ง 3 จะพบว่า สมการที่ 2.2 เป็นสมการที่บ่งชี้ความคลาดเคลื่อนเฉพาะตำแหน่งที่เกิดความคลาดเคลื่อนมากที่สุดบนเส้นการยุบตัวของผิวทาง ส่วนสมการที่ 2.3 คือค่า  $RMSE$  และสมการที่ 2.4 คือค่าความคลาดเคลื่อนโดยรวมของเส้นการยุบตัวทั้งหมดโดยค่าที่สมบูรณ์แบบทั้งสามสมการคือ 0.0, 0.0 และ 1.0 ตามลำดับ



### 2.5.3 การผสมข้าม

เกมเล็ทได้มีการบรรจุวิธีการผสมข้ามทั้งแบบจุดเดียว (ตัวแปร *pcross*) ที่ใช้ในโปรแกรมคำนวณย้อนกลับทั่วไปที่ใช้กระบวนการย้อนกลับแบบ SGA และการผสมข้ามแบบสม่ำเสมอ (ตัวแปร *imifrm*) เนื่องจาก Syswerda [28] ได้เปรียบเทียบการผสมข้ามแบบต่าง ๆ พบว่าการผสมข้ามแบบสม่ำเสมอมีประสิทธิภาพที่โดดเด่น

### 2.5.4 การกลายพันธุ์

เกมเล็ทได้บรรจุการกลายพันธุ์ทั้งแบบกระโดด (ตัวแปร *pjumpmu*) ที่ใช้ในโปรแกรมคำนวณย้อนกลับทั่วไป และการกลายพันธุ์แบบคืบ (ตัวแปร *pcreepmu*) ซึ่งการกลายพันธุ์ทั้งสองแบบสามารถใช้ร่วมกันหรือแยกกันก็ได้

### 2.5.5 การคัดเลือกผู้นำ (Elitism Technique)

การคัดเลือกผู้นำ (ตัวแปร *ibstmodl*) เป็นเทคนิคที่ใช้สำหรับเลือกผู้นำของประชากรแต่ละรุ่นที่มีค่าความเหมาะสมสูงสุดเก็บไว้เพื่อการดำรงอยู่ในรุ่นถัดไปโดยอัตโนมัติ โดยในเกมเล็ทสามารถเลือกเปิดหรือปิดการใช้งานได้

### 2.5.6 วิธีกลุ่มเฉพาะ (Niche Method)

เกมเล็ทได้บรรจุวิธีกลุ่มเฉพาะ (ตัวแปร *niching*) ซึ่งเป็นวิธีที่ใช้สำหรับแบ่งพื้นที่คำตอบออกเป็นหลาย ๆ ส่วนด้วยวิธีแบ่งแบบสามเหลี่ยม เพื่อค้นหาจุดค่าสุดหลาย ๆ ตำแหน่งพร้อมกัน โดยสามารถเลือกเปิดหรือปิดการใช้งานได้เช่นกัน

นอกจากนั้นเกมเล็ทยังมีคุณสมบัติเด่นอื่น ๆ อีกเช่น FWDLine, Micro GA, CSCM [27] แต่เนื่องจากอยู่นอกเหนือขอบเขตที่ได้ทำการศึกษา จึงไม่ขอกล่าวถึงรายละเอียดในที่นี้

## 2.6 การกำหนดค่าพารามิเตอร์

การกำหนดค่าพารามิเตอร์ หรือการกำหนดค่าการดำเนินการทางพันธุกรรม มีผลโดยตรงต่อประสิทธิภาพของ GA ในช่วงหลายปีที่ผ่านมา มีนักวิจัยหลายท่านพยายามศึกษาและทำความเข้าใจเกี่ยวกับค่าพารามิเตอร์ที่มีผลต่อประสิทธิภาพของ GA ทั้งในเชิงทฤษฎีและเชิงประจักษ์ ซึ่งมีดังนี้

การศึกษาค่าพารามิเตอร์ที่เหมาะสมส่วนใหญ่ในเชิงทฤษฎีเป็นการหาค่าพารามิเตอร์ทีละตัว โดยการกำหนดให้ค่าพารามิเตอร์อื่นคงที่ ซึ่งได้มีการศึกษาไว้ดังนี้ Grefenstette (1984) [28] ได้ศึกษาถึงการตั้งค่าพารามิเตอร์ GA เพื่อหาคำตอบของฟังก์ชันวัตถุประสงค์ทั่วไปที่ใช้กลุ่มประชากรไม่มาก โดยสรุปได้ว่าควรใช้กลุ่มประชากรจำนวน 30 ตัวอย่าง แต่ไม่ได้มีการระบุถึงจำนวนรุ่นของประชากร ใช้วิธีผสมข้ามสายพันธุ์แบบสองตำแหน่ง โดยใช้อัตราการผสมข้ามเท่ากับ 0.9 และใช้อัตราการเปลี่ยนแปลงค่ายีนส์เท่ากับ 0.01 ต่อมา De Jong และ Spears (1990) [29] ได้ศึกษา

ถึงการตั้งค่าเพื่อให้เป็นมาตรฐานสำหรับระเบียบขั้นตอนวิธีเชิงพันธุกรรมส่วนใหญ่ โดยพารามิเตอร์ชุดนี้จะทำให้การคำนวณดีขึ้นกว่าชุดพารามิเตอร์ที่ผ่านมา จากการศึกษาพบว่า ต้องกำหนดขนาดจำนวนประชากรเท่ากับ 50 มีจำนวนรุ่นของกลุ่มประชากรทั้งหมด 1,000 รุ่น ใช้วิธีผสมข้ามสายพันธุ์แบบสองตำแหน่ง โดยมีอัตราส่วนของการผสมข้ามเท่ากับ 0.6 และใช้อัตราการเปลี่ยนแปลงค่ายีนส์เท่ากับ 0.001 ซึ่งแตกต่างไปจากงานวิจัยก่อนหน้านี้ จากนั้น Goldberg และคณะ (1992) [30] ได้สร้างสมการสำหรับหาขนาดของประชากรขึ้นเป็นครั้งแรกและได้รับการถกเถียงโดย Harik และคณะ (1997) [31] ต่อจากนั้น Muhlenbein (1992) [32] และ Back (1993) [33] ได้ตรวจสอบผลกระทบของอัตราการกลายพันธุ์ต่อประสิทธิภาพของ GA พบว่า มีค่าเท่ากับ  $1/2$  สำหรับปัญหาที่มีวัตถุประสงค์เดียว เมื่อ  $l$  คือค่าความยาวของปัญหา

จากงานวิจัยข้างต้นแสดงให้เห็นว่าวิธีเชิงทฤษฎีสามารถนำมาใช้ในการกำหนดค่าพารามิเตอร์ได้เพียงบางค่าเท่านั้น แต่ถ้าหากต้องการกำหนดค่าพารามิเตอร์ที่ละหลายชุด การใช้วิธีการนี้ก็เป็นเรื่องยากและไม่เหมาะสม ดังนั้นจึงมีนักวิจัยหลายท่านที่นำเอาวิธีเชิงประจักษ์มาใช้ในการกำหนดค่าพารามิเตอร์เช่น De Jong (1975) [34] พบว่าขนาดของประชากรมากจะทำให้ GA มีประสิทธิภาพดีในการคำนวณระยะยาว แต่ในทางกลับกัน ขนาดประชากรน้อยจะตอบสนองการค้นหาคำตอบได้ดีในช่วงเริ่มต้น โดยอัตราการผสมข้ามและอัตราการกลายพันธุ์จะมีค่าประมาณ 0.60 และ 0.001 ตามลำดับ ส่วนขนาดประชากรจะมีค่าระหว่าง 50-100 ต่อมา Grafenstette (1986) [35] ได้ศึกษาในแนวทางเดียวกับ De Jong พบว่าควรมีขนาดของประชากรเท่ากับ 30 อัตราการผสมข้ามและอัตราการกลายพันธุ์เป็น 0.95 และ 0.01 ตามลำดับ จากนั้น Schaffer และคณะ (1989) [36] ได้ศึกษาเพิ่มเติมต่อจากงานวิจัยของ De Jong เช่นกันพบว่า ควรใช้จำนวนประชากร 20-30 อัตราการผสมข้ามมีค่า 0.70-0.95 และอัตราการกลายพันธุ์มีค่า 0.005-0.01 จากผลการศึกษาของนักวิจัยทั้งสองท่านพบว่า ขนาดของประชากรและอัตราการกลายพันธุ์ แตกต่างไปจากงานวิจัยที่ De Jong [34] ได้เคยศึกษาไว้ในก่อนหน้านี้ ต่อจากนั้นงานวิจัยของ Alvarez [37] (2002) และ Ernian Pan และคณะ (2012) [38] ได้ศึกษาถึงผลของการปรับค่าพารามิเตอร์ โดยได้สามารถสรุปว่าการปรับชุดพารามิเตอร์มีผลโดยตรงต่อประสิทธิภาพในการค้นหาคำตอบ ซึ่งหากมีการกำหนดชุดพารามิเตอร์ที่เหมาะสมจะช่วยลดขั้นตอนการทำงานของคอมพิวเตอร์ลงได้และทำให้กระบวนการค้นหาคำตอบมีประสิทธิภาพที่ดียิ่งขึ้น

สำหรับในงานวิศวกรรมชีวทางได้มีนักวิจัยหลายท่านที่ได้ศึกษาการกำหนดค่าพารามิเตอร์ที่เหมาะสมสำหรับการคำนวณย้อนกลับ เช่น Reddy และคณะ [9] เป็นต้น ได้ศึกษาเพื่อเลือกชุดพารามิเตอร์ที่เหมาะสม จากการสุ่มชุดพารามิเตอร์จำนวน 4 พารามิเตอร์คือ จำนวนรุ่นสูงสุด ขนาดประชากร อัตราการผสมข้าม และอัตราการกลายพันธุ์ โดยได้สุ่มพารามิเตอร์ทั้งหมด 1,200 ชุด

และทดสอบประสิทธิภาพของชุดพารามิเตอร์ที่เลือกกับ โครงสร้างชั้นทางที่สมมุติขึ้นซึ่งมีรายละเอียด ดังตารางที่ 2.3 โดยผลการศึกษาของ Reddy และคณะ [9] ได้ชุดพารามิเตอร์ที่เหมาะสม ซึ่งแสดง รายละเอียดร่วมกับนักวิจัยท่านอื่น ๆ ดังตารางที่ 2.4

**ตารางที่ 2.3** ลักษณะ โครงสร้างชั้นทางที่ Reddy และคณะสมมุติขึ้น [9]

| No. | Layer Moduli [Mpa] |       |       | Layer Thickness [mm] |       |
|-----|--------------------|-------|-------|----------------------|-------|
|     | $E_1$              | $E_2$ | $E_3$ | $H_1$                | $H_2$ |
| 1   | 700                | 180   | 45    | 90                   | 600   |
| 2   | 900                | 150   | 45    | 225                  | 450   |
| 3   | 650                | 200   | 55    | 150                  | 600   |
| 4   | 2500               | 400   | 90    | 125                  | 300   |
| 5   | 1,000              | 300   | 40    | 95                   | 300   |
| 6   | 2,000              | 350   | 95    | 225                  | 425   |
| 7   | 2200               | 500   | 90    | 155                  | 450   |
| 8   | 1500               | 350   | 50    | 150                  | 500   |
| 9   | 700                | 125   | 60    | 95                   | 275   |
| 10  | 1200               | 200   | 50    | 200                  | 350   |

**ตารางที่ 2.4** สรุปค่าพารามิเตอร์ที่ใช้ในการคำนวณย้อนกลับหาค่าโมดูลัสชั้นทาง

| โปรแกรม          | นักวิจัย                    | จำนวน<br>รุ่น | จำนวน<br>ประชากร | การ<br>ผสม | การกลาย<br>พันธุ์      | CE *    | จำนวน<br>ชั้นทาง |
|------------------|-----------------------------|---------------|------------------|------------|------------------------|---------|------------------|
| NUS-GABACK 1     | Fwa et al. (1997) [21]      | 60            | 40               | 0.85       | 0.15                   | 2040    | 3                |
| NUS-GABACK 2     | Fwa et al. (1997) [21]      | 60            | 150              | 0.85       | 0.15                   | 7650    | 3                |
| NUS-GABACK 3     | Fwa et al. (1997) [21]      | 60            | 120              | 0.85       | 0.15                   | 6120    | 4                |
| (Kameyama)1      | Kameyama et al. (1997) [22] | 50            | 42-593           | แปรผัน     | แปรผัน                 | ไม่ระบุ | 4                |
| (Kameyama)2      | Kameyama et al. (1997) [22] | 50            | 150              | แปรผัน     | แปรผัน<br>(แบบไดนามิก) | ไม่ระบุ | 3                |
| (Hunaidi et al.) | Hunaidi et al. (1998) [39]  | 50            | 100              | 0.5        | 0.02<br>(0.04 แบบสืบ)  | 2500    | 3                |
| (Tsai et al.)    | Tsai et al. (2004) [40]     | 500           | 50               | ไม่ระบุ    | ไม่ระบุ                | ไม่ระบุ | 3                |
| BACKGA Best      | Reddy et al. (2004) [9]     | 100           | 60               | 0.9        | 0.02                   | 5400    | 3                |
| BACKGA Selected  | Reddy et al. (2004) [9]     | 60            | 60               | 0.74       | 0.1                    | 2664    | 3, 4             |
| GAPAVE1          | Park et al. (2006) [24]     | 100           | 70               | 0.64       | 0.01                   | 4480    | -                |
| GAPAVE2          | Park et al. (2006) [24]     | 140           | 120              | 0.86       | 0.05                   | 14448   | -                |
| BACKGENETIC3D    | Alkasawneh (2007) [17]      | 100           | 100              | 0.75       | 0.001                  | 7500    | 3                |
| (Senseny)        | Senseny et al. (2013) [41]  | 60            | 60               | 0.5        | 0.1                    | 1800    | 2                |

\*การะการคำนวณผลของคอมพิวเตอร์ (Computational Effort):  $CE = \text{จำนวนรุ่น} \times \text{จำนวนประชากร} \times \text{การผสมข้าม}$

จากงานวิจัยของหลาย ๆ ท่านที่ได้ศึกษาเกี่ยวกับ การเลือกชุดพารามิเตอร์ที่เหมาะสมเพื่อเพิ่มประสิทธิภาพของ GA แสดงให้เห็นว่า ชุดพารามิเตอร์ของ GA ที่ดีที่สุดนั้นไม่ได้มีรูปแบบของค่าพารามิเตอร์ที่แน่นอน ทั้งนี้รูปแบบของชุดพารามิเตอร์อาจขึ้นอยู่กับเป้าหมายของการค้นหาคำตอบ ดังนั้นในงานวิจัยนี้จึงเลือกใช้วิธีการศึกษาสำนึก (Heuristics) ในการค้นหาเพื่อเลือกชุดพารามิเตอร์ที่เหมาะสมทั้ง 9 พารามิเตอร์

## 2.7 ทฤษฎีการสุ่มตัวอย่าง

ในงานวิจัยนี้ได้มีการสุ่มสร้างชุดพารามิเตอร์ที่แตกต่างกัน ซึ่งเป็นการเลือกชุดพารามิเตอร์มาเพียงบางส่วน เพื่อนำมาใช้เป็นตัวแทนของชุดพารามิเตอร์ที่มีโอกาสจะเป็นชุดที่เหมาะสม โดยทฤษฎีการสุ่มตัวอย่างแบ่งประเภทการสุ่มตัวอย่างออกเป็น 2 ประเภทใหญ่ ๆ คือ

### 2.7.1 การสุ่มตัวอย่างในเชิงเป็นไปได้ (Probability Sampling)

เป็นการสุ่มตัวอย่างที่สามารถกำหนดได้ว่าทุกภาคส่วนของประชากรมีโอกาสได้รับเลือกเป็นตัวอย่างเท่ากัน การสุ่มแบบนี้มีหลายวิธีดังนี้

1. การสุ่มตัวอย่างแบบง่าย (Simple Random Sampling) เป็นการสุ่มตัวอย่างที่ประชากรทุกภาคส่วนมีโอกาสเท่าเทียมกันที่จะได้รับการคัดเลือกเป็นตัวอย่าง โดยแบ่งออกเป็น 2 วิธีคือ

1) วิธีตารางเลขสุ่ม เป็นการนำจำนวนขนาดตัวอย่างไปสุ่มในตารางสำเร็จรูปที่ได้สร้างไว้แล้ว จากนั้นกำหนดหลักในการสุ่มเลือกและทำการสุ่มตามข้อกำหนด จนได้ตามจำนวนที่ต้องการ

2) วิธีการจับฉลาก โดยการกำหนดหมายเลขกำกับประชากรตัวอย่าง แต่ละรายการก่อนแล้วจึงจับฉลากขึ้นมา ซึ่งวิธีการจับฉลากอาจใช้ 2 แบบคือ

(1) ไม่สุ่มประชากรที่เคยถูกสุ่มแล้ว (Simple Random Sampling without Replacement)

(2) สุ่มประชากรที่เคยถูกสุ่มแล้ว (Sample Random Sampling with Replacement)

2. การสุ่มตัวอย่างแบบมีระบบ (Systematic Sampling) การสุ่มแบบนี้จะต้องอาศัยบัญชีรายการเกี่ยวกับประชากรกลุ่มเป้าหมาย โดยเลือกตามจำนวนที่กำหนดไว้ เช่น ประชากรจำนวน 1,000 ตัวอย่าง ต้องการตัวอย่างจำนวน 100 ตัวอย่าง โดยทำการเลือกทุก ๆ 10 หน่วย

3. การสุ่มตัวอย่างแบบแบ่งชั้น (Stratified Random Sampling) การสุ่มตัวอย่างแบบนี้ต้องแยกประเภทของประชากรเป็นกลุ่มย่อยหรือชั้นก่อน แล้วจึงสุ่มตัวอย่างแยกกันคนละกลุ่ม โดยวิธีการสุ่มตัวอย่างแบบง่าย หรือ การสุ่มตัวอย่างแบบมีระบบ

4. การสุ่มตัวอย่างแบบกลุ่ม (Cluster Sampling) คือการสุ่มตัวอย่างประชากรโดยแบ่งประชากรออกเป็นกลุ่มๆ ให้แต่ละกลุ่มมีความแตกต่างกัน คือมีความแตกต่างกันภายในกลุ่ม เช่น การสุ่มตัวอย่างโดยการแบ่งตามประเภท

5. การสุ่มตัวอย่างในทุกขั้นตอน (Multi Stage Sampling) เป็นการเลือกสุ่มโดยสุ่มย่อยลงไปเรื่อย ๆ ลำดับ เช่น สุ่มเลือกชนิด จากนั้นสุ่มเลือกชุด แล้วจึงสุ่มเลือกประชากร

### 2.7.2 การสุ่มตัวอย่างในเชิงเป็นไปได้ (Non-Probability Sampling)

เป็นการสุ่มตัวอย่างโดยไม่อาจกำหนดได้ว่าทุกส่วนของประชากรมีโอกาสได้รับการคัดเลือกโดยเท่ากัน ซึ่งทำให้ไม่สามารถจะคาดคะเนหรือคำนวณหาความผิดพลาดในการสุ่มเลือกตัวอย่างได้ การสุ่มแบบนี้มีหลายวิธีคือ

1. การสุ่มตัวอย่างแบบบังเอิญ (Accidental Sampling) เช่น เมื่อพบประชากรตัวอย่างที่ตรงตามความต้องการ ก็นำมาใช้งานทันที

2. การสุ่มตัวอย่างโดยวิธีการจัดสรรโควตา (Quota Sampling) เป็นการสุ่มตัวจัดสรรโควตาตัวอย่างให้แต่ละกลุ่มตามสัดส่วนของปริมาณประชากรที่แบ่งกลุ่มไว้ ตามจำนวนที่ระบุไว้ก่อนหน้า

3. การสุ่มตัวอย่างแบบเจาะจง (Purposive Sampling) โดยจะเลือกศึกษาจากประชากรที่มีลักษณะตรงตามวัตถุประสงค์ที่จะศึกษา

4. การสุ่มตัวอย่างพิจารณาตามความสะดวก (Convenience Sampling) โดยจะเลือกศึกษากลุ่มประชากรที่เห็นว่าง่ายต่อการศึกษา

โดยในงานวิจัยนี้เลือกใช้วิธีการสุ่มตัวอย่างแบบง่าย โดยใช้วิธีจับฉลากที่มีการสุ่มประชากรที่เคยถูกสุ่มแล้ว หรืออีกนัยหนึ่งคือ เป็นการสุ่มที่มีการเลือกซ้ำได้ ซึ่งจัดอยู่ในการสุ่มตัวอย่างแบบเป็นไปได้ เนื่องค่าพารามิเตอร์ที่ใช้ในการสุ่มนั้น มีการกำหนดขอบเขตการสุ่ม โดยอ้างอิงจากฐานข้อมูลค่าพารามิเตอร์ของงานวิจัยที่เคยมีการศึกษาไว้ก่อนหน้า [12, 17, 19, 22, 29] โดยในงานวิจัยนี้ใช้คำสั่ง RANDBETWEEN ของโปรแกรม Microsoft Excel 2013 ในการสุ่ม

## 2.8 การวิเคราะห์เพื่อเลือกชุดพารามิเตอร์

ในการวิเคราะห์หาค่าพารามิเตอร์ที่เหมาะสมให้กับ โปรแกรมเกมเล็ก มีค่าที่ใช้เป็นดัชนีเพื่อเลือกชุดพารามิเตอร์ที่เหมาะสมดังนี้

### 2.8.1 ค่าคลาดเคลื่อนของค่าโมดูลัสชั้นทาง (Moduli Error, $E_{err}$ )

เป็นค่าคลาดเคลื่อนของค่าโมดูลัสชั้นทางที่ได้จากการคำนวณเทียบกับค่าโมดูลัสชั้นทางที่กำหนดไว้ในแบบจำลอง เพื่อใช้ประกอบการวิเคราะห์หาค่าพารามิเตอร์ที่เหมาะสมที่ให้ค่าความคลาดเคลื่อนในระดับที่ยอมรับได้ โดยมีวิธีการคำนวณดังสมการที่ 2.6

$$E_{err} = \sqrt{\frac{\sum_{i=1}^n \left( \frac{E_{ir} - E_i}{E_{ir}} \right)^2}{N}} \quad (2.6)$$

โดยที่

$E_{ir}$  = ค่าโมดูลัสชั้นทางที่กำหนดในแบบจำลองของชั้นทางที่  $i$

$E_i$  = ค่าโมดูลัสชั้นทางที่ได้จากการคำนวณของชั้นทางที่  $i$

$N$  = จำนวนชั้นทาง

### 2.8.2 ค่าภาระการคำนวณของคอมพิวเตอร์ (Computational Effort, $CE$ )

เป็นค่าผลคูณระหว่าง จำนวนประชากร จำนวนรุ่นของประชากร และอัตราของการผสมข้าม ซึ่งใช้สำหรับชี้วัดภาระการคำนวณของคอมพิวเตอร์ โดยหากชุดพารามิเตอร์ใดมีค่า  $CE$  มาก แสดงว่าพารามิเตอร์ชุดนั้นสร้างภาระในการคำนวณสูง โดยมีวิธีการคำนวณดังสมการที่ 2.7 [41]

$$CE = numpop \times maxgen \times pcross \quad (2.7)$$

โดยที่

$numpop$  = ขนาดของประชากร

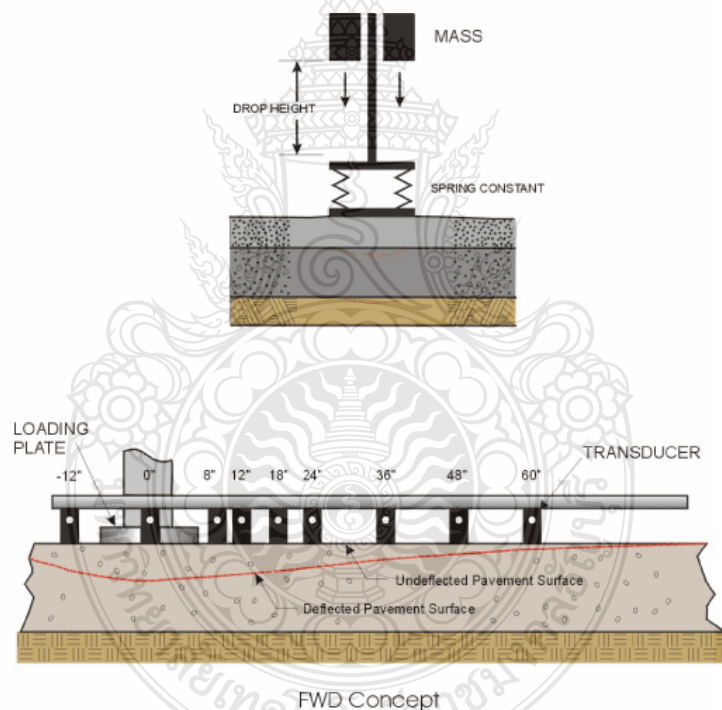
$maxgen$  = จำนวนรุ่นของประชากร

$pcross$  = อัตราของการผสมข้าม

## 2.9 การทดสอบหาค่าการยุบตัวด้วยเครื่องมือ FWD ในสนาม

การใช้เครื่องมือทดสอบหาค่าการยุบตัวด้วยลูกตุ้มกระแทก (Falling-Weight Deflectometer, FWD) เป็นการทดสอบความแข็งแรงของโครงสร้างทางไม่ทำลาย (NDT) แบบใช้แรงกระตุ้น (Impulse Device) ที่กำลังได้รับความนิยม เนื่องจากเป็นการทดสอบที่ไม่ทำลายชั้นผิวทาง

ที่เป็นสาเหตุให้ผู้ใช้งานรู้สึกไม่สะดวกสบายในการสัญจร และมีความปลอดภัยต่อผู้ปฏิบัติงานขณะทำการทดสอบ รวมถึงสามารถทำการทดสอบได้อย่างรวดเร็ว โดยมีส่วนประกอบที่สำคัญ ได้แก่ ก้อนน้ำหนัก แผ่นยางกันกระแทกที่ทำหน้าที่คล้ายสปริง ที่วัดอุณหภูมิ รวมถึงตัวรับสัญญาณ (Geophones) และกลไกควบคุมการยกและปล่อยก้อนน้ำหนัก ซึ่งเป็นระบบอิเล็กทรอนิกส์-ไฮดรอลิก ที่ควบคุมด้วยระบบคอมพิวเตอร์ดังรูปที่ 2.7 โดยก้อนน้ำหนักสามารถจำลองน้ำหนักกระทำที่กระทำต่อโครงสร้างทางได้ในลักษณะคล้ายกับน้ำหนักลงเพลามาตรฐาน การวัดค่าการยุบตัวนั้น โดยทั่วไปตัวรับสัญญาณ 6 ถึง 9 ตัว โดยมีตัวรับสัญญาณ หนึ่งตัวทำหน้าที่วัดค่าการยุบตัวของโครงสร้างทางที่ตำแหน่งกึ่งกลางของแผ่นรองรับน้ำหนักทดสอบ จากนั้นตัวรับสัญญาณจะรับข้อมูลการค่ายุบตัวที่เกิดจากน้ำหนักที่กระทำต่อผิวทางและส่งไปยังคอมพิวเตอร์เพื่อเก็บบันทึกข้อมูลสำหรับการประมาณค่าโมดูลัสชั้นทางต่อไป



รูปที่ 2.7 ลักษณะการทำงานของเครื่องมือ FWD [42]

ในการทดสอบโดยใช้เครื่องมือ FWD สามารถทำได้โดยอิสระ (Stand Alone System) โดยไม่ต้องใช้รถบรรทุกขนาดมาตรฐานเนื่องจาก เครื่อง FWD สามารถผลิตน้ำหนักกระแทกขึ้นเองได้ ซึ่งทำให้เกิดความสะดวก รวดเร็ว และปลอดภัยต่อผู้ปฏิบัติงานในสนาม โดยการทำงานของ

เครื่องมือ FWD เริ่มจากการสอบเทียบระยะยกก่อนน้ำหนักเพื่อให้เครื่องมือคำนวณความสูงของการยกก่อนน้ำหนักเพื่อผลิตน้ำหนักที่ผู้ทดสอบใช้ในการทดสอบได้อย่างแม่นยำทำงาน เมื่อเริ่มทำการทดสอบ เครื่องมือจะยกก่อนน้ำหนักขึ้นตามความสูงที่คำนวณไว้ จากนั้นจะปล่อยก่อนน้ำหนัก กระแทกกับแผ่นรองรับน้ำหนักเพื่อถ่ายน้ำหนักไปยังผิวทาง เมื่อผิวทางมีการยุบตัวเกิดขึ้น ตัวรับสัญญาณหรืออุปกรณ์วัดค่าการยุบตัวแต่ละตำแหน่งจะทำการวัดและส่งค่าไปยังคอมพิวเตอร์เพื่อเก็บบันทึก ซึ่งตำแหน่งของอุปกรณ์วัดค่าการยุบตัวนั้น ผู้ใช้สามารถเลือกปรับได้ แต่โดยทั่วไปแล้วจะมีตำแหน่งการวางตัวที่เป็นมาตรฐานในการทำงาน เช่น ที่ระยะ 0, 200, 350, 400, 600, 900, 1200, 1500 และ 1,800 มม. หรือจากข้อเสนอแนะของแต่ละหน่วยงานดังแสดงในตารางที่ 2.5

**ตารางที่ 2.5** ตัวอย่างตำแหน่งการวางตัวของอุปกรณ์วัดค่าการยุบตัวที่ใช้ในแต่ละหน่วยงาน [43]

| Agency             | Configuration Name | Sensor Distance from Center of Load Plate, in (cm) |            |            |            |             |             |             |
|--------------------|--------------------|--|------------|------------|------------|-------------|-------------|-------------|
|                    |                    | Sensor 1   | Sensor 2   | Sensor 3   | Sensor 4   | Sensor 5    | Sensor 6    | Sensor 7    |
| U.S. Air Force     | AF 7-Sensor        | 0  | 12<br>(30) | 24<br>(60) | 36<br>(90) | 48<br>(120) | 60<br>(150) | 72<br>(180) |
| FHWA and State DOT | SHRP 4-Sensor      | 0  | 12<br>(30) | 24<br>(60) | 36<br>(90) | -           | -           | -           |
|                    | SHRP 7-Sensor      | 0  | 6<br>(15)  | 12<br>(30) | 18<br>(45) | 24<br>(60)  | 36<br>(90)  | 60<br>(150) |

### 2.9.1 ข้อควรพิจารณาในการทดสอบด้วยเครื่องมือ FWD

ก่อนนำเครื่องมือ FWD ไปใช้งานควรมีการตรวจสอบ แก้ว และสอบเทียบก่อน ทั้งนี้เพื่อเครื่องสามารถทำงานได้อย่างปกติและผลข้อมูลการทดสอบมีความถูกต้อง โดยมีข้อควรพิจารณาดังนี้ [44]

1. การสอบเทียบมาตรฐาน (Calibration Process) ก่อนเริ่มต้นทำการทดสอบในภาคสนาม ควรมีการสอบเทียบเพื่อให้เป็นไปตามมาตรฐานที่ผู้ผลิตตั้งก่อนไว้ทุกครั้ง เช่น ขนาดของแรงกระแทก ตำแหน่งของอุปกรณ์วัดค่าการยุบตัว ระบบไฮดรอลิก ชุดวัดอุณหภูมิ การจ่ายพลังงาน การถ่ายโอนข้อมูลเข้าสู่คอมพิวเตอร์ เป็นต้น



2. ขนาดเส้นผ่าศูนย์กลางแผ่นเหล็ก (Load Plate Diameter) มีอยู่ 2 ขนาด คือ 300 มม. และ 450 มม. โดยแผ่นเหล็กขนาดใหญ่ (450 มม.) นิยมใช้ทดสอบบนชั้นพื้นทางหรือรองพื้นทางซึ่งเป็นชั้นที่ไม่เป็นวัสดุประสานเนื่องจากสามารถกระจายน้ำหนักได้กว้างกว่า ส่วนแผ่นเหล็กขนาดเล็ก (300 มม.) จะนิยมใช้ทดสอบบนผิวทางที่เป็นวัสดุแบบประสาน (Bound Surface Materials)

3. ตำแหน่งและจำนวนของเซ็นเซอร์วัดค่ายุบตัว (Sensor Spacing and Number) โดยจะต้องจัดตำแหน่งให้ได้ตามที่ได้กำหนดไว้ ซึ่งข้อพิจารณาพื้นฐาน คือ การจัดตำแหน่งเซ็นเซอร์ให้ครอบคลุมแอ่งการยุบตัวที่จะประเมินความแข็งแรงชั้นทาง

4. ระยะเวลาการกระตุ้นด้วยแรง (Pulse Duration) ซึ่งเป็นระยะเวลาที่น้ำหนักกระแทกกระทำต่อจุดทดสอบ ซึ่งงานมาตรฐาน เช่น FAA และ ASTM [43] ได้แนะนำให้ใช้ค่าในช่วง 20 ถึง 60 มิลลิวินาที ซึ่งโดยทั่วไปค่าที่วัดได้จากเครื่องมือ FWD อยู่ที่ประมาณ 25-30 มิลลิวินาที [45]

5. น้ำหนักค้อนกระแทก (Impulse Load) ที่ใช้ทดสอบ โดยทั่วไปนั้น ผิวทางถนนจะใช้น้ำหนักในการทดสอบที่ 80 kN ส่วนของสนามบินพลเรือนนั้นอยู่ระหว่าง 90 kN ถึง 245 kN [46] ซึ่งการเลือกขนาดน้ำหนักนอกจากจะเลือกให้สอดคล้องกับน้ำหนักยานพาหนะที่ให้ออกแบบแล้ว ต้องพิจารณาความหนาของโครงสร้างผิวทางด้วย โดยน้ำหนักที่เลือกใช้นั้นต้องทำให้เกิดค่าการยุบตัวอยู่ในช่วงเกณฑ์ที่ทางผู้ผลิตกำหนดด้วย โดยตารางที่ 2.6 แสดงรายละเอียดของเครื่องมือ FWD แต่ละรุ่น

## 2.9.2 การวิเคราะห์ผลการทดสอบ

ในงานวิจัยนี้ได้นำเอาค่าการยุบตัวที่ได้จากการทดสอบด้วยเครื่องมือ FWD โดยก่อนนำข้อมูลค่าการยุบตัวมาใช้ จะต้องมีการปรับแก้ค่าการยุบตัวเข้าสู่น้ำหนักมาตรฐาน (Normalization) เสียก่อน ทั้งนี้เพื่อให้น้ำหนักที่ใช้ทดสอบเป็นไปในแนวทางเดียวกัน และลดการข้อผิดพลาดที่เกิดจากการปัดเศษ (Round-Off Error) ของหน่วยน้ำหนักที่ใช้ทดสอบ โดยการปรับแก้ค่าการยุบตัวสามารถคำนวณได้ดังสมการที่ 2.8 [47]

$$d_{i(n)} = \left( \frac{L_{norm}}{L_{applied}} \right) \times d_i \quad (2.8)$$

โดยที่

$d_{i(n)}$  = ค่าการยุบปรับแก้ในตำแหน่งที่  $i$

$d_i$  = ค่าการยุบตัวในตำแหน่งที่  $i$

$L_{norm}$  = น้ำหนักมาตรฐาน

$L_{applied}$  = น้ำหนักที่ใช้ทดสอบ

ตารางที่ 2.6 รายละเอียดทางเทคนิคของเครื่องมือ FWD แต่ละรุ่น [43]

|   | Dynatest   | Foundation Mechanics, Inc. | KUAB  | Carl Bro Group                                       |
|---|--|----------------------------|---|--|
| Load Range, lb (kN)                     | 1,500 - 54,000 (7 - 240)                             | 1,500 - 54,000 (7 - 240)   | 1,500 - 66,000 (7 - 300)                          | 1,500 - 56,000 (7 - 250)                             |
| Load Duration, milliseconds             | 25 - 30 ms   | Selectable                 | 56 ms   | 25 - 30 ms   |
| Load Rise Time                          | Variable   | Selectable                 | 28 millisecond                                    | 12 - 15 ms   |
| Load Generator                          | One-Mass   | Two-Mass                   | One-Mass  | One-Mass   |
| Type of Load Plate                      | Rigid with Rubberized Pad or Split Plate             | Rigid with Rubberized Pad  | Segmented or Nonsegmented with Rubberized Pads    | Four Segmented Plate with Rubberized Pad             |
| Diameter of Load Plate, in (cm)         | 12 And 18 (30 And 45)                                | 12 And 18 (30 And 45)      | 12 And 18 (30 And 45)                             | 12 And 18 (30 And 45)                                |
| Type of Deflection Sensors              | Geophones with or without Dynamic Calibration Device | Geophones                  | Seismometers with Static Field Calibration Device | Geophones with or without Dynamic Calibration Device |
| Deflection Sensor Positions, in (cm)    | 0 - 90 (0 - 225)                                     | 0 - 96 (0 - 240)           | 0 - 72 (0 - 180)                                  | 0 - 96 (0 - 250)                                     |
| Number of Sensors                       | 7 - 9  | 7                          | 7   | 9 - 12   |
| Deflection Sensor Range, mils (mm)      | 80 or 100 (2 or 2.5 Mm)                              | 80 (2)                     | 200 (5)   | 90 (2.2)   |
| Deflection Resolution                   | 1 im (0.04 mils)                                     | 1 im (0.04 mils)           | 1 im (0.04 mils)                                  | 1 im (0.04 mils)                                     |
| Relative Accuracy of Deflection Sensors | 2 $\mu\text{m} \pm 2\%$                              | 2 $\mu\text{m} \pm 2\%$    | 2 $\mu\text{m} \pm 2\%$                           | 2 $\mu\text{m} \pm 2\%$                              |
| Test Time Required (four loads)         | 25 Seconds   | 30 Seconds                 | 35 Seconds  | 20 Seconds   |
| Type of Computer                        | Personal Computer                                    | Personal Computer          | Personal Computer                                 | Personal Computer                                    |

## บทที่ 3

### วิธีการดำเนินการวิจัย

ในกระบวนการ การคำนวณย้อนกลับโดยใช้ระเบียบขั้นตอนวิธีเชิงพันธุกรรมเพื่อหาความแข็งแรงของโครงสร้างทางนั้นมีความจำเป็นอย่างยิ่งที่จะต้องใส่ค่าพารามิเตอร์ในการตั้งค่าการทำงานของโปรแกรม ซึ่งจากงานวิจัยที่ผ่านมาในหลายๆ ฉบับ นักวิจัยแต่ละท่านต่างก็มุ่งหวังที่จะเลือกชุดพารามิเตอร์ที่เหมาะสมให้กับแต่ละ โปรแกรม ซึ่งในงานวิจัยฉบับนี้ก็มุ่งหวังที่จะเลือกชุดพารามิเตอร์ที่เหมาะสมให้กับ โปรแกรมเกมเล็ก เพื่อให้สามารถคำนวณย้อนกลับเพื่อหาค่าโมดูลัสชั้นทางได้อย่างมีประสิทธิภาพและรวดเร็วมากยิ่งขึ้น

วิธีการดำเนินงานในการศึกษาวิจัยในขั้นตอนนี้เป็นวิธีการวิจัยในเชิงวิเคราะห์และทดลอง ซึ่งวิธีที่ใช้ในการวิจัยทั้งหมดเป็นไปตามขั้นตอนการวิจัยดังที่ได้กล่าวไว้ในบทที่ 1 ดังนี้

1. ศึกษารวบรวมทฤษฎีและงานวิจัยที่เกี่ยวข้อง
2. ศึกษาลักษณะ โครงสร้างชั้นทางและน้ำหนักบรรทุกที่สอดคล้องกับที่ใช้ในประเทศไทย
3. สร้างแบบจำลองและวิเคราะห์ค่าการยุบตัว ด้วยโปรแกรม BISAR 3.0
4. ศึกษาและสร้างชุดพารามิเตอร์จากการสุ่มเพื่อใช้ในการวิเคราะห์ประสิทธิภาพในการคำนวณ
5. ทดสอบชุดพารามิเตอร์ที่สร้างขึ้นเพื่อประเมินประสิทธิภาพในการคำนวณ
6. วิเคราะห์ประสิทธิภาพในการคำนวณจากชุดพารามิเตอร์เพื่อให้มีความเหมาะสมระหว่างความถูกต้องของคำตอบและการคำนวณของคอมพิวเตอร์
7. ทดสอบชุดพารามิเตอร์ที่ได้รับการคัดเลือกกับแบบจำลอง โครงสร้างชั้นทางที่สร้างขึ้นเพื่อประเมินประสิทธิภาพของชุดพารามิเตอร์
8. นำชุดพารามิเตอร์มาใช้งานกับข้อมูลการทดสอบจริงในสนาม
9. เปรียบเทียบประสิทธิภาพกับโปรแกรมในเชิงพาณิชย์
10. สรุปผลข้อมูลและรวบรวมผลการศึกษา
11. จัดทำรูปเล่มวิทยานิพนธ์และตีพิมพ์เพื่อเผยแพร่ในการประชุมวิชาการหรือวารสารวิชาการระดับชาติ

### 3.1 เครื่องมือที่ใช้ในงานวิจัย

3.1.1 โปรแกรม BISAR 3.0 เป็นโปรแกรมวิเคราะห์หาพฤติกรรมทางกลศาสตร์วิศวกรรมของโครงสร้างทาง โดยในงานวิจัยนี้ใช้สำหรับวิเคราะห์หาค่าการยุบตัวของแบบจำลองโครงสร้างทาง ซึ่งเป็นการจำลองแทนการทดสอบด้วยเครื่อง FWD

3.1.2 โปรแกรมแกมเลียท 308 เป็นโปรแกรมคำนวณย้อนกลับหาค่าโมดูลัสชั้นทางโดยใช้ระเบียบขั้นตอนวิธีเชิงพันธุกรรมเป็นกระบวนการคำนวณย้อนกลับ ซึ่งในงานวิจัยนี้เป็นการหาค่าพารามิเตอร์ที่เหมาะสมสำหรับโปรแกรมนี้

3.1.3 โปรแกรม PAVERS 2.8 เป็นโปรแกรมคำนวณย้อนกลับหาค่าโมดูลัสชั้นทางที่ใช้ในเชิงพาณิชย์ โดยในงานวิจัยนี้ได้นำมาเปรียบเทียบความแม่นยำของผลการคำนวณย้อนกลับกับโปรแกรมแกมเลียทที่ตั้งค่าด้วยชุดค่าพารามิเตอร์ที่เหมาะสม

3.1.4 เครื่องมือทดสอบการยุบตัวด้วยลูกตุ้มกระแทก (FWD) เป็นเครื่องมือทดสอบการยุบตัวในสนาม โดยในงานวิจัยนี้ใช้ผลการทดสอบที่ได้จากเครื่องมือรุ่น Dynatest Model 8000 ดังรูปที่ 3.1



รูปที่ 3.1 เครื่องมือทดสอบการยุบตัวด้วยลูกตุ้มกระแทก รุ่น Dynatest Model 8000

3.1.5 เครื่องมือ Ground Penetrating Radar (GPR) เป็นเครื่องมือตรวจสอบความหนาชั้นทางในสนาม โดยในงานวิจัยนี้ใช้ความหนาชั้นทางจากข้อมูลผลการทดสอบ GPR โดยตัวอย่างของเครื่องมือ GPR ดังแสดงในรูปที่ 3.2



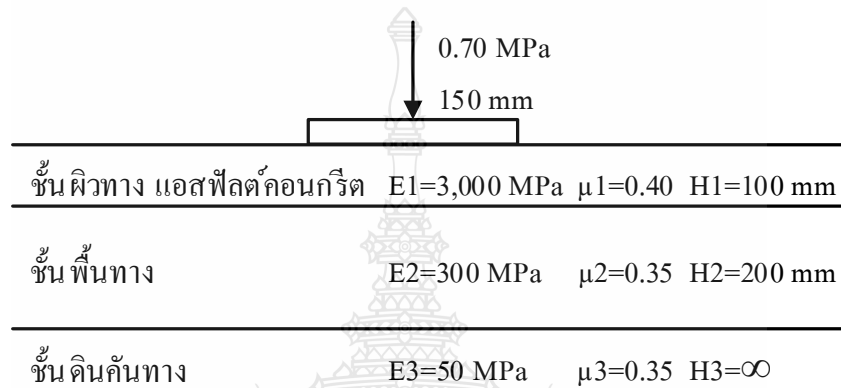
รูปที่ 3.2 เครื่องมือ Ground Penetrating Radar (GPR)

### 3.2 วิธีการดำเนินงาน

#### 3.2.1 จำลองการทดสอบด้วยเครื่อง FWD กับแบบจำลอง โครงสร้างชั้นทาง

ทำการสร้างแบบจำลองโครงสร้างชั้นทาง โดยสมมติให้เป็นผิวทางแบบยึดหยุ่นที่มีลักษณะใกล้เคียงกับถนนลาดยางที่ก่อสร้างจริงในประเทศไทย โดยมีลักษณะชั้นทางดังรูปที่ 3.3 จากนั้นคำนวณแอมพลิจูดด้วยโปรแกรม BISAR ซึ่งเป็นการจำลองการทดสอบเครื่อง FWD เพื่อนำค่าที่ได้ ไปใช้ในการคำนวณย้อนกลับหาความแข็งแรงของโครงสร้างชั้นทาง โดยแบบจำลองโครงสร้างชั้นทางมีรายละเอียดดังนี้

1. ใช้แรงดันที่กระทำกับผิวทางขนาด 700 kPa (น้ำหนักลงเพลาดิเยวมาตรฐาน 10 ตัน)
2. ใช้รัศมีของพื้นที่ผิวสัมผัสระหว่างล้อรถกับผิวทาง 150 มม.
3. ค่าอัตราส่วนปัวซงของ ( $\mu$ ) และค่าโมดูลัสยืดหยุ่น ( $E$ ) ตามคุณสมบัติของวัสดุที่เป็นใช้เป็นโครงสร้างทาง
4. ตำแหน่งตัวรับสัญญาณ 8 ตำแหน่ง 0, 200, 300, 450, 600, 900, 1200 และ 1500 มม.



### รูปที่ 3.3 แบบจำลองโครงสร้างโครงสร้างชั้นทางที่ใช้ในการพิจารณา

3.2.2 สร้างและทดสอบชุดพารามิเตอร์เพื่อหาชุดพารามิเตอร์ที่เหมาะสมสำหรับโปรแกรมเกมเล็ก

ในการคำนวณย้อนกลับด้วยโปรแกรมเกมเล็ก ต้องมีการกำหนดค่าข้อมูลนำเข้าซึ่งโปรแกรมเกมเล็กที่ใช้ในงานวิจัยนี้เป็นโปรแกรมรุ่น GAMLET 308 (สามารถวิเคราะห์โครงสร้างทางแบบ 3 ชั้นทาง จากค่าการยุบตัว 8 ตำแหน่ง) โดยมีข้อมูลนำเข้าที่จำเป็นในการวิเคราะห์ดังนี้

1. ค่าความหนาของชั้นทางทั้ง 3 ชั้น
2. ค่าแรงดันที่กระทำต่อผิวทาง
3. ค่าการยุบตัวของโครงสร้างทาง ที่ได้จากโปรแกรม BISAR จำนวน 8 ค่า
4. ค่าพารามิเตอร์ของโปรแกรมเกมเล็ก

โดยข้อมูลนำเข้าลำดับที่ 1 ถึงลำดับที่ 3 เป็นข้อมูลที่ได้จากแบบจำลองในขั้นตอนที่ 3.2.1 ส่วนข้อมูลนำเข้าลำดับที่ 4 ได้มาจากการสร้างชุดพารามิเตอร์ ซึ่งมีขั้นตอนดังนี้

1. ทดสอบการ เปิด-ปิด ชุดพารามิเตอร์ที่เป็นเทคนิคแบบใหม่ของ GA

สร้างชุดพารามิเตอร์ที่มีการปรับเปลี่ยนการ เปิด-ปิด เทคนิคแบบใหม่ของ GA ซึ่งประกอบไปด้วย การผสมข้ามแบบสม่ำเสมอ (ตัวแปร *iunifirm*) การกลายพันธุ์แบบคืบ (ตัวแปร *pcreepmu*) วิธีกลุ่มเฉพาะ (ตัวแปร *niching*) และการคัดเลือกผู้นำ (ตัวแปร *ibstmold*) เพื่อหาค่าที่เหมาะสม

2. ทดสอบหาช่วงของค่าพารามิเตอร์ที่เป็นตัวเลขที่เหมาะสม

สร้างชุดพารามิเตอร์ที่มีการปรับเปลี่ยนค่าพารามิเตอร์ที่เป็นตัวเลขซึ่งประกอบไปด้วยขนาดประชากร (ตัวแปร *numpop*) อัตราความเป็นไปได้ของการผสมข้ามแบบจุดเดียว (ตัวแปร *pcross*) การกลายพันธุ์แบบกระโดด (ตัวแปร *pjumpmu*) การกลายพันธุ์แบบคืบ (ตัวแปร *pcreepmu*) เพื่อหาค่าที่เหมาะสม

3. สร้างชุดพารามิเตอร์ทั้งหมดของ GA จากการสุ่ม เพื่อหาชุดพารามิเตอร์ที่เหมาะสม

สร้างชุดพารามิเตอร์ที่แตกต่างกันจำนวน 2,000 ชุด โดยใช้วิธีการตามทฤษฎีการสุ่มในหัวข้อที่ 2.7 ซึ่งมีขอบเขตการสุ่มของทั้ง 9 พารามิเตอร์ ดังตารางที่ 3.1 โดยใช้งานวิจัยที่ผ่านมา [12, 17, 19, 28] เป็นแนวทางและคำนวณการคำนวณผลของคอมพิวเตอร์ (Computational Effort, CE) ตามสมการที่ 2.7 เพื่อใช้ในการกำหนดขนาดของชุดพารามิเตอร์ โดยในส่วนของค่าโมดูลัสชั้นทางที่เป็นไปได้ มีการกำหนดช่วงในการค้นหาค่าตอบของโปรแกรมดังนี้คือ ชั้นผิวทาง ชั้นพื้นทาง และชั้นดินคันทาง มีค่าระหว่าง 500-10,000 MPa, 50-1,000 MPa และ 10-500 MPa ตามลำดับ

ตารางที่ 3.1 วิธีการเลือกช่วงของค่าพารามิเตอร์สำหรับการคำนวณย้อนกลับด้วยโปรแกรมเกมเล็ท

| พารามิเตอร์  | ขอบเขต      |
|--|-------------|
| จำนวนรุ่นสูงสุด ( <i>maxgen</i> )                              | 40-140      |
| ขนาดของประชากร ( <i>numpop</i> )                               | 40-80       |
| อัตราความเป็นไปได้ของการผสมข้ามแบบจุดเดียว ( <i>pcross</i> )   | 0.70-0.90   |
| อัตราความเป็นไปได้ของการกลายพันธุ์แบบกระโดด ( <i>pjumpmu</i> ) | 0.01-0.05   |
| การปิด-เปิด การผสมข้ามแบบสม่ำเสมอ ( <i>iunifirm</i> )          | on-off      |
| การปิด-เปิด การกลายพันธุ์แบบคืบ ( <i>icreep</i> )              | on-off      |
| อัตราความเป็นไปได้ของการกลายพันธุ์แบบคืบ ( <i>pcreepmu</i> )   | 0.001-0.200 |
| การปิด-เปิด การคัดเลือกผู้นำ ( <i>ibstmold</i> )               | on-off      |
| การปิด-เปิด วิธีกลุ่มเฉพาะ ( <i>niching</i> )                  | on-off      |

### 3.2.3 วิเคราะห์หาชุดพารามิเตอร์ที่เหมาะสม

วิเคราะห์หาชุดพารามิเตอร์ที่เหมาะสมโดยนำมาสร้างกราฟความสัมพันธ์ระหว่างค่า  $CE$  และค่าที่แสดงถึงประสิทธิภาพในการค้นหาคำตอบของโปรแกรมเกมเล็ท เช่น ค่าความเหมาะสม ค่าความคลาดเคลื่อนของค่าโมดูลัสชั้นทาง ค่า  $RMSE$  เป็นต้น จากนั้นจึงทำการเลือกชุดพารามิเตอร์ที่มีประสิทธิภาพสูงสุด โดยชุดพารามิเตอร์ที่เหมาะสมจะต้องมีค่าความคลาดเคลื่อนจากการคำนวณอยู่ในเกณฑ์ที่ยอมรับได้

### 3.2.4 ทดสอบชุดพารามิเตอร์กับแบบจำลองโครงสร้างชั้นทาง

ทดสอบชุดพารามิเตอร์โดยนำไปใช้กับแบบจำลองโครงสร้างชั้นทางที่ Reddy และคณะ [9] สมมุติชั้น 10 แบบ เพื่อประเมินประสิทธิภาพของชุดพารามิเตอร์ โดยมีรายละเอียดดังนี้

1. กำหนดความหนา ( $H$ ) และค่าโมดูลัสยืดหยุ่นของชั้นทาง ( $E$ ) ตามแบบจำลองโครงสร้างชั้นทางที่ Reddy และคณะ [9] สมมุติชั้น
2. กำหนดค่าแรงดันที่กระทำกับผิวทางและค่าอัตราส่วนปัวซอง ( $\mu$ ) ตามแบบจำลองในขั้นตอนที่ 3.2.1
3. กำหนดค่าการยุบตัวดังขั้นตอนที่ 3.2.1
4. นำค่าการยุบตัวมาคำนวณย้อนกลับด้วยโปรแกรมเกมเล็ทเพื่อประเมินประสิทธิภาพของชุดพารามิเตอร์

### 3.2.5 นำชุดพารามิเตอร์ที่เหมาะสมมาใช้งานกับข้อมูลที่ทดสอบจริงในสนาม

นำชุดพารามิเตอร์ที่ได้รับการคัดเลือกมาตั้งค่าให้กับโปรแกรมเกมเล็ท จากนั้นทำการคำนวณย้อนกลับกับข้อมูลที่ทดสอบจริงในสนามด้วยเครื่องมือ FWD โดยผลข้อมูลการยุบตัวที่ได้จากเครื่อง FWD จะต้องมีการปรับแก้ค่าการยุบตัวสู่น้ำหนักมาตรฐาน ส่วนค่าความหนาที่ได้จากการทดสอบด้วย GPR จะต้องมีการปรับแก้ให้ถูกต้องก่อนนำมาใช้งาน

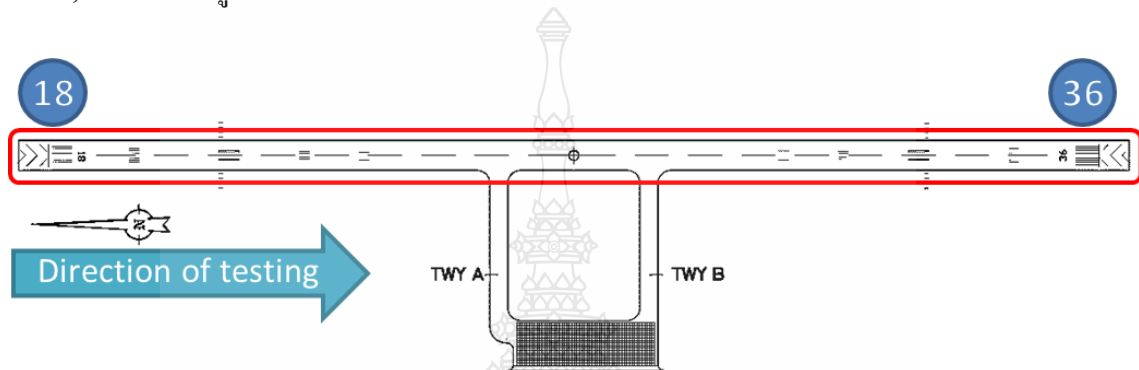
### 3.2.6 เปรียบเทียบประสิทธิภาพกับโปรแกรมในเชิงพาณิชย์

เปรียบเทียบประสิทธิภาพการคำนวณย้อนกลับของข้อมูลที่ทดสอบจริงในสนามระหว่างโปรแกรมเกมเล็ทที่ตั้งค่าด้วยชุดพารามิเตอร์ที่เหมาะสมและโปรแกรมในเชิงพาณิชย์ซึ่งในงานวิจัยนี้ใช้โปรแกรม PAVERS 2.8 เป็นโปรแกรมเปรียบเทียบ



### 3.3 การทดสอบ FWD บริเวณทางวิ่งของท่าอากาศยานเพชรบูรณ์

การทดสอบ FWD บริเวณทางวิ่ง (Runway) ของท่าอากาศยานเพชรบูรณ์ เป็นการทดสอบหาค่าการยุบตัวเพื่อคำนวณย้อนกลับหาค่าโมดูลัส ซึ่งส่วนหนึ่งของโครงการตรวจสอบความแข็งแรงทางวิ่ง ทางขับ และลานจอดของท่าอากาศยานทั้ง 8 แห่ง ของกรมการบินพลเรือน (Department of Civil Aviation, DCA) โดยผังบริเวณของพื้นที่ทดสอบทางวิ่งของท่าอากาศยานเพชรบูรณ์ (PB RWY 18/36) ดังแสดงในรูปที่ 3.4



รูปที่ 3.4 ผังบริเวณของพื้นที่ทดสอบ FWD บริเวณทางวิ่งของท่าอากาศยานเพชรบูรณ์

#### 3.3.1 การกำหนดตำแหน่งทดสอบ

โดยทั่วไปการทดสอบด้วยเครื่อง FWD จะสามารถทำการทดสอบได้ประมาณ 200 ถึง 300 จุดทดสอบต่อ 1 วัน หรือต่อ 8 ชั่วโมงทำงาน ทั้งนี้ขึ้นอยู่กับอุปสรรคที่พบในภาคสนาม ดังนั้นเพื่อลดอุปสรรคที่จะอาจเกิดขึ้นในสนามและควบคุมการทดสอบให้อยู่ในช่วงเวลาที่กำหนด จึงได้มีการวางแผนกำหนดตำแหน่งจุดทดสอบ และลำดับตำแหน่งการเข้าพื้นที่ทดสอบ ในการกำหนดจุดทดสอบ FAA [43] ได้ให้คำแนะนำในการกำหนดจุดทดสอบบนทางวิ่งและทางขับทั้งสำหรับผิวทางแอสฟัลต์และผิวทางคอนกรีตดังแสดงในตารางที่ 3.2 เมื่อทราบตำแหน่งจุดทดสอบที่แน่นอนแล้ววิศวกรสำนักงานจะทำการวางแผนผังการทดสอบในโปรแกรมคอมพิวเตอร์ช่วยออกแบบแล้วส่งให้ผู้ทดสอบหรือวิศวกรปฏิบัติงานภาคสนาม เพื่อให้เกิดความเข้าใจตรงกันระหว่างผู้ปฏิบัติการทดสอบและผู้วิเคราะห์ข้อมูล

**ตารางที่ 3.2** ตำแหน่งและระยะห่างของจุดทดสอบที่ใช้ทั่วไปสำหรับทางวิ่งและทางขับ [43]

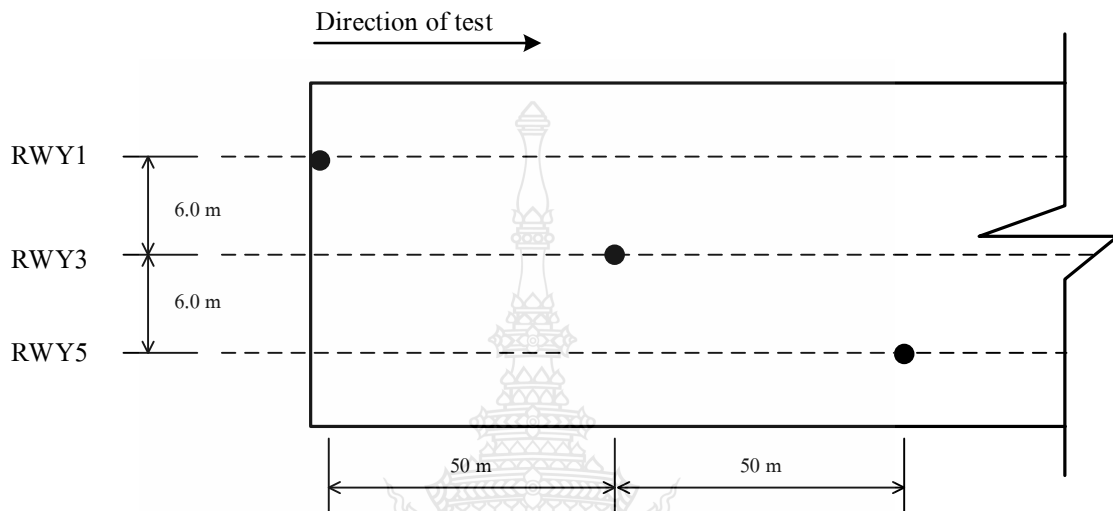
| Test Type   | Jointed PCC and HMA Overlaid PCC |  |                  |                         | HMA                     |   |                  |                         |
|-------------|----------------------------------|--|------------------|-------------------------|-------------------------|---|------------------|-------------------------|
|             | Project Level                    |  | Network Level    |                         | Project Level           |   | Network Level    |                         |
|             | Offset<br>ft (m)                 | Spacing<br>ft (m)  | Offset<br>ft (m) | Spacing<br>ft (m)       | Offset<br>ft (m)        | Spacing<br>ft (m)   | Offset<br>ft (m) | Spacing<br>ft (m)       |
| Center      | 10 (3)<br>30 (9)<br>65 (20)      | 100 (30)<br>100 - 200<br>(30 - 60)<br>400 (120)                | 10 (3)           | 200 - 400<br>(60 - 120) | 200 - 400<br>(60 - 120) | 100 (30)<br>100 - 200<br>(30 - 60)<br>200 - 400<br>(60 - 120) | 10 (3)           | 200 - 400<br>(60 - 120) |
| Joint       | 10 (3)<br>30 (9)<br>65 (20)      | 100 - 200<br>(30 - 60)<br>200 - 400<br>(60 - 120)<br>400 (120) | 10 (3)           | -                       | -                       | -   | -                | -                       |
| Long. Joint | 20 (6)<br>40 (12)<br>60 (18)     | 200 (60)<br>400 (120)<br>400 (120)                             | -                | -                       | -                       | -   | -                | -                       |
| Corner      | 20 (6)<br>40 (12)<br>60 (18)     | 200 (60)<br>400 (120)<br>400 (120)                             | -                | -                       | -                       | -   | -                | -                       |

For each centerline offset, there are two NDT passes, one to the left and one to the right; spacing is staggered between adjacent NDT passes; and a minimum of two NDT tests should be conducted per pavement section.

โดยการทดสอบทางวิ่งของท่าอากาศยานเพชรบูรณ์ มีการกำหนดจุดทดสอบและมีการปรับตำแหน่งเพื่อให้จุดทดสอบมีการกระจายครอบคลุมพื้นที่ทดสอบ โดยยังคงสอดคล้องตามที่กรมการบินพลเรือนระบุ โดยมีการกำหนดจุดทดสอบไว้ดังนี้

1. จำนวนแนวทดสอบ (Test Track) 5 แนว
2. ตำแหน่งทดสอบและความถี่
  - 1) แนวระยะ 6 ม. ด้านซ้าย แนวศูนย์กลางทางวิ่ง: เริ่มที่สถานี 0+000 ม. ความถี่ทุกๆ 100 ม.
  - 2) แนวระยะ 3 ม. ด้านซ้าย แนวศูนย์กลางทางวิ่ง: เริ่มที่สถานี 0+025 ม. ความถี่ทุกๆ 100 ม.
  - 3) แนวศูนย์กลางทางวิ่ง: เริ่มที่สถานี 0+050 ม. ความถี่ ทุกๆ 100 ม.
  - 4) แนวระยะ 3 ม. ด้านขวา แนวศูนย์กลางทางวิ่ง: เริ่มที่สถานี 0+075 ม. ความถี่ทุกๆ 100 ม.
  - 5) แนวระยะ 6 ม. ด้านขวา แนวศูนย์กลางทางวิ่ง: เริ่มที่สถานี 0+100 ม. ความถี่ทุกๆ 100 ม.

ทั้งนี้เพื่อให้ตำแหน่งจุดทดสอบกระจายครอบคลุมพื้นที่ทดสอบอย่างครบถ้วน จึงกำหนดให้จุดเริ่มต้นของแต่ละแนวขยับห่างจากกันแนวละ 25 ม. ดังรายละเอียดที่กล่าวมา โดยในงานวิจัยนี้ใช้ข้อมูลการทดสอบแนวที่ 1 (RWY1) และแนวที่ 3 (RWY3) ดังแสดงในรูปที่ 3.5



รูปที่ 3.5 แนวการทดสอบ FWD บริเวณทางวิ่งของท่าอากาศยานเพชรบูรณ์

### 3.3.2 การทดสอบภาคสนาม

ในการทดสอบมีขั้นตอนในการทดสอบที่ผู้ปฏิบัติงานต้องปฏิบัติดังนี้ [46]

1. กำหนดตำแหน่งการทดสอบในสนาม โดยก่อนการทดสอบ FWD จะมีการแบ่งทีมเพื่อกำหนดจุดทดสอบ โดยอาจใช้การผ่นสีในการระบุตำแหน่งทดสอบ เพื่อให้การทดสอบครบถ้วนและตรงตามตำแหน่งที่วิศวกรสำนักงานกำหนดตำแหน่งไว้

2. การเคลื่อนย้ายอุปกรณ์เครื่องมือ ซึ่งเป็นขั้นตอนสำคัญที่ทีมทดสอบจะทำการตรวจสอบความถูกต้องเรียบร้อยของเครื่องมือ รวมทั้งความพร้อมครบถ้วนของอุปกรณ์หลักและอุปกรณ์เสริมที่ต้องใช้ในการทดสอบทุกชิ้นก่อนออกเดินทาง รวมทั้งเอกสารจำเป็นต่างๆ ที่ต้องใช้ในการทดสอบ เช่น หลักฐานการติดต่อกับเจ้าหน้าที่หน่วยงานของสนามบิน แผนผังสนามบิน แผนผังแสดงตำแหน่งจุดทดสอบ เป็นต้น

3. วางแผนลำดับการเข้าพื้นที่ทดสอบ โดยในการทดสอบในท่าอากาศยานนั้น เมื่อเริ่มทดสอบจะมีทีมทดสอบหลายทีมที่เข้าใช้พื้นที่ ดังนั้นทีมทดสอบจะตกลงกันในการเลือกพื้นที่ทดสอบก่อน-หลัง เพื่อให้การปฏิบัติงานไม่เกิดการทับซ้อนของพื้นที่ทดสอบกับการทดสอบอื่น ๆ

4. เริ่มต้นทดสอบ โดยทีมทดสอบจะทำการตรวจสอบความพร้อมให้สามารถเริ่มทำการทดสอบได้ในทันทีเมื่อเริ่มเดินทางเข้าสู่พื้นที่ใช้งานของสนามบิน โดยประสานงานกับเจ้าหน้าที่ของท่าอากาศยานให้รับทราบการเริ่มต้นทดสอบ และทำการทดสอบตามแผนการที่ได้วางแผนไว้ โดยรูปที่ 3.6 แสดงการทดสอบ FWD บริเวณทางวิ่งของของท่าอากาศยานเพชรบูรณ์



รูปที่ 3.6 การทดสอบ FWD บริเวณทางวิ่งของของท่าอากาศยานเพชรบูรณ์

5. การเก็บบันทึกอุณหภูมิขณะทดสอบ เป็นการเก็บบันทึกค่าอุณหภูมิอากาศ (Air Temperature) และอุณหภูมิผิวทาง (Surface Temperature) เพื่อใช้ในกรณีที่มีการปรับแก้ค่าสู่อุณหภูมิมาตรฐาน

6. การเฝ้าสังเกตค่าการยุบตัว ซึ่งเป็นการตรวจสอบในเบื้องต้นว่าค่าการยุบตัวที่วัดได้ มีความผิดปกติเกิดขึ้นหรือไม่ ซึ่งหากพบความผิดปกติจากค่าการยุบตัวที่ทดสอบได้ ควรมีการทดสอบใหม่อีกครั้ง ทั้งนี้ความผิดปกติดังกล่าวอาจเกิดขึ้นได้จากหลายสาเหตุ เช่น ตำแหน่งจุดทดสอบไม่ราบเรียบ มีเศษวัสดุหลุคร่อน เป็นต้น

7. การตรวจสอบข้อมูลหลังเสร็จสิ้นการทดสอบ โดยในขั้นตอนนี้จะทำให้สามารถตรวจสอบว่ามีการทดสอบสมบูรณ์ครบถ้วนหรือไม่ และยังเป็นการสำรองข้อมูลไว้ด้วย และหากตรวจสอบพบความผิดปกติของข้อมูลจะได้ตัดสินใจทดสอบเพิ่มเติมได้ทันที

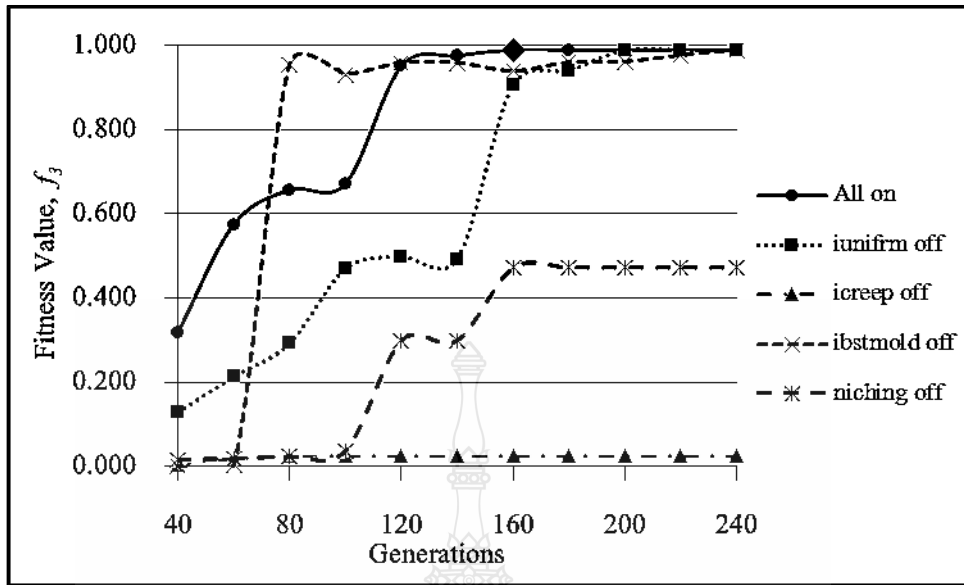


## บทที่ 4

### ผลการวิจัยและการวิเคราะห์

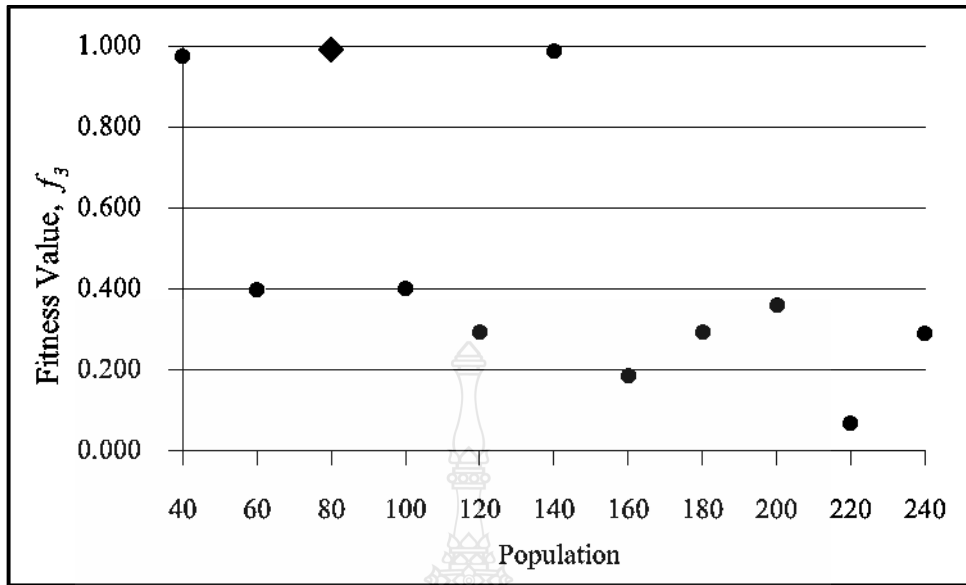
#### 4.1 การวิเคราะห์เพื่อเลือกชุดพารามิเตอร์

การเลือกชุดพารามิเตอร์หรือตัวดำเนินการในงานวิจัยนี้ เริ่มจากการวิเคราะห์ผลของค่าความเหมาะสมจากการเปิด-ปิด เทคนิคแบบใหม่ของ GA เทียบกับการเพิ่มขึ้นของจำนวนรุ่นโดยใช้ค่าการยวบยัวที่วิเคราะห์จากแบบจำลองโครงสร้างชั้นทางที่สร้างขึ้นในบทที่ 3 ซึ่งใช้โปรแกรม BISAR 3.0 ในการวิเคราะห์ โดยมีรายละเอียดของการวิเคราะห์ดังรูปที่ ก.1 ผลการวิเคราะห์พบว่าจำนวนรุ่นสูงสุดมีผลโดยตรงต่อค่าความเหมาะสม โดยหากเพิ่มจำนวนรุ่นขึ้นจะทำให้ได้คำตอบที่มีค่าความเหมาะสมเพิ่มขึ้นเช่นกัน และยังพบอีกว่าในกรณีที่มีการเปิดใช้เทคนิคแบบใหม่ของ GA ทั้งหมด (All on) ซึ่งประกอบไปด้วย การผสมข้ามแบบสม่ำเสมอ การกลายพันธุ์แบบคืบ วิธีกลุ่มเฉพาะและการคัดเลือกผู้นำ มีโอกาสทำให้ค่าความเหมาะสมลู่เข้าสู่คำตอบได้รวดเร็วกว่ากรณีอื่น ๆ เพียงใช้จำนวนรุ่น 160 รุ่นก็สามารถให้ค่าความเหมาะสมในระดับสูงสุด (Fitness,  $f_3 = 0.98977$ ) ดังแสดงในรูปที่ 4.1 หรือในตารางที่ ข.1 ส่วนในกรณีที่มีการปิดเทคนิคการคัดเลือกผู้นำ (*ibstmold off*) นั้นพบว่าในกรณีที่จำนวนรุ่นไม่มากมีการพัฒนากระบวนการค้นหาเพื่อลู่เข้าสู่คำตอบทำให้ค่าความเหมาะสมเพิ่มขึ้นอย่างรวดเร็ว จากจำนวนรุ่นที่ 60 รุ่นให้ค่าความเหมาะสมที่น้อยกว่า 0.1 แต่เมื่อเพิ่มจำนวนรุ่นเป็น 80 รุ่น ให้ค่าความเหมาะสมมากกว่า 0.9 จากนั้นเมื่อเพิ่มจำนวนรุ่นขึ้นไปเรื่อย ๆ กลับพบว่าค่าความเหมาะสมมีการพัฒนาไปน้อยมากและเมื่อเพิ่มจำนวนรุ่นจนถึง 180 รุ่น ซึ่งมากกว่าในกรณีที่มีการเปิดใช้เทคนิคทั้งหมดก็ยังไม่สามารถให้ค่าความเหมาะสมในระดับสูงสุด ซึ่งแสดงให้เห็นอย่างชัดเจนว่าการเปิดใช้เทคนิคแบบใหม่ของ GA ทั้งหมดมีความสามารถโดดเด่นที่ทำให้ค่าความเหมาะสมอยู่ในระดับที่ดีกว่ากรณีอื่น ๆ ส่วนกรณีของการปิดการใช้เทคนิคการกลายพันธุ์แบบคืบ (*icreep off*) และวิธีกลุ่มเฉพาะ (*niching off*) พบว่า ค่าความเหมาะสมที่จะลู่เข้าสู่ค่าสูงสุดมีความเป็นไปได้น้อยมาก โดยเฉพาะอย่างยิ่งในกรณีปิดการใช้เทคนิคการกลายพันธุ์แบบคืบ มีการลู่เข้าสู่ค่าความเหมาะสมในระดับสูงสุดที่ช้ากว่าทุกกรณี โดยพบว่าเมื่อเพิ่มจำนวนรุ่นจนถึง 240 รุ่น ค่าความเหมาะสมยังคงมีค่าต่ำกว่า 0.1 ซึ่งถือว่าน้อยมาก ดังนั้นแสดงให้เห็นว่าเทคนิคแบบใหม่ของ GA ที่เพิ่มเข้ามาในโปรแกรมเกมเล็ทมีส่วนช่วยเพิ่มประสิทธิภาพในการค้นหาคำตอบที่ถูกต้องและการเปิดใช้เทคนิคแบบใหม่ของ GA ทั้งหมดทำให้โปรแกรมเกมเล็ทมีประสิทธิภาพในการค้นหาคำตอบสูงสุด

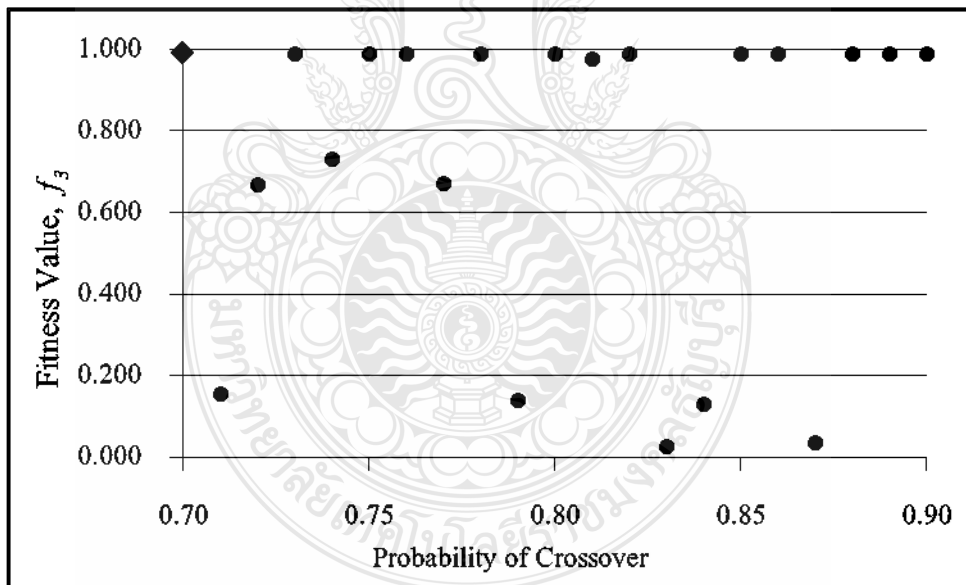


รูปที่ 4.1 ความสัมพันธ์ระหว่างค่าความเหมาะสมและจำนวนรุ่นสูงสุด

ในส่วนของการปรับเปลี่ยนค่าของตัวดำเนินการซึ่งประกอบไปด้วย ขนาดของประชากร อัตราการผสมข้าม การกลายพันธุ์แบบกระโดด และการกลายพันธุ์แบบคืบ จำเป็นจะต้องระบุเป็นตัวเลข ดังนั้นเพื่อหาค่าที่เหมาะสมของตัวดำเนินการเหล่านี้ จึงได้มีการกำหนดค่าพารามิเตอร์ขั้นต่ำและแปรผันค่าพารามิเตอร์เพิ่มขึ้นเรื่อย ๆ ซึ่งความละเอียดและช่วงของค่าพารามิเตอร์กำหนดตามความเหมาะสมโดยอ้างอิงจากงานวิจัยที่ผ่านมา โดยรายละเอียดของค่าพารามิเตอร์แสดงในตารางที่ ข.2 และผลจากการวิเคราะห์พบว่า การปรับเปลี่ยนค่าพารามิเตอร์ต่าง ๆ ที่ให้ค่าความเหมาะสมสูงสุดมีด้วยกันหลายชุดและกระจายตัวกันอย่างไม่เป็นรูปแบบที่แน่ชัด ดังแสดงในรูปที่ 4.2 ถึง รูปที่ 4.5 ซึ่งเป็นการแปรผันขนาดของประชากร อัตราการผสมข้าม อัตราการกลายพันธุ์แบบกระโดด และอัตราการกลายพันธุ์แบบคืบ ตามลำดับ โดยชุดพารามิเตอร์ที่มีค่าจำนวนประชากรหรือค่าอัตราของตัวดำเนินการที่น้อยที่สุดและให้ค่าความเหมาะสมสูงสุดแสดงเป็นจุดที่ใหญ่กว่า ดังนั้นค่าพารามิเตอร์เหล่านี้ไม่สามารถสรุปได้ชัดเจนว่าชุดใดเป็นชุดพารามิเตอร์ที่มีความเหมาะสมมากที่สุด

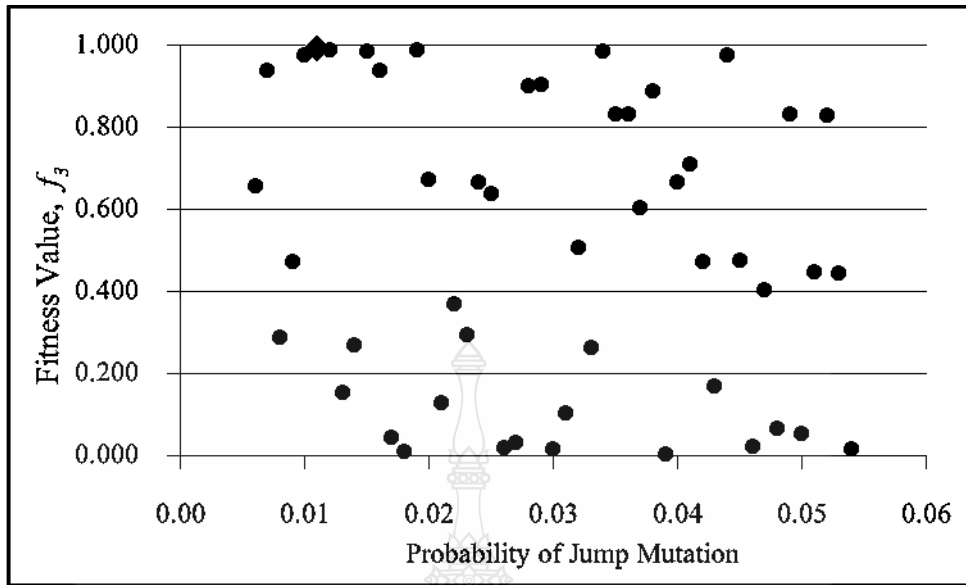


รูปที่ 4.2 ความสัมพันธ์ระหว่างค่าความเหมาะสมและจำนวนประชากร

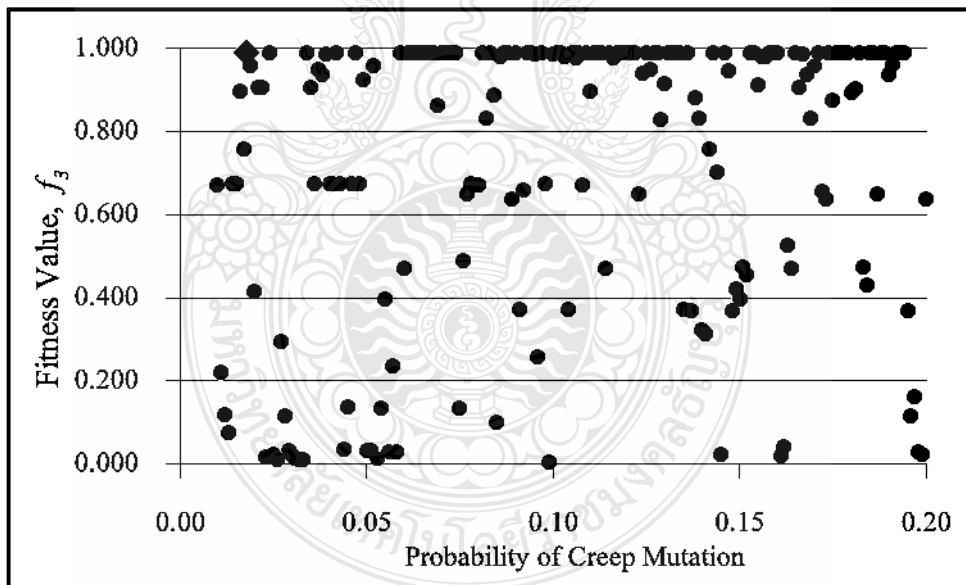


รูปที่ 4.3 ความสัมพันธ์ระหว่างค่าความเหมาะสมและค่าอัตราการผสมข้าม





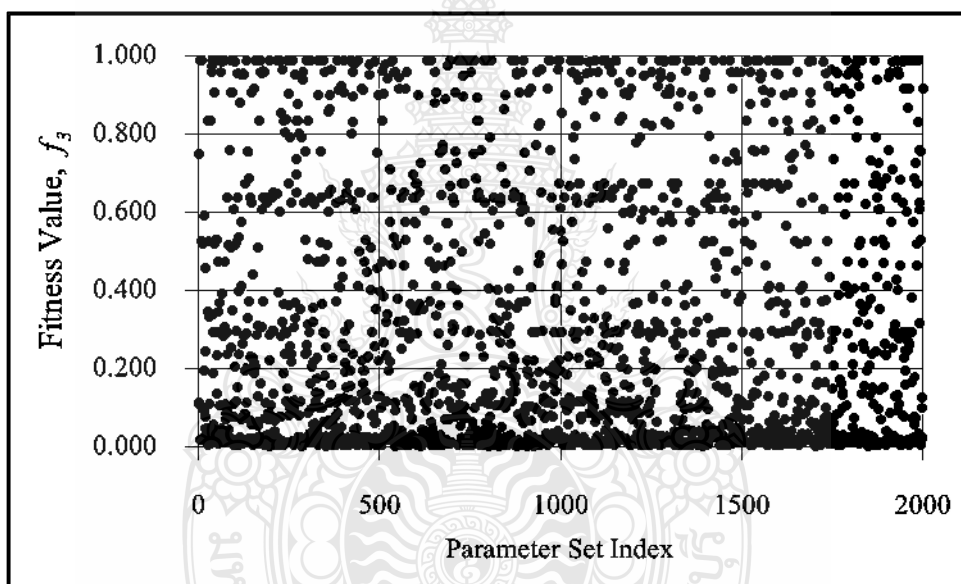
รูปที่ 4.4 ความสัมพันธ์ระหว่างค่าความเหมาะสมและค่าอัตราการกลายพันธุ์แบบกระโดด



รูปที่ 4.5 ความสัมพันธ์ระหว่างค่าความเหมาะสมและค่าอัตราการกลายพันธุ์แบบคืบ

จากผลการวิเคราะห์ที่ผ่านมามีพบว่าการเปิดใช้ทุกเทคนิคแบบใหม่เป็นรูปแบบที่เหมาะสมที่สุดแต่ยังไม่สามารถระบุค่าพารามิเตอร์ที่ตัวเลขที่เหมาะสมได้ ดังนั้นจึงสุ่มสร้างชุดพารามิเตอร์ขึ้น

จำนวน 2,000 ชุด มาตั้งค่าให้กับโปรแกรมเกมเล็ททำให้ได้ค่าความเหมาะสมที่แตกต่างกัน จากสมการประเมินค่าความเหมาะสมทั้ง 3 สมการพบว่า ค่าความเหมาะสมที่พิจารณาโดยใช้สมการที่ 2.4 มีความแปรผันมากที่สุดดังแสดงในตารางที่ ข.3 ดังนั้นในการศึกษาขั้นตอนนี้จึงมุ่งเน้นที่จะพิจารณาค่าความเหมาะสมจากสมการที่ 2.4 เป็นหลัก จากรูปที่ 4.6 ซึ่งเป็นความสัมพันธ์ระหว่างค่าความเหมาะสมของแต่ละชุดพารามิเตอร์ที่สุ่มขึ้นโดยเรียงลำดับตามชุดที่สุ่มขึ้น ในเบื้องต้นพบว่าชุดพารามิเตอร์ส่วนใหญ่ให้ค่าความเหมาะสมน้อยกว่า 0.1 ซึ่งเป็นค่าที่ต่ำมากและไม่เหมาะสมต่อการนำไปเป็นชุดพารามิเตอร์ที่เหมาะสม และส่วนที่เหลือมีการกระจายตัวออกไป โดยพบว่ายังมีชุดพารามิเตอร์บางส่วนที่ให้ค่าความเหมาะสมที่สูงกว่า 0.9 ซึ่งถือว่าสูงมาก และชุดพารามิเตอร์ในส่วนนี้เหมาะสำหรับนำไปใช้วิเคราะห์เชิงลึกเพื่อคัดเลือกเป็นชุดพารามิเตอร์ที่เหมาะสม

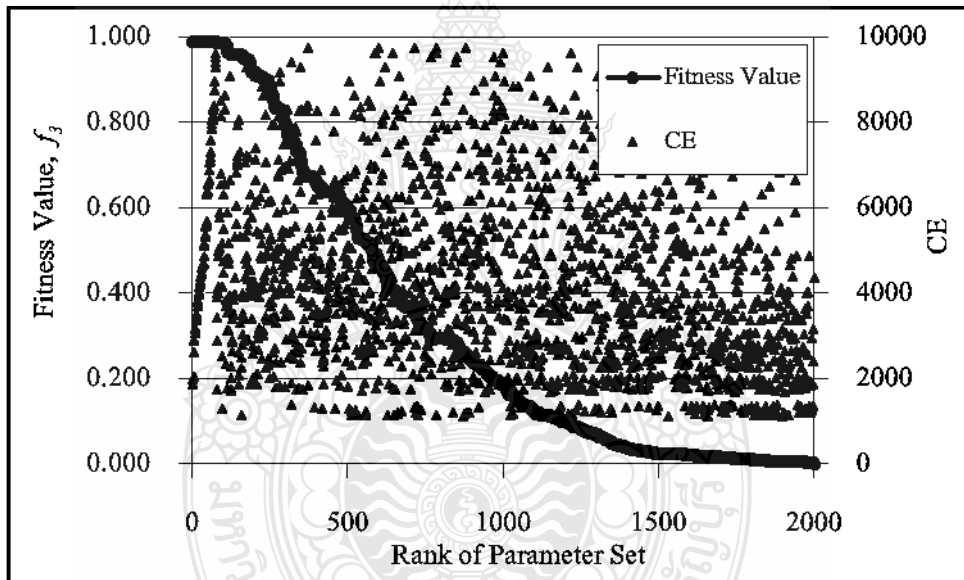


รูปที่ 4.6 ค่าความเหมาะสมที่ได้จากการตั้งค่าชุดพารามิเตอร์ที่ต่างกัน

จากนั้นเมื่อนำค่าพารามิเตอร์มาเรียงลำดับ โดยเรียงจากชุดที่ให้ค่าความเหมาะสมมากและมีค่า  $CE$  น้อย โดย ตารางที่ 4.1 แสดงถึงรายละเอียดของชุดพารามิเตอร์ที่มีความเหมาะสมสูงสุด 10 อันดับแรกแสดง ส่วนรายละเอียดทั้งหมดของแต่ละชุดพารามิเตอร์ที่เรียงลำดับตามค่าความเหมาะสมแสดงในตารางที่ ข.3 โดยหากพิจารณาความสัมพันธ์ระหว่างค่าความเหมาะสมและค่า  $CE$  ของแต่ละลำดับชุดพารามิเตอร์ ในรูปที่ 4.7 พบว่า ค่าความเหมาะสมไม่ได้มีความสัมพันธ์กับค่า  $CE$  โดยตรง เนื่องจากชุดพารามิเตอร์ที่มีค่าความเหมาะสมเดียวกันก็มีค่า  $CE$  ที่แตกต่างกันได้ และพบว่ามีพารามิเตอร์มากกว่า 70 ชุด ที่ให้ค่าความเหมาะสมในระดับสูงสุด

ตารางที่ 4.1 รายละเอียดของค่าพารามิเตอร์ที่มีค่าความเหมาะสมมากที่สุด 10 อันดับแรก

| Rank | <i>maxgen</i> | <i>numpop</i> | <i>pcross</i> | <i>pjumpmu</i> | <i>iunifrm</i> | <i>icreep</i> | <i>pcreepmu</i> | <i>ibstmold</i> | <i>niching</i> | <i>CE</i> | Fitness | Max Err | <i>RMSE</i> |
|------|---------------|---------------|---------------|----------------|----------------|---------------|-----------------|-----------------|----------------|-----------|---------|---------|-------------|
| 1    | 40            | 60            | 0.77          | 0.007          | on             | on            | 0.025           | on              | on             | 1848      | 0.98977 | 0.01    | 0.01        |
| 2    | 60            | 40            | 0.77          | 0.015          | on             | on            | 0.188           | on              | on             | 1848      | 0.98977 | 0.01    | 0.01        |
| 3    | 60            | 40            | 0.82          | 0.007          | on             | on            | 0.129           | on              | on             | 1968      | 0.98977 | 0.01    | 0.01        |
| 4    | 60            | 40            | 0.85          | 0.016          | on             | on            | 0.050           | on              | on             | 2040      | 0.98977 | 0.01    | 0.01        |
| 5    | 80            | 40            | 0.82          | 0.027          | on             | on            | 0.050           | on              | on             | 2624      | 0.98977 | 0.01    | 0.01        |
| 6    | 100           | 40            | 0.72          | 0.011          | on             | on            | 0.083           | on              | on             | 2880      | 0.98977 | 0.01    | 0.01        |
| 7    | 100           | 40            | 0.73          | 0.007          | on             | on            | 0.130           | on              | on             | 2920      | 0.98977 | 0.01    | 0.01        |
| 8    | 100           | 40            | 0.77          | 0.022          | on             | on            | 0.109           | on              | on             | 3080      | 0.98977 | 0.01    | 0.01        |
| 9    | 100           | 40            | 0.77          | 0.016          | on             | on            | 0.140           | on              | on             | 3080      | 0.98977 | 0.01    | 0.01        |
| 10   | 100           | 40            | 0.79          | 0.011          | on             | on            | 0.132           | on              | on             | 3160      | 0.98977 | 0.01    | 0.01        |



รูปที่ 4.7 ความสัมพันธ์ระหว่างค่าความเหมาะสมและค่า *CE*

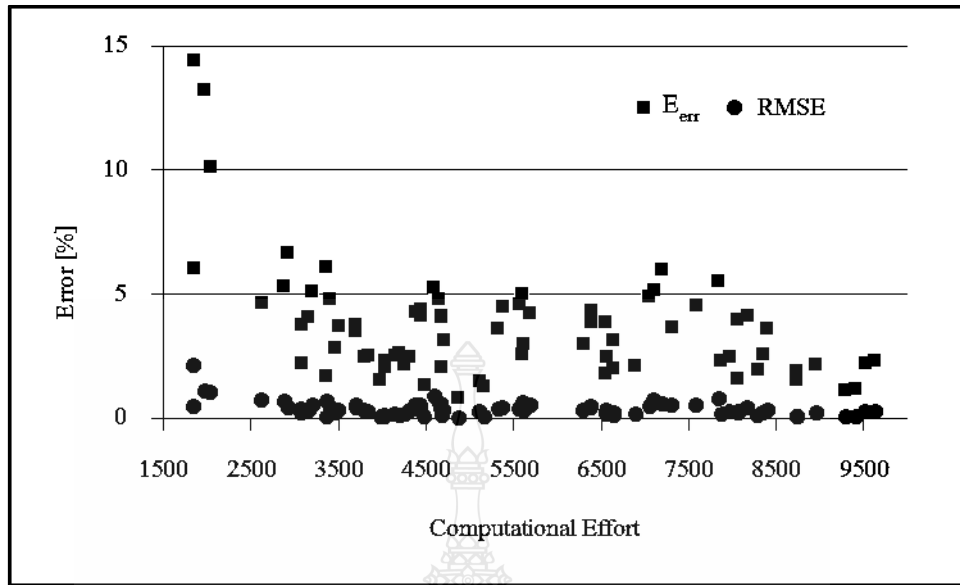
ตารางที่ 4.2 แสดงผลของค่าโมดูลัสชั้นทางบางส่วนที่ได้จากการคำนวณย้อนกลับที่ตั้งค่าตามชุดพารามิเตอร์ที่สร้างขึ้น โดยผลการคำนวณย้อนกลับทั้งหมดของแต่ละชุดพารามิเตอร์แสดงในตารางที่ ข.3 และพบว่าชุดพารามิเตอร์ที่ให้ค่าความเหมาะสมสูงสุด เช่น ในลำดับที่ 1 จะเป็นชุดที่ให้ผลของค่าโมดูลัสชั้นทางถูกต้องตรงตามแบบจำลองที่สร้างขึ้น

ตารางที่ 4.2 ตัวอย่างบางส่วนของค่าโมดูลัสชั้นทางที่ได้จากการคำนวณย้อนกลับ

| Rank | CE   | Fitness Value | Backcalculated Moduli [MPa] |       |       |
|------|------|---------------|-----------------------------|-------|-------|
|      |      |               | $E_1$                       | $E_2$ | $E_3$ |
|      |      |               | 3000                        | 300   | 50    |
| 1    | 1848 | 0.98977       | 3000                        | 300   | 50    |
| 59   | 7200 | 0.98977       | 3000                        | 300   | 50    |
| 88   | 5056 | 0.98768       | 3001                        | 300   | 50    |
| 101  | 4760 | 0.98594       | 2999                        | 300   | 50    |
| 285  | 5328 | 0.83018       | 3035                        | 298   | 50    |
| 538  | 4312 | 0.52820       | 3073                        | 296   | 50    |
| 1024 | 1152 | 0.16134       | 3015                        | 297   | 50    |
| 1156 | 2664 | 0.11073       | 3088                        | 298   | 50    |
| 1793 | 2240 | 0.01095       | 2333                        | 340   | 50    |
| 1999 | 3160 | 0.00129       | 2819                        | 359   | 48    |

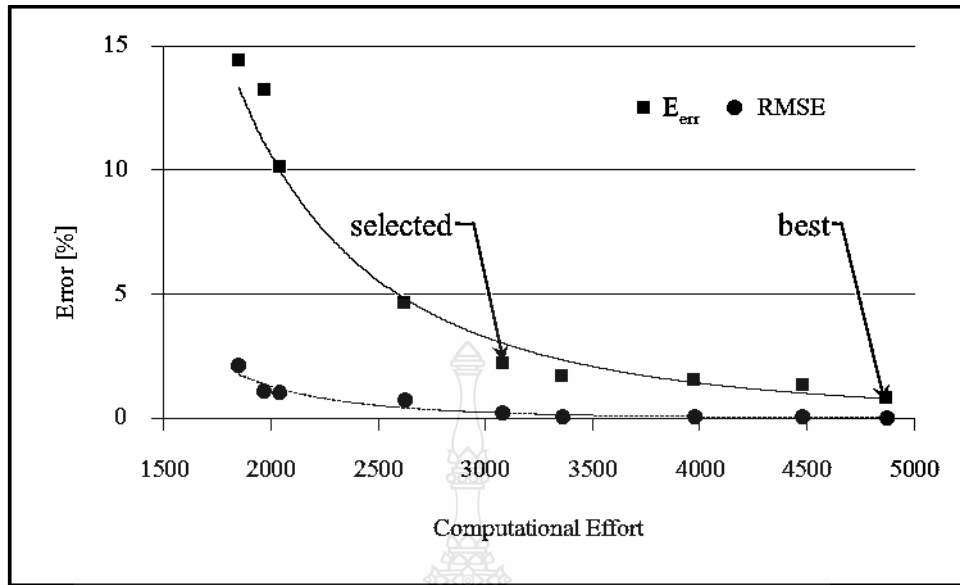
จากตารางที่ ข.3 และในรูปที่ 4.7 พบว่ามีพารามิเตอร์หลายชุดที่ให้ค่าความเหมาะสมในระดับสูงสุดในขณะที่ค่า CE มีความแตกต่างกัน ซึ่งแสดงให้เห็นว่าชุดพารามิเตอร์กลุ่มนี้จำเป็นต้องมีการคัดกรองเพื่อหาชุดพารามิเตอร์ที่เหมาะสมยิ่งขึ้น ดังนั้นจึงได้มีการคัดเลือกอีกครั้ง ซึ่งในขั้นตอนนี้จะใช้แบบจำลองโครงสร้างชั้นทางที่ Reddy และคณะ [9] สมมุติขึ้น 10 แบบ โดยมีรายละเอียดของการวิเคราะห์ค่าการยุบตัวด้วยโปรแกรม BISAR 3.0 ดังแสดงในรูปที่ ก.2 ถึงรูปที่ ก.11 มาทดสอบกับชุดพารามิเตอร์ที่ยังให้ค่าความเหมาะสมสูงสุด เพื่อคัดเลือกชุดพารามิเตอร์อีกครั้ง และในขั้นตอนนี้พิจารณาค่าความคลาดเคลื่อนทั้งจากการยุบตัวและจากค่าโมดูลัส เป็นดัชนีชี้วัดความแม่นยำของชุดพารามิเตอร์ โดยผลการคำนวณย้อนกลับแสดงในรูปที่ 4.8 และมีรายละเอียดในตารางที่ ข.4 ในการใช้แบบจำลองที่มีรูปแบบแตกต่างกันนี้ นอกจากจะเป็นการคัดกรองเพื่อหาชุดพารามิเตอร์ที่เหมาะสมยิ่งขึ้นแล้ว ยังเป็นการนำชุดพารามิเตอร์ที่ให้ค่าความเหมาะสมสูงสุดมาใช้กับแบบจำลองที่สมมุติขึ้นหลาย ๆ แบบอีกด้วย

จากการวิเคราะห์พบว่าชุดพารามิเตอร์ทั้งหมดให้ค่าความคลาดเคลื่อนของค่าโมดูลัสชั้นทาง ( $E_{err}$ ) น้อยกว่า 15% และค่า RMSE น้อยกว่า 3% ซึ่งถือว่าความคลาดเคลื่อนยังอยู่ในเกณฑ์ที่ดี และพบว่าชุดพารามิเตอร์ที่มีค่าความคลาดเคลื่อนเฉลี่ยน้อยที่สุด ซึ่งเป็นชุดที่ดีที่สุด (Best) มีค่า CE



รูปที่ 4.8 ความสัมพันธ์ระหว่างค่าความคลาดเคลื่อนของค่าโมดูลัสชั้นทางและค่า  $RMSE$  กับค่า  $CE$  ของพารามิเตอร์ทั้ง 77 ชุด

เท่ากับ 4,872 ซึ่งอยู่ในชุดที่ 38 ดังตารางที่ ข.4 จากนั้นทำการคัดชุดพารามิเตอร์ที่มีค่า  $CE$  มากกว่าชุดที่มีความคลาดเคลื่อนน้อยสุดออก เนื่องจากเป็นชุดที่สร้างภาระในการคำนวณให้กับคอมพิวเตอร์มากกว่าและยังมีความแม่นยำในการคำนวณน้อยกว่า รวมทั้งพิจารณาเพื่อคัดชุดพารามิเตอร์ที่มีค่า  $CE$  น้อยมากและยังคงให้ค่าความคลาดเคลื่อนน้อย ออกเช่นกัน เช่นในชุดที่ 2 ซึ่งมีค่า  $CE$  เพียง 1,848 เนื่องจากการที่ค่า  $CE$  น้อย อาจก่อให้เกิดความคลาดเคลื่อนมากในกรณีที่น่ามาตั้งค่าเพื่อใช้งานกับข้อมูลจริง ต่อมาคัดชุดพารามิเตอร์ที่มีค่า  $RMSE$  และค่า  $CE$  มากกว่าชุดที่อยู่ลำดับก่อนหน้าออก เพื่อให้สามารถสังเกตแนวโน้มจากอิทธิพลของค่า  $CE$  ที่มีผลต่อค่าความคลาดเคลื่อน ซึ่งกระบวนการทั้งหมดที่ใช้ในการคัดกรองชุดพารามิเตอร์ในครั้งนี้ นี้ จัดว่าเป็นการวิเคราะห์โดยใช้วิธีการศึกษาสำนึก (Heuristics) แบบหาค่าที่ดีที่สุดก่อน (Best First Search) จากนั้นจะสามารถสังเกตได้ชัดเจนยิ่งขึ้นว่าค่า  $RMSE$  มีแนวโน้มลดลงในขณะที่ค่า  $CE$  เพิ่มขึ้นดังแสดงใน รูปที่ 4.9 โดยพบว่าค่าความคลาดเคลื่อนเริ่มมีความเปลี่ยนแปลงน้อยลงในขณะที่ค่า  $CE$  เพิ่มขึ้นบริเวณที่มีค่า  $CE$  มากกว่า 3,080 ขึ้นไป ซึ่งตรงกับตำแหน่งของชุดที่ 9 และยังพบว่าเป็นตำแหน่งแรกที่ทำให้ค่า  $E_{err}$  ที่น้อยกว่า 3% ดังนั้นจึงสรุปได้ว่าชุดพารามิเตอร์ชุดนี้มีประสิทธิภาพสูงสุด (Selected) เนื่องจากใช้เวลาในการคำนวณน้อยและยังคงให้คำตอบเป็นที่น่าพอใจ สำหรับชุดพารามิเตอร์ที่มีความคลาดเคลื่อนต่ำสุดและชุดที่มีประสิทธิภาพสูงสุด มีรายละเอียดดังแสดงในตารางที่ 4.3



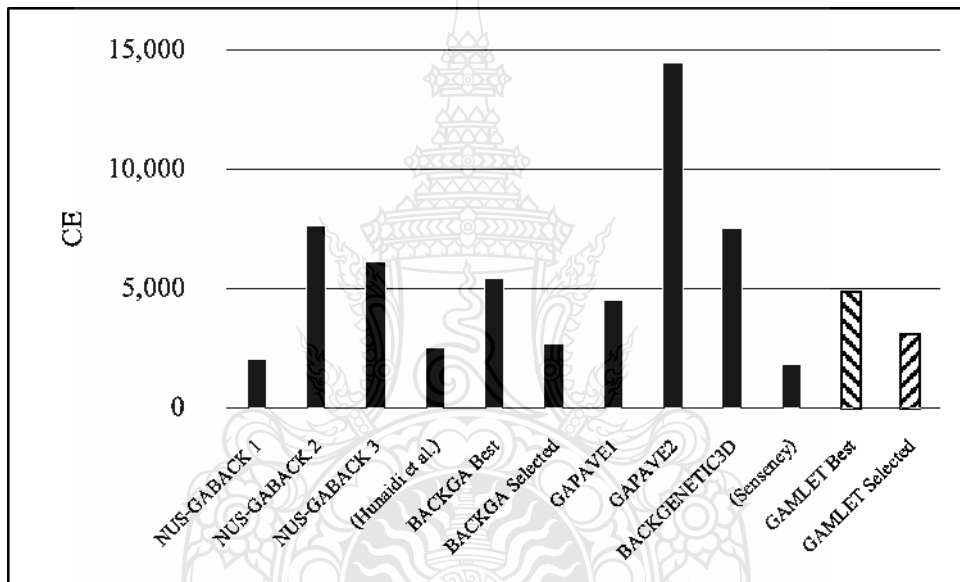
รูปที่ 4.9 ความสัมพันธ์ระหว่างค่าความคลาดเคลื่อนของค่าโมดูลัสชั้นทางและค่า  $RMSE$  กับค่า  $CE$  หลังจากคัดเลือกเพื่อสังเกตแนวโน้มของค่าความคลาดเคลื่อน

ตารางที่ 4.3 รายละเอียดของชุดพารามิเตอร์ที่ความคลาดเคลื่อนต่ำสุดและชุดพารามิเตอร์ที่มีประสิทธิภาพสูงสุด

| พารามิเตอร์                                 | ความคลาดเคลื่อนต่ำสุด | ประสิทธิภาพสูงสุด |
|---|-----------------------|-------------------|
| จำนวนรุ่นสูงสุด                             | 140                   | 100               |
| ขนาดของประชากร                              | 40                    | 40                |
| อัตราความเป็นไปได้ของการผสมข้ามแบบจุดเดียว  | 0.87                  | 0.77              |
| อัตราความเป็นไปได้ของการกลายพันธุ์แบบกระโดด | 0.008                 | 0.016             |
| การปิด-เปิด การผสมข้ามแบบสม่ำเสมอ           | on                    | on                |
| การปิด-เปิด การกลายพันธุ์แบบคืบ             | on                    | on                |
| อัตราความเป็นไปได้ของการกลายพันธุ์แบบคืบ    | 0.182                 | 0.140             |
| การปิด-เปิด การคัดเลือกผู้นำ                | on                    | on                |
| การปิด-เปิด วิธีกลุ่มเฉพาะ                  | on                    | on                |
| ภาระการคำนวณผลของคอมพิวเตอร์ ( $CE$ )       | 4,872                 | 3,080             |

#### 4.2 การระการคำนวณของโปรแกรมเกมเล็ทเทียบกับโปรแกรมอื่นที่ใช้ขั้นตอนวิธีเชิงพันธุกรรม

โปรแกรมเกมเล็ทได้มีการใช้เทคนิคแบบใหม่ของ GA เพื่อช่วยให้การคำนวณย้อนกลับมีประสิทธิภาพยิ่งขึ้น โดยหลังจากการเลือกชุดพารามิเตอร์ที่เหมาะสมพบว่า การเปิดใช้ทุกเทคนิคแบบใหม่ของของ GA ส่งผลให้โปรแกรมเกมเล็ทมีประสิทธิภาพสูงสุด และเมื่อเปรียบเทียบการสร้างภาระในการคำนวณให้กับคอมพิวเตอร์เทียบกับโปรแกรมอื่นที่ใช้ขั้นตอนวิธีเดียวกันพบว่า การเปิดใช้ทุกเทคนิคแบบใหม่ของของ GA ไม่ได้สร้างภาระในการคำนวณให้กับคอมพิวเตอร์ในระดับที่สูงแตกต่างกว่าโปรแกรมอื่น แต่กลับพบว่าโปรแกรมเกมเล็ทมีการสร้างภาระในการคำนวณในระดับที่ใกล้เคียงกันดังแสดงในรูปที่ 4.10

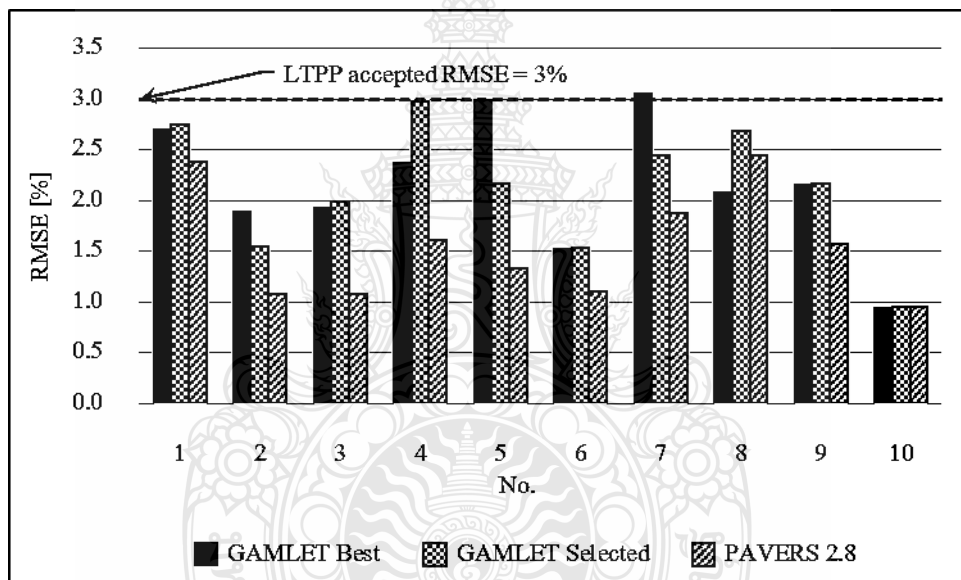


รูปที่ 4.10 ค่า CE ของโปรแกรมเกมเล็ทเทียบกับโปรแกรมอื่นที่ใช้ขั้นตอนวิธีเชิงพันธุกรรม

#### 4.3 ประสิทธิภาพของโปรแกรมเกมเล็ทในการคำนวณข้อมูลจริงในสนามเทียบกับโปรแกรมเชิงพาณิชย์

จากการวิเคราะห์ในข้างต้นทำให้ได้ชุดพารามิเตอร์ที่ความคลาดเคลื่อนต่ำสุดและชุดพารามิเตอร์ที่มีประสิทธิภาพสูงสุด จากนั้นนำชุดพารามิเตอร์ดังกล่าวไปทดสอบใช้กับข้อมูลจากการทดสอบจริงในสนาม และมีการนำไปวิเคราะห์เปรียบเทียบกับโปรแกรม PAVERS 2.8 ซึ่งเป็นโปรแกรมเชิงพาณิชย์ ผลการคำนวณย้อนกลับจากข้อมูลการทดสอบในสนามแสดงดัง รูปที่ 4.11 หรือมีรายละเอียดดังแสดงในตารางที่ ค.1 พบว่า ค่า  $RMSE$  ส่วนใหญ่ อยู่ในเกณฑ์ที่ยอมรับได้เมื่อเทียบกับค่าที่ใช้อยู่ทั่วไป เช่น ในโครงการ Long Term Pavement Performance (LTPP) ในประเทศ

สหรัฐอเมริกา ใช้ค่า  $RMSE$  ระหว่าง 1%-3% [48] และพบว่าโปรแกรมแกมเล็ตที่ตั้งค่าด้วยชุดพารามิเตอร์ที่ความคลาดเคลื่อนต่ำสุดและชุดพารามิเตอร์ที่มีประสิทธิภาพสูงสุดมีประสิทธิภาพในการคำนวณย้อนกลับในระดับที่ใกล้เคียงกัน รวมไปถึงมีประสิทธิภาพใกล้เคียงกับโปรแกรม PAVERS 2.8 ด้วย ซึ่งแสดงให้เห็นว่าชุดพารามิเตอร์ที่มีประสิทธิภาพสูงสุดสามารถนำไปใช้ตั้งค่าเพื่อคำนวณย้อนกลับหาค่าโมดูลัสชั้นทางแอสฟัลต์คอนกรีตได้อย่างมีประสิทธิภาพ ส่วนกรณีของผิวทางที่มีค่าความคลาดเคลื่อนมากอาจมีผลมาจากหลายปัจจัย เช่น ความคลาดเคลื่อนจากการหาความหนาชั้นทาง ความไม่เป็นเนื้อเดียวกันของชั้นทาง [49] รวมถึงปัจจัยอื่น ๆ ที่ไม่เป็นไปตามทฤษฎียึดหยุ่นของชั้นทาง เป็นต้น



รูปที่ 4.11 ค่า  $RMSE$  ที่ได้จากการคำนวณย้อนกลับของข้อมูลผลการทดสอบด้วยเครื่อง FWD บริเวณทางวิ่งของสนามบินเพชรบูรณ์



## บทที่ 5

### สรุปผลการวิจัยและข้อเสนอแนะ

#### 5.1 สรุปผลการวิจัย

จากการดำเนินการวิจัยและวิเคราะห์ผลพบว่า การเลือกชุดพารามิเตอร์สำหรับ GA มีผลกระทบโดยตรงต่อการคำนวณย้อนกลับหาค่าโมดูลัสชั้นทาง ดังนั้นการเลือกชุดพารามิเตอร์ที่เหมาะสมจึงมีความสำคัญเป็นอย่างมาก ในงานวิจัยเป็นการเลือกชุดพารามิเตอร์ที่มีความเหมาะสมสำหรับโปรแกรมเกมเล็ทแบบ 3 ชั้นทาง ซึ่งมีการเลือก 2 ครั้ง โดยใช้แบบจำลองชั้นทางที่แตกต่างกัน มีระดับความถูกต้องของคำตอบและค่า  $CE$  เป็นเกณฑ์ในการคัดเลือก ได้ชุดพารามิเตอร์ที่มีประสิทธิภาพสูงสุดสำหรับโครงสร้างชั้นทางที่มีผิวทางเป็นแอสฟัลต์คอนกรีตคือ มีจำนวนรุ่นสูงสุด 100 รุ่น ขนาดประชากรเท่ากับ 40 ใช้อัตราการผสมข้ามแบบสมมาตร การกลายพันธุ์แบบกระโดด และการกลายพันธุ์แบบคืบ เท่ากับ 0.77, 0.016 และ 0.140 ตามลำดับ และมีการเปิดใช้การคัดเลือกผู้นำ และวิธีกลุ่มเฉพาะ สำหรับค่าพารามิเตอร์ชุดดังกล่าวได้มีการนำไปตั้งค่าเพื่อคำนวณย้อนกลับหาค่าโมดูลัสชั้นทาง ทั้งจากแบบจำลองโครงสร้างชั้นทางที่สมมุติขึ้น และจากข้อมูลการทดสอบจริงในสนามด้วยเครื่อง FWD ผลที่ได้ชี้ให้เห็นว่าค่าพารามิเตอร์ชุดนี้มีความถูกต้องและน่าเชื่อถือ เนื่องจากค่า  $RMSE$  อยู่ในเกณฑ์ที่ยอมรับกันส่วนใหญ่ เช่นในโครงการ LTPP ในประเทศสหรัฐอเมริกา ใช้ค่า  $RMSE=3\%$  ดังนั้นสรุปได้ว่า สามารถนำค่าพารามิเตอร์ชุดนี้มาตั้งค่าให้กับโปรแกรมเกมเล็ทเพื่อคำนวณย้อนกลับหาค่าโมดูลัสชั้นทางแอสฟัลต์คอนกรีตได้อย่างมีประสิทธิภาพ และยังพบอีกว่าค่าพารามิเตอร์ชุดนี้สร้างภาระในการคำนวณในระดับที่ใกล้เคียงกันกับโปรแกรมอื่น ที่ใช้ระเบียบขั้นตอนวิธีเชิงพันธุกรรมในเทคนิคที่แตกต่างกัน

สำหรับการวิเคราะห์ในเชิงลึกพบว่าค่าอัตราการผสมข้ามแบบสมมาตร การกลายพันธุ์แบบกระโดด และการกลายพันธุ์แบบคืบนั้น ไม่สามารถระบุช่วงของค่าที่เหมาะสมได้ชัดเจน เนื่องจากค่าความเหมาะสมของคำตอบมีการกระจายตัวอย่างไม่มีรูปแบบที่แน่ชัด

ส่วนการเปรียบเทียบกับโปรแกรมอื่นในเชิงพาณิชย์พบว่า โปรแกรมเกมเล็ทภายใต้การตั้งค่าด้วยชุดพารามิเตอร์ที่มีความคลาดเคลื่อนน้อยที่สุดและชุดที่มีประสิทธิภาพสูงสุดให้ผลการคำนวณที่มีความแม่นยำในระดับที่ใกล้เคียงกันกับโปรแกรม PAVERS 2.8 ซึ่งเป็น โปรแกรมเชิงพาณิชย์ โดยเทียบได้จากค่า  $RMSE$  ที่ได้จากการคำนวณย้อนกลับ

## 5.2 ข้อเสนอแนะ

ในงานวิจัยนี้เป็นการศึกษาเพื่อเลือกชุดพารามิเตอร์ในกระบวนการคำนวณย้อนกลับสำหรับโปรแกรมเกมเล็ทแบบผิวทางยึดหยุ่น 3 ชั้นทางเท่านั้น ซึ่งหากมีการศึกษาเพิ่มเติมควรมีการนำพารามิเตอร์ชุดนี้ไปปรับปรุงเพื่อใช้เป็นแนวทางสำหรับโครงสร้างชั้นทางที่มีจำนวนชั้นมากขึ้น และโครงสร้างชั้นทางที่มีการปรับปรุงคุณภาพเช่น ชั้นพื้นทางที่ปรับปรุงคุณภาพด้วยดินซีเมนต์ เป็นต้น รวมไปถึงการนำไปใช้กับโครงสร้างผิวทางคอนกรีตด้วย



## รายการอ้างอิง

- [1] สำนักงานประชาสัมพันธ์ กรมทางหลวง, “งานบำรุงรักษาทาง,” *รายงานประจำปี 2555*, pp. 41-95, 2555.
- [2] อมรัตน์ เสือแจ่ม, พบถนนขึ้นเขาใหญ่พังเสียงอันตราย (*online*), 2556, Available: [www.ndwc.go.th/web/index.php?option=com\\_content&view=article&id=265:2011.10-18-04.16-56&catid=93:2011-08-04-03-09-51&Itemid=275](http://www.ndwc.go.th/web/index.php?option=com_content&view=article&id=265:2011.10-18-04.16-56&catid=93:2011-08-04-03-09-51&Itemid=275), (17 กันยายน 2556).
- [3] ชารทิพย์, กรมการขนส่งทางบก จัดทำโครงการศึกษาพิศกัณฑ์น้ำหนักรถบรรทุกเพื่อรองรับ AEC (*online*), 2556, Available: [http://www.dlt.go.th/th/index.php?option=com\\_content&view=article&id=4025:-aec-6-1,0000-&catid=48](http://www.dlt.go.th/th/index.php?option=com_content&view=article&id=4025:-aec-6-1,0000-&catid=48), (17 กันยายน 2556).
- [4] Ullidtz P., *Pavement analysis*. Amsterdam: Elsevier Science Publishing, 1987.
- [5] “ชาวบ้านไวยรถบรรทุกซึ่งทำถนนวิเศษสุดจรดปากถนนปี,” *เดลินิวส์*. 1 กรกฎาคม 2555, หน้า 1.
- [6] งานบำรุงทาง กรมทางหลวง. *แนะนำระบบบริหารงานบำรุงทางของกรมทางหลวง*. [สไลด์]. กรุงเทพมหานคร: กรมทางหลวง, 2556.
- [7] พุทธิพล ทองอินทร์คำและ นิรชร นกแก้ว. “การพัฒนากระบวนการตรวจสอบกำลังรับน้ำหนักของถนนลาดยางในท้องถิ่นโดยวิธีตรง,” ใน *การประชุมวิชาการวิศวกรรมโยธาแห่งชาติ ครั้งที่ 18*, เชียงใหม่, 2556. pp. 380-386.
- [8] วิเชียร พัวรุ่งโรจน์ และ ชีรพงศ์ เสนจันทร์ดิไชย. “ผลตอบสนองทางพลวัตของโครงสร้างถนนภายใต้น้ำหนักกระทำจากเครื่อง FWD,” ใน *การประชุมวิชาการวิศวกรรมโยธาแห่งชาติ ครั้งที่ 7*, กรุงเทพฯ, 2545. pp. 105-111.
- [9] Reddy M. Amaranatha, Reddy K. Sudhakar, and Pandey B.B., “Selection of Genetic Algorithm Parameters for Backcalculation of Pavement Moduli,” *International Journal of Pavement Engineering*, 2004, pp. 81-90. Available: Taylor & Francis Group, Taylor & Francis (6 May 2011).
- [10] Saltana Mehmet, and Terzib Serdal. “Backcalculation of pavement layer parameter using Artificial Neural Networks,” *Indian Journal of Engineering & Materials Sciences*, 2004, pp. 38-42. Available: Indian J. Eng. Mater. Sci, Indian J. Eng. Mater. Sci (28 September 2013).

## รายการอ้างอิง (ต่อ)

- [11] Cervantes J., and Stephens C. R., “Optimal Mutation Rates for Genetic Search,” *GECCO’06*, 2006, Available: GECCO, GECCO (8 June 2013).
- [12] Puttapon. Thongindam. “Enhancement of Backcalculation Techniques for Assessing Flexible Pavement Layer Moduli Using Genetic Algorithms,” Ph.D Thesis, Pavement Engineering, Gottfried Wilhelm Leibniz University of Hannover, Hannover, 2009.
- [13] Maria Angelova, and Tania Pencheva, “Tuning Genetic Algorithm Parameters to Improve Convergence Time,” *International Journal of Chemical Engineering*, 2011 Available: Hindawi Publishing Corporation / Hindawi Publishing Corporation (31 August 2013).
- [14] พุทธิพล ทองอินทร์คำ, และ นิรชร นกแก้ว. *การพัฒนากระบวนการตรวจสอบกำลังรับน้ำหนักของถนนลาดยางในท้องถิ่นโดยวิธีตรง*, ปทุมธานี: ภาควิชาวิศวกรรมโยธา คณะวิศวกรรมศาสตร์ มหาวิทยาลัยเทคโนโลยีราชมงคลธัญบุรี. 2553.
- [15] Irwin L.H., “*Backcalculation: An Overview and Perspective*,” *Pavement Evaluation Conference, 2002*, Available: the TRIS and ITRD data base, Transportation Research Board (12 June 2013).
- [16] Bitumen Business Group, *BISAR 3.0 User Manual*. [n.p.] 1997.
- [17] Alkasawneh W. “Backcalculation of Pavement Moduli Using Genetic Algorithms.” Ph.D. Thesis, The University of Akron, Akron. 2007.
- [18] American Association of State Highway and Transportation Officials, *AASHTO Guide for Design of Pavement Structures 1993*, Washington D.C.: AASHTO, 1993.
- [19] พุทธิพล ทองอินทร์คำ. “วิศวกรรมงานทางแบบบูรณาการในการประเมินสภาพถนนลาดยางไทยแบบมีชีวิต.” *วิศวกรรมศาสตร์ มหาวิทยาลัยสยาม*, 14, นน. 43.56, มกราคม-มิถุนายน 2556.
- [20] PAVERS, *PAVERS User Help Manuals*, Netherland, 2008.
- [21] Fwa, T.F., Tan, C.Y. and Chan, W.T. “Backcalculation analysis of pavement layer moduli using genetic algorithms”, in *Transportation Research Board 1570*. TRB, National Research Council, Washington DC, 1997, pp. 134–142.

## รายการอ้างอิง (ต่อ)

- [22] Kameyama, S., Himeno, K., Kasahara, A. and Maruyama, T. “Backcalculation of pavement layer moduli using genetic algorithms”, in *8th International conference on Asphalt Pavements*. University of Washington, Seattle, Washington, 1998, pp. 1375–1385.
- [23] Raddy, M.A., Murthy, M.S., Reddy, K.S. and pendeey, B.B. “Backcalculation of Pavement Layer Moduli Using Genetic Algorithms”. in *Journal of Highway Research Board 66*, 2002, pp. 1.10.
- [24] Park, H.M., Park, S.W. and Hwang, J.J. “Use of Genetic Algorithm and Finite Element for Backcalculating Layer Moduli in Asphalt Pavements”, present at the Transportation Research Board No. 07-2614, Washington D.C. 2006.
- [25] Goldberg, D.E. and Deb, K., “Comparative Analysis of Selection Schemes used in *Genetic Algorithms*”, in *Foundations of Genetic Algorithms*, 1991, pp. 66-93.
- [26] Syswerda, G. “Uniform Crossover in Genetic Algorithm”, in *3<sup>rd</sup> International Conference on Genetic Algorithms*, Morgan Kaufmann, 1989, pp. 2-9.
- [27] Puttapon Thongindam. “Alternative for Pavement Model in Backcalculation Process”, in *The 5th PSU-UNS International Conference on Engineering and Technology (ICET-2011)*, Phuket, 2011, pp. 154.
- [28] Grefenstette, J.J. “Optimization of Control Parameters for Genetic Algorithms,” *IEEE Trans. Systems (Electronic)*, Vol. SMC-16, No. 1, 1986, pp. 122.128. Available: Systems, Man and Cybernetics, IEEE Transactions (25 September 2013).
- [29] De jong, K.A. and Spears, W.M. “An Analysis of the Interacting Roles Population Size and Crossover in Genetic Algorithms,” *Parallel Problem Solving from Nature (Electronic)*, vol. 16, 1990, pp. 38- 47, Available: CiteSeerX (20 September 2013).
- [30] Goldberg, D.E., Deb, K. and Clark, J.H. “Genetic algorithms noise, and the sizing of populations”, in *Complex Systems 6*, 1992, pp. 333–362.
- [31] Harik, G.R., Cantu-Paz, E., Goldberg, D.E. and Miller, B.L. “The gambler’s ruin problem genetic algorithms, and the sizing of populations”, in *IEEE International Conference on Evolutionary Computation*, New York, 1997, pp. 7–12.

## รายการอ้างอิง (ต่อ)

- [32] Muhlenbein, H. “How genetic algorithms really work: I. mutation and hill climbing”, in *Parallel Problem Solving from Nature*, The Netherlands, Vol. 2, 1992 pp. 15–25.
- [33] Back, T. “Optimal mutation rates in genetic search”, in *Fifth International Conference on Genetic Algorithms*, California, 1993, pp 2–8.
- [34] De Jong, K.A. “An analysis of the behavior of a class of genetic adaptive systems”, Doctoral Dissertation, Engineering, University of Michigan, Ann Arbor, 1975.
- [35] Grefenstette, J.J. “Optimization of control parameters for genetic algorithms”, in *IEEE Transactions on Systems*, New York, Vol. SMC-16 (1), 1986, pp. 122–128.
- [36] Schaffer, J.D., Caruana, R.A., Eshelman, L.J. and Das, R. “A study of control parameters affecting online performance of genetic algorithms for function optimization”, in *Proceedings of International Conference on Genetic Algorithms*, California, 1989, pp. 51–60.
- [37] A. Gabriel, *Can we make genetic algorithms work in high dimensionality problems? (Online)*. 2002, Available : [http://sepwww.stanford.edu/public/docs/sep112/gabriel1/paper\\_html/](http://sepwww.stanford.edu/public/docs/sep112/gabriel1/paper_html/), (12 September 2013).
- [38] Ernian Pan, Ali Sangghaleh, Amirhossein Molavi, Yanfei Zhao, and Ping Yi, *An Efficient and Accurate Genetic Algorithm for Backcalculation of Flexible Pavement Layer Moduli*, Ohio: Federal Highway Administration, 2012.
- [39] Osama Hunaidi, “Evolution-based genetic algorithms for analysis of non-destructive surface wave tests on pavements”.in *NDT&E International*, Ottawa, 1998, pp. 273.280.
- [40] Tsai, B., Kannekanti, V., and Harvey, J.T. “Application of Genetic Algorithm in Asphalt Pavement Design”, in *Transportation Research Board*, Washington, D.C., 2004, pp. 112-120.
- [41] Christopher T. Senseney, Richard A. Krahenbuhl, and Michael A. Mooney. “Genetic Algorithm to Optimize Layer Parameters in Light Weight Deflectometer Backcalculation,” *International Journal of Geomechanics (Electronic)*, Vol. 13, No. 4, 2013, pp. 473.476, Available: American Society of Civil Engineers (8 August 2013).

## รายการอ้างอิง (ต่อ)

- [42] APTS Services, *APTS offers the following pavement testing (online)*, 2013 Available: <http://aptsfwd.com/services.html/>, (3 August 2013).
- [43] Federal Aviation Administration, *Use of Nondestructive Testing on The Evaluation of Airport Pavements*, Advisory Circular 150/5370-11B. U.S. Department of Transportation, 2011.
- [44] จตุพล สายัณห์วัฒน์. “ความสัมพันธ์ระหว่างประสิทธิภาพการถ่ายน้ำหนักกับโพรงใต้ผิวทางแผ่นพื้นคอนกรีตของท่าอากาศยาน,” วิทยานิพนธ์ปริญญาโทบริหารธุรกิจ, สาขาวิศวกรรมโยธา, คณะวิศวกรรมศาสตร์, มหาวิทยาลัยเทคโนโลยีราชมงคลธัญบุรี, ปทุมธานี, 2555.
- [45] ชยชนันท์ พรหมสร, ธนศักดิ์ ไฝกระโทก, เลิศ พัดฉวี และ พรชัย ศีลารมย์ “การประเมินสภาพผิวทางถนนที่มีผิวชนิดพอร์ตแลนด์ซีเมนต์คอนกรีตโดยใช้เครื่องมือ Falling Weight Deflectometer ในประเทศไทย,” รายงานฉบับที่ วพ. 206 สำนักวิจัยและพัฒนางานทาง, pp.1-4, เมษายน 2546.
- [46] พิพัฒน์ จำนงค์พิพัฒน์กุล, พุทธพล ทองอินทร์ดำ, จิรพัฒน์ โชติไกร, และ พินิจ ธรรมกสิริ, รายงานเบื้องต้นโครงการศึกษาสำรวจ ออกแบบ ซ่อมแซม/แก้ไข/ปรับปรุง พื้นที่ทางวิ่งทางขับ และลานจอด ท่าอากาศยานภูเก็ตและท่าอากาศยาน, [ม.ป.ท.]. 2554.
- [47] Deb, K. *Optimization for Engineering Design*, New Delhi: Prentice-Hall. 2005
- [48] H. L. Von Quintus and A. L. Simpson, *Back-Calculation of Layer Parameters for LTPP Test Sections, Volume II: Layered Elastic Analysis for Flexible and Rigid*, (Final Report May 1997 – August 2001 FHWA), Virginia: Office of Engineering R & D Federal Highway Administration, 2002.
- [49] พุทธพล ทองอินทร์ดำ. “ผลกระทบจากความคลาดเคลื่อนของความหนาชั้นทางต่อค่าการประเมินค่าโมดูลัสยืดหยุ่นชั้นทางของโครงสร้างผิวทางคอนกรีต,” ใน *การประชุมวิชาการคอนกรีตประจำปี ครั้งที่ 9*, พิษณุโลก, 2556. pp. 8-15.

ภาคผนวก





ภาคผนวก ก

ผลการคำนวณหาค่าการยุบตัวจากแบบจำลองโครงสร้างทาง  
โดยใช้โปรแกรม BISAR 3.0





# BISR 3.0 - Block Report

\_Thesis 308 010914

System 2: 0Thesis 308 3ly PT Rd 3100 a150mm

## Structure

| Layer Number | Thickness (m) | Modulus of Elasticity (MPa) | Poisson's Ratio | Load Number | Load (kN) | Vertical Stress (MPa) | Horizontal Load (kN) | Horizontal Stress (MPa) | Radius (m) | X-Coord (m) | Y-Coord (m) | Shear Angle (Degrees) |
|--------------|---------------|-----------------------------|-----------------|-------------|-----------|-----------------------|----------------------|-------------------------|------------|-------------|-------------|-----------------------|
| 1            | 0.100         | 3.000E+03                   | 0.40            | 1           | 4.948E+01 | 7.000E-01             | 0.000E+00            | 0.000E+00               | 1.500E-01  | 0.000E+00   | 0.000E+00   | 0.000E+00             |
| 2            | 0.200         | 3.000E+02                   | 0.35            |             |           |                       |                      |                         |            |             |             |                       |
| 3            | 5.000E+01     | 5.000E+01                   | 0.35            |             |           |                       |                      |                         |            |             |             |                       |

## Loads

| Position Number | Layer Number | X-Coord (m) | Y-Coord (m) | Depth (m) | Stresses (MPa) |            |            | Strains (µstrain) |            |            | Displacements (µm) |           |           |
|-----------------|--------------|-------------|-------------|-----------|----------------|------------|------------|-------------------|------------|------------|--------------------|-----------|-----------|
|                 |              |             |             |           | XX             | YY         | ZZ         | XX                | YY         | ZZ         | UX                 | UY        | UZ        |
| 1               | 1            | 0.000E+00   | 0.000E+00   | 0.000E+00 | -2.362E+00     | -2.562E+00 | -7.000E-01 | -3.720E+02        | -3.790E+02 | 3.964E+02  | 0.000E-00          | 0.000E+00 | 9.056E+02 |
| 2               | 1            | 2.000E-01   | 0.000E+00   | 0.000E+00 | -5.177E-01     | -9.628E-01 | 0.000E+00  | -4.421E-01        | -2.518E-02 | 1.974E+02  | -5.037E-01         | 0.000E+00 | 7.536E+02 |
| 3               | 1            | 3.000E-01   | 0.000E+00   | 0.000E+00 | -1.250E-01     | -5.515E-01 | 0.000E+00  | 3.186E+01         | -1.672E-02 | 9.020E+01  | -5.015E-01         | 0.000E+00 | 6.557E+02 |
| 4               | 1            | 4.500E-01   | 0.000E+00   | 0.000E+00 | 2.888E-02      | -2.795E-01 | 0.000E+00  | 4.689E+01         | -9.702E-01 | 3.342E+01  | -4.366E-01         | 0.000E+00 | 5.375E+02 |
| 5               | 1            | 6.000E-01   | 0.000E+00   | 0.000E+00 | 6.398E-02      | -1.591E-01 | 0.000E+00  | 4.241E+01         | -6.151E-01 | 1.274E+01  | -3.691E-01         | 0.000E+00 | 4.465E+02 |
| 6               | 1            | 9.000E-01   | 0.000E+00   | 0.000E+00 | 6.707E-02      | -5.987E-02 | 0.000E+00  | 3.034E+01         | -2.890E-01 | -9.609E-01 | -2.601E-01         | 0.000E+00 | 3.192E+02 |
| 7               | 1            | 1.200E+00   | 0.000E+00   | 0.000E+00 | 5.010E-02      | -2.622E-02 | 0.000E+00  | 2.020E+01         | -1.542E-01 | -3.185E+00 | -1.850E-01         | 0.000E+00 | 2.393E+02 |
| 8               | 1            | 1.500E+00   | 0.000E+00   | 0.000E+00 | 3.347E-02      | -1.380E-02 | 0.000E+00  | 1.300E+01         | -9.062E+00 | -2.623E+00 | -1.359E-01         | 0.000E+00 | 1.878E+02 |

รูปที่ ก.1 ค่าการขยุตัวของแบบจำลอง โครงสร้างทางที่สร้างขึ้นจากการวิเคราะห์โดยใช้โปรแกรม BISR 3.0



**BISAR 3.0 - Block Report**  
**hypothetical3ly**  
**System 1: 1**

**Structure**

| Layer Number | Thickness (m) | Modulus of Elasticity (MPa) | Poisson's Ratio | Y-Coord (m) | X-Coord (m) | Depth (m) | Load Number | Load (kN) | Vertical Stress (MPa) | Horizontal Load (kN) | Horizontal Stress (MPa) | Radius (m) | X-Coord (m) | Y-Coord (m) | Shear Angle (Degrees) |
|--------------|---------------|-----------------------------|-----------------|-------------|-------------|-----------|-------------|-----------|-----------------------|----------------------|-------------------------|------------|-------------|-------------|-----------------------|
| 1            | 0.000         | 0.000E+00                   | 0.000           | 0.000E+00   | 0.000E+00   | 0.000E+00 | 1           | 4.948E+01 | 7.000E-01             | 0.000E+00            | 0.000E+00               | 1.500E-01  | 0.000E+00   | 0.000E+00   | 0.000E+00             |

**Loads**

| Position Number | Layer Number | X-Coord (m) | Y-Coord (m) | Depth (m) | Stresses (MPa) |            |            | Strains ( $\mu$ strain) |            |           | Displacements ( $\mu$ m) |           |           |           |
|-----------------|--------------|-------------|-------------|-----------|----------------|------------|------------|-------------------------|------------|-----------|--------------------------|-----------|-----------|-----------|
|                 |              |             |             |           | XX             | YY         | ZZ         | XX                      | YY         | ZZ        | UX                       | UY        | UZ        |           |
| 1               | 1            | 0.000E+00   | 0.000E+00   | 0.000E+00 | -1.265E+00     | -1.285E+00 | -7.000E-01 | -7.024E+02              | -7.023E+02 | 4.698E+02 | 0.000E+00                | 0.000E+00 | 0.000E+00 | 1.059E+03 |
| 2               | 1            | 2.000E-01   | 0.000E+00   | 0.000E+00 | -2.551E-02     | -2.864E-01 | 0.000E+00  | 1.272E+02               | -3.946E+02 | 1.782E+02 | -7.891E+01               | 0.000E+00 | 0.000E+00 | 7.163E+02 |
| 3               | 1            | 3.000E-01   | 0.000E+00   | 0.000E+00 | 5.717E-02      | -1.240E-01 | 0.000E+00  | 1.525E+02               | -2.096E+02 | 3.620E+01 | -6.295E+01               | 0.000E+00 | 0.000E+00 | 5.712E+02 |
| 4               | 1            | 4.500E-01   | 0.000E+00   | 0.000E+00 | 1.348E-02      | -6.872E-02 | 0.000E+00  | 5.852E+01               | -1.059E+02 | 3.157E+01 | -4.764E+01               | 0.000E+00 | 0.000E+00 | 4.578E+02 |
| 5               | 1            | 6.000E-01   | 0.000E+00   | 0.000E+00 | -6.077E-03     | -5.175E-02 | 0.000E+00  | 2.089E+01               | -7.046E+01 | 3.504E+01 | -4.227E+01               | 0.000E+00 | 0.000E+00 | 3.934E+02 |
| 6               | 1            | 9.000E-01   | 0.000E+00   | 0.000E+00 | -3.952E-03     | -3.125E-02 | 0.000E+00  | 1.221E+01               | -4.238E+01 | 2.012E+01 | -3.815E+01               | 0.000E+00 | 0.000E+00 | 3.103E+02 |
| 7               | 1            | 1.200E+00   | 0.000E+00   | 0.000E+00 | 2.321E-03      | -1.900E-02 | 0.000E+00  | 1.417E+01               | -2.646E+01 | 9.528E+00 | -3.415E+01               | 0.000E+00 | 0.000E+00 | 2.525E+02 |
| 8               | 1            | 1.500E+00   | 0.000E+00   | 0.000E+00 | 5.134E-03      | -1.188E-02 | 0.000E+00  | 1.412E+01               | -1.991E+01 | 3.855E+00 | -2.966E+01               | 0.000E+00 | 0.000E+00 | 2.095E+02 |

รูปที่ ก.2 ค่าการขูดตัวของแบบจำลองโครงสร้างทางที่ Reddy สมมติขึ้นแบบที่ 1 จากการวิเคราะห์ที่ใช้โปรแกรม BISAR 3.0



**BISAR 3.0 - Block Report**  
**hypothetical3ly**  
**System 2: 2**

**Structure**

| Layer Number | Thickness (m) | Modulus of Elasticity (MPa) | Poisson's Ratio | Y-Coord (m) | Depth (m) | Load Number | Load (kN) | Vertical Stress (MPa) | Horizontal Load (kN) | Horizontal Stress (MPa) | Radius (m) | X-Coord (m) | Y-Coord (m) | Shear Angle (Degrees) |
|--------------|---------------|-----------------------------|-----------------|-------------|-----------|-------------|-----------|-----------------------|----------------------|-------------------------|------------|-------------|-------------|-----------------------|
| 2            | 0.000         | 0.000E+00                   | 0.00            |             |           | 1           | 4.948E+01 | 7.000E-01             | 0.000E+00            | 0.000E+00               | 1.500E-01  | 0.000E+00   | 0.000E+00   | 0.000E+00             |

**Loads**

| Position Number | Layer Number | X-Coord (m) | Y-Coord (m) | Depth (m) | Stresses (MPa) |            |            | Strains (µstrain) |            |           | Displacements (µm) |           |           |           |
|-----------------|--------------|-------------|-------------|-----------|----------------|------------|------------|-------------------|------------|-----------|--------------------|-----------|-----------|-----------|
|                 |              |             |             |           | XX             | YY         | ZZ         | XX                | YY         | ZZ        | UX                 | UY        | UZ        |           |
| 1               | 1            | 0.000E+00   | 0.000E+00   | 0.000E+00 | -9.817E-01     | -9.817E-01 | -7.000E-01 | -3.433E+02        | -3.433E+02 | 9.480E+01 | 0.000E+00          | 0.000E+00 | 0.000E+00 | 7.843E+02 |
| 2               | 1            | 2.000E-01   | 0.000E+00   | 0.000E+00 | -1.638E-01     | -2.509E-01 | 0.000E+00  | -5.277E+01        | -2.504E+02 | 2.021E+02 | -5.008E+01         | 0.000E+00 | 0.000E+00 | 6.222E+02 |
| 3               | 1            | 3.000E-01   | 0.000E+00   | 0.000E+00 | -8.920E-02     | -1.960E-01 | 0.000E+00  | -1.201E+01        | -1.781E+02 | 1.267E+02 | -5.343E+01         | 0.000E+00 | 0.000E+00 | 5.498E+02 |
| 4               | 1            | 4.500E-01   | 0.000E+00   | 0.000E+00 | -1.904E-02     | -1.109E-01 | 0.000E+00  | 2.815E+01         | -1.148E+02 | 5.776E+01 | -5.166E+01         | 0.000E+00 | 0.000E+00 | 4.683E+02 |
| 5               | 1            | 6.000E-01   | 0.000E+00   | 0.000E+00 | 4.989E-03      | -6.794E-02 | 0.000E+00  | 3.574E+01         | -7.771E+01 | 2.798E+01 | -4.663E+01         | 0.000E+00 | 0.000E+00 | 4.052E+02 |
| 6               | 1            | 9.000E-01   | 0.000E+00   | 0.000E+00 | 1.256E-02      | -3.184E-02 | 0.000E+00  | 2.811E+01         | -4.097E+01 | 8.569E+00 | -3.687E+01         | 0.000E+00 | 0.000E+00 | 3.146E+02 |
| 7               | 1            | 1.200E+00   | 0.000E+00   | 0.000E+00 | 1.453E-02      | -1.761E-02 | 0.000E+00  | 2.064E+01         | -2.470E+01 | 2.704E+00 | -2.964E+01         | 0.000E+00 | 0.000E+00 | 2.529E+02 |
| 8               | 1            | 1.500E+00   | 0.000E+00   | 0.000E+00 | 9.943E-03      | -1.056E-02 | 0.000E+00  | 1.574E+01         | -1.615E+01 | 2.730E-01 | -2.423E+01         | 0.000E+00 | 0.000E+00 | 2.084E+02 |

รูปที่ ก.3 ค่าการขุดตัวของแบบจำลองโครงสร้างทางที่ Reddy สมมติขึ้นแบบที่ 2 จากการวิเคราะห์ที่ใช้โปรแกรม BISAR 3.0



**BISAR 3.0 - Block Report**  
**hypothetical3ly**  
**System 3: 3**

**Structure**

| Layer Number | Thickness (m) | Modulus of Elasticity (MPa) | Poisson's Ratio | Load Number | Vertical Load (kN) | Stress (MPa) | Horizontal (Shear) Load (kN) | Stress (MPa) | Radius (m) | X-Coord (m) | Y-Coord (m) | Shear Angle (Degrees) |
|--------------|---------------|-----------------------------|-----------------|-------------|--------------------|--------------|------------------------------|--------------|------------|-------------|-------------|-----------------------|
| 3            | 0.000         | 0.000E+00                   | 0.00            | 1           | 4.948E+01          | 7.000E-01    | 0.000E+00                    | 0.000E+00    | 1.500E-01  | 0.000E+00   | 0.000E+00   | 0.000E+00             |

**Loads**

| Position Number | Layer Number | X-Coord (m) | Y-Coord (m) | Depth (m) | Stresses (MPa) |            |            | Strains (µstrain) |            |           | Displacements (µm) |           |           |
|-----------------|--------------|-------------|-------------|-----------|----------------|------------|------------|-------------------|------------|-----------|--------------------|-----------|-----------|
|                 |              |             |             |           | XX             | YY         | ZZ         | XX                | YY         | ZZ        | UX                 | UY        | UZ        |
| 1               | 1            | 0.000E+00   | 0.000E+00   | 0.000E+00 | -9.826E-01     | -9.826E-01 | -7.000E-01 | -4.763E+02        | -4.763E+02 | 1.325E+02 | 0.000E+00          | 0.000E+00 | 8.034E+02 |
| 2               | 1            | 2.000E-01   | 0.000E+00   | 0.000E+00 | -7.367E-02     | -2.266E-01 | 0.000E+00  | 2.610E+01         | -3.033E+02 | 1.848E+02 | -6.065E+01         | 0.000E+00 | 5.617E+02 |
| 3               | 1            | 3.000E-01   | 0.000E+00   | 0.000E+00 | -1.152E-03     | -1.203E-01 | 0.000E+00  | 7.224E+01         | -1.843E+02 | 7.473E+01 | -5.530E+01         | 0.000E+00 | 4.621E+02 |
| 4               | 1            | 4.500E-01   | 0.000E+00   | 0.000E+00 | 1.451E-02      | -5.872E-02 | 0.000E+00  | 5.908E+01         | -9.952E+01 | 2.656E+01 | -4.478E+01         | 0.000E+00 | 3.726E+02 |
| 5               | 1            | 6.000E-01   | 0.000E+00   | 0.000E+00 | 5.941E-03      | -3.881E-02 | 0.000E+00  | 3.302E+01         | -6.336E+01 | 2.022E+01 | -3.801E+01         | 0.000E+00 | 3.177E+02 |
| 6               | 1            | 9.000E-01   | 0.000E+00   | 0.000E+00 | 1.001E-04      | -2.290E-02 | 0.000E+00  | 1.425E+01         | -3.529E+01 | 1.403E+01 | -3.176E+01         | 0.000E+00 | 2.493E+02 |
| 7               | 1            | 1.200E+00   | 0.000E+00   | 0.000E+00 | 2.207E-03      | -1.424E-02 | 0.000E+00  | 1.215E+01         | -2.327E+01 | 7.405E+00 | -2.792E+01         | 0.000E+00 | 2.036E+02 |
| 8               | 1            | 1.500E+00   | 0.000E+00   | 0.000E+00 | 3.843E-03      | -9.021E-03 | 0.000E+00  | 1.145E+01         | -1.624E+01 | 3.187E+00 | -2.437E+01         | 0.000E+00 | 1.697E+02 |

รูปที่ ก.4 ค่าการขุดตัวของแบบจำลองโครงสร้างทางที่ Reddy สมมติขึ้นแบบที่ 3 จากการวิเคราะห์ที่ใช้โปรแกรม BISAR 3.0



**BISAR 3.0 - Block Report**  
**hypothetical13ly**  
**System 4: 4**

**Structure**

| Layer Number | Thickness (m) | Modulus of Elasticity (MPa) | Poisson's Ratio | Load Number | Load (kN) | Vertical Stress (MPa) | Horizontal (Shear) Load (kN) | Stress (MPa) | Radius (m) | X-Coord (m) | Y-Coord (m) | Shear Angle (Degrees) |
|--------------|---------------|-----------------------------|-----------------|-------------|-----------|-----------------------|------------------------------|--------------|------------|-------------|-------------|-----------------------|
| 4            | 0.000         | 0.000E+00                   | 0.00            | 1           | 4.948E+01 | 7.000E-01             | 0.000E+00                    | 0.000E+00    | 1.500E-01  | 0.000E+00   | 0.000E+00   | 0.000E+00             |

**Loads**

| Position Number | Layer Number | X-Coord (m) | Y-Coord (m) | Depth (m) | XX (MPa)   | YY (MPa)   | ZZ (MPa)   | XX μstrain | YY μstrain | ZZ μstrain | UX (μm)    | UY (μm)   | UZ (μm)   |
|-----------------|--------------|-------------|-------------|-----------|------------|------------|------------|------------|------------|------------|------------|-----------|-----------|
| 1               | 1            | 0.000E+00   | 0.000E+00   | 0.000E+00 | -1.507E+00 | -1.507E+00 | -7.000E-01 | -2.497E+02 | -2.457E+02 | 2.022E+02  | 0.000E+00  | 0.000E+00 | 4.928E+02 |
| 2               | 1            | 2.000E-01   | 0.000E+00   | 0.000E+00 | -2.516E-01 | -5.120E-01 | 0.000E+00  | -1.874E+01 | -1.645E+02 | 1.222E+02  | -3.290E+01 | 0.000E+00 | 3.913E+02 |
| 3               | 1            | 3.000E-01   | 0.000E+00   | 0.000E+00 | -5.223E-02 | -2.887E-01 | 0.000E+00  | -2.526E+01 | -1.071E+02 | 5.457E+01  | -3.213E+01 | 0.000E+00 | 3.359E+02 |
| 4               | 1            | 4.500E-01   | 0.000E+00   | 0.000E+00 | 1.567E-02  | -1.470E-01 | 0.000E+00  | 2.979E+01  | -6.132E+01 | 2.102E+01  | -2.760E+01 | 0.000E+00 | 2.753E+02 |
| 5               | 1            | 6.000E-01   | 0.000E+00   | 0.000E+00 | 2.233E-02  | -8.953E-02 | 0.000E+00  | 2.326E+01  | -3.938E+01 | 1.075E+01  | -2.363E+01 | 0.000E+00 | 2.315E+02 |
| 6               | 1            | 9.000E-01   | 0.000E+00   | 0.000E+00 | 2.406E-02  | -4.007E-02 | 0.000E+00  | 1.604E+01  | -1.988E+01 | 2.562E+00  | -1.789E+01 | 0.000E+00 | 1.713E+02 |
| 7               | 1            | 1.200E+00   | 0.000E+00   | 0.000E+00 | 2.147E-02  | -2.005E-02 | 0.000E+00  | 1.180E+01  | -1.145E+01 | -2.273E-01 | -1.375E+01 | 0.000E+00 | 1.321E+02 |
| 8               | 1            | 1.500E+00   | 0.000E+00   | 0.000E+00 | 1.675E-02  | -1.117E-02 | 0.000E+00  | 8.488E+00  | -7.149E+00 | -8.924E-01 | -1.072E+01 | 0.000E+00 | 1.056E+02 |

รูปที่ ก.5 ค่าการขูดตัวของแบบจำลองโครงสร้างทางที่ Reddy สมมติขึ้นแบบที่ 4 จากการวิเคราะห์ที่ใช้โปรแกรม BISAR 3.0



**BISAR 3.0 - Block Report**  
**hypothetical3ly**  
**System 5: 5**

**Structure**

| Layer Number | Thickness (m) | Modulus of Elasticity (MPa) | Poisson's Ratio | Y-Coord (m) | Depth (m) | XX (MPa) | YY (MPa) | ZZ (MPa) | Stress (MPa) | Load (kN) | Vertical Stress (MPa) | Horizontal Load (kN) | Horizontal Stress (MPa) | Radius (m) | X-Coord (m) | Y-Coord (m) | Shear Angle (Degrees) |
|--------------|---------------|-----------------------------|-----------------|-------------|-----------|----------|----------|----------|--------------|-----------|-----------------------|----------------------|-------------------------|------------|-------------|-------------|-----------------------|
| 5            | 0.000         | 0.000E+00                   | 0.00            |             |           |          |          |          |              |           |                       |                      |                         |            |             |             |                       |
|              |               |                             |                 |             |           |          |          |          |              | 4.948E+01 | 7.000E-01             | 0.000E+00            | 0.000E+00               | 1.500E-01  | 0.000E+00   | 0.000E+00   | 0.000E+00             |

**Loads**

| Position Number | Layer Number | X-Coord (m) | Y-Coord (m) | Depth (m) | XX (MPa)   | YY (MPa)   | ZZ (MPa)   | Stresses (MPa) | XX (μstrain) | YY (μstrain) | ZZ (μstrain) | Displacements (μm) | UX (μm)   | UY (μm)   | UZ (μm)   |
|-----------------|--------------|-------------|-------------|-----------|------------|------------|------------|----------------|--------------|--------------|--------------|--------------------|-----------|-----------|-----------|
| 1               | 1            | 0.000E+00   | 0.000E+00   | 0.000E+00 | -1.347E+00 | -1.347E+00 | -7.000E-01 | -5.284E+02     | -5.284E+02   | -5.284E+02   | 3.778E+02    | 0.000E+00          | 0.000E+00 | 0.000E+00 | 1.053E+03 |
| 2               | 1            | 2.000E-01   | 0.000E+00   | 0.000E+00 | -1.578E-01 | -3.976E-01 | 0.000E+00  | 1.195E+00      | -3.344E+02   | -3.344E+02   | 2.222E+02    | -6.689E+01         | 0.000E+00 | 0.000E+00 | 9.192E+02 |
| 3               | 1            | 3.000E-01   | 0.000E+00   | 0.000E+00 | -4.990E-02 | -2.321E-01 | 0.000E+00  | 4.293E+01      | -2.121E+02   | -2.121E+02   | 1.128E+02    | -6.363E+01         | 0.000E+00 | 0.000E+00 | 7.082E+02 |
| 4               | 1            | 4.500E-01   | 0.000E+00   | 0.000E+00 | -3.012E-02 | -1.421E-01 | 0.000E+00  | 2.972E+01      | -1.301E+02   | -1.301E+02   | 6.889E+01    | -5.853E+01         | 0.000E+00 | 0.000E+00 | 5.965E+02 |
| 5               | 1            | 6.000E-01   | 0.000E+00   | 0.000E+00 | -1.096E-02 | -9.542E-02 | 0.000E+00  | 2.721E+01      | -9.104E+01   | -9.104E+01   | 4.255E+01    | -5.462E+01         | 0.000E+00 | 0.000E+00 | 5.133E+02 |
| 6               | 1            | 9.000E-01   | 0.000E+00   | 0.000E+00 | 1.457E-02  | -4.462E-02 | 0.000E+00  | 3.242E+01      | -5.045E+01   | -5.045E+01   | 1.202E+01    | -4.541E+01         | 0.000E+00 | 0.000E+00 | 3.891E+02 |
| 7               | 1            | 1.200E+00   | 0.000E+00   | 0.000E+00 | 1.969E-02  | -2.223E-02 | 0.000E+00  | 2.858E+01      | -3.011E+01   | -3.011E+01   | 1.016E+01    | -3.613E+01         | 0.000E+00 | 0.000E+00 | 3.027E+02 |
| 8               | 1            | 1.500E+00   | 0.000E+00   | 0.000E+00 | 1.758E-02  | -1.195E-02 | 0.000E+00  | 2.238E+01      | -1.898E+01   | -1.898E+01   | -2.252E+01   | -2.847E+01         | 0.000E+00 | 0.000E+00 | 2.420E+02 |

รูปที่ ก.6 ค่าการขูดตัวของแบบจำลองโครงสร้างทางที่ Reddy สมมติขึ้นแบบที่ 5 จากการวิเคราะห์ที่ใช้โปรแกรม BISAR 3.0



**BISR 3.0 - Block Report**  
**hypothetical3ly**  
**System 6: 6**

**Structure**

| Layer Number | Thickness (m) | Modulus of Elasticity (MPa) | Poisson's Ratio | Y-Coord (m) | Depth (m) | XX (MPa) | YY (MPa) | ZZ (MPa) | Horizontal (Shear) Load (kN) | Stress (MPa) | Radius (m) | X-Coord (m) | Y-Coord (m) | Shear Angle (Degrees) |
|--------------|---------------|-----------------------------|-----------------|-------------|-----------|----------|----------|----------|------------------------------|--------------|------------|-------------|-------------|-----------------------|
| 6            | 0.000         | 0.000E+00                   | 0.00            |             |           |          |          |          | 4.948E+01                    | 7.000E-01    | 0.000E+00  | 0.000E+00   | 0.000E+00   | 0.000E+00             |

**Loads**

|   |           |           |           |           |           |           |           |           |
|---|-----------|-----------|-----------|-----------|-----------|-----------|-----------|-----------|
| 1 | 4.948E+01 | 7.000E-01 | 0.000E+00 | 0.000E+00 | 1.500E-01 | 0.000E+00 | 0.000E+00 | 0.000E+00 |
|---|-----------|-----------|-----------|-----------|-----------|-----------|-----------|-----------|

| Position Number | Layer Number | X-Coord (m) | Y-Coord (m) | Depth (m) | Stresses (MPa) |            |            | Strains (µstrain) |            |           | Displacements (µm) |           |           |
|-----------------|--------------|-------------|-------------|-----------|----------------|------------|------------|-------------------|------------|-----------|--------------------|-----------|-----------|
|                 |              |             |             |           | XX             | YY         | ZZ         | XX                | YY         | ZZ        | UX                 | UY        | UZ        |
| 1               | 1            | 0.000E+00   | 0.000E+00   | 0.000E+00 | -9.797E-01     | -9.797E-01 | -7.000E-01 | -1.539E+02        | -1.539E+02 | 4.188E+01 | 0.000E+00          | 0.000E+00 | 3.608E+02 |
| 2               | 1            | 2.000E-01   | 0.000E+00   | 0.000E+00 | -1.649E-01     | -2.910E-01 | 0.000E+00  | -2.427E+01        | -1.125E+02 | 9.119E+01 | -2.250E+01         | 0.000E+00 | 2.882E+02 |
| 3               | 1            | 3.000E-01   | 0.000E+00   | 0.000E+00 | -9.213E-02     | -1.975E-01 | 0.000E+00  | -6.564E+00        | -6.032E+01 | 5.792E+01 | -2.410E+01         | 0.000E+00 | 2.558E+02 |
| 4               | 1            | 4.500E-01   | 0.000E+00   | 0.000E+00 | -2.297E-02     | -1.136E-01 | 0.000E+00  | 1.125E+01         | -5.223E+01 | 2.732E+01 | -2.350E+01         | 0.000E+00 | 2.193E+02 |
| 5               | 1            | 6.000E-01   | 0.000E+00   | 0.000E+00 | 1.576E-03      | -7.082E-02 | 0.000E+00  | 1.495E+01         | -3.573E+01 | 1.385E+01 | -2.144E+01         | 0.000E+00 | 1.907E+02 |
| 6               | 1            | 9.000E-01   | 0.000E+00   | 0.000E+00 | 1.123E-02      | -3.384E-02 | 0.000E+00  | 1.238E+01         | -1.917E+01 | 4.522E+00 | -1.725E+01         | 0.000E+00 | 1.491E+02 |
| 7               | 1            | 1.200E+00   | 0.000E+00   | 0.000E+00 | 1.151E-02      | -1.871E-02 | 0.000E+00  | 9.500E+00         | -1.166E+01 | 1.440E+00 | -1.399E+01         | 0.000E+00 | 1.202E+02 |
| 8               | 1            | 1.500E+00   | 0.000E+00   | 0.000E+00 | 1.042E-02      | -1.112E-02 | 0.000E+00  | 7.434E+00         | -7.645E+00 | 1.403E-01 | -1.147E+01         | 0.000E+00 | 9.913E+01 |

รูปที่ ก.7 ค่าการขูดตัวของแบบจำลองโครงสร้างทางที่ Reddy สมมติขึ้นมาแบบที่ 6 จากการศึกษาวิเคราะห์ที่ใช้โปรแกรม BISR 3.0





**BISR 3.0 - Block Report**  
**hypothetical3ly**  
**System 7: 7**

**Structure**

| Layer Number | Thickness (m) | Modulus of Elasticity (MPa) | Poisson's Ratio | Y-Coord (m) | Depth (m) | XX (MPa) | YY (MPa) | ZZ (MPa) | Vertical Load (kN) | Stress (MPa) | Horizontal Load (kN) | Stress (MPa) | Radius (m) | X-Coord (m) | Y-Coord (m) | Shear Angle (Degrees) |
|--------------|---------------|-----------------------------|-----------------|-------------|-----------|----------|----------|----------|--------------------|--------------|----------------------|--------------|------------|-------------|-------------|-----------------------|
| 7            | 0.000         | 0.000E+00                   | 0.00            |             |           |          |          |          |                    |              |                      |              |            |             |             |                       |
|              |               |                             |                 |             |           |          |          |          | 1                  | 4.948E+01    | 7.000E-01            | 0.000E+00    | 1.500E-01  | 0.000E+00   | 0.000E+00   | 0.000E+00             |

**Loads**

| Position Number | Layer Number | X-Coord (m) | Y-Coord (m) | Depth (m) | Stresses (MPa) |            |            | Strains (µstrain) |            |           | Displacements (µm) |           |           |
|-----------------|--------------|-------------|-------------|-----------|----------------|------------|------------|-------------------|------------|-----------|--------------------|-----------|-----------|
|                 |              |             |             |           | XX             | YY         | ZZ         | XX                | YY         | ZZ        | UX                 | UY        | UZ        |
| 1               | 1            | 0.000E+00   | 0.000E+00   | 0.000E+00 | -1.127E+00     | -1.127E+00 | -7.000E-01 | -1.801E+02        | -1.801E+02 | 9.164E+01 | 0.000E+00          | 0.000E+00 | 3.786E+02 |
| 2               | 1            | 2.000E-01   | 0.000E+00   | 0.000E+00 | -1.595E-01     | -3.314E-01 | 0.000E+00  | -1.225E+01        | -1.216E+02 | 8.925E+01 | -2.432E+01         | 0.000E+00 | 2.985E+02 |
| 3               | 1            | 3.000E-01   | 0.000E+00   | 0.000E+00 | -5.003E-02     | -1.969E-01 | 0.000E+00  | 1.305E+01         | -6.039E+01 | 4.489E+01 | -2.412E+01         | 0.000E+00 | 2.608E+02 |
| 4               | 1            | 4.500E-01   | 0.000E+00   | 0.000E+00 | -3.983E-03     | -1.067E-01 | 0.000E+00  | 1.759E+01         | -4.779E+01 | 2.013E+01 | -2.150E+01         | 0.000E+00 | 2.218E+02 |
| 5               | 1            | 6.000E-01   | 0.000E+00   | 0.000E+00 | -1.009E-03     | -7.100E-02 | 0.000E+00  | 1.245E+01         | -3.209E+01 | 1.309E+01 | -1.925E+01         | 0.000E+00 | 1.939E+02 |
| 6               | 1            | 9.000E-01   | 0.000E+00   | 0.000E+00 | 2.050E-03      | -3.520E-02 | 0.000E+00  | 8.058E+00         | -1.819E+01 | 6.754E+00 | -1.637E+01         | 0.000E+00 | 1.546E+02 |
| 7               | 1            | 1.200E+00   | 0.000E+00   | 0.000E+00 | 6.922E-03      | -2.304E-02 | 0.000E+00  | 7.336E+00         | -1.173E+01 | 2.930E+00 | -1.408E+01         | 0.000E+00 | 1.265E+02 |
| 8               | 1            | 1.500E+00   | 0.000E+00   | 0.000E+00 | 8.877E-03      | -1.402E-02 | 0.000E+00  | 6.585E+00         | -7.988E+00 | 9.356E-01 | -1.198E+01         | 0.000E+00 | 1.052E+02 |

รูปที่ ก.8 ค่าการขูดตัวของแบบจำลองโครงสร้างทางที่ Reddy สมมติขึ้นแบบที่ 7 จากการวิเคราะห์ที่ใช้โปรแกรม BISR 3.0



**BISR 3.0 - Block Report**  
**hypothetical13ly**  
**System 8: 8**

**Structure**

| Layer Number | Thickness (m) | Modulus of Elasticity (MPa) | Poisson's Ratio | Y-Coord (m) | Depth (m) | XX (MPa) | YY (MPa) | ZZ (MPa) | Horizontal (Shear) Load (kN) | Stress (MPa) | Radius (m) | X-Coord (m) | Y-Coord (m) | Shear Angle (Degrees) |
|--------------|---------------|-----------------------------|-----------------|-------------|-----------|----------|----------|----------|------------------------------|--------------|------------|-------------|-------------|-----------------------|
| 8            | 0.000         | 0.000E+00                   | 0.00            |             |           |          |          |          |                              |              |            |             |             |                       |
|              |               |                             |                 |             |           |          |          |          | 4.948E+01                    | 7.000E-01    | 0.000E+00  | 0.000E+00   | 0.000E+00   | 0.000E+00             |

**Loads**

| Position Number | Layer Number | X-Coord (m) | Y-Coord (m) | Depth (m) | XX (MPa)   | YY (MPa)   | ZZ (MPa)   | XX (μstrain) | YY (μstrain) | ZZ (μstrain) | UX (μm)    | UY (μm)   | UZ (μm)   |
|-----------------|--------------|-------------|-------------|-----------|------------|------------|------------|--------------|--------------|--------------|------------|-----------|-----------|
| 1               | 1            | 0.000E+00   | 0.000E+00   | 0.000E+00 | -1.135E+00 | -1.135E+00 | -7.000E-01 | -2.673E+02   | -2.673E+02   | 1.386E+02    | 0.000E+00  | 0.000E+00 | 5.906E+02 |
| 2               | 1            | 2.000E-01   | 0.000E+00   | 0.000E+00 | -1.552E-01 | -3.305E-01 | 0.000E+00  | -1.535E+01   | -1.789E+02   | 1.295E+02    | -3.579E+01 | 0.000E+00 | 4.717E+02 |
| 3               | 1            | 3.000E-01   | 0.000E+00   | 0.000E+00 | -4.683E-02 | -1.949E-01 | 0.000E+00  | -2.076E+01   | -1.175E+02   | 6.447E+01    | -3.524E+01 | 0.000E+00 | 4.162E+02 |
| 4               | 1            | 4.500E-01   | 0.000E+00   | 0.000E+00 | -7.724E-03 | -1.090E-01 | 0.000E+00  | 2.365E+01    | -6.994E+01   | 3.086E+01    | -3.147E+01 | 0.000E+00 | 3.596E+02 |
| 5               | 1            | 6.000E-01   | 0.000E+00   | 0.000E+00 | -8.085E-03 | -7.482E-02 | 0.000E+00  | 1.456E+01    | -4.772E+01   | 2.211E+01    | -2.863E+01 | 0.000E+00 | 3.198E+02 |
| 6               | 1            | 9.000E-01   | 0.000E+00   | 0.000E+00 | -4.812E-03 | -4.442E-02 | 0.000E+00  | 8.638E+00    | -2.833E+01   | 1.313E+01    | -2.550E+01 | 0.000E+00 | 2.627E+02 |
| 7               | 1            | 1.200E+00   | 0.000E+00   | 0.000E+00 | 2.482E-03  | -2.760E-02 | 0.000E+00  | 9.015E+00    | -1.906E+01   | 6.697E+00    | -2.287E+01 | 0.000E+00 | 2.201E+02 |
| 8               | 1            | 1.500E+00   | 0.000E+00   | 0.000E+00 | 6.531E-03  | -1.753E-02 | 0.000E+00  | 9.030E+00    | -1.343E+01   | 2.934E+00    | -2.014E+01 | 0.000E+00 | 1.864E+02 |

รูปที่ ก.9 ค่าการขุดตัวของแบบจำลองโครงสร้างทางที่ Reddy สมมติขึ้นแบบที่ 8 จากการวิเคราะห์ที่ใช้โปรแกรม BISR 3.0



**BISAR 3.0 - Block Report**  
**hypothetical3ly**  
**System 9: 9**

**Structure**

| Layer Number | Thickness (m) | Modulus of Elasticity (MPa) | Poisson's Ratio | Y-Coord (m) | Depth (m) | XX (MPa) | YY (MPa) | ZZ (MPa) | Vertical Load (kN) | Stress (MPa) | Horizontal Load (kN) | Stress (MPa) | Radius (m) | X-Coord (m) | Y-Coord (m) | Shear Angle (Degrees) |
|--------------|---------------|-----------------------------|-----------------|-------------|-----------|----------|----------|----------|--------------------|--------------|----------------------|--------------|------------|-------------|-------------|-----------------------|
| 9            | 0.000         | 0.000E+00                   | 0.00            |             |           |          |          |          |                    |              |                      |              |            |             |             |                       |
| 1            |               |                             |                 |             |           |          |          |          | 4.948E+01          | 7.000E-01    | 0.000E+00            | 0.000E+00    | 1.500E-01  | 0.000E+00   | 0.000E+00   | 0.000E+00             |

**Loads**

| Position Number | Layer Number | X-Coord (m) | Y-Coord (m) | Depth (m) | Stresses (MPa) |            |            | Strains ( $\mu$ strain) |            |            | Displacements ( $\mu$ m) |            |            |            |            |           |
|-----------------|--------------|-------------|-------------|-----------|----------------|------------|------------|-------------------------|------------|------------|--------------------------|------------|------------|------------|------------|-----------|
|                 |              |             |             |           | XX             | YY         | ZZ         | XX                      | YY         | ZZ         | UX                       | UY         | UZ         |            |            |           |
| 1               | 1            | 0.000E+00   | 0.000E+00   | 0.000E+00 | -1.548E+00     | -1.548E+00 | -7.000E-01 | -9.273E+02              | -9.272E+02 | 7.697E+02  | 0.000E+00                | 0.000E+00  | 0.000E+00  | 0.000E+00  | 0.000E+00  | 1.297E+03 |
| 2               | 1            | 2.000E-01   | 0.000E+00   | 0.000E+00 | -9.090E-02     | -4.125E-01 | 0.000E+00  | 1.050E+02               | -5.373E+02 | 2.876E+02  | -1.075E+02               | -1.075E+02 | -1.075E+02 | -1.075E+02 | -1.075E+02 | 8.746E+02 |
| 3               | 1            | 3.000E-01   | 0.000E+00   | 0.000E+00 | 7.599E-02      | -1.773E-01 | 0.000E+00  | 2.090E+02               | -2.967E+02 | 5.790E+02  | -8.902E+01               | -8.902E+01 | -8.902E+01 | -8.902E+01 | -8.902E+01 | 6.693E+02 |
| 4               | 1            | 4.500E-01   | 0.000E+00   | 0.000E+00 | 5.976E-02      | -7.464E-02 | 0.000E+00  | 1.280E+02               | -1.408E+02 | 8.500E+00  | -6.335E+01               | -6.335E+01 | -6.335E+01 | -6.335E+01 | -6.335E+01 | 4.871E+02 |
| 5               | 1            | 6.000E-01   | 0.000E+00   | 0.000E+00 | 3.472E-02      | -4.295E-02 | 0.000E+00  | 7.415E+01               | -8.120E+01 | 4.704E+00  | -4.872E+01               | -4.872E+01 | -4.872E+01 | -4.872E+01 | -4.872E+01 | 3.804E+02 |
| 6               | 1            | 9.000E-01   | 0.000E+00   | 0.000E+00 | 1.842E-02      | -1.846E-02 | 0.000E+00  | 3.685E+01               | -3.689E+01 | 2.275E-02  | -3.320E+01               | -3.320E+01 | -3.320E+01 | -3.320E+01 | -3.320E+01 | 2.593E+02 |
| 7               | 1            | 1.200E+00   | 0.000E+00   | 0.000E+00 | 1.130E-02      | -9.858E-03 | 0.000E+00  | 2.177E+01               | -2.054E+01 | -8.226E-01 | -2.465E+01               | -2.465E+01 | -2.465E+01 | -2.465E+01 | -2.465E+01 | 1.936E+02 |
| 8               | 1            | 1.500E+00   | 0.000E+00   | 0.000E+00 | 6.965E-03      | -6.288E-03 | 0.000E+00  | 1.357E+01               | -1.297E+01 | -3.981E-01 | -1.946E+01               | -1.946E+01 | -1.946E+01 | -1.946E+01 | -1.946E+01 | 1.536E+02 |

รูปที่ ก.10 ค่าการยุบตัวของแบบจำลองโครงสร้างทางที่ Reddy สมมุติขึ้นแบบที่ 9 จากการวิเคราะห์ที่ใช้โปรแกรม BISAR 3.0



### BISAR 3.0 - Block Report

### hypothetical3ly

### System 10: 10

#### Structure

| Layer Number | Thickness (m) | Modulus of Elasticity (MPa) | Poisson's Ratio | Load Number | Load (kN) | Vertical Stress (MPa) | Horizontal (Shear) Load (kN) | Stress (MPa) | Radius (m) | X-Coord (m) | Y-Coord (m) | Shear Angle (Degrees) |
|--------------|---------------|-----------------------------|-----------------|-------------|-----------|-----------------------|------------------------------|--------------|------------|-------------|-------------|-----------------------|
| 1            | 0.000         | 0.000E+00                   | 0.000           | 1           | 4.948E+01 | 7.000E-01             | 0.000E+00                    | 0.000E+00    | 1.500E-01  | 0.000E+00   | 0.000E+00   | 0.000E+00             |

#### Loads

| Position Layer Number | X-Coord (m) | Y-Coord (m) | Depth (m) | Stresses (MPa) |            |            | Strains (µstrain) |            |            | Displacements (µm) |           |           |
|-----------------------|-------------|-------------|-----------|----------------|------------|------------|-------------------|------------|------------|--------------------|-----------|-----------|
|                       |             |             |           | XX             | YY         | ZZ         | XX                | YY         | ZZ         | UX                 | UY        | UZ        |
| 1                     | 0.000E+00   | 0.000E+00   | 0.000E+00 | -1.084E+00     | -1.094E+00 | -7.000E-01 | -3.085E+02        | -3.084E+02 | 1.390E+02  | 0.000E+00          | 0.000E+00 | 7.184E+02 |
| 2                     | 2.000E-01   | 0.000E+00   | 0.000E+00 | -2.068E-01     | -3.523E-01 | 0.000E+00  | -5.492E+01        | -2.246E+02 | 1.864E+02  | -4.493E+01         | 0.000E+00 | 5.838E+02 |
| 3                     | 3.000E-01   | 0.000E+00   | 0.000E+00 | -1.049E-01     | -2.344E-01 | 0.000E+00  | -9.299E+00        | -1.604E+02 | 1.131E+02  | -4.811E+01         | 0.000E+00 | 5.185E+02 |
| 4                     | 4.500E-01   | 0.000E+00   | 0.000E+00 | -2.227E-02     | -1.324E-01 | 0.000E+00  | 2.558E+01         | -1.029E+02 | 5.157E+01  | -4.652E+01         | 0.000E+00 | 4.424E+02 |
| 5                     | 6.000E-01   | 0.000E+00   | 0.000E+00 | 4.595E-03      | -8.192E-02 | 0.000E+00  | 3.113E+01         | -6.980E+01 | 2.578E+01  | -4.188E+01         | 0.000E+00 | 3.825E+02 |
| 6                     | 9.000E-01   | 0.000E+00   | 0.000E+00 | 1.585E-02      | -3.794E-02 | 0.000E+00  | 2.585E+01         | -3.690E+01 | 7.363E+00  | -3.321E+01         | 0.000E+00 | 2.948E+02 |
| 7                     | 1.200E+00   | 0.000E+00   | 0.000E+00 | 1.606E-02      | -1.994E-02 | 0.000E+00  | 2.003E+01         | -2.197E+01 | 1.294E+00  | -2.636E+01         | 0.000E+00 | 2.340E+02 |
| 8                     | 1.500E+00   | 0.000E+00   | 0.000E+00 | 1.350E-02      | -1.130E-02 | 0.000E+00  | 1.535E+01         | -1.405E+01 | -8.651E-01 | -2.108E+01         | 0.000E+00 | 1.905E+02 |

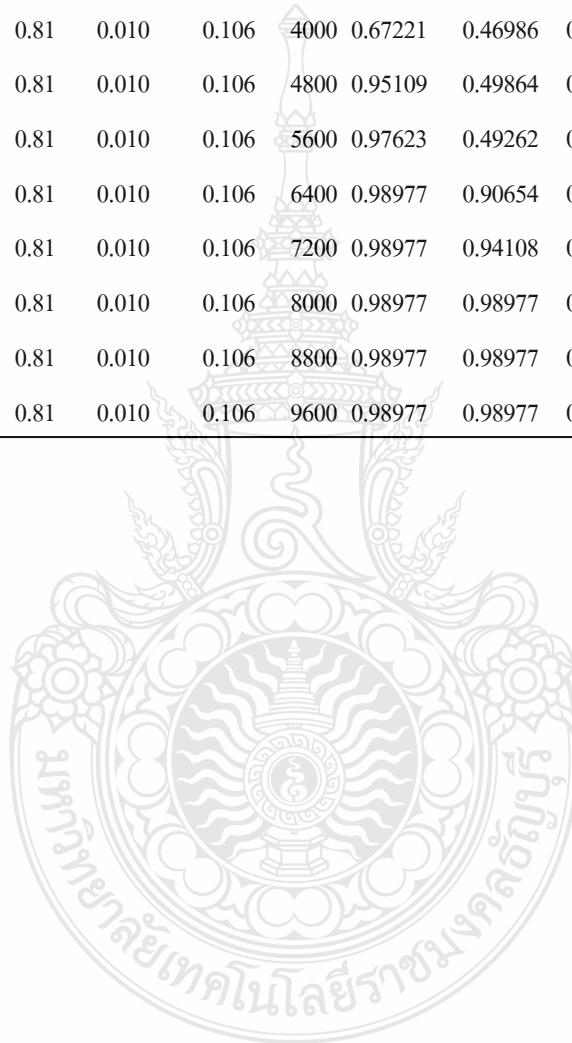
รูปที่ ก.11 ค่าการยวบยตัวของแบบจำลองโครงสร้างทางที่ Ruddy สมมุติขึ้นแบบที่ 10 จากการศึกษาวิเคราะห์โดยใช้โปรแกรม BISAR 3.0

ภาคผนวก ข  
รายละเอียดของค่าพารามิเตอร์ที่ได้จากการสุ่ม



ตารางที่ ข.1 รายละเอียดของค่าพารามิเตอร์ที่มีการเปิด-ปิดเทคนิคแบบใหม่ และค่าความเหมาะสม

| Rank | maxgen | numpop | pcross | pjumpmu | pcreepmu | CE   | Fitness |            |            |              |             |
|------|--------|--------|--------|---------|----------|------|---------|------------|------------|--------------|-------------|
|      |        |        |        |         |          |      | All on  | iunifm off | icreep off | ibstmold off | niching off |
| 1    | 40     | 40     | 0.81   | 0.010   | 0.068    | 1600 | 0.31829 | 0.12923    | 0.00205    | 0.00091      | 0.01476     |
| 2    | 60     | 40     | 0.81   | 0.010   | 0.106    | 2400 | 0.57495 | 0.21311    | 0.01769    | 0.00408      | 0.01915     |
| 3    | 80     | 40     | 0.81   | 0.010   | 0.106    | 3200 | 0.65690 | 0.29279    | 0.02389    | 0.9559       | 0.02321     |
| 4    | 100    | 40     | 0.81   | 0.010   | 0.106    | 4000 | 0.67221 | 0.46986    | 0.02408    | 0.93213      | 0.03675     |
| 5    | 120    | 40     | 0.81   | 0.010   | 0.106    | 4800 | 0.95109 | 0.49864    | 0.02408    | 0.95827      | 0.29897     |
| 6    | 140    | 40     | 0.81   | 0.010   | 0.106    | 5600 | 0.97623 | 0.49262    | 0.02408    | 0.95827      | 0.29897     |
| 7    | 160    | 40     | 0.81   | 0.010   | 0.106    | 6400 | 0.98977 | 0.90654    | 0.02408    | 0.93899      | 0.47205     |
| 8    | 180    | 40     | 0.81   | 0.010   | 0.106    | 7200 | 0.98977 | 0.94108    | 0.02408    | 0.95972      | 0.47285     |
| 9    | 200    | 40     | 0.81   | 0.010   | 0.106    | 8000 | 0.98977 | 0.98977    | 0.02408    | 0.9612       | 0.47285     |
| 10   | 220    | 40     | 0.81   | 0.010   | 0.106    | 8800 | 0.98977 | 0.98977    | 0.02408    | 0.97623      | 0.47285     |
| 11   | 240    | 40     | 0.81   | 0.010   | 0.106    | 9600 | 0.98977 | 0.98977    | 0.02408    | 0.98977      | 0.47285     |



ตารางที่ ข.2 รายละเอียดของค่าพารามิเตอร์ที่มีการแปรผันค่าอัตราของตัวดำเนินการ และผลการ  
คำนวณย้อนกลับ

| Rank   | maxgen | numpop | pcross | pjumpmu | iunifm | icreep | pcreepmu | ibstmold | niching | CE    | Fitness | Max Err | RMSE | E1   | E2  | E3 |
|--------|--------|--------|--------|---------|--------|--------|----------|----------|---------|-------|---------|---------|------|------|-----|----|
| numpop |        |        |        |         |        |        |          |          |         |       |         |         |      |      |     |    |
| 1      | 140    | 40     | 0.81   | 0.010   | on     | on     | 0.106    | on       | on      | 5600  | 0.97623 | 0.01    | 0.10 | 2998 | 300 | 50 |
| 2      | 140    | 60     | 0.81   | 0.010   | on     | on     | 0.106    | on       | on      | 8400  | 0.39794 | 0.13    | 0.05 | 2930 | 303 | 50 |
| 3      | 140    | 80     | 0.81   | 0.010   | on     | on     | 0.106    | on       | on      | 11200 | 0.98977 | 0.01    | 0.01 | 3000 | 300 | 50 |
| 4      | 140    | 100    | 0.81   | 0.010   | on     | on     | 0.106    | on       | on      | 14000 | 0.40169 | 0.11    | 0.06 | 2918 | 304 | 50 |
| 5      | 140    | 120    | 0.81   | 0.010   | on     | on     | 0.106    | on       | on      | 16800 | 0.29505 | -0.14   | 0.09 | 2894 | 306 | 50 |
| 6      | 140    | 140    | 0.81   | 0.010   | on     | on     | 0.106    | on       | on      | 19600 | 0.98977 | 0.01    | 0.01 | 3000 | 300 | 50 |
| 7      | 140    | 160    | 0.81   | 0.010   | on     | on     | 0.106    | on       | on      | 22400 | 0.18799 | -0.20   | 0.12 | 2867 | 308 | 50 |
| 8      | 140    | 180    | 0.81   | 0.010   | on     | on     | 0.106    | on       | on      | 25200 | 0.29505 | -0.14   | 0.09 | 2894 | 306 | 50 |
| 9      | 140    | 200    | 0.81   | 0.010   | on     | on     | 0.106    | on       | on      | 28000 | 0.36225 | -0.13   | 0.08 | 2916 | 305 | 50 |
| 10     | 140    | 220    | 0.81   | 0.010   | on     | on     | 0.106    | on       | on      | 30800 | 0.07046 | -0.39   | 0.15 | 3221 | 291 | 50 |
| 11     | 140    | 240    | 0.81   | 0.010   | on     | on     | 0.106    | on       | on      | 33600 | 0.29050 | -0.14   | 0.09 | 2894 | 306 | 50 |
| pcross |        |        |        |         |        |        |          |          |         |       |         |         |      |      |     |    |
| 1      | 140    | 40     | 0.70   | 0.010   | on     | on     | 0.106    | on       | on      | 5600  | 0.98977 | 0.01    | 0.01 | 3000 | 300 | 50 |
| 2      | 140    | 40     | 0.71   | 0.010   | on     | on     | 0.106    | on       | on      | 5600  | 0.15427 | -0.23   | 0.14 | 2852 | 309 | 50 |
| 3      | 140    | 40     | 0.72   | 0.010   | on     | on     | 0.106    | on       | on      | 5600  | 0.66741 | 0.06    | 0.04 | 3057 | 297 | 50 |
| 4      | 140    | 40     | 0.73   | 0.010   | on     | on     | 0.106    | on       | on      | 5600  | 0.98977 | 0.01    | 0.10 | 3000 | 300 | 50 |
| 5      | 140    | 40     | 0.74   | 0.010   | on     | on     | 0.106    | on       | on      | 5600  | 0.72938 | -0.06   | 0.03 | 3044 | 298 | 50 |
| 6      | 140    | 40     | 0.75   | 0.010   | on     | on     | 0.106    | on       | on      | 5600  | 0.98977 | 0.01    | 0.01 | 3000 | 300 | 50 |
| 7      | 140    | 40     | 0.76   | 0.010   | on     | on     | 0.106    | on       | on      | 5600  | 0.98977 | 0.01    | 0.01 | 3000 | 300 | 50 |
| 8      | 140    | 40     | 0.77   | 0.010   | on     | on     | 0.106    | on       | on      | 5600  | 0.67221 | 0.06    | 0.04 | 3056 | 297 | 50 |
| 9      | 140    | 40     | 0.78   | 0.010   | on     | on     | 0.106    | on       | on      | 5600  | 0.98977 | 0.01    | 0.01 | 3000 | 300 | 50 |
| 10     | 140    | 40     | 0.79   | 0.010   | on     | on     | 0.106    | on       | on      | 5600  | 0.14017 | 0.22    | 0.14 | 3188 | 290 | 50 |
| 11     | 140    | 40     | 0.80   | 0.010   | on     | on     | 0.106    | on       | on      | 5600  | 0.98977 | 0.01    | 0.01 | 3000 | 300 | 50 |
| 12     | 140    | 40     | 0.81   | 0.010   | on     | on     | 0.106    | on       | on      | 5600  | 0.97623 | 0.01    | 0.01 | 2998 | 300 | 50 |
| 13     | 140    | 40     | 0.82   | 0.010   | on     | on     | 0.106    | on       | on      | 5600  | 0.98977 | 0.01    | 0.01 | 3000 | 300 | 50 |
| 14     | 140    | 40     | 0.83   | 0.010   | on     | on     | 0.106    | on       | on      | 5600  | 0.02416 | -0.53   | 0.35 | 2548 | 326 | 50 |
| 15     | 140    | 40     | 0.84   | 0.010   | on     | on     | 0.106    | on       | on      | 5600  | 0.12969 | -0.25   | 0.15 | 2836 | 310 | 50 |
| 16     | 140    | 40     | 0.850  | 0.010   | on     | on     | 0.106    | on       | on      | 5600  | 0.98977 | 0.01    | 0.01 | 3000 | 300 | 50 |
| 17     | 140    | 40     | 0.860  | 0.010   | on     | on     | 0.106    | on       | on      | 5600  | 0.98977 | 0.01    | 0.01 | 3000 | 300 | 50 |
| 18     | 140    | 40     | 0.87   | 0.010   | on     | on     | 0.106    | on       | on      | 5600  | 0.03360 | -0.47   | 0.30 | 2621 | 322 | 50 |
| 19     | 140    | 40     | 0.88   | 0.010   | on     | on     | 0.106    | on       | on      | 5600  | 0.98977 | 0.01    | 0.01 | 3000 | 300 | 50 |
| 20     | 140    | 40     | 0.89   | 0.010   | on     | on     | 0.106    | on       | on      | 5600  | 0.98977 | 0.01    | 0.01 | 3000 | 300 | 50 |
| 21     | 140    | 40     | 0.90   | 0.010   | on     | on     | 0.106    | on       | on      | 5600  | 0.98977 | 0.01    | 0.01 | 3000 | 300 | 50 |

ตารางที่ ข.2 รายละเอียดของค่าพารามิเตอร์ที่มีการแปรผันค่าอัตราของตัวดำเนินการ และผลการ  
คำนวณย้อนกลับ (ต่อ)

| Rank    | maxgen | numpop | pcross | pjumpmu | iunifm | icreep | pcreepmu | ibstmold | niching | CE   | Fitness | Max Err | RMSE | E1    | E2  | E3 |
|---------|--------|--------|--------|---------|--------|--------|----------|----------|---------|------|---------|---------|------|-------|-----|----|
| pjumpmu |        |        |        |         |        |        |          |          |         |      |         |         |      |       |     |    |
| 1       | 140    | 40     | 0.81   | 0.006   | on     | on     | 0.106    | on       | on      | 5600 | 0.65690 | 0.07    | 0.04 | 3051  | 297 | 50 |
| 2       | 140    | 40     | 0.81   | 0.007   | on     | on     | 0.106    | on       | on      | 5600 | 0.94108 | 0.03    | 0.01 | 2996  | 300 | 50 |
| 3       | 140    | 40     | 0.81   | 0.008   | on     | on     | 0.106    | on       | on      | 5600 | 0.28858 | -0.13   | 0.09 | 2889  | 306 | 50 |
| 4       | 140    | 40     | 0.81   | 0.009   | on     | on     | 0.106    | on       | on      | 5600 | 0.47285 | -0.10   | 0.06 | 2929  | 304 | 50 |
| 5       | 140    | 40     | 0.81   | 0.010   | on     | on     | 0.106    | on       | on      | 5600 | 0.97623 | 0.01    | 0.01 | 2998  | 300 | 50 |
| 6       | 140    | 40     | 0.81   | 0.011   | on     | on     | 0.106    | on       | on      | 5600 | 0.98977 | 0.01    | 0.01 | 3000  | 300 | 50 |
| 7       | 140    | 40     | 0.81   | 0.012   | on     | on     | 0.106    | on       | on      | 5600 | 0.98977 | 0.01    | 0.01 | 3000  | 300 | 50 |
| 8       | 140    | 40     | 0.81   | 0.013   | on     | on     | 0.106    | on       | on      | 5600 | 0.15360 | -0.19   | 0.13 | 2832  | 309 | 50 |
| 9       | 140    | 40     | 0.81   | 0.014   | on     | on     | 0.106    | on       | on      | 5600 | 0.26962 | -0.16   | 0.10 | 2904  | 306 | 50 |
| 10      | 140    | 40     | 0.81   | 0.015   | on     | on     | 0.106    | on       | on      | 5600 | 0.98594 | 0.01    | 0.01 | 2999  | 300 | 50 |
| 11      | 140    | 40     | 0.81   | 0.016   | on     | on     | 0.106    | on       | on      | 5600 | 0.94108 | 0.03    | 0.01 | 2996  | 300 | 50 |
| 12      | 140    | 40     | 0.81   | 0.017   | on     | on     | 0.106    | on       | on      | 5600 | 0.04422 | -0.42   | 0.26 | 2676  | 319 | 50 |
| 13      | 140    | 40     | 0.81   | 0.018   | on     | on     | 0.106    | on       | on      | 5600 | 0.00985 | -0.97   | 0.06 | 2393  | 341 | 50 |
| 14      | 140    | 40     | 0.81   | 0.019   | on     | on     | 0.106    | on       | on      | 5600 | 0.98977 | 0.01    | 0.01 | 3000  | 300 | 50 |
| 15      | 140    | 40     | 0.81   | 0.020   | on     | on     | 0.106    | on       | on      | 5600 | 0.67441 | 0.06    | 0.04 | 3055  | 297 | 50 |
| 16      | 140    | 40     | 0.81   | 0.021   | on     | on     | 0.106    | on       | on      | 5600 | 0.12842 | 0.24    | 0.13 | 2820  | 309 | 50 |
| 17      | 140    | 40     | 0.81   | 0.022   | on     | on     | 0.106    | on       | on      | 5600 | 0.37050 | -0.12   | 0.07 | 2910  | 305 | 50 |
| 18      | 140    | 40     | 0.81   | 0.023   | on     | on     | 0.106    | on       | on      | 5600 | 0.29505 | -0.14   | 0.09 | 2894  | 306 | 50 |
| 19      | 140    | 40     | 0.81   | 0.024   | on     | on     | 0.106    | on       | on      | 5600 | 0.66741 | 0.06    | 0.04 | 3057  | 297 | 50 |
| 20      | 140    | 40     | 0.81   | 0.025   | on     | on     | 0.106    | on       | on      | 5600 | 0.63828 | -0.06   | 0.04 | 3060  | 297 | 50 |
| 21      | 140    | 40     | 0.81   | 0.026   | on     | on     | 0.106    | on       | on      | 5600 | 0.01912 | -0.64   | 0.40 | 2501  | 330 | 50 |
| 22      | 140    | 40     | 0.81   | 0.027   | on     | on     | 0.106    | on       | on      | 5600 | 0.03371 | -0.50   | 0.31 | 2634  | 322 | 50 |
| 23      | 140    | 40     | 0.81   | 0.028   | on     | on     | 0.106    | on       | on      | 5600 | 0.90065 | -0.03   | 0.01 | 3023  | 299 | 50 |
| 24      | 140    | 40     | 0.81   | 0.029   | on     | on     | 0.106    | on       | on      | 5600 | 0.90654 | -0.03   | 0.02 | 2982  | 301 | 50 |
| 25      | 140    | 40     | 0.81   | 0.030   | on     | on     | 0.106    | on       | on      | 5600 | 0.01792 | -0.58   | 0.40 | 2475  | 330 | 50 |
| 26      | 140    | 40     | 0.81   | 0.031   | on     | on     | 0.106    | on       | on      | 5600 | 0.10438 | 0.24    | 0.15 | 2791  | 311 | 50 |
| 27      | 140    | 40     | 0.81   | 0.032   | on     | on     | 0.106    | on       | on      | 5600 | 0.50860 | -0.07   | 0.05 | 3078  | 298 | 50 |
| 28      | 140    | 40     | 0.81   | 0.033   | on     | on     | 0.106    | on       | on      | 5600 | 0.26489 | -0.17   | 0.10 | 29025 | 306 | 50 |
| 29      | 140    | 40     | 0.81   | 0.034   | on     | on     | 0.106    | on       | on      | 5600 | 0.98549 | 0.01    | 0.01 | 2999  | 300 | 50 |
| 30      | 140    | 40     | 0.81   | 0.035   | on     | on     | 0.106    | on       | on      | 5600 | 0.83399 | 0.03    | 0.02 | 3011  | 299 | 50 |
| 31      | 140    | 40     | 0.81   | 0.036   | on     | on     | 0.106    | on       | on      | 5600 | 0.83401 | 0.04    | 0.03 | 3036  | 298 | 50 |
| 32      | 140    | 40     | 0.81   | 0.037   | on     | on     | 0.106    | on       | on      | 5600 | 0.60340 | -0.08   | 0.05 | 2947  | 303 | 50 |
| 33      | 140    | 40     | 0.81   | 0.038   | on     | on     | 0.106    | on       | on      | 5600 | 0.88875 | 0.04    | 0.02 | 2997  | 300 | 50 |
| 34      | 140    | 40     | 0.810  | 0.039   | on     | on     | 0.106    | on       | on      | 5600 | 0.00558 | 2.73    | 1.67 | 2530  | 347 | 49 |
| 35      | 140    | 40     | 0.81   | 0.040   | on     | on     | 0.106    | on       | on      | 5600 | 0.66741 | 0.06    | 0.04 | 3057  | 297 | 50 |
| 36      | 140    | 40     | 0.810  | 0.041   | on     | on     | 0.106    | on       | on      | 5600 | 0.71084 | 0.06    | 0.03 | 2959  | 302 | 50 |



ตารางที่ ข.2 รายละเอียดของค่าพารามิเตอร์ที่มีการแปรผันค่าอัตราของตัวดำเนินการ และผลการ  
คำนวณย้อนกลับ (ต่อ)

| Rank    | maxgen | numpop | pcross | pjumpmu | iunifm | icreep | preepmu | ibstmold | niching | CE   | Fitness | Max Err | RMSE | E1   | E2  | E3 |
|---------|--------|--------|--------|---------|--------|--------|---------|----------|---------|------|---------|---------|------|------|-----|----|
| 37      | 140    | 40     | 0.81   | 0.042   | on     | on     | 0.106   | on       | on      | 5600 | 0.47285 | -0.10   | 0.06 | 2929 | 304 | 50 |
| 38      | 140    | 40     | 0.81   | 0.043   | on     | on     | 0.106   | on       | on      | 5600 | 0.17110 | 0.22    | 0.10 | 2854 | 307 | 50 |
| 39      | 140    | 40     | 0.81   | 0.044   | on     | on     | 0.106   | on       | on      | 5600 | 0.97623 | 0.01    | 0.01 | 2998 | 300 | 50 |
| 40      | 140    | 40     | 0.81   | 0.045   | on     | on     | 0.106   | on       | on      | 5600 | 0.47707 | -0.11   | 0.04 | 3037 | 299 | 50 |
| 41      | 140    | 40     | 0.81   | 0.046   | on     | on     | 0.106   | on       | on      | 5600 | 0.02383 | 0.66    | 0.26 | 2818 | 304 | 50 |
| 42      | 140    | 40     | 0.81   | 0.047   | on     | on     | 0.106   | on       | on      | 5600 | 0.40486 | 0.11    | 0.07 | 3088 | 295 | 50 |
| 43      | 140    | 40     | 0.81   | 0.048   | on     | on     | 0.106   | on       | on      | 5600 | 0.06599 | -0.37   | 0.22 | 2783 | 314 | 50 |
| 44      | 140    | 40     | 0.81   | 0.049   | on     | on     | 0.106   | on       | on      | 5600 | 0.83401 | 0.04    | 0.03 | 3036 | 298 | 50 |
| 45      | 140    | 40     | 0.81   | 0.050   | on     | on     | 0.106   | on       | on      | 5600 | 0.05560 | -0.33   | 0.19 | 3001 | 304 | 50 |
| 46      | 140    | 40     | 0.81   | 0.051   | on     | on     | 0.106   | on       | on      | 5600 | 0.44932 | 0.09    | 0.06 | 2923 | 304 | 50 |
| 47      | 140    | 40     | 0.81   | 0.052   | on     | on     | 0.106   | on       | on      | 5600 | 0.82918 | 0.04    | 0.02 | 3038 | 298 | 50 |
| 48      | 140    | 40     | 0.81   | 0.053   | on     | on     | 0.106   | on       | on      | 5600 | 0.44485 | 0.12    | 0.05 | 2947 | 302 | 50 |
| 49      | 140    | 40     | 0.81   | 0.054   | on     | on     | 0.106   | on       | on      | 5600 | 0.01736 | -0.62   | 0.41 | 2467 | 331 | 50 |
| preepmu |        |        |        |         |        |        |         |          |         |      |         |         |      |      |     |    |
| 1       | 140    | 40     | 0.81   | 0.010   | on     | on     | 0.010   | on       | on      | 5600 | 0.67096 | 0.06    | 0.04 | 3053 | 297 | 50 |
| 2       | 140    | 40     | 0.81   | 0.010   | on     | on     | 0.011   | on       | on      | 5600 | 0.22239 | -0.15   | 0.10 | 2867 | 307 | 50 |
| 3       | 140    | 40     | 0.81   | 0.010   | on     | on     | 0.012   | on       | on      | 5600 | 0.11803 | 0.24    | 0.15 | 3207 | 289 | 50 |
| 4       | 140    | 40     | 0.81   | 0.010   | on     | on     | 0.013   | on       | on      | 5600 | 0.07639 | -0.31   | 0.20 | 2755 | 314 | 50 |
| 5       | 140    | 40     | 0.81   | 0.010   | on     | on     | 0.014   | on       | on      | 5600 | 0.67441 | 0.06    | 0.04 | 3055 | 297 | 50 |
| 6       | 140    | 40     | 0.81   | 0.010   | on     | on     | 0.015   | on       | on      | 5600 | 0.67441 | 0.06    | 0.04 | 3055 | 297 | 50 |
| 7       | 140    | 40     | 0.81   | 0.010   | on     | on     | 0.016   | on       | on      | 5600 | 0.89827 | -0.03   | 0.02 | 2984 | 301 | 50 |
| 8       | 140    | 40     | 0.81   | 0.010   | on     | on     | 0.017   | on       | on      | 5600 | 0.75780 | -0.05   | 0.03 | 2964 | 302 | 50 |
| 9       | 140    | 40     | 0.81   | 0.010   | on     | on     | 0.018   | on       | on      | 5600 | 0.98977 | 0.01    | 0.01 | 3000 | 300 | 50 |
| 10      | 140    | 40     | 0.81   | 0.010   | on     | on     | 0.019   | on       | on      | 5600 | 0.95972 | 0.02    | 0.01 | 3018 | 299 | 50 |
| 11      | 140    | 40     | 0.81   | 0.010   | on     | on     | 0.020   | on       | on      | 5600 | 0.41445 | 0.13    | 0.05 | 2931 | 303 | 50 |
| 12      | 140    | 40     | 0.81   | 0.010   | on     | on     | 0.021   | on       | on      | 5600 | 0.90654 | -0.03   | 0.02 | 2982 | 301 | 50 |
| 13      | 140    | 40     | 0.81   | 0.010   | on     | on     | 0.022   | on       | on      | 5600 | 0.90654 | -0.03   | 0.02 | 2982 | 301 | 50 |
| 14      | 140    | 40     | 0.81   | 0.010   | on     | on     | 0.023   | on       | on      | 5600 | 0.01745 | -0.67   | 0.37 | 3573 | 274 | 50 |
| 15      | 140    | 40     | 0.81   | 0.010   | on     | on     | 0.024   | on       | on      | 5600 | 0.98977 | 0.01    | 0.01 | 3000 | 300 | 50 |
| 16      | 140    | 40     | 0.81   | 0.010   | on     | on     | 0.025   | on       | on      | 5600 | 0.02486 | -0.56   | 0.35 | 2562 | 326 | 50 |
| 17      | 140    | 40     | 0.81   | 0.010   | on     | on     | 0.026   | on       | on      | 5600 | 0.01115 | -0.92   | 0.55 | 2436 | 338 | 50 |
| 18      | 140    | 40     | 0.81   | 0.010   | on     | on     | 0.027   | on       | on      | 5600 | 0.29505 | -0.14   | 0.09 | 2894 | 306 | 50 |
| 19      | 140    | 40     | 0.81   | 0.010   | on     | on     | 0.028   | on       | on      | 5600 | 0.11610 | -0.25   | 0.16 | 2806 | 311 | 50 |
| 20      | 140    | 40     | 0.81   | 0.010   | on     | on     | 0.029   | on       | on      | 5600 | 0.03320 | -0.51   | 0.31 | 2641 | 322 | 50 |
| 21      | 140    | 40     | 0.81   | 0.010   | on     | on     | 0.030   | on       | on      | 5600 | 0.02489 | -0.57   | 0.36 | 2568 | 326 | 50 |
| 22      | 140    | 40     | 0.81   | 0.010   | on     | on     | 0.031   | on       | on      | 5600 | 0.01416 | -0.65   | 0.45 | 2411 | 334 | 50 |
| 23      | 140    | 40     | 0.81   | 0.010   | on     | on     | 0.032   | on       | on      | 5600 | 0.00960 | -0.83   | 0.56 | 2289 | 343 | 50 |

ตารางที่ ข.2 รายละเอียดของค่าพารามิเตอร์ที่มีการแปรผันค่าอัตราของตัวดำเนินการ และผลการ  
คำนวณย้อนกลับ (ต่อ)

| Rank | maxgen | numpop | pcross | pjumpmu | iunifm | icreep | precpmu | ibstmold | niching | CE   | Fitness | Max Err | RMSE | E1   | E2  | E3 |
|------|--------|--------|--------|---------|--------|--------|---------|----------|---------|------|---------|---------|------|------|-----|----|
| 24   | 140    | 40     | 0.81   | 0.010   | on     | on     | 0.033   | on       | on      | 5600 | 0.01244 | -0.80   | 0.50 | 2387 | 338 | 50 |
| 25   | 140    | 40     | 0.810  | 0.010   | on     | on     | 0.034   | on       | on      | 5600 | 0.98977 | 0.01    | 0.01 | 3000 | 300 | 50 |
| 26   | 140    | 40     | 0.81   | 0.010   | on     | on     | 0.035   | on       | on      | 5600 | 0.90654 | -0.03   | 0.02 | 2982 | 301 | 50 |
| 27   | 140    | 40     | 0.81   | 0.010   | on     | on     | 0.036   | on       | on      | 5600 | 0.67441 | 0.06    | 0.04 | 3055 | 297 | 50 |
| 28   | 140    | 40     | 0.810  | 0.010   | on     | on     | 0.037   | on       | on      | 5600 | 0.95109 | 0.02    | 0.01 | 3020 | 299 | 50 |
| 29   | 140    | 40     | 0.81   | 0.010   | on     | on     | 0.038   | on       | on      | 5600 | 0.93899 | -0.02   | 0.01 | 3021 | 299 | 50 |
| 30   | 140    | 40     | 0.81   | 0.010   | on     | on     | 0.039   | on       | on      | 5600 | 0.98770 | 0.01    | 0.01 | 3000 | 300 | 50 |
| 31   | 140    | 40     | 0.81   | 0.010   | on     | on     | 0.040   | on       | on      | 5600 | 0.67411 | 0.06    | 0.04 | 3055 | 297 | 50 |
| 32   | 140    | 40     | 0.81   | 0.010   | on     | on     | 0.041   | on       | on      | 5600 | 0.67441 | 0.06    | 0.04 | 3055 | 297 | 50 |
| 33   | 140    | 40     | 0.81   | 0.010   | on     | on     | 0.042   | on       | on      | 5600 | 0.98977 | 0.01    | 0.01 | 3000 | 300 | 50 |
| 34   | 140    | 40     | 0.81   | 0.010   | on     | on     | 0.043   | on       | on      | 5600 | 0.67393 | 0.06    | 0.04 | 3054 | 297 | 50 |
| 35   | 140    | 40     | 0.81   | 0.010   | on     | on     | 0.044   | on       | on      | 5600 | 0.03587 | -0.43   | 0.28 | 2630 | 321 | 50 |
| 36   | 140    | 40     | 0.81   | 0.010   | on     | on     | 0.045   | on       | on      | 5600 | 0.13643 | -0.23   | 0.14 | 2826 | 310 | 50 |
| 37   | 140    | 40     | 0.81   | 0.010   | on     | on     | 0.046   | on       | on      | 5600 | 0.67394 | 0.06    | 0.04 | 3054 | 297 | 50 |
| 38   | 140    | 40     | 0.81   | 0.010   | on     | on     | 0.047   | on       | on      | 5600 | 0.98977 | 0.01    | 0.01 | 3000 | 300 | 50 |
| 39   | 140    | 40     | 0.81   | 0.010   | on     | on     | 0.048   | on       | on      | 5600 | 0.67441 | 0.16    | 0.04 | 3055 | 297 | 50 |
| 40   | 140    | 40     | 0.81   | 0.010   | on     | on     | 0.049   | on       | on      | 5600 | 0.92475 | -0.02   | 0.01 | 3005 | 300 | 50 |
| 41   | 140    | 40     | 0.81   | 0.010   | on     | on     | 0.050   | on       | on      | 5600 | 0.03347 | -0.51   | 0.31 | 2638 | 322 | 50 |
| 42   | 140    | 40     | 0.81   | 0.010   | on     | on     | 0.051   | on       | on      | 5600 | 0.03413 | -0.52   | 0.31 | 2669 | 321 | 50 |
| 43   | 140    | 40     | 0.81   | 0.010   | on     | on     | 0.052   | on       | on      | 5600 | 0.95972 | 0.02    | 0.01 | 3018 | 299 | 50 |
| 44   | 140    | 40     | 0.81   | 0.010   | on     | on     | 0.053   | on       | on      | 5600 | 0.01427 | -0.65   | 0.45 | 2413 | 334 | 50 |
| 45   | 140    | 40     | 0.81   | 0.010   | on     | on     | 0.054   | on       | on      | 5600 | 0.13541 | 0.25    | 0.12 | 2833 | 308 | 50 |
| 46   | 140    | 40     | 0.81   | 0.010   | on     | on     | 0.055   | on       | on      | 5600 | 0.39794 | 0.13    | 0.05 | 2930 | 303 | 50 |
| 47   | 140    | 40     | 0.81   | 0.010   | on     | on     | 0.056   | on       | on      | 5600 | 0.02929 | -0.46   | 0.31 | 2589 | 323 | 50 |
| 48   | 140    | 40     | 0.81   | 0.010   | on     | on     | 0.057   | on       | on      | 5600 | 0.23590 | -0.17   | 0.10 | 2880 | 307 | 50 |
| 49   | 140    | 40     | 0.81   | 0.010   | on     | on     | 0.058   | on       | on      | 5600 | 0.02883 | -0.53   | 0.33 | 2599 | 324 | 50 |
| 50   | 140    | 40     | 0.81   | 0.010   | on     | on     | 0.059   | on       | on      | 5600 | 0.98977 | 0.01    | 0.01 | 3000 | 300 | 50 |
| 51   | 140    | 40     | 0.81   | 0.010   | on     | on     | 0.060   | on       | on      | 5600 | 0.47258 | -0.10   | 0.06 | 2929 | 304 | 50 |
| 52   | 140    | 40     | 0.81   | 0.010   | on     | on     | 0.061   | on       | on      | 5600 | 0.98977 | 0.01    | 0.01 | 3000 | 300 | 50 |
| 53   | 140    | 40     | 0.81   | 0.010   | on     | on     | 0.062   | on       | on      | 5600 | 0.98977 | 0.01    | 0.01 | 3000 | 300 | 50 |
| 54   | 140    | 40     | 0.81   | 0.010   | on     | on     | 0.063   | on       | on      | 5600 | 0.98977 | 0.01    | 0.01 | 3000 | 300 | 50 |
| 55   | 140    | 40     | 0.81   | 0.010   | on     | on     | 0.064   | on       | on      | 5600 | 0.98977 | 0.01    | 0.01 | 3000 | 300 | 50 |
| 56   | 140    | 40     | 0.81   | 0.010   | on     | on     | 0.065   | on       | on      | 5600 | 0.98977 | 0.01    | 0.01 | 3000 | 300 | 50 |
| 57   | 140    | 40     | 0.81   | 0.010   | on     | on     | 0.066   | on       | on      | 5600 | 0.98977 | 0.01    | 0.01 | 3000 | 300 | 50 |
| 58   | 140    | 40     | 0.81   | 0.010   | on     | on     | 0.067   | on       | on      | 5600 | 0.98977 | 0.01    | 0.01 | 3000 | 300 | 50 |
| 59   | 140    | 40     | 0.81   | 0.010   | on     | on     | 0.068   | on       | on      | 5600 | 0.98977 | 0.01    | 0.01 | 3000 | 300 | 50 |
| 60   | 140    | 40     | 0.81   | 0.010   | on     | on     | 0.069   | on       | on      | 5600 | 0.86446 | 0.04    | 0.02 | 2987 | 301 | 50 |

ตารางที่ ข.2 รายละเอียดของค่าพารามิเตอร์ที่มีการแปรผันค่าอัตราของตัวดำเนินการ และผลการ  
คำนวณย้อนกลับ (ต่อ)

| Rank | maxgen | numpop | pcross | pjumpmu | iunifm | icreep | pcreepmu | ibstmold | niching | CE   | Fitness | Max Err | RMSE | E1   | E2  | E3 |
|------|--------|--------|--------|---------|--------|--------|----------|----------|---------|------|---------|---------|------|------|-----|----|
| 61   | 140    | 40     | 0.81   | 0.010   | on     | on     | 0.070    | on       | on      | 5600 | 0.98977 | 0.01    | 0.01 | 3000 | 300 | 50 |
| 62   | 140    | 40     | 0.81   | 0.010   | on     | on     | 0.071    | on       | on      | 5600 | 0.98977 | 0.01    | 0.01 | 3000 | 300 | 50 |
| 63   | 140    | 40     | 0.81   | 0.010   | on     | on     | 0.072    | on       | on      | 5600 | 0.98977 | 0.01    | 0.01 | 3000 | 300 | 50 |
| 64   | 140    | 40     | 0.81   | 0.010   | on     | on     | 0.073    | on       | on      | 5600 | 0.98977 | 0.01    | 0.01 | 3000 | 300 | 50 |
| 65   | 140    | 40     | 0.81   | 0.010   | on     | on     | 0.074    | on       | on      | 5600 | 0.98977 | 0.01    | 0.01 | 3000 | 300 | 50 |
| 66   | 140    | 40     | 0.810  | 0.010   | on     | on     | 0.075    | on       | on      | 5600 | 0.13473 | 0.20    | 0.14 | 3196 | 290 | 50 |
| 67   | 140    | 40     | 0.81   | 0.010   | on     | on     | 0.076    | on       | on      | 5600 | 0.48889 | 0.09    | 0.05 | 3000 | 299 | 50 |
| 68   | 140    | 40     | 0.81   | 0.010   | on     | on     | 0.077    | on       | on      | 5600 | 0.65032 | -0.06   | 0.04 | 3059 | 297 | 50 |
| 69   | 140    | 40     | 0.81   | 0.010   | on     | on     | 0.078    | on       | on      | 5600 | 0.67441 | 0.06    | 0.04 | 3055 | 297 | 50 |
| 70   | 140    | 40     | 0.810  | 0.010   | on     | on     | 0.079    | on       | on      | 5600 | 0.67221 | 0.06    | 0.04 | 3056 | 297 | 50 |
| 71   | 140    | 40     | 0.81   | 0.010   | on     | on     | 0.080    | on       | on      | 5600 | 0.67221 | 0.06    | 0.04 | 3056 | 297 | 50 |
| 72   | 140    | 40     | 0.81   | 0.010   | on     | on     | 0.081    | on       | on      | 5600 | 0.98977 | 0.01    | 0.01 | 3000 | 300 | 50 |
| 73   | 140    | 40     | 0.81   | 0.010   | on     | on     | 0.082    | on       | on      | 5600 | 0.83334 | 0.04    | 0.03 | 3037 | 298 | 50 |
| 74   | 140    | 40     | 0.81   | 0.010   | on     | on     | 0.083    | on       | on      | 5600 | 0.98977 | 0.01    | 0.01 | 3000 | 300 | 50 |
| 75   | 140    | 40     | 0.81   | 0.010   | on     | on     | 0.084    | on       | on      | 5600 | 0.88875 | 0.04    | 0.02 | 2994 | 300 | 50 |
| 76   | 140    | 40     | 0.81   | 0.010   | on     | on     | 0.085    | on       | on      | 5600 | 0.10049 | 0.28    | 0.14 | 2797 | 310 | 50 |
| 77   | 140    | 40     | 0.81   | 0.010   | on     | on     | 0.086    | on       | on      | 5600 | 0.97975 | 0.01    | 0.01 | 3002 | 300 | 50 |
| 78   | 140    | 40     | 0.81   | 0.010   | on     | on     | 0.087    | on       | on      | 5600 | 0.98977 | 0.01    | 0.01 | 3000 | 300 | 50 |
| 79   | 140    | 40     | 0.81   | 0.010   | on     | on     | 0.088    | on       | on      | 5600 | 0.98977 | 0.01    | 0.01 | 3000 | 300 | 50 |
| 80   | 140    | 40     | 0.81   | 0.010   | on     | on     | 0.089    | on       | on      | 5600 | 0.63693 | 0.06    | 0.04 | 3005 | 299 | 50 |
| 81   | 140    | 40     | 0.81   | 0.010   | on     | on     | 0.090    | on       | on      | 5600 | 0.98977 | 0.01    | 0.01 | 3000 | 300 | 50 |
| 82   | 140    | 40     | 0.81   | 0.010   | on     | on     | 0.091    | on       | on      | 5600 | 0.37129 | -0.12   | 0.07 | 2911 | 305 | 50 |
| 83   | 140    | 40     | 0.81   | 0.010   | on     | on     | 0.092    | on       | on      | 5600 | 0.66009 | 0.06    | 0.04 | 3058 | 297 | 50 |
| 84   | 140    | 40     | 0.81   | 0.010   | on     | on     | 0.093    | on       | on      | 5600 | 0.98977 | 0.01    | 0.01 | 3000 | 300 | 50 |
| 85   | 140    | 40     | 0.81   | 0.010   | on     | on     | 0.094    | on       | on      | 5600 | 0.98977 | 0.01    | 0.01 | 3000 | 300 | 50 |
| 86   | 140    | 40     | 0.81   | 0.010   | on     | on     | 0.095    | on       | on      | 5600 | 0.98770 | 0.01    | 0.01 | 3000 | 300 | 50 |
| 87   | 140    | 40     | 0.81   | 0.010   | on     | on     | 0.096    | on       | on      | 5600 | 0.25862 | 0.18    | 0.07 | 2920 | 303 | 50 |
| 88   | 140    | 40     | 0.81   | 0.010   | on     | on     | 0.097    | on       | on      | 5600 | 0.98977 | 0.01    | 0.01 | 3000 | 300 | 50 |
| 89   | 140    | 40     | 0.81   | 0.010   | on     | on     | 0.098    | on       | on      | 5600 | 0.67441 | 0.06    | 0.04 | 3055 | 297 | 50 |
| 90   | 140    | 40     | 0.81   | 0.010   | on     | on     | 0.099    | on       | on      | 5600 | 0.00584 | -2.67   | 1.60 | 3575 | 251 | 51 |
| 91   | 140    | 40     | 0.81   | 0.010   | on     | on     | 0.100    | on       | on      | 5600 | 0.98768 | 0.01    | 0.01 | 3001 | 300 | 50 |
| 92   | 140    | 40     | 0.81   | 0.010   | on     | on     | 0.101    | on       | on      | 5600 | 0.98977 | 0.01    | 0.01 | 3000 | 300 | 50 |
| 93   | 140    | 40     | 0.81   | 0.010   | on     | on     | 0.102    | on       | on      | 5600 | 0.98977 | 0.01    | 0.01 | 3000 | 300 | 50 |
| 94   | 140    | 40     | 0.81   | 0.010   | on     | on     | 0.103    | on       | on      | 5600 | 0.97975 | 0.01    | 0.01 | 3002 | 300 | 50 |
| 95   | 140    | 40     | 0.81   | 0.010   | on     | on     | 0.104    | on       | on      | 5600 | 0.37129 | -0.12   | 0.07 | 2911 | 305 | 50 |
| 96   | 140    | 40     | 0.81   | 0.010   | on     | on     | 0.105    | on       | on      | 5600 | 0.98977 | 0.01    | 0.01 | 3000 | 300 | 50 |
| 97   | 140    | 40     | 0.81   | 0.010   | on     | on     | 0.106    | on       | on      | 5600 | 0.97623 | 0.01    | 0.01 | 2998 | 300 | 50 |

ตารางที่ ข.2 รายละเอียดของค่าพารามิเตอร์ที่มีการแปรผันค่าอัตราของตัวดำเนินการ และผลการ  
คำนวณย้อนกลับ (ต่อ)

| Rank | maxgen | numpop | pcross | pjumpmu | iunifm | icreep | pcreepmu | ibstmold | niching | CE   | Fitness | Max Err | RMSE | E1   | E2  | E3 |
|------|--------|--------|--------|---------|--------|--------|----------|----------|---------|------|---------|---------|------|------|-----|----|
| 98   | 140    | 40     | 0.81   | 0.010   | on     | on     | 0.107    | on       | on      | 5600 | 0.98977 | 0.01    | 0.01 | 3000 | 300 | 50 |
| 99   | 140    | 40     | 0.81   | 0.010   | on     | on     | 0.108    | on       | on      | 5600 | 0.67221 | 0.06    | 0.04 | 3056 | 297 | 50 |
| 100  | 140    | 40     | 0.81   | 0.010   | on     | on     | 0.109    | on       | on      | 5600 | 0.98977 | 0.01    | 0.01 | 3000 | 300 | 50 |
| 101  | 140    | 40     | 0.81   | 0.010   | on     | on     | 0.110    | on       | on      | 5600 | 0.89827 | -0.03   | 0.02 | 2984 | 301 | 50 |
| 102  | 140    | 40     | 0.81   | 0.010   | on     | on     | 0.111    | on       | on      | 5600 | 0.98977 | 0.01    | 0.01 | 3000 | 300 | 50 |
| 103  | 140    | 40     | 0.81   | 0.010   | on     | on     | 0.112    | on       | on      | 5600 | 0.98977 | 0.01    | 0.01 | 3000 | 300 | 50 |
| 104  | 140    | 40     | 0.81   | 0.010   | on     | on     | 0.113    | on       | on      | 5600 | 0.98977 | 0.01    | 0.01 | 3000 | 300 | 50 |
| 105  | 140    | 40     | 0.81   | 0.010   | on     | on     | 0.114    | on       | on      | 5600 | 0.47022 | -0.09   | 0.06 | 2927 | 304 | 50 |
| 106  | 140    | 40     | 0.81   | 0.010   | on     | on     | 0.115    | on       | on      | 5600 | 0.98977 | 0.01    | 0.01 | 3000 | 300 | 50 |
| 107  | 140    | 40     | 0.810  | 0.010   | on     | on     | 0.116    | on       | on      | 5600 | 0.97623 | 0.01    | 0.01 | 2998 | 300 | 50 |
| 108  | 140    | 40     | 0.81   | 0.010   | on     | on     | 0.117    | on       | on      | 5600 | 0.98977 | 0.01    | 0.01 | 3000 | 300 | 50 |
| 109  | 140    | 40     | 0.81   | 0.010   | on     | on     | 0.118    | on       | on      | 5600 | 0.98977 | 0.01    | 0.01 | 3000 | 300 | 50 |
| 110  | 140    | 40     | 0.81   | 0.010   | on     | on     | 0.119    | on       | on      | 5600 | 0.98977 | 0.01    | 0.01 | 3000 | 300 | 50 |
| 111  | 140    | 40     | 0.81   | 0.010   | on     | on     | 0.120    | on       | on      | 5600 | 0.98977 | 0.01    | 0.01 | 3000 | 300 | 50 |
| 112  | 140    | 40     | 0.810  | 0.010   | on     | on     | 0.121    | on       | on      | 5600 | 0.98972 | 0.02    | 0.01 | 3018 | 299 | 50 |
| 113  | 140    | 40     | 0.81   | 0.010   | on     | on     | 0.122    | on       | on      | 5600 | 0.98977 | 0.01    | 0.01 | 3000 | 300 | 50 |
| 114  | 140    | 40     | 0.81   | 0.010   | on     | on     | 0.123    | on       | on      | 5600 | 0.65032 | -0.06   | 0.04 | 3059 | 297 | 50 |
| 115  | 140    | 40     | 0.81   | 0.010   | on     | on     | 0.124    | on       | on      | 5600 | 0.94108 | 0.03    | 0.01 | 2996 | 300 | 50 |
| 116  | 140    | 40     | 0.81   | 0.010   | on     | on     | 0.125    | on       | on      | 5600 | 0.98977 | 0.01    | 0.01 | 3000 | 300 | 50 |
| 117  | 140    | 40     | 0.81   | 0.010   | on     | on     | 0.126    | on       | on      | 5600 | 0.95109 | 0.02    | 0.01 | 3020 | 299 | 50 |
| 118  | 140    | 40     | 0.81   | 0.010   | on     | on     | 0.127    | on       | on      | 5600 | 0.98977 | 0.01    | 0.01 | 3000 | 300 | 50 |
| 119  | 140    | 40     | 0.81   | 0.010   | on     | on     | 0.128    | on       | on      | 5600 | 0.98977 | 0.01    | 0.01 | 3000 | 300 | 50 |
| 120  | 140    | 40     | 0.81   | 0.010   | on     | on     | 0.129    | on       | on      | 5600 | 0.82918 | 0.04    | 0.02 | 3038 | 298 | 50 |
| 121  | 140    | 40     | 0.81   | 0.010   | on     | on     | 0.130    | on       | on      | 5600 | 0.91688 | 0.03    | 0.01 | 2995 | 300 | 50 |
| 122  | 140    | 40     | 0.81   | 0.010   | on     | on     | 0.131    | on       | on      | 5600 | 0.98977 | 0.01    | 0.01 | 3000 | 300 | 50 |
| 123  | 140    | 40     | 0.81   | 0.010   | on     | on     | 0.132    | on       | on      | 5600 | 0.98977 | 0.01    | 0.01 | 3000 | 300 | 50 |
| 124  | 140    | 40     | 0.81   | 0.010   | on     | on     | 0.133    | on       | on      | 5600 | 0.98977 | 0.01    | 0.01 | 3000 | 300 | 50 |
| 125  | 140    | 40     | 0.81   | 0.010   | on     | on     | 0.134    | on       | on      | 5600 | 0.98977 | 0.01    | 0.01 | 3000 | 300 | 50 |
| 126  | 140    | 40     | 0.81   | 0.010   | on     | on     | 0.135    | on       | on      | 5600 | 0.37129 | -0.12   | 0.07 | 2911 | 305 | 50 |
| 127  | 140    | 40     | 0.81   | 0.010   | on     | on     | 0.136    | on       | on      | 5600 | 0.98977 | 0.01    | 0.01 | 3000 | 300 | 50 |
| 128  | 140    | 40     | 0.81   | 0.010   | on     | on     | 0.137    | on       | on      | 5600 | 0.36838 | -0.13   | 0.08 | 2914 | 305 | 50 |
| 129  | 140    | 40     | 0.81   | 0.010   | on     | on     | 0.138    | on       | on      | 5600 | 0.88131 | 0.03    | 0.02 | 2979 | 301 | 50 |
| 130  | 140    | 40     | 0.81   | 0.010   | on     | on     | 0.139    | on       | on      | 5600 | 0.83401 | 0.04    | 0.03 | 3036 | 298 | 50 |
| 131  | 140    | 40     | 0.81   | 0.010   | on     | on     | 0.140    | on       | on      | 5600 | 0.32247 | 0.01    | 0.07 | 2900 | 305 | 50 |
| 132  | 140    | 40     | 0.81   | 0.010   | on     | on     | 0.141    | on       | on      | 5600 | 0.31464 | 0.13    | 0.07 | 2899 | 305 | 50 |
| 133  | 140    | 40     | 0.81   | 0.010   | on     | on     | 0.142    | on       | on      | 5600 | 0.75780 | -0.05   | 0.03 | 2964 | 302 | 50 |
| 134  | 140    | 40     | 0.81   | 0.010   | on     | on     | 0.143    | on       | on      | 5600 | 0.98954 | 0.01    | 0.01 | 2999 | 300 | 50 |

ตารางที่ ข.2 รายละเอียดของค่าพารามิเตอร์ที่มีการแปรผันค่าอัตราของตัวดำเนินการ และผลการ  
คำนวณย้อนกลับ (ต่อ)

| Rank | maxgen | numpop | pcross | pjumpmu | iunifm | icreep | pcreepmu | ibstmold | niching | CE   | Fitness | Max Err | RMSE | E1   | E2  | E3 |
|------|--------|--------|--------|---------|--------|--------|----------|----------|---------|------|---------|---------|------|------|-----|----|
| 135  | 140    | 40     | 0.81   | 0.010   | on     | on     | 0.144    | on       | on      | 5600 | 0.70357 | 0.07    | 0.03 | 2972 | 301 | 50 |
| 136  | 140    | 40     | 0.81   | 0.010   | on     | on     | 0.145    | on       | on      | 5600 | 0.02408 | -0.53   | 0.35 | 2547 | 326 | 50 |
| 137  | 140    | 40     | 0.81   | 0.010   | on     | on     | 0.146    | on       | on      | 5600 | 0.98977 | 0.01    | 0.01 | 3000 | 300 | 50 |
| 138  | 140    | 40     | 0.81   | 0.010   | on     | on     | 0.147    | on       | on      | 5600 | 0.94669 | 0.03    | 0.01 | 3016 | 299 | 50 |
| 139  | 140    | 40     | 0.81   | 0.010   | on     | on     | 0.148    | on       | on      | 5600 | 0.37050 | -0.12   | 0.07 | 2910 | 305 | 50 |
| 140  | 140    | 40     | 0.81   | 0.010   | on     | on     | 0.149    | on       | on      | 5600 | 0.42281 | 0.10    | 0.06 | 2920 | 304 | 50 |
| 141  | 140    | 40     | 0.81   | 0.010   | on     | on     | 0.150    | on       | on      | 5600 | 0.39794 | 0.13    | 0.05 | 2930 | 303 | 50 |
| 142  | 140    | 40     | 0.81   | 0.010   | on     | on     | 0.151    | on       | on      | 5600 | 0.47285 | -0.10   | 0.06 | 2929 | 304 | 50 |
| 143  | 140    | 40     | 0.81   | 0.010   | on     | on     | 0.152    | on       | on      | 5600 | 0.45642 | -0.09   | 0.06 | 2924 | 304 | 50 |
| 144  | 140    | 40     | 0.81   | 0.010   | on     | on     | 0.153    | on       | on      | 5600 | 0.98977 | 0.01    | 0.01 | 3000 | 300 | 50 |
| 145  | 140    | 40     | 0.81   | 0.010   | on     | on     | 0.154    | on       | on      | 5600 | 0.98977 | 0.01    | 0.01 | 3000 | 300 | 50 |
| 146  | 140    | 40     | 0.81   | 0.010   | on     | on     | 0.155    | on       | on      | 5600 | 0.91306 | 0.03    | 0.02 | 3014 | 299 | 50 |
| 147  | 140    | 40     | 0.81   | 0.010   | on     | on     | 0.156    | on       | on      | 5600 | 0.97975 | 0.01    | 0.01 | 3002 | 300 | 50 |
| 148  | 140    | 40     | 0.810  | 0.010   | on     | on     | 0.157    | on       | on      | 5600 | 0.97975 | 0.01    | 0.01 | 3002 | 300 | 50 |
| 149  | 140    | 40     | 0.81   | 0.010   | on     | on     | 0.158    | on       | on      | 5600 | 0.98977 | 0.01    | 0.01 | 3000 | 300 | 50 |
| 150  | 140    | 40     | 0.81   | 0.010   | on     | on     | 0.159    | on       | on      | 5600 | 0.98977 | 0.01    | 0.01 | 3000 | 300 | 50 |
| 151  | 140    | 40     | 0.81   | 0.010   | on     | on     | 0.160    | on       | on      | 5600 | 0.98977 | 0.01    | 0.01 | 3000 | 300 | 50 |
| 152  | 140    | 40     | 0.81   | 0.010   | on     | on     | 0.161    | on       | on      | 5600 | 0.02166 | 0.57    | 0.37 | 3519 | 274 | 50 |
| 153  | 140    | 40     | 0.81   | 0.010   | on     | on     | 0.162    | on       | on      | 5600 | 0.04106 | -0.39   | 0.25 | 3373 | 282 | 50 |
| 154  | 140    | 40     | 0.810  | 0.010   | on     | on     | 0.163    | on       | on      | 5600 | 0.52820 | 0.08    | 0.05 | 3073 | 296 | 50 |
| 155  | 140    | 40     | 0.81   | 0.010   | on     | on     | 0.164    | on       | on      | 5600 | 0.47227 | -0.10   | 0.06 | 2928 | 304 | 50 |
| 156  | 140    | 40     | 0.81   | 0.010   | on     | on     | 0.165    | on       | on      | 5600 | 0.98977 | 0.01    | 0.01 | 3000 | 300 | 50 |
| 157  | 140    | 40     | 0.81   | 0.010   | on     | on     | 0.166    | on       | on      | 5600 | 0.90654 | -0.03   | 0.02 | 2982 | 301 | 50 |
| 158  | 140    | 40     | 0.81   | 0.010   | on     | on     | 0.167    | on       | on      | 5600 | 0.98768 | 0.01    | 0.01 | 3001 | 300 | 50 |
| 159  | 140    | 40     | 0.81   | 0.010   | on     | on     | 0.168    | on       | on      | 5600 | 0.93828 | -0.06   | 0.04 | 3060 | 297 | 50 |
| 160  | 140    | 40     | 0.81   | 0.010   | on     | on     | 0.169    | on       | on      | 5600 | 0.83401 | 0.04    | 0.03 | 3036 | 298 | 50 |
| 161  | 140    | 40     | 0.81   | 0.010   | on     | on     | 0.170    | on       | on      | 5600 | 0.95972 | 0.02    | 0.01 | 3018 | 299 | 50 |
| 162  | 140    | 40     | 0.81   | 0.010   | on     | on     | 0.171    | on       | on      | 5600 | 0.98977 | 0.01    | 0.01 | 3000 | 300 | 50 |
| 163  | 140    | 40     | 0.81   | 0.010   | on     | on     | 0.172    | on       | on      | 5600 | 0.65690 | 0.07    | 0.04 | 3051 | 297 | 50 |
| 164  | 140    | 40     | 0.81   | 0.010   | on     | on     | 0.173    | on       | on      | 5600 | 0.63828 | -0.06   | 0.04 | 3060 | 297 | 50 |
| 165  | 140    | 40     | 0.81   | 0.010   | on     | on     | 0.174    | on       | on      | 5600 | 0.98977 | 0.01    | 0.01 | 3000 | 300 | 50 |
| 166  | 140    | 40     | 0.81   | 0.010   | on     | on     | 0.175    | on       | on      | 5600 | 0.87579 | -0.04   | 0.02 | 3024 | 299 | 50 |
| 167  | 140    | 40     | 0.81   | 0.010   | on     | on     | 0.176    | on       | on      | 5600 | 0.98977 | 0.01    | 0.01 | 3000 | 300 | 50 |
| 168  | 140    | 40     | 0.81   | 0.010   | on     | on     | 0.177    | on       | on      | 5600 | 0.98977 | 0.01    | 0.01 | 3000 | 300 | 50 |
| 169  | 140    | 40     | 0.81   | 0.010   | on     | on     | 0.178    | on       | on      | 5600 | 0.98977 | 0.01    | 0.01 | 3000 | 300 | 50 |
| 170  | 140    | 40     | 0.81   | 0.010   | on     | on     | 0.179    | on       | on      | 5600 | 0.98977 | 0.01    | 0.01 | 3000 | 300 | 50 |
| 171  | 140    | 40     | 0.81   | 0.010   | on     | on     | 0.180    | on       | on      | 5600 | 0.89467 | 0.03    | 0.02 | 2980 | 301 | 50 |

ตารางที่ ข.2 รายละเอียดของค่าพารามิเตอร์ที่มีการแปรผันค่าอัตราของตัวดำเนินการ และผลการคำนวณย้อนกลับ (ต่อ)

| Rank | maxgen | numpop | pcross | pjumpmu | iunifm | icreep | pcreepmu | ibstmold | niching | CE   | Fitness | Max Err | RMSE | E1   | E2  | E3 |
|------|--------|--------|--------|---------|--------|--------|----------|----------|---------|------|---------|---------|------|------|-----|----|
| 172  | 140    | 40     | 0.81   | 0.010   | on     | on     | 0.181    | on       | on      | 5600 | 0.90305 | -0.03   | 0.02 | 2981 | 301 | 50 |
| 173  | 140    | 40     | 0.81   | 0.010   | on     | on     | 0.182    | on       | on      | 5600 | 0.98977 | 0.01    | 0.01 | 3000 | 300 | 50 |
| 174  | 140    | 40     | 0.81   | 0.010   | on     | on     | 0.183    | on       | on      | 5600 | 0.47285 | -0.10   | 0.06 | 2929 | 304 | 50 |
| 175  | 140    | 40     | 0.81   | 0.010   | on     | on     | 0.184    | on       | on      | 5600 | 0.43123 | -0.11   | 0.07 | 2937 | 304 | 50 |
| 176  | 140    | 40     | 0.81   | 0.010   | on     | on     | 0.185    | on       | on      | 5600 | 0.98977 | 0.01    | 0.01 | 3000 | 300 | 50 |
| 177  | 140    | 40     | 0.81   | 0.010   | on     | on     | 0.186    | on       | on      | 5600 | 0.98977 | 0.01    | 0.01 | 3000 | 300 | 50 |
| 178  | 140    | 40     | 0.81   | 0.010   | on     | on     | 0.187    | on       | on      | 5600 | 0.65032 | -0.06   | 0.04 | 3059 | 297 | 50 |
| 179  | 140    | 40     | 0.81   | 0.010   | on     | on     | 0.188    | on       | on      | 5600 | 0.98977 | 0.01    | 0.01 | 3000 | 300 | 50 |
| 180  | 140    | 40     | 0.81   | 0.010   | on     | on     | 0.189    | on       | on      | 5600 | 0.98977 | 0.01    | 0.01 | 3000 | 300 | 50 |
| 181  | 140    | 40     | 0.81   | 0.010   | on     | on     | 0.190    | on       | on      | 5600 | 0.93899 | -0.02   | 0.01 | 3021 | 299 | 50 |
| 182  | 140    | 40     | 0.81   | 0.010   | on     | on     | 0.191    | on       | on      | 5600 | 0.96120 | 0.02    | 0.01 | 2997 | 300 | 50 |
| 183  | 140    | 40     | 0.81   | 0.010   | on     | on     | 0.192    | on       | on      | 5600 | 0.98977 | 0.01    | 0.01 | 3000 | 300 | 50 |
| 184  | 140    | 40     | 0.81   | 0.010   | on     | on     | 0.193    | on       | on      | 5600 | 0.98977 | 0.01    | 0.01 | 3000 | 300 | 50 |
| 185  | 140    | 40     | 0.81   | 0.010   | on     | on     | 0.194    | on       | on      | 5600 | 0.98977 | 0.01    | 0.01 | 3000 | 300 | 50 |
| 186  | 140    | 40     | 0.81   | 0.010   | on     | on     | 0.195    | on       | on      | 5600 | 0.36871 | -0.12   | 0.07 | 2909 | 305 | 50 |
| 187  | 140    | 40     | 0.81   | 0.010   | on     | on     | 0.196    | on       | on      | 5600 | 0.11463 | -0.24   | 0.15 | 2802 | 311 | 50 |
| 188  | 140    | 40     | 0.81   | 0.010   | on     | on     | 0.197    | on       | on      | 5600 | 0.16190 | -0.21   | 0.13 | 2843 | 309 | 50 |
| 189  | 140    | 40     | 0.810  | 0.010   | on     | on     | 0.198    | on       | on      | 5600 | 0.02818 | -0.56   | 0.34 | 2612 | 324 | 50 |
| 190  | 140    | 40     | 0.81   | 0.010   | on     | on     | 0.199    | on       | on      | 5600 | 0.02390 | -0.52   | 0.35 | 2545 | 326 | 50 |
| 191  | 140    | 40     | 0.81   | 0.010   | on     | on     | 0.200    | on       | on      | 5600 | 0.63828 | -0.06   | 0.04 | 3060 | 297 | 50 |

ตารางที่ ข.3 รายละเอียดของค่าพารามิเตอร์จำนวน 2,000 ชุด และผลการคำนวณย้อนกลับ

| Rank | Set Index | maxgen | numpop | p cross | pjumpu | iunifm | icreep | pcreepu | ibstmold | niching | CE   | Fitness | Max Err | RMSE | E1   | E2  | E3 |
|------|-----------|--------|--------|---------|--------|--------|--------|---------|----------|---------|------|---------|---------|------|------|-----|----|
| 1    | 1539      | 40     | 60     | 0.77    | 0.007  | on     | on     | 0.025   | on       | on      | 1848 | 0.98977 | 0.01    | 0.01 | 3000 | 300 | 50 |
| 2    | 1040      | 60     | 40     | 0.77    | 0.015  | on     | on     | 0.188   | on       | on      | 1848 | 0.98977 | 0.01    | 0.01 | 3000 | 300 | 50 |
| 3    | 64        | 60     | 40     | 0.82    | 0.007  | on     | on     | 0.129   | on       | on      | 1968 | 0.98977 | 0.01    | 0.01 | 3000 | 300 | 50 |
| 4    | 1271      | 60     | 40     | 0.85    | 0.016  | on     | on     | 0.050   | on       | on      | 2040 | 0.98977 | 0.01    | 0.01 | 3000 | 300 | 50 |
| 5    | 170       | 80     | 40     | 0.82    | 0.027  | on     | on     | 0.050   | on       | on      | 2624 | 0.98977 | 0.01    | 0.01 | 3000 | 300 | 50 |
| 6    | 1541      | 100    | 40     | 0.72    | 0.011  | on     | on     | 0.083   | on       | on      | 2880 | 0.98977 | 0.01    | 0.01 | 3000 | 300 | 50 |
| 7    | 1980      | 100    | 40     | 0.73    | 0.007  | on     | on     | 0.130   | on       | on      | 2920 | 0.98977 | 0.01    | 0.01 | 3000 | 300 | 50 |
| 8    | 6         | 100    | 40     | 0.77    | 0.022  | on     | on     | 0.109   | on       | on      | 3080 | 0.98977 | 0.01    | 0.01 | 3000 | 300 | 50 |
| 9    | 330       | 100    | 40     | 0.77    | 0.016  | on     | on     | 0.140   | on       | on      | 3080 | 0.98977 | 0.01    | 0.01 | 3000 | 300 | 50 |
| 10   | 751       | 100    | 40     | 0.79    | 0.011  | on     | on     | 0.132   | on       | on      | 3160 | 0.98977 | 0.01    | 0.01 | 3000 | 300 | 50 |
| 11   | 224       | 100    | 40     | 0.80    | 0.023  | on     | on     | 0.067   | on       | on      | 3200 | 0.98977 | 0.01    | 0.01 | 3000 | 300 | 50 |
| 12   | 631       | 100    | 40     | 0.84    | 0.016  | on     | on     | 0.065   | on       | on      | 3360 | 0.98977 | 0.01    | 0.01 | 3000 | 300 | 50 |
| 13   | 875       | 120    | 40     | 0.70    | 0.019  | on     | on     | 0.089   | on       | on      | 3360 | 0.98977 | 0.01    | 0.01 | 3000 | 300 | 50 |
| 14   | 791       | 120    | 40     | 0.71    | 0.021  | on     | on     | 0.138   | on       | on      | 3408 | 0.98977 | 0.01    | 0.01 | 3000 | 300 | 50 |
| 15   | 697       | 120    | 40     | 0.72    | 0.014  | on     | on     | 0.156   | on       | on      | 3456 | 0.98977 | 0.01    | 0.01 | 3000 | 300 | 50 |
| 16   | 724       | 120    | 40     | 0.73    | 0.019  | on     | on     | 0.030   | on       | on      | 3504 | 0.98977 | 0.01    | 0.01 | 3000 | 300 | 50 |
| 17   | 335       | 60     | 80     | 0.77    | 0.011  | on     | on     | 0.172   | on       | on      | 3696 | 0.98977 | 0.01    | 0.01 | 3000 | 300 | 50 |
| 18   | 1118      | 120    | 40     | 0.77    | 0.026  | on     | on     | 0.034   | on       | on      | 3696 | 0.98977 | 0.01    | 0.01 | 3000 | 300 | 50 |
| 19   | 225       | 120    | 40     | 0.79    | 0.008  | on     | on     | 0.142   | on       | on      | 3792 | 0.98977 | 0.01    | 0.01 | 3000 | 300 | 50 |
| 20   | 1516      | 120    | 40     | 0.80    | 0.022  | on     | on     | 0.076   | on       | on      | 3840 | 0.98977 | 0.01    | 0.01 | 3000 | 300 | 50 |
| 21   | 1695      | 140    | 40     | 0.71    | 0.016  | on     | on     | 0.100   | on       | on      | 3976 | 0.98977 | 0.01    | 0.01 | 3000 | 300 | 50 |
| 22   | 808       | 120    | 40     | 0.84    | 0.012  | on     | on     | 0.162   | on       | on      | 4032 | 0.98977 | 0.01    | 0.01 | 3000 | 300 | 50 |
| 23   | 1954      | 140    | 40     | 0.72    | 0.012  | on     | on     | 0.159   | on       | on      | 4032 | 0.98977 | 0.01    | 0.01 | 3000 | 300 | 50 |
| 24   | 761       | 140    | 40     | 0.74    | 0.015  | on     | on     | 0.178   | on       | on      | 4144 | 0.98977 | 0.01    | 0.01 | 3000 | 300 | 50 |
| 25   | 401       | 140    | 40     | 0.75    | 0.014  | on     | on     | 0.183   | on       | on      | 4200 | 0.98977 | 0.01    | 0.01 | 3000 | 300 | 50 |
| 26   | 1927      | 140    | 40     | 0.76    | 0.020  | on     | on     | 0.122   | on       | on      | 4256 | 0.98977 | 0.01    | 0.01 | 3000 | 300 | 50 |
| 27   | 5         | 140    | 40     | 0.77    | 0.017  | on     | on     | 0.048   | on       | on      | 4312 | 0.98977 | 0.01    | 0.01 | 3000 | 300 | 50 |
| 28   | 1448      | 100    | 60     | 0.73    | 0.015  | on     | on     | 0.137   | on       | on      | 4380 | 0.98977 | 0.01    | 0.01 | 3000 | 300 | 50 |
| 29   | 801       | 100    | 60     | 0.74    | 0.012  | on     | on     | 0.045   | on       | on      | 4440 | 0.98977 | 0.01    | 0.01 | 3000 | 300 | 50 |
| 30   | 1153      | 100    | 60     | 0.74    | 0.017  | on     | on     | 0.070   | on       | on      | 4440 | 0.98977 | 0.01    | 0.01 | 3000 | 300 | 50 |
| 31   | 1518      | 140    | 40     | 0.80    | 0.006  | on     | on     | 0.150   | on       | on      | 4480 | 0.98977 | 0.01    | 0.01 | 3000 | 300 | 50 |
| 32   | 864       | 140    | 40     | 0.82    | 0.015  | on     | on     | 0.021   | on       | on      | 4592 | 0.98977 | 0.01    | 0.01 | 3000 | 300 | 50 |
| 33   | 74        | 140    | 40     | 0.83    | 0.030  | on     | on     | 0.134   | on       | on      | 4648 | 0.98977 | 0.01    | 0.01 | 3000 | 300 | 50 |
| 34   | 132       | 80     | 80     | 0.73    | 0.012  | on     | on     | 0.127   | on       | on      | 4672 | 0.98977 | 0.01    | 0.01 | 3000 | 300 | 50 |
| 35   | 1306      | 80     | 80     | 0.73    | 0.029  | on     | on     | 0.071   | on       | on      | 4672 | 0.98977 | 0.01    | 0.01 | 3000 | 300 | 50 |
| 36   | 419       | 100    | 60     | 0.78    | 0.013  | on     | on     | 0.120   | on       | on      | 4680 | 0.98977 | 0.01    | 0.01 | 3000 | 300 | 50 |
| 37   | 195       | 140    | 40     | 0.84    | 0.027  | on     | on     | 0.043   | on       | on      | 4704 | 0.98977 | 0.01    | 0.01 | 3000 | 300 | 50 |
| 38   | 969       | 140    | 40     | 0.87    | 0.008  | on     | on     | 0.182   | on       | on      | 4872 | 0.98977 | 0.01    | 0.01 | 3000 | 300 | 50 |
| 39   | 95        | 120    | 60     | 0.71    | 0.022  | on     | on     | 0.086   | on       | on      | 5112 | 0.98977 | 0.01    | 0.01 | 3000 | 300 | 50 |
| 40   | 1982      | 100    | 60     | 0.86    | 0.012  | on     | on     | 0.132   | on       | on      | 5160 | 0.98977 | 0.01    | 0.01 | 3000 | 300 | 50 |

ตารางที่ ข.3 รายละเอียดของค่าพารามิเตอร์จำนวน 2,000 ชุด และผลการคำนวณย้อนกลับ (ต่อ)

| Rank | Set Index | maxgen | numpop | pcross | pjumpmu | unifim | icreep | pcreepmu | ibstmold | niching | CE   | Fitness | Max Err | RMSE | E1   | E2  | E3 |
|------|-----------|--------|--------|--------|---------|--------|--------|----------|----------|---------|------|---------|---------|------|------|-----|----|
| 41   | 1616      | 120    | 60     | 0.740  | 0.018   | on     | on     | 0.064    | on       | on      | 5328 | 0.98977 | 0.01    | 0.01 | 3000 | 300 | 50 |
| 42   | 998       | 80     | 80     | 0.84   | 0.008   | on     | on     | 0.125    | on       | on      | 5376 | 0.98977 | 0.01    | 0.01 | 3000 | 300 | 50 |
| 43   | 1054      | 80     | 80     | 0.87   | 0.015   | on     | on     | 0.107    | on       | on      | 5568 | 0.98977 | 0.01    | 0.01 | 3000 | 300 | 50 |
| 44   | 311       | 100    | 80     | 0.70   | 0.015   | on     | on     | 0.103    | on       | on      | 5600 | 0.98977 | 0.01    | 0.01 | 3000 | 300 | 50 |
| 45   | 715       | 100    | 80     | 0.70   | 0.008   | on     | on     | 0.055    | on       | on      | 5600 | 0.98977 | 0.01    | 0.01 | 3000 | 300 | 50 |
| 46   | 219       | 120    | 60     | 0.78   | 0.013   | on     | on     | 0.151    | on       | on      | 5616 | 0.98977 | 0.01    | 0.01 | 3000 | 300 | 50 |
| 47   | 1605      | 120    | 60     | 0.79   | 0.048   | on     | on     | 0.129    | on       | on      | 5688 | 0.98977 | 0.01    | 0.01 | 3000 | 300 | 50 |
| 48   | 8         | 140    | 60     | 0.75   | 0.025   | on     | on     | 0.071    | on       | on      | 6300 | 0.98977 | 0.01    | 0.01 | 3000 | 300 | 50 |
| 49   | 159       | 140    | 60     | 0.76   | 0.006   | on     | on     | 0.051    | on       | on      | 6384 | 0.98977 | 0.01    | 0.01 | 3000 | 300 | 50 |
| 50   | 1152      | 140    | 60     | 0.76   | 0.036   | on     | on     | 0.014    | on       | on      | 6384 | 0.98977 | 0.01    | 0.01 | 3000 | 300 | 50 |
| 51   | 1423      | 140    | 60     | 0.78   | 0.012   | on     | on     | 0.199    | on       | on      | 6552 | 0.98977 | 0.01    | 0.01 | 3000 | 300 | 50 |
| 52   | 1866      | 140    | 60     | 0.78   | 0.033   | on     | on     | 0.154    | on       | on      | 6552 | 0.98977 | 0.01    | 0.01 | 3000 | 300 | 50 |
| 53   | 643       | 100    | 80     | 0.82   | 0.023   | on     | on     | 0.044    | on       | on      | 6560 | 0.98977 | 0.01    | 0.01 | 3000 | 300 | 50 |
| 54   | 37        | 100    | 80     | 0.83   | 0.013   | on     | on     | 0.087    | on       | on      | 6640 | 0.98977 | 0.01    | 0.01 | 3000 | 300 | 50 |
| 55   | 789       | 100    | 80     | 0.83   | 0.009   | on     | on     | 0.086    | on       | on      | 6640 | 0.98977 | 0.01    | 0.01 | 3000 | 300 | 50 |
| 56   | 1831      | 140    | 60     | 0.82   | 0.028   | on     | on     | 0.093    | on       | on      | 6888 | 0.98977 | 0.01    | 0.01 | 3000 | 300 | 50 |
| 57   | 1550      | 140    | 60     | 0.84   | 0.036   | on     | on     | 0.037    | on       | on      | 7056 | 0.98977 | 0.01    | 0.01 | 3000 | 300 | 50 |
| 58   | 1227      | 120    | 80     | 0.74   | 0.024   | on     | on     | 0.079    | on       | on      | 7104 | 0.98977 | 0.01    | 0.01 | 3000 | 300 | 50 |
| 59   | 424       | 120    | 80     | 0.75   | 0.020   | on     | on     | 0.023    | on       | on      | 7200 | 0.98977 | 0.01    | 0.01 | 3000 | 300 | 50 |
| 60   | 716       | 140    | 60     | 0.87   | 0.031   | on     | on     | 0.136    | on       | on      | 7308 | 0.98977 | 0.01    | 0.01 | 3000 | 300 | 50 |
| 61   | 300       | 120    | 80     | 0.79   | 0.029   | on     | on     | 0.120    | on       | on      | 7584 | 0.98977 | 0.01    | 0.01 | 3000 | 300 | 50 |
| 62   | 738       | 140    | 80     | 0.70   | 0.039   | on     | on     | 0.050    | on       | on      | 7840 | 0.98977 | 0.01    | 0.01 | 3000 | 300 | 50 |
| 63   | 1038      | 120    | 80     | 0.82   | 0.025   | on     | on     | 0.038    | on       | on      | 7872 | 0.98977 | 0.01    | 0.01 | 3000 | 300 | 50 |
| 64   | 1965      | 120    | 80     | 0.83   | 0.039   | on     | on     | 0.046    | on       | on      | 7968 | 0.98977 | 0.01    | 0.01 | 3000 | 300 | 50 |
| 65   | 383       | 140    | 80     | 0.72   | 0.033   | on     | on     | 0.146    | on       | on      | 8064 | 0.98977 | 0.01    | 0.01 | 3000 | 300 | 50 |
| 66   | 1310      | 140    | 80     | 0.72   | 0.010   | on     | on     | 0.104    | on       | on      | 8064 | 0.98977 | 0.01    | 0.01 | 3000 | 300 | 50 |
| 67   | 53        | 140    | 80     | 0.73   | 0.043   | on     | on     | 0.200    | on       | on      | 8176 | 0.98977 | 0.01    | 0.01 | 3000 | 300 | 50 |
| 68   | 973       | 140    | 80     | 0.74   | 0.007   | on     | on     | 0.143    | on       | on      | 8288 | 0.98977 | 0.01    | 0.01 | 3000 | 300 | 50 |
| 69   | 1385      | 120    | 80     | 0.87   | 0.025   | on     | on     | 0.075    | on       | on      | 8352 | 0.98977 | 0.01    | 0.01 | 3000 | 300 | 50 |
| 70   | 536       | 140    | 80     | 0.75   | 0.032   | on     | on     | 0.155    | on       | on      | 8400 | 0.98977 | 0.01    | 0.01 | 3000 | 300 | 50 |
| 71   | 994       | 140    | 80     | 0.78   | 0.014   | on     | on     | 0.187    | on       | on      | 8736 | 0.98977 | 0.01    | 0.01 | 3000 | 300 | 50 |
| 72   | 1027      | 140    | 80     | 0.78   | 0.007   | on     | on     | 0.180    | on       | on      | 8736 | 0.98977 | 0.01    | 0.01 | 3000 | 300 | 50 |
| 73   | 1988      | 140    | 80     | 0.80   | 0.027   | on     | on     | 0.161    | on       | on      | 8960 | 0.98977 | 0.01    | 0.01 | 3000 | 300 | 50 |
| 74   | 1693      | 140    | 80     | 0.83   | 0.019   | on     | on     | 0.092    | on       | on      | 9296 | 0.98977 | 0.01    | 0.01 | 3000 | 300 | 50 |
| 75   | 1363      | 140    | 80     | 0.84   | 0.020   | on     | on     | 0.086    | on       | on      | 9408 | 0.98977 | 0.01    | 0.01 | 3000 | 300 | 50 |
| 76   | 69        | 140    | 80     | 0.85   | 0.033   | on     | on     | 0.036    | on       | on      | 9520 | 0.98977 | 0.01    | 0.01 | 3000 | 300 | 50 |
| 77   | 1467      | 140    | 80     | 0.86   | 0.019   | on     | on     | 0.043    | on       | on      | 9632 | 0.98977 | 0.01    | 0.01 | 3000 | 300 | 50 |
| 78   | 1946      | 40     | 60     | 0.72   | 0.008   | on     | on     | 0.116    | on       | on      | 1728 | 0.98768 | 0.01    | 0.01 | 3001 | 300 | 50 |
| 79   | 259       | 100    | 40     | 0.72   | 0.023   | on     | on     | 0.078    | on       | on      | 2880 | 0.98768 | 0.01    | 0.01 | 3001 | 300 | 50 |
| 80   | 1589      | 100    | 40     | 0.86   | 0.016   | on     | on     | 0.064    | on       | on      | 3440 | 0.98768 | 0.01    | 0.01 | 3001 | 300 | 50 |



ตารางที่ ข.3 รายละเอียดของค่าพารามิเตอร์จำนวน 2,000 ชุด และผลการคำนวณย้อนกลับ (ต่อ)

| Rank | Set Index | maxgen | numpop | pcross | pjumpmu | iunifim | icreep | pcreepmu | ibstmold | niching | CE   | Fitness | Max Err | RMSE | E1   | E2  | E3 |
|------|-----------|--------|--------|--------|---------|---------|--------|----------|----------|---------|------|---------|---------|------|------|-----|----|
| 81   | 1589      | 100    | 40     | 0.86   | 0.016   | on      | on     | 0.064    | on       | on      | 3440 | 0.98768 | 0.01    | 0.01 | 3001 | 300 | 50 |
| 82   | 1628      | 140    | 40     | 0.70   | 0.016   | on      | on     | 0.173    | on       | on      | 3920 | 0.98768 | 0.01    | 0.01 | 3001 | 300 | 50 |
| 83   | 1095      | 80     | 60     | 0.83   | 0.020   | on      | on     | 0.089    | on       | on      | 3984 | 0.98768 | 0.01    | 0.01 | 3001 | 300 | 50 |
| 84   | 1122      | 80     | 60     | 0.83   | 0.019   | on      | on     | 0.011    | on       | on      | 3984 | 0.98768 | 0.01    | 0.01 | 3001 | 300 | 50 |
| 85   | 1318      | 140    | 40     | 0.74   | 0.018   | on      | on     | 0.108    | on       | on      | 4144 | 0.98768 | 0.01    | 0.01 | 3001 | 300 | 50 |
| 86   | 1349      | 100    | 60     | 0.81   | 0.012   | on      | on     | 0.118    | on       | on      | 4860 | 0.98768 | 0.01    | 0.01 | 3001 | 300 | 50 |
| 87   | 1790      | 100    | 60     | 0.83   | 0.036   | on      | on     | 0.049    | on       | on      | 4980 | 0.98768 | 0.01    | 0.01 | 3001 | 300 | 50 |
| 88   | 1574      | 100    | 60     | 0.84   | 0.020   | on      | on     | 0.063    | on       | on      | 5040 | 0.98768 | 0.01    | 0.01 | 3001 | 300 | 50 |
| 89   | 1287      | 80     | 80     | 0.79   | 0.020   | on      | on     | 0.046    | on       | on      | 5056 | 0.98768 | 0.01    | 0.01 | 3001 | 300 | 50 |
| 90   | 896       | 120    | 60     | 0.80   | 0.017   | on      | on     | 0.050    | on       | on      | 5760 | 0.98768 | 0.01    | 0.01 | 3001 | 300 | 50 |
| 91   | 1816      | 140    | 60     | 0.70   | 0.031   | on      | on     | 0.034    | on       | on      | 5880 | 0.98768 | 0.01    | 0.01 | 3001 | 300 | 50 |
| 92   | 441       | 140    | 60     | 0.78   | 0.031   | on      | on     | 0.147    | on       | on      | 6552 | 0.98768 | 0.01    | 0.01 | 3001 | 300 | 50 |
| 93   | 245       | 140    | 60     | 0.81   | 0.025   | on      | on     | 0.054    | on       | on      | 6804 | 0.98768 | 0.01    | 0.01 | 3001 | 300 | 50 |
| 94   | 1311      | 120    | 80     | 0.85   | 0.052   | on      | on     | 0.063    | on       | on      | 8160 | 0.98768 | 0.01    | 0.01 | 3001 | 300 | 50 |
| 95   | 344       | 140    | 80     | 0.76   | 0.022   | on      | on     | 0.186    | on       | on      | 8512 | 0.98768 | 0.01    | 0.01 | 3001 | 300 | 50 |
| 96   | 89        | 80     | 80     | 0.81   | 0.014   | on      | on     | 0.150    | on       | on      | 5184 | 0.98678 | 0.01    | 0.01 | 3001 | 300 | 50 |
| 97   | 1513      | 40     | 40     | 0.80   | 0.021   | on      | on     | 0.067    | on       | on      | 1280 | 0.98594 | 0.01    | 0.01 | 2999 | 300 | 50 |
| 98   | 1915      | 60     | 60     | 0.70   | 0.012   | on      | on     | 0.110    | on       | on      | 2520 | 0.98594 | 0.01    | 0.01 | 2999 | 300 | 50 |
| 99   | 65        | 140    | 40     | 0.74   | 0.023   | on      | on     | 0.184    | on       | on      | 4144 | 0.98594 | 0.01    | 0.01 | 2999 | 300 | 50 |
| 100  | 1077      | 140    | 40     | 0.80   | 0.013   | on      | on     | 0.126    | on       | on      | 4480 | 0.98594 | 0.01    | 0.01 | 2999 | 300 | 50 |
| 101  | 1286      | 140    | 40     | 0.85   | 0.050   | on      | on     | 0.152    | on       | on      | 4760 | 0.98594 | 0.01    | 0.01 | 2999 | 300 | 50 |
| 102  | 1687      | 80     | 80     | 0.86   | 0.028   | on      | on     | 0.101    | on       | on      | 5504 | 0.98594 | 0.01    | 0.01 | 2999 | 300 | 50 |
| 103  | 533       | 100    | 80     | 0.79   | 0.020   | on      | on     | 0.119    | on       | on      | 6320 | 0.98594 | 0.01    | 0.01 | 2999 | 300 | 50 |
| 104  | 1727      | 140    | 60     | 0.78   | 0.033   | on      | on     | 0.021    | on       | on      | 6552 | 0.98594 | 0.01    | 0.01 | 2999 | 300 | 50 |
| 105  | 1945      | 100    | 80     | 0.82   | 0.023   | on      | on     | 0.167    | on       | on      | 6560 | 0.98594 | 0.01    | 0.01 | 2999 | 300 | 50 |
| 106  | 102       | 140    | 80     | 0.74   | 0.017   | on      | on     | 0.112    | on       | on      | 8288 | 0.98594 | 0.01    | 0.01 | 2999 | 300 | 50 |
| 107  | 485       | 140    | 80     | 0.77   | 0.024   | on      | on     | 0.054    | on       | on      | 8624 | 0.98594 | 0.01    | 0.01 | 2999 | 300 | 50 |
| 108  | 516       | 60     | 80     | 0.77   | 0.011   | on      | on     | 0.190    | on       | on      | 3696 | 0.97975 | 0.01    | 0.01 | 3002 | 300 | 50 |
| 109  | 431       | 120    | 40     | 0.80   | 0.013   | on      | on     | 0.113    | on       | on      | 3840 | 0.97975 | 0.01    | 0.01 | 3002 | 300 | 50 |
| 110  | 473       | 80     | 80     | 0.75   | 0.028   | on      | on     | 0.065    | on       | on      | 4800 | 0.97975 | 0.01    | 0.01 | 3002 | 300 | 50 |
| 111  | 38        | 80     | 40     | 0.73   | 0.017   | on      | on     | 0.152    | on       | on      | 2336 | 0.97623 | 0.01    | 0.01 | 2998 | 300 | 50 |
| 112  | 687       | 100    | 40     | 0.78   | 0.030   | on      | on     | 0.021    | on       | on      | 3120 | 0.97623 | 0.01    | 0.01 | 2998 | 300 | 50 |
| 113  | 1135      | 80     | 60     | 0.74   | 0.016   | on      | on     | 0.042    | on       | on      | 3552 | 0.97623 | 0.01    | 0.01 | 2998 | 300 | 50 |
| 114  | 1812      | 120    | 60     | 0.82   | 0.007   | on      | on     | 0.047    | on       | on      | 5904 | 0.97623 | 0.01    | 0.01 | 2998 | 300 | 50 |
| 115  | 1745      | 60     | 40     | 0.74   | 0.037   | on      | on     | 0.028    | on       | on      | 1776 | 0.96634 | 0.01    | 0.01 | 3003 | 300 | 50 |
| 116  | 367       | 60     | 80     | 0.79   | 0.010   | on      | on     | 0.082    | on       | on      | 3792 | 0.96634 | -0.01   | 0.01 | 3003 | 300 | 50 |
| 117  | 993       | 100    | 60     | 0.78   | 0.034   | on      | on     | 0.093    | on       | on      | 4680 | 0.96634 | -0.01   | 0.01 | 3003 | 300 | 50 |
| 118  | 945       | 100    | 60     | 0.80   | 0.046   | on      | on     | 0.188    | on       | on      | 4800 | 0.96634 | -0.01   | 0.01 | 3003 | 300 | 50 |
| 119  | 232       | 80     | 80     | 0.81   | 0.012   | on      | on     | 0.168    | on       | on      | 5184 | 0.96634 | -0.01   | 0.01 | 3003 | 300 | 50 |
| 120  | 1801      | 100    | 40     | 0.78   | 0.021   | on      | on     | 0.069    | on       | on      | 3120 | 0.96120 | 0.01    | 0.01 | 2997 | 300 | 50 |

ตารางที่ ข.3 รายละเอียดของค่าพารามิเตอร์จำนวน 2,000 ชุด และผลการคำนวณย้อนกลับ (ต่อ)

| Rank | Set Index | maxgen | numpop | pcross | pjumpmu | unifm | icreep | pcreepmu | ibstmold | niching | CE   | Fitness | Max Err | RMSE | E1   | E2  | E3 |
|------|-----------|--------|--------|--------|---------|-------|--------|----------|----------|---------|------|---------|---------|------|------|-----|----|
| 121  | 1930      | 120    | 40     | 0.82   | 0.015   | on    | on     | 0.076    | on       | on      | 3936 | 0.96120 | 0.02    | 0.01 | 2997 | 300 | 50 |
| 122  | 179       | 100    | 80     | 0.83   | 0.025   | on    | on     | 0.013    | on       | on      | 6640 | 0.96120 | 0.02    | 0.01 | 2997 | 300 | 50 |
| 123  | 1348      | 140    | 80     | 0.810  | 0.031   | on    | on     | 0.051    | on       | on      | 9072 | 0.96120 | 0.02    | 0.01 | 2997 | 300 | 50 |
| 124  | 1277      | 60     | 40     | 0.71   | 0.020   | on    | on     | 0.156    | on       | on      | 1704 | 0.95972 | 0.02    | 0.01 | 3018 | 299 | 50 |
| 125  | 545       | 40     | 60     | 0.74   | 0.006   | on    | on     | 0.057    | on       | on      | 1776 | 0.95972 | 0.02    | 0.01 | 3018 | 299 | 50 |
| 126  | 1815      | 60     | 40     | 0.84   | 0.016   | on    | on     | 0.174    | on       | on      | 2016 | 0.95972 | 0.02    | 0.01 | 3018 | 299 | 50 |
| 127  | 1762      | 80     | 40     | 0.71   | 0.019   | on    | on     | 0.170    | on       | on      | 2272 | 0.95972 | 0.02    | 0.01 | 3018 | 299 | 50 |
| 128  | 1251      | 80     | 40     | 0.83   | 0.020   | on    | on     | 0.043    | on       | on      | 2656 | 0.95972 | 0.02    | 0.01 | 3018 | 299 | 50 |
| 129  | 1498      | 100    | 40     | 0.71   | 0.008   | on    | on     | 0.126    | on       | on      | 2840 | 0.95972 | 0.02    | 0.01 | 3018 | 299 | 50 |
| 130  | 1471      | 100    | 40     | 0.73   | 0.008   | on    | on     | 0.017    | on       | on      | 2920 | 0.95972 | 0.02    | 0.01 | 3018 | 299 | 50 |
| 131  | 541       | 120    | 40     | 0.71   | 0.028   | on    | on     | 0.136    | on       | on      | 3408 | 0.95972 | 0.02    | 0.01 | 3018 | 299 | 50 |
| 132  | 652       | 100    | 40     | 0.87   | 0.011   | on    | on     | 0.196    | on       | on      | 3480 | 0.95972 | 0.02    | 0.01 | 3018 | 299 | 50 |
| 133  | 1802      | 120    | 40     | 0.73   | 0.040   | on    | on     | 0.041    | on       | on      | 3504 | 0.95972 | 0.02    | 0.01 | 3018 | 299 | 50 |
| 134  | 937       | 120    | 40     | 0.80   | 0.041   | on    | on     | 0.044    | on       | on      | 3840 | 0.95972 | 0.02    | 0.01 | 3018 | 299 | 50 |
| 135  | 1401      | 80     | 60     | 0.82   | 0.027   | on    | on     | 0.070    | on       | on      | 3936 | 0.95972 | 0.02    | 0.01 | 3018 | 299 | 50 |
| 136  | 426       | 120    | 40     | 0.82   | 0.018   | on    | on     | 0.118    | on       | on      | 3936 | 0.95972 | 0.02    | 0.01 | 3018 | 299 | 50 |
| 137  | 1485      | 140    | 40     | 0.71   | 0.032   | on    | on     | 0.112    | on       | on      | 3976 | 0.95972 | 0.02    | 0.01 | 3018 | 299 | 50 |
| 138  | 894       | 140    | 40     | 0.78   | 0.042   | on    | on     | 0.065    | on       | on      | 4368 | 0.95972 | 0.02    | 0.01 | 3018 | 299 | 50 |
| 139  | 1656      | 80     | 80     | 0.83   | 0.020   | on    | on     | 0.169    | on       | on      | 5312 | 0.95972 | 0.02    | 0.01 | 3018 | 299 | 50 |
| 140  | 752       | 120    | 60     | 0.78   | 0.007   | on    | on     | 0.136    | on       | on      | 5616 | 0.95972 | 0.02    | 0.01 | 3018 | 299 | 50 |
| 141  | 1924      | 120    | 60     | 0.84   | 0.023   | on    | on     | 0.132    | on       | on      | 6048 | 0.95972 | 0.02    | 0.01 | 3018 | 299 | 50 |
| 142  | 1081      | 140    | 60     | 0.72   | 0.010   | on    | on     | 0.155    | on       | on      | 6048 | 0.95972 | 0.02    | 0.01 | 3018 | 299 | 50 |
| 143  | 1910      | 120    | 80     | 0.71   | 0.018   | on    | on     | 0.133    | on       | on      | 6816 | 0.95972 | 0.02    | 0.01 | 3018 | 299 | 50 |
| 144  | 288       | 120    | 80     | 0.73   | 0.018   | on    | on     | 0.011    | on       | on      | 7008 | 0.95972 | 0.02    | 0.01 | 3018 | 299 | 50 |
| 145  | 1193      | 140    | 60     | 0.84   | 0.013   | on    | on     | 0.154    | on       | on      | 7056 | 0.95972 | 0.02    | 0.01 | 3018 | 299 | 50 |
| 146  | 574       | 140    | 60     | 0.85   | 0.034   | on    | on     | 0.028    | on       | on      | 7140 | 0.95972 | 0.02    | 0.01 | 3018 | 299 | 50 |
| 147  | 1032      | 140    | 60     | 0.86   | 0.024   | on    | on     | 0.112    | on       | on      | 7224 | 0.95972 | 0.02    | 0.01 | 3018 | 299 | 50 |
| 148  | 183       | 140    | 80     | 0.71   | 0.026   | on    | on     | 0.023    | on       | on      | 7952 | 0.95972 | 0.02    | 0.01 | 3018 | 299 | 50 |
| 149  | 349       | 120    | 80     | 0.84   | 0.008   | on    | on     | 0.157    | on       | on      | 8064 | 0.95972 | 0.02    | 0.01 | 3018 | 299 | 50 |
| 150  | 1523      | 60     | 40     | 0.78   | 0.027   | on    | on     | 0.185    | on       | on      | 1872 | 0.95827 | 0.02    | 0.01 | 3019 | 299 | 50 |
| 151  | 36        | 60     | 40     | 0.86   | 0.028   | on    | on     | 0.019    | on       | on      | 2064 | 0.95827 | 0.02    | 0.01 | 3019 | 299 | 50 |
| 152  | 879       | 80     | 40     | 0.82   | 0.013   | on    | on     | 0.198    | on       | on      | 2624 | 0.95827 | 0.02    | 0.01 | 3019 | 299 | 50 |
| 153  | 1101      | 100    | 40     | 0.83   | 0.017   | on    | on     | 0.121    | on       | on      | 3320 | 0.95827 | 0.02    | 0.01 | 3019 | 299 | 50 |
| 154  | 62        | 80     | 80     | 0.83   | 0.007   | on    | on     | 0.173    | on       | on      | 5312 | 0.95827 | 0.02    | 0.01 | 3019 | 299 | 50 |
| 155  | 1142      | 80     | 80     | 0.83   | 0.022   | on    | on     | 0.047    | on       | on      | 5312 | 0.95827 | 0.02    | 0.01 | 3019 | 299 | 50 |
| 156  | 173       | 120    | 80     | 0.76   | 0.020   | on    | on     | 0.022    | on       | on      | 7296 | 0.95827 | 0.02    | 0.01 | 3019 | 299 | 50 |
| 157  | 1072      | 40     | 40     | 0.71   | 0.031   | on    | on     | 0.120    | on       | on      | 1136 | 0.95590 | 0.03    | 0.01 | 3017 | 299 | 50 |
| 158  | 107       | 40     | 40     | 0.72   | 0.025   | on    | on     | 0.024    | on       | on      | 1152 | 0.95590 | 0.03    | 0.01 | 3017 | 299 | 50 |
| 159  | 1763      | 80     | 40     | 0.70   | 0.013   | on    | on     | 0.164    | on       | on      | 2240 | 0.95590 | 0.03    | 0.01 | 3017 | 299 | 50 |
| 160  | 121       | 80     | 40     | 0.78   | 0.028   | on    | on     | 0.010    | on       | on      | 2496 | 0.95590 | 0.03    | 0.01 | 3017 | 299 | 50 |

ตารางที่ ข.3 รายละเอียดของค่าพารามิเตอร์จำนวน 2,000 ชุด และผลการคำนวณย้อนกลับ (ต่อ)

| Rank | Set Index | maxgen | numpop | pcross | pjumpmu | iunifim | icreep | pcreepmu | ibstmold | niching | CE   | Fitness | Max Err | RMSE | E1   | E2  | E3 |
|------|-----------|--------|--------|--------|---------|---------|--------|----------|----------|---------|------|---------|---------|------|------|-----|----|
| 161  | 121       | 80     | 40     | 0.78   | 0.028   | on      | on     | 0.010    | on       | on      | 2496 | 0.95590 | 0.03    | 0.01 | 3017 | 299 | 50 |
| 162  | 1733      | 80     | 40     | 0.87   | 0.027   | on      | on     | 0.027    | on       | on      | 2784 | 0.95590 | 0.03    | 0.01 | 3017 | 299 | 50 |
| 163  | 1551      | 100    | 40     | 0.76   | 0.027   | on      | on     | 0.160    | on       | on      | 3040 | 0.95590 | 0.03    | 0.01 | 3017 | 299 | 50 |
| 164  | 1596      | 80     | 60     | 0.73   | 0.028   | on      | on     | 0.035    | on       | on      | 3504 | 0.95590 | 0.03    | 0.01 | 3017 | 299 | 50 |
| 165  | 174       | 120    | 40     | 0.83   | 0.028   | on      | on     | 0.100    | on       | on      | 3984 | 0.95590 | 0.03    | 0.01 | 3017 | 299 | 50 |
| 166  | 124       | 100    | 40     | 0.72   | 0.029   | on      | on     | 0.022    | on       | on      | 2880 | 0.95109 | 0.02    | 0.01 | 3020 | 299 | 50 |
| 167  | 267       | 120    | 40     | 0.71   | 0.046   | on      | on     | 0.130    | on       | on      | 3408 | 0.95109 | 0.02    | 0.01 | 3020 | 299 | 50 |
| 168  | 1793      | 140    | 40     | 0.70   | 0.041   | on      | on     | 0.125    | on       | on      | 3920 | 0.95109 | 0.02    | 0.01 | 3020 | 299 | 50 |
| 169  | 881       | 120    | 40     | 0.82   | 0.028   | on      | on     | 0.118    | on       | on      | 3936 | 0.95109 | 0.02    | 0.01 | 3020 | 299 | 50 |
| 170  | 1934      | 100    | 60     | 0.73   | 0.034   | on      | on     | 0.035    | on       | on      | 4380 | 0.95109 | 0.02    | 0.01 | 3020 | 299 | 50 |
| 171  | 1556      | 140    | 40     | 0.86   | 0.034   | on      | on     | 0.138    | on       | on      | 4816 | 0.95109 | 0.02    | 0.01 | 3020 | 299 | 50 |
| 172  | 472       | 80     | 80     | 0.83   | 0.038   | on      | on     | 0.127    | on       | on      | 5312 | 0.95109 | 0.02    | 0.01 | 3020 | 299 | 50 |
| 173  | 117       | 140    | 60     | 0.84   | 0.047   | on      | on     | 0.027    | on       | on      | 7056 | 0.95109 | 0.02    | 0.01 | 3020 | 299 | 50 |
| 174  | 1044      | 140    | 60     | 0.86   | 0.015   | on      | on     | 0.044    | on       | on      | 7224 | 0.95109 | 0.02    | 0.01 | 3020 | 299 | 50 |
| 175  | 1603      | 140    | 80     | 0.83   | 0.015   | on      | on     | 0.072    | on       | on      | 9296 | 0.95109 | 0.02    | 0.01 | 3020 | 299 | 50 |
| 176  | 731       | 100    | 60     | 0.78   | 0.030   | on      | on     | 0.140    | on       | on      | 4680 | 0.94776 | -0.02   | 0.01 | 3004 | 300 | 50 |
| 177  | 1822      | 100    | 60     | 0.81   | 0.009   | on      | on     | 0.198    | on       | on      | 4860 | 0.94776 | -0.02   | 0.01 | 3004 | 300 | 50 |
| 178  | 1231      | 140    | 60     | 0.71   | 0.008   | on      | on     | 0.011    | on       | on      | 5964 | 0.94776 | -0.02   | 0.01 | 3004 | 300 | 50 |
| 179  | 1275      | 60     | 60     | 0.81   | 0.017   | on      | on     | 0.027    | on       | on      | 2916 | 0.94669 | 0.03    | 0.01 | 3016 | 299 | 50 |
| 180  | 1305      | 100    | 60     | 0.72   | 0.024   | on      | on     | 0.140    | on       | on      | 4320 | 0.94669 | 0.03    | 0.01 | 3016 | 299 | 50 |
| 181  | 1396      | 120    | 60     | 0.76   | 0.014   | on      | on     | 0.057    | on       | on      | 5472 | 0.94669 | 0.03    | 0.01 | 3016 | 299 | 50 |
| 182  | 554       | 120    | 60     | 0.78   | 0.046   | on      | on     | 0.112    | on       | on      | 5616 | 0.94669 | 0.03    | 0.01 | 3016 | 299 | 50 |
| 183  | 1905      | 120    | 80     | 0.75   | 0.030   | on      | on     | 0.176    | on       | on      | 7200 | 0.94669 | 0.03    | 0.01 | 3016 | 299 | 50 |
| 184  | 521       | 140    | 40     | 0.72   | 0.006   | on      | on     | 0.193    | on       | on      | 4032 | 0.94108 | 0.03    | 0.01 | 2996 | 300 | 50 |
| 185  | 1553      | 140    | 40     | 0.82   | 0.053   | on      | on     | 0.029    | on       | on      | 4592 | 0.94108 | 0.03    | 0.01 | 2996 | 300 | 50 |
| 186  | 290       | 120    | 40     | 0.82   | 0.033   | on      | on     | 0.022    | on       | on      | 3936 | 0.93899 | -0.02   | 0.01 | 3021 | 299 | 50 |
| 187  | 1875      | 120    | 40     | 0.87   | 0.011   | on      | on     | 0.017    | on       | on      | 4176 | 0.93899 | -0.02   | 0.01 | 3021 | 299 | 50 |
| 188  | 1049      | 100    | 80     | 0.79   | 0.022   | on      | on     | 0.082    | on       | on      | 6320 | 0.93899 | -0.02   | 0.01 | 3021 | 299 | 50 |
| 189  | 1163      | 140    | 40     | 0.81   | 0.028   | on      | on     | 0.042    | on       | on      | 4536 | 0.93213 | 0.03    | 0.02 | 3015 | 299 | 50 |
| 190  | 1738      | 60     | 40     | 0.77   | 0.034   | on      | on     | 0.057    | on       | on      | 1848 | 0.92179 | -0.03   | 0.01 | 3022 | 299 | 50 |
| 191  | 1824      | 100    | 40     | 0.85   | 0.034   | on      | on     | 0.122    | on       | on      | 3400 | 0.92179 | -0.03   | 0.01 | 3022 | 299 | 50 |
| 192  | 394       | 140    | 40     | 0.77   | 0.021   | on      | on     | 0.077    | on       | on      | 4312 | 0.92179 | -0.03   | 0.01 | 3022 | 299 | 50 |
| 193  | 1268      | 100    | 80     | 0.72   | 0.042   | on      | on     | 0.138    | on       | on      | 5760 | 0.92179 | -0.03   | 0.01 | 3022 | 299 | 50 |
| 194  | 963       | 60     | 40     | 0.81   | 0.006   | on      | on     | 0.089    | on       | on      | 1944 | 0.91688 | 0.03    | 0.01 | 2995 | 300 | 50 |
| 195  | 573       | 60     | 40     | 0.84   | 0.017   | on      | on     | 0.192    | on       | on      | 2016 | 0.91688 | 0.03    | 0.01 | 2995 | 305 | 50 |
| 196  | 553       | 80     | 40     | 0.81   | 0.024   | on      | on     | 0.081    | on       | on      | 2592 | 0.91688 | 0.03    | 0.01 | 2995 | 300 | 50 |
| 197  | 1783      | 80     | 40     | 0.86   | 0.012   | on      | on     | 0.181    | on       | on      | 2752 | 0.91688 | 0.03    | 0.01 | 2995 | 300 | 50 |
| 198  | 1300      | 140    | 40     | 0.71   | 0.044   | on      | on     | 0.067    | on       | on      | 3976 | 0.91688 | 0.03    | 0.01 | 2995 | 300 | 50 |
| 199  | 1948      | 120    | 40     | 0.84   | 0.031   | on      | on     | 0.020    | on       | on      | 4032 | 0.91688 | 0.03    | 0.01 | 2995 | 300 | 50 |
| 200  | 155       | 140    | 40     | 0.74   | 0.008   | on      | on     | 0.132    | on       | on      | 4144 | 0.91688 | 0.03    | 0.01 | 2995 | 300 | 50 |

ตารางที่ ข.3 รายละเอียดของค่าพารามิเตอร์จำนวน 2,000 ชุด และผลการคำนวณย้อนกลับ (ต่อ)

| Rank | Set Index | maxgen | numpop | pcross | pjumpmu | unifm | icreep | pcreepmu | ibstmold | niching | CE   | Fitness | Max Err | RMSE | E1   | E2  | E3 |
|------|-----------|--------|--------|--------|---------|-------|--------|----------|----------|---------|------|---------|---------|------|------|-----|----|
| 201  | 1195      | 100    | 80     | 0.76   | 0.016   | on    | on     | 0.130    | on       | on      | 6080 | 0.91688 | 0.03    | 0.01 | 2995 | 300 | 50 |
| 202  | 1963      | 100    | 80     | 0.83   | 0.018   | on    | on     | 0.065    | on       | on      | 6640 | 0.91688 | 0.03    | 0.01 | 2995 | 300 | 50 |
| 203  | 2000      | 140    | 60     | 0.85   | 0.020   | on    | on     | 0.152    | on       | on      | 7140 | 0.91688 | 0.03    | 0.01 | 2995 | 300 | 50 |
| 204  | 919       | 120    | 80     | 0.77   | 0.043   | on    | on     | 0.071    | on       | on      | 7392 | 0.91688 | 0.03    | 0.01 | 2995 | 300 | 50 |
| 205  | 1473      | 140    | 80     | 0.810  | 0.026   | on    | on     | 0.200    | on       | on      | 9072 | 0.91688 | 0.03    | 0.01 | 2995 | 300 | 50 |
| 206  | 455       | 40     | 60     | 0.78   | 0.033   | on    | on     | 0.168    | on       | on      | 1872 | 0.91306 | 0.03    | 0.02 | 3014 | 299 | 50 |
| 207  | 1560      | 80     | 80     | 0.85   | 0.023   | on    | on     | 0.110    | on       | on      | 5440 | 0.91306 | 0.03    | 0.02 | 3014 | 299 | 50 |
| 208  | 386       | 100    | 80     | 0.77   | 0.022   | on    | on     | 0.198    | on       | on      | 6160 | 0.91306 | 0.03    | 0.02 | 3014 | 299 | 50 |
| 209  | 1410      | 60     | 40     | 0.87   | 0.017   | on    | on     | 0.132    | on       | on      | 2088 | 0.90654 | -0.03   | 0.02 | 2982 | 301 | 50 |
| 210  | 1691      | 60     | 40     | 0.87   | 0.008   | on    | on     | 0.018    | on       | on      | 2088 | 0.90654 | -0.03   | 0.02 | 2982 | 301 | 50 |
| 211  | 147       | 80     | 40     | 0.84   | 0.011   | on    | on     | 0.030    | on       | on      | 2688 | 0.90654 | -0.03   | 0.02 | 2982 | 301 | 50 |
| 212  | 402       | 60     | 60     | 0.82   | 0.007   | on    | on     | 0.027    | on       | on      | 2952 | 0.90654 | -0.03   | 0.02 | 2982 | 301 | 50 |
| 213  | 1113      | 60     | 60     | 0.85   | 0.009   | on    | on     | 0.015    | on       | on      | 3060 | 0.90654 | -0.03   | 0.02 | 2982 | 301 | 50 |
| 214  | 1414      | 60     | 60     | 0.86   | 0.042   | on    | on     | 0.048    | on       | on      | 3096 | 0.90654 | -0.03   | 0.02 | 2982 | 301 | 50 |
| 215  | 709       | 100    | 40     | 0.80   | 0.015   | on    | on     | 0.181    | on       | on      | 3200 | 0.90654 | -0.03   | 0.02 | 2982 | 301 | 50 |
| 216  | 911       | 140    | 40     | 0.70   | 0.024   | on    | on     | 0.175    | on       | on      | 3920 | 0.90654 | -0.03   | 0.02 | 2982 | 301 | 50 |
| 217  | 1071      | 140    | 40     | 0.73   | 0.027   | on    | on     | 0.032    | on       | on      | 4088 | 0.90654 | -0.03   | 0.02 | 2982 | 301 | 50 |
| 218  | 888       | 140    | 40     | 0.74   | 0.013   | on    | on     | 0.121    | on       | on      | 4144 | 0.90654 | -0.03   | 0.02 | 2982 | 301 | 50 |
| 219  | 1761      | 80     | 80     | 0.76   | 0.019   | on    | on     | 0.122    | on       | on      | 4864 | 0.90654 | -0.03   | 0.02 | 2982 | 301 | 50 |
| 220  | 44        | 140    | 40     | 0.87   | 0.038   | on    | on     | 0.060    | on       | on      | 4872 | 0.90654 | -0.03   | 0.02 | 2982 | 301 | 50 |
| 221  | 1176      | 80     | 80     | 0.84   | 0.013   | on    | on     | 0.158    | on       | on      | 5376 | 0.90654 | -0.03   | 0.02 | 2982 | 301 | 50 |
| 222  | 1579      | 120    | 60     | 0.87   | 0.029   | on    | on     | 0.138    | on       | on      | 6264 | 0.90654 | -0.03   | 0.02 | 2982 | 301 | 50 |
| 223  | 90        | 140    | 80     | 0.79   | 0.028   | on    | on     | 0.086    | on       | on      | 8848 | 0.90654 | -0.03   | 0.02 | 2982 | 301 | 50 |
| 224  | 1331      | 80     | 40     | 0.77   | 0.018   | on    | on     | 0.049    | on       | on      | 2464 | 0.90489 | -0.03   | 0.02 | 2983 | 301 | 50 |
| 225  | 1641      | 140    | 40     | 0.86   | 0.012   | on    | on     | 0.160    | on       | on      | 4816 | 0.90489 | -0.03   | 0.02 | 2983 | 301 | 50 |
| 226  | 658       | 100    | 60     | 0.86   | 0.037   | on    | on     | 0.053    | on       | on      | 5160 | 0.90489 | -0.03   | 0.02 | 2983 | 301 | 50 |
| 227  | 94        | 140    | 80     | 0.77   | 0.022   | on    | on     | 0.058    | on       | on      | 8624 | 0.90489 | -0.03   | 0.02 | 2983 | 301 | 50 |
| 228  | 512       | 100    | 40     | 0.75   | 0.036   | on    | on     | 0.018    | on       | on      | 3000 | 0.90305 | -0.03   | 0.02 | 2981 | 301 | 50 |
| 229  | 1301      | 60     | 60     | 0.87   | 0.030   | on    | on     | 0.159    | on       | on      | 3132 | 0.90305 | -0.03   | 0.02 | 2981 | 301 | 50 |
| 230  | 1177      | 60     | 80     | 0.86   | 0.020   | on    | on     | 0.094    | on       | on      | 4128 | 0.90305 | -0.03   | 0.02 | 2981 | 301 | 50 |
| 231  | 1115      | 140    | 40     | 0.77   | 0.007   | on    | on     | 0.070    | on       | on      | 4312 | 0.90305 | -0.03   | 0.02 | 2981 | 301 | 50 |
| 232  | 248       | 140    | 40     | 0.79   | 0.033   | on    | on     | 0.170    | on       | on      | 4424 | 0.90305 | -0.03   | 0.02 | 2981 | 301 | 50 |
| 233  | 1075      | 140    | 40     | 0.87   | 0.044   | on    | on     | 0.034    | on       | on      | 4872 | 0.90305 | -0.03   | 0.02 | 2981 | 301 | 50 |
| 234  | 1799      | 140    | 60     | 0.77   | 0.013   | on    | on     | 0.146    | on       | on      | 6468 | 0.90305 | -0.03   | 0.02 | 2981 | 301 | 50 |
| 235  | 1289      | 140    | 60     | 0.84   | 0.040   | on    | on     | 0.133    | on       | on      | 7056 | 0.90305 | -0.03   | 0.02 | 2981 | 301 | 50 |
| 236  | 362       | 60     | 80     | 0.72   | 0.040   | on    | on     | 0.163    | on       | on      | 3456 | 0.90065 | -0.03   | 0.01 | 3023 | 299 | 50 |
| 237  | 1619      | 140    | 80     | 0.73   | 0.029   | on    | on     | 0.087    | on       | on      | 8176 | 0.90065 | -0.03   | 0.01 | 3023 | 299 | 50 |
| 238  | 1186      | 80     | 40     | 0.70   | 0.028   | on    | on     | 0.056    | on       | on      | 2240 | 0.89827 | -0.03   | 0.02 | 2984 | 301 | 50 |
| 239  | 332       | 80     | 60     | 0.71   | 0.038   | on    | on     | 0.013    | on       | on      | 3408 | 0.89827 | -0.03   | 0.02 | 2984 | 301 | 50 |
| 240  | 606       | 80     | 80     | 0.71   | 0.008   | on    | on     | 0.080    | on       | on      | 4544 | 0.89827 | -0.03   | 0.02 | 2984 | 301 | 50 |

ตารางที่ ข.3 รายละเอียดของค่าพารามิเตอร์จำนวน 2,000 ชุด และผลการคำนวณย้อนกลับ (ต่อ)

| Rank | Set Index | maxgen | numpop | pcross | pjumpmu | unifm | icreep | pcreepmu | ibstmold | niching | CE   | Fitness | Max Err | RMSE | E1   | E2  | E3 |
|------|-----------|--------|--------|--------|---------|-------|--------|----------|----------|---------|------|---------|---------|------|------|-----|----|
| 241  | 498       | 100    | 60     | 0.82   | 0.040   | on    | on     | 0.155    | on       | on      | 4920 | 0.89827 | -0.03   | 0.02 | 2984 | 301 | 50 |
| 242  | 849       | 120    | 60     | 0.77   | 0.006   | on    | on     | 0.125    | on       | on      | 5544 | 0.89827 | -0.03   | 0.02 | 2984 | 301 | 50 |
| 243  | 732       | 40     | 80     | 0.77   | 0.015   | on    | on     | 0.091    | on       | on      | 2464 | 0.89790 | -0.03   | 0.02 | 3006 | 300 | 50 |
| 244  | 1365      | 80     | 60     | 0.70   | 0.017   | on    | on     | 0.049    | on       | on      | 3360 | 0.89790 | -0.03   | 0.02 | 3006 | 300 | 50 |
| 245  | 427       | 120    | 60     | 0.85   | 0.046   | on    | on     | 0.050    | on       | on      | 6120 | 0.89790 | -0.03   | 0.02 | 3006 | 300 | 50 |
| 246  | 769       | 80     | 40     | 0.720  | 0.018   | on    | on     | 0.152    | on       | on      | 2304 | 0.89467 | 0.03    | 0.02 | 2980 | 301 | 50 |
| 247  | 680       | 40     | 60     | 0.84   | 0.025   | on    | on     | 0.021    | on       | on      | 2016 | 0.88875 | 0.04    | 0.02 | 2994 | 300 | 50 |
| 248  | 1064      | 60     | 80     | 0.79   | 0.030   | on    | on     | 0.026    | on       | on      | 3792 | 0.88718 | -0.04   | 0.02 | 2985 | 301 | 50 |
| 249  | 1690      | 80     | 40     | 0.76   | 0.006   | on    | on     | 0.172    | on       | on      | 2432 | 0.88131 | 0.03    | 0.02 | 2979 | 301 | 50 |
| 250  | 654       | 80     | 60     | 0.71   | 0.027   | on    | on     | 0.169    | on       | on      | 3408 | 0.88131 | 0.03    | 0.02 | 2979 | 301 | 50 |
| 251  | 1567      | 100    | 60     | 0.85   | 0.023   | on    | on     | 0.023    | on       | on      | 5100 | 0.88131 | 0.03    | 0.02 | 2979 | 301 | 50 |
| 252  | 115       | 100    | 80     | 0.77   | 0.042   | on    | on     | 0.189    | on       | on      | 6160 | 0.88131 | 0.03    | 0.02 | 2979 | 301 | 50 |
| 253  | 276       | 80     | 80     | 0.82   | 0.028   | on    | on     | 0.162    | on       | on      | 5248 | 0.87579 | -0.04   | 0.02 | 3024 | 299 | 50 |
| 254  | 1524      | 120    | 40     | 0.77   | 0.041   | on    | on     | 0.182    | on       | on      | 3696 | 0.87578 | 0.04    | 0.02 | 2993 | 300 | 50 |
| 255  | 1327      | 80     | 80     | 0.83   | 0.054   | on    | on     | 0.184    | on       | on      | 5312 | 0.87132 | -0.04   | 0.02 | 2986 | 301 | 50 |
| 256  | 1960      | 120    | 40     | 0.79   | 0.026   | on    | on     | 0.157    | on       | on      | 3792 | 0.86802 | -0.03   | 0.02 | 3007 | 300 | 50 |
| 257  | 363       | 140    | 40     | 0.74   | 0.030   | on    | on     | 0.120    | on       | on      | 4144 | 0.86446 | 0.04    | 0.02 | 2978 | 301 | 50 |
| 258  | 1796      | 80     | 80     | 0.76   | 0.022   | on    | on     | 0.071    | on       | on      | 4864 | 0.86446 | 0.04    | 0.02 | 2978 | 301 | 50 |
| 259  | 1379      | 140    | 80     | 0.71   | 0.042   | on    | on     | 0.013    | on       | on      | 7952 | 0.86446 | 0.04    | 0.02 | 2978 | 301 | 50 |
| 260  | 845       | 100    | 60     | 0.76   | 0.027   | on    | on     | 0.052    | on       | on      | 4560 | 0.86312 | 0.03    | 0.02 | 3012 | 299 | 50 |
| 261  | 359       | 40     | 60     | 0.85   | 0.018   | on    | on     | 0.078    | on       | on      | 2040 | 0.85780 | 0.04    | 0.02 | 2993 | 300 | 50 |
| 262  | 230       | 60     | 60     | 0.73   | 0.029   | on    | on     | 0.022    | on       | on      | 2628 | 0.85241 | -0.04   | 0.02 | 2987 | 301 | 50 |
| 263  | 1005      | 60     | 80     | 0.72   | 0.035   | on    | on     | 0.093    | on       | on      | 3456 | 0.85241 | -0.04   | 0.02 | 2987 | 301 | 50 |
| 264  | 1096      | 60     | 60     | 0.75   | 0.031   | on    | on     | 0.049    | on       | on      | 2700 | 0.84348 | 0.04    | 0.02 | 2977 | 301 | 50 |
| 265  | 1170      | 140    | 40     | 0.71   | 0.042   | on    | on     | 0.080    | on       | on      | 3976 | 0.84348 | 0.04    | 0.02 | 2977 | 301 | 50 |
| 266  | 1756      | 140    | 40     | 0.78   | 0.037   | on    | on     | 0.088    | on       | on      | 4368 | 0.83601 | -0.04   | 0.02 | 3008 | 300 | 50 |
| 267  | 242       | 140    | 80     | 0.71   | 0.011   | on    | on     | 0.049    | on       | on      | 7952 | 0.83601 | -0.04   | 0.02 | 3008 | 300 | 50 |
| 268  | 34        | 60     | 40     | 0.75   | 0.010   | on    | on     | 0.192    | on       | on      | 1800 | 0.83401 | 0.04    | 0.03 | 3036 | 298 | 50 |
| 269  | 272       | 80     | 40     | 0.74   | 0.028   | on    | on     | 0.183    | on       | on      | 2368 | 0.83401 | 0.04    | 0.03 | 3036 | 298 | 50 |
| 270  | 775       | 100    | 40     | 0.83   | 0.043   | on    | on     | 0.159    | on       | on      | 3320 | 0.83401 | 0.04    | 0.03 | 3036 | 298 | 50 |
| 271  | 169       | 80     | 60     | 0.72   | 0.012   | on    | on     | 0.100    | on       | on      | 3456 | 0.83401 | 0.04    | 0.03 | 3036 | 298 | 50 |
| 272  | 1161      | 140    | 40     | 0.86   | 0.016   | on    | on     | 0.103    | on       | on      | 4816 | 0.83401 | 0.04    | 0.03 | 3036 | 298 | 50 |
| 273  | 1820      | 100    | 60     | 0.83   | 0.022   | on    | on     | 0.121    | on       | on      | 4980 | 0.83401 | 0.04    | 0.03 | 3036 | 298 | 50 |
| 274  | 1627      | 100    | 60     | 0.84   | 0.049   | on    | on     | 0.193    | on       | on      | 5040 | 0.83401 | 0.04    | 0.03 | 3036 | 298 | 50 |
| 275  | 27        | 120    | 60     | 0.82   | 0.042   | on    | on     | 0.015    | on       | on      | 5904 | 0.83401 | 0.04    | 0.03 | 3036 | 298 | 50 |
| 276  | 236       | 140    | 60     | 0.80   | 0.033   | on    | on     | 0.011    | on       | on      | 6720 | 0.83401 | 0.04    | 0.03 | 3036 | 298 | 50 |
| 277  | 275       | 140    | 60     | 0.81   | 0.023   | on    | on     | 0.174    | on       | on      | 6804 | 0.83401 | 0.04    | 0.03 | 3036 | 298 | 50 |
| 278  | 303       | 140    | 60     | 0.85   | 0.039   | on    | on     | 0.046    | on       | on      | 7140 | 0.83401 | 0.04    | 0.03 | 3036 | 298 | 50 |
| 279  | 507       | 120    | 80     | 0.85   | 0.038   | on    | on     | 0.137    | on       | on      | 8160 | 0.83401 | 0.04    | 0.03 | 3036 | 298 | 50 |
| 280  | 1514      | 140    | 40     | 0.72   | 0.009   | on    | on     | 0.064    | on       | on      | 4032 | 0.83334 | 0.04    | 0.03 | 3037 | 298 | 50 |

ตารางที่ ข.3 รายละเอียดของค่าพารามิเตอร์จำนวน 2,000 ชุด และผลการคำนวณย้อนกลับ (ต่อ)

| Rank | Set Index | maxgen | numpop | pcross | pjumpmu | iunifm | icreep | pcreepmu | ibstmold | niching | CE   | Fitness | Max Err | RMSE | E1   | E2  | E3 |
|------|-----------|--------|--------|--------|---------|--------|--------|----------|----------|---------|------|---------|---------|------|------|-----|----|
| 281  | 1698      | 140    | 80     | 0.80   | 0.039   | on     | on     | 0.145    | on       | on      | 8960 | 0.83334 | 0.04    | 0.03 | 3037 | 298 | 50 |
| 282  | 771       | 140    | 80     | 0.82   | 0.022   | on     | on     | 0.122    | on       | on      | 9184 | 0.83334 | 0.04    | 0.03 | 3037 | 298 | 50 |
| 283  | 1587      | 60     | 40     | 0.76   | 0.049   | on     | on     | 0.133    | on       | on      | 1824 | 0.83018 | 0.04    | 0.03 | 3035 | 298 | 50 |
| 284  | 428       | 60     | 80     | 0.86   | 0.027   | on     | on     | 0.107    | on       | on      | 4128 | 0.83018 | 0.04    | 0.03 | 3035 | 298 | 50 |
| 285  | 1290      | 120    | 60     | 0.74   | 0.035   | on     | on     | 0.047    | on       | on      | 5328 | 0.83018 | 0.04    | 0.03 | 3035 | 298 | 50 |
| 286  | 1986      | 100    | 80     | 0.86   | 0.046   | on     | on     | 0.102    | on       | on      | 6880 | 0.83018 | 0.04    | 0.03 | 3035 | 298 | 50 |
| 287  | 943       | 80     | 40     | 0.74   | 0.009   | on     | on     | 0.069    | on       | on      | 2368 | 0.82918 | 0.04    | 0.02 | 3038 | 298 | 50 |
| 288  | 1235      | 80     | 80     | 0.79   | 0.031   | on     | on     | 0.096    | on       | on      | 5056 | 0.82918 | 0.04    | 0.02 | 3038 | 298 | 50 |
| 289  | 1299      | 80     | 80     | 0.73   | 0.036   | on     | on     | 0.036    | on       | on      | 4672 | 0.82529 | 0.05    | 0.02 | 2992 | 300 | 50 |
| 290  | 1683      | 80     | 80     | 0.80   | 0.031   | on     | on     | 0.132    | on       | on      | 5120 | 0.82529 | 0.05    | 0.02 | 2992 | 300 | 50 |
| 291  | 1041      | 120    | 60     | 0.76   | 0.040   | on     | on     | 0.074    | on       | on      | 5472 | 0.82268 | 0.04    | 0.03 | 3034 | 298 | 50 |
| 292  | 1250      | 120    | 40     | 0.83   | 0.045   | on     | on     | 0.142    | on       | on      | 3984 | 0.82048 | 0.04    | 0.02 | 3039 | 298 | 50 |
| 293  | 940       | 120    | 80     | 0.78   | 0.048   | on     | on     | 0.108    | on       | on      | 7488 | 0.82048 | 0.04    | 0.02 | 3039 | 298 | 50 |
| 294  | 1717      | 140    | 60     | 0.71   | 0.026   | on     | on     | 0.157    | on       | on      | 5964 | 0.81109 | 0.05    | 0.03 | 3033 | 298 | 50 |
| 295  | 1630      | 100    | 60     | 0.72   | 0.007   | on     | on     | 0.149    | on       | on      | 4320 | 0.80803 | -0.04   | 0.03 | 3040 | 298 | 50 |
| 296  | 238       | 100    | 60     | 0.75   | 0.046   | on     | on     | 0.098    | on       | on      | 4500 | 0.80336 | -0.04   | 0.03 | 2889 | 301 | 50 |
| 297  | 423       | 80     | 60     | 0.76   | 0.022   | on     | on     | 0.190    | on       | on      | 3648 | 0.80287 | 0.04    | 0.02 | 3010 | 299 | 50 |
| 298  | 279       | 140    | 60     | 0.83   | 0.038   | on     | on     | 0.085    | on       | on      | 6972 | 0.80227 | -0.04   | 0.02 | 3009 | 300 | 50 |
| 299  | 1409      | 60     | 80     | 0.72   | 0.054   | on     | on     | 0.029    | on       | on      | 3456 | 0.79606 | 0.05    | 0.03 | 3032 | 298 | 50 |
| 300  | 804       | 40     | 60     | 0.75   | 0.009   | on     | on     | 0.148    | on       | on      | 1800 | 0.79262 | 0.05    | 0.02 | 2975 | 301 | 50 |
| 301  | 1870      | 100    | 40     | 0.73   | 0.038   | on     | on     | 0.107    | on       | on      | 2920 | 0.79262 | 0.05    | 0.02 | 2975 | 301 | 50 |
| 302  | 1220      | 80     | 80     | 0.74   | 0.031   | on     | on     | 0.164    | on       | on      | 4736 | 0.79262 | 0.05    | 0.02 | 2975 | 301 | 50 |
| 303  | 252       | 120    | 60     | 0.75   | 0.031   | on     | on     | 0.030    | on       | on      | 5400 | 0.79262 | 0.05    | 0.02 | 2975 | 301 | 50 |
| 304  | 1034      | 120    | 60     | 0.86   | 0.032   | on     | on     | 0.098    | on       | on      | 6192 | 0.79262 | 0.05    | 0.02 | 2975 | 301 | 50 |
| 305  | 285       | 80     | 60     | 0.86   | 0.020   | on     | on     | 0.027    | on       | on      | 4128 | 0.79064 | 0.05    | 0.02 | 2991 | 300 | 50 |
| 306  | 1817      | 140    | 80     | 0.74   | 0.054   | on     | on     | 0.012    | on       | on      | 8288 | 0.79064 | 0.05    | 0.02 | 2991 | 300 | 50 |
| 307  | 1207      | 140    | 40     | 0.86   | 0.016   | on     | on     | 0.107    | on       | on      | 4816 | 0.77778 | 0.05    | 0.03 | 3031 | 298 | 50 |
| 308  | 673       | 80     | 80     | 0.72   | 0.043   | on     | on     | 0.023    | on       | on      | 4608 | 0.77034 | 0.04    | 0.03 | 3009 | 299 | 50 |
| 309  | 1674      | 100    | 60     | 0.82   | 0.030   | on     | on     | 0.108    | on       | on      | 4920 | 0.77034 | 0.04    | 0.03 | 3009 | 299 | 50 |
| 310  | 932       | 120    | 80     | 0.72   | 0.045   | on     | on     | 0.138    | on       | on      | 6912 | 0.77034 | 0.04    | 0.03 | 3009 | 299 | 50 |
| 311  | 970       | 80     | 40     | 0.78   | 0.022   | on     | on     | 0.016    | on       | on      | 2496 | 0.75780 | -0.05   | 0.03 | 2964 | 302 | 50 |
| 312  | 780       | 100    | 40     | 0.87   | 0.023   | on     | on     | 0.037    | on       | on      | 3480 | 0.75780 | -0.05   | 0.03 | 2964 | 302 | 50 |
| 313  | 1904      | 100    | 40     | 0.87   | 0.015   | on     | on     | 0.069    | on       | on      | 3480 | 0.75780 | -0.05   | 0.03 | 2964 | 302 | 50 |
| 314  | 1562      | 120    | 40     | 0.83   | 0.041   | on     | on     | 0.019    | on       | on      | 3984 | 0.75780 | -0.05   | 0.03 | 2964 | 302 | 50 |
| 315  | 1531      | 120    | 40     | 0.86   | 0.030   | on     | on     | 0.047    | on       | on      | 4128 | 0.75780 | -0.05   | 0.03 | 2964 | 302 | 50 |
| 316  | 675       | 80     | 80     | 0.85   | 0.032   | on     | on     | 0.176    | on       | on      | 5440 | 0.75780 | -0.05   | 0.03 | 2964 | 302 | 50 |
| 317  | 1991      | 120    | 80     | 0.74   | 0.043   | on     | on     | 0.149    | on       | on      | 7104 | 0.75780 | -0.05   | 0.03 | 2964 | 302 | 50 |
| 318  | 86        | 140    | 80     | 0.84   | 0.009   | on     | on     | 0.111    | on       | on      | 9408 | 0.75780 | -0.05   | 0.03 | 2964 | 302 | 50 |
| 319  | 1994      | 60     | 40     | 0.79   | 0.027   | on     | on     | 0.018    | on       | on      | 1896 | 0.75710 | 0.05    | 3.00 | 3030 | 298 | 50 |
| 320  | 337       | 40     | 40     | 0.87   | 0.028   | on     | on     | 0.096    | on       | on      | 1392 | 0.75517 | -0.05   | 0.03 | 2963 | 302 | 50 |

ตารางที่ ข.3 รายละเอียดของค่าพารามิเตอร์จำนวน 2,000 ชุด และผลการคำนวณย้อนกลับ (ต่อ)

| Rank | Set Index | maxgen | numpop | pcross | pjumpmu | iuifim | icreep | pcreepmu | ibstmold | niching | CE   | Fitness | Max Err | RMSE | E1   | E2  | E3 |
|------|-----------|--------|--------|--------|---------|--------|--------|----------|----------|---------|------|---------|---------|------|------|-----|----|
| 321  | 710       | 60     | 60     | 0.71   | 0.028   | on     | on     | 0.077    | on       | on      | 2556 | 0.75517 | -0.05   | 0.03 | 2963 | 302 | 50 |
| 322  | 138       | 60     | 60     | 0.81   | 0.033   | on     | on     | 0.162    | on       | on      | 2916 | 0.75517 | -0.05   | 0.03 | 2963 | 302 | 50 |
| 323  | 137       | 100    | 40     | 0.74   | 0.020   | on     | on     | 0.092    | on       | on      | 2960 | 0.75517 | -0.05   | 0.03 | 2963 | 302 | 50 |
| 324  | 296       | 100    | 40     | 0.77   | 0.006   | on     | on     | 0.074    | on       | on      | 3080 | 0.75517 | -0.05   | 0.03 | 2963 | 302 | 50 |
| 325  | 1536      | 80     | 80     | 0.73   | 0.021   | on     | on     | 0.037    | on       | on      | 4672 | 0.75517 | -0.05   | 0.03 | 2963 | 302 | 50 |
| 326  | 494       | 80     | 40     | 0.77   | 0.023   | on     | on     | 0.126    | on       | on      | 2464 | 0.75314 | -0.06   | 0.03 | 2966 | 302 | 50 |
| 327  | 901       | 100    | 60     | 0.83   | 0.027   | on     | on     | 0.161    | on       | on      | 4980 | 0.75272 | -0.06   | 0.03 | 3043 | 298 | 50 |
| 328  | 668       | 120    | 60     | 0.83   | 0.023   | on     | on     | 0.049    | on       | on      | 5976 | 0.75243 | -0.06   | 0.02 | 3028 | 299 | 50 |
| 329  | 1481      | 120    | 80     | 0.78   | 0.050   | on     | on     | 0.171    | on       | on      | 7488 | 0.75243 | -0.06   | 0.02 | 3028 | 299 | 50 |
| 330  | 2         | 80     | 40     | 0.83   | 0.011   | on     | on     | 0.191    | on       | on      | 2656 | 0.74844 | -0.05   | 0.03 | 2962 | 302 | 50 |
| 331  | 1688      | 100    | 60     | 0.81   | 0.028   | on     | on     | 0.130    | on       | on      | 4860 | 0.74844 | -0.50   | 0.03 | 2962 | 302 | 50 |
| 332  | 760       | 80     | 80     | 0.87   | 0.036   | on     | on     | 0.073    | on       | on      | 5568 | 0.74844 | -0.05   | 0.03 | 2962 | 302 | 50 |
| 333  | 1645      | 120    | 80     | 0.82   | 0.019   | on     | on     | 0.165    | on       | on      | 7872 | 0.74844 | -0.05   | 0.03 | 2962 | 302 | 50 |
| 334  | 1633      | 60     | 60     | 0.79   | 0.053   | on     | on     | 0.064    | on       | on      | 2844 | 0.73915 | 0.05    | 0.03 | 2961 | 305 | 50 |
| 335  | 1634      | 120    | 80     | 0.81   | 0.043   | on     | on     | 0.128    | on       | on      | 7776 | 0.73915 | 0.05    | 0.03 | 2961 | 302 | 50 |
| 336  | 1425      | 60     | 40     | 0.72   | 0.032   | on     | on     | 0.128    | on       | on      | 1728 | 0.73482 | -0.06   | 0.04 | 2968 | 302 | 50 |
| 337  | 270       | 60     | 60     | 0.75   | 0.053   | on     | on     | 0.046    | on       | on      | 2700 | 0.73482 | -0.06   | 0.04 | 2968 | 302 | 50 |
| 338  | 1752      | 120    | 60     | 0.70   | 0.030   | on     | on     | 0.115    | on       | on      | 5040 | 0.73482 | -0.06   | 0.04 | 2968 | 302 | 50 |
| 339  | 1037      | 100    | 80     | 0.83   | 0.047   | on     | on     | 0.196    | on       | on      | 6640 | 0.73482 | -0.06   | 0.04 | 2968 | 302 | 50 |
| 340  | 1489      | 120    | 80     | 0.79   | 0.045   | on     | on     | 0.096    | on       | on      | 7584 | 0.73401 | 0.04    | 0.03 | 3036 | 298 | 50 |
| 341  | 1857      | 140    | 60     | 0.86   | 0.052   | on     | on     | 0.191    | on       | on      | 7224 | 0.73195 | 0.05    | 0.03 | 2961 | 302 | 50 |
| 342  | 1461      | 120    | 80     | 0.86   | 0.022   | on     | on     | 0.088    | on       | on      | 8256 | 0.72938 | -0.06   | 0.03 | 3044 | 298 | 50 |
| 343  | 613       | 60     | 40     | 0.72   | 0.027   | on     | on     | 0.148    | on       | on      | 1728 | 0.72621 | 0.05    | 0.03 | 2960 | 302 | 50 |
| 344  | 713       | 60     | 40     | 0.74   | 0.034   | on     | on     | 0.144    | on       | on      | 1776 | 0.72621 | 0.05    | 0.03 | 2960 | 302 | 50 |
| 345  | 1979      | 80     | 40     | 0.82   | 0.052   | on     | on     | 0.138    | on       | on      | 2624 | 0.72621 | 0.05    | 0.03 | 2960 | 302 | 50 |
| 346  | 1877      | 140    | 60     | 0.76   | 0.036   | on     | on     | 0.097    | on       | on      | 6384 | 0.72621 | 0.05    | 0.03 | 2960 | 302 | 50 |
| 347  | 836       | 80     | 40     | 0.74   | 0.018   | on     | on     | 0.148    | on       | on      | 2368 | 0.71658 | -0.05   | 0.03 | 2992 | 301 | 50 |
| 348  | 681       | 120    | 40     | 0.81   | 0.049   | on     | on     | 0.035    | on       | on      | 3888 | 0.71084 | 0.06    | 0.03 | 2959 | 302 | 50 |
| 349  | 1917      | 80     | 60     | 0.87   | 0.038   | on     | on     | 0.174    | on       | on      | 4176 | 0.71084 | 0.06    | 0.03 | 2959 | 302 | 50 |
| 350  | 1640      | 140    | 80     | 0.83   | 0.053   | on     | on     | 0.176    | on       | on      | 9296 | 0.71084 | 0.06    | 0.03 | 2959 | 302 | 50 |
| 351  | 530       | 60     | 60     | 0.75   | 0.043   | on     | on     | 0.054    | on       | on      | 2700 | 0.70980 | 0.05    | 0.04 | 3028 | 298 | 50 |
| 352  | 916       | 100    | 40     | 0.77   | 0.053   | on     | on     | 0.069    | on       | on      | 3080 | 0.70509 | -0.07   | 0.04 | 2970 | 302 | 50 |
| 353  | 594       | 60     | 40     | 0.72   | 0.010   | on     | on     | 0.158    | on       | on      | 1728 | 0.69749 | -0.06   | 0.03 | 3012 | 300 | 50 |
| 354  | 269       | 140    | 80     | 0.74   | 0.015   | on     | on     | 0.177    | on       | on      | 8288 | 0.69749 | -0.06   | 0.03 | 3012 | 300 | 50 |
| 355  | 1869      | 100    | 40     | 0.78   | 0.037   | on     | on     | 0.103    | on       | on      | 3120 | 0.69289 | 0.06    | 0.03 | 2958 | 302 | 50 |
| 356  | 1898      | 120    | 60     | 0.72   | 0.049   | on     | on     | 0.059    | on       | on      | 5184 | 0.68693 | -0.07   | 0.04 | 2971 | 302 | 50 |
| 357  | 766       | 60     | 40     | 0.73   | 0.027   | on     | on     | 0.063    | on       | on      | 1752 | 0.68634 | -0.07   | 0.03 | 3030 | 299 | 50 |
| 358  | 767       | 120    | 80     | 0.74   | 0.026   | on     | on     | 0.181    | on       | on      | 7104 | 0.68634 | -0.07   | 0.03 | 3030 | 299 | 50 |
| 359  | 140       | 120    | 40     | 0.79   | 0.016   | on     | on     | 0.200    | on       | on      | 3792 | 0.68576 | -0.05   | 0.03 | 2993 | 301 | 50 |
| 360  | 1977      | 100    | 60     | 0.74   | 0.035   | on     | on     | 0.074    | on       | on      | 4440 | 0.68576 | -0.05   | 0.03 | 2993 | 301 | 50 |

ตารางที่ ข.3 รายละเอียดของค่าพารามิเตอร์จำนวน 2,000 ชุด และผลการคำนวณย้อนกลับ (ต่อ)

| Rank | Set Index | maxgen | numpop | pcross | pjumpmu | iunifm | icreep | pcreepmu | ibstmold | niching | CE   | Fitness | Max Err | RMSE | E1   | E2  | E3 |
|------|-----------|--------|--------|--------|---------|--------|--------|----------|----------|---------|------|---------|---------|------|------|-----|----|
| 361  | 1939      | 100    | 60     | 0.79   | 0.032   | on     | on     | 0.139    | on       | on      | 4740 | 0.68330 | 0.06    | 0.04 | 3027 | 298 | 50 |
| 362  | 1321      | 60     | 80     | 0.71   | 0.022   | on     | on     | 0.152    | on       | on      | 3408 | 0.67441 | 0.06    | 0.04 | 3055 | 297 | 50 |
| 363  | 1051      | 140    | 40     | 0.74   | 0.007   | on     | on     | 0.107    | on       | on      | 4144 | 0.67441 | 0.06    | 0.04 | 3055 | 297 | 50 |
| 364  | 1984      | 120    | 40     | 0.87   | 0.009   | on     | on     | 0.037    | on       | on      | 4176 | 0.67441 | 0.06    | 0.04 | 3055 | 297 | 50 |
| 365  | 1242      | 140    | 40     | 0.81   | 0.026   | on     | on     | 0.021    | on       | on      | 4536 | 0.67441 | 0.06    | 0.04 | 3055 | 297 | 50 |
| 366  | 1784      | 140    | 40     | 0.82   | 0.009   | on     | on     | 0.032    | on       | on      | 4592 | 0.67441 | 0.06    | 0.04 | 3055 | 297 | 50 |
| 367  | 414       | 100    | 80     | 0.85   | 0.034   | on     | on     | 0.113    | on       | on      | 6800 | 0.67441 | 0.06    | 0.04 | 3055 | 297 | 50 |
| 368  | 1442      | 120    | 80     | 0.71   | 0.011   | on     | on     | 0.068    | on       | on      | 6816 | 0.67441 | 0.06    | 0.04 | 3055 | 297 | 50 |
| 369  | 599       | 120    | 80     | 0.86   | 0.015   | on     | on     | 0.107    | on       | on      | 8256 | 0.67441 | 0.06    | 0.04 | 3055 | 297 | 50 |
| 370  | 1119      | 140    | 80     | 0.75   | 0.008   | on     | on     | 0.089    | on       | on      | 8400 | 0.67441 | 0.06    | 0.04 | 3055 | 297 | 50 |
| 371  | 1169      | 140    | 80     | 0.75   | 0.007   | on     | on     | 0.107    | on       | on      | 8400 | 0.67441 | 0.06    | 0.04 | 3055 | 297 | 50 |
| 372  | 1580      | 140    | 80     | 0.87   | 0.019   | on     | on     | 0.144    | on       | on      | 9744 | 0.67441 | 0.06    | 0.04 | 3055 | 297 | 50 |
| 373  | 1884      | 60     | 40     | 0.76   | 0.010   | on     | on     | 0.166    | on       | on      | 1824 | 0.67393 | 0.06    | 0.04 | 3054 | 297 | 50 |
| 374  | 1598      | 80     | 60     | 0.77   | 0.013   | on     | on     | 0.080    | on       | on      | 3696 | 0.67393 | 0.06    | 0.04 | 3054 | 297 | 50 |
| 375  | 129       | 100    | 60     | 0.72   | 0.042   | on     | on     | 0.098    | on       | on      | 4320 | 0.67393 | 0.06    | 0.04 | 3054 | 297 | 50 |
| 376  | 728       | 80     | 80     | 0.70   | 0.007   | on     | on     | 0.081    | on       | on      | 4480 | 0.67393 | 0.06    | 0.04 | 3054 | 297 | 50 |
| 377  | 1864      | 80     | 80     | 0.83   | 0.025   | on     | on     | 0.090    | on       | on      | 5312 | 0.67393 | 0.06    | 0.04 | 3054 | 297 | 50 |
| 378  | 1225      | 120    | 60     | 0.77   | 0.013   | on     | on     | 0.080    | on       | on      | 5544 | 0.67393 | 0.06    | 0.04 | 3054 | 297 | 50 |
| 379  | 1559      | 120    | 80     | 0.70   | 0.053   | on     | on     | 0.044    | on       | on      | 6720 | 0.67393 | 0.06    | 0.04 | 3054 | 297 | 50 |
| 380  | 997       | 140    | 40     | 0.86   | 0.051   | on     | on     | 0.120    | on       | on      | 4816 | 0.67337 | 0.07    | 0.03 | 2957 | 302 | 50 |
| 381  | 251       | 100    | 40     | 0.71   | 0.043   | on     | on     | 0.158    | on       | on      | 2840 | 0.67221 | 0.06    | 0.04 | 3056 | 297 | 50 |
| 382  | 603       | 100    | 40     | 0.73   | 0.018   | on     | on     | 0.127    | on       | on      | 2920 | 0.67221 | 0.06    | 0.04 | 3056 | 297 | 50 |
| 383  | 1308      | 100    | 40     | 0.77   | 0.039   | on     | on     | 0.057    | on       | on      | 3080 | 0.67221 | 0.06    | 0.04 | 3056 | 297 | 50 |
| 384  | 1810      | 100    | 40     | 0.87   | 0.023   | on     | on     | 0.122    | on       | on      | 3480 | 0.67221 | 0.06    | 0.04 | 3056 | 297 | 50 |
| 385  | 1535      | 120    | 40     | 0.79   | 0.014   | on     | on     | 0.061    | on       | on      | 3792 | 0.67221 | 0.06    | 0.04 | 3056 | 297 | 50 |
| 386  | 1512      | 140    | 40     | 0.78   | 0.040   | on     | on     | 0.100    | on       | on      | 4368 | 0.67221 | 0.06    | 0.04 | 3056 | 297 | 50 |
| 387  | 847       | 140    | 40     | 0.86   | 0.009   | on     | on     | 0.085    | on       | on      | 4816 | 0.67221 | 0.06    | 0.04 | 3056 | 297 | 50 |
| 388  | 733       | 100    | 60     | 0.85   | 0.021   | on     | on     | 0.168    | on       | on      | 5100 | 0.67221 | 0.06    | 0.04 | 3056 | 297 | 50 |
| 389  | 1052      | 120    | 60     | 0.86   | 0.024   | on     | on     | 0.149    | on       | on      | 6192 | 0.67221 | 0.06    | 0.04 | 3056 | 297 | 50 |
| 390  | 1412      | 140    | 60     | 0.80   | 0.017   | on     | on     | 0.115    | on       | on      | 6720 | 0.67221 | 0.06    | 0.04 | 3056 | 297 | 50 |
| 391  | 1626      | 140    | 40     | 0.75   | 0.046   | on     | on     | 0.035    | on       | on      | 4200 | 0.66901 | 0.06    | 0.04 | 3058 | 297 | 50 |
| 392  | 1886      | 40     | 40     | 0.83   | 0.031   | on     | on     | 0.014    | on       | on      | 1328 | 0.66741 | 0.06    | 0.04 | 3057 | 294 | 50 |
| 393  | 1103      | 100    | 60     | 0.70   | 0.011   | on     | on     | 0.113    | on       | on      | 4200 | 0.66741 | 0.06    | 0.04 | 3057 | 297 | 50 |
| 394  | 695       | 140    | 40     | 0.87   | 0.010   | on     | on     | 0.049    | on       | on      | 4872 | 0.66741 | 0.06    | 0.04 | 3057 | 297 | 50 |
| 395  | 1569      | 120    | 60     | 0.73   | 0.030   | on     | on     | 0.164    | on       | on      | 5256 | 0.66682 | -0.07   | 0.04 | 2972 | 302 | 50 |
| 396  | 1023      | 40     | 80     | 0.83   | 0.018   | on     | on     | 0.185    | on       | on      | 2656 | 0.66640 | -0.32   | 0.21 | 2733 | 315 | 50 |
| 397  | 1609      | 100    | 40     | 0.75   | 0.048   | on     | on     | 0.024    | on       | on      | 3000 | 0.66009 | 0.06    | 0.04 | 3058 | 297 | 50 |
| 398  | 1314      | 100    | 60     | 0.78   | 0.053   | on     | on     | 0.053    | on       | on      | 4680 | 0.66009 | 0.06    | 0.04 | 3058 | 297 | 50 |
| 399  | 1148      | 120    | 80     | 0.79   | 0.044   | on     | on     | 0.067    | on       | on      | 7584 | 0.66009 | 0.06    | 0.04 | 3058 | 297 | 50 |
| 400  | 365       | 60     | 80     | 0.75   | 0.017   | on     | on     | 0.147    | on       | on      | 3600 | 0.65690 | 0.07    | 0.04 | 3051 | 297 | 50 |



ตารางที่ ข.3 รายละเอียดของค่าพารามิเตอร์จำนวน 2,000 ชุด และผลการคำนวณย้อนกลับ (ต่อ)

| Rank | Set Index | maxgen | numpop | pcross | pjumpmu | iunifm | icreep | pcreepmu | ibstmold | niching | CE   | Fitness | Max Err | RMSE | E1   | E2  | E3 |
|------|-----------|--------|--------|--------|---------|--------|--------|----------|----------|---------|------|---------|---------|------|------|-----|----|
| 401  | 534       | 120    | 40     | 0.86   | 0.038   | on     | on     | 0.044    | on       | on      | 4128 | 0.65690 | 0.07    | 0.04 | 3051 | 297 | 50 |
| 402  | 1199      | 120    | 80     | 0.86   | 0.040   | on     | on     | 0.179    | on       | on      | 8256 | 0.65690 | 0.07    | 0.04 | 3051 | 297 | 50 |
| 403  | 1141      | 100    | 40     | 0.77   | 0.015   | on     | on     | 0.193    | on       | on      | 3080 | 0.65313 | -0.08   | 0.03 | 3031 | 299 | 50 |
| 404  | 873       | 100    | 60     | 0.70   | 0.042   | on     | on     | 0.074    | on       | on      | 4200 | 0.65203 | 0.07    | 0.03 | 2956 | 302 | 50 |
| 405  | 206       | 100    | 80     | 0.79   | 0.052   | on     | on     | 0.175    | on       | on      | 6320 | 0.65203 | 0.07    | 0.03 | 2956 | 302 | 50 |
| 406  | 449       | 100    | 40     | 0.83   | 0.008   | on     | on     | 0.161    | on       | on      | 3320 | 0.65032 | -0.06   | 0.04 | 3059 | 297 | 50 |
| 407  | 948       | 120    | 40     | 0.70   | 0.006   | on     | on     | 0.028    | on       | on      | 3360 | 0.65032 | -0.06   | 0.04 | 3059 | 297 | 50 |
| 408  | 1517      | 60     | 80     | 0.74   | 0.010   | on     | on     | 0.159    | on       | on      | 3552 | 0.65032 | -0.06   | 0.04 | 3059 | 297 | 50 |
| 409  | 445       | 80     | 80     | 0.74   | 0.007   | on     | on     | 0.153    | on       | on      | 4736 | 0.65032 | -0.06   | 0.04 | 3059 | 297 | 50 |
| 410  | 410       | 80     | 80     | 0.82   | 0.029   | on     | on     | 0.098    | on       | on      | 5248 | 0.65032 | -0.06   | 0.04 | 3059 | 297 | 50 |
| 411  | 567       | 80     | 80     | 0.83   | 0.011   | on     | on     | 0.084    | on       | on      | 5312 | 0.65032 | -0.06   | 0.04 | 3059 | 297 | 50 |
| 412  | 611       | 80     | 80     | 0.87   | 0.009   | on     | on     | 0.101    | on       | on      | 5568 | 0.65032 | -0.06   | 0.04 | 3059 | 297 | 50 |
| 413  | 1429      | 100    | 80     | 0.73   | 0.006   | on     | on     | 0.173    | on       | on      | 5840 | 0.65032 | -0.06   | 0.04 | 3059 | 297 | 50 |
| 414  | 774       | 100    | 80     | 0.81   | 0.030   | on     | on     | 0.155    | on       | on      | 6480 | 0.65032 | -0.06   | 0.04 | 3059 | 297 | 50 |
| 415  | 271       | 100    | 80     | 0.86   | 0.028   | on     | on     | 0.199    | on       | on      | 6880 | 0.65032 | -0.06   | 0.04 | 3059 | 297 | 50 |
| 416  | 358       | 80     | 60     | 0.72   | 0.039   | on     | on     | 0.094    | on       | on      | 3456 | 0.64621 | 0.07    | 0.04 | 3050 | 297 | 50 |
| 417  | 217       | 120    | 40     | 0.85   | 0.018   | on     | on     | 0.103    | on       | on      | 4080 | 0.64621 | 0.07    | 0.04 | 3050 | 297 | 50 |
| 418  | 1117      | 100    | 60     | 0.76   | 0.040   | on     | on     | 0.193    | on       | on      | 4560 | 0.64621 | 0.07    | 0.04 | 3050 | 297 | 50 |
| 419  | 671       | 80     | 40     | 0.74   | 0.017   | on     | on     | 0.099    | on       | on      | 2368 | 0.64532 | -0.07   | 0.04 | 2973 | 302 | 50 |
| 420  | 1114      | 40     | 40     | 0.80   | 0.007   | on     | on     | 0.055    | on       | on      | 1280 | 0.63828 | -0.06   | 0.04 | 3060 | 297 | 50 |
| 421  | 1284      | 60     | 40     | 0.78   | 0.014   | on     | on     | 0.031    | on       | on      | 1872 | 0.63828 | -0.06   | 0.04 | 3060 | 297 | 50 |
| 422  | 1696      | 80     | 40     | 0.71   | 0.008   | on     | on     | 0.156    | on       | on      | 2272 | 0.63828 | -0.06   | 0.04 | 3060 | 297 | 50 |
| 423  | 768       | 80     | 40     | 0.76   | 0.011   | on     | on     | 0.122    | on       | on      | 2432 | 0.63828 | -0.06   | 0.04 | 3060 | 297 | 50 |
| 424  | 1437      | 80     | 40     | 0.78   | 0.020   | on     | on     | 0.089    | on       | on      | 2496 | 0.63828 | -0.06   | 0.04 | 3060 | 297 | 50 |
| 425  | 308       | 80     | 40     | 0.84   | 0.025   | on     | on     | 0.055    | on       | on      | 2688 | 0.63828 | -0.06   | 0.04 | 3060 | 297 | 50 |
| 426  | 339       | 80     | 40     | 0.85   | 0.015   | on     | on     | 0.168    | on       | on      | 2720 | 0.63828 | -0.06   | 0.04 | 3060 | 297 | 50 |
| 427  | 1042      | 100    | 40     | 0.71   | 0.008   | on     | on     | 0.100    | on       | on      | 2840 | 0.63828 | -0.06   | 0.04 | 3060 | 297 | 50 |
| 428  | 1140      | 60     | 60     | 0.80   | 0.018   | on     | on     | 0.084    | on       | on      | 2880 | 0.63828 | -0.06   | 0.04 | 3060 | 297 | 50 |
| 429  | 776       | 100    | 40     | 0.75   | 0.014   | on     | on     | 0.054    | on       | on      | 3000 | 0.63828 | -0.06   | 0.04 | 3060 | 297 | 50 |
| 430  | 1097      | 100    | 40     | 0.78   | 0.016   | on     | on     | 0.014    | on       | on      | 3120 | 0.63828 | -0.06   | 0.04 | 3060 | 297 | 50 |
| 431  | 191       | 100    | 40     | 0.86   | 0.013   | on     | on     | 0.112    | on       | on      | 3440 | 0.63828 | 0.06    | 0.04 | 3060 | 297 | 50 |
| 432  | 704       | 120    | 40     | 0.72   | 0.029   | on     | on     | 0.029    | on       | on      | 3456 | 0.63828 | -0.06   | 0.04 | 3060 | 297 | 50 |
| 433  | 890       | 120    | 40     | 0.74   | 0.020   | on     | on     | 0.104    | on       | on      | 3552 | 0.63828 | -0.06   | 0.04 | 3060 | 297 | 50 |
| 434  | 974       | 120    | 40     | 0.76   | 0.029   | on     | on     | 0.121    | on       | on      | 3648 | 0.63828 | -0.06   | 0.04 | 3060 | 297 | 50 |
| 435  | 1424      | 120    | 40     | 0.77   | 0.027   | on     | on     | 0.019    | on       | on      | 3696 | 0.63828 | -0.06   | 0.04 | 3060 | 297 | 50 |
| 436  | 108       | 120    | 40     | 0.81   | 0.013   | on     | on     | 0.181    | on       | on      | 3888 | 0.63828 | -0.06   | 0.04 | 3060 | 297 | 50 |
| 437  | 1087      | 120    | 40     | 0.81   | 0.019   | on     | on     | 0.117    | on       | on      | 3888 | 0.63828 | -0.06   | 0.04 | 3060 | 297 | 50 |
| 438  | 1011      | 120    | 40     | 0.82   | 0.019   | on     | on     | 0.137    | on       | on      | 3936 | 0.63828 | -0.06   | 0.04 | 3060 | 297 | 50 |
| 439  | 834       | 140    | 40     | 0.74   | 0.022   | on     | on     | 0.085    | on       | on      | 4144 | 0.63828 | -0.61   | 0.04 | 3060 | 297 | 50 |
| 440  | 815       | 120    | 40     | 0.87   | 0.022   | on     | on     | 0.158    | on       | on      | 4176 | 0.63828 | -0.06   | 0.04 | 3060 | 297 | 50 |

ตารางที่ ข.3 รายละเอียดของค่าพารามิเตอร์จำนวน 2,000 ชุด และผลการคำนวณย้อนกลับ (ต่อ)

| Rank | Set Index | maxgen | numpop | pcross | pjumpmu | iunifim | icreep | pcreepmu | ibstmold | niching | CE   | Fitness | Max Err | RMSE | E1   | E2  | E3 |
|------|-----------|--------|--------|--------|---------|---------|--------|----------|----------|---------|------|---------|---------|------|------|-----|----|
| 441  | 481       | 140    | 40     | 0.77   | 0.023   | on      | on     | 0.022    | on       | on      | 4312 | 0.63828 | -0.06   | 0.04 | 3060 | 297 | 50 |
| 442  | 601       | 140    | 40     | 0.80   | 0.024   | on      | on     | 0.180    | on       | on      | 4480 | 0.63828 | -0.06   | 0.04 | 3060 | 297 | 50 |
| 443  | 1433      | 100    | 60     | 0.77   | 0.018   | on      | on     | 0.115    | on       | on      | 4620 | 0.63828 | -0.06   | 0.04 | 3060 | 297 | 50 |
| 444  | 1767      | 140    | 40     | 0.83   | 0.032   | on      | on     | 0.052    | on       | on      | 4648 | 0.63828 | -0.06   | 0.14 | 3060 | 297 | 50 |
| 445  | 1928      | 140    | 40     | 0.83   | 0.016   | on      | on     | 0.187    | on       | on      | 4648 | 0.63828 | -0.06   | 0.04 | 3060 | 297 | 50 |
| 446  | 81        | 80     | 80     | 0.74   | 0.023   | on      | on     | 0.081    | on       | on      | 4736 | 0.63828 | -0.06   | 0.04 | 3060 | 297 | 50 |
| 447  | 1794      | 80     | 80     | 0.74   | 0.013   | on      | on     | 0.122    | on       | on      | 4736 | 0.63828 | -0.60   | 0.04 | 3060 | 297 | 50 |
| 448  | 870       | 140    | 40     | 0.85   | 0.022   | on      | on     | 0.020    | on       | on      | 4760 | 0.63828 | -0.06   | 0.04 | 3060 | 297 | 50 |
| 449  | 1455      | 140    | 40     | 0.85   | 0.030   | on      | on     | 0.057    | on       | on      | 4760 | 0.63828 | -0.06   | 0.04 | 3060 | 297 | 50 |
| 450  | 483       | 80     | 80     | 0.78   | 0.014   | on      | on     | 0.111    | on       | on      | 4992 | 0.63828 | -0.06   | 0.04 | 3060 | 297 | 50 |
| 451  | 204       | 80     | 80     | 0.83   | 0.043   | on      | on     | 0.093    | on       | on      | 5312 | 0.63828 | -0.06   | 0.04 | 3060 | 297 | 50 |
| 452  | 1873      | 120    | 60     | 0.82   | 0.025   | on      | on     | 0.019    | on       | on      | 5904 | 0.63828 | -0.06   | 0.04 | 3060 | 297 | 50 |
| 453  | 561       | 100    | 80     | 0.75   | 0.015   | on      | on     | 0.102    | on       | on      | 6000 | 0.63828 | -0.06   | 0.04 | 3060 | 297 | 50 |
| 454  | 593       | 100    | 80     | 0.78   | 0.010   | on      | on     | 0.014    | on       | on      | 6240 | 0.63828 | -0.06   | 0.04 | 3060 | 297 | 50 |
| 455  | 1189      | 140    | 60     | 0.76   | 0.028   | on      | on     | 0.094    | on       | on      | 6384 | 0.63828 | -0.06   | 0.04 | 3060 | 297 | 50 |
| 456  | 178       | 120    | 80     | 0.81   | 0.036   | on      | on     | 0.156    | on       | on      | 7776 | 0.63828 | -0.06   | 0.04 | 3060 | 297 | 50 |
| 457  | 1415      | 120    | 80     | 0.81   | 0.031   | on      | on     | 0.072    | on       | on      | 7776 | 0.63828 | -0.06   | 0.04 | 3060 | 297 | 50 |
| 458  | 142       | 120    | 80     | 0.86   | 0.017   | on      | on     | 0.073    | on       | on      | 8256 | 0.63828 | -0.06   | 0.04 | 3060 | 297 | 50 |
| 459  | 422       | 120    | 40     | 0.79   | 0.029   | on      | on     | 0.190    | on       | on      | 3792 | 0.62973 | 0.08    | 0.04 | 2955 | 302 | 50 |
| 460  | 396       | 140    | 60     | 0.79   | 0.044   | on      | on     | 0.128    | on       | on      | 6636 | 0.62973 | 0.08    | 0.04 | 2955 | 302 | 50 |
| 461  | 1398      | 40     | 40     | 0.80   | 0.013   | on      | on     | 0.063    | on       | on      | 1280 | 0.62475 | -0.07   | 0.04 | 3061 | 297 | 50 |
| 462  | 291       | 60     | 40     | 0.81   | 0.014   | on      | on     | 0.064    | on       | on      | 1944 | 0.62475 | -0.75   | 0.04 | 3061 | 297 | 50 |
| 463  | 1047      | 80     | 40     | 0.78   | 0.021   | on      | on     | 0.119    | on       | on      | 2496 | 0.62475 | -0.07   | 0.04 | 3061 | 297 | 50 |
| 464  | 705       | 40     | 80     | 0.85   | 0.018   | on      | on     | 0.066    | on       | on      | 2720 | 0.62475 | -0.07   | 0.04 | 3061 | 297 | 50 |
| 465  | 1079      | 60     | 80     | 0.73   | 0.031   | on      | on     | 0.108    | on       | on      | 3504 | 0.62475 | -0.07   | 0.04 | 3061 | 297 | 50 |
| 466  | 1322      | 60     | 80     | 0.80   | 0.006   | on      | on     | 0.030    | on       | on      | 3840 | 0.62475 | -0.07   | 0.04 | 3061 | 297 | 50 |
| 467  | 258       | 120    | 40     | 0.80   | 0.049   | on      | on     | 0.062    | on       | on      | 3840 | 0.62475 | -0.07   | 0.04 | 3061 | 297 | 50 |
| 468  | 1944      | 60     | 80     | 0.84   | 0.007   | on      | on     | 0.132    | on       | on      | 4032 | 0.62475 | -0.07   | 0.04 | 3061 | 297 | 50 |
| 469  | 835       | 100    | 60     | 0.70   | 0.035   | on      | on     | 0.088    | on       | on      | 4200 | 0.62475 | -0.07   | 0.04 | 3061 | 297 | 50 |
| 470  | 1665      | 140    | 40     | 0.78   | 0.021   | on      | on     | 0.131    | on       | on      | 4368 | 0.62475 | -0.07   | 0.04 | 3061 | 297 | 50 |
| 471  | 188       | 80     | 80     | 0.86   | 0.010   | on      | on     | 0.160    | on       | on      | 5504 | 0.62475 | -0.07   | 0.04 | 3061 | 297 | 50 |
| 472  | 1990      | 140    | 60     | 0.70   | 0.031   | on      | on     | 0.076    | on       | on      | 5880 | 0.62475 | -0.07   | 0.04 | 3061 | 297 | 50 |
| 473  | 382       | 100    | 80     | 0.74   | 0.022   | on      | on     | 0.057    | on       | on      | 5920 | 0.62475 | -0.07   | 0.04 | 3061 | 297 | 50 |
| 474  | 148       | 140    | 60     | 0.77   | 0.037   | on      | on     | 0.043    | on       | on      | 6468 | 0.62475 | -0.07   | 0.04 | 3061 | 297 | 50 |
| 475  | 792       | 140    | 60     | 0.78   | 0.038   | on      | on     | 0.076    | on       | on      | 6552 | 0.62281 | -0.07   | 0.04 | 2974 | 302 | 50 |
| 476  | 892       | 40     | 60     | 0.76   | 0.042   | on      | on     | 0.116    | on       | on      | 1824 | 0.62106 | -0.08   | 0.03 | 3032 | 299 | 50 |
| 477  | 1841      | 60     | 80     | 0.82   | 0.023   | on      | on     | 0.122    | on       | on      | 3936 | 0.61963 | 0.07    | 0.05 | 3048 | 297 | 50 |
| 478  | 319       | 140    | 60     | 0.76   | 0.046   | on      | on     | 0.176    | on       | on      | 6384 | 0.61963 | 0.07    | 0.05 | 3048 | 297 | 50 |
| 479  | 999       | 120    | 60     | 0.76   | 0.007   | on      | on     | 0.160    | on       | on      | 5472 | 0.61108 | 0.09    | 0.03 | 2969 | 301 | 50 |
| 480  | 176       | 60     | 40     | 0.86   | 0.044   | on      | on     | 0.079    | on       | on      | 2064 | 0.60915 | -0.07   | 0.04 | 3062 | 297 | 50 |

ตารางที่ ข.3 รายละเอียดของค่าพารามิเตอร์จำนวน 2,000 ชุด และผลการคำนวณย้อนกลับ (ต่อ)

| Rank | Set Index | maxgen | numpop | pcross | pjumpmu | iunifm | icreep | pcreepmu | ibstmold | niching | CE   | Fitness | Max Err | RMSE | E1   | E2  | E3 |
|------|-----------|--------|--------|--------|---------|--------|--------|----------|----------|---------|------|---------|---------|------|------|-----|----|
| 481  | 1452      | 100    | 40     | 0.74   | 0.021   | on     | on     | 0.176    | on       | on      | 2960 | 0.60915 | -0.07   | 0.04 | 3062 | 297 | 50 |
| 482  | 1989      | 100    | 40     | 0.75   | 0.031   | on     | on     | 0.021    | on       | on      | 3000 | 0.60915 | -0.07   | 0.04 | 3062 | 297 | 50 |
| 483  | 1197      | 60     | 60     | 0.84   | 0.009   | on     | on     | 0.155    | on       | on      | 3024 | 0.60915 | -0.07   | 0.04 | 3062 | 297 | 50 |
| 484  | 1413      | 100    | 40     | 0.80   | 0.019   | on     | on     | 0.015    | on       | on      | 3200 | 0.60915 | -0.07   | 0.04 | 3062 | 297 | 50 |
| 485  | 1878      | 120    | 40     | 0.77   | 0.024   | on     | on     | 0.135    | on       | on      | 3696 | 0.60915 | -0.07   | 0.04 | 3062 | 297 | 50 |
| 486  | 1726      | 100    | 60     | 0.73   | 0.053   | on     | on     | 0.043    | on       | on      | 4380 | 0.60915 | -0.07   | 0.04 | 3062 | 297 | 50 |
| 487  | 435       | 140    | 40     | 0.87   | 0.034   | on     | on     | 0.117    | on       | on      | 4872 | 0.60915 | -0.07   | 0.04 | 3062 | 297 | 50 |
| 488  | 900       | 140    | 40     | 0.87   | 0.015   | on     | on     | 0.087    | on       | on      | 4872 | 0.60915 | -0.07   | 0.04 | 3062 | 297 | 50 |
| 489  | 1880      | 80     | 80     | 0.86   | 0.015   | on     | on     | 0.144    | on       | on      | 5504 | 0.60915 | -0.07   | 0.04 | 3062 | 297 | 50 |
| 490  | 98        | 100    | 80     | 0.83   | 0.029   | on     | on     | 0.105    | on       | on      | 6640 | 0.60915 | -0.07   | 0.04 | 3062 | 297 | 50 |
| 491  | 1362      | 140    | 40     | 0.79   | 0.047   | on     | on     | 0.181    | on       | on      | 4424 | 0.60354 | 0.08    | 0.05 | 3047 | 297 | 50 |
| 492  | 1480      | 80     | 40     | 0.87   | 0.046   | on     | on     | 0.125    | on       | on      | 2784 | 0.60340 | -0.08   | 0.05 | 2947 | 303 | 50 |
| 493  | 1230      | 120    | 40     | 0.74   | 0.015   | on     | on     | 0.073    | on       | on      | 3552 | 0.60340 | -0.08   | 0.05 | 2947 | 303 | 50 |
| 494  | 813       | 120    | 60     | 0.78   | 0.033   | on     | on     | 0.141    | on       | on      | 5616 | 0.60340 | -0.08   | 0.05 | 2947 | 303 | 50 |
| 495  | 1259      | 140    | 40     | 0.73   | 0.048   | on     | on     | 0.050    | on       | on      | 4088 | 0.60317 | -0.07   | 0.05 | 2946 | 303 | 50 |
| 496  | 624       | 140    | 40     | 0.84   | 0.052   | on     | on     | 0.110    | on       | on      | 4704 | 0.60317 | -0.07   | 0.05 | 2946 | 303 | 50 |
| 497  | 1957      | 80     | 40     | 0.75   | 0.026   | on     | on     | 0.104    | on       | on      | 2400 | 0.60119 | -0.08   | 0.05 | 2948 | 303 | 50 |
| 498  | 891       | 120    | 40     | 0.80   | 0.042   | on     | on     | 0.168    | on       | on      | 3840 | 0.60119 | -0.08   | 0.05 | 2948 | 303 | 50 |
| 499  | 1190      | 140    | 40     | 0.86   | 0.049   | on     | on     | 0.155    | on       | on      | 4816 | 0.60119 | -0.08   | 0.05 | 2948 | 303 | 50 |
| 500  | 226       | 40     | 60     | 0.75   | 0.031   | on     | on     | 0.154    | on       | on      | 1800 | 0.60065 | -0.07   | 0.05 | 2945 | 303 | 50 |
| 501  | 360       | 100    | 80     | 0.84   | 0.021   | on     | on     | 0.082    | on       | on      | 6720 | 0.60065 | -0.07   | 0.05 | 2945 | 303 | 50 |
| 502  | 1196      | 120    | 60     | 0.71   | 0.037   | on     | on     | 0.158    | on       | on      | 5112 | 0.59719 | -0.08   | 0.05 | 2949 | 303 | 50 |
| 503  | 1173      | 80     | 60     | 0.85   | 0.053   | on     | on     | 0.035    | on       | on      | 4080 | 0.59658 | -0.07   | 0.04 | 3015 | 300 | 50 |
| 504  | 1372      | 100    | 60     | 0.85   | 0.054   | on     | on     | 0.170    | on       | on      | 5100 | 0.59658 | -0.07   | 0.04 | 3015 | 300 | 50 |
| 505  | 1787      | 140    | 80     | 0.80   | 0.045   | on     | on     | 0.092    | on       | on      | 8960 | 0.59623 | -0.17   | 0.05 | 2944 | 303 | 50 |
| 506  | 1540      | 40     | 40     | 0.81   | 0.045   | on     | on     | 0.141    | on       | on      | 1296 | 0.59264 | 0.08    | 0.04 | 3036 | 297 | 50 |
| 507  | 16        | 120    | 40     | 0.76   | 0.029   | on     | on     | 0.200    | on       | on      | 3648 | 0.59264 | -0.08   | 0.04 | 3063 | 297 | 50 |
| 508  | 1302      | 100    | 60     | 0.84   | 0.035   | on     | on     | 0.142    | on       | on      | 5040 | 0.59264 | -0.08   | 0.04 | 3063 | 297 | 50 |
| 509  | 1221      | 80     | 80     | 0.72   | 0.029   | on     | on     | 0.030    | on       | on      | 4608 | 0.58296 | 0.09    | 0.04 | 2953 | 302 | 50 |
| 510  | 1031      | 140    | 40     | 0.70   | 0.054   | on     | on     | 0.131    | on       | on      | 3920 | 0.57625 | 0.07    | 0.04 | 3023 | 298 | 50 |
| 511  | 597       | 120    | 60     | 0.70   | 0.015   | on     | on     | 0.160    | on       | on      | 5040 | 0.57625 | 0.07    | 0.04 | 3023 | 298 | 50 |
| 512  | 1307      | 40     | 40     | 0.71   | 0.009   | on     | on     | 0.193    | on       | on      | 1136 | 0.57495 | -0.08   | 0.04 | 3064 | 297 | 50 |
| 513  | 528       | 40     | 40     | 0.77   | 0.025   | on     | on     | 0.013    | on       | on      | 1232 | 0.57495 | -0.08   | 0.04 | 3064 | 297 | 50 |
| 514  | 1974      | 80     | 40     | 0.72   | 0.023   | on     | on     | 0.122    | on       | on      | 2304 | 0.57495 | -0.85   | 0.04 | 3064 | 297 | 50 |
| 515  | 1914      | 100    | 40     | 0.87   | 0.036   | on     | on     | 0.171    | on       | on      | 3480 | 0.57495 | -0.08   | 0.04 | 3064 | 297 | 50 |
| 516  | 1358      | 60     | 80     | 0.74   | 0.020   | on     | on     | 0.198    | on       | on      | 3552 | 0.57495 | -0.08   | 0.04 | 3064 | 297 | 50 |
| 517  | 570       | 120    | 40     | 0.75   | 0.032   | on     | on     | 0.058    | on       | on      | 3600 | 0.57495 | -0.08   | 0.04 | 3064 | 297 | 50 |
| 518  | 1507      | 120    | 40     | 0.79   | 0.027   | on     | on     | 0.116    | on       | on      | 3792 | 0.57495 | -0.08   | 0.04 | 3064 | 297 | 50 |
| 519  | 915       | 120    | 40     | 0.84   | 0.041   | on     | on     | 0.163    | on       | on      | 4032 | 0.57495 | -0.08   | 0.04 | 3064 | 297 | 50 |
| 520  | 1279      | 100    | 80     | 0.85   | 0.033   | on     | on     | 0.155    | on       | on      | 6800 | 0.57495 | -0.08   | 0.04 | 3064 | 297 | 50 |

ตารางที่ ข.3 รายละเอียดของค่าพารามิเตอร์จำนวน 2,000 ชุด และผลการคำนวณย้อนกลับ (ต่อ)

| Rank | Set Index | maxgen | numpop | pcross | pjumpmu | iunifm | icreep | pcreepmu | ibstmold | niching | CE   | Fitness | Max Err | RMSE | E1   | E2  | E3 |
|------|-----------|--------|--------|--------|---------|--------|--------|----------|----------|---------|------|---------|---------|------|------|-----|----|
| 521  | 118       | 140    | 80     | 0.77   | 0.035   | on     | on     | 0.075    | on       | on      | 8624 | 0.57495 | -0.08   | 0.04 | 3064 | 297 | 50 |
| 522  | 1478      | 140    | 80     | 0.73   | 0.037   | on     | on     | 0.089    | on       | on      | 8176 | 0.57224 | -0.09   | 0.05 | 2952 | 303 | 50 |
| 523  | 685       | 40     | 40     | 0.71   | 0.023   | on     | on     | 0.101    | on       | on      | 1136 | 0.57187 | -0.09   | 0.04 | 3050 | 298 | 50 |
| 524  | 689       | 40     | 40     | 0.79   | 0.050   | on     | on     | 0.090    | on       | on      | 1264 | 0.57187 | -0.09   | 0.04 | 3050 | 298 | 50 |
| 525  | 600       | 60     | 80     | 0.84   | 0.029   | on     | on     | 0.079    | on       | on      | 4032 | 0.57187 | -0.09   | 0.04 | 3050 | 298 | 50 |
| 526  | 829       | 140    | 40     | 0.77   | 0.054   | on     | on     | 0.022    | on       | on      | 4312 | 0.56821 | 0.08    | 0.05 | 3045 | 297 | 50 |
| 527  | 1621      | 140    | 60     | 0.82   | 0.050   | on     | on     | 0.071    | on       | on      | 6888 | 0.56508 | -0.07   | 0.04 | 2997 | 301 | 50 |
| 528  | 1132      | 40     | 80     | 0.84   | 0.016   | on     | on     | 0.032    | on       | on      | 2688 | 0.56039 | -0.09   | 0.05 | 2953 | 303 | 50 |
| 529  | 979       | 120    | 40     | 0.76   | 0.046   | on     | on     | 0.147    | on       | on      | 3648 | 0.55622 | -0.09   | 0.04 | 3065 | 297 | 50 |
| 530  | 1000      | 100    | 60     | 0.73   | 0.035   | on     | on     | 0.063    | on       | on      | 4380 | 0.55392 | 0.09    | 0.04 | 2984 | 300 | 50 |
| 531  | 790       | 140    | 60     | 0.74   | 0.024   | on     | on     | 0.191    | on       | on      | 6216 | 0.54716 | -0.09   | 0.05 | 2954 | 303 | 50 |
| 532  | 113       | 140    | 40     | 0.80   | 0.023   | on     | on     | 0.117    | on       | on      | 4480 | 0.53725 | -0.09   | 0.04 | 3066 | 297 | 50 |
| 533  | 540       | 80     | 80     | 0.84   | 0.017   | on     | on     | 0.170    | on       | on      | 5376 | 0.53725 | -0.09   | 0.04 | 3066 | 297 | 50 |
| 534  | 50        | 80     | 80     | 0.85   | 0.030   | on     | on     | 0.099    | on       | on      | 5440 | 0.53022 | 0.08    | 0.05 | 3043 | 297 | 50 |
| 535  | 49        | 40     | 40     | 0.72   | 0.013   | on     | on     | 0.087    | on       | on      | 1152 | 0.53020 | 0.08    | 0.05 | 3043 | 297 | 50 |
| 536  | 294       | 120    | 60     | 0.76   | 0.032   | on     | on     | 0.035    | on       | on      | 5472 | 0.52858 | 0.08    | 0.05 | 2978 | 302 | 50 |
| 537  | 1888      | 40     | 80     | 0.80   | 0.018   | on     | on     | 0.072    | on       | on      | 2560 | 0.52820 | 0.08    | 0.05 | 3073 | 296 | 50 |
| 538  | 1278      | 140    | 40     | 0.77   | 0.024   | on     | on     | 0.178    | on       | on      | 4312 | 0.52820 | 0.08    | 0.05 | 3073 | 296 | 50 |
| 539  | 463       | 100    | 60     | 0.78   | 0.031   | on     | on     | 0.020    | on       | on      | 4680 | 0.52820 | 0.08    | 0.05 | 3073 | 296 | 50 |
| 540  | 636       | 80     | 80     | 0.75   | 0.012   | on     | on     | 0.096    | on       | on      | 4800 | 0.52820 | 0.08    | 0.05 | 3073 | 296 | 50 |
| 541  | 571       | 80     | 80     | 0.83   | 0.007   | on     | on     | 0.199    | on       | on      | 5312 | 0.52820 | 0.08    | 0.05 | 3073 | 296 | 50 |
| 542  | 1204      | 120    | 80     | 0.85   | 0.016   | on     | on     | 0.189    | on       | on      | 8160 | 0.52820 | 0.08    | 0.05 | 3073 | 296 | 50 |
| 543  | 1993      | 120    | 80     | 0.87   | 0.036   | on     | on     | 0.052    | on       | on      | 8352 | 0.52820 | 0.08    | 0.05 | 3073 | 296 | 50 |
| 544  | 773       | 60     | 40     | 0.71   | 0.017   | on     | on     | 0.144    | on       | on      | 1704 | 0.52749 | 0.08    | 0.05 | 3074 | 296 | 50 |
| 545  | 1829      | 80     | 40     | 0.85   | 0.050   | on     | on     | 0.102    | on       | on      | 2720 | 0.52749 | 0.08    | 0.05 | 3074 | 296 | 50 |
| 546  | 1400      | 60     | 80     | 0.74   | 0.008   | on     | on     | 0.109    | on       | on      | 3552 | 0.52749 | 0.08    | 0.05 | 3074 | 296 | 50 |
| 547  | 1422      | 140    | 60     | 0.71   | 0.037   | on     | on     | 0.113    | on       | on      | 5964 | 0.52749 | 0.08    | 0.05 | 3074 | 296 | 50 |
| 548  | 1649      | 140    | 60     | 0.71   | 0.035   | on     | on     | 0.012    | on       | on      | 5964 | 0.52749 | 0.08    | 0.05 | 3074 | 296 | 50 |
| 549  | 1678      | 120    | 60     | 0.87   | 0.043   | on     | on     | 0.011    | on       | on      | 6264 | 0.52749 | 0.08    | 0.05 | 3074 | 296 | 50 |
| 550  | 1269      | 120    | 80     | 0.80   | 0.027   | on     | on     | 0.187    | on       | on      | 7680 | 0.52749 | 0.08    | 0.05 | 3074 | 296 | 50 |
| 551  | 1737      | 80     | 40     | 0.73   | 0.014   | on     | on     | 0.188    | on       | on      | 2336 | 0.52725 | 0.08    | 0.05 | 3072 | 296 | 50 |
| 552  | 1868      | 120    | 40     | 0.81   | 0.035   | on     | on     | 0.017    | on       | on      | 3888 | 0.52725 | 0.08    | 0.05 | 3072 | 296 | 50 |
| 553  | 28        | 140    | 40     | 0.77   | 0.026   | on     | on     | 0.173    | on       | on      | 4312 | 0.52725 | 0.08    | 0.05 | 3072 | 296 | 50 |
| 554  | 10        | 80     | 40     | 0.80   | 0.015   | on     | on     | 0.169    | on       | on      | 2560 | 0.52497 | 0.08    | 0.05 | 3075 | 296 | 50 |
| 555  | 1008      | 140    | 60     | 0.77   | 0.034   | on     | on     | 0.027    | on       | on      | 6468 | 0.52497 | 0.08    | 0.05 | 3075 | 296 | 50 |
| 556  | 1508      | 40     | 60     | 0.79   | 0.010   | on     | on     | 0.042    | on       | on      | 1896 | 0.52473 | 0.09    | 0.05 | 3071 | 296 | 50 |
| 557  | 1416      | 100    | 40     | 0.74   | 0.023   | on     | on     | 0.196    | on       | on      | 2960 | 0.52473 | 0.09    | 0.05 | 3071 | 296 | 50 |
| 558  | 106       | 40     | 80     | 0.84   | 0.012   | on     | on     | 0.063    | on       | on      | 2688 | 0.52445 | 0.10    | 0.04 | 2966 | 301 | 50 |
| 559  | 338       | 40     | 40     | 0.71   | 0.019   | on     | on     | 0.171    | on       | on      | 1136 | 0.52412 | 0.08    | 0.05 | 3021 | 298 | 50 |
| 560  | 13        | 40     | 40     | 0.77   | 0.009   | on     | on     | 0.123    | on       | on      | 1232 | 0.52116 | 0.08    | 0.05 | 3076 | 296 | 50 |

ตารางที่ ข.3 รายละเอียดของค่าพารามิเตอร์จำนวน 2,000 ชุด และผลการคำนวณย้อนกลับ (ต่อ)

| Rank | Set Index | maxgen | numpop | pcross | pjumpmu | iunifm | icreep | pcreepmu | ibstmold | niching | CE   | Fitness | Max Err | RMSE | E1   | E2  | E3 |
|------|-----------|--------|--------|--------|---------|--------|--------|----------|----------|---------|------|---------|---------|------|------|-----|----|
| 561  | 806       | 40     | 80     | 0.75   | 0.012   | on     | on     | 0.160    | on       | on      | 2400 | 0.52116 | 0.08    | 0.05 | 3076 | 296 | 50 |
| 562  | 1657      | 60     | 60     | 0.84   | 0.032   | on     | on     | 0.160    | on       | on      | 3024 | 0.52116 | 0.08    | 0.05 | 3076 | 296 | 50 |
| 563  | 706       | 60     | 80     | 0.73   | 0.013   | on     | on     | 0.123    | on       | on      | 3504 | 0.52116 | 0.08    | 0.05 | 3076 | 296 | 50 |
| 564  | 1395      | 100    | 80     | 0.83   | 0.035   | on     | on     | 0.102    | on       | on      | 6640 | 0.52116 | 0.08    | 0.05 | 3076 | 296 | 50 |
| 565  | 1985      | 120    | 80     | 0.79   | 0.040   | on     | on     | 0.168    | on       | on      | 7584 | 0.52116 | 0.08    | 0.05 | 3076 | 296 | 50 |
| 566  | 43        | 140    | 80     | 0.76   | 0.017   | on     | on     | 0.124    | on       | on      | 8512 | 0.52116 | 0.08    | 0.05 | 3076 | 296 | 50 |
| 567  | 83        | 40     | 80     | 0.87   | 0.007   | on     | on     | 0.031    | on       | on      | 2784 | 0.51544 | 0.07    | 0.05 | 3077 | 296 | 50 |
| 568  | 355       | 120    | 40     | 0.71   | 0.036   | on     | on     | 0.094    | on       | on      | 3408 | 0.51544 | 0.07    | 0.05 | 3077 | 296 | 50 |
| 569  | 548       | 120    | 40     | 0.83   | 0.054   | on     | on     | 0.165    | on       | on      | 3984 | 0.51544 | 0.07    | 0.05 | 3077 | 296 | 50 |
| 570  | 1528      | 60     | 80     | 0.84   | 0.040   | on     | on     | 0.032    | on       | on      | 4032 | 0.51544 | 0.07    | 0.05 | 3077 | 296 | 50 |
| 571  | 1825      | 140    | 40     | 0.72   | 0.041   | on     | on     | 0.145    | on       | on      | 4032 | 0.51544 | 0.07    | 0.05 | 3077 | 296 | 50 |
| 572  | 101       | 120    | 60     | 0.80   | 0.052   | on     | on     | 0.200    | on       | on      | 5760 | 0.51544 | 0.07    | 0.05 | 3077 | 296 | 50 |
| 573  | 1895      | 120    | 80     | 0.73   | 0.033   | on     | on     | 0.020    | on       | on      | 7008 | 0.51544 | 0.07    | 0.05 | 3077 | 296 | 50 |
| 574  | 1187      | 140    | 80     | 0.75   | 0.047   | on     | on     | 0.013    | on       | on      | 8400 | 0.51544 | 0.07    | 0.05 | 3077 | 296 | 50 |
| 575  | 476       | 80     | 40     | 0.85   | 0.006   | on     | on     | 0.181    | on       | on      | 2720 | 0.50983 | -0.07   | 0.05 | 2999 | 301 | 50 |
| 576  | 660       | 120    | 40     | 0.71   | 0.023   | on     | on     | 0.086    | on       | on      | 3408 | 0.50860 | -0.07   | 0.05 | 3078 | 296 | 50 |
| 577  | 91        | 100    | 60     | 0.76   | 0.047   | on     | on     | 0.171    | on       | on      | 4560 | 0.50860 | -0.07   | 0.05 | 3078 | 296 | 50 |
| 578  | 166       | 100    | 80     | 0.75   | 0.023   | on     | on     | 0.091    | on       | on      | 6000 | 0.50860 | -0.07   | 0.05 | 3078 | 296 | 50 |
| 579  | 444       | 80     | 40     | 0.86   | 0.013   | on     | on     | 0.177    | on       | on      | 2752 | 0.50066 | -0.08   | 0.05 | 3079 | 296 | 50 |
| 580  | 1451      | 120    | 80     | 0.72   | 0.044   | on     | on     | 0.133    | on       | on      | 6912 | 0.50066 | -0.08   | 0.05 | 3079 | 296 | 50 |
| 581  | 727       | 40     | 80     | 0.82   | 0.031   | on     | on     | 0.146    | on       | on      | 2624 | 0.49972 | 0.09    | 0.06 | 3067 | 296 | 50 |
| 582  | 1465      | 80     | 80     | 0.86   | 0.054   | on     | on     | 0.143    | on       | on      | 5504 | 0.49972 | 0.09    | 0.06 | 3067 | 296 | 50 |
| 583  | 944       | 120    | 40     | 0.70   | 0.046   | on     | on     | 0.046    | on       | on      | 3360 | 0.48889 | 0.09    | 0.05 | 3000 | 299 | 50 |
| 584  | 302       | 80     | 40     | 0.82   | 0.036   | on     | on     | 0.172    | on       | on      | 2624 | 0.47874 | -0.11   | 0.05 | 3069 | 297 | 50 |
| 585  | 350       | 120    | 40     | 0.77   | 0.034   | on     | on     | 0.162    | on       | on      | 3696 | 0.47874 | -0.11   | 0.05 | 3069 | 297 | 50 |
| 586  | 329       | 100    | 40     | 0.76   | 0.028   | on     | on     | 0.109    | on       | on      | 3040 | 0.47285 | -0.10   | 0.06 | 2929 | 304 | 50 |
| 587  | 343       | 120    | 60     | 0.83   | 0.008   | on     | on     | 0.085    | on       | on      | 5976 | 0.47285 | -0.10   | 0.06 | 2929 | 304 | 50 |
| 588  | 73        | 140    | 60     | 0.83   | 0.014   | on     | on     | 0.172    | on       | on      | 6972 | 0.47285 | -0.10   | 0.06 | 2929 | 304 | 50 |
| 589  | 458       | 140    | 80     | 0.86   | 0.008   | on     | on     | 0.059    | on       | on      | 9632 | 0.47285 | -0.10   | 0.06 | 2929 | 304 | 50 |
| 590  | 1515      | 140    | 80     | 0.86   | 0.048   | on     | on     | 0.085    | on       | on      | 9632 | 0.47285 | -0.10   | 0.06 | 2929 | 304 | 50 |
| 591  | 56        | 60     | 40     | 0.74   | 0.017   | on     | on     | 0.012    | on       | on      | 1776 | 0.47258 | -0.10   | 0.06 | 2929 | 304 | 50 |
| 592  | 1069      | 100    | 40     | 0.81   | 0.039   | on     | on     | 0.122    | on       | on      | 3240 | 0.47227 | -0.10   | 0.06 | 2928 | 304 | 50 |
| 593  | 694       | 120    | 80     | 0.80   | 0.008   | on     | on     | 0.081    | on       | on      | 7680 | 0.47227 | -0.10   | 0.06 | 2928 | 304 | 50 |
| 594  | 395       | 60     | 60     | 0.81   | 0.016   | on     | on     | 0.091    | on       | on      | 2916 | 0.47205 | -0.10   | 0.06 | 2930 | 304 | 50 |
| 595  | 1706      | 100    | 40     | 0.85   | 0.053   | on     | on     | 0.134    | on       | on      | 3400 | 0.47205 | -0.10   | 0.06 | 2930 | 304 | 50 |
| 596  | 509       | 100    | 60     | 0.76   | 0.010   | on     | on     | 0.198    | on       | on      | 4560 | 0.47205 | -0.10   | 0.06 | 2930 | 304 | 50 |
| 597  | 1791      | 120    | 60     | 0.73   | 0.030   | on     | on     | 0.112    | on       | on      | 5256 | 0.47205 | -0.10   | 0.06 | 2930 | 304 | 50 |
| 598  | 640       | 140    | 80     | 0.87   | 0.014   | on     | on     | 0.076    | on       | on      | 9744 | 0.47205 | -0.10   | 0.06 | 2930 | 304 | 50 |
| 599  | 1427      | 40     | 60     | 0.81   | 0.012   | on     | on     | 0.123    | on       | on      | 1944 | 0.47178 | -0.11   | 0.04 | 3054 | 298 | 50 |
| 600  | 1175      | 80     | 60     | 0.75   | 0.011   | on     | on     | 0.027    | on       | on      | 3600 | 0.47022 | -0.09   | 0.06 | 2927 | 304 | 50 |

ตารางที่ ข.3 รายละเอียดของค่าพารามิเตอร์จำนวน 2,000 ชุด และผลการคำนวณย้อนกลับ (ต่อ)

| Rank | Set Index | maxgen | numpop | pcross | pjumpmu | iunifim | icreep | pcreepmu | ibstmold | niching | CE   | Fitness | Max Err | RMSE | E1   | E2  | E3 |
|------|-----------|--------|--------|--------|---------|---------|--------|----------|----------|---------|------|---------|---------|------|------|-----|----|
| 601  | 938       | 120    | 60     | 0.87   | 0.011   | on      | on     | 0.128    | on       | on      | 6264 | 0.47022 | -0.09   | 0.06 | 2927 | 304 | 50 |
| 602  | 1834      | 80     | 80     | 0.77   | 0.047   | on      | on     | 0.014    | on       | on      | 4928 | 0.46990 | 0.10    | 0.04 | 2981 | 300 | 50 |
| 603  | 1892      | 140    | 80     | 0.80   | 0.015   | on      | on     | 0.064    | on       | on      | 8960 | 0.46986 | -0.10   | 0.06 | 2931 | 304 | 50 |
| 604  | 1133      | 120    | 40     | 0.72   | 0.048   | on      | on     | 0.028    | on       | on      | 3456 | 0.46964 | -0.09   | 0.05 | 3082 | 296 | 50 |
| 605  | 1003      | 100    | 80     | 0.72   | 0.020   | on      | on     | 0.165    | on       | on      | 5760 | 0.46635 | -0.10   | 0.06 | 2932 | 304 | 50 |
| 606  | 532       | 80     | 80     | 0.84   | 0.053   | on      | on     | 0.104    | on       | on      | 5376 | 0.46618 | 0.12    | 0.04 | 2948 | 302 | 50 |
| 607  | 1566      | 80     | 60     | 0.70   | 0.010   | on      | on     | 0.053    | on       | on      | 3360 | 0.46229 | -0.09   | 0.06 | 2925 | 304 | 50 |
| 608  | 568       | 120    | 40     | 0.77   | 0.006   | on      | on     | 0.067    | on       | on      | 3696 | 0.46229 | -0.09   | 0.06 | 2925 | 304 | 50 |
| 609  | 1938      | 100    | 80     | 0.83   | 0.009   | on      | on     | 0.048    | on       | on      | 6640 | 0.46229 | -0.09   | 0.06 | 2925 | 304 | 50 |
| 610  | 1983      | 100    | 80     | 0.85   | 0.014   | on      | on     | 0.124    | on       | on      | 6800 | 0.46229 | -0.09   | 0.06 | 2925 | 304 | 50 |
| 611  | 676       | 120    | 80     | 0.83   | 0.013   | on      | on     | 0.029    | on       | on      | 7968 | 0.46229 | -0.09   | 0.06 | 2925 | 304 | 50 |
| 612  | 659       | 120    | 80     | 0.84   | 0.006   | on      | on     | 0.055    | on       | on      | 8064 | 0.46229 | -0.09   | 0.06 | 2925 | 304 | 50 |
| 613  | 1432      | 80     | 40     | 0.87   | 0.033   | on      | on     | 0.140    | on       | on      | 2784 | 0.45927 | -0.08   | 0.05 | 3001 | 301 | 50 |
| 614  | 21        | 60     | 80     | 0.84   | 0.009   | on      | on     | 0.111    | on       | on      | 4032 | 0.45779 | -0.10   | 0.05 | 3083 | 296 | 50 |
| 615  | 493       | 100    | 80     | 0.76   | 0.038   | on      | on     | 0.068    | on       | on      | 6080 | 0.45779 | -0.10   | 0.05 | 3083 | 296 | 50 |
| 616  | 653       | 120    | 40     | 0.82   | 0.017   | on      | on     | 0.129    | on       | on      | 3936 | 0.45642 | -0.09   | 0.06 | 2924 | 304 | 50 |
| 617  | 1174      | 80     | 60     | 0.76   | 0.013   | on      | on     | 0.106    | on       | on      | 3648 | 0.44932 | 0.09    | 0.06 | 2923 | 304 | 50 |
| 618  | 1486      | 120    | 60     | 0.78   | 0.007   | on      | on     | 0.147    | on       | on      | 5616 | 0.44932 | 0.09    | 0.06 | 2923 | 304 | 50 |
| 619  | 882       | 140    | 80     | 0.73   | 0.006   | on      | on     | 0.140    | on       | on      | 8176 | 0.44932 | 0.09    | 0.06 | 2923 | 304 | 50 |
| 620  | 464       | 100    | 60     | 0.74   | 0.040   | on      | on     | 0.184    | on       | on      | 4440 | 0.44750 | 0.12    | 0.05 | 2963 | 301 | 50 |
| 621  | 1060      | 140    | 40     | 0.82   | 0.030   | on      | on     | 0.080    | on       | on      | 4592 | 0.44750 | 0.12    | 0.05 | 2963 | 301 | 50 |
| 622  | 151       | 140    | 80     | 0.83   | 0.008   | on      | on     | 0.127    | on       | on      | 9296 | 0.44154 | 0.09    | 0.06 | 2922 | 304 | 50 |
| 623  | 1744      | 100    | 60     | 0.72   | 0.012   | on      | on     | 0.011    | on       | on      | 4320 | 0.43272 | 0.10    | 0.06 | 2921 | 304 | 50 |
| 624  | 399       | 100    | 80     | 0.77   | 0.026   | on      | on     | 0.186    | on       | on      | 6160 | 0.43272 | 0.10    | 0.06 | 2921 | 304 | 50 |
| 625  | 1874      | 120    | 80     | 0.76   | 0.020   | on      | on     | 0.028    | on       | on      | 7296 | 0.43272 | 0.10    | 0.06 | 2921 | 304 | 50 |
| 626  | 1428      | 80     | 60     | 0.72   | 0.035   | on      | on     | 0.142    | on       | on      | 3456 | 0.43245 | -0.11   | 0.05 | 3085 | 296 | 50 |
| 627  | 1926      | 40     | 40     | 0.72   | 0.006   | on      | on     | 0.183    | on       | on      | 1152 | 0.42652 | 0.11    | 0.05 | 2934 | 303 | 50 |
| 628  | 592       | 120    | 60     | 0.74   | 0.024   | on      | on     | 0.166    | on       | on      | 5328 | 0.41445 | 0.13    | 0.05 | 2931 | 313 | 50 |
| 629  | 1291      | 140    | 60     | 0.73   | 0.010   | on      | on     | 0.053    | on       | on      | 6132 | 0.41445 | 0.13    | 0.05 | 2931 | 303 | 50 |
| 630  | 1351      | 120    | 60     | 0.86   | 0.010   | on      | on     | 0.182    | on       | on      | 6192 | 0.41445 | 0.13    | 0.05 | 2931 | 303 | 50 |
| 631  | 1786      | 60     | 40     | 0.77   | 0.023   | on      | on     | 0.106    | on       | on      | 1848 | 0.41256 | 0.11    | 0.06 | 2919 | 304 | 50 |
| 632  | 1578      | 120    | 60     | 0.79   | 0.009   | on      | on     | 0.153    | on       | on      | 5688 | 0.41256 | 0.11    | 0.06 | 2919 | 304 | 50 |
| 633  | 119       | 80     | 80     | 0.82   | 0.041   | on      | on     | 0.128    | on       | on      | 5248 | 0.41121 | -0.12   | 0.07 | 2939 | 304 | 50 |
| 634  | 657       | 80     | 40     | 0.75   | 0.037   | on      | on     | 0.155    | on       | on      | 2400 | 0.41070 | 0.11    | 0.07 | 3091 | 295 | 50 |
| 635  | 1788      | 100    | 40     | 0.74   | 0.042   | on      | on     | 0.076    | on       | on      | 2960 | 0.41070 | 0.11    | 0.07 | 3091 | 295 | 50 |
| 636  | 442       | 100    | 40     | 0.82   | 0.026   | on      | on     | 0.014    | on       | on      | 3280 | 0.41070 | 0.11    | 0.07 | 3091 | 295 | 50 |
| 637  | 1045      | 120    | 40     | 0.79   | 0.010   | on      | on     | 0.148    | on       | on      | 3792 | 0.41070 | 0.11    | 0.07 | 3091 | 295 | 50 |
| 638  | 1902      | 140    | 40     | 0.80   | 0.046   | on      | on     | 0.102    | on       | on      | 4480 | 0.41070 | 0.11    | 0.07 | 3091 | 295 | 50 |
| 639  | 699       | 80     | 80     | 0.79   | 0.030   | on      | on     | 0.051    | on       | on      | 5056 | 0.41070 | 0.11    | 0.07 | 3091 | 295 | 50 |
| 640  | 439       | 120    | 60     | 0.83   | 0.045   | on      | on     | 0.068    | on       | on      | 5976 | 0.41070 | 0.11    | 0.07 | 3091 | 295 | 50 |

ตารางที่ ข.3 รายละเอียดของค่าพารามิเตอร์จำนวน 2,000 ชุด และผลการคำนวณย้อนกลับ (ต่อ)

| Rank | Set Index | maxgen | numpop | pcross | pjumpmu | iuifim | icreep | pcreepmu | ibstmold | niching | CE   | Fitness | Max Err | RMSE | E1   | E2  | E3 |
|------|-----------|--------|--------|--------|---------|--------|--------|----------|----------|---------|------|---------|---------|------|------|-----|----|
| 641  | 1667      | 80     | 80     | 0.75   | 0.015   | on     | on     | 0.045    | on       | on      | 4800 | 0.41064 | 0.10    | 0.07 | 3092 | 295 | 50 |
| 642  | 389       | 140    | 40     | 0.86   | 0.047   | on     | on     | 0.183    | on       | on      | 4816 | 0.41064 | 0.10    | 0.07 | 3092 | 295 | 50 |
| 643  | 989       | 120    | 40     | 0.80   | 0.052   | on     | on     | 0.140    | on       | on      | 3840 | 0.40986 | 0.10    | 0.07 | 3093 | 295 | 50 |
| 644  | 1901      | 140    | 40     | 0.78   | 0.046   | on     | on     | 0.106    | on       | on      | 4368 | 0.40986 | 0.10    | 0.07 | 3093 | 295 | 50 |
| 645  | 920       | 60     | 40     | 0.74   | 0.013   | on     | on     | 0.194    | on       | on      | 1776 | 0.40783 | 0.10    | 0.07 | 3094 | 295 | 50 |
| 646  | 1837      | 140    | 80     | 0.86   | 0.022   | on     | on     | 0.138    | on       | on      | 9632 | 0.40783 | 0.10    | 0.07 | 3094 | 295 | 50 |
| 647  | 390       | 80     | 60     | 0.84   | 0.020   | on     | on     | 0.179    | on       | on      | 4032 | 0.40767 | 0.11    | 0.07 | 3089 | 295 | 50 |
| 648  | 1604      | 120    | 60     | 0.76   | 0.054   | on     | on     | 0.128    | on       | on      | 5472 | 0.40767 | 0.11    | 0.07 | 3089 | 295 | 50 |
| 649  | 1809      | 40     | 40     | 0.72   | 0.014   | on     | on     | 0.198    | on       | on      | 1152 | 0.40509 | 0.10    | 0.07 | 3095 | 295 | 50 |
| 650  | 858       | 100    | 40     | 0.74   | 0.045   | on     | on     | 0.115    | on       | on      | 2960 | 0.40509 | 0.10    | 0.07 | 3095 | 295 | 50 |
| 651  | 802       | 140    | 80     | 0.71   | 0.039   | on     | on     | 0.152    | on       | on      | 7952 | 0.40509 | 0.10    | 0.07 | 3095 | 295 | 50 |
| 652  | 1573      | 60     | 60     | 0.80   | 0.039   | on     | on     | 0.115    | on       | on      | 2880 | 0.40486 | 0.10    | 0.07 | 3088 | 295 | 50 |
| 653  | 827       | 60     | 40     | 0.72   | 0.032   | on     | on     | 0.076    | on       | on      | 1728 | 0.40268 | 0.13    | 0.05 | 2961 | 301 | 50 |
| 654  | 1662      | 60     | 60     | 0.70   | 0.013   | on     | on     | 0.081    | on       | on      | 2520 | 0.40268 | 0.13    | 0.05 | 2961 | 301 | 50 |
| 655  | 1112      | 120    | 60     | 0.79   | 0.043   | on     | on     | 0.013    | on       | on      | 5688 | 0.40268 | 0.13    | 0.05 | 2961 | 301 | 50 |
| 656  | 1931      | 120    | 40     | 0.70   | 0.007   | on     | on     | 0.082    | on       | on      | 3360 | 0.40169 | 0.11    | 0.06 | 2918 | 304 | 50 |
| 657  | 712       | 100    | 60     | 0.86   | 0.009   | on     | on     | 0.123    | on       | on      | 5160 | 0.40169 | 0.11    | 0.06 | 2918 | 304 | 50 |
| 658  | 1340      | 140    | 80     | 0.74   | 0.008   | on     | on     | 0.085    | on       | on      | 8288 | 0.40169 | 0.11    | 0.06 | 2918 | 304 | 50 |
| 659  | 477       | 100    | 80     | 0.78   | 0.048   | on     | on     | 0.138    | on       | on      | 6240 | 0.40107 | 0.10    | 0.07 | 3096 | 295 | 50 |
| 660  | 112       | 40     | 40     | 0.75   | 0.033   | on     | on     | 0.099    | on       | on      | 1200 | 0.39960 | -0.10   | 0.06 | 2984 | 302 | 50 |
| 661  | 501       | 100    | 40     | 0.83   | 0.025   | on     | on     | 0.078    | on       | on      | 3320 | 0.39794 | 0.13    | 0.05 | 2930 | 303 | 50 |
| 662  | 220       | 40     | 40     | 0.73   | 0.015   | on     | on     | 0.186    | on       | on      | 1168 | 0.39647 | 0.09    | 0.07 | 3097 | 295 | 50 |
| 663  | 67        | 60     | 60     | 0.76   | 0.012   | on     | on     | 0.139    | on       | on      | 2736 | 0.39273 | -0.10   | 0.06 | 3004 | 301 | 50 |
| 664  | 1797      | 140    | 80     | 0.73   | 0.052   | on     | on     | 0.023    | on       | on      | 8176 | 0.39231 | -0.13   | 0.06 | 3088 | 296 | 50 |
| 665  | 1458      | 140    | 80     | 0.81   | 0.043   | on     | on     | 0.139    | on       | on      | 9072 | 0.39052 | 0.11    | 0.07 | 3058 | 296 | 50 |
| 666  | 1766      | 120    | 80     | 0.78   | 0.053   | on     | on     | 0.134    | on       | on      | 7488 | 0.38706 | -0.14   | 0.05 | 3074 | 297 | 50 |
| 667  | 1497      | 80     | 80     | 0.76   | 0.054   | on     | on     | 0.192    | on       | on      | 4864 | 0.38470 | 0.14    | 0.05 | 2944 | 302 | 50 |
| 668  | 1256      | 60     | 80     | 0.82   | 0.033   | on     | on     | 0.043    | on       | on      | 3936 | 0.38435 | 0.12    | 0.07 | 3084 | 295 | 50 |
| 669  | 513       | 80     | 80     | 0.85   | 0.035   | on     | on     | 0.080    | on       | on      | 5440 | 0.38435 | 0.12    | 0.07 | 3084 | 295 | 50 |
| 670  | 1970      | 60     | 60     | 0.78   | 0.048   | on     | on     | 0.133    | on       | on      | 2808 | 0.38084 | -0.10   | 0.06 | 2985 | 302 | 50 |
| 671  | 1855      | 120    | 60     | 0.70   | 0.046   | on     | on     | 0.088    | on       | on      | 5040 | 0.37894 | 0.12    | 0.06 | 2916 | 304 | 50 |
| 672  | 987       | 40     | 40     | 0.76   | 0.026   | on     | on     | 0.091    | on       | on      | 1216 | 0.37829 | -0.11   | 0.07 | 3100 | 295 | 50 |
| 673  | 1253      | 120    | 80     | 0.85   | 0.044   | on     | on     | 0.144    | on       | on      | 8160 | 0.37829 | -0.11   | 0.07 | 3100 | 295 | 50 |
| 674  | 551       | 80     | 40     | 0.71   | 0.028   | on     | on     | 0.106    | on       | on      | 2272 | 0.37763 | -0.13   | 0.07 | 2942 | 304 | 50 |
| 675  | 1732      | 120    | 60     | 0.87   | 0.054   | on     | on     | 0.078    | on       | on      | 6264 | 0.37374 | 0.11    | 0.06 | 2995 | 299 | 50 |
| 676  | 141       | 120    | 60     | 0.80   | 0.022   | on     | on     | 0.042    | on       | on      | 5760 | 0.37290 | -0.12   | 0.07 | 2911 | 305 | 50 |
| 677  | 1293      | 100    | 40     | 0.72   | 0.038   | on     | on     | 0.149    | on       | on      | 2880 | 0.37129 | -0.12   | 0.07 | 2911 | 305 | 50 |
| 678  | 380       | 80     | 60     | 0.85   | 0.009   | on     | on     | 0.066    | on       | on      | 4080 | 0.37129 | -0.12   | 0.07 | 2911 | 305 | 50 |
| 679  | 1597      | 100    | 60     | 0.83   | 0.016   | on     | on     | 0.194    | on       | on      | 4980 | 0.37129 | -0.12   | 0.07 | 2991 | 305 | 50 |
| 680  | 1370      | 120    | 80     | 0.79   | 0.032   | on     | on     | 0.082    | on       | on      | 7584 | 0.37129 | -0.12   | 0.07 | 2911 | 305 | 50 |

ตารางที่ ข.3 รายละเอียดของค่าพารามิเตอร์จำนวน 2,000 ชุด และผลการคำนวณย้อนกลับ (ต่อ)

| Rank | Set  | Index | maxgen | numpop | pcross | pjumpmu | iunifm | icreep | pcreepmu | ibstmold | niching | CE      | Fitness | Max Err | RMSE | E1  | E2 | E3 |
|------|------|-------|--------|--------|--------|---------|--------|--------|----------|----------|---------|---------|---------|---------|------|-----|----|----|
| 681  | 180  | 140   | 80     | 0.77   | 0.007  | on      | on     | 0.177  | on       | on       | 8624    | 0.37129 | -0.12   | 0.07    | 2911 | 305 | 50 |    |
| 682  | 904  | 100   | 40     | 0.82   | 0.033  | on      | on     | 0.091  | on       | on       | 3280    | 0.37110 | -0.12   | 0.07    | 2912 | 305 | 50 |    |
| 683  | 1676 | 100   | 40     | 0.84   | 0.016  | on      | on     | 0.162  | on       | on       | 3360    | 0.37110 | -0.12   | 0.07    | 2912 | 305 | 50 |    |
| 684  | 1721 | 80    | 60     | 0.77   | 0.007  | on      | on     | 0.135  | on       | on       | 3696    | 0.37110 | -0.12   | 0.07    | 2912 | 305 | 50 |    |
| 685  | 639  | 100   | 60     | 0.83   | 0.049  | on      | on     | 0.148  | on       | on       | 4980    | 0.37110 | -0.12   | 0.07    | 2912 | 305 | 50 |    |
| 686  | 1490 | 100   | 40     | 0.74   | 0.040  | on      | on     | 0.067  | on       | on       | 2960    | 0.37096 | -0.11   | 0.07    | 3101 | 295 | 50 |    |
| 687  | 1066 | 80    | 80     | 0.77   | 0.012  | on      | on     | 0.128  | on       | on       | 4928    | 0.37050 | -0.12   | 0.07    | 2910 | 305 | 50 |    |
| 688  | 886  | 120   | 60     | 0.76   | 0.006  | on      | on     | 0.191  | on       | on       | 5472    | 0.37025 | -0.12   | 0.08    | 2913 | 305 | 50 |    |
| 689  | 266  | 140   | 60     | 0.84   | 0.017  | on      | on     | 0.148  | on       | on       | 7056    | 0.37025 | -0.12   | 0.08    | 2913 | 305 | 50 |    |
| 690  | 832  | 140   | 80     | 0.74   | 0.051  | on      | on     | 0.085  | on       | on       | 8288    | 0.37025 | -0.12   | 0.08    | 2913 | 305 | 50 |    |
| 691  | 984  | 80    | 80     | 0.85   | 0.032  | on      | on     | 0.192  | on       | on       | 5440    | 0.37023 | -0.14   | 0.05    | 3075 | 297 | 50 |    |
| 692  | 1211 | 100   | 60     | 0.73   | 0.017  | on      | on     | 0.089  | on       | on       | 4380    | 0.36871 | -0.12   | 0.07    | 2909 | 305 | 50 |    |
| 693  | 1585 | 60    | 60     | 0.81   | 0.022  | on      | on     | 0.150  | on       | on       | 2916    | 0.36838 | -0.13   | 0.08    | 2914 | 305 | 50 |    |
| 694  | 57   | 140   | 60     | 0.86   | 0.026  | on      | on     | 0.175  | on       | on       | 7224    | 0.36838 | -0.13   | 0.08    | 2914 | 305 | 50 |    |
| 695  | 1677 | 120   | 40     | 0.77   | 0.031  | on      | on     | 0.148  | on       | on       | 3696    | 0.36714 | 0.13    | 0.06    | 2915 | 304 | 50 |    |
| 696  | 1827 | 60    | 80     | 0.76   | 0.027  | on      | on     | 0.165  | on       | on       | 3648    | 0.36652 | -0.11   | 0.07    | 2908 | 305 | 50 |    |
| 697  | 1622 | 120   | 60     | 0.86   | 0.045  | on      | on     | 0.027  | on       | on       | 6192    | 0.36652 | -0.11   | 0.07    | 2908 | 305 | 50 |    |
| 698  | 585  | 120   | 40     | 0.76   | 0.016  | on      | on     | 0.133  | on       | on       | 3648    | 0.36599 | 0.14    | 0.06    | 2928 | 303 | 50 |    |
| 699  | 342  | 140   | 40     | 0.81   | 0.038  | on      | on     | 0.046  | on       | on       | 4536    | 0.36599 | 0.14    | 0.06    | 2928 | 303 | 50 |    |
| 700  | 235  | 60    | 80     | 0.83   | 0.054  | on      | on     | 0.110  | on       | on       | 3984    | 0.36579 | -0.13   | 0.08    | 2915 | 305 | 50 |    |
| 701  | 1201 | 40    | 60     | 0.72   | 0.023  | on      | on     | 0.139  | on       | on       | 1728    | 0.36573 | -0.14   | 0.06    | 3090 | 296 | 50 |    |
| 702  | 610  | 80    | 60     | 0.77   | 0.042  | on      | on     | 0.133  | on       | on       | 3696    | 0.36573 | -0.14   | 0.06    | 3090 | 296 | 50 |    |
| 703  | 718  | 60    | 60     | 0.70   | 0.010  | on      | on     | 0.045  | on       | on       | 2520    | 0.36327 | -0.11   | 0.07    | 2907 | 305 | 50 |    |
| 704  | 1577 | 120   | 40     | 0.74   | 0.039  | on      | on     | 0.022  | on       | on       | 3552    | 0.36325 | -0.12   | 0.07    | 3102 | 295 | 50 |    |
| 705  | 667  | 120   | 40     | 0.78   | 0.032  | on      | on     | 0.071  | on       | on       | 3744    | 0.36325 | -0.12   | 0.07    | 3102 | 295 | 50 |    |
| 706  | 249  | 140   | 40     | 0.80   | 0.038  | on      | on     | 0.098  | on       | on       | 4480    | 0.36325 | -0.12   | 0.07    | 3102 | 295 | 50 |    |
| 707  | 1344 | 140   | 80     | 0.76   | 0.050  | on      | on     | 0.134  | on       | on       | 8512    | 0.36325 | -0.12   | 0.07    | 3102 | 295 | 50 |    |
| 708  | 856  | 100   | 60     | 0.82   | 0.036  | on      | on     | 0.017  | on       | on       | 4920    | 0.36318 | 0.12    | 0.07    | 3056 | 296 | 50 |    |
| 709  | 1845 | 140   | 60     | 0.77   | 0.054  | on      | on     | 0.010  | on       | on       | 6468    | 0.36248 | 0.13    | 0.08    | 3081 | 295 | 50 |    |
| 710  | 609  | 120   | 80     | 0.73   | 0.047  | on      | on     | 0.183  | on       | on       | 7008    | 0.35833 | 0.13    | 0.06    | 2976 | 300 | 50 |    |
| 711  | 880  | 60    | 40     | 0.87   | 0.019  | on      | on     | 0.142  | on       | on       | 2088    | 0.35470 | -0.12   | 0.07    | 2966 | 303 | 50 |    |
| 712  | 318  | 140   | 60     | 0.78   | 0.019  | on      | on     | 0.072  | on       | on       | 6552    | 0.35452 | -0.11   | 0.07    | 2905 | 305 | 50 |    |
| 713  | 490  | 80    | 60     | 0.81   | 0.041  | on      | on     | 0.052  | on       | on       | 3888    | 0.35261 | -0.14   | 0.06    | 3091 | 296 | 50 |    |
| 714  | 281  | 40    | 40     | 0.83   | 0.020  | on      | on     | 0.022  | on       | on       | 1328    | 0.35093 | -0.14   | 0.05    | 3060 | 298 | 50 |    |
| 715  | 1881 | 100   | 40     | 0.78   | 0.052  | on      | on     | 0.165  | on       | on       | 3120    | 0.35093 | -0.14   | 0.05    | 3060 | 298 | 50 |    |
| 716  | 620  | 140   | 80     | 0.87   | 0.053  | on      | on     | 0.175  | on       | on       | 9744    | 0.35093 | -0.14   | 0.05    | 3060 | 298 | 50 |    |
| 717  | 93   | 140   | 40     | 0.75   | 0.023  | on      | on     | 0.028  | on       | on       | 4200    | 0.35071 | 0.15    | 0.06    | 2927 | 303 | 50 |    |
| 718  | 1029 | 40    | 40     | 0.75   | 0.013  | on      | on     | 0.116  | on       | on       | 1200    | 0.34765 | -0.14   | 0.08    | 2919 | 305 | 50 |    |
| 719  | 595  | 100   | 40     | 0.70   | 0.042  | on      | on     | 0.065  | on       | on       | 2800    | 0.34765 | -0.14   | 0.08    | 2919 | 305 | 50 |    |
| 720  | 608  | 140   | 60     | 0.70   | 0.019  | on      | on     | 0.134  | on       | on       | 5880    | 0.34765 | -0.14   | 0.08    | 2919 | 305 | 50 |    |



ตารางที่ ข.3 รายละเอียดของค่าพารามิเตอร์จำนวน 2,000 ชุด และผลการคำนวณย้อนกลับ (ต่อ)

| Rank | Set Index | maxgen | numpop | pcross | pjumpmu | unifim | icreep | pcreepmu | ibstmold | niching | CE   | Fitness | Max Err | RMSE | E1   | E2  | E3 |
|------|-----------|--------|--------|--------|---------|--------|--------|----------|----------|---------|------|---------|---------|------|------|-----|----|
| 721  | 25        | 100    | 60     | 0.83   | 0.006   | on     | on     | 0.084    | on       | on      | 4980 | 0.34730 | 0.26    | 0.11 | 2845 | 307 | 50 |
| 722  | 1835      | 40     | 40     | 0.85   | 0.016   | on     | on     | 0.135    | on       | on      | 1360 | 0.34651 | -0.13   | 0.07 | 3104 | 295 | 50 |
| 723  | 54        | 100    | 40     | 0.78   | 0.040   | on     | on     | 0.055    | on       | on      | 3120 | 0.34545 | 0.13    | 0.08 | 3079 | 295 | 50 |
| 724  | 1620      | 80     | 80     | 0.87   | 0.013   | on     | on     | 0.155    | on       | on      | 5568 | 0.34170 | -0.14   | 0.08 | 2920 | 305 | 50 |
| 725  | 523       | 100    | 60     | 0.71   | 0.041   | on     | on     | 0.197    | on       | on      | 4260 | 0.33959 | -0.15   | 0.06 | 3092 | 296 | 50 |
| 726  | 40        | 140    | 40     | 0.82   | 0.046   | on     | on     | 0.062    | on       | on      | 4592 | 0.33959 | -0.15   | 0.06 | 3092 | 296 | 50 |
| 727  | 852       | 120    | 40     | 0.77   | 0.025   | on     | on     | 0.060    | on       | on      | 3696 | 0.33580 | 0.15    | 0.06 | 2926 | 303 | 50 |
| 728  | 656       | 140    | 40     | 0.74   | 0.024   | on     | on     | 0.087    | on       | on      | 4144 | 0.33514 | -0.14   | 0.08 | 2921 | 305 | 50 |
| 729  | 31        | 40     | 40     | 0.71   | 0.019   | on     | on     | 0.200    | on       | on      | 1136 | 0.33399 | -0.15   | 0.06 | 3061 | 298 | 50 |
| 730  | 1128      | 80     | 80     | 0.72   | 0.024   | on     | on     | 0.096    | on       | on      | 4608 | 0.33180 | 0.15    | 0.07 | 2912 | 304 | 50 |
| 731  | 136       | 60     | 40     | 0.85   | 0.031   | on     | on     | 0.065    | on       | on      | 2040 | 0.33094 | -0.13   | 0.08 | 2946 | 304 | 50 |
| 732  | 814       | 100    | 80     | 0.84   | 0.047   | on     | on     | 0.190    | on       | on      | 6720 | 0.33094 | -0.13   | 0.08 | 2946 | 304 | 50 |
| 733  | 268       | 80     | 60     | 0.75   | 0.011   | on     | on     | 0.168    | on       | on      | 3600 | 0.32978 | 0.12    | 0.07 | 2901 | 305 | 50 |
| 734  | 1092      | 140    | 40     | 0.74   | 0.016   | on     | on     | 0.098    | on       | on      | 4144 | 0.32978 | 0.12    | 0.07 | 2901 | 305 | 50 |
| 735  | 1065      | 80     | 60     | 0.83   | 0.051   | on     | on     | 0.010    | on       | on      | 3984 | 0.32859 | -0.14   | 0.07 | 3106 | 295 | 50 |
| 736  | 1406      | 40     | 40     | 0.79   | 0.028   | on     | on     | 0.137    | on       | on      | 1264 | 0.32815 | -0.14   | 0.08 | 2922 | 305 | 50 |
| 737  | 569       | 80     | 60     | 0.78   | 0.042   | on     | on     | 0.183    | on       | on      | 3744 | 0.32157 | 0.13    | 0.08 | 3109 | 294 | 50 |
| 738  | 831       | 140    | 60     | 0.78   | 0.033   | on     | on     | 0.105    | on       | on      | 6552 | 0.32157 | 0.13    | 0.08 | 3109 | 294 | 50 |
| 739  | 552       | 100    | 40     | 0.81   | 0.038   | on     | on     | 0.046    | on       | on      | 3240 | 0.32090 | 0.12    | 0.08 | 3112 | 294 | 50 |
| 740  | 1663      | 60     | 80     | 0.78   | 0.047   | on     | on     | 0.093    | on       | on      | 3744 | 0.32081 | -0.14   | 0.08 | 2923 | 305 | 50 |
| 741  | 1821      | 80     | 80     | 0.81   | 0.039   | on     | on     | 0.134    | on       | on      | 5184 | 0.32081 | -0.14   | 0.08 | 2923 | 305 | 50 |
| 742  | 233       | 120    | 60     | 0.79   | 0.006   | on     | on     | 0.187    | on       | on      | 5688 | 0.32081 | -0.14   | 0.08 | 2923 | 305 | 50 |
| 743  | 317       | 80     | 40     | 0.70   | 0.028   | on     | on     | 0.193    | on       | on      | 2240 | 0.32051 | -0.12   | 0.07 | 3008 | 301 | 50 |
| 744  | 518       | 60     | 80     | 0.76   | 0.047   | on     | on     | 0.180    | on       | on      | 3648 | 0.32018 | 0.15    | 0.07 | 2911 | 304 | 50 |
| 745  | 1378      | 100    | 60     | 0.71   | 0.026   | on     | on     | 0.129    | on       | on      | 4260 | 0.31961 | 0.12    | 0.08 | 3113 | 294 | 50 |
| 746  | 1263      | 60     | 80     | 0.80   | 0.019   | on     | on     | 0.102    | on       | on      | 3840 | 0.31941 | -0.14   | 0.07 | 3107 | 295 | 50 |
| 747  | 1317      | 100    | 40     | 0.83   | 0.024   | on     | on     | 0.027    | on       | on      | 3320 | 0.31915 | 0.13    | 0.08 | 3107 | 294 | 50 |
| 748  | 1701      | 140    | 60     | 0.86   | 0.008   | on     | on     | 0.080    | on       | on      | 7224 | 0.31850 | -0.16   | 0.06 | 3062 | 298 | 50 |
| 749  | 1992      | 140    | 60     | 0.87   | 0.045   | on     | on     | 0.141    | on       | on      | 7308 | 0.31698 | 0.14    | 0.08 | 3106 | 294 | 50 |
| 750  | 1715      | 80     | 40     | 0.81   | 0.041   | on     | on     | 0.018    | on       | on      | 2592 | 0.31580 | -0.16   | 0.06 | 3062 | 298 | 50 |
| 751  | 415       | 40     | 80     | 0.79   | 0.007   | on     | on     | 0.061    | on       | on      | 2528 | 0.31464 | 0.13    | 0.07 | 2899 | 305 | 50 |
| 752  | 1923      | 80     | 60     | 0.79   | 0.008   | on     | on     | 0.049    | on       | on      | 3792 | 0.31464 | 0.13    | 0.07 | 2899 | 305 | 50 |
| 753  | 1215      | 120    | 60     | 0.71   | 0.008   | on     | on     | 0.057    | on       | on      | 5112 | 0.31464 | 0.13    | 0.07 | 2899 | 305 | 50 |
| 754  | 1651      | 100    | 80     | 0.79   | 0.007   | on     | on     | 0.038    | on       | on      | 6320 | 0.31464 | 0.13    | 0.07 | 2899 | 305 | 50 |
| 755  | 703       | 140    | 60     | 0.86   | 0.023   | on     | on     | 0.035    | on       | on      | 7224 | 0.31464 | 0.13    | 0.07 | 2899 | 305 | 50 |
| 756  | 1274      | 120    | 80     | 0.79   | 0.030   | on     | on     | 0.139    | on       | on      | 7584 | 0.31437 | -0.15   | 0.06 | 3045 | 299 | 50 |
| 757  | 301       | 100    | 40     | 0.70   | 0.015   | on     | on     | 0.097    | on       | on      | 2800 | 0.31310 | -0.15   | 0.09 | 2924 | 305 | 50 |
| 758  | 1850      | 100    | 80     | 0.79   | 0.017   | on     | on     | 0.175    | on       | on      | 6320 | 0.31310 | -0.15   | 0.09 | 2924 | 305 | 50 |
| 759  | 1180      | 120    | 80     | 0.74   | 0.043   | on     | on     | 0.097    | on       | on      | 7104 | 0.31209 | 0.12    | 0.08 | 3116 | 294 | 50 |
| 760  | 1120      | 80     | 40     | 0.76   | 0.052   | on     | on     | 0.032    | on       | on      | 2432 | 0.31010 | -0.16   | 0.06 | 3079 | 297 | 50 |

ตารางที่ ข.3 รายละเอียดของค่าพารามิเตอร์จำนวน 2,000 ชุด และผลการคำนวณย้อนกลับ (ต่อ)

| Rank | Set Index | maxgen | numpop | pcross | pjumpmu | iunifm | icreep | pcreepmu | ibstmold | niching | CE   | Fitness | Max Err | RMSE | E1   | E2  | E3 |
|------|-----------|--------|--------|--------|---------|--------|--------|----------|----------|---------|------|---------|---------|------|------|-----|----|
| 761  | 164       | 40     | 80     | 0.86   | 0.006   | on     | on     | 0.074    | on       | on      | 2752 | 0.31010 | -0.16   | 0.06 | 3079 | 297 | 50 |
| 762  | 707       | 140    | 40     | 0.82   | 0.053   | on     | on     | 0.146    | on       | on      | 4592 | 0.30748 | 0.14    | 0.09 | 3103 | 294 | 50 |
| 763  | 263       | 140    | 40     | 0.77   | 0.011   | on     | on     | 0.118    | on       | on      | 4312 | 0.30685 | 0.14    | 0.07 | 2898 | 305 | 50 |
| 764  | 72        | 120    | 60     | 0.73   | 0.022   | on     | on     | 0.110    | on       | on      | 5256 | 0.30685 | 0.14    | 0.07 | 2898 | 305 | 50 |
| 765  | 175       | 80     | 80     | 0.72   | 0.050   | on     | on     | 0.043    | on       | on      | 4608 | 0.30652 | 0.15    | 0.06 | 2973 | 300 | 50 |
| 766  | 857       | 120    | 80     | 0.79   | 0.044   | on     | on     | 0.190    | on       | on      | 7584 | 0.30652 | 0.15    | 0.06 | 2973 | 300 | 50 |
| 767  | 1154      | 100    | 80     | 0.85   | 0.021   | on     | on     | 0.070    | on       | on      | 6800 | 0.29508 | -0.14   | 0.09 | 2894 | 306 | 50 |
| 768  | 810       | 140    | 80     | 0.85   | 0.020   | on     | on     | 0.148    | on       | on      | 9520 | 0.29508 | -0.14   | 0.09 | 2894 | 306 | 50 |
| 769  | 1642      | 40     | 60     | 0.87   | 0.013   | on     | on     | 0.020    | on       | on      | 2088 | 0.29505 | -0.14   | 0.09 | 2894 | 306 | 50 |
| 770  | 208       | 80     | 40     | 0.74   | 0.014   | on     | on     | 0.100    | on       | on      | 2368 | 0.29505 | -0.14   | 0.09 | 2894 | 306 | 50 |
| 771  | 1759      | 60     | 60     | 0.80   | 0.010   | on     | on     | 0.134    | on       | on      | 2880 | 0.29505 | -0.14   | 0.09 | 2894 | 306 | 50 |
| 772  | 1266      | 120    | 40     | 0.70   | 0.020   | on     | on     | 0.186    | on       | on      | 3360 | 0.29505 | -0.14   | 0.09 | 2894 | 306 | 50 |
| 773  | 1076      | 100    | 40     | 0.87   | 0.012   | on     | on     | 0.069    | on       | on      | 3480 | 0.29505 | -0.14   | 0.09 | 2894 | 306 | 50 |
| 774  | 949       | 80     | 60     | 0.77   | 0.012   | on     | on     | 0.041    | on       | on      | 3696 | 0.29505 | -0.14   | 0.09 | 2894 | 306 | 50 |
| 775  | 702       | 60     | 80     | 0.85   | 0.031   | on     | on     | 0.200    | on       | on      | 4080 | 0.29505 | -0.14   | 0.09 | 2894 | 306 | 50 |
| 776  | 747       | 140    | 40     | 0.73   | 0.009   | on     | on     | 0.032    | on       | on      | 4088 | 0.29505 | -0.14   | 0.09 | 2894 | 306 | 50 |
| 777  | 103       | 140    | 40     | 0.81   | 0.021   | on     | on     | 0.082    | on       | on      | 4536 | 0.29505 | -0.14   | 0.09 | 2894 | 306 | 50 |
| 778  | 405       | 100    | 60     | 0.76   | 0.022   | on     | on     | 0.193    | on       | on      | 4560 | 0.29505 | -0.14   | 0.09 | 2894 | 306 | 50 |
| 779  | 1208      | 80     | 80     | 0.72   | 0.025   | on     | on     | 0.099    | on       | on      | 4608 | 0.29505 | -0.14   | 0.09 | 2894 | 306 | 50 |
| 780  | 1583      | 100    | 80     | 0.82   | 0.028   | on     | on     | 0.177    | on       | on      | 6560 | 0.29505 | -0.14   | 0.09 | 2894 | 306 | 50 |
| 781  | 823       | 140    | 60     | 0.83   | 0.027   | on     | on     | 0.047    | on       | on      | 6972 | 0.29505 | -0.14   | 0.09 | 2894 | 306 | 50 |
| 782  | 1920      | 120    | 80     | 0.80   | 0.016   | on     | on     | 0.031    | on       | on      | 7680 | 0.29505 | -0.14   | 0.09 | 2894 | 306 | 50 |
| 783  | 239       | 120    | 80     | 0.82   | 0.009   | on     | on     | 0.090    | on       | on      | 7872 | 0.29505 | -0.14   | 0.09 | 2894 | 306 | 50 |
| 784  | 1749      | 120    | 80     | 0.86   | 0.024   | on     | on     | 0.010    | on       | on      | 8256 | 0.29505 | -0.14   | 0.09 | 2894 | 306 | 50 |
| 785  | 202       | 140    | 80     | 0.86   | 0.027   | on     | on     | 0.033    | on       | on      | 9632 | 0.29505 | -0.14   | 0.09 | 2894 | 306 | 50 |
| 786  | 1625      | 140    | 80     | 0.87   | 0.015   | on     | on     | 0.136    | on       | on      | 9744 | 0.29505 | -0.14   | 0.09 | 2894 | 306 | 50 |
| 787  | 47        | 40     | 40     | 0.71   | 0.012   | on     | on     | 0.169    | on       | on      | 1136 | 0.29487 | -0.41   | 0.09 | 2893 | 306 | 50 |
| 788  | 1544      | 60     | 60     | 0.82   | 0.028   | on     | on     | 0.034    | on       | on      | 2952 | 0.29487 | -0.14   | 0.09 | 2893 | 306 | 50 |
| 789  | 1680      | 80     | 60     | 0.82   | 0.050   | on     | on     | 0.156    | on       | on      | 3936 | 0.29487 | -0.14   | 0.09 | 2893 | 306 | 50 |
| 790  | 80        | 140    | 40     | 0.71   | 0.013   | on     | on     | 0.123    | on       | on      | 3976 | 0.29487 | -0.14   | 0.09 | 2893 | 306 | 50 |
| 791  | 1371      | 120    | 60     | 0.85   | 0.016   | on     | on     | 0.049    | on       | on      | 6120 | 0.29487 | -0.14   | 0.09 | 2893 | 306 | 50 |
| 792  | 566       | 140    | 60     | 0.78   | 0.041   | on     | on     | 0.172    | on       | on      | 6552 | 0.29487 | -0.14   | 0.09 | 2893 | 306 | 50 |
| 793  | 1951      | 140    | 60     | 0.78   | 0.007   | on     | on     | 0.034    | on       | on      | 6552 | 0.29487 | -0.14   | 0.09 | 2893 | 306 | 50 |
| 794  | 1457      | 140    | 60     | 0.81   | 0.034   | on     | on     | 0.038    | on       | on      | 6804 | 0.29487 | -0.14   | 0.09 | 2893 | 306 | 50 |
| 795  | 1283      | 140    | 60     | 0.83   | 0.023   | on     | on     | 0.055    | on       | on      | 6972 | 0.29487 | -0.14   | 0.09 | 2893 | 306 | 50 |
| 796  | 995       | 100    | 40     | 0.76   | 0.021   | on     | on     | 0.157    | on       | on      | 3040 | 0.29473 | -0.15   | 0.09 | 2895 | 306 | 50 |
| 797  | 1966      | 60     | 80     | 0.74   | 0.041   | on     | on     | 0.024    | on       | on      | 3552 | 0.29473 | -0.15   | 0.09 | 2895 | 306 | 50 |
| 798  | 1035      | 80     | 80     | 0.71   | 0.008   | on     | on     | 0.194    | on       | on      | 4544 | 0.29473 | -0.15   | 0.09 | 2895 | 306 | 50 |
| 799  | 1367      | 140    | 60     | 0.71   | 0.019   | on     | on     | 0.165    | on       | on      | 5964 | 0.29473 | -0.15   | 0.09 | 2895 | 306 | 50 |
| 800  | 1159      | 100    | 80     | 0.80   | 0.022   | on     | on     | 0.043    | on       | on      | 6400 | 0.29473 | -0.15   | 0.09 | 2895 | 306 | 50 |

ตารางที่ ข.3 รายละเอียดของค่าพารามิเตอร์จำนวน 2,000 ชุด และผลการคำนวณย้อนกลับ (ต่อ)

| Rank | Set Index | maxgen | numpop | pcross | pjumpmu | iunifm | icreep | pcreepmu | ibstmold | niching | CE   | Fitness | Max Err | RMSE | E1   | E2  | E3 |
|------|-----------|--------|--------|--------|---------|--------|--------|----------|----------|---------|------|---------|---------|------|------|-----|----|
| 801  | 1002      | 80     | 40     | 0.70   | 0.025   | on     | on     | 0.095    | on       | on      | 2240 | 0.29417 | -0.14   | 0.09 | 2891 | 306 | 50 |
| 802  | 1613      | 80     | 60     | 0.76   | 0.025   | on     | on     | 0.053    | on       | on      | 3648 | 0.29417 | -0.14   | 0.09 | 2892 | 306 | 50 |
| 803  | 1164      | 80     | 80     | 0.70   | 0.013   | on     | on     | 0.016    | on       | on      | 4480 | 0.29417 | -0.14   | 0.09 | 2892 | 306 | 50 |
| 804  | 66        | 80     | 80     | 0.75   | 0.014   | on     | on     | 0.057    | on       | on      | 4800 | 0.29417 | -0.14   | 0.09 | 2892 | 306 | 50 |
| 805  | 933       | 80     | 80     | 0.78   | 0.011   | on     | on     | 0.124    | on       | on      | 4992 | 0.29417 | -0.14   | 0.09 | 2892 | 306 | 50 |
| 806  | 41        | 80     | 80     | 0.86   | 0.016   | on     | on     | 0.137    | on       | on      | 5504 | 0.29417 | -0.14   | 0.09 | 2892 | 306 | 50 |
| 807  | 982       | 140    | 80     | 0.71   | 0.022   | on     | on     | 0.014    | on       | on      | 7952 | 0.29417 | -0.14   | 0.09 | 2892 | 306 | 50 |
| 808  | 1143      | 80     | 40     | 0.75   | 0.018   | on     | on     | 0.170    | on       | on      | 2400 | 0.29397 | -0.15   | 0.09 | 2896 | 306 | 50 |
| 809  | 1969      | 120    | 40     | 0.78   | 0.030   | on     | on     | 0.191    | on       | on      | 3744 | 0.29397 | -0.15   | 0.09 | 2896 | 306 | 50 |
| 810  | 1711      | 140    | 40     | 0.70   | 0.045   | on     | on     | 0.049    | on       | on      | 3920 | 0.29397 | -0.15   | 0.09 | 2896 | 306 | 50 |
| 811  | 480       | 80     | 80     | 0.74   | 0.042   | on     | on     | 0.162    | on       | on      | 4736 | 0.29397 | -0.15   | 0.09 | 2896 | 306 | 50 |
| 812  | 1258      | 80     | 80     | 0.87   | 0.029   | on     | on     | 0.056    | on       | on      | 5568 | 0.29397 | -0.15   | 0.09 | 2896 | 306 | 50 |
| 813  | 1942      | 120    | 60     | 0.84   | 0.019   | on     | on     | 0.164    | on       | on      | 6048 | 0.29397 | -0.15   | 0.09 | 2896 | 306 | 50 |
| 814  | 305       | 140    | 80     | 0.76   | 0.028   | on     | on     | 0.166    | on       | on      | 8512 | 0.29397 | -0.15   | 0.09 | 2896 | 306 | 50 |
| 815  | 1503      | 60     | 40     | 0.78   | 0.047   | on     | on     | 0.070    | on       | on      | 1872 | 0.29279 | -0.14   | 0.09 | 2891 | 306 | 50 |
| 816  | 1050      | 80     | 60     | 0.79   | 0.026   | on     | on     | 0.036    | on       | on      | 3792 | 0.29279 | -0.14   | 0.09 | 2891 | 306 | 50 |
| 817  | 826       | 120    | 40     | 0.80   | 0.021   | on     | on     | 0.044    | on       | on      | 3840 | 0.29279 | -0.14   | 0.09 | 2891 | 306 | 50 |
| 818  | 556       | 60     | 80     | 0.85   | 0.011   | on     | on     | 0.069    | on       | on      | 4080 | 0.29279 | -0.14   | 0.09 | 2891 | 306 | 50 |
| 819  | 740       | 120    | 60     | 0.75   | 0.012   | on     | on     | 0.031    | on       | on      | 5400 | 0.29279 | -0.14   | 0.09 | 2891 | 306 | 50 |
| 820  | 345       | 120    | 60     | 0.84   | 0.028   | on     | on     | 0.105    | on       | on      | 6048 | 0.29279 | -0.14   | 0.09 | 2891 | 306 | 50 |
| 821  | 1443      | 140    | 80     | 0.70   | 0.028   | on     | on     | 0.043    | on       | on      | 7840 | 0.29279 | -0.14   | 0.09 | 2891 | 306 | 50 |
| 822  | 1223      | 140    | 80     | 0.78   | 0.017   | on     | on     | 0.118    | on       | on      | 8736 | 0.29279 | -0.14   | 0.09 | 2891 | 306 | 50 |
| 823  | 581       | 60     | 40     | 0.75   | 0.051   | on     | on     | 0.153    | on       | on      | 1800 | 0.29256 | -0.15   | 0.09 | 2897 | 306 | 50 |
| 824  | 921       | 100    | 40     | 0.79   | 0.011   | on     | on     | 0.029    | on       | on      | 3160 | 0.29256 | -0.15   | 0.09 | 2897 | 306 | 50 |
| 825  | 1239      | 120    | 40     | 0.83   | 0.025   | on     | on     | 0.040    | on       | on      | 3984 | 0.29256 | -0.15   | 0.09 | 2897 | 306 | 50 |
| 826  | 1325      | 120    | 60     | 0.77   | 0.050   | on     | on     | 0.054    | on       | on      | 5544 | 0.29256 | -0.15   | 0.09 | 2897 | 306 | 50 |
| 827  | 59        | 120    | 60     | 0.84   | 0.028   | on     | on     | 0.020    | on       | on      | 6048 | 0.29256 | -0.15   | 0.09 | 2897 | 306 | 50 |
| 828  | 662       | 60     | 40     | 0.77   | 0.023   | on     | on     | 0.178    | on       | on      | 1848 | 0.29133 | 0.15    | 0.07 | 2972 | 300 | 50 |
| 829  | 1216      | 100    | 40     | 0.78   | 0.028   | on     | on     | 0.082    | on       | on      | 3120 | 0.29084 | -0.13   | 0.09 | 2890 | 306 | 50 |
| 830  | 348       | 120    | 60     | 0.75   | 0.015   | on     | on     | 0.148    | on       | on      | 5400 | 0.29084 | -0.13   | 0.09 | 2890 | 306 | 50 |
| 831  | 1792      | 80     | 80     | 0.87   | 0.025   | on     | on     | 0.181    | on       | on      | 5568 | 0.29084 | -0.13   | 0.09 | 2890 | 306 | 50 |
| 832  | 241       | 100    | 80     | 0.84   | 0.046   | on     | on     | 0.198    | on       | on      | 6720 | 0.29084 | -0.13   | 0.09 | 2890 | 306 | 50 |
| 833  | 1430      | 40     | 80     | 0.71   | 0.031   | on     | on     | 0.021    | on       | on      | 2272 | 0.29063 | 0.15    | 0.08 | 2896 | 305 | 50 |
| 834  | 1336      | 100    | 40     | 0.70   | 0.023   | on     | on     | 0.079    | on       | on      | 2800 | 0.29055 | -0.15   | 0.09 | 2898 | 306 | 50 |
| 835  | 1212      | 140    | 40     | 0.83   | 0.050   | on     | on     | 0.129    | on       | on      | 4648 | 0.29055 | -0.15   | 0.09 | 2898 | 306 | 50 |
| 836  | 1124      | 120    | 60     | 0.74   | 0.041   | on     | on     | 0.174    | on       | on      | 5328 | 0.29055 | -0.02   | 0.09 | 2898 | 306 | 50 |
| 837  | 1599      | 40     | 80     | 0.72   | 0.021   | on     | on     | 0.090    | on       | on      | 2304 | 0.29002 | -0.13   | 0.08 | 3121 | 294 | 50 |
| 838  | 851       | 80     | 40     | 0.78   | 0.045   | on     | on     | 0.034    | on       | on      | 2496 | 0.29002 | -0.13   | 0.08 | 3121 | 294 | 50 |
| 839  | 1036      | 40     | 40     | 0.75   | 0.013   | on     | on     | 0.169    | on       | on      | 1200 | 0.28868 | 0.15    | 0.09 | 3099 | 294 | 50 |
| 840  | 133       | 140    | 40     | 0.74   | 0.042   | on     | on     | 0.193    | on       | on      | 4144 | 0.28858 | -0.13   | 0.09 | 2889 | 306 | 50 |

ตารางที่ ข.3 รายละเอียดของค่าพารามิเตอร์จำนวน 2,000 ชุด และผลการคำนวณย้อนกลับ (ต่อ)

| Rank | Set Index | maxgen | numpop | pcross | pjumpmu | iunifim | icreep | pcreepmu | ibstmold | niching | CE   | Fitness | Max Err | RMSE | E1   | E2  | E3 |
|------|-----------|--------|--------|--------|---------|---------|--------|----------|----------|---------|------|---------|---------|------|------|-----|----|
| 841  | 1921      | 140    | 40     | 0.74   | 0.049   | on      | on     | 0.161    | on       | on      | 4144 | 0.28858 | -0.13   | 0.09 | 2889 | 306 | 50 |
| 842  | 1533      | 100    | 60     | 0.81   | 0.010   | on      | on     | 0.097    | on       | on      | 4860 | 0.28858 | -0.13   | 0.09 | 2889 | 306 | 50 |
| 843  | 605       | 120    | 60     | 0.71   | 0.026   | on      | on     | 0.133    | on       | on      | 5112 | 0.28858 | -0.13   | 0.09 | 2889 | 306 | 50 |
| 844  | 1716      | 140    | 40     | 0.71   | 0.034   | on      | on     | 0.163    | on       | on      | 3976 | 0.28566 | -0.13   | 0.09 | 2888 | 306 | 50 |
| 845  | 1940      | 120    | 40     | 0.85   | 0.013   | on      | on     | 0.079    | on       | on      | 4080 | 0.28566 | -0.13   | 0.09 | 2888 | 306 | 50 |
| 846  | 777       | 140    | 80     | 0.84   | 0.032   | on      | on     | 0.038    | on       | on      | 9408 | 0.28566 | -0.13   | 0.09 | 2888 | 306 | 50 |
| 847  | 162       | 80     | 60     | 0.83   | 0.012   | on      | on     | 0.172    | on       | on      | 3984 | 0.28525 | -0.16   | 0.09 | 2900 | 306 | 50 |
| 848  | 198       | 80     | 60     | 0.87   | 0.034   | on      | on     | 0.049    | on       | on      | 4176 | 0.28525 | -0.16   | 0.09 | 2900 | 306 | 50 |
| 849  | 1418      | 100    | 80     | 0.87   | 0.012   | on      | on     | 0.157    | on       | on      | 6960 | 0.28525 | -0.16   | 0.09 | 2900 | 306 | 50 |
| 850  | 70        | 100    | 40     | 0.82   | 0.045   | on      | on     | 0.070    | on       | on      | 3280 | 0.28461 | -0.14   | 0.08 | 3122 | 294 | 50 |
| 851  | 126       | 80     | 60     | 0.71   | 0.030   | on      | on     | 0.054    | on       | on      | 3408 | 0.28229 | -0.13   | 0.09 | 2887 | 306 | 50 |
| 852  | 1549      | 140    | 80     | 0.71   | 0.022   | on      | on     | 0.050    | on       | on      | 7952 | 0.28229 | -0.13   | 0.09 | 2887 | 306 | 50 |
| 853  | 1681      | 140    | 80     | 0.85   | 0.044   | on      | on     | 0.092    | on       | on      | 9520 | 0.28229 | -0.13   | 0.09 | 2887 | 306 | 50 |
| 854  | 229       | 60     | 60     | 0.70   | 0.017   | on      | on     | 0.085    | on       | on      | 2520 | 0.28189 | -0.16   | 0.09 | 2901 | 306 | 50 |
| 855  | 1249      | 60     | 60     | 0.70   | 0.024   | on      | on     | 0.151    | on       | on      | 2520 | 0.27865 | -0.13   | 0.09 | 2886 | 306 | 50 |
| 856  | 1935      | 60     | 60     | 0.75   | 0.011   | on      | on     | 0.086    | on       | on      | 2700 | 0.27811 | -0.16   | 0.09 | 2902 | 306 | 50 |
| 857  | 1043      | 100    | 60     | 0.75   | 0.027   | on      | on     | 0.050    | on       | on      | 4500 | 0.27811 | -0.16   | 0.09 | 2902 | 306 | 50 |
| 858  | 583       | 80     | 40     | 0.85   | 0.049   | on      | on     | 0.040    | on       | on      | 2720 | 0.27666 | -0.13   | 0.07 | 3011 | 301 | 50 |
| 859  | 1751      | 60     | 60     | 0.71   | 0.011   | on      | on     | 0.176    | on       | on      | 2556 | 0.27452 | 0.13    | 0.09 | 2885 | 306 | 50 |
| 860  | 1312      | 60     | 40     | 0.81   | 0.027   | on      | on     | 0.169    | on       | on      | 1944 | 0.27405 | 0.16    | 0.08 | 2894 | 305 | 50 |
| 861  | 1959      | 40     | 60     | 0.71   | 0.015   | on      | on     | 0.179    | on       | on      | 1704 | 0.26920 | -0.16   | 0.10 | 2904 | 306 | 50 |
| 862  | 1417      | 100    | 60     | 0.87   | 0.034   | on      | on     | 0.110    | on       | on      | 5220 | 0.26702 | -0.15   | 0.08 | 3125 | 294 | 50 |
| 863  | 833       | 80     | 80     | 0.87   | 0.007   | on      | on     | 0.152    | on       | on      | 5568 | 0.26702 | -0.15   | 0.08 | 3125 | 294 | 50 |
| 864  | 510       | 40     | 80     | 0.73   | 0.025   | on      | on     | 0.145    | on       | on      | 2336 | 0.26581 | 0.17    | 0.08 | 2893 | 305 | 50 |
| 865  | 1961      | 60     | 40     | 0.75   | 0.030   | on      | on     | 0.166    | on       | on      | 1800 | 0.26539 | 0.14    | 0.09 | 2883 | 306 | 50 |
| 866  | 1836      | 100    | 60     | 0.79   | 0.013   | on      | on     | 0.097    | on       | on      | 4740 | 0.26539 | 0.14    | 0.09 | 2883 | 306 | 50 |
| 867  | 398       | 100    | 60     | 0.80   | 0.051   | on      | on     | 0.177    | on       | on      | 4800 | 0.26532 | 0.16    | 0.10 | 3095 | 294 | 50 |
| 868  | 1896      | 60     | 60     | 0.73   | 0.041   | on      | on     | 0.076    | on       | on      | 2628 | 0.26530 | 0.18    | 0.07 | 2906 | 304 | 50 |
| 869  | 860       | 120    | 80     | 0.77   | 0.022   | on      | on     | 0.021    | on       | on      | 7392 | 0.26489 | -0.17   | 0.10 | 2905 | 306 | 50 |
| 870  | 122       | 60     | 40     | 0.79   | 0.027   | on      | on     | 0.063    | on       | on      | 1896 | 0.26292 | -0.14   | 0.08 | 2973 | 303 | 50 |
| 871  | 688       | 40     | 40     | 0.70   | 0.030   | on      | on     | 0.069    | on       | on      | 1120 | 0.26101 | -0.16   | 0.08 | 3126 | 294 | 50 |
| 872  | 1962      | 80     | 60     | 0.78   | 0.044   | on      | on     | 0.169    | on       | on      | 3744 | 0.26101 | -0.16   | 0.08 | 3126 | 294 | 50 |
| 873  | 299       | 140    | 80     | 0.74   | 0.048   | on      | on     | 0.191    | on       | on      | 8288 | 0.26101 | -0.16   | 0.08 | 3126 | 294 | 50 |
| 874  | 1116      | 40     | 40     | 0.74   | 0.013   | on      | on     | 0.066    | on       | on      | 1184 | 0.26029 | 0.14    | 0.09 | 2882 | 306 | 50 |
| 875  | 1319      | 100    | 40     | 0.81   | 0.038   | on      | on     | 0.115    | on       | on      | 3240 | 0.26029 | 0.14    | 0.09 | 2882 | 306 | 50 |
| 876  | 781       | 100    | 40     | 0.82   | 0.038   | on      | on     | 0.105    | on       | on      | 3280 | 0.25592 | 0.15    | 0.10 | 3129 | 293 | 50 |
| 877  | 254       | 120    | 60     | 0.73   | 0.053   | on      | on     | 0.183    | on       | on      | 5256 | 0.25592 | 0.15    | 0.10 | 3129 | 293 | 50 |
| 878  | 487       | 120    | 40     | 0.76   | 0.046   | on      | on     | 0.054    | on       | on      | 3648 | 0.25575 | 0.15    | 0.10 | 3128 | 293 | 50 |
| 879  | 1138      | 80     | 80     | 0.85   | 0.043   | on      | on     | 0.037    | on       | on      | 5440 | 0.25538 | 0.16    | 0.10 | 3127 | 293 | 50 |
| 880  | 1670      | 140    | 80     | 0.87   | 0.032   | on      | on     | 0.094    | on       | on      | 9744 | 0.25537 | 0.16    | 0.10 | 3127 | 293 | 50 |

ตารางที่ ข.3 รายละเอียดของค่าพารามิเตอร์จำนวน 2,000 ชุด และผลการคำนวณย้อนกลับ (ต่อ)

| Rank | Set Index | maxgen | numpop | pcross | pjumpmu | iunifim | icreep | pcreepmu | ibstmold | niching | CE   | Fitness | Max Err | RMSE | E1   | E2  | E3 |
|------|-----------|--------|--------|--------|---------|---------|--------|----------|----------|---------|------|---------|---------|------|------|-----|----|
| 881  | 353       | 140    | 40     | 0.85   | 0.009   | on      | on     | 0.191    | on       | on      | 4760 | 0.25499 | 0.15    | 0.09 | 2881 | 306 | 50 |
| 882  | 406       | 100    | 60     | 0.82   | 0.034   | on      | on     | 0.102    | on       | on      | 4920 | 0.25499 | 0.15    | 0.09 | 2881 | 306 | 50 |
| 883  | 1160      | 120    | 60     | 0.80   | 0.040   | on      | on     | 0.072    | on       | on      | 5760 | 0.25499 | 0.15    | 0.09 | 2881 | 306 | 50 |
| 884  | 92        | 80     | 60     | 0.81   | 0.039   | on      | on     | 0.018    | on       | on      | 3888 | 0.25405 | 0.15    | 0.10 | 3132 | 293 | 50 |
| 885  | 1647      | 40     | 40     | 0.75   | 0.036   | on      | on     | 0.155    | on       | on      | 1200 | 0.25321 | 0.16    | 0.10 | 3125 | 293 | 50 |
| 886  | 1916      | 100    | 40     | 0.85   | 0.015   | on      | on     | 0.062    | on       | on      | 3400 | 0.25321 | 0.16    | 0.10 | 3125 | 293 | 50 |
| 887  | 1475      | 100    | 40     | 0.79   | 0.039   | on      | on     | 0.098    | on       | on      | 3160 | 0.25262 | 0.14    | 0.09 | 3133 | 293 | 50 |
| 888  | 1806      | 100    | 80     | 0.77   | 0.040   | on      | on     | 0.087    | on       | on      | 6160 | 0.25262 | 0.14    | 0.09 | 3133 | 293 | 50 |
| 889  | 1741      | 40     | 60     | 0.72   | 0.007   | on      | on     | 0.096    | on       | on      | 1728 | 0.24956 | 0.16    | 0.09 | 2880 | 306 | 50 |
| 890  | 560       | 100    | 60     | 0.84   | 0.042   | on      | on     | 0.027    | on       | on      | 5040 | 0.24956 | 0.16    | 0.09 | 2880 | 306 | 50 |
| 891  | 1839      | 140    | 40     | 0.79   | 0.025   | on      | on     | 0.169    | on       | on      | 4424 | 0.24940 | 0.16    | 0.09 | 2879 | 306 | 50 |
| 892  | 1151      | 40     | 40     | 0.75   | 0.009   | on      | on     | 0.038    | on       | on      | 1200 | 0.24837 | -0.17   | 0.08 | 3128 | 294 | 50 |
| 893  | 1958      | 100    | 80     | 0.85   | 0.022   | on      | on     | 0.094    | on       | on      | 6800 | 0.24837 | -0.17   | 0.08 | 3128 | 294 | 50 |
| 894  | 1953      | 140    | 40     | 0.75   | 0.041   | on      | on     | 0.193    | on       | on      | 4200 | 0.24658 | 0.14    | 0.09 | 3136 | 293 | 50 |
| 895  | 1521      | 120    | 60     | 0.76   | 0.051   | on      | on     | 0.039    | on       | on      | 5472 | 0.24502 | -0.17   | 0.10 | 3121 | 293 | 50 |
| 896  | 1871      | 80     | 80     | 0.70   | 0.046   | on      | on     | 0.182    | on       | on      | 4480 | 0.24377 | 0.18    | 0.07 | 2951 | 301 | 50 |
| 897  | 19        | 60     | 80     | 0.71   | 0.023   | on      | on     | 0.121    | on       | on      | 3408 | 0.24364 | -0.17   | 0.10 | 2909 | 306 | 50 |
| 898  | 1234      | 120    | 80     | 0.84   | 0.046   | on      | on     | 0.027    | on       | on      | 8064 | 0.24364 | -0.17   | 0.10 | 2909 | 306 | 50 |
| 899  | 1082      | 140    | 40     | 0.83   | 0.027   | on      | on     | 0.168    | on       | on      | 4648 | 0.24164 | -0.14   | 0.09 | 2975 | 303 | 50 |
| 900  | 298       | 100    | 80     | 0.77   | 0.030   | on      | on     | 0.078    | on       | on      | 6160 | 0.24088 | -0.19   | 0.07 | 3068 | 298 | 50 |
| 901  | 1341      | 80     | 80     | 0.85   | 0.023   | on      | on     | 0.043    | on       | on      | 5440 | 0.24078 | -0.17   | 0.10 | 2933 | 305 | 50 |
| 902  | 1387      | 80     | 40     | 0.75   | 0.054   | on      | on     | 0.139    | on       | on      | 2400 | 0.23893 | 0.17    | 0.10 | 3119 | 293 | 50 |
| 903  | 1655      | 60     | 40     | 0.80   | 0.048   | on      | on     | 0.036    | on       | on      | 1920 | 0.23845 | 0.16    | 0.08 | 2986 | 299 | 50 |
| 904  | 1894      | 60     | 60     | 0.86   | 0.008   | on      | on     | 0.101    | on       | on      | 3096 | 0.23820 | 0.17    | 0.09 | 2878 | 306 | 50 |
| 905  | 240       | 100    | 60     | 0.82   | 0.042   | on      | on     | 0.164    | on       | on      | 4920 | 0.23820 | 0.17    | 0.09 | 2878 | 306 | 50 |
| 906  | 425       | 40     | 60     | 0.85   | 0.009   | on      | on     | 0.178    | on       | on      | 2040 | 0.23802 | 0.17    | 0.09 | 2878 | 306 | 50 |
| 907  | 78        | 140    | 40     | 0.84   | 0.051   | on      | on     | 0.043    | on       | on      | 4704 | 0.23796 | -0.17   | 0.10 | 2877 | 307 | 50 |
| 908  | 257       | 80     | 60     | 0.77   | 0.017   | on      | on     | 0.033    | on       | on      | 3696 | 0.23788 | -0.18   | 0.10 | 2910 | 306 | 50 |
| 909  | 1860      | 140    | 80     | 0.78   | 0.028   | on      | on     | 0.116    | on       | on      | 8736 | 0.23788 | -0.16   | 0.10 | 2876 | 307 | 50 |
| 910  | 110       | 120    | 80     | 0.83   | 0.038   | on      | on     | 0.045    | on       | on      | 7968 | 0.23781 | -0.14   | 0.09 | 3139 | 293 | 50 |
| 911  | 295       | 60     | 60     | 0.81   | 0.022   | on      | on     | 0.047    | on       | on      | 2916 | 0.23755 | -0.17   | 0.10 | 2878 | 307 | 50 |
| 912  | 517       | 120    | 80     | 0.78   | 0.032   | on      | on     | 0.190    | on       | on      | 7488 | 0.23444 | -0.17   | 0.10 | 2881 | 307 | 50 |
| 913  | 51        | 40     | 80     | 0.82   | 0.031   | on      | on     | 0.194    | on       | on      | 2624 | 0.23438 | -0.15   | 0.09 | 3140 | 293 | 50 |
| 914  | 1900      | 80     | 80     | 0.77   | 0.009   | on      | on     | 0.068    | on       | on      | 4928 | 0.23429 | -0.16   | 0.10 | 2872 | 307 | 50 |
| 915  | 787       | 140    | 40     | 0.74   | 0.021   | on      | on     | 0.135    | on       | on      | 4144 | 0.23245 | -0.15   | 0.10 | 2871 | 307 | 50 |
| 916  | 868       | 80     | 80     | 0.77   | 0.013   | on      | on     | 0.027    | on       | on      | 4928 | 0.23239 | 0.17    | 0.09 | 2877 | 306 | 50 |
| 917  | 143       | 80     | 80     | 0.82   | 0.054   | on      | on     | 0.041    | on       | on      | 5248 | 0.23239 | 0.17    | 0.09 | 2877 | 306 | 50 |
| 918  | 734       | 140    | 60     | 0.82   | 0.048   | on      | on     | 0.165    | on       | on      | 6888 | 0.23239 | 0.17    | 0.09 | 2877 | 306 | 50 |
| 919  | 1022      | 60     | 80     | 0.87   | 0.051   | on      | on     | 0.079    | on       | on      | 4176 | 0.23215 | -0.18   | 0.10 | 2911 | 306 | 50 |
| 920  | 470       | 60     | 80     | 0.77   | 0.007   | on      | on     | 0.152    | on       | on      | 3696 | 0.23036 | -0.15   | 0.10 | 2870 | 307 | 50 |

ตารางที่ ข.3 รายละเอียดของค่าพารามิเตอร์จำนวน 2,000 ชุด และผลการคำนวณย้อนกลับ (ต่อ)

| Rank | Set Index | maxgen | numpop | pcross | pjumpmu | iunifm | icreep | pcreepmu | ibstmold | niching | CE   | Fitness | Max Err | RMSE | E1   | E2  | E3 |
|------|-----------|--------|--------|--------|---------|--------|--------|----------|----------|---------|------|---------|---------|------|------|-----|----|
| 921  | 1388      | 100    | 60     | 0.82   | 0.044   | on     | on     | 0.073    | on       | on      | 4920 | 0.23036 | -0.15   | 0.10 | 2870 | 307 | 50 |
| 922  | 1099      | 120    | 60     | 0.71   | 0.053   | on     | on     | 0.119    | on       | on      | 5112 | 0.23036 | -0.15   | 0.10 | 2870 | 307 | 50 |
| 923  | 1048      | 40     | 40     | 0.83   | 0.030   | on     | on     | 0.101    | on       | on      | 1328 | 0.22921 | -0.20   | 0.07 | 3086 | 297 | 50 |
| 924  | 1947      | 100    | 60     | 0.79   | 0.036   | on     | on     | 0.035    | on       | on      | 4740 | 0.22848 | -0.18   | 0.11 | 2884 | 307 | 50 |
| 925  | 326       | 100    | 80     | 0.79   | 0.035   | on     | on     | 0.101    | on       | on      | 6320 | 0.22848 | -0.18   | 0.11 | 2884 | 307 | 50 |
| 926  | 369       | 80     | 80     | 0.75   | 0.048   | on     | on     | 0.058    | on       | on      | 4800 | 0.22822 | 0.18    | 0.11 | 3116 | 293 | 50 |
| 927  | 467       | 40     | 60     | 0.79   | 0.042   | on     | on     | 0.180    | on       | on      | 1896 | 0.22702 | 0.17    | 0.11 | 3088 | 294 | 50 |
| 928  | 149       | 100    | 80     | 0.87   | 0.052   | on     | on     | 0.065    | on       | on      | 6960 | 0.22691 | -0.16   | 0.09 | 3142 | 293 | 50 |
| 929  | 1329      | 120    | 40     | 0.86   | 0.032   | on     | on     | 0.107    | on       | on      | 4128 | 0.22625 | -0.18   | 0.11 | 2912 | 306 | 50 |
| 930  | 1172      | 80     | 80     | 0.83   | 0.007   | on     | on     | 0.017    | on       | on      | 5312 | 0.22537 | -0.15   | 0.10 | 2866 | 307 | 50 |
| 931  | 1369      | 120    | 80     | 0.76   | 0.022   | on     | on     | 0.085    | on       | on      | 7296 | 0.22390 | -0.15   | 0.10 | 2867 | 307 | 50 |
| 932  | 497       | 80     | 60     | 0.71   | 0.047   | on     | on     | 0.139    | on       | on      | 3408 | 0.22239 | -0.15   | 0.10 | 2867 | 307 | 50 |
| 933  | 926       | 120    | 40     | 0.71   | 0.020   | on     | on     | 0.192    | on       | on      | 3408 | 0.22239 | -0.15   | 0.10 | 2867 | 307 | 50 |
| 934  | 871       | 80     | 80     | 0.83   | 0.030   | on     | on     | 0.185    | on       | on      | 5312 | 0.22239 | -0.15   | 0.10 | 2867 | 307 | 50 |
| 935  | 196       | 140    | 60     | 0.80   | 0.028   | on     | on     | 0.099    | on       | on      | 6720 | 0.22239 | -0.15   | 0.10 | 2867 | 307 | 50 |
| 936  | 1107      | 140    | 60     | 0.82   | 0.038   | on     | on     | 0.016    | on       | on      | 6888 | 0.22239 | 0.15    | 0.10 | 2867 | 307 | 50 |
| 937  | 1229      | 40     | 80     | 0.73   | 0.012   | on     | on     | 0.194    | on       | on      | 2336 | 0.22205 | 0.19    | 0.08 | 2949 | 301 | 50 |
| 938  | 453       | 100    | 60     | 0.87   | 0.024   | on     | on     | 0.087    | on       | on      | 5220 | 0.22172 | -0.20   | 0.08 | 3103 | 296 | 50 |
| 939  | 906       | 140    | 80     | 0.80   | 0.041   | on     | on     | 0.128    | on       | on      | 8960 | 0.22172 | -0.20   | 0.08 | 3103 | 296 | 50 |
| 940  | 1436      | 140    | 60     | 0.79   | 0.022   | on     | on     | 0.093    | on       | on      | 6636 | 0.22065 | 0.18    | 0.09 | 2875 | 306 | 50 |
| 941  | 996       | 140    | 80     | 0.71   | 0.050   | on     | on     | 0.162    | on       | on      | 7952 | 0.22065 | -0.18   | 0.09 | 2875 | 306 | 50 |
| 942  | 316       | 100    | 80     | 0.72   | 0.009   | on     | on     | 0.143    | on       | on      | 5760 | 0.21932 | 0.15    | 0.10 | 2866 | 307 | 50 |
| 943  | 529       | 60     | 40     | 0.70   | 0.045   | on     | on     | 0.149    | on       | on      | 1680 | 0.21822 | 0.18    | 0.08 | 2966 | 300 | 50 |
| 944  | 256       | 140    | 40     | 0.74   | 0.037   | on     | on     | 0.067    | on       | on      | 4144 | 0.21661 | -0.19   | 0.11 | 2888 | 307 | 50 |
| 945  | 1106      | 80     | 40     | 0.85   | 0.048   | on     | on     | 0.102    | on       | on      | 2720 | 0.21601 | 0.18    | 0.11 | 3113 | 293 | 50 |
| 946  | 154       | 60     | 60     | 0.81   | 0.044   | on     | on     | 0.034    | on       | on      | 2916 | 0.21583 | 0.16    | 0.10 | 2865 | 307 | 50 |
| 947  | 407       | 100    | 80     | 0.70   | 0.052   | on     | on     | 0.070    | on       | on      | 5600 | 0.21460 | -0.64   | 0.39 | 2548 | 328 | 50 |
| 948  | 1575      | 120    | 80     | 0.77   | 0.024   | on     | on     | 0.015    | on       | on      | 7392 | 0.21456 | -0.18   | 0.11 | 2914 | 306 | 50 |
| 949  | 1527      | 140    | 40     | 0.72   | 0.047   | on     | on     | 0.035    | on       | on      | 4032 | 0.21311 | -0.09   | 0.11 | 2889 | 307 | 50 |
| 950  | 1080      | 80     | 80     | 0.76   | 0.029   | on     | on     | 0.074    | on       | on      | 4864 | 0.21227 | 0.16    | 0.10 | 2864 | 307 | 50 |
| 951  | 669       | 120    | 80     | 0.76   | 0.025   | on     | on     | 0.149    | on       | on      | 7296 | 0.21227 | 0.16    | 0.10 | 2864 | 307 | 50 |
| 952  | 1807      | 100    | 40     | 0.79   | 0.038   | on     | on     | 0.017    | on       | on      | 3160 | 0.21066 | -0.20   | 0.09 | 3134 | 294 | 50 |
| 953  | 841       | 80     | 60     | 0.77   | 0.022   | on     | on     | 0.115    | on       | on      | 3696 | 0.20939 | -0.19   | 0.11 | 2890 | 307 | 50 |
| 954  | 1705      | 60     | 80     | 0.81   | 0.027   | on     | on     | 0.019    | on       | on      | 3888 | 0.20933 | 0.21    | 0.08 | 2915 | 303 | 50 |
| 955  | 1755      | 40     | 60     | 0.75   | 0.053   | on     | on     | 0.135    | on       | on      | 1800 | 0.20884 | -0.19   | 0.11 | 2915 | 306 | 50 |
| 956  | 1852      | 80     | 80     | 0.86   | 0.024   | on     | on     | 0.094    | on       | on      | 5504 | 0.20856 | 0.17    | 0.10 | 2862 | 307 | 50 |
| 957  | 983       | 120    | 60     | 0.80   | 0.009   | on     | on     | 0.171    | on       | on      | 5760 | 0.20856 | 0.17    | 0.10 | 2863 | 307 | 50 |
| 958  | 313       | 60     | 40     | 0.72   | 0.031   | on     | on     | 0.099    | on       | on      | 1728 | 0.20566 | 0.18    | 0.11 | 3145 | 292 | 50 |
| 959  | 1445      | 100    | 40     | 0.78   | 0.035   | on     | on     | 0.108    | on       | on      | 3120 | 0.20566 | 0.18    | 0.11 | 3145 | 292 | 50 |
| 960  | 1376      | 80     | 40     | 0.76   | 0.029   | on     | on     | 0.088    | on       | on      | 2432 | 0.20495 | 0.18    | 0.11 | 3144 | 292 | 50 |

ตารางที่ ข.3 รายละเอียดของค่าพารามิเตอร์จำนวน 2,000 ชุด และผลการคำนวณย้อนกลับ (ต่อ)

| Rank | Set Index | maxgen | numpop | pcross | pjumpmu | iuifim | icreep | pcreepmu | ibstmold | niching | CE   | Fitness | Max Err | RMSE | E1   | E2  | E3 |
|------|-----------|--------|--------|--------|---------|--------|--------|----------|----------|---------|------|---------|---------|------|------|-----|----|
| 961  | 157       | 120    | 60     | 0.85   | 0.052   | on     | on     | 0.116    | on       | on      | 6120 | 0.20495 | 0.18    | 0.11 | 3144 | 292 | 50 |
| 962  | 1243      | 100    | 40     | 0.78   | 0.044   | on     | on     | 0.200    | on       | on      | 3120 | 0.20467 | 0.17    | 0.10 | 2862 | 307 | 50 |
| 963  | 100       | 80     | 60     | 0.76   | 0.031   | on     | on     | 0.030    | on       | on      | 3648 | 0.20467 | 0.17    | 0.10 | 2862 | 307 | 50 |
| 964  | 1167      | 140    | 40     | 0.85   | 0.028   | on     | on     | 0.132    | on       | on      | 4760 | 0.20395 | 0.21    | 0.09 | 2885 | 305 | 50 |
| 965  | 1254      | 140    | 80     | 0.72   | 0.025   | on     | on     | 0.043    | on       | on      | 8064 | 0.20313 | -0.19   | 0.11 | 2916 | 306 | 50 |
| 966  | 134       | 100    | 60     | 0.76   | 0.048   | on     | on     | 0.015    | on       | on      | 4560 | 0.20226 | -0.21   | 0.08 | 3072 | 298 | 50 |
| 967  | 866       | 40     | 60     | 0.84   | 0.024   | on     | on     | 0.062    | on       | on      | 2016 | 0.20164 | -0.20   | 0.12 | 2892 | 307 | 50 |
| 968  | 1374      | 100    | 60     | 0.79   | 0.036   | on     | on     | 0.177    | on       | on      | 4740 | 0.20069 | 0.18    | 0.10 | 2861 | 307 | 50 |
| 969  | 1260      | 80     | 80     | 0.87   | 0.043   | on     | on     | 0.039    | on       | on      | 5568 | 0.19887 | 0.18    | 0.09 | 2982 | 299 | 50 |
| 970  | 1185      | 140    | 80     | 0.77   | 0.045   | on     | on     | 0.043    | on       | on      | 8624 | 0.19667 | -0.16   | 0.10 | 2980 | 303 | 50 |
| 971  | 417       | 120    | 80     | 0.86   | 0.040   | on     | on     | 0.064    | on       | on      | 8256 | 0.19661 | 0.18    | 0.10 | 2860 | 307 | 50 |
| 972  | 1233      | 140    | 80     | 0.85   | 0.046   | on     | on     | 0.160    | on       | on      | 9520 | 0.19661 | 0.18    | 0.10 | 2860 | 307 | 50 |
| 973  | 15        | 80     | 80     | 0.83   | 0.045   | on     | on     | 0.143    | on       | on      | 5312 | 0.19637 | 0.16    | 0.11 | 3157 | 292 | 50 |
| 974  | 457       | 60     | 40     | 0.84   | 0.038   | on     | on     | 0.188    | on       | on      | 2016 | 0.19497 | -0.19   | 0.12 | 2859 | 308 | 50 |
| 975  | 1476      | 80     | 80     | 0.70   | 0.032   | on     | on     | 0.037    | on       | on      | 4480 | 0.19497 | -0.19   | 0.12 | 2859 | 308 | 50 |
| 976  | 817       | 140    | 80     | 0.81   | 0.010   | on     | on     | 0.026    | on       | on      | 9072 | 0.19497 | -0.19   | 0.12 | 2589 | 308 | 50 |
| 977  | 418       | 140    | 60     | 0.85   | 0.047   | on     | on     | 0.140    | on       | on      | 7140 | 0.19489 | -0.19   | 0.12 | 2860 | 308 | 50 |
| 978  | 1001      | 140    | 60     | 0.85   | 0.040   | on     | on     | 0.062    | on       | on      | 7140 | 0.19489 | -0.09   | 0.12 | 2860 | 308 | 50 |
| 979  | 456       | 140    | 60     | 0.81   | 0.043   | on     | on     | 0.112    | on       | on      | 6804 | 0.19463 | -0.19   | 0.12 | 2861 | 308 | 50 |
| 980  | 1420      | 80     | 60     | 0.77   | 0.008   | on     | on     | 0.116    | on       | on      | 3696 | 0.19428 | -0.18   | 0.11 | 2857 | 308 | 50 |
| 981  | 968       | 80     | 80     | 0.71   | 0.037   | on     | on     | 0.072    | on       | on      | 4544 | 0.19428 | -0.18   | 0.11 | 2857 | 308 | 50 |
| 982  | 1355      | 120    | 80     | 0.75   | 0.039   | on     | on     | 0.178    | on       | on      | 7200 | 0.19428 | -0.18   | 0.11 | 2857 | 308 | 50 |
| 983  | 908       | 120    | 80     | 0.85   | 0.029   | on     | on     | 0.163    | on       | on      | 8160 | 0.19428 | -0.18   | 0.11 | 2857 | 308 | 50 |
| 984  | 524       | 140    | 80     | 0.76   | 0.037   | on     | on     | 0.029    | on       | on      | 8512 | 0.19428 | -0.02   | 0.11 | 2857 | 308 | 50 |
| 985  | 1952      | 80     | 60     | 0.80   | 0.041   | on     | on     | 0.106    | on       | on      | 3840 | 0.19361 | -0.18   | 0.11 | 2856 | 308 | 50 |
| 986  | 128       | 100    | 60     | 0.71   | 0.052   | on     | on     | 0.125    | on       | on      | 4260 | 0.19361 | -0.18   | 0.11 | 2856 | 308 | 50 |
| 987  | 1844      | 80     | 80     | 0.83   | 0.043   | on     | on     | 0.137    | on       | on      | 5312 | 0.19355 | -0.20   | 0.12 | 2894 | 307 | 50 |
| 988  | 404       | 40     | 60     | 0.78   | 0.031   | on     | on     | 0.125    | on       | on      | 1872 | 0.19265 | -0.18   | 0.11 | 2855 | 308 | 50 |
| 989  | 939       | 120    | 40     | 0.72   | 0.039   | on     | on     | 0.177    | on       | on      | 3456 | 0.19188 | -0.16   | 0.11 | 3159 | 292 | 50 |
| 990  | 1441      | 120    | 80     | 0.71   | 0.035   | on     | on     | 0.088    | on       | on      | 6816 | 0.19176 | -0.19   | 0.11 | 2918 | 306 | 50 |
| 991  | 1366      | 140    | 60     | 0.79   | 0.046   | on     | on     | 0.068    | on       | on      | 6636 | 0.19150 | -0.18   | 0.11 | 2854 | 308 | 50 |
| 992  | 1463      | 80     | 40     | 0.76   | 0.046   | on     | on     | 0.049    | on       | on      | 2432 | 0.19049 | -0.18   | 0.11 | 2940 | 305 | 50 |
| 993  | 153       | 140    | 80     | 0.84   | 0.014   | on     | on     | 0.023    | on       | on      | 9408 | 0.18997 | -0.20   | 0.12 | 2866 | 308 | 50 |
| 994  | 234       | 120    | 80     | 0.86   | 0.045   | on     | on     | 0.138    | on       | on      | 8256 | 0.18965 | -0.20   | 0.12 | 2866 | 308 | 50 |
| 995  | 39        | 120    | 80     | 0.87   | 0.016   | on     | on     | 0.143    | on       | on      | 8352 | 0.18965 | -0.20   | 0.12 | 2866 | 308 | 50 |
| 996  | 861       | 120    | 80     | 0.79   | 0.040   | on     | on     | 0.138    | on       | on      | 7584 | 0.18828 | 0.19    | 0.10 | 2858 | 307 | 50 |
| 997  | 663       | 120    | 60     | 0.85   | 0.046   | on     | on     | 0.148    | on       | on      | 6120 | 0.18799 | -0.20   | 0.12 | 2867 | 308 | 50 |
| 998  | 1808      | 120    | 40     | 0.86   | 0.053   | on     | on     | 0.111    | on       | on      | 4128 | 0.18670 | -0.17   | 0.11 | 2851 | 308 | 50 |
| 999  | 1018      | 60     | 40     | 0.76   | 0.040   | on     | on     | 0.170    | on       | on      | 1824 | 0.18614 | 0.20    | 0.12 | 3134 | 292 | 50 |
| 1000 | 1607      | 140    | 80     | 0.86   | 0.052   | on     | on     | 0.137    | on       | on      | 9632 | 0.18592 | 0.21    | 0.10 | 2869 | 306 | 50 |

ตารางที่ ข.3 รายละเอียดของค่าพารามิเตอร์จำนวน 2,000 ชุด และผลการคำนวณย้อนกลับ (ต่อ)

| Rank | Set Index | maxgen | numpop | pcross | pjumpmu | iunifm | icreep | pcreepmu | ibstmold | niching | CE   | Fitness | Max Err | RMSE | E1   | E2  | E3 |
|------|-----------|--------|--------|--------|---------|--------|--------|----------|----------|---------|------|---------|---------|------|------|-----|----|
| 1001 | 912       | 100    | 80     | 0.71   | 0.015   | on     | on     | 0.050    | on       | on      | 5680 | 0.18412 | -0.17   | 0.11 | 3162 | 292 | 50 |
| 1002 | 347       | 80     | 60     | 0.71   | 0.046   | on     | on     | 0.166    | on       | on      | 3408 | 0.18273 | 0.21    | 0.09 | 2962 | 300 | 50 |
| 1003 | 981       | 140    | 80     | 0.73   | 0.013   | on     | on     | 0.024    | on       | on      | 8176 | 0.18260 | -0.17   | 0.11 | 2849 | 308 | 50 |
| 1004 | 819       | 140    | 80     | 0.80   | 0.020   | on     | on     | 0.163    | on       | on      | 8960 | 0.18260 | -0.17   | 0.11 | 2849 | 308 | 50 |
| 1005 | 1563      | 80     | 60     | 0.79   | 0.035   | on     | on     | 0.052    | on       | on      | 3792 | 0.18220 | 0.24    | 0.15 | 3206 | 289 | 50 |
| 1006 | 1421      | 140    | 80     | 0.70   | 0.021   | on     | on     | 0.064    | on       | on      | 7840 | 0.18033 | 0.17    | 0.11 | 2848 | 308 | 50 |
| 1007 | 1978      | 80     | 80     | 0.78   | 0.041   | on     | on     | 0.128    | on       | on      | 4992 | 0.18009 | -0.21   | 0.12 | 2897 | 307 | 50 |
| 1008 | 634       | 80     | 40     | 0.81   | 0.016   | on     | on     | 0.125    | on       | on      | 2592 | 0.17968 | -0.21   | 0.12 | 2871 | 308 | 50 |
| 1009 | 1123      | 60     | 40     | 0.74   | 0.017   | on     | on     | 0.101    | on       | on      | 1776 | 0.17874 | -0.11   | 0.05 | 3069 | 297 | 50 |
| 1010 | 877       | 120    | 40     | 0.70   | 0.049   | on     | on     | 0.192    | on       | on      | 3360 | 0.17736 | -0.27   | 0.13 | 3197 | 291 | 50 |
| 1011 | 1653      | 40     | 80     | 0.84   | 0.038   | on     | on     | 0.119    | on       | on      | 2688 | 0.17673 | -0.21   | 0.12 | 2898 | 307 | 50 |
| 1012 | 682       | 60     | 40     | 0.77   | 0.038   | on     | on     | 0.035    | on       | on      | 1848 | 0.17477 | 0.20    | 0.09 | 2979 | 299 | 50 |
| 1013 | 327       | 60     | 40     | 0.78   | 0.035   | on     | on     | 0.186    | on       | on      | 1872 | 0.17394 | 0.18    | 0.11 | 3058 | 295 | 50 |
| 1014 | 1772      | 140    | 40     | 0.70   | 0.047   | on     | on     | 0.164    | on       | on      | 3920 | 0.17042 | -0.20   | 0.12 | 2922 | 306 | 50 |
| 1015 | 1127      | 140    | 40     | 0.72   | 0.046   | on     | on     | 0.149    | on       | on      | 4032 | 0.16919 | 0.20    | 0.13 | 3167 | 291 | 50 |
| 1016 | 1545      | 120    | 60     | 0.78   | 0.048   | on     | on     | 0.028    | on       | on      | 5616 | 0.16897 | 0.19    | 0.12 | 3168 | 291 | 50 |
| 1017 | 1728      | 60     | 40     | 0.84   | 0.013   | on     | on     | 0.053    | on       | on      | 2016 | 0.16677 | 0.19    | 0.11 | 2843 | 308 | 50 |
| 1018 | 1971      | 120    | 80     | 0.70   | 0.035   | on     | on     | 0.199    | on       | on      | 6720 | 0.16612 | -0.22   | 0.13 | 2876 | 308 | 50 |
| 1019 | 1710      | 80     | 80     | 0.81   | 0.043   | on     | on     | 0.111    | on       | on      | 5184 | 0.16475 | 0.24    | 0.10 | 2865 | 306 | 50 |
| 1020 | 1240      | 120    | 40     | 0.77   | 0.041   | on     | on     | 0.134    | on       | on      | 3696 | 0.16473 | 0.18    | 0.12 | 3174 | 291 | 50 |
| 1021 | 722       | 60     | 60     | 0.80   | 0.048   | on     | on     | 0.010    | on       | on      | 2880 | 0.16196 | -0.21   | 0.13 | 2842 | 309 | 50 |
| 1022 | 454       | 100    | 60     | 0.87   | 0.042   | on     | on     | 0.102    | on       | on      | 5220 | 0.16190 | -0.21   | 0.13 | 2843 | 309 | 50 |
| 1023 | 872       | 140    | 60     | 0.77   | 0.053   | on     | on     | 0.115    | on       | on      | 6468 | 0.16171 | 0.22    | 0.13 | 3126 | 292 | 50 |
| 1024 | 1774      | 40     | 40     | 0.72   | 0.043   | on     | on     | 0.114    | on       | on      | 1152 | 0.16134 | 0.17    | 0.11 | 3015 | 297 | 50 |
| 1025 | 309       | 40     | 40     | 0.84   | 0.008   | on     | on     | 0.104    | on       | on      | 1344 | 0.16106 | -0.24   | 0.10 | 3143 | 294 | 50 |
| 1026 | 739       | 80     | 40     | 0.74   | 0.042   | on     | on     | 0.036    | on       | on      | 2368 | 0.16106 | -0.24   | 0.10 | 3143 | 294 | 50 |
| 1027 | 978       | 120    | 80     | 0.75   | 0.054   | on     | on     | 0.067    | on       | on      | 7200 | 0.16088 | 0.21    | 0.10 | 2977 | 299 | 50 |
| 1028 | 172       | 100    | 80     | 0.87   | 0.017   | on     | on     | 0.099    | on       | on      | 6960 | 0.16074 | -0.22   | 0.13 | 2846 | 309 | 50 |
| 1029 | 923       | 120    | 80     | 0.77   | 0.030   | on     | on     | 0.010    | on       | on      | 7392 | 0.16074 | -0.22   | 0.13 | 2846 | 309 | 50 |
| 1030 | 1354      | 120    | 60     | 0.84   | 0.038   | on     | on     | 0.110    | on       | on      | 6048 | 0.16059 | -0.23   | 0.09 | 3060 | 299 | 50 |
| 1031 | 1178      | 140    | 40     | 0.71   | 0.008   | on     | on     | 0.178    | on       | on      | 3976 | 0.15981 | 0.24    | 0.10 | 2864 | 306 | 50 |
| 1032 | 670       | 100    | 60     | 0.82   | 0.032   | on     | on     | 0.054    | on       | on      | 4920 | 0.15880 | -0.20   | 0.13 | 2836 | 309 | 50 |
| 1033 | 1950      | 40     | 40     | 0.74   | 0.006   | on     | on     | 0.132    | on       | on      | 1184 | 0.15817 | -0.22   | 0.13 | 2849 | 309 | 50 |
| 1034 | 1708      | 140    | 80     | 0.79   | 0.028   | on     | on     | 0.156    | on       | on      | 8848 | 0.15817 | -0.22   | 0.13 | 2849 | 309 | 50 |
| 1035 | 366       | 120    | 80     | 0.72   | 0.035   | on     | on     | 0.136    | on       | on      | 6912 | 0.15750 | -0.18   | 0.12 | 3179 | 291 | 50 |
| 1036 | 1431      | 40     | 80     | 0.82   | 0.031   | on     | on     | 0.049    | on       | on      | 2624 | 0.15706 | -0.23   | 0.13 | 2879 | 308 | 50 |
| 1037 | 677       | 140    | 80     | 0.71   | 0.033   | on     | on     | 0.127    | on       | on      | 7952 | 0.15697 | -0.23   | 0.13 | 2850 | 309 | 50 |
| 1038 | 1840      | 40     | 60     | 0.73   | 0.008   | on     | on     | 0.095    | on       | on      | 1752 | 0.15647 | -0.19   | 0.13 | 2834 | 309 | 50 |
| 1039 | 596       | 60     | 40     | 0.81   | 0.043   | on     | on     | 0.107    | on       | on      | 1944 | 0.15647 | -0.19   | 0.13 | 2834 | 309 | 50 |
| 1040 | 421       | 80     | 40     | 0.76   | 0.030   | on     | on     | 0.079    | on       | on      | 2432 | 0.15647 | -0.19   | 0.13 | 2834 | 309 | 50 |



ตารางที่ ข.3 รายละเอียดของค่าพารามิเตอร์จำนวน 2,000 ชุด และผลการคำนวณย้อนกลับ (ต่อ)

| Rank | Set Index | maxgen | numpop | pcross | pjumpmu | unifm | icreep | pcreepmu | ibstmold | niching | CE   | Fitness | Max Err | RMSE | E1   | E2  | E3 |
|------|-----------|--------|--------|--------|---------|-------|--------|----------|----------|---------|------|---------|---------|------|------|-----|----|
| 1041 | 615       | 40     | 60     | 0.83   | 0.046   | on    | on     | 0.136    | on       | on      | 1992 | 0.15492 | 0.25    | 0.10 | 2863 | 306 | 50 |
| 1042 | 952       | 60     | 80     | 0.79   | 0.050   | on    | on     | 0.103    | on       | on      | 3792 | 0.15427 | -0.23   | 0.15 | 2852 | 309 | 50 |
| 1043 | 409       | 60     | 40     | 0.84   | 0.049   | on    | on     | 0.086    | on       | on      | 2016 | 0.15373 | -0.19   | 0.12 | 3181 | 291 | 50 |
| 1044 | 1891      | 40     | 80     | 0.87   | 0.021   | on    | on     | 0.087    | on       | on      | 2784 | 0.15373 | -0.19   | 0.12 | 3181 | 291 | 50 |
| 1045 | 701       | 120    | 60     | 0.75   | 0.040   | on    | on     | 0.130    | on       | on      | 5400 | 0.15360 | -0.19   | 0.13 | 2832 | 309 | 50 |
| 1046 | 109       | 40     | 80     | 0.77   | 0.037   | on    | on     | 0.059    | on       | on      | 2464 | 0.15306 | -0.25   | 0.09 | 3113 | 296 | 50 |
| 1047 | 1456      | 140    | 60     | 0.80   | 0.031   | on    | on     | 0.166    | on       | on      | 6720 | 0.15270 | -0.23   | 0.14 | 2853 | 309 | 50 |
| 1048 | 1192      | 120    | 80     | 0.72   | 0.029   | on    | on     | 0.094    | on       | on      | 6912 | 0.15270 | -0.23   | 0.14 | 2853 | 309 | 50 |
| 1049 | 1859      | 40     | 60     | 0.81   | 0.008   | on    | on     | 0.035    | on       | on      | 1944 | 0.15195 | -0.19   | 0.13 | 2831 | 309 | 50 |
| 1050 | 1750      | 140    | 80     | 0.79   | 0.053   | on    | on     | 0.159    | on       | on      | 8848 | 0.15053 | -0.20   | 0.12 | 2947 | 305 | 50 |
| 1051 | 247       | 100    | 60     | 0.74   | 0.022   | on    | on     | 0.163    | on       | on      | 4440 | 0.14832 | 0.19    | 0.13 | 2829 | 309 | 50 |
| 1052 | 1882      | 120    | 40     | 0.78   | 0.018   | on    | on     | 0.184    | on       | on      | 3744 | 0.14727 | -0.24   | 0.14 | 2856 | 309 | 50 |
| 1053 | 1262      | 80     | 60     | 0.76   | 0.037   | on    | on     | 0.166    | on       | on      | 3648 | 0.14491 | 0.23    | 0.12 | 2836 | 308 | 50 |
| 1054 | 1450      | 100    | 40     | 0.81   | 0.046   | on    | on     | 0.114    | on       | on      | 3240 | 0.14438 | 0.20    | 0.13 | 2827 | 309 | 50 |
| 1055 | 1863      | 80     | 60     | 0.85   | 0.018   | on    | on     | 0.040    | on       | on      | 4080 | 0.14438 | 0.20    | 0.13 | 2827 | 309 | 50 |
| 1056 | 1086      | 120    | 80     | 0.84   | 0.007   | on    | on     | 0.148    | on       | on      | 8064 | 0.14438 | 0.20    | 0.13 | 2827 | 309 | 50 |
| 1057 | 985       | 80     | 60     | 0.71   | 0.033   | on    | on     | 0.105    | on       | on      | 3408 | 0.14323 | -0.21   | 0.12 | 3186 | 291 | 50 |
| 1058 | 876       | 40     | 80     | 0.76   | 0.010   | on    | on     | 0.133    | on       | on      | 2432 | 0.14196 | -0.26   | 0.11 | 3162 | 293 | 50 |
| 1059 | 462       | 40     | 40     | 0.82   | 0.054   | on    | on     | 0.030    | on       | on      | 1312 | 0.14053 | 0.22    | 0.14 | 3185 | 290 | 50 |
| 1060 | 1460      | 80     | 40     | 0.86   | 0.031   | on    | on     | 0.168    | on       | on      | 2752 | 0.14046 | 0.22    | 0.14 | 3184 | 290 | 50 |
| 1061 | 1534      | 120    | 40     | 0.79   | 0.050   | on    | on     | 0.168    | on       | on      | 3792 | 0.14045 | 0.22    | 0.14 | 3187 | 290 | 50 |
| 1062 | 811       | 120    | 60     | 0.78   | 0.050   | on    | on     | 0.081    | on       | on      | 5616 | 0.14017 | 0.22    | 0.14 | 3188 | 290 | 50 |
| 1063 | 1375      | 80     | 40     | 0.73   | 0.043   | on    | on     | 0.055    | on       | on      | 2336 | 0.14009 | 0.21    | 0.13 | 3073 | 294 | 50 |
| 1064 | 612       | 60     | 40     | 0.73   | 0.036   | on    | on     | 0.194    | on       | on      | 1752 | 0.13967 | 0.27    | 0.10 | 2889 | 304 | 50 |
| 1065 | 862       | 60     | 60     | 0.76   | 0.038   | on    | on     | 0.198    | on       | on      | 2736 | 0.13954 | -0.19   | 0.12 | 2989 | 303 | 50 |
| 1066 | 1780      | 100    | 60     | 0.80   | 0.034   | on    | on     | 0.088    | on       | on      | 4800 | 0.13869 | -0.22   | 0.12 | 3188 | 291 | 50 |
| 1067 | 1145      | 120    | 80     | 0.77   | 0.033   | on    | on     | 0.157    | on       | on      | 7392 | 0.13804 | 0.23    | 0.13 | 2821 | 309 | 50 |
| 1068 | 1261      | 100    | 60     | 0.80   | 0.016   | on    | on     | 0.047    | on       | on      | 4800 | 0.13796 | -0.22   | 0.13 | 2929 | 306 | 50 |
| 1069 | 324       | 40     | 80     | 0.82   | 0.013   | on    | on     | 0.175    | on       | on      | 2624 | 0.13784 | 0.22    | 0.13 | 2824 | 309 | 50 |
| 1070 | 1345      | 60     | 80     | 0.76   | 0.034   | on    | on     | 0.055    | on       | on      | 3648 | 0.13784 | 0.22    | 0.13 | 2824 | 309 | 50 |
| 1071 | 649       | 120    | 40     | 0.70   | 0.054   | on    | on     | 0.097    | on       | on      | 3360 | 0.13778 | -0.25   | 0.10 | 3064 | 299 | 50 |
| 1072 | 642       | 80     | 60     | 0.85   | 0.027   | on    | on     | 0.012    | on       | on      | 4080 | 0.13643 | -0.23   | 0.14 | 2826 | 310 | 50 |
| 1073 | 795       | 140    | 40     | 0.86   | 0.015   | on    | on     | 0.075    | on       | on      | 4816 | 0.13643 | -0.23   | 0.14 | 2826 | 310 | 50 |
| 1074 | 1368      | 60     | 60     | 0.76   | 0.029   | on    | on     | 0.168    | on       | on      | 2736 | 0.13617 | -0.23   | 0.14 | 2823 | 310 | 50 |
| 1075 | 1832      | 140    | 40     | 0.72   | 0.034   | on    | on     | 0.184    | on       | on      | 4032 | 0.13617 | -0.23   | 0.01 | 2823 | 310 | 50 |
| 1076 | 52        | 80     | 80     | 0.70   | 0.033   | on    | on     | 0.181    | on       | on      | 4480 | 0.13599 | -0.24   | 0.14 | 2828 | 310 | 50 |
| 1077 | 333       | 140    | 60     | 0.83   | 0.013   | on    | on     | 0.156    | on       | on      | 6972 | 0.13599 | -0.24   | 0.14 | 2828 | 310 | 50 |
| 1078 | 1073      | 120    | 80     | 0.83   | 0.048   | on    | on     | 0.041    | on       | on      | 7968 | 0.13599 | -0.24   | 0.14 | 2828 | 310 | 50 |
| 1079 | 725       | 100    | 40     | 0.76   | 0.039   | on    | on     | 0.197    | on       | on      | 3040 | 0.13590 | 0.24    | 0.15 | 3144 | 291 | 50 |
| 1080 | 207       | 40     | 60     | 0.86   | 0.050   | on    | on     | 0.095    | on       | on      | 2064 | 0.13541 | -0.22   | 0.14 | 2821 | 310 | 50 |

ตารางที่ ข.3 รายละเอียดของค่าพารามิเตอร์จำนวน 2,000 ชุด และผลการคำนวณย้อนกลับ (ต่อ)

| Rank | Set Index | maxgen | numpop | pcross | pjumpmu | unifim | icreep | pcreepmu | ibstmold | niching | CE   | Fitness | Max Err | RMSE | E1   | E2  | E3 |
|------|-----------|--------|--------|--------|---------|--------|--------|----------|----------|---------|------|---------|---------|------|------|-----|----|
| 1081 | 720       | 60     | 60     | 0.77   | 0.024   | on     | on     | 0.055    | on       | on      | 2772 | 0.13541 | -0.22   | 0.14 | 2821 | 310 | 50 |
| 1082 | 451       | 100    | 80     | 0.81   | 0.033   | on     | on     | 0.110    | on       | on      | 6480 | 0.13541 | 0.25    | 0.12 | 2833 | 308 | 50 |
| 1083 | 1542      | 60     | 60     | 0.70   | 0.013   | on     | on     | 0.150    | on       | on      | 2520 | 0.13503 | -0.24   | 0.15 | 2830 | 310 | 50 |
| 1084 | 1777      | 120    | 60     | 0.86   | 0.030   | on     | on     | 0.148    | on       | on      | 6192 | 0.13417 | -0.22   | 0.14 | 2819 | 310 | 50 |
| 1085 | 1932      | 140    | 80     | 0.81   | 0.024   | on     | on     | 0.160    | on       | on      | 9072 | 0.13417 | -0.22   | 0.14 | 2819 | 310 | 50 |
| 1086 | 1333      | 60     | 60     | 0.75   | 0.023   | on     | on     | 0.059    | on       | on      | 2700 | 0.13362 | 0.20    | 0.14 | 3197 | 290 | 50 |
| 1087 | 1854      | 60     | 40     | 0.81   | 0.034   | on     | on     | 0.068    | on       | on      | 1944 | 0.13249 | -0.21   | 0.14 | 2817 | 310 | 50 |
| 1088 | 807       | 60     | 80     | 0.86   | 0.007   | on     | on     | 0.024    | on       | on      | 4128 | 0.13148 | -0.21   | 0.14 | 2816 | 310 | 50 |
| 1089 | 500       | 60     | 60     | 0.79   | 0.053   | on     | on     | 0.187    | on       | on      | 2844 | 0.13042 | -0.21   | 0.14 | 2815 | 310 | 50 |
| 1090 | 1529      | 140    | 60     | 0.81   | 0.023   | on     | on     | 0.176    | on       | on      | 6804 | 0.13042 | -0.21   | 0.14 | 2815 | 310 | 50 |
| 1091 | 495       | 120    | 60     | 0.70   | 0.053   | on     | on     | 0.047    | on       | on      | 5040 | 0.12969 | 0.22    | 0.12 | 2990 | 298 | 50 |
| 1092 | 165       | 40     | 80     | 0.73   | 0.028   | on     | on     | 0.045    | on       | on      | 2336 | 0.12870 | 0.25    | 0.15 | 3141 | 291 | 50 |
| 1093 | 1925      | 40     | 80     | 0.74   | 0.009   | on     | on     | 0.013    | on       | on      | 2368 | 0.12842 | 0.24    | 0.13 | 2820 | 309 | 50 |
| 1094 | 1572      | 60     | 60     | 0.72   | 0.012   | on     | on     | 0.113    | on       | on      | 2592 | 0.12782 | -0.21   | 0.13 | 2952 | 305 | 50 |
| 1095 | 1083      | 140    | 40     | 0.84   | 0.047   | on     | on     | 0.035    | on       | on      | 4704 | 0.12706 | 0.27    | 0.11 | 3084 | 298 | 50 |
| 1096 | 953       | 80     | 60     | 0.79   | 0.047   | on     | on     | 0.010    | on       | on      | 3792 | 0.12602 | -0.22   | 0.14 | 2932 | 306 | 50 |
| 1097 | 1025      | 80     | 80     | 0.84   | 0.034   | on     | on     | 0.066    | on       | on      | 5376 | 0.12602 | -0.22   | 0.14 | 2932 | 306 | 50 |
| 1098 | 1996      | 140    | 80     | 0.71   | 0.023   | on     | on     | 0.068    | on       | on      | 7952 | 0.12602 | -0.22   | 0.14 | 2932 | 306 | 50 |
| 1099 | 1617      | 140    | 80     | 0.77   | 0.031   | on     | on     | 0.055    | on       | on      | 8624 | 0.12602 | -0.22   | 0.14 | 2932 | 306 | 50 |
| 1100 | 400       | 100    | 80     | 0.73   | 0.016   | on     | on     | 0.165    | on       | on      | 5840 | 0.12509 | -0.27   | 0.12 | 3181 | 292 | 50 |
| 1101 | 388       | 60     | 60     | 0.70   | 0.023   | on     | on     | 0.146    | on       | on      | 2520 | 0.12372 | 0.26    | 0.15 | 3167 | 290 | 50 |
| 1102 | 1488      | 40     | 40     | 0.75   | 0.010   | on     | on     | 0.079    | on       | on      | 1200 | 0.12359 | 0.25    | 0.13 | 2818 | 309 | 50 |
| 1103 | 572       | 100    | 60     | 0.81   | 0.032   | on     | on     | 0.102    | on       | on      | 4860 | 0.12297 | -0.25   | 0.15 | 2890 | 308 | 50 |
| 1104 | 578       | 80     | 40     | 0.80   | 0.051   | on     | on     | 0.034    | on       | on      | 2560 | 0.11927 | -0.27   | 0.11 | 3068 | 299 | 50 |
| 1105 | 1214      | 60     | 60     | 0.85   | 0.028   | on     | on     | 0.010    | on       | on      | 3060 | 0.11876 | -0.23   | 0.14 | 2934 | 306 | 50 |
| 1106 | 466       | 100    | 40     | 0.75   | 0.038   | on     | on     | 0.093    | on       | on      | 3000 | 0.11867 | -0.26   | 0.12 | 3050 | 300 | 50 |
| 1107 | 1495      | 60     | 40     | 0.77   | 0.029   | on     | on     | 0.055    | on       | on      | 1848 | 0.11828 | 0.25    | 0.15 | 3204 | 289 | 50 |
| 1108 | 1658      | 40     | 80     | 0.87   | 0.037   | on     | on     | 0.169    | on       | on      | 2784 | 0.11828 | 0.25    | 0.15 | 3204 | 289 | 50 |
| 1109 | 1694      | 100    | 40     | 0.72   | 0.031   | on     | on     | 0.023    | on       | on      | 2880 | 0.11828 | 0.25    | 0.15 | 3204 | 289 | 50 |
| 1110 | 262       | 100    | 40     | 0.70   | 0.032   | on     | on     | 0.052    | on       | on      | 2800 | 0.11827 | 0.24    | 0.15 | 3205 | 289 | 50 |
| 1111 | 420       | 140    | 40     | 0.83   | 0.050   | on     | on     | 0.055    | on       | on      | 4648 | 0.11827 | 0.24    | 0.15 | 3205 | 289 | 50 |
| 1112 | 954       | 100    | 80     | 0.81   | 0.048   | on     | on     | 0.198    | on       | on      | 6480 | 0.11743 | 0.25    | 0.16 | 3200 | 289 | 50 |
| 1113 | 843       | 80     | 60     | 0.87   | 0.039   | on     | on     | 0.010    | on       | on      | 4176 | 0.11710 | 0.24    | 0.14 | 2806 | 310 | 50 |
| 1114 | 627       | 60     | 80     | 0.74   | 0.038   | on     | on     | 0.165    | on       | on      | 3552 | 0.11652 | -0.29   | 0.12 | 3184 | 292 | 50 |
| 1115 | 1046      | 100    | 80     | 0.77   | 0.048   | on     | on     | 0.026    | on       | on      | 6160 | 0.11642 | -0.29   | 0.11 | 3104 | 297 | 50 |
| 1116 | 1056      | 120    | 60     | 0.84   | 0.053   | on     | on     | 0.086    | on       | on      | 6048 | 0.11613 | -0.27   | 0.16 | 2845 | 310 | 50 |
| 1117 | 1188      | 80     | 40     | 0.71   | 0.047   | on     | on     | 0.094    | on       | on      | 2272 | 0.11603 | 0.26    | 0.16 | 3197 | 289 | 50 |
| 1118 | 520       | 80     | 40     | 0.76   | 0.039   | on     | on     | 0.023    | on       | on      | 2432 | 0.11603 | 0.26    | 0.16 | 3197 | 289 | 50 |
| 1119 | 104       | 120    | 80     | 0.76   | 0.019   | on     | on     | 0.037    | on       | on      | 7296 | 0.11601 | -0.26   | 0.16 | 2811 | 311 | 50 |
| 1120 | 283       | 60     | 40     | 0.81   | 0.008   | on     | on     | 0.140    | on       | on      | 1944 | 0.11587 | -0.25   | 0.15 | 2805 | 311 | 50 |

ตารางที่ ข.3 รายละเอียดของค่าพารามิเตอร์จำนวน 2,000 ชุด และผลการคำนวณย้อนกลับ (ต่อ)

| Rank | Set Index | maxgen | numpop | peross | pjumpmu | unifm | icreep | pcreepmu | ibstmold | niching | CE   | Fitness | Max Err | RMSE | E1   | E2  | E3 |
|------|-----------|--------|--------|--------|---------|-------|--------|----------|----------|---------|------|---------|---------|------|------|-----|----|
| 1121 | 779       | 80     | 60     | 0.83   | 0.037   | on    | on     | 0.038    | on       | on      | 3984 | 0.11587 | -0.25   | 0.15 | 2805 | 311 | 50 |
| 1122 | 325       | 100    | 80     | 0.78   | 0.006   | on    | on     | 0.119    | on       | on      | 6240 | 0.11572 | -0.26   | 0.16 | 2812 | 311 | 50 |
| 1123 | 865       | 40     | 60     | 0.81   | 0.012   | on    | on     | 0.068    | on       | on      | 1944 | 0.11530 | -0.23   | 0.14 | 2935 | 306 | 50 |
| 1124 | 433       | 40     | 40     | 0.76   | 0.014   | on    | on     | 0.034    | on       | on      | 1216 | 0.11513 | -0.24   | 0.15 | 2803 | 311 | 50 |
| 1125 | 1139      | 60     | 40     | 0.86   | 0.022   | on    | on     | 0.048    | on       | on      | 2064 | 0.11513 | -0.24   | 0.15 | 2803 | 311 | 50 |
| 1126 | 244       | 80     | 40     | 0.78   | 0.018   | on    | on     | 0.035    | on       | on      | 2496 | 0.11513 | -0.24   | 0.15 | 2803 | 311 | 50 |
| 1127 | 1248      | 120    | 40     | 0.74   | 0.018   | on    | on     | 0.055    | on       | on      | 3552 | 0.11513 | -0.24   | 0.15 | 2803 | 311 | 50 |
| 1128 | 1389      | 120    | 40     | 0.76   | 0.013   | on    | on     | 0.058    | on       | on      | 3648 | 0.11513 | -0.24   | 0.15 | 2803 | 311 | 50 |
| 1129 | 1059      | 140    | 40     | 0.71   | 0.007   | on    | on     | 0.142    | on       | on      | 3976 | 0.11513 | -0.24   | 0.15 | 2803 | 311 | 50 |
| 1130 | 691       | 80     | 60     | 0.85   | 0.015   | on    | on     | 0.026    | on       | on      | 4080 | 0.11513 | -0.24   | 0.15 | 2803 | 311 | 50 |
| 1131 | 1088      | 100    | 60     | 0.74   | 0.034   | on    | on     | 0.179    | on       | on      | 4440 | 0.11513 | -0.24   | 0.15 | 2803 | 311 | 50 |
| 1132 | 243       | 120    | 60     | 0.75   | 0.026   | on    | on     | 0.051    | on       | on      | 5400 | 0.11513 | -0.24   | 0.15 | 2803 | 311 | 50 |
| 1133 | 1660      | 140    | 60     | 0.73   | 0.012   | on    | on     | 0.076    | on       | on      | 6132 | 0.11513 | -0.24   | 0.15 | 2803 | 311 | 50 |
| 1134 | 1168      | 140    | 60     | 0.77   | 0.007   | on    | on     | 0.037    | on       | on      | 6468 | 0.11513 | -0.24   | 0.15 | 2803 | 311 | 50 |
| 1135 | 413       | 140    | 60     | 0.85   | 0.037   | on    | on     | 0.159    | on       | on      | 7140 | 0.11513 | -0.24   | 0.15 | 2803 | 311 | 50 |
| 1136 | 967       | 120    | 80     | 0.75   | 0.044   | on    | on     | 0.066    | on       | on      | 7200 | 0.11513 | -0.24   | 0.15 | 2803 | 311 | 50 |
| 1137 | 1144      | 100    | 80     | 0.73   | 0.053   | on    | on     | 0.153    | on       | on      | 5840 | 0.11484 | -0.26   | 0.16 | 2814 | 311 | 50 |
| 1138 | 1612      | 60     | 40     | 0.76   | 0.009   | on    | on     | 0.191    | on       | on      | 1824 | 0.11463 | -0.24   | 0.15 | 2802 | 311 | 50 |
| 1139 | 1397      | 60     | 60     | 0.79   | 0.007   | on    | on     | 0.184    | on       | on      | 2844 | 0.11463 | -0.24   | 0.15 | 2802 | 311 | 50 |
| 1140 | 961       | 80     | 60     | 0.87   | 0.034   | on    | on     | 0.138    | on       | on      | 4176 | 0.11463 | -0.24   | 0.15 | 2802 | 311 | 50 |
| 1141 | 626       | 100    | 80     | 0.84   | 0.031   | on    | on     | 0.165    | on       | on      | 6720 | 0.11463 | -0.24   | 0.15 | 2802 | 311 | 50 |
| 1142 | 381       | 120    | 40     | 0.74   | 0.050   | on    | on     | 0.061    | on       | on      | 3552 | 0.11435 | -0.26   | 0.15 | 2893 | 308 | 50 |
| 1143 | 1334      | 120    | 60     | 0.83   | 0.014   | on    | on     | 0.067    | on       | on      | 5976 | 0.11404 | -0.24   | 0.15 | 2801 | 311 | 50 |
| 1144 | 1010      | 140    | 80     | 0.83   | 0.010   | on    | on     | 0.110    | on       | on      | 9296 | 0.11404 | -0.24   | 0.15 | 2801 | 311 | 50 |
| 1145 | 1012      | 140    | 80     | 0.76   | 0.046   | on    | on     | 0.019    | on       | on      | 8512 | 0.11340 | -0.85   | 0.53 | 2361 | 340 | 50 |
| 1146 | 1         | 140    | 80     | 0.76   | 0.052   | on    | on     | 0.076    | on       | on      | 8512 | 0.11338 | -0.24   | 0.15 | 2800 | 311 | 50 |
| 1147 | 796       | 120    | 40     | 0.79   | 0.047   | on    | on     | 0.105    | on       | on      | 3792 | 0.11321 | 0.27    | 0.16 | 3193 | 289 | 50 |
| 1148 | 1009      | 60     | 60     | 0.77   | 0.018   | on    | on     | 0.132    | on       | on      | 2772 | 0.11264 | -0.23   | 0.15 | 2799 | 311 | 50 |
| 1149 | 633       | 100    | 60     | 0.81   | 0.007   | on    | on     | 0.129    | on       | on      | 4860 | 0.11264 | -0.23   | 0.15 | 2799 | 311 | 50 |
| 1150 | 542       | 80     | 80     | 0.77   | 0.047   | on    | on     | 0.093    | on       | on      | 4928 | 0.11264 | 0.23    | 0.15 | 2799 | 311 | 50 |
| 1151 | 186       | 60     | 80     | 0.70   | 0.015   | on    | on     | 0.041    | on       | on      | 3360 | 0.11183 | -0.23   | 0.15 | 2798 | 311 | 50 |
| 1152 | 1702      | 80     | 80     | 0.76   | 0.023   | on    | on     | 0.188    | on       | on      | 4864 | 0.11183 | -0.23   | 0.15 | 2798 | 311 | 50 |
| 1153 | 364       | 140    | 60     | 0.77   | 0.033   | on    | on     | 0.146    | on       | on      | 6468 | 0.11174 | 0.25    | 0.14 | 2803 | 310 | 50 |
| 1154 | 131       | 60     | 40     | 0.70   | 0.045   | on    | on     | 0.114    | on       | on      | 1680 | 0.11156 | -0.30   | 0.12 | 3171 | 293 | 50 |
| 1155 | 1933      | 120    | 80     | 0.77   | 0.038   | on    | on     | 0.162    | on       | on      | 7392 | 0.11096 | -0.23   | 0.15 | 2797 | 311 | 50 |
| 1156 | 29        | 60     | 60     | 0.74   | 0.046   | on    | on     | 0.012    | on       | on      | 2664 | 0.11073 | -0.29   | 0.12 | 3088 | 298 | 50 |
| 1157 | 99        | 140    | 40     | 0.87   | 0.024   | on    | on     | 0.148    | on       | on      | 4872 | 0.11073 | 0.22    | 0.15 | 3219 | 289 | 50 |
| 1158 | 71        | 60     | 40     | 0.80   | 0.010   | on    | on     | 0.138    | on       | on      | 1920 | 0.10998 | -0.23   | 0.15 | 2796 | 311 | 50 |
| 1159 | 721       | 80     | 60     | 0.79   | 0.034   | on    | on     | 0.141    | on       | on      | 3792 | 0.10990 | 0.26    | 0.14 | 2802 | 310 | 50 |
| 1160 | 1510      | 120    | 80     | 0.87   | 0.015   | on    | on     | 0.112    | on       | on      | 8352 | 0.10979 | -0.25   | 0.15 | 2916 | 307 | 50 |

ตารางที่ ข.3 รายละเอียดของค่าพารามิเตอร์จำนวน 2,000 ชุด และผลการคำนวณย้อนกลับ (ต่อ)

| Rank | Set Index | maxgen | numpop | pcross | pjumpmu | unifm | icreep | pcreepmu | ibstmold | niching | CE   | Fitness | Max Err | RMSE | E1   | E2  | E3 |
|------|-----------|--------|--------|--------|---------|-------|--------|----------|----------|---------|------|---------|---------|------|------|-----|----|
| 1161 | 1492      | 60     | 40     | 0.71   | 0.031   | on    | on     | 0.067    | on       | on      | 1704 | 0.10976 | -0.22   | 0.15 | 3220 | 289 | 50 |
| 1162 | 3         | 140    | 80     | 0.71   | 0.041   | on    | on     | 0.018    | on       | on      | 7952 | 0.10948 | -0.28   | 0.17 | 2821 | 311 | 50 |
| 1163 | 977       | 120    | 40     | 0.75   | 0.049   | on    | on     | 0.117    | on       | on      | 3600 | 0.10911 | 0.28    | 0.13 | 2812 | 309 | 50 |
| 1164 | 1386      | 140    | 80     | 0.70   | 0.046   | on    | on     | 0.188    | on       | on      | 7840 | 0.10896 | -0.22   | 0.15 | 2795 | 311 | 50 |
| 1165 | 1865      | 120    | 40     | 0.74   | 0.040   | on    | on     | 0.184    | on       | on      | 3552 | 0.10870 | -0.22   | 0.15 | 3221 | 289 | 50 |
| 1166 | 803       | 80     | 60     | 0.78   | 0.049   | on    | on     | 0.136    | on       | on      | 3744 | 0.10870 | -0.22   | 0.15 | 3221 | 289 | 50 |
| 1167 | 664       | 120    | 40     | 0.78   | 0.038   | on    | on     | 0.031    | on       | on      | 3744 | 0.10870 | -0.22   | 0.15 | 3221 | 289 | 50 |
| 1168 | 577       | 120    | 40     | 0.73   | 0.037   | on    | on     | 0.200    | on       | on      | 3504 | 0.10831 | 0.28    | 0.17 | 3188 | 289 | 50 |
| 1169 | 1685      | 40     | 80     | 0.85   | 0.026   | on    | on     | 0.063    | on       | on      | 2720 | 0.10787 | 0.31    | 0.12 | 2866 | 305 | 50 |
| 1170 | 1089      | 60     | 40     | 0.73   | 0.040   | on    | on     | 0.119    | on       | on      | 1752 | 0.10686 | -0.25   | 0.15 | 2917 | 307 | 50 |
| 1171 | 1511      | 60     | 80     | 0.82   | 0.033   | on    | on     | 0.099    | on       | on      | 3936 | 0.10677 | 0.21    | 0.14 | 3023 | 296 | 50 |
| 1172 | 1789      | 60     | 60     | 0.80   | 0.029   | on    | on     | 0.099    | on       | on      | 2880 | 0.10675 | 0.29    | 0.14 | 2811 | 309 | 50 |
| 1173 | 820       | 120    | 40     | 0.77   | 0.037   | on    | on     | 0.144    | on       | on      | 3696 | 0.10675 | 0.29    | 0.14 | 2811 | 309 | 50 |
| 1174 | 201       | 140    | 60     | 0.81   | 0.027   | on    | on     | 0.148    | on       | on      | 6804 | 0.10674 | -0.22   | 0.13 | 2846 | 309 | 50 |
| 1175 | 1013      | 40     | 60     | 0.81   | 0.024   | on    | on     | 0.097    | on       | on      | 1944 | 0.10600 | -0.78   | 0.52 | 2331 | 340 | 50 |
| 1176 | 60        | 40     | 80     | 0.80   | 0.051   | on    | on     | 0.120    | on       | on      | 2560 | 0.10594 | -0.23   | 0.14 | 2958 | 305 | 50 |
| 1177 | 1519      | 60     | 40     | 0.76   | 0.025   | on    | on     | 0.178    | on       | on      | 1824 | 0.10584 | -0.31   | 0.13 | 3188 | 292 | 50 |
| 1178 | 1244      | 40     | 60     | 0.79   | 0.044   | on    | on     | 0.129    | on       | on      | 1896 | 0.10562 | -0.24   | 0.15 | 2938 | 306 | 50 |
| 1179 | 825       | 60     | 80     | 0.70   | 0.034   | on    | on     | 0.160    | on       | on      | 3360 | 0.10501 | -0.22   | 0.14 | 2978 | 304 | 50 |
| 1180 | 903       | 40     | 80     | 0.82   | 0.024   | on    | on     | 0.092    | on       | on      | 2624 | 0.10438 | 0.24    | 0.15 | 2791 | 311 | 50 |
| 1181 | 1202      | 80     | 60     | 0.74   | 0.014   | on    | on     | 0.103    | on       | on      | 3552 | 0.10438 | 0.24    | 0.15 | 2791 | 311 | 50 |
| 1182 | 1026      | 80     | 40     | 0.86   | 0.037   | on    | on     | 0.169    | on       | on      | 2752 | 0.10371 | -0.30   | 0.12 | 3090 | 298 | 50 |
| 1183 | 918       | 140    | 80     | 0.70   | 0.014   | on    | on     | 0.085    | on       | on      | 7840 | 0.10330 | 0.31    | 0.13 | 2822 | 308 | 50 |
| 1184 | 1091      | 40     | 40     | 0.85   | 0.038   | on    | on     | 0.072    | on       | on      | 1360 | 0.10286 | -0.25   | 0.15 | 3226 | 289 | 50 |
| 1185 | 735       | 60     | 60     | 0.72   | 0.024   | on    | on     | 0.181    | on       | on      | 2592 | 0.10246 | 0.25    | 0.15 | 3084 | 293 | 50 |
| 1186 | 336       | 40     | 40     | 0.85   | 0.025   | on    | on     | 0.147    | on       | on      | 1360 | 0.10152 | -0.30   | 0.13 | 3204 | 291 | 50 |
| 1187 | 905       | 40     | 40     | 0.76   | 0.023   | on    | on     | 0.175    | on       | on      | 1216 | 0.10123 | -0.29   | 0.14 | 3217 | 290 | 50 |
| 1188 | 1356      | 100    | 60     | 0.72   | 0.053   | on    | on     | 0.080    | on       | on      | 4320 | 0.10116 | 0.30    | 0.12 | 2929 | 301 | 50 |
| 1189 | 586       | 120    | 60     | 0.78   | 0.048   | on    | on     | 0.103    | on       | on      | 5616 | 0.10111 | 0.32    | 0.12 | 2849 | 306 | 50 |
| 1190 | 1158      | 60     | 80     | 0.85   | 0.015   | on    | on     | 0.120    | on       | on      | 4080 | 0.10044 | 0.25    | 0.15 | 2788 | 311 | 50 |
| 1191 | 763       | 140    | 40     | 0.72   | 0.046   | on    | on     | 0.164    | on       | on      | 4032 | 0.10041 | 0.26    | 0.17 | 3227 | 288 | 50 |
| 1192 | 711       | 140    | 40     | 0.83   | 0.054   | on    | on     | 0.045    | on       | on      | 4648 | 0.10041 | 0.26    | 0.17 | 3227 | 288 | 50 |
| 1193 | 1734      | 80     | 60     | 0.75   | 0.036   | on    | on     | 0.140    | on       | on      | 3600 | 0.10025 | -0.27   | 0.17 | 2791 | 312 | 50 |
| 1194 | 1377      | 60     | 80     | 0.78   | 0.020   | on    | on     | 0.161    | on       | on      | 3744 | 0.10025 | -0.27   | 0.17 | 2791 | 312 | 50 |
| 1195 | 253       | 100    | 60     | 0.70   | 0.034   | on    | on     | 0.103    | on       | on      | 4200 | 0.10023 | -0.28   | 0.17 | 2792 | 312 | 50 |
| 1196 | 846       | 60     | 80     | 0.86   | 0.044   | on    | on     | 0.179    | on       | on      | 4128 | 0.10003 | -0.28   | 0.17 | 2794 | 312 | 50 |
| 1197 | 1997      | 60     | 60     | 0.78   | 0.042   | on    | on     | 0.117    | on       | on      | 2808 | 0.09986 | -0.27   | 0.17 | 2788 | 312 | 50 |
| 1198 | 1181      | 140    | 80     | 0.74   | 0.048   | on    | on     | 0.101    | on       | on      | 8288 | 0.09986 | -0.27   | 0.02 | 2788 | 312 | 50 |
| 1199 | 700       | 80     | 40     | 0.85   | 0.042   | on    | on     | 0.143    | on       | on      | 2720 | 0.09965 | 0.26    | 0.17 | 3230 | 288 | 50 |
| 1200 | 1241      | 140    | 40     | 0.79   | 0.049   | on    | on     | 0.071    | on       | on      | 4424 | 0.09960 | -0.27   | 0.17 | 2787 | 312 | 50 |

ตารางที่ ข.3 รายละเอียดของค่าพารามิเตอร์จำนวน 2,000 ชุด และผลการคำนวณย้อนกลับ (ต่อ)

| Rank | Set Index | maxgen | numpop | pcross | pjumpmu | unifm | icreep | pcreepmu | ibstmold | niching | CE   | Fitness | Max Err | RMSE | E1   | E2  | E3 |
|------|-----------|--------|--------|--------|---------|-------|--------|----------|----------|---------|------|---------|---------|------|------|-----|----|
| 1201 | 1778      | 140    | 40     | 0.82   | 0.035   | on    | on     | 0.096    | on       | on      | 4592 | 0.09960 | -0.27   | 0.17 | 2787 | 312 | 50 |
| 1202 | 341       | 60     | 40     | 0.85   | 0.030   | on    | on     | 0.183    | on       | on      | 2040 | 0.09940 | -0.31   | 0.14 | 3205 | 291 | 50 |
| 1203 | 928       | 120    | 40     | 0.73   | 0.032   | on    | on     | 0.187    | on       | on      | 3504 | 0.09931 | -0.26   | 0.17 | 2786 | 312 | 50 |
| 1204 | 503       | 40     | 60     | 0.80   | 0.017   | on    | on     | 0.122    | on       | on      | 1920 | 0.09891 | -0.26   | 0.17 | 2785 | 312 | 50 |
| 1205 | 1206      | 60     | 80     | 0.82   | 0.043   | on    | on     | 0.129    | on       | on      | 3936 | 0.09882 | -0.29   | 0.17 | 2798 | 312 | 50 |
| 1206 | 902       | 60     | 60     | 0.74   | 0.053   | on    | on     | 0.094    | on       | on      | 2664 | 0.09802 | 0.29    | 0.18 | 3214 | 288 | 50 |
| 1207 | 714       | 80     | 80     | 0.70   | 0.038   | on    | on     | 0.054    | on       | on      | 4480 | 0.09768 | -0.27   | 0.15 | 3230 | 289 | 50 |
| 1208 | 1408      | 40     | 80     | 0.84   | 0.029   | on    | on     | 0.129    | on       | on      | 2688 | 0.09688 | 0.39    | 0.26 | 2650 | 319 | 50 |
| 1209 | 310       | 40     | 40     | 0.73   | 0.049   | on    | on     | 0.043    | on       | on      | 1168 | 0.09676 | 0.30    | 0.15 | 2795 | 310 | 50 |
| 1210 | 79        | 120    | 60     | 0.87   | 0.049   | on    | on     | 0.137    | on       | on      | 6264 | 0.09676 | -0.25   | 0.17 | 2781 | 312 | 50 |
| 1211 | 264       | 100    | 60     | 0.85   | 0.042   | on    | on     | 0.114    | on       | on      | 5100 | 0.09624 | 0.27    | 0.15 | 2785 | 311 | 50 |
| 1212 | 1876      | 40     | 60     | 0.72   | 0.034   | on    | on     | 0.105    | on       | on      | 1728 | 0.09610 | 0.24    | 0.17 | 3237 | 288 | 50 |
| 1213 | 1342      | 80     | 60     | 0.72   | 0.031   | on    | on     | 0.021    | on       | on      | 3456 | 0.09605 | -0.30   | 0.17 | 2856 | 310 | 50 |
| 1214 | 1484      | 140    | 60     | 0.72   | 0.050   | on    | on     | 0.087    | on       | on      | 6048 | 0.09605 | -0.30   | 0.17 | 2856 | 310 | 50 |
| 1215 | 584       | 60     | 80     | 0.85   | 0.024   | on    | on     | 0.064    | on       | on      | 4080 | 0.09596 | -0.30   | 0.18 | 2803 | 312 | 50 |
| 1216 | 1137      | 100    | 80     | 0.85   | 0.035   | on    | on     | 0.197    | on       | on      | 6800 | 0.09539 | 0.24    | 0.16 | 3238 | 288 | 50 |
| 1217 | 934       | 120    | 60     | 0.76   | 0.010   | on    | on     | 0.195    | on       | on      | 5472 | 0.09534 | -0.25   | 0.17 | 2779 | 312 | 50 |
| 1218 | 1203      | 140    | 80     | 0.86   | 0.053   | on    | on     | 0.200    | on       | on      | 9632 | 0.09481 | 0.30    | 0.18 | 3209 | 288 | 50 |
| 1219 | 544       | 100    | 80     | 0.87   | 0.052   | on    | on     | 0.079    | on       | on      | 6960 | 0.09466 | 0.24    | 0.16 | 3239 | 288 | 50 |
| 1220 | 429       | 40     | 80     | 0.80   | 0.048   | on    | on     | 0.036    | on       | on      | 2560 | 0.09392 | -0.33   | 0.13 | 3145 | 295 | 50 |
| 1221 | 629       | 40     | 40     | 0.73   | 0.014   | on    | on     | 0.073    | on       | on      | 1168 | 0.09387 | -0.27   | 0.17 | 2901 | 308 | 50 |
| 1222 | 1654      | 40     | 60     | 0.73   | 0.034   | on    | on     | 0.095    | on       | on      | 1752 | 0.09377 | -0.24   | 0.07 | 2777 | 312 | 50 |
| 1223 | 17        | 100    | 60     | 0.75   | 0.052   | on    | on     | 0.138    | on       | on      | 4500 | 0.09332 | 0.28    | 0.16 | 2783 | 311 | 50 |
| 1224 | 1016      | 80     | 80     | 0.76   | 0.036   | on    | on     | 0.028    | on       | on      | 4864 | 0.09288 | -0.24   | 0.17 | 2776 | 312 | 50 |
| 1225 | 1929      | 60     | 40     | 0.77   | 0.027   | on    | on     | 0.128    | on       | on      | 1848 | 0.09249 | 0.34    | 0.13 | 2861 | 305 | 50 |
| 1226 | 1909      | 80     | 40     | 0.73   | 0.027   | on    | on     | 0.143    | on       | on      | 2336 | 0.08798 | 0.27    | 0.17 | 2771 | 312 | 50 |
| 1227 | 1200      | 120    | 80     | 0.78   | 0.008   | on    | on     | 0.064    | on       | on      | 7488 | 0.08798 | 0.27    | 0.17 | 2771 | 312 | 50 |
| 1228 | 192       | 60     | 40     | 0.87   | 0.007   | on    | on     | 0.198    | on       | on      | 2088 | 0.08770 | 0.31    | 0.19 | 3201 | 288 | 50 |
| 1229 | 1078      | 80     | 80     | 0.86   | 0.038   | on    | on     | 0.131    | on       | on      | 5504 | 0.08749 | 0.35    | 0.13 | 2844 | 306 | 50 |
| 1230 | 1218      | 60     | 80     | 0.77   | 0.033   | on    | on     | 0.123    | on       | on      | 3696 | 0.08739 | 0.30    | 0.16 | 2779 | 311 | 50 |
| 1231 | 1090      | 140    | 80     | 0.77   | 0.044   | on    | on     | 0.048    | on       | on      | 8624 | 0.08693 | -0.29   | 0.18 | 2771 | 313 | 50 |
| 1232 | 75        | 60     | 40     | 0.80   | 0.031   | on    | on     | 0.175    | on       | on      | 1920 | 0.08676 | -0.29   | 0.19 | 3284 | 286 | 50 |
| 1233 | 304       | 40     | 40     | 0.78   | 0.034   | on    | on     | 0.057    | on       | on      | 1248 | 0.08661 | 0.29    | 0.18 | 3243 | 287 | 50 |
| 1234 | 1245      | 40     | 80     | 0.72   | 0.033   | on    | on     | 0.078    | on       | on      | 2304 | 0.08651 | -0.31   | 0.19 | 2780 | 313 | 50 |
| 1235 | 1126      | 60     | 60     | 0.83   | 0.050   | on    | on     | 0.178    | on       | on      | 2988 | 0.08651 | 0.30    | 0.18 | 3241 | 287 | 50 |
| 1236 | 1157      | 80     | 40     | 0.76   | 0.045   | on    | on     | 0.041    | on       | on      | 2432 | 0.08640 | 0.30    | 0.19 | 3240 | 287 | 50 |
| 1237 | 1084      | 140    | 80     | 0.83   | 0.051   | on    | on     | 0.154    | on       | on      | 9296 | 0.08623 | 0.31    | 0.19 | 2781 | 313 | 50 |
| 1238 | 1183      | 60     | 80     | 0.87   | 0.020   | on    | on     | 0.037    | on       | on      | 4176 | 0.08613 | -0.28   | 0.18 | 2768 | 313 | 50 |
| 1239 | 1768      | 80     | 60     | 0.85   | 0.006   | on    | on     | 0.200    | on       | on      | 4080 | 0.08589 | -0.31   | 0.19 | 2782 | 313 | 50 |
| 1240 | 899       | 120    | 60     | 0.72   | 0.027   | on    | on     | 0.119    | on       | on      | 5184 | 0.08589 | -0.31   | 0.19 | 2782 | 313 | 50 |

ตารางที่ ข.3 รายละเอียดของค่าพารามิเตอร์จำนวน 2,000 ชุด และผลการคำนวณย้อนกลับ (ต่อ)

| Rank | Set Index | maxgen | numpop | pcross | pjumpmu | unifm | icreep | pcreepmu | ibstmold | niching | CE   | Fitness | Max Err | RMSE  | E1   | E2  | E3 |
|------|-----------|--------|--------|--------|---------|-------|--------|----------|----------|---------|------|---------|---------|-------|------|-----|----|
| 1241 | 1675      | 80     | 80     | 0.83   | 0.025   | on    | on     | 0.136    | on       | on      | 5312 | 0.08577 | -0.28   | 0.18  | 2767 | 313 | 50 |
| 1242 | 384       | 60     | 80     | 0.86   | 0.011   | on    | on     | 0.108    | on       | on      | 4128 | 0.08576 | 0.33    | 0.15  | 2789 | 310 | 50 |
| 1243 | 726       | 40     | 40     | 0.86   | 0.040   | on    | on     | 0.143    | on       | on      | 1376 | 0.08575 | -0.32   | 0.19  | 2814 | 312 | 50 |
| 1244 | 127       | 100    | 80     | 0.84   | 0.037   | on    | on     | 0.091    | on       | on      | 6720 | 0.08467 | 0.27    | 0.18  | 3253 | 287 | 50 |
| 1245 | 443       | 60     | 40     | 0.75   | 0.054   | on    | on     | 0.182    | on       | on      | 1800 | 0.08462 | -0.32   | 0.19  | 2815 | 312 | 50 |
| 1246 | 950       | 80     | 60     | 0.76   | 0.036   | on    | on     | 0.152    | on       | on      | 3648 | 0.08427 | 0.27    | 0.18  | 3254 | 287 | 50 |
| 1247 | 130       | 100    | 60     | 0.77   | 0.025   | on    | on     | 0.074    | on       | on      | 4620 | 0.08360 | -0.04   | 0.02  | 3008 | 300 | 50 |
| 1248 | 1760      | 60     | 60     | 0.81   | 0.040   | on    | on     | 0.075    | on       | on      | 2916 | 0.08353 | -0.32   | 0.19  | 2787 | 313 | 50 |
| 1249 | 883       | 140    | 60     | 0.78   | 0.053   | on    | on     | 0.199    | on       | on      | 6552 | 0.08333 | -0.27   | 0.18  | 2762 | 313 | 50 |
| 1250 | 1669      | 140    | 80     | 0.73   | 0.029   | on    | on     | 0.043    | on       | on      | 8176 | 0.08333 | -0.27   | 0.18  | 2762 | 313 | 50 |
| 1251 | 484       | 80     | 40     | 0.70   | 0.035   | on    | on     | 0.046    | on       | on      | 2240 | 0.08223 | 0.31    | 0.19  | 3235 | 287 | 50 |
| 1252 | 1735      | 60     | 40     | 0.77   | 0.045   | on    | on     | 0.156    | on       | on      | 1848 | 0.08157 | 0.25    | 0.16  | 3034 | 295 | 50 |
| 1253 | 199       | 40     | 60     | 0.72   | 0.010   | on    | on     | 0.158    | on       | on      | 1728 | 0.08143 | 0.33    | 0.16  | 2775 | 311 | 50 |
| 1254 | 278       | 100    | 80     | 0.80   | 0.030   | on    | on     | 0.129    | on       | on      | 6400 | 0.08114 | 0.35    | 0.15  | 2799 | 309 | 50 |
| 1255 | 1943      | 40     | 80     | 0.71   | 0.036   | on    | on     | 0.194    | on       | on      | 2272 | 0.08043 | -0.29   | 0.15  | 3025 | 302 | 50 |
| 1256 | 478       | 60     | 60     | 0.83   | 0.052   | on    | on     | 0.059    | on       | on      | 2988 | 0.08039 | -1.14   | 0.48  | 3729 | 271 | 50 |
| 1257 | 1590      | 120    | 60     | 0.71   | 0.035   | on    | on     | 0.188    | on       | on      | 5112 | 0.08035 | 0.35    | 0.15  | 2800 | 309 | 50 |
| 1258 | 85        | 40     | 60     | 0.84   | 0.039   | on    | on     | 0.157    | on       | on      | 2016 | 0.07962 | -0.37   | 0.14  | 3200 | 292 | 60 |
| 1259 | 971       | 120    | 80     | 0.77   | 0.054   | on    | on     | 0.148    | on       | on      | 7392 | 0.07913 | 0.27    | 0.18  | 2756 | 313 | 50 |
| 1260 | 1111      | 80     | 40     | 0.81   | 0.050   | on    | on     | 0.151    | on       | on      | 2592 | 0.07886 | -0.35   | 0.14  | 3099 | 298 | 50 |
| 1261 | 250       | 60     | 40     | 0.72   | 0.035   | on    | on     | 0.174    | on       | on      | 1728 | 0.07867 | 0.27    | 0.17  | 3053 | 294 | 50 |
| 1262 | 221       | 80     | 80     | 0.73   | 0.041   | on    | on     | 0.028    | on       | on      | 4672 | 0.07861 | -0.32   | 0.19  | 2866 | 310 | 50 |
| 1263 | 18        | 140    | 80     | 0.70   | 0.034   | on    | on     | 0.071    | on       | on      | 7840 | 0.07853 | -0.27   | 0.18  | 3264 | 287 | 50 |
| 1264 | 97        | 140    | 80     | 0.71   | 0.047   | on    | on     | 0.184    | on       | on      | 7952 | 0.07853 | -0.27   | 0.18  | 3264 | 287 | 50 |
| 1265 | 1949      | 40     | 40     | 0.76   | 0.035   | on    | on     | 0.081    | on       | on      | 1216 | 0.07719 | 0.33    | 0.20  | 3191 | 288 | 50 |
| 1266 | 1057      | 120    | 60     | 0.82   | 0.033   | on    | on     | 0.041    | on       | on      | 5904 | 0.07657 | -0.32   | 0.20  | 2759 | 314 | 50 |
| 1267 | 1493      | 140    | 60     | 0.79   | 0.043   | on    | on     | 0.088    | on       | on      | 6636 | 0.07651 | -0.32   | 0.20  | 2760 | 314 | 50 |
| 1268 | 1477      | 60     | 80     | 0.84   | 0.043   | on    | on     | 0.196    | on       | on      | 4032 | 0.07642 | -0.32   | 0.20  | 2761 | 314 | 50 |
| 1269 | 730       | 100    | 60     | 0.71   | 0.050   | on    | on     | 0.052    | on       | on      | 4260 | 0.07642 | -0.32   | 0.20  | 2761 | 314 | 50 |
| 1270 | 227       | 80     | 40     | 0.80   | 0.037   | on    | on     | 0.062    | on       | on      | 2560 | 0.07639 | -0.31   | 0.20  | 2755 | 314 | 50 |
| 1271 | 377       | 140    | 80     | 0.73   | 0.012   | on    | on     | 0.119    | on       | on      | 8176 | 0.07639 | -0.31   | 0.20  | 2755 | 314 | 50 |
| 1272 | 980       | 120    | 60     | 0.71   | 0.024   | on    | on     | 0.115    | on       | on      | 5112 | 0.07582 | -0.28   | 0.17  | 2950 | 306 | 50 |
| 1273 | 805       | 120    | 60     | 0.81   | 0.053   | on    | on     | 0.139    | on       | on      | 5832 | 0.07566 | -0.32   | -0.32 | 2757 | 314 | 50 |
| 1274 | 708       | 140    | 60     | 0.72   | 0.034   | on    | on     | 0.076    | on       | on      | 6048 | 0.07563 | -0.30   | 0.19  | 2751 | 314 | 50 |
| 1275 | 1975      | 120    | 40     | 0.77   | 0.047   | on    | on     | 0.188    | on       | on      | 3696 | 0.07560 | 0.35    | 0.16  | 2771 | 311 | 50 |
| 1276 | 1981      | 100    | 60     | 0.84   | 0.040   | on    | on     | 0.068    | on       | on      | 5040 | 0.07519 | 0.32    | 0.20  | 3262 | 286 | 50 |
| 1277 | 1730      | 100    | 80     | 0.73   | 0.035   | on    | on     | 0.150    | on       | on      | 5840 | 0.07417 | 0.35    | 0.16  | 2770 | 311 | 50 |
| 1278 | 737       | 60     | 40     | 0.71   | 0.040   | on    | on     | 0.116    | on       | on      | 1704 | 0.07407 | -0.33   | 0.15  | 3065 | 300 | 50 |
| 1279 | 957       | 60     | 80     | 0.76   | 0.033   | on    | on     | 0.075    | on       | on      | 3648 | 0.07376 | 0.32    | 0.19  | 3138 | 290 | 50 |
| 1280 | 181       | 80     | 80     | 0.87   | 0.025   | on    | on     | 0.128    | on       | on      | 5568 | 0.07338 | -0.35   | 0.21  | 2771 | 314 | 50 |

ตารางที่ ข.3 รายละเอียดของค่าพารามิเตอร์จำนวน 2,000 ชุด และผลการคำนวณย้อนกลับ (ต่อ)

| Rank | Set Index | maxgen | numpop | peross | pjumpmu | unifm | icreep | pcreepmu | ibstmold | niching | CE   | Fitness | Max Err | RMSE | E1   | E2  | E3 |
|------|-----------|--------|--------|--------|---------|-------|--------|----------|----------|---------|------|---------|---------|------|------|-----|----|
| 1281 | 591       | 100    | 40     | 0.78   | 0.017   | on    | on     | 0.200    | on       | on      | 3120 | 0.07335 | -0.29   | 0.19 | 2745 | 314 | 50 |
| 1282 | 1968      | 100    | 60     | 0.78   | 0.038   | on    | on     | 0.087    | on       | on      | 4680 | 0.07305 | 0.31    | 0.18 | 2749 | 313 | 50 |
| 1283 | 1646      | 80     | 60     | 0.77   | 0.024   | on    | on     | 0.024    | on       | on      | 3696 | 0.07234 | -0.29   | 0.19 | 2743 | 314 | 50 |
| 1284 | 1811      | 100    | 60     | 0.76   | 0.037   | on    | on     | 0.134    | on       | on      | 4560 | 0.07215 | -0.31   | 0.19 | 2891 | 309 | 50 |
| 1285 | 589       | 120    | 80     | 0.80   | 0.026   | on    | on     | 0.189    | on       | on      | 7680 | 0.07196 | -0.28   | 0.18 | 2952 | 306 | 50 |
| 1286 | 77        | 100    | 60     | 0.84   | 0.041   | on    | on     | 0.091    | on       | on      | 5040 | 0.07187 | -0.35   | 0.21 | 2774 | 314 | 50 |
| 1287 | 1468      | 40     | 60     | 0.75   | 0.054   | on    | on     | 0.142    | on       | on      | 1800 | 0.07179 | -0.28   | 0.19 | 2742 | 314 | 50 |
| 1288 | 1055      | 80     | 60     | 0.78   | 0.033   | on    | on     | 0.156    | on       | on      | 3744 | 0.07179 | -0.28   | 0.19 | 2742 | 314 | 50 |
| 1289 | 1316      | 120    | 60     | 0.73   | 0.008   | on    | on     | 0.058    | on       | on      | 5256 | 0.07122 | 0.38    | 0.15 | 2884 | 303 | 50 |
| 1290 | 693       | 60     | 40     | 0.83   | 0.026   | on    | on     | 0.153    | on       | on      | 1992 | 0.07114 | 0.27    | 0.17 | 3029 | 295 | 50 |
| 1291 | 1883      | 40     | 80     | 0.77   | 0.021   | on    | on     | 0.168    | on       | on      | 2464 | 0.07109 | -0.38   | 0.15 | 3138 | 296 | 50 |
| 1292 | 1504      | 40     | 60     | 0.71   | 0.049   | on    | on     | 0.113    | on       | on      | 1704 | 0.07069 | -0.36   | 0.21 | 2776 | 314 | 50 |
| 1293 | 193       | 120    | 80     | 0.73   | 0.030   | on    | on     | 0.194    | on       | on      | 7008 | 0.07061 | 0.28    | 0.19 | 2740 | 314 | 50 |
| 1294 | 1618      | 40     | 40     | 0.77   | 0.053   | on    | on     | 0.033    | on       | on      | 1232 | 0.07046 | -0.39   | 0.15 | 3221 | 291 | 50 |
| 1295 | 76        | 40     | 40     | 0.81   | 0.016   | on    | on     | 0.181    | on       | on      | 1296 | 0.07010 | -0.38   | 0.15 | 3121 | 297 | 50 |
| 1296 | 683       | 120    | 60     | 0.82   | 0.050   | on    | on     | 0.142    | on       | on      | 5904 | 0.06999 | 0.29    | 0.19 | 2739 | 314 | 50 |
| 1297 | 1520      | 100    | 80     | 0.84   | 0.054   | on    | on     | 0.132    | on       | on      | 6720 | 0.06999 | 0.29    | 0.19 | 2739 | 314 | 50 |
| 1298 | 1198      | 140    | 40     | 0.80   | 0.036   | on    | on     | 0.024    | on       | on      | 4480 | 0.06932 | 0.29    | 0.19 | 2738 | 314 | 50 |
| 1299 | 893       | 100    | 40     | 0.85   | 0.038   | on    | on     | 0.172    | on       | on      | 3400 | 0.06910 | 0.36    | 0.21 | 3242 | 286 | 50 |
| 1300 | 1335      | 60     | 80     | 0.72   | 0.051   | on    | on     | 0.136    | on       | on      | 3456 | 0.06897 | 0.39    | 0.16 | 2792 | 309 | 50 |
| 1301 | 120       | 120    | 60     | 0.79   | 0.039   | on    | on     | 0.126    | on       | on      | 5688 | 0.06897 | 0.39    | 0.16 | 2792 | 309 | 50 |
| 1302 | 1746      | 40     | 60     | 0.79   | 0.015   | on    | on     | 0.151    | on       | on      | 1896 | 0.06869 | 0.30    | 0.19 | 2737 | 314 | 50 |
| 1303 | 356       | 60     | 80     | 0.71   | 0.034   | on    | on     | 0.174    | on       | on      | 3408 | 0.06812 | -0.36   | 0.21 | 2780 | 314 | 50 |
| 1304 | 144       | 80     | 60     | 0.78   | 0.044   | on    | on     | 0.062    | on       | on      | 3744 | 0.06764 | -0.33   | 0.21 | 2739 | 315 | 50 |
| 1305 | 210       | 140    | 80     | 0.81   | 0.009   | on    | on     | 0.200    | on       | on      | 9072 | 0.06744 | -0.33   | 0.21 | 2737 | 315 | 50 |
| 1306 | 917       | 40     | 80     | 0.84   | 0.051   | on    | on     | 0.159    | on       | on      | 2688 | 0.06583 | -0.31   | 0.19 | 3289 | 286 | 50 |
| 1307 | 1320      | 40     | 40     | 0.80   | 0.035   | on    | on     | 0.121    | on       | on      | 1280 | 0.06560 | 0.29    | 0.18 | 3046 | 294 | 50 |
| 1308 | 346       | 100    | 60     | 0.72   | 0.036   | on    | on     | 0.167    | on       | on      | 4320 | 0.06534 | 0.35    | 0.18 | 2741 | 313 | 50 |
| 1309 | 1129      | 120    | 80     | 0.73   | 0.035   | on    | on     | 0.158    | on       | on      | 7008 | 0.06438 | 0.41    | 0.16 | 2789 | 309 | 50 |
| 1310 | 794       | 60     | 60     | 0.81   | 0.007   | on    | on     | 0.139    | on       | on      | 2916 | 0.06420 | -0.37   | 0.22 | 2757 | 315 | 50 |
| 1311 | 757       | 120    | 60     | 0.85   | 0.040   | on    | on     | 0.016    | on       | on      | 6120 | 0.06400 | 0.29    | 0.19 | 3045 | 294 | 50 |
| 1312 | 1689      | 120    | 80     | 0.83   | 0.046   | on    | on     | 0.109    | on       | on      | 7968 | 0.06375 | -0.37   | 0.22 | 2758 | 315 | 50 |
| 1313 | 491       | 80     | 80     | 0.86   | 0.046   | on    | on     | 0.136    | on       | on      | 5504 | 0.06366 | 0.41    | 0.17 | 2775 | 310 | 50 |
| 1314 | 161       | 40     | 80     | 0.70   | 0.038   | on    | on     | 0.070    | on       | on      | 2240 | 0.06338 | 0.42    | 0.16 | 2817 | 307 | 50 |
| 1315 | 1094      | 120    | 40     | 0.71   | 0.039   | on    | on     | 0.100    | on       | on      | 3408 | 0.06334 | 0.31    | 0.18 | 3005 | 296 | 50 |
| 1316 | 1747      | 40     | 40     | 0.75   | 0.027   | on    | on     | 0.153    | on       | on      | 1200 | 0.06312 | 0.36    | 0.22 | 3178 | 288 | 50 |
| 1317 | 1576      | 60     | 60     | 0.84   | 0.051   | on    | on     | 0.013    | on       | on      | 3024 | 0.06277 | -0.30   | 0.21 | 2723 | 315 | 50 |
| 1318 | 1652      | 140    | 40     | 0.83   | 0.054   | on    | on     | 0.108    | on       | on      | 4648 | 0.06276 | 0.42    | 0.16 | 2802 | 308 | 50 |
| 1319 | 641       | 140    | 80     | 0.79   | 0.029   | on    | on     | 0.173    | on       | on      | 8848 | 0.06276 | 0.42    | 0.16 | 2802 | 308 | 50 |
| 1320 | 1265      | 80     | 80     | 0.86   | 0.049   | on    | on     | 0.016    | on       | on      | 5504 | 0.06235 | 0.39    | 0.16 | 2913 | 301 | 50 |

ตารางที่ ข.3 รายละเอียดของค่าพารามิเตอร์จำนวน 2,000 ชุด และผลการคำนวณย้อนกลับ (ต่อ)

| Rank | Set Index | maxgen | numpop | pcross | pjumpmu | unifm | icreep | pcreepmu | ibstmold | niching | CE   | Fitness | Max Err | RMSE | E1   | E2  | E3 |
|------|-----------|--------|--------|--------|---------|-------|--------|----------|----------|---------|------|---------|---------|------|------|-----|----|
| 1321 | 897       | 40     | 60     | 0.83   | 0.030   | on    | on     | 0.047    | on       | on      | 1992 | 0.06177 | -0.38   | 0.23 | 2762 | 315 | 50 |
| 1322 | 486       | 100    | 40     | 0.80   | 0.045   | on    | on     | 0.197    | on       | on      | 3200 | 0.06139 | -0.41   | 0.17 | 3258 | 289 | 50 |
| 1323 | 1707      | 120    | 60     | 0.70   | 0.044   | on    | on     | 0.066    | on       | on      | 5040 | 0.06031 | -0.36   | 0.22 | 2723 | 316 | 50 |
| 1324 | 1753      | 120    | 80     | 0.79   | 0.052   | on    | on     | 0.046    | on       | on      | 7584 | 0.05992 | -0.35   | 0.22 | 2719 | 316 | 50 |
| 1325 | 1692      | 100    | 40     | 0.83   | 0.044   | on    | on     | 0.164    | on       | on      | 3320 | 0.05976 | -0.38   | 0.23 | 2732 | 316 | 50 |
| 1326 | 1594      | 100    | 80     | 0.72   | 0.015   | on    | on     | 0.114    | on       | on      | 5760 | 0.05950 | -0.31   | 0.20 | 2940 | 307 | 50 |
| 1327 | 321       | 40     | 80     | 0.75   | 0.054   | on    | on     | 0.140    | on       | on      | 2400 | 0.05924 | -0.36   | 0.20 | 3299 | 286 | 50 |
| 1328 | 1217      | 60     | 80     | 0.72   | 0.041   | on    | on     | 0.190    | on       | on      | 3456 | 0.05887 | -0.34   | 0.22 | 2714 | 316 | 50 |
| 1329 | 1020      | 40     | 80     | 0.74   | 0.007   | on    | on     | 0.199    | on       | on      | 2368 | 0.05848 | -0.37   | 0.22 | 2838 | 312 | 50 |
| 1330 | 1222      | 60     | 40     | 0.76   | 0.021   | on    | on     | 0.026    | on       | on      | 1824 | 0.05818 | -0.42   | 0.18 | 3261 | 289 | 50 |
| 1331 | 1976      | 40     | 80     | 0.75   | 0.054   | on    | on     | 0.077    | on       | on      | 2400 | 0.05782 | -0.33   | 0.22 | 2709 | 316 | 50 |
| 1332 | 42        | 60     | 40     | 0.80   | 0.049   | on    | on     | 0.086    | on       | on      | 1920 | 0.05758 | 0.40    | 0.19 | 2733 | 313 | 50 |
| 1333 | 361       | 40     | 80     | 0.73   | 0.041   | on    | on     | 0.077    | on       | on      | 2336 | 0.05750 | 0.44    | 0.17 | 2784 | 309 | 50 |
| 1334 | 146       | 140    | 40     | 0.79   | 0.052   | on    | on     | 0.168    | on       | on      | 4424 | 0.05735 | -0.39   | 0.24 | 2714 | 316 | 50 |
| 1335 | 1449      | 120    | 40     | 0.72   | 0.046   | on    | on     | 0.026    | on       | on      | 3456 | 0.05679 | -0.32   | 0.20 | 2942 | 307 | 50 |
| 1336 | 315       | 80     | 80     | 0.77   | 0.032   | on    | on     | 0.171    | on       | on      | 4928 | 0.05590 | 0.36    | 0.22 | 3147 | 289 | 50 |
| 1337 | 1402      | 140    | 40     | 0.77   | 0.051   | on    | on     | 0.074    | on       | on      | 4312 | 0.05576 | 0.33    | 0.22 | 3318 | 284 | 50 |
| 1338 | 163       | 100    | 80     | 0.78   | 0.018   | on    | on     | 0.099    | on       | on      | 6240 | 0.05568 | 0.36    | 0.21 | 2711 | 315 | 50 |
| 1339 | 1722      | 40     | 60     | 0.84   | 0.019   | on    | on     | 0.128    | on       | on      | 2016 | 0.05520 | -0.41   | 0.24 | 2773 | 315 | 50 |
| 1340 | 723       | 40     | 80     | 0.84   | 0.007   | on    | on     | 0.043    | on       | on      | 2688 | 0.05456 | -0.41   | 0.24 | 2774 | 315 | 50 |
| 1341 | 538       | 40     | 80     | 0.72   | 0.041   | on    | on     | 0.036    | on       | on      | 2304 | 0.05436 | -0.40   | 0.24 | 2798 | 314 | 50 |
| 1342 | 375       | 40     | 80     | 0.87   | 0.024   | on    | on     | 0.036    | on       | on      | 2784 | 0.05396 | -0.37   | 0.18 | 3040 | 302 | 50 |
| 1343 | 1699      | 120    | 60     | 0.82   | 0.054   | on    | on     | 0.026    | on       | on      | 5904 | 0.05391 | 0.34    | 0.21 | 3079 | 292 | 50 |
| 1344 | 1600      | 40     | 40     | 0.80   | 0.026   | on    | on     | 0.120    | on       | on      | 1280 | 0.05385 | 0.40    | 0.24 | 3219 | 286 | 50 |
| 1345 | 1805      | 40     | 80     | 0.81   | 0.026   | on    | on     | 0.079    | on       | on      | 2592 | 0.05205 | -0.34   | 0.22 | 3329 | 284 | 50 |
| 1346 | 1483      | 40     | 60     | 0.81   | 0.037   | on    | on     | 0.061    | on       | on      | 1944 | 0.05096 | 0.42    | 0.25 | 3242 | 285 | 50 |
| 1347 | 838       | 80     | 40     | 0.70   | 0.039   | on    | on     | 0.121    | on       | on      | 2240 | 0.05076 | 0.38    | 0.24 | 3165 | 288 | 50 |
| 1348 | 393       | 140    | 80     | 0.83   | 0.049   | on    | on     | 0.082    | on       | on      | 9296 | 0.05000 | -0.37   | 0.22 | 3334 | 284 | 50 |
| 1349 | 1472      | 40     | 40     | 0.75   | 0.034   | on    | on     | 0.122    | on       | on      | 1200 | 0.04986 | 0.47    | 0.18 | 2838 | 305 | 50 |
| 1350 | 809       | 60     | 80     | 0.84   | 0.049   | on    | on     | 0.155    | on       | on      | 4032 | 0.04931 | 0.34    | 0.23 | 2686 | 317 | 50 |
| 1351 | 436       | 140    | 80     | 0.77   | 0.030   | on    | on     | 0.079    | on       | on      | 8624 | 0.04890 | -0.03   | 0.02 | 2983 | 301 | 50 |
| 1352 | 24        | 60     | 60     | 0.71   | 0.054   | on    | on     | 0.174    | on       | on      | 2556 | 0.04873 | 0.35    | 0.24 | 3342 | 283 | 50 |
| 1353 | 1586      | 40     | 80     | 0.70   | 0.009   | on    | on     | 0.157    | on       | on      | 2240 | 0.04869 | -0.40   | 0.25 | 2689 | 318 | 50 |
| 1354 | 535       | 80     | 40     | 0.76   | 0.044   | on    | on     | 0.129    | on       | on      | 2432 | 0.04862 | -0.39   | 0.25 | 2688 | 318 | 50 |
| 1355 | 63        | 80     | 80     | 0.86   | 0.040   | on    | on     | 0.160    | on       | on      | 5504 | 0.04819 | -0.42   | 0.26 | 2701 | 318 | 50 |
| 1356 | 1496      | 40     | 80     | 0.74   | 0.040   | on    | on     | 0.140    | on       | on      | 2368 | 0.04813 | 0.46    | 0.18 | 2869 | 303 | 50 |
| 1357 | 647       | 120    | 80     | 0.82   | 0.043   | on    | on     | 0.048    | on       | on      | 7872 | 0.04766 | 0.42    | 0.25 | 3210 | 286 | 50 |
| 1358 | 1546      | 100    | 40     | 0.70   | 0.037   | on    | on     | 0.190    | on       | on      | 2800 | 0.04756 | 0.48    | 0.18 | 2836 | 305 | 50 |
| 1359 | 1337      | 40     | 60     | 0.75   | 0.046   | on    | on     | 0.123    | on       | on      | 1800 | 0.04680 | 0.38    | 0.23 | 2680 | 317 | 50 |
| 1360 | 526       | 120    | 80     | 0.77   | 0.053   | on    | on     | 0.067    | on       | on      | 7392 | 0.04600 | 0.41    | 0.26 | 3342 | 282 | 50 |



ตารางที่ ข.3 รายละเอียดของค่าพารามิเตอร์จำนวน 2,000 ชุด และผลการคำนวณย้อนกลับ (ต่อ)

| Rank | Set Index | maxgen | numpop | pcross | pjumpmu | unifm | icreep | pcreepmu | ibstmold | niching | CE   | Fitness | Max Err | RMSE | E1   | E2  | E3 |
|------|-----------|--------|--------|--------|---------|-------|--------|----------|----------|---------|------|---------|---------|------|------|-----|----|
| 1361 | 20        | 100    | 60     | 0.70   | 0.053   | on    | on     | 0.172    | on       | on      | 4200 | 0.04598 | -0.41   | 0.23 | 3343 | 284 | 50 |
| 1362 | 1419      | 140    | 40     | 0.70   | 0.049   | on    | on     | 0.032    | on       | on      | 3920 | 0.04594 | 0.40    | 0.26 | 3345 | 282 | 50 |
| 1363 | 617       | 60     | 40     | 0.83   | 0.052   | on    | on     | 0.056    | on       | on      | 1992 | 0.04583 | 0.40    | 0.25 | 3159 | 288 | 50 |
| 1364 | 1125      | 140    | 60     | 0.71   | 0.051   | on    | on     | 0.165    | on       | on      | 5964 | 0.04569 | 0.39    | 0.25 | 3349 | 282 | 50 |
| 1365 | 45        | 120    | 40     | 0.85   | 0.029   | on    | on     | 0.062    | on       | on      | 4080 | 0.04554 | -0.45   | 0.27 | 2713 | 318 | 50 |
| 1366 | 1491      | 40     | 60     | 0.79   | 0.044   | on    | on     | 0.053    | on       | on      | 1896 | 0.04552 | -0.36   | 0.24 | 2672 | 318 | 50 |
| 1367 | 618       | 80     | 40     | 0.74   | 0.048   | on    | on     | 0.095    | on       | on      | 2368 | 0.04539 | 0.39    | 0.25 | 3352 | 282 | 50 |
| 1368 | 755       | 100    | 60     | 0.76   | 0.026   | on    | on     | 0.121    | on       | on      | 4560 | 0.04521 | -0.36   | 0.24 | 2671 | 318 | 50 |
| 1369 | 430       | 120    | 60     | 0.84   | 0.054   | on    | on     | 0.187    | on       | on      | 6048 | 0.04416 | -0.42   | 0.26 | 2673 | 319 | 50 |
| 1370 | 328       | 80     | 60     | 0.74   | 0.040   | on    | on     | 0.192    | on       | on      | 3552 | 0.04413 | -0.46   | 0.22 | 3335 | 285 | 50 |
| 1371 | 1350      | 40     | 80     | 0.72   | 0.048   | on    | on     | 0.059    | on       | on      | 2304 | 0.04411 | -0.42   | 0.25 | 2833 | 313 | 50 |
| 1372 | 82        | 40     | 60     | 0.75   | 0.020   | on    | on     | 0.036    | on       | on      | 1800 | 0.04389 | 0.37    | 0.25 | 2667 | 318 | 50 |
| 1373 | 765       | 120    | 60     | 0.75   | 0.006   | on    | on     | 0.045    | on       | on      | 5400 | 0.04357 | -0.39   | 0.24 | 2895 | 310 | 50 |
| 1374 | 385       | 40     | 60     | 0.83   | 0.021   | on    | on     | 0.094    | on       | on      | 1992 | 0.04319 | -0.44   | 0.23 | 3349 | 284 | 50 |
| 1375 | 793       | 80     | 80     | 0.77   | 0.048   | on    | on     | 0.101    | on       | on      | 4928 | 0.04273 | -0.45   | 0.23 | 3350 | 284 | 50 |
| 1376 | 622       | 120    | 80     | 0.71   | 0.038   | on    | on     | 0.149    | on       | on      | 6816 | 0.04245 | -0.39   | 0.26 | 2660 | 319 | 50 |
| 1377 | 625       | 80     | 60     | 0.77   | 0.041   | on    | on     | 0.181    | on       | on      | 3696 | 0.04234 | 0.36    | 0.23 | 3047 | 293 | 50 |
| 1378 | 1338      | 40     | 60     | 0.85   | 0.047   | on    | on     | 0.010    | on       | on      | 2040 | 0.04231 | 0.51    | 0.21 | 2728 | 312 | 50 |
| 1379 | 783       | 80     | 60     | 0.71   | 0.040   | on    | on     | 0.160    | on       | on      | 3408 | 0.04210 | -0.49   | 0.21 | 3325 | 286 | 50 |
| 1380 | 1435      | 60     | 80     | 0.76   | 0.038   | on    | on     | 0.038    | on       | on      | 3648 | 0.04187 | -0.38   | 0.25 | 3370 | 282 | 50 |
| 1381 | 1742      | 60     | 60     | 0.83   | 0.046   | on    | on     | 0.101    | on       | on      | 2988 | 0.04178 | -0.38   | 0.26 | 2657 | 319 | 50 |
| 1382 | 1615      | 100    | 40     | 0.70   | 0.053   | on    | on     | 0.109    | on       | on      | 2800 | 0.04168 | 0.41    | 0.25 | 2661 | 318 | 50 |
| 1383 | 992       | 120    | 80     | 0.72   | 0.053   | on    | on     | 0.083    | on       | on      | 6912 | 0.04161 | -0.47   | 0.28 | 2749 | 317 | 50 |
| 1384 | 550       | 140    | 40     | 0.83   | 0.048   | on    | on     | 0.170    | on       | on      | 4648 | 0.04129 | 0.43    | 0.27 | 3364 | 281 | 50 |
| 1385 | 1638      | 120    | 80     | 0.77   | 0.036   | on    | on     | 0.177    | on       | on      | 7392 | 0.04128 | -0.38   | 0.26 | 2655 | 319 | 50 |
| 1386 | 1364      | 100    | 40     | 0.82   | 0.019   | on    | on     | 0.184    | on       | on      | 3280 | 0.04107 | 0.11    | 0.07 | 3091 | 295 | 50 |
| 1387 | 1382      | 140    | 80     | 0.86   | 0.011   | on    | on     | 0.078    | on       | on      | 9632 | 0.04072 | 0.41    | 0.27 | 3373 | 281 | 50 |
| 1388 | 48        | 120    | 60     | 0.79   | 0.015   | on    | on     | 0.162    | on       | on      | 5688 | 0.04064 | 0.46    | 0.20 | 3349 | 281 | 50 |
| 1389 | 753       | 120    | 40     | 0.84   | 0.028   | on    | on     | 0.030    | on       | on      | 4032 | 0.04040 | 0.46    | 0.28 | 3347 | 281 | 50 |
| 1390 | 211       | 100    | 80     | 0.78   | 0.043   | on    | on     | 0.054    | on       | on      | 6240 | 0.04025 | -0.44   | 0.28 | 2658 | 320 | 50 |
| 1391 | 562       | 60     | 80     | 0.73   | 0.047   | on    | on     | 0.136    | on       | on      | 3504 | 0.04022 | -0.44   | 0.28 | 2657 | 320 | 50 |
| 1392 | 1731      | 80     | 60     | 0.78   | 0.032   | on    | on     | 0.083    | on       | on      | 3744 | 0.04017 | -0.44   | 0.27 | 2656 | 320 | 50 |
| 1393 | 531       | 100    | 80     | 0.77   | 0.028   | on    | on     | 0.076    | on       | on      | 6160 | 0.03949 | 0.56    | 0.23 | 2404 | 313 | 50 |
| 1394 | 1315      | 40     | 40     | 0.82   | 0.047   | on    | on     | 0.078    | on       | on      | 1312 | 0.03947 | -0.47   | 0.21 | 3091 | 300 | 50 |
| 1395 | 1897      | 40     | 60     | 0.81   | 0.046   | on    | on     | 0.070    | on       | on      | 1944 | 0.03933 | 0.39    | 0.27 | 3383 | 281 | 50 |
| 1396 | 1494      | 100    | 40     | 0.82   | 0.051   | on    | on     | 0.186    | on       | on      | 3280 | 0.03928 | -0.42   | 0.27 | 2647 | 320 | 50 |
| 1397 | 1903      | 60     | 60     | 0.86   | 0.048   | on    | on     | 0.057    | on       | on      | 3096 | 0.03878 | 0.38    | 0.27 | 3386 | 281 | 50 |
| 1398 | 1150      | 40     | 80     | 0.80   | 0.019   | on    | on     | 0.125    | on       | on      | 2560 | 0.03773 | 0.55    | 0.20 | 2779 | 308 | 50 |
| 1399 | 1712      | 60     | 40     | 0.74   | 0.042   | on    | on     | 0.122    | on       | on      | 1776 | 0.03765 | -0.50   | 0.29 | 2710 | 319 | 50 |
| 1400 | 1438      | 40     | 80     | 0.76   | 0.031   | on    | on     | 0.108    | on       | on      | 2432 | 0.03752 | 0.38    | 0.24 | 3041 | 293 | 50 |

ตารางที่ ข.3 รายละเอียดของค่าพารามิเตอร์จำนวน 2,000 ชุด และผลการคำนวณย้อนกลับ (ต่อ)

| Rank | Set Index | maxgen | numpop | pcross | pjumpmu | unifm | icreep | pcreepmu | ibstmold | niching | CE   | Fitness | Max Err | RMSE | E1   | E2  | E3 |
|------|-----------|--------|--------|--------|---------|-------|--------|----------|----------|---------|------|---------|---------|------|------|-----|----|
| 1401 | 812       | 100    | 40     | 0.74   | 0.047   | on    | on     | 0.074    | on       | on      | 2960 | 0.03729 | 0.46    | 0.29 | 3381 | 280 | 50 |
| 1402 | 1526      | 120    | 40     | 0.76   | 0.050   | on    | on     | 0.065    | on       | on      | 3648 | 0.03713 | 0.47    | 0.29 | 3375 | 280 | 50 |
| 1403 | 387       | 100    | 60     | 0.80   | 0.022   | on    | on     | 0.170    | on       | on      | 4800 | 0.03713 | 0.44    | 0.28 | 3388 | 280 | 50 |
| 1404 | 434       | 140    | 40     | 0.83   | 0.039   | on    | on     | 0.189    | on       | on      | 4648 | 0.03706 | -0.50   | 0.30 | 2685 | 320 | 50 |
| 1405 | 522       | 100    | 80     | 0.76   | 0.046   | on    | on     | 0.125    | on       | on      | 6080 | 0.03679 | 0.50    | 0.30 | 3328 | 281 | 50 |
| 1406 | 1828      | 100    | 80     | 0.70   | 0.048   | on    | on     | 0.168    | on       | on      | 5600 | 0.03675 | -0.46   | 0.29 | 2640 | 321 | 50 |
| 1407 | 1568      | 40     | 60     | 0.85   | 0.032   | on    | on     | 0.045    | on       | on      | 2040 | 0.03665 | -0.45   | 0.29 | 2638 | 321 | 50 |
| 1408 | 537       | 120    | 80     | 0.87   | 0.052   | on    | on     | 0.042    | on       | on      | 8352 | 0.03630 | -0.56   | 0.21 | 3255 | 291 | 50 |
| 1409 | 1830      | 80     | 40     | 0.86   | 0.027   | on    | on     | 0.139    | on       | on      | 2752 | 0.03625 | -0.25   | 0.07 | 3102 | 295 | 50 |
| 1410 | 547       | 80     | 60     | 0.73   | 0.041   | on    | on     | 0.031    | on       | on      | 3504 | 0.03622 | -0.44   | 0.29 | 2633 | 321 | 50 |
| 1411 | 1228      | 40     | 80     | 0.70   | 0.023   | on    | on     | 0.127    | on       | on      | 2240 | 0.03621 | 0.42    | 0.28 | 3399 | 280 | 50 |
| 1412 | 23        | 60     | 60     | 0.82   | 0.054   | on    | on     | 0.111    | on       | on      | 2952 | 0.03609 | -0.43   | 0.27 | 3398 | 281 | 50 |
| 1413 | 1814      | 60     | 80     | 0.78   | 0.027   | on    | on     | 0.055    | on       | on      | 3744 | 0.03573 | -0.43   | 0.28 | 2629 | 321 | 50 |
| 1414 | 1757      | 100    | 40     | 0.82   | 0.031   | on    | on     | 0.188    | on       | on      | 3280 | 0.03531 | -0.48   | 0.02 | 3078 | 301 | 50 |
| 1415 | 1664      | 40     | 60     | 0.72   | 0.012   | on    | on     | 0.176    | on       | on      | 1728 | 0.03526 | -0.51   | 0.30 | 2717 | 319 | 50 |
| 1416 | 200       | 80     | 60     | 0.70   | 0.052   | on    | on     | 0.124    | on       | on      | 3360 | 0.03417 | -0.57   | 0.21 | 3224 | 293 | 50 |
| 1417 | 1684      | 100    | 60     | 0.81   | 0.027   | on    | on     | 0.137    | on       | on      | 4860 | 0.03383 | -0.49   | 0.30 | 2628 | 322 | 50 |
| 1418 | 1411      | 100    | 60     | 0.86   | 0.018   | on    | on     | 0.113    | on       | on      | 5160 | 0.03383 | -0.49   | 0.30 | 2629 | 322 | 50 |
| 1419 | 1987      | 80     | 40     | 0.82   | 0.025   | on    | on     | 0.106    | on       | on      | 2624 | 0.03382 | 0.46    | 0.27 | 2624 | 320 | 50 |
| 1420 | 515       | 100    | 80     | 0.70   | 0.018   | on    | on     | 0.049    | on       | on      | 5600 | 0.03382 | -0.49   | 0.30 | 2630 | 322 | 50 |
| 1421 | 759       | 140    | 80     | 0.78   | 0.011   | on    | on     | 0.030    | on       | on      | 8736 | 0.03381 | -0.49   | 0.30 | 2631 | 322 | 50 |
| 1422 | 527       | 80     | 60     | 0.82   | 0.012   | on    | on     | 0.070    | on       | on      | 3936 | 0.03378 | -0.49   | 0.30 | 2632 | 322 | 50 |
| 1423 | 1403      | 100    | 80     | 0.75   | 0.017   | on    | on     | 0.157    | on       | on      | 6000 | 0.03375 | -0.50   | 0.31 | 2633 | 322 | 50 |
| 1424 | 1213      | 80     | 60     | 0.82   | 0.040   | on    | on     | 0.041    | on       | on      | 3936 | 0.03371 | -0.47   | 0.30 | 2623 | 322 | 50 |
| 1425 | 58        | 40     | 80     | 0.71   | 0.031   | on    | on     | 0.178    | on       | on      | 2272 | 0.03352 | 0.47    | 0.27 | 2623 | 320 | 50 |
| 1426 | 962       | 40     | 80     | 0.75   | 0.042   | on    | on     | 0.178    | on       | on      | 2400 | 0.03320 | -0.51   | 0.31 | 2641 | 322 | 50 |
| 1427 | 1391      | 80     | 80     | 0.72   | 0.019   | on    | on     | 0.193    | on       | on      | 4608 | 0.03286 | -0.45   | 0.30 | 2613 | 322 | 50 |
| 1428 | 1252      | 120    | 60     | 0.82   | 0.051   | on    | on     | 0.010    | on       | on      | 5904 | 0.03275 | -0.52   | 0.31 | 2645 | 322 | 50 |
| 1429 | 975       | 60     | 40     | 0.74   | 0.020   | on    | on     | 0.098    | on       | on      | 1776 | 0.03274 | -0.45   | 0.30 | 2612 | 322 | 50 |
| 1430 | 307       | 100    | 60     | 0.82   | 0.041   | on    | on     | 0.168    | on       | on      | 4920 | 0.03274 | -0.45   | 0.30 | 2612 | 322 | 50 |
| 1431 | 1592      | 60     | 40     | 0.84   | 0.030   | on    | on     | 0.189    | on       | on      | 2016 | 0.03246 | -0.45   | 0.30 | 2610 | 322 | 50 |
| 1432 | 1499      | 80     | 60     | 0.80   | 0.030   | on    | on     | 0.115    | on       | on      | 3840 | 0.03240 | -0.49   | 0.30 | 2811 | 315 | 50 |
| 1433 | 1611      | 120    | 80     | 0.86   | 0.011   | on    | on     | 0.054    | on       | on      | 8256 | 0.03201 | -0.44   | 0.30 | 2607 | 322 | 50 |
| 1434 | 619       | 140    | 60     | 0.70   | 0.045   | on    | on     | 0.065    | on       | on      | 5880 | 0.03197 | 0.53    | 0.32 | 3310 | 281 | 50 |
| 1435 | 372       | 40     | 40     | 0.85   | 0.019   | on    | on     | 0.123    | on       | on      | 1360 | 0.03179 | 0.54    | 0.26 | 2637 | 318 | 50 |
| 1436 | 588       | 40     | 60     | 0.75   | 0.053   | on    | on     | 0.133    | on       | on      | 1800 | 0.03172 | 0.56    | 0.25 | 2648 | 317 | 50 |
| 1437 | 990       | 40     | 80     | 0.72   | 0.048   | on    | on     | 0.144    | on       | on      | 2304 | 0.03167 | -0.44   | 0.30 | 2605 | 322 | 50 |
| 1438 | 1039      | 80     | 80     | 0.84   | 0.036   | on    | on     | 0.144    | on       | on      | 5376 | 0.03166 | 0.53    | 0.32 | 3374 | 279 | 50 |
| 1439 | 1623      | 140    | 40     | 0.79   | 0.043   | on    | on     | 0.014    | on       | on      | 4424 | 0.03119 | -0.51   | 0.32 | 2613 | 323 | 50 |
| 1440 | 772       | 80     | 80     | 0.83   | 0.049   | on    | on     | 0.085    | on       | on      | 5312 | 0.03119 | -0.51   | 0.32 | 2613 | 323 | 50 |

ตารางที่ ข.3 รายละเอียดของค่าพารามิเตอร์จำนวน 2,000 ชุด และผลการคำนวณย้อนกลับ (ต่อ)

| Rank | Set Index | maxgen | numpop | pcross | pjumpmu | unifm | icreep | pcreepmu | ibstmold | niching | CE   | Fitness | Max Err | RMSE | E1   | E2  | E3 |
|------|-----------|--------|--------|--------|---------|-------|--------|----------|----------|---------|------|---------|---------|------|------|-----|----|
| 1441 | 1847      | 80     | 80     | 0.72   | 0.008   | on    | on     | 0.191    | on       | on      | 4608 | 0.03118 | -0.51   | 0.32 | 2612 | 323 | 50 |
| 1442 | 374       | 60     | 80     | 0.74   | 0.033   | on    | on     | 0.200    | on       | on      | 3552 | 0.03113 | -0.50   | 0.31 | 2609 | 323 | 50 |
| 1443 | 590       | 60     | 40     | 0.75   | 0.026   | on    | on     | 0.129    | on       | on      | 1800 | 0.03108 | -0.58   | 0.23 | 3194 | 295 | 50 |
| 1444 | 1779      | 100    | 80     | 0.85   | 0.009   | on    | on     | 0.198    | on       | on      | 6800 | 0.03107 | -0.49   | 0.31 | 2607 | 323 | 50 |
| 1445 | 1359      | 140    | 80     | 0.77   | 0.038   | on    | on     | 0.128    | on       | on      | 8624 | 0.03107 | -0.49   | 0.31 | 2607 | 323 | 50 |
| 1446 | 514       | 120    | 60     | 0.84   | 0.044   | on    | on     | 0.070    | on       | on      | 6048 | 0.03100 | -0.52   | 0.32 | 2620 | 323 | 50 |
| 1447 | 565       | 140    | 60     | 0.75   | 0.050   | on    | on     | 0.120    | on       | on      | 6300 | 0.03100 | -0.52   | 0.32 | 2620 | 323 | 50 |
| 1448 | 1326      | 120    | 40     | 0.76   | 0.006   | on    | on     | 0.192    | on       | on      | 3648 | 0.03097 | -0.49   | 0.31 | 2605 | 323 | 50 |
| 1449 | 863       | 100    | 60     | 0.71   | 0.009   | on    | on     | 0.160    | on       | on      | 4260 | 0.03092 | -0.49   | 0.31 | 2604 | 323 | 50 |
| 1450 | 190       | 60     | 60     | 0.77   | 0.043   | on    | on     | 0.154    | on       | on      | 2772 | 0.03085 | -0.49   | 0.31 | 2603 | 323 | 50 |
| 1451 | 1588      | 60     | 60     | 0.82   | 0.052   | on    | on     | 0.099    | on       | on      | 2952 | 0.03078 | -0.48   | 0.31 | 2602 | 323 | 50 |
| 1452 | 1257      | 60     | 40     | 0.73   | 0.052   | on    | on     | 0.153    | on       | on      | 1752 | 0.03075 | -0.53   | 0.32 | 2624 | 323 | 50 |
| 1453 | 1479      | 100    | 40     | 0.70   | 0.053   | on    | on     | 0.029    | on       | on      | 2800 | 0.03058 | 0.52    | 0.32 | 3413 | 278 | 50 |
| 1454 | 666       | 80     | 60     | 0.74   | 0.047   | on    | on     | 0.140    | on       | on      | 3552 | 0.03052 | -0.48   | 0.31 | 2599 | 323 | 50 |
| 1455 | 1394      | 40     | 60     | 0.83   | 0.036   | on    | on     | 0.185    | on       | on      | 1992 | 0.03043 | -0.48   | 0.31 | 2598 | 323 | 50 |
| 1456 | 1446      | 60     | 60     | 0.75   | 0.047   | on    | on     | 0.131    | on       | on      | 2700 | 0.03021 | -0.47   | 0.31 | 2596 | 323 | 50 |
| 1457 | 1679      | 40     | 80     | 0.85   | 0.029   | on    | on     | 0.099    | on       | on      | 2720 | 0.02994 | -0.50   | 0.35 | 2536 | 326 | 50 |
| 1458 | 1407      | 100    | 60     | 0.85   | 0.013   | on    | on     | 0.136    | on       | on      | 5100 | 0.02992 | 0.46    | 0.30 | 2596 | 322 | 50 |
| 1459 | 323       | 60     | 60     | 0.77   | 0.037   | on    | on     | 0.095    | on       | on      | 2772 | 0.02983 | 0.47    | 0.31 | 3442 | 278 | 50 |
| 1460 | 913       | 60     | 60     | 0.84   | 0.040   | on    | on     | 0.104    | on       | on      | 3024 | 0.02980 | 0.62    | 0.23 | 2737 | 310 | 50 |
| 1461 | 1165      | 40     | 80     | 0.75   | 0.006   | on    | on     | 0.031    | on       | on      | 2400 | 0.02887 | -0.49   | 0.30 | 3446 | 279 | 50 |
| 1462 | 1547      | 60     | 60     | 0.80   | 0.039   | on    | on     | 0.037    | on       | on      | 2880 | 0.02881 | -0.52   | 0.33 | 2594 | 324 | 50 |
| 1463 | 1833      | 120    | 60     | 0.79   | 0.014   | on    | on     | 0.125    | on       | on      | 5688 | 0.02879 | -0.52   | 0.33 | 2593 | 324 | 50 |
| 1464 | 965       | 80     | 80     | 0.79   | 0.041   | on    | on     | 0.160    | on       | on      | 5056 | 0.02873 | 0.55    | 0.33 | 3272 | 282 | 50 |
| 1465 | 956       | 40     | 60     | 0.74   | 0.026   | on    | on     | 0.147    | on       | on      | 1776 | 0.02861 | 0.63    | 0.24 | 2706 | 312 | 50 |
| 1466 | 1292      | 60     | 40     | 0.82   | 0.044   | on    | on     | 0.015    | on       | on      | 1968 | 0.02850 | -0.50   | 0.30 | 3448 | 279 | 50 |
| 1467 | 1102      | 140    | 40     | 0.76   | 0.051   | on    | on     | 0.187    | on       | on      | 4256 | 0.02835 | 0.50    | 0.30 | 2589 | 322 | 50 |
| 1468 | 312       | 40     | 40     | 0.82   | 0.044   | on    | on     | 0.150    | on       | on      | 1312 | 0.02791 | -0.52   | 0.30 | 3451 | 279 | 50 |
| 1469 | 1501      | 60     | 60     | 0.80   | 0.017   | on    | on     | 0.189    | on       | on      | 2880 | 0.02781 | -0.58   | 0.35 | 2622 | 324 | 50 |
| 1470 | 910       | 140    | 80     | 0.76   | 0.045   | on    | on     | 0.022    | on       | on      | 8512 | 0.02779 | -0.58   | 0.34 | 2671 | 322 | 50 |
| 1471 | 351       | 60     | 40     | 0.77   | 0.044   | on    | on     | 0.105    | on       | on      | 1848 | 0.02765 | -0.48   | 0.30 | 2901 | 311 | 50 |
| 1472 | 205       | 80     | 60     | 0.79   | 0.052   | on    | on     | 0.068    | on       | on      | 3792 | 0.02757 | 0.48    | 0.31 | 2579 | 323 | 50 |
| 1473 | 828       | 120    | 40     | 0.82   | 0.006   | on    | on     | 0.071    | on       | on      | 3936 | 0.02756 | -0.58   | 0.34 | 2672 | 322 | 50 |
| 1474 | 1267      | 60     | 60     | 0.85   | 0.042   | on    | on     | 0.158    | on       | on      | 3060 | 0.02728 | -0.48   | 0.32 | 2574 | 324 | 50 |
| 1475 | 1739      | 40     | 60     | 0.87   | 0.030   | on    | on     | 0.184    | on       | on      | 2088 | 0.02721 | -0.58   | 0.25 | 3129 | 299 | 50 |
| 1476 | 1281      | 100    | 60     | 0.80   | 0.014   | on    | on     | 0.035    | on       | on      | 4800 | 0.02699 | -0.59   | 0.35 | 2650 | 323 | 50 |
| 1477 | 1666      | 100    | 60     | 0.85   | 0.018   | on    | on     | 0.108    | on       | on      | 5100 | 0.02673 | -0.56   | 0.34 | 2585 | 325 | 50 |
| 1478 | 511       | 80     | 40     | 0.72   | 0.031   | on    | on     | 0.095    | on       | on      | 2304 | 0.02664 | 0.64    | 0.26 | 2648 | 316 | 50 |
| 1479 | 1919      | 60     | 80     | 0.73   | 0.048   | on    | on     | 0.043    | on       | on      | 3504 | 0.02652 | -0.53   | 0.34 | 2572 | 325 | 50 |
| 1480 | 168       | 40     | 80     | 0.80   | 0.034   | on    | on     | 0.037    | on       | on      | 2560 | 0.02637 | -0.57   | 0.34 | 2743 | 319 | 50 |

ตารางที่ ข.3 รายละเอียดของค่าพารามิเตอร์จำนวน 2,000 ชุด และผลการคำนวณย้อนกลับ (ต่อ)

| Rank | Set Index | maxgen | numpop | pcross | pjumpmu | unifm | icreep | pcreepmu | ibstmold | niching | CE   | Fitness | Max Err | RMSE | E1   | E2  | E3 |
|------|-----------|--------|--------|--------|---------|-------|--------|----------|----------|---------|------|---------|---------|------|------|-----|----|
| 1481 | 1856      | 100    | 60     | 0.70   | 0.052   | on    | on     | 0.156    | on       | on      | 4200 | 0.02630 | -0.59   | 0.25 | 3131 | 299 | 50 |
| 1482 | 1804      | 40     | 80     | 0.81   | 0.015   | on    | on     | 0.142    | on       | on      | 2592 | 0.02620 | 0.52    | 0.34 | 2567 | 325 | 50 |
| 1483 | 1063      | 80     | 80     | 0.81   | 0.010   | on    | on     | 0.199    | on       | on      | 5184 | 0.02596 | -0.51   | 0.34 | 2564 | 325 | 50 |
| 1484 | 1907      | 40     | 80     | 0.87   | 0.044   | on    | on     | 0.044    | on       | on      | 2784 | 0.02580 | 0.55    | 0.35 | 3464 | 276 | 50 |
| 1485 | 1298      | 80     | 80     | 0.84   | 0.031   | on    | on     | 0.071    | on       | on      | 5376 | 0.02580 | -0.47   | 0.30 | 2944 | 309 | 50 |
| 1486 | 635       | 60     | 60     | 0.70   | 0.048   | on    | on     | 0.154    | on       | on      | 2520 | 0.02576 | 0.54    | 0.35 | 3468 | 276 | 50 |
| 1487 | 1303      | 40     | 60     | 0.84   | 0.045   | on    | on     | 0.090    | on       | on      | 2016 | 0.02563 | 0.57    | 0.35 | 3453 | 276 | 50 |
| 1488 | 927       | 120    | 60     | 0.77   | 0.009   | on    | on     | 0.047    | on       | on      | 5544 | 0.02490 | -0.57   | 0.36 | 2567 | 326 | 50 |
| 1489 | 576       | 100    | 80     | 0.80   | 0.010   | on    | on     | 0.028    | on       | on      | 6400 | 0.02490 | -0.57   | 0.35 | 2565 | 326 | 50 |
| 1490 | 785       | 80     | 60     | 0.86   | 0.007   | on    | on     | 0.019    | on       | on      | 4128 | 0.02489 | -0.56   | 0.35 | 2564 | 326 | 50 |
| 1491 | 1823      | 140    | 80     | 0.71   | 0.042   | on    | on     | 0.175    | on       | on      | 7952 | 0.02489 | -0.56   | 0.35 | 2564 | 326 | 50 |
| 1492 | 1558      | 120    | 40     | 0.76   | 0.032   | on    | on     | 0.110    | on       | on      | 3648 | 0.02488 | -0.53   | 0.35 | 2457 | 326 | 50 |
| 1493 | 1564      | 120    | 60     | 0.84   | 0.023   | on    | on     | 0.083    | on       | on      | 6048 | 0.02488 | -0.53   | 0.35 | 2547 | 326 | 50 |
| 1494 | 621       | 60     | 60     | 0.83   | 0.007   | on    | on     | 0.076    | on       | on      | 2988 | 0.02482 | -0.58   | 0.36 | 2572 | 326 | 50 |
| 1495 | 729       | 60     | 80     | 0.78   | 0.032   | on    | on     | 0.013    | on       | on      | 3744 | 0.02471 | -0.55   | 0.35 | 2557 | 326 | 50 |
| 1496 | 1130      | 40     | 40     | 0.79   | 0.033   | on    | on     | 0.196    | on       | on      | 1264 | 0.02460 | -0.61   | 0.26 | 3135 | 299 | 50 |
| 1497 | 1470      | 40     | 80     | 0.77   | 0.010   | on    | on     | 0.038    | on       | on      | 2464 | 0.02460 | 0.53    | 0.28 | 2979 | 295 | 50 |
| 1498 | 1297      | 60     | 40     | 0.85   | 0.048   | on    | on     | 0.190    | on       | on      | 2040 | 0.02452 | -0.60   | 0.36 | 2579 | 326 | 50 |
| 1499 | 1502      | 40     | 40     | 0.85   | 0.030   | on    | on     | 0.092    | on       | on      | 1360 | 0.02446 | -0.60   | 0.36 | 2580 | 326 | 50 |
| 1500 | 448       | 80     | 40     | 0.79   | 0.008   | on    | on     | 0.038    | on       | on      | 2528 | 0.02446 | -0.60   | 0.36 | 2580 | 326 | 50 |
| 1501 | 1672      | 80     | 60     | 0.80   | 0.014   | on    | on     | 0.081    | on       | on      | 3840 | 0.02446 | -0.60   | 0.36 | 2580 | 326 | 50 |
| 1502 | 452       | 100    | 80     | 0.77   | 0.011   | on    | on     | 0.043    | on       | on      | 6160 | 0.02446 | -0.60   | 0.36 | 2580 | 326 | 50 |
| 1503 | 1454      | 100    | 40     | 0.76   | 0.012   | on    | on     | 0.025    | on       | on      | 3040 | 0.02445 | -0.45   | 0.35 | 2552 | 326 | 50 |
| 1504 | 1661      | 140    | 60     | 0.76   | 0.024   | on    | on     | 0.052    | on       | on      | 6384 | 0.02445 | -0.54   | 0.35 | 2552 | 326 | 50 |
| 1505 | 411       | 120    | 80     | 0.87   | 0.019   | on    | on     | 0.112    | on       | on      | 8352 | 0.02432 | 0.50    | 0.33 | 2550 | 325 | 50 |
| 1506 | 519       | 60     | 60     | 0.87   | 0.011   | on    | on     | 0.083    | on       | on      | 3132 | 0.02431 | -0.53   | 0.35 | 2550 | 326 | 50 |
| 1507 | 758       | 80     | 60     | 0.76   | 0.015   | on    | on     | 0.031    | on       | on      | 3648 | 0.02426 | -0.61   | 0.37 | 2583 | 326 | 50 |
| 1508 | 1736      | 60     | 60     | 0.72   | 0.007   | on    | on     | 0.162    | on       | on      | 2592 | 0.02416 | -0.53   | 0.35 | 2548 | 326 | 50 |
| 1509 | 628       | 100    | 60     | 0.75   | 0.009   | on    | on     | 0.128    | on       | on      | 4500 | 0.02416 | -0.53   | 0.35 | 2548 | 326 | 50 |
| 1510 | 1469      | 60     | 40     | 0.86   | 0.011   | on    | on     | 0.078    | on       | on      | 2064 | 0.02408 | -0.53   | 0.35 | 2547 | 326 | 50 |
| 1511 | 1226      | 40     | 80     | 0.77   | 0.006   | on    | on     | 0.061    | on       | on      | 2464 | 0.02408 | -0.53   | 0.35 | 2547 | 326 | 50 |
| 1512 | 370       | 60     | 60     | 0.75   | 0.010   | on    | on     | 0.135    | on       | on      | 2700 | 0.02408 | -0.53   | 0.35 | 2547 | 326 | 50 |
| 1513 | 1426      | 60     | 60     | 0.75   | 0.011   | on    | on     | 0.120    | on       | on      | 2700 | 0.02408 | -0.53   | 0.35 | 2547 | 326 | 50 |
| 1514 | 1911      | 60     | 60     | 0.80   | 0.019   | on    | on     | 0.019    | on       | on      | 2880 | 0.02408 | -0.53   | 0.35 | 2547 | 326 | 50 |
| 1515 | 844       | 100    | 40     | 0.73   | 0.019   | on    | on     | 0.028    | on       | on      | 2920 | 0.02408 | -0.53   | 0.35 | 2547 | 326 | 50 |
| 1516 | 1434      | 60     | 60     | 0.83   | 0.009   | on    | on     | 0.100    | on       | on      | 2988 | 0.02408 | -0.53   | 0.35 | 2547 | 326 | 50 |
| 1517 | 742       | 100    | 40     | 0.75   | 0.028   | on    | on     | 0.173    | on       | on      | 3000 | 0.02408 | -0.53   | 0.35 | 2547 | 326 | 50 |
| 1518 | 437       | 60     | 60     | 0.86   | 0.021   | on    | on     | 0.089    | on       | on      | 3096 | 0.02408 | -0.53   | 0.35 | 2547 | 326 | 50 |
| 1519 | 1146      | 120    | 40     | 0.73   | 0.023   | on    | on     | 0.063    | on       | on      | 3504 | 0.02408 | -0.53   | 0.35 | 2547 | 326 | 50 |
| 1520 | 297       | 60     | 80     | 0.74   | 0.006   | on    | on     | 0.130    | on       | on      | 3552 | 0.02408 | -0.53   | 0.35 | 2547 | 326 | 50 |

ตารางที่ ข.3 รายละเอียดของค่าพารามิเตอร์จำนวน 2,000 ชุด และผลการคำนวณย้อนกลับ (ต่อ)

| Rank | Set Index | maxgen | numpop | pcross | pjumpmu | unifm | icreep | pcreepmu | ibstmold | niching | CE   | Fitness | Max Err | RMSE | E1   | E2  | E3 |
|------|-----------|--------|--------|--------|---------|-------|--------|----------|----------|---------|------|---------|---------|------|------|-----|----|
| 1521 | 320       | 80     | 60     | 0.74   | 0.012   | on    | on     | 0.167    | on       | on      | 3552 | 0.02408 | -0.53   | 0.35 | 2547 | 326 | 50 |
| 1522 | 744       | 120    | 40     | 0.81   | 0.016   | on    | on     | 0.194    | on       | on      | 3888 | 0.02408 | -0.53   | 0.35 | 2547 | 326 | 50 |
| 1523 | 1776      | 100    | 60     | 0.71   | 0.022   | on    | on     | 0.180    | on       | on      | 4260 | 0.02408 | -0.53   | 0.35 | 2547 | 326 | 50 |
| 1524 | 1166      | 100    | 60     | 0.77   | 0.024   | on    | on     | 0.083    | on       | on      | 4620 | 0.02408 | -0.53   | 0.35 | 2547 | 326 | 50 |
| 1525 | 273       | 80     | 80     | 0.73   | 0.011   | on    | on     | 0.087    | on       | on      | 4672 | 0.02408 | -0.53   | 0.35 | 2547 | 326 | 50 |
| 1526 | 1100      | 100    | 80     | 0.83   | 0.031   | on    | on     | 0.061    | on       | on      | 6640 | 0.02408 | -0.53   | 0.35 | 2547 | 326 | 50 |
| 1527 | 87        | 140    | 60     | 0.87   | 0.020   | on    | on     | 0.070    | on       | on      | 7308 | 0.02408 | -0.53   | 0.35 | 2547 | 326 | 50 |
| 1528 | 447       | 140    | 80     | 0.80   | 0.017   | on    | on     | 0.134    | on       | on      | 8960 | 0.02408 | -0.53   | 0.35 | 2547 | 326 | 50 |
| 1529 | 1136      | 140    | 80     | 0.80   | 0.018   | on    | on     | 0.167    | on       | on      | 8960 | 0.02408 | -0.53   | 0.35 | 2547 | 326 | 50 |
| 1530 | 1466      | 140    | 80     | 0.83   | 0.039   | on    | on     | 0.139    | on       | on      | 9296 | 0.02408 | -0.53   | 0.35 | 2547 | 326 | 50 |
| 1531 | 446       | 140    | 80     | 0.84   | 0.043   | on    | on     | 0.156    | on       | on      | 9408 | 0.02408 | -0.53   | 0.35 | 2547 | 326 | 50 |
| 1532 | 818       | 60     | 60     | 0.82   | 0.017   | on    | on     | 0.123    | on       | on      | 2952 | 0.02404 | 0.51    | 0.34 | 2548 | 325 | 50 |
| 1533 | 340       | 40     | 40     | 0.70   | 0.029   | on    | on     | 0.014    | on       | on      | 1120 | 0.02401 | 0.62    | 0.27 | 2869 | 301 | 50 |
| 1534 | 1323      | 80     | 40     | 0.86   | 0.039   | on    | on     | 0.113    | on       | on      | 2752 | 0.02399 | -0.52   | 0.35 | 2546 | 326 | 50 |
| 1535 | 1309      | 100    | 40     | 0.78   | 0.044   | on    | on     | 0.154    | on       | on      | 3120 | 0.02399 | -0.52   | 0.35 | 2546 | 326 | 50 |
| 1536 | 35        | 80     | 80     | 0.75   | 0.025   | on    | on     | 0.057    | on       | on      | 4800 | 0.02399 | -0.52   | 0.35 | 2546 | 326 | 50 |
| 1537 | 1781      | 80     | 80     | 0.86   | 0.013   | on    | on     | 0.149    | on       | on      | 5504 | 0.02399 | -0.52   | 0.35 | 2546 | 326 | 50 |
| 1538 | 650       | 140    | 60     | 0.75   | 0.028   | on    | on     | 0.163    | on       | on      | 6300 | 0.02399 | -0.52   | 0.35 | 2546 | 326 | 50 |
| 1539 | 1006      | 60     | 60     | 0.84   | 0.035   | on    | on     | 0.142    | on       | on      | 3024 | 0.02390 | -0.52   | 0.35 | 2545 | 326 | 50 |
| 1540 | 116       | 100    | 40     | 0.86   | 0.026   | on    | on     | 0.076    | on       | on      | 3440 | 0.02390 | -0.52   | 0.04 | 2545 | 326 | 50 |
| 1541 | 1800      | 80     | 60     | 0.76   | 0.018   | on    | on     | 0.164    | on       | on      | 3648 | 0.02390 | -0.52   | 0.35 | 2545 | 326 | 50 |
| 1542 | 1543      | 80     | 60     | 0.77   | 0.024   | on    | on     | 0.176    | on       | on      | 3696 | 0.02390 | -0.52   | 0.35 | 2545 | 326 | 50 |
| 1543 | 1725      | 120    | 60     | 0.77   | 0.029   | on    | on     | 0.189    | on       | on      | 5544 | 0.02390 | -0.52   | 0.35 | 2545 | 326 | 50 |
| 1544 | 1602      | 100    | 80     | 0.79   | 0.018   | on    | on     | 0.146    | on       | on      | 6320 | 0.02390 | -0.52   | 0.35 | 2545 | 326 | 50 |
| 1545 | 1285      | 140    | 60     | 0.76   | 0.037   | on    | on     | 0.168    | on       | on      | 6384 | 0.02390 | -0.52   | 0.35 | 2545 | 326 | 50 |
| 1546 | 432       | 80     | 40     | 0.86   | 0.052   | on    | on     | 0.033    | on       | on      | 2752 | 0.02389 | 0.51    | 0.34 | 2547 | 325 | 50 |
| 1547 | 986       | 60     | 60     | 0.85   | 0.028   | on    | on     | 0.027    | on       | on      | 3060 | 0.02389 | 0.51    | 0.34 | 2547 | 325 | 50 |
| 1548 | 459       | 80     | 80     | 0.80   | 0.031   | on    | on     | 0.164    | on       | on      | 5120 | 0.02381 | -0.52   | 0.35 | 2544 | 326 | 50 |
| 1549 | 1171      | 120    | 80     | 0.76   | 0.029   | on    | on     | 0.086    | on       | on      | 7296 | 0.02381 | -0.52   | 0.04 | 2544 | 326 | 50 |
| 1550 | 539       | 40     | 60     | 0.83   | 0.016   | on    | on     | 0.063    | on       | on      | 1992 | 0.02374 | 0.52    | 0.34 | 2546 | 325 | 50 |
| 1551 | 991       | 140    | 60     | 0.71   | 0.033   | on    | on     | 0.165    | on       | on      | 5964 | 0.02374 | 0.52    | 0.34 | 2546 | 325 | 50 |
| 1552 | 855       | 60     | 60     | 0.78   | 0.031   | on    | on     | 0.190    | on       | on      | 2808 | 0.02371 | -0.52   | 0.35 | 2543 | 326 | 50 |
| 1553 | 1062      | 60     | 80     | 0.76   | 0.018   | on    | on     | 0.139    | on       | on      | 3648 | 0.02371 | -0.52   | 0.35 | 2543 | 326 | 50 |
| 1554 | 1671      | 80     | 80     | 0.87   | 0.011   | on    | on     | 0.029    | on       | on      | 5568 | 0.02371 | -0.52   | 0.35 | 2543 | 316 | 50 |
| 1555 | 209       | 140    | 80     | 0.81   | 0.013   | on    | on     | 0.166    | on       | on      | 9072 | 0.02371 | -0.52   | 0.35 | 2543 | 326 | 50 |
| 1556 | 1973      | 40     | 60     | 0.75   | 0.036   | on    | on     | 0.083    | on       | on      | 1800 | 0.02359 | 0.56    | 0.36 | 3494 | 275 | 50 |
| 1557 | 1713      | 100    | 40     | 0.77   | 0.047   | on    | on     | 0.028    | on       | on      | 3080 | 0.02359 | 0.52    | 0.34 | 2545 | 325 | 50 |
| 1558 | 488       | 100    | 60     | 0.83   | 0.045   | on    | on     | 0.043    | on       | on      | 4980 | 0.02359 | 0.05    | 0.34 | 2545 | 325 | 50 |
| 1559 | 1236      | 80     | 80     | 0.82   | 0.021   | on    | on     | 0.076    | on       | on      | 5248 | 0.02359 | 0.52    | 0.34 | 2545 | 325 | 50 |
| 1560 | 1724      | 100    | 40     | 0.87   | 0.043   | on    | on     | 0.117    | on       | on      | 3480 | 0.02351 | -0.51   | 0.35 | 2541 | 326 | 50 |

ตารางที่ ข.3 รายละเอียดของค่าพารามิเตอร์จำนวน 2,000 ชุด และผลการคำนวณย้อนกลับ (ต่อ)

| Rank | Set Index | maxgen | numpop | pcross | pjumpmu | unifm | icreep | pcreepmu | ibstmold | niching | CE   | Fitness | Max Err | RMSE | E1   | E2  | E3 |
|------|-----------|--------|--------|--------|---------|-------|--------|----------|----------|---------|------|---------|---------|------|------|-----|----|
| 1561 | 468       | 60     | 80     | 0.81   | 0.015   | on    | on     | 0.122    | on       | on      | 3888 | 0.02329 | -0.51   | 0.35 | 2539 | 326 | 50 |
| 1562 | 1922      | 100    | 60     | 0.87   | 0.023   | on    | on     | 0.124    | on       | on      | 5220 | 0.02329 | -0.51   | 0.35 | 2539 | 326 | 50 |
| 1563 | 1565      | 40     | 60     | 0.78   | 0.008   | on    | on     | 0.082    | on       | on      | 1872 | 0.02328 | 0.54    | 0.34 | 2543 | 325 | 50 |
| 1564 | 816       | 100    | 40     | 0.81   | 0.027   | on    | on     | 0.144    | on       | on      | 3240 | 0.02321 | -0.58   | 0.37 | 2547 | 327 | 50 |
| 1565 | 282       | 40     | 60     | 0.86   | 0.013   | on    | on     | 0.122    | on       | on      | 2064 | 0.02318 | -0.51   | 0.35 | 2538 | 326 | 50 |
| 1566 | 743       | 80     | 40     | 0.73   | 0.020   | on    | on     | 0.115    | on       | on      | 2336 | 0.02317 | -0.58   | 0.36 | 2545 | 327 | 50 |
| 1567 | 391       | 60     | 80     | 0.78   | 0.054   | on    | on     | 0.135    | on       | on      | 3744 | 0.02313 | -0.52   | 0.30 | 3008 | 306 | 50 |
| 1568 | 1582      | 40     | 80     | 0.76   | 0.042   | on    | on     | 0.042    | on       | on      | 2432 | 0.02311 | 0.54    | 0.34 | 2542 | 325 | 50 |
| 1569 | 1998      | 80     | 80     | 0.79   | 0.045   | on    | on     | 0.053    | on       | on      | 5056 | 0.02304 | -0.57   | 0.36 | 2541 | 327 | 50 |
| 1570 | 1862      | 120    | 60     | 0.83   | 0.042   | on    | on     | 0.143    | on       | on      | 5976 | 0.02304 | -0.57   | 0.36 | 2541 | 327 | 50 |
| 1571 | 218       | 60     | 40     | 0.76   | 0.051   | on    | on     | 0.116    | on       | on      | 1824 | 0.02298 | 0.64    | 0.38 | 3420 | 276 | 50 |
| 1572 | 68        | 60     | 60     | 0.76   | 0.028   | on    | on     | 0.037    | on       | on      | 2736 | 0.02296 | -0.56   | 0.36 | 2539 | 327 | 50 |
| 1573 | 1913      | 80     | 60     | 0.87   | 0.021   | on    | on     | 0.010    | on       | on      | 4176 | 0.02290 | -0.56   | 0.36 | 2538 | 327 | 50 |
| 1574 | 1532      | 120    | 80     | 0.80   | 0.042   | on    | on     | 0.033    | on       | on      | 7680 | 0.02290 | -0.56   | 0.36 | 2538 | 327 | 50 |
| 1575 | 213       | 40     | 60     | 0.76   | 0.011   | on    | on     | 0.087    | on       | on      | 1824 | 0.02279 | 0.55    | 0.34 | 2540 | 325 | 50 |
| 1576 | 607       | 140    | 60     | 0.82   | 0.022   | on    | on     | 0.172    | on       | on      | 6888 | 0.02269 | 0.59    | 0.33 | 2547 | 324 | 50 |
| 1577 | 1557      | 40     | 60     | 0.83   | 0.019   | on    | on     | 0.191    | on       | on      | 1992 | 0.02262 | 0.56    | 0.34 | 2539 | 325 | 50 |
| 1578 | 1205      | 60     | 60     | 0.70   | 0.041   | on    | on     | 0.072    | on       | on      | 2520 | 0.02258 | 0.52    | 0.35 | 3513 | 275 | 50 |
| 1579 | 645       | 100    | 60     | 0.82   | 0.022   | on    | on     | 0.132    | on       | on      | 4920 | 0.02253 | -0.55   | 0.36 | 2532 | 327 | 50 |
| 1580 | 1324      | 120    | 60     | 0.72   | 0.041   | on    | on     | 0.112    | on       | on      | 5184 | 0.02244 | 0.52    | 0.35 | 2532 | 326 | 50 |
| 1581 | 114       | 80     | 60     | 0.83   | 0.036   | on    | on     | 0.168    | on       | on      | 3984 | 0.02238 | -0.54   | 0.36 | 2530 | 327 | 50 |
| 1582 | 1838      | 60     | 40     | 0.84   | 0.025   | on    | on     | 0.161    | on       | on      | 2016 | 0.02234 | -0.64   | 0.38 | 2650 | 324 | 50 |
| 1583 | 284       | 40     | 40     | 0.84   | 0.020   | on    | on     | 0.141    | on       | on      | 1344 | 0.02230 | -0.54   | 0.36 | 2529 | 327 | 50 |
| 1584 | 1058      | 40     | 60     | 0.75   | 0.015   | on    | on     | 0.097    | on       | on      | 1800 | 0.02230 | 0.53    | 0.35 | 2531 | 326 | 50 |
| 1585 | 277       | 80     | 40     | 0.72   | 0.021   | on    | on     | 0.043    | on       | on      | 2304 | 0.02204 | -0.53   | 0.36 | 2526 | 327 | 50 |
| 1586 | 1853      | 100    | 60     | 0.75   | 0.041   | on    | on     | 0.137    | on       | on      | 4500 | 0.02204 | -0.53   | 0.36 | 2526 | 327 | 50 |
| 1587 | 322       | 80     | 80     | 0.79   | 0.043   | on    | on     | 0.073    | on       | on      | 5056 | 0.02200 | -0.54   | 0.34 | 2877 | 313 | 50 |
| 1588 | 1014      | 40     | 60     | 0.74   | 0.043   | on    | on     | 0.052    | on       | on      | 1776 | 0.02191 | -0.63   | 0.38 | 2696 | 322 | 50 |
| 1589 | 1709      | 120    | 80     | 0.75   | 0.025   | on    | on     | 0.141    | on       | on      | 7200 | 0.02185 | -0.53   | 0.36 | 2524 | 327 | 50 |
| 1590 | 909       | 60     | 40     | 0.87   | 0.035   | on    | on     | 0.037    | on       | on      | 2088 | 0.02173 | -0.61   | 0.38 | 2536 | 328 | 50 |
| 1591 | 1668      | 80     | 60     | 0.83   | 0.029   | on    | on     | 0.024    | on       | on      | 3984 | 0.02171 | -0.60   | 0.38 | 2532 | 328 | 50 |
| 1592 | 988       | 100    | 60     | 0.81   | 0.043   | on    | on     | 0.026    | on       | on      | 4860 | 0.02171 | 0.62    | 0.33 | 2542 | 324 | 50 |
| 1593 | 1538      | 40     | 60     | 0.74   | 0.015   | on    | on     | 0.085    | on       | on      | 1776 | 0.02168 | -0.60   | 0.38 | 2530 | 328 | 50 |
| 1594 | 1294      | 80     | 40     | 0.73   | 0.048   | on    | on     | 0.158    | on       | on      | 2336 | 0.02160 | -0.59   | 0.38 | 2527 | 328 | 50 |
| 1595 | 770       | 100    | 60     | 0.82   | 0.046   | on    | on     | 0.056    | on       | on      | 4920 | 0.02157 | -0.59   | 0.38 | 2526 | 328 | 50 |
| 1596 | 11        | 80     | 60     | 0.70   | 0.026   | on    | on     | 0.135    | on       | on      | 3360 | 0.02151 | 0.63    | 0.33 | 2541 | 324 | 50 |
| 1597 | 30        | 40     | 60     | 0.83   | 0.010   | on    | on     | 0.050    | on       | on      | 1992 | 0.02144 | 0.60    | 0.34 | 2532 | 325 | 50 |
| 1598 | 479       | 40     | 80     | 0.75   | 0.008   | on    | on     | 0.136    | on       | on      | 2400 | 0.02110 | 0.53    | 0.36 | 2517 | 327 | 50 |
| 1599 | 1162      | 60     | 80     | 0.75   | 0.032   | on    | on     | 0.059    | on       | on      | 3600 | 0.02093 | -0.56   | 0.37 | 2514 | 328 | 50 |
| 1600 | 158       | 100    | 80     | 0.83   | 0.047   | on    | on     | 0.112    | on       | on      | 6640 | 0.02093 | -0.56   | 0.37 | 2514 | 328 | 50 |

ตารางที่ ข.3 รายละเอียดของค่าพารามิเตอร์จำนวน 2,000 ชุด และผลการคำนวณย้อนกลับ (ต่อ)

| Rank | Set Index | maxgen | numpop | pcross | pjumpmu | unifm | icreep | pcreepmu | ibstmold | niching | CE   | Fitness | Max Err | RMSE | E1   | E2  | E3 |
|------|-----------|--------|--------|--------|---------|-------|--------|----------|----------|---------|------|---------|---------|------|------|-----|----|
| 1601 | 1714      | 140    | 80     | 0.76   | 0.042   | on    | on     | 0.096    | on       | on      | 8512 | 0.02093 | -0.56   | 0.37 | 2514 | 328 | 50 |
| 1602 | 145       | 100    | 40     | 0.72   | 0.026   | on    | on     | 0.055    | on       | on      | 2880 | 0.02086 | 0.55    | 0.36 | 2515 | 327 | 50 |
| 1603 | 839       | 40     | 40     | 0.78   | 0.020   | on    | on     | 0.183    | on       | on      | 1248 | 0.02082 | 0.70    | 0.28 | 2810 | 304 | 50 |
| 1604 | 840       | 60     | 80     | 0.73   | 0.037   | on    | on     | 0.100    | on       | on      | 3504 | 0.02069 | -0.55   | 0.37 | 2511 | 328 | 50 |
| 1605 | 1686      | 100    | 80     | 0.72   | 0.025   | on    | on     | 0.109    | on       | on      | 5760 | 0.02058 | -0.61   | 0.30 | 3072 | 303 | 50 |
| 1606 | 1765      | 40     | 40     | 0.84   | 0.026   | on    | on     | 0.139    | on       | on      | 1344 | 0.02044 | -0.55   | 0.37 | 2508 | 328 | 50 |
| 1607 | 1803      | 60     | 60     | 0.79   | 0.008   | on    | on     | 0.074    | on       | on      | 2844 | 0.02043 | -0.68   | 0.40 | 2615 | 326 | 50 |
| 1608 | 1288      | 80     | 60     | 0.70   | 0.019   | on    | on     | 0.179    | on       | on      | 3360 | 0.02037 | -0.63   | 0.39 | 2522 | 329 | 50 |
| 1609 | 1720      | 60     | 60     | 0.87   | 0.044   | on    | on     | 0.114    | on       | on      | 3132 | 0.02033 | -0.62   | 0.39 | 2515 | 329 | 50 |
| 1610 | 160       | 40     | 40     | 0.82   | 0.022   | on    | on     | 0.037    | on       | on      | 1312 | 0.02022 | 0.61    | 0.39 | 3533 | 273 | 50 |
| 1611 | 665       | 60     | 60     | 0.86   | 0.047   | on    | on     | 0.122    | on       | on      | 3096 | 0.02014 | -0.74   | 0.28 | 3293 | 291 | 50 |
| 1612 | 150       | 140    | 60     | 0.79   | 0.054   | on    | on     | 0.052    | on       | on      | 6636 | 0.02014 | 0.60    | 0.39 | 3537 | 273 | 50 |
| 1613 | 1179      | 80     | 80     | 0.78   | 0.044   | on    | on     | 0.104    | on       | on      | 4992 | 0.02005 | -0.60   | 0.39 | 2506 | 329 | 50 |
| 1614 | 139       | 40     | 40     | 0.79   | 0.007   | on    | on     | 0.081    | on       | on      | 1264 | 0.02001 | 0.60    | 0.39 | 3539 | 273 | 50 |
| 1615 | 1999      | 80     | 40     | 0.81   | 0.017   | on    | on     | 0.032    | on       | on      | 2592 | 0.01995 | 0.66    | 0.40 | 3507 | 273 | 50 |
| 1616 | 867       | 100    | 40     | 0.81   | 0.043   | on    | on     | 0.048    | on       | on      | 3240 | 0.01995 | -0.67   | 0.40 | 2537 | 329 | 50 |
| 1617 | 14        | 60     | 40     | 0.83   | 0.013   | on    | on     | 0.057    | on       | on      | 1992 | 0.01994 | -0.65   | 0.39 | 2705 | 322 | 50 |
| 1618 | 187       | 40     | 40     | 0.73   | 0.020   | on    | on     | 0.094    | on       | on      | 1168 | 0.01987 | 0.66    | 0.41 | 3505 | 273 | 50 |
| 1619 | 1295      | 60     | 80     | 0.75   | 0.007   | on    | on     | 0.118    | on       | on      | 3600 | 0.01985 | 0.66    | 0.34 | 2523 | 325 | 50 |
| 1620 | 1149      | 80     | 40     | 0.80   | 0.052   | on    | on     | 0.196    | on       | on      | 2560 | 0.01937 | -0.67   | 0.30 | 3132 | 300 | 50 |
| 1621 | 9         | 40     | 80     | 0.86   | 0.052   | on    | on     | 0.066    | on       | on      | 2752 | 0.01933 | 0.57    | 0.37 | 2497 | 328 | 50 |
| 1622 | 376       | 40     | 60     | 0.81   | 0.006   | on    | on     | 0.189    | on       | on      | 1944 | 0.01932 | 0.68    | 0.41 | 3494 | 273 | 50 |
| 1623 | 598       | 140    | 60     | 0.72   | 0.052   | on    | on     | 0.080    | on       | on      | 6048 | 0.01922 | 0.58    | 0.37 | 2496 | 328 | 50 |
| 1624 | 1723      | 40     | 40     | 0.84   | 0.047   | on    | on     | 0.083    | on       | on      | 1344 | 0.01916 | -0.69   | 0.41 | 2549 | 329 | 50 |
| 1625 | 925       | 40     | 80     | 0.86   | 0.026   | on    | on     | 0.121    | on       | on      | 2752 | 0.01915 | -0.65   | 0.40 | 2504 | 330 | 50 |
| 1626 | 1210      | 100    | 40     | 0.81   | 0.043   | on    | on     | 0.062    | on       | on      | 3240 | 0.01915 | -0.65   | 0.41 | 2506 | 330 | 50 |
| 1627 | 684       | 60     | 80     | 0.83   | 0.039   | on    | on     | 0.103    | on       | on      | 3984 | 0.01915 | -0.65   | 0.41 | 2505 | 330 | 50 |
| 1628 | 564       | 60     | 80     | 0.78   | 0.017   | on    | on     | 0.172    | on       | on      | 3744 | 0.01914 | -0.66   | 0.41 | 2508 | 330 | 50 |
| 1629 | 1851      | 80     | 80     | 0.86   | 0.041   | on    | on     | 0.041    | on       | on      | 5504 | 0.01914 | -0.64   | 0.40 | 2503 | 330 | 50 |
| 1630 | 955       | 140    | 60     | 0.77   | 0.051   | on    | on     | 0.181    | on       | on      | 6468 | 0.01912 | -0.64   | 0.40 | 2501 | 330 | 50 |
| 1631 | 525       | 140    | 60     | 0.79   | 0.034   | on    | on     | 0.169    | on       | on      | 6636 | 0.01903 | -0.63   | 0.40 | 2496 | 330 | 50 |
| 1632 | 1729      | 100    | 40     | 0.70   | 0.049   | on    | on     | 0.022    | on       | on      | 2800 | 0.01896 | -0.68   | 0.41 | 2517 | 330 | 50 |
| 1633 | 1506      | 40     | 80     | 0.71   | 0.021   | on    | on     | 0.132    | on       | on      | 2272 | 0.01894 | -0.62   | 0.40 | 2493 | 330 | 50 |
| 1634 | 1967      | 60     | 40     | 0.75   | 0.007   | on    | on     | 0.187    | on       | on      | 1800 | 0.01892 | 0.55    | 0.38 | 3563 | 273 | 50 |
| 1635 | 7         | 80     | 80     | 0.73   | 0.042   | on    | on     | 0.185    | on       | on      | 4672 | 0.01892 | -0.68   | 0.35 | 3538 | 276 | 50 |
| 1636 | 1918      | 100    | 80     | 0.82   | 0.047   | on    | on     | 0.043    | on       | on      | 6560 | 0.01884 | 0.74    | 0.33 | 2549 | 322 | 50 |
| 1637 | 1500      | 40     | 40     | 0.81   | 0.009   | on    | on     | 0.170    | on       | on      | 1296 | 0.01882 | 0.65    | 0.41 | 3544 | 272 | 50 |
| 1638 | 392       | 80     | 40     | 0.84   | 0.017   | on    | on     | 0.177    | on       | on      | 2688 | 0.01882 | 0.65    | 0.41 | 3543 | 272 | 50 |
| 1639 | 859       | 60     | 60     | 0.80   | 0.028   | on    | on     | 0.109    | on       | on      | 2880 | 0.01881 | -0.69   | 0.42 | 2521 | 330 | 50 |
| 1640 | 1399      | 60     | 40     | 0.87   | 0.037   | on    | on     | 0.156    | on       | on      | 2088 | 0.01878 | 0.66    | 0.41 | 3539 | 272 | 50 |

ตารางที่ ข.3 รายละเอียดของค่าพารามิเตอร์จำนวน 2,000 ชุด และผลการคำนวณย้อนกลับ (ต่อ)

| Rank | Set Index | maxgen | numpop | pcross | pjumpmu | unifm | icreep | pcreepmu | ibstmold | niching | CE   | Fitness | Max Err | RMSE | E1   | E2  | E3 |
|------|-----------|--------|--------|--------|---------|-------|--------|----------|----------|---------|------|---------|---------|------|------|-----|----|
| 1641 | 1028      | 40     | 40     | 0.85   | 0.007   | on    | on     | 0.180    | on       | on      | 1360 | 0.01873 | -0.61   | 0.40 | 2488 | 330 | 50 |
| 1642 | 1936      | 40     | 60     | 0.86   | 0.010   | on    | on     | 0.106    | on       | on      | 2064 | 0.01858 | -0.60   | 0.40 | 2485 | 330 | 50 |
| 1643 | 1581      | 60     | 80     | 0.71   | 0.040   | on    | on     | 0.139    | on       | on      | 3408 | 0.01847 | -0.60   | 0.40 | 2483 | 330 | 50 |
| 1644 | 280       | 120    | 80     | 0.71   | 0.037   | on    | on     | 0.178    | on       | on      | 6816 | 0.01834 | -0.59   | 0.40 | 2481 | 330 | 50 |
| 1645 | 504       | 60     | 80     | 0.77   | 0.040   | on    | on     | 0.058    | on       | on      | 3696 | 0.01831 | -0.67   | 0.40 | 2713 | 322 | 50 |
| 1646 | 936       | 40     | 40     | 0.81   | 0.014   | on    | on     | 0.150    | on       | on      | 1296 | 0.01828 | -0.58   | 0.38 | 3572 | 273 | 50 |
| 1647 | 1682      | 40     | 40     | 0.81   | 0.015   | on    | on     | 0.010    | on       | on      | 1296 | 0.01828 | -0.58   | 0.38 | 3572 | 273 | 50 |
| 1648 | 850       | 140    | 40     | 0.78   | 0.027   | on    | on     | 0.160    | on       | on      | 4368 | 0.01828 | -0.58   | 0.38 | 3572 | 273 | 50 |
| 1649 | 105       | 80     | 80     | 0.78   | 0.036   | on    | on     | 0.024    | on       | on      | 4992 | 0.01827 | -0.59   | 0.40 | 2480 | 330 | 50 |
| 1650 | 461       | 40     | 40     | 0.73   | 0.012   | on    | on     | 0.044    | on       | on      | 1168 | 0.01826 | 0.60    | 0.40 | 3572 | 272 | 50 |
| 1651 | 884       | 40     | 40     | 0.74   | 0.012   | on    | on     | 0.173    | on       | on      | 1184 | 0.01826 | 0.60    | 0.40 | 3572 | 272 | 50 |
| 1652 | 1956      | 40     | 40     | 0.75   | 0.019   | on    | on     | 0.119    | on       | on      | 1200 | 0.01826 | 0.60    | 0.40 | 3572 | 272 | 50 |
| 1653 | 764       | 40     | 40     | 0.79   | 0.019   | on    | on     | 0.176    | on       | on      | 1264 | 0.01826 | 0.60    | 0.40 | 3572 | 272 | 50 |
| 1654 | 976       | 60     | 40     | 0.75   | 0.039   | on    | on     | 0.021    | on       | on      | 1800 | 0.01826 | 0.60    | 0.40 | 3572 | 272 | 50 |
| 1655 | 1482      | 80     | 40     | 0.70   | 0.040   | on    | on     | 0.124    | on       | on      | 2240 | 0.01824 | 0.70    | 0.42 | 3520 | 272 | 50 |
| 1656 | 1273      | 100    | 80     | 0.87   | 0.038   | on    | on     | 0.046    | on       | on      | 6960 | 0.01821 | -0.59   | 0.40 | 2479 | 330 | 50 |
| 1657 | 1704      | 40     | 40     | 0.71   | 0.022   | on    | on     | 0.028    | on       | on      | 1136 | 0.01820 | -0.59   | 0.38 | 3575 | 273 | 50 |
| 1658 | 496       | 60     | 40     | 0.71   | 0.014   | on    | on     | 0.190    | on       | on      | 1704 | 0.01820 | -0.59   | 0.38 | 3573 | 273 | 50 |
| 1659 | 748       | 60     | 40     | 0.74   | 0.012   | on    | on     | 0.073    | on       | on      | 1776 | 0.01814 | 0.63    | 0.38 | 2487 | 328 | 50 |
| 1660 | 1584      | 40     | 40     | 0.79   | 0.015   | on    | on     | 0.103    | on       | on      | 1264 | 0.01812 | 0.59    | 0.40 | 3575 | 272 | 50 |
| 1661 | 546       | 40     | 40     | 0.70   | 0.025   | on    | on     | 0.164    | on       | on      | 1120 | 0.01807 | 0.59    | 0.40 | 3576 | 272 | 50 |
| 1662 | 651       | 40     | 40     | 0.82   | 0.014   | on    | on     | 0.144    | on       | on      | 1312 | 0.01807 | 0.59    | 0.40 | 3576 | 272 | 50 |
| 1663 | 1644      | 100    | 80     | 0.87   | 0.051   | on    | on     | 0.058    | on       | on      | 6960 | 0.01804 | -0.60   | 0.38 | 3575 | 273 | 50 |
| 1664 | 638       | 40     | 60     | 0.87   | 0.020   | on    | on     | 0.016    | on       | on      | 2088 | 0.01803 | -0.67   | 0.42 | 2491 | 331 | 50 |
| 1665 | 156       | 100    | 40     | 0.81   | 0.041   | on    | on     | 0.076    | on       | on      | 3240 | 0.01802 | -0.68   | 0.42 | 2493 | 331 | 50 |
| 1666 | 1270      | 40     | 80     | 0.81   | 0.041   | on    | on     | 0.121    | on       | on      | 2592 | 0.01798 | 0.59    | 0.40 | 3578 | 272 | 50 |
| 1667 | 185       | 80     | 60     | 0.87   | 0.040   | on    | on     | 0.198    | on       | on      | 4176 | 0.01796 | -0.60   | 0.38 | 3576 | 273 | 50 |
| 1668 | 750       | 120    | 40     | 0.77   | 0.042   | on    | on     | 0.023    | on       | on      | 3696 | 0.01788 | -0.61   | 0.38 | 3577 | 273 | 50 |
| 1669 | 4         | 120    | 60     | 0.79   | 0.054   | on    | on     | 0.152    | on       | on      | 5688 | 0.01787 | -0.64   | 0.41 | 2479 | 311 | 50 |
| 1670 | 334       | 100    | 80     | 0.79   | 0.037   | on    | on     | 0.012    | on       | on      | 6320 | 0.01782 | 0.58    | 0.40 | 3581 | 272 | 50 |
| 1671 | 1632      | 80     | 40     | 0.85   | 0.045   | on    | on     | 0.171    | on       | on      | 2720 | 0.01781 | -0.64   | 0.41 | 2477 | 331 | 50 |
| 1672 | 293       | 40     | 80     | 0.70   | 0.054   | on    | on     | 0.053    | on       | on      | 2240 | 0.01776 | -0.70   | 0.43 | 2505 | 331 | 50 |
| 1673 | 1439      | 80     | 80     | 0.79   | 0.022   | on    | on     | 0.095    | on       | on      | 5056 | 0.01773 | 0.62    | 0.39 | 2477 | 329 | 50 |
| 1674 | 1650      | 80     | 80     | 0.72   | 0.027   | on    | on     | 0.137    | on       | on      | 4608 | 0.01765 | -0.71   | 0.43 | 2508 | 331 | 50 |
| 1675 | 749       | 60     | 80     | 0.83   | 0.040   | on    | on     | 0.168    | on       | on      | 3984 | 0.01757 | -0.70   | 0.42 | 2676 | 324 | 50 |
| 1676 | 935       | 60     | 40     | 0.87   | 0.014   | on    | on     | 0.089    | on       | on      | 2088 | 0.01750 | 0.66    | 0.42 | 3572 | 271 | 50 |
| 1677 | 1795      | 80     | 40     | 0.83   | 0.037   | on    | on     | 0.066    | on       | on      | 2656 | 0.01750 | 0.66    | 0.42 | 3571 | 271 | 50 |
| 1678 | 1282      | 60     | 40     | 0.83   | 0.046   | on    | on     | 0.181    | on       | on      | 1992 | 0.01749 | 0.66    | 0.42 | 3573 | 271 | 50 |
| 1679 | 746       | 40     | 40     | 0.87   | 0.020   | on    | on     | 0.175    | on       | on      | 1392 | 0.01747 | 0.66    | 0.42 | 3575 | 271 | 50 |
| 1680 | 12        | 80     | 80     | 0.70   | 0.044   | on    | on     | 0.092    | on       | on      | 4480 | 0.01737 | 0.65    | 0.42 | 3581 | 271 | 50 |



ตารางที่ ข.3 รายละเอียดของค่าพารามิเตอร์จำนวน 2,000 ชุด และผลการคำนวณย้อนกลับ (ต่อ)

| Rank | Set Index | maxgen | numpop | pcross | pjumpmu | unifm | icreep | pcreepmu | ibstmold | niching | CE   | Fitness | Max Err | RMSE | E1   | E2  | E3 |
|------|-----------|--------|--------|--------|---------|-------|--------|----------|----------|---------|------|---------|---------|------|------|-----|----|
| 1681 | 1554      | 40     | 60     | 0.87   | 0.044   | on    | on     | 0.128    | on       | on      | 2088 | 0.01724 | -0.73   | 0.44 | 2516 | 311 | 50 |
| 1682 | 637       | 120    | 80     | 0.72   | 0.045   | on    | on     | 0.192    | on       | on      | 6912 | 0.01716 | 0.63    | 0.42 | 3589 | 271 | 50 |
| 1683 | 378       | 60     | 80     | 0.72   | 0.040   | on    | on     | 0.151    | on       | on      | 3456 | 0.01714 | -0.69   | 0.37 | 3576 | 274 | 50 |
| 1684 | 475       | 60     | 60     | 0.73   | 0.023   | on    | on     | 0.122    | on       | on      | 2628 | 0.01706 | 0.65    | 0.39 | 2471 | 329 | 50 |
| 1685 | 853       | 40     | 80     | 0.78   | 0.041   | on    | on     | 0.047    | on       | on      | 2496 | 0.01703 | 0.74    | 0.44 | 3499 | 272 | 50 |
| 1686 | 1004      | 60     | 60     | 0.79   | 0.019   | on    | on     | 0.082    | on       | on      | 2844 | 0.01697 | -0.70   | 0.43 | 2482 | 332 | 50 |
| 1687 | 46        | 40     | 60     | 0.81   | 0.027   | on    | on     | 0.042    | on       | on      | 1944 | 0.01691 | 0.62    | 0.41 | 3596 | 271 | 50 |
| 1688 | 799       | 60     | 40     | 0.78   | 0.032   | on    | on     | 0.136    | on       | on      | 1872 | 0.01673 | -0.71   | 0.38 | 3580 | 274 | 50 |
| 1689 | 1743      | 40     | 80     | 0.75   | 0.019   | on    | on     | 0.032    | on       | on      | 2400 | 0.01668 | 0.63    | 0.40 | 2461 | 330 | 50 |
| 1690 | 22        | 60     | 80     | 0.74   | 0.054   | on    | on     | 0.195    | on       | on      | 3552 | 0.01662 | 0.75    | 0.37 | 2494 | 326 | 50 |
| 1691 | 602       | 60     | 40     | 0.82   | 0.033   | on    | on     | 0.154    | on       | on      | 1968 | 0.01655 | 0.60    | 0.41 | 3604 | 271 | 50 |
| 1692 | 1548      | 60     | 40     | 0.83   | 0.014   | on    | on     | 0.130    | on       | on      | 1992 | 0.01655 | 0.60    | 0.41 | 3604 | 271 | 50 |
| 1693 | 32        | 40     | 60     | 0.72   | 0.019   | on    | on     | 0.143    | on       | on      | 1728 | 0.01640 | 0.60    | 0.41 | 3607 | 271 | 50 |
| 1694 | 630       | 60     | 60     | 0.71   | 0.043   | on    | on     | 0.180    | on       | on      | 2556 | 0.01635 | -0.63   | 0.42 | 2451 | 332 | 50 |
| 1695 | 946       | 60     | 40     | 0.77   | 0.033   | on    | on     | 0.029    | on       | on      | 1848 | 0.01633 | 0.69    | 0.44 | 3590 | 270 | 50 |
| 1696 | 1552      | 60     | 60     | 0.86   | 0.047   | on    | on     | 0.032    | on       | on      | 3096 | 0.01632 | 0.69    | 0.44 | 3592 | 270 | 50 |
| 1697 | 1182      | 60     | 60     | 0.71   | 0.033   | on    | on     | 0.080    | on       | on      | 2556 | 0.01619 | 0.67    | 0.43 | 3603 | 270 | 50 |
| 1698 | 1614      | 100    | 40     | 0.70   | 0.047   | on    | on     | 0.178    | on       | on      | 2800 | 0.01613 | 0.66    | 0.43 | 3606 | 270 | 50 |
| 1699 | 762       | 40     | 80     | 0.83   | 0.043   | on    | on     | 0.182    | on       | on      | 2656 | 0.01606 | -0.84   | 0.33 | 3467 | 282 | 50 |
| 1700 | 1908      | 60     | 60     | 0.82   | 0.022   | on    | on     | 0.082    | on       | on      | 2952 | 0.01604 | -0.72   | 0.45 | 2467 | 333 | 50 |
| 1701 | 231       | 60     | 80     | 0.79   | 0.040   | on    | on     | 0.170    | on       | on      | 3792 | 0.01581 | 0.65    | 0.41 | 2446 | 331 | 50 |
| 1702 | 837       | 60     | 60     | 0.81   | 0.028   | on    | on     | 0.115    | on       | on      | 2916 | 0.01566 | 0.07    | 0.40 | 2451 | 330 | 50 |
| 1703 | 403       | 40     | 40     | 0.85   | 0.011   | on    | on     | 0.082    | on       | on      | 1360 | 0.01558 | -0.78   | 0.37 | 3758 | 275 | 50 |
| 1704 | 1893      | 40     | 80     | 0.78   | 0.034   | on    | on     | 0.104    | on       | on      | 2496 | 0.01555 | -0.85   | 0.32 | 3331 | 290 | 50 |
| 1705 | 469       | 40     | 40     | 0.77   | 0.032   | on    | on     | 0.194    | on       | on      | 1232 | 0.01526 | 0.72    | 0.46 | 3609 | 269 | 50 |
| 1706 | 289       | 120    | 60     | 0.76   | 0.021   | on    | on     | 0.058    | on       | on      | 5472 | 0.01526 | 0.72    | 0.46 | 3609 | 269 | 50 |
| 1707 | 1384      | 40     | 80     | 0.85   | 0.037   | on    | on     | 0.169    | on       | on      | 2720 | 0.01524 | 0.71    | 0.45 | 3616 | 269 | 50 |
| 1708 | 1070      | 80     | 40     | 0.87   | 0.041   | on    | on     | 0.156    | on       | on      | 2784 | 0.01522 | -0.72   | 0.45 | 2443 | 334 | 50 |
| 1709 | 1718      | 100    | 60     | 0.80   | 0.038   | on    | on     | 0.073    | on       | on      | 4800 | 0.01522 | -0.72   | 0.45 | 2443 | 334 | 50 |
| 1710 | 1782      | 60     | 80     | 0.75   | 0.045   | on    | on     | 0.199    | on       | on      | 3600 | 0.01515 | 0.69    | 0.45 | 3624 | 269 | 50 |
| 1711 | 203       | 100    | 80     | 0.71   | 0.053   | on    | on     | 0.108    | on       | on      | 5680 | 0.01515 | 0.69    | 0.45 | 3624 | 269 | 50 |
| 1712 | 212       | 60     | 40     | 0.79   | 0.011   | on    | on     | 0.032    | on       | on      | 1896 | 0.01514 | -0.71   | 0.45 | 2436 | 334 | 50 |
| 1713 | 1673      | 40     | 40     | 0.85   | 0.007   | on    | on     | 0.143    | on       | on      | 1360 | 0.01498 | 0.76    | 0.47 | 3587 | 269 | 50 |
| 1714 | 1842      | 140    | 40     | 0.83   | 0.049   | on    | on     | 0.102    | on       | on      | 4648 | 0.01488 | -0.64   | 0.43 | 3639 | 270 | 50 |
| 1715 | 261       | 80     | 60     | 0.71   | 0.050   | on    | on     | 0.116    | on       | on      | 3408 | 0.01479 | -0.70   | 0.42 | 3633 | 271 | 50 |
| 1716 | 646       | 40     | 40     | 0.75   | 0.030   | on    | on     | 0.199    | on       | on      | 1200 | 0.01477 | 0.87    | 0.35 | 2540 | 321 | 50 |
| 1717 | 1332      | 40     | 40     | 0.85   | 0.046   | on    | on     | 0.145    | on       | on      | 1360 | 0.01474 | 0.78    | 0.47 | 3579 | 269 | 50 |
| 1718 | 1748      | 60     | 60     | 0.83   | 0.048   | on    | on     | 0.154    | on       | on      | 2988 | 0.01470 | -0.69   | 0.43 | 2475 | 332 | 50 |
| 1719 | 1758      | 60     | 60     | 0.87   | 0.036   | on    | on     | 0.103    | on       | on      | 3132 | 0.01458 | -0.67   | 0.45 | 2419 | 334 | 50 |
| 1720 | 274       | 40     | 60     | 0.75   | 0.032   | on    | on     | 0.017    | on       | on      | 1800 | 0.01456 | -0.88   | 0.35 | 3510 | 280 | 50 |

ตารางที่ ข.3 รายละเอียดของค่าพารามิเตอร์จำนวน 2,000 ชุด และผลการคำนวณย้อนกลับ (ต่อ)

| Rank | Set Index | maxgen | numpop | pcross | pjumpmu | unifm | icreep | pcreepmu | ibstmold | niching | CE   | Fitness | Max Err | RMSE | E1   | E2  | E3 |
|------|-----------|--------|--------|--------|---------|-------|--------|----------|----------|---------|------|---------|---------|------|------|-----|----|
| 1721 | 1561      | 40     | 40     | 0.85   | 0.014   | on    | on     | 0.072    | on       | on      | 1360 | 0.01453 | 0.79    | 0.48 | 3573 | 296 | 50 |
| 1722 | 1785      | 60     | 40     | 0.80   | 0.052   | on    | on     | 0.040    | on       | on      | 1920 | 0.01453 | 0.79    | 0.48 | 3573 | 269 | 50 |
| 1723 | 678       | 80     | 40     | 0.76   | 0.051   | on    | on     | 0.042    | on       | on      | 2432 | 0.01442 | -0.74   | 0.45 | 2696 | 324 | 50 |
| 1724 | 754       | 40     | 40     | 0.83   | 0.048   | on    | on     | 0.159    | on       | on      | 1328 | 0.01437 | -0.73   | 0.42 | 3639 | 271 | 50 |
| 1725 | 1872      | 40     | 80     | 0.76   | 0.014   | on    | on     | 0.011    | on       | on      | 2432 | 0.01429 | 0.90    | 0.34 | 2617 | 315 | 50 |
| 1726 | 947       | 40     | 60     | 0.84   | 0.054   | on    | on     | 0.139    | on       | on      | 2016 | 0.01427 | 0.80    | 0.48 | 3435 | 273 | 50 |
| 1727 | 959       | 60     | 80     | 0.73   | 0.043   | on    | on     | 0.133    | on       | on      | 3504 | 0.01417 | 0.71    | 0.46 | 3647 | 268 | 50 |
| 1728 | 1296      | 40     | 60     | 0.72   | 0.043   | on    | on     | 0.036    | on       | on      | 1728 | 0.01416 | 0.81    | 0.48 | 3463 | 272 | 50 |
| 1729 | 1053      | 40     | 80     | 0.73   | 0.052   | on    | on     | 0.162    | on       | on      | 2336 | 0.01378 | 0.71    | 0.44 | 2410 | 333 | 50 |
| 1730 | 941       | 80     | 40     | 0.79   | 0.043   | on    | on     | 0.072    | on       | on      | 2528 | 0.01378 | 0.68    | 0.16 | 3664 | 268 | 50 |
| 1731 | 1104      | 40     | 40     | 0.87   | 0.044   | on    | on     | 0.070    | on       | on      | 1392 | 0.01372 | 0.92    | 0.34 | 2628 | 314 | 50 |
| 1732 | 260       | 60     | 60     | 0.70   | 0.028   | on    | on     | 0.136    | on       | on      | 2520 | 0.01369 | -0.75   | 0.48 | 2410 | 336 | 50 |
| 1733 | 632       | 40     | 60     | 0.80   | 0.018   | on    | on     | 0.063    | on       | on      | 1920 | 0.01357 | 0.91    | 0.37 | 2508 | 323 | 50 |
| 1734 | 1505      | 40     | 40     | 0.87   | 0.053   | on    | on     | 0.098    | on       | on      | 1392 | 0.01355 | -0.73   | 0.47 | 2402 | 336 | 50 |
| 1735 | 1098      | 40     | 80     | 0.71   | 0.018   | on    | on     | 0.119    | on       | on      | 2272 | 0.01351 | 0.89    | 0.38 | 2484 | 325 | 50 |
| 1736 | 951       | 120    | 80     | 0.70   | 0.013   | on    | on     | 0.049    | on       | on      | 6720 | 0.01351 | 0.84    | 0.41 | 2441 | 329 | 50 |
| 1737 | 1184      | 140    | 40     | 0.84   | 0.038   | on    | on     | 0.053    | on       | on      | 4704 | 0.01336 | -0.82   | 0.50 | 2439 | 336 | 50 |
| 1738 | 1156      | 60     | 40     | 0.78   | 0.007   | on    | on     | 0.080    | on       | on      | 1872 | 0.01333 | -0.71   | 0.47 | 2394 | 336 | 50 |
| 1739 | 182       | 60     | 60     | 0.78   | 0.028   | on    | on     | 0.046    | on       | on      | 2808 | 0.01330 | -0.71   | 0.47 | 2393 | 336 | 50 |
| 1740 | 1643      | 40     | 40     | 0.85   | 0.023   | on    | on     | 0.100    | on       | on      | 1360 | 0.01328 | -0.80   | 0.42 | 3654 | 271 | 50 |
| 1741 | 1131      | 60     | 80     | 0.71   | 0.037   | on    | on     | 0.185    | on       | on      | 3408 | 0.01326 | 0.80    | 0.50 | 3634 | 267 | 50 |
| 1742 | 306       | 80     | 60     | 0.70   | 0.046   | on    | on     | 0.165    | on       | on      | 3360 | 0.01311 | -0.73   | 0.45 | 2395 | 334 | 50 |
| 1743 | 255       | 80     | 40     | 0.70   | 0.050   | on    | on     | 0.057    | on       | on      | 2240 | 0.01305 | -0.79   | 0.49 | 2405 | 337 | 50 |
| 1744 | 1697      | 60     | 60     | 0.70   | 0.050   | on    | on     | 0.033    | on       | on      | 2520 | 0.01305 | -0.78   | 0.49 | 2399 | 337 | 50 |
| 1745 | 958       | 80     | 60     | 0.76   | 0.050   | on    | on     | 0.097    | on       | on      | 3648 | 0.01289 | 0.70    | 0.47 | 3688 | 267 | 50 |
| 1746 | 1606      | 40     | 80     | 0.87   | 0.026   | on    | on     | 0.197    | on       | on      | 2784 | 0.01283 | 0.60    | 0.40 | 3572 | 272 | 50 |
| 1747 | 1912      | 40     | 60     | 0.70   | 0.054   | on    | on     | 0.057    | on       | on      | 1680 | 0.01282 | -0.76   | 0.45 | 3682 | 269 | 50 |
| 1748 | 1347      | 40     | 60     | 0.72   | 0.031   | on    | on     | 0.193    | on       | on      | 1728 | 0.01274 | -0.76   | 0.47 | 2728 | 323 | 50 |
| 1749 | 1818      | 100    | 60     | 0.72   | 0.052   | on    | on     | 0.146    | on       | on      | 4320 | 0.01260 | 0.73    | 0.48 | 3671 | 267 | 50 |
| 1750 | 246       | 80     | 60     | 0.85   | 0.039   | on    | on     | 0.072    | on       | on      | 4080 | 0.01259 | 0.81    | 0.52 | 3668 | 266 | 50 |
| 1751 | 1972      | 80     | 40     | 0.71   | 0.024   | on    | on     | 0.058    | on       | on      | 2272 | 0.01244 | -0.80   | 0.50 | 2386 | 338 | 50 |
| 1752 | 354       | 60     | 80     | 0.85   | 0.046   | on    | on     | 0.138    | on       | on      | 4080 | 0.01241 | -0.82   | 0.51 | 2395 | 338 | 50 |
| 1753 | 782       | 120    | 60     | 0.70   | 0.037   | on    | on     | 0.044    | on       | on      | 5040 | 0.01238 | -0.83   | 0.51 | 2398 | 338 | 50 |
| 1754 | 1906      | 40     | 80     | 0.73   | 0.053   | on    | on     | 0.197    | on       | on      | 2336 | 0.01237 | -0.78   | 0.50 | 2378 | 338 | 50 |
| 1755 | 1339      | 60     | 60     | 0.81   | 0.037   | on    | on     | 0.050    | on       | on      | 2916 | 0.01237 | -0.69   | 0.47 | 3704 | 267 | 50 |
| 1756 | 575       | 120    | 40     | 0.84   | 0.025   | on    | on     | 0.174    | on       | on      | 4032 | 0.01234 | -0.87   | 0.52 | 2486 | 335 | 50 |
| 1757 | 1537      | 140    | 40     | 0.81   | 0.040   | on    | on     | 0.145    | on       | on      | 4536 | 0.01230 | -0.84   | 0.51 | 2403 | 338 | 50 |
| 1758 | 798       | 80     | 80     | 0.75   | 0.018   | on    | on     | 0.018    | on       | on      | 4800 | 0.01224 | -0.85   | 0.52 | 2406 | 338 | 50 |
| 1759 | 587       | 40     | 60     | 0.72   | 0.023   | on    | on     | 0.082    | on       | on      | 1728 | 0.01218 | 0.77    | 0.48 | 3286 | 278 | 50 |
| 1760 | 1304      | 140    | 40     | 0.77   | 0.029   | on    | on     | 0.073    | on       | on      | 4312 | 0.01218 | -0.76   | 0.50 | 2368 | 338 | 50 |

ตารางที่ ข.3 รายละเอียดของค่าพารามิเตอร์จำนวน 2,000 ชุด และผลการคำนวณย้อนกลับ (ต่อ)

| Rank | Set Index | maxgen | numpop | pcross | pjumpmu | unifm | icreep | pcreepmu | ibstmold | niching | CE   | Fitness | Max Err | RMSE | E1   | E2  | E3 |
|------|-----------|--------|--------|--------|---------|-------|--------|----------|----------|---------|------|---------|---------|------|------|-----|----|
| 1761 | 1487      | 100    | 80     | 0.73   | 0.051   | on    | on     | 0.042    | on       | on      | 5840 | 0.01218 | 0.87    | 0.43 | 2409 | 331 | 50 |
| 1762 | 1061      | 40     | 60     | 0.83   | 0.051   | on    | on     | 0.017    | on       | on      | 1992 | 0.01211 | 0.97    | 0.38 | 2510 | 322 | 50 |
| 1763 | 125       | 140    | 80     | 0.76   | 0.008   | on    | on     | 0.020    | on       | on      | 8512 | 0.01203 | -0.87   | 0.52 | 2414 | 338 | 50 |
| 1764 | 914       | 40     | 60     | 0.84   | 0.046   | on    | on     | 0.130    | on       | on      | 2016 | 0.01201 | 0.88    | 0.53 | 3593 | 267 | 50 |
| 1765 | 1264      | 40     | 80     | 0.86   | 0.037   | on    | on     | 0.094    | on       | on      | 2752 | 0.01201 | 0.98    | 0.38 | 2534 | 320 | 50 |
| 1766 | 741       | 60     | 80     | 0.78   | 0.024   | on    | on     | 0.200    | on       | on      | 3744 | 0.01196 | -0.92   | 0.42 | 3644 | 273 | 50 |
| 1767 | 1819      | 40     | 40     | 0.79   | 0.041   | on    | on     | 0.080    | on       | on      | 1264 | 0.01187 | -0.89   | 0.52 | 2515 | 334 | 50 |
| 1768 | 1955      | 60     | 40     | 0.81   | 0.030   | on    | on     | 0.133    | on       | on      | 1944 | 0.01186 | -0.83   | 0.52 | 2378 | 339 | 50 |
| 1769 | 1525      | 100    | 60     | 0.77   | 0.053   | on    | on     | 0.031    | on       | on      | 4620 | 0.01186 | 0.81    | 0.52 | 3700 | 265 | 50 |
| 1770 | 502       | 80     | 80     | 0.78   | 0.041   | on    | on     | 0.150    | on       | on      | 4992 | 0.01185 | -0.81   | 0.51 | 2369 | 339 | 50 |
| 1771 | 623       | 60     | 80     | 0.72   | 0.037   | on    | on     | 0.078    | on       | on      | 3456 | 0.01184 | -0.81   | 0.51 | 2367 | 339 | 50 |
| 1772 | 1447      | 60     | 40     | 0.78   | 0.037   | on    | on     | 0.181    | on       | on      | 1872 | 0.01182 | 0.84    | 0.52 | 3684 | 265 | 50 |
| 1773 | 1798      | 40     | 40     | 0.75   | 0.045   | on    | on     | 0.200    | on       | on      | 1200 | 0.01178 | 0.79    | 0.51 | 3712 | 265 | 50 |
| 1774 | 1024      | 40     | 80     | 0.75   | 0.024   | on    | on     | 0.033    | on       | on      | 2400 | 0.01175 | 0.88    | 0.44 | 2395 | 332 | 50 |
| 1775 | 929       | 60     | 60     | 0.84   | 0.047   | on    | on     | 0.049    | on       | on      | 3024 | 0.01172 | -0.76   | 0.47 | 3720 | 267 | 50 |
| 1776 | 88        | 140    | 60     | 0.72   | 0.053   | on    | on     | 0.162    | on       | on      | 6048 | 0.01168 | -0.78   | 0.51 | 2356 | 339 | 50 |
| 1777 | 558       | 80     | 40     | 0.81   | 0.049   | on    | on     | 0.177    | on       | on      | 2592 | 0.01157 | 0.75    | 0.48 | 2354 | 337 | 50 |
| 1778 | 61        | 40     | 40     | 0.80   | 0.052   | on    | on     | 0.040    | on       | on      | 1280 | 0.01153 | -0.86   | 0.45 | 3704 | 269 | 50 |
| 1779 | 177       | 40     | 80     | 0.73   | 0.014   | on    | on     | 0.131    | on       | on      | 2336 | 0.01134 | -0.85   | 0.53 | 2362 | 340 | 50 |
| 1780 | 216       | 40     | 80     | 0.71   | 0.030   | on    | on     | 0.123    | on       | on      | 2272 | 0.01131 | -0.86   | 0.53 | 2367 | 340 | 50 |
| 1781 | 1238      | 60     | 60     | 0.73   | 0.044   | on    | on     | 0.018    | on       | on      | 2628 | 0.01128 | -0.75   | 0.49 | 3737 | 266 | 50 |
| 1782 | 84        | 40     | 80     | 0.85   | 0.040   | on    | on     | 0.046    | on       | on      | 2720 | 0.01123 | -0.76   | 0.47 | 2836 | 318 | 50 |
| 1783 | 686       | 60     | 40     | 0.81   | 0.052   | on    | on     | 0.156    | on       | on      | 1944 | 0.01116 | -0.89   | 0.54 | 2378 | 340 | 50 |
| 1784 | 690       | 40     | 80     | 0.78   | 0.037   | on    | on     | 0.069    | on       | on      | 2496 | 0.01116 | -0.89   | 0.54 | 2378 | 340 | 50 |
| 1785 | 972       | 60     | 60     | 0.84   | 0.032   | on    | on     | 0.144    | on       | on      | 3024 | 0.01114 | 0.91    | 0.55 | 3648 | 265 | 50 |
| 1786 | 1509      | 80     | 80     | 0.81   | 0.024   | on    | on     | 0.080    | on       | on      | 5184 | 0.01114 | -0.92   | 0.54 | 2482 | 336 | 50 |
| 1787 | 1595      | 120    | 80     | 0.83   | 0.053   | on    | on     | 0.200    | on       | on      | 7968 | 0.01110 | -0.74   | 0.51 | 2337 | 339 | 50 |
| 1788 | 1631      | 100    | 60     | 0.85   | 0.021   | on    | on     | 0.092    | on       | on      | 5100 | 0.01109 | -0.78   | 0.49 | 3742 | 266 | 50 |
| 1789 | 579       | 40     | 80     | 0.79   | 0.044   | on    | on     | 0.112    | on       | on      | 2528 | 0.01107 | 0.88    | 0.54 | 3698 | 264 | 50 |
| 1790 | 1555      | 60     | 60     | 0.79   | 0.037   | on    | on     | 0.100    | on       | on      | 2844 | 0.01107 | 0.88    | 0.54 | 3698 | 264 | 50 |
| 1791 | 1357      | 100    | 60     | 0.87   | 0.044   | on    | on     | 0.040    | on       | on      | 5220 | 0.01106 | -0.79   | 0.52 | 2337 | 340 | 50 |
| 1792 | 1890      | 40     | 40     | 0.81   | 0.034   | on    | on     | 0.091    | on       | on      | 1296 | 0.01105 | 0.76    | 0.43 | 2998 | 291 | 50 |
| 1793 | 1813      | 40     | 80     | 0.70   | 0.025   | on    | on     | 0.132    | on       | on      | 2240 | 0.01095 | -0.78   | 0.52 | 2333 | 340 | 50 |
| 1794 | 482       | 60     | 80     | 0.70   | 0.039   | on    | on     | 0.038    | on       | on      | 3360 | 0.01084 | -0.92   | 0.55 | 2508 | 335 | 50 |
| 1795 | 1769      | 60     | 60     | 0.85   | 0.013   | on    | on     | 0.107    | on       | on      | 3060 | 0.01082 | -1.01   | 0.42 | 3627 | 275 | 50 |
| 1796 | 171       | 80     | 40     | 0.71   | 0.054   | on    | on     | 0.152    | on       | on      | 2272 | 0.01079 | -0.89   | 0.55 | 2356 | 341 | 50 |
| 1797 | 1459      | 80     | 40     | 0.71   | 0.036   | on    | on     | 0.194    | on       | on      | 2272 | 0.01068 | 0.84    | 0.49 | 2339 | 337 | 50 |
| 1798 | 1775      | 40     | 40     | 0.78   | 0.040   | on    | on     | 0.088    | on       | on      | 1248 | 0.01060 | -0.97   | 0.44 | 3692 | 271 | 50 |
| 1799 | 1639      | 40     | 60     | 0.77   | 0.050   | on    | on     | 0.036    | on       | on      | 1848 | 0.01060 | -0.85   | 0.52 | 2670 | 327 | 50 |
| 1800 | 1155      | 80     | 40     | 0.70   | 0.051   | on    | on     | 0.199    | on       | on      | 2240 | 0.01060 | -0.89   | 0.42 | 3143 | 302 | 50 |

ตารางที่ ข.3 รายละเอียดของค่าพารามิเตอร์จำนวน 2,000 ชุด และผลการคำนวณย้อนกลับ (ต่อ)

| Rank | Set Index | maxgen | numpop | pcross | pjumpmu | unifm | icreep | pcreepmu | ibstmold | niching | CE   | Fitness | Max Err | RMSE  | E1   | E2  | E3 |
|------|-----------|--------|--------|--------|---------|-------|--------|----------|----------|---------|------|---------|---------|-------|------|-----|----|
| 1801 | 1224      | 40     | 40     | 0.85   | 0.047   | on    | on     | 0.185    | on       | on      | 1360 | 0.01058 | 0.75    | 0.52  | 3765 | 264 | 50 |
| 1802 | 1885      | 100    | 40     | 0.70   | 0.047   | on    | on     | 0.125    | on       | on      | 2800 | 0.01055 | 0.75    | 0.52  | 3766 | 264 | 50 |
| 1803 | 135       | 60     | 80     | 0.76   | 0.050   | on    | on     | 0.090    | on       | on      | 3648 | 0.01038 | -0.89   | 0.56  | 2336 | 342 | 50 |
| 1804 | 314       | 40     | 40     | 0.79   | 0.034   | on    | on     | 0.130    | on       | on      | 1264 | 0.01004 | -0.97   | 0.41  | 3223 | 298 | 50 |
| 1805 | 698       | 60     | 80     | 0.76   | 0.022   | on    | on     | 0.174    | on       | on      | 3648 | 0.01001 | -0.95   | 0.58  | 2361 | 342 | 50 |
| 1806 | 465       | 60     | 40     | 0.82   | 0.044   | on    | on     | 0.105    | on       | on      | 1968 | 0.00997 | -0.90   | 0.49  | 3769 | 266 | 50 |
| 1807 | 966       | 40     | 40     | 0.72   | 0.043   | on    | on     | 0.113    | on       | on      | 1152 | 0.00992 | -0.29   | 0.17  | 2797 | 312 | 50 |
| 1808 | 1373      | 40     | 80     | 0.77   | 0.035   | on    | on     | 0.067    | on       | on      | 2464 | 0.00984 | 0.82    | 0.52  | 3239 | 279 | 50 |
| 1809 | 895       | 60     | 60     | 0.74   | 0.030   | on    | on     | 0.071    | on       | on      | 2664 | 0.00981 | -0.86   | 0.56  | 2300 | 343 | 50 |
| 1810 | 1109      | 80     | 80     | 0.71   | 0.053   | on    | on     | 0.022    | on       | on      | 4544 | 0.00967 | 0.83    | 0.83  | 3260 | 278 | 50 |
| 1811 | 1610      | 80     | 40     | 0.81   | 0.030   | on    | on     | 0.057    | on       | on      | 2592 | 0.00965 | -0.78   | 0.54  | 2291 | 342 | 50 |
| 1812 | 1390      | 80     | 60     | 0.79   | 0.054   | on    | on     | 0.016    | on       | on      | 3792 | 0.00956 | 0.96    | 0.58  | 3485 | 269 | 50 |
| 1813 | 1247      | 60     | 60     | 0.85   | 0.018   | on    | on     | 0.188    | on       | on      | 3060 | 0.00948 | -0.89   | 0.57  | 2291 | 344 | 50 |
| 1814 | 357       | 40     | 40     | 0.85   | 0.048   | on    | on     | 0.122    | on       | on      | 1360 | 0.00934 | 0.79    | 0.55  | 3817 | 262 | 50 |
| 1815 | 1015      | 40     | 40     | 0.82   | 0.031   | on    | on     | 0.157    | on       | on      | 1312 | 0.00933 | 1.00    | 0.60  | 3707 | 262 | 50 |
| 1816 | 719       | 40     | 40     | 0.74   | 0.033   | on    | on     | 0.181    | on       | on      | 1184 | 0.00925 | 1.01    | 0.60  | 3597 | 265 | 50 |
| 1817 | 1361      | 60     | 60     | 0.70   | 0.033   | on    | on     | 0.122    | on       | on      | 2520 | 0.00919 | 0.85    | 0.57  | 3821 | 261 | 50 |
| 1818 | 696       | 80     | 60     | 0.80   | 0.038   | on    | on     | 0.182    | on       | on      | 3840 | 0.00915 | 2.61    | -0.92 | 2283 | 345 | 50 |
| 1819 | 1629      | 40     | 80     | 0.70   | 0.025   | on    | on     | 0.092    | on       | on      | 2240 | 0.00900 | -0.89   | 0.58  | 2269 | 345 | 50 |
| 1820 | 869       | 40     | 80     | 0.81   | 0.032   | on    | on     | 0.174    | on       | on      | 2592 | 0.00894 | -1.12   | 0.45  | 3653 | 275 | 50 |
| 1821 | 1121      | 40     | 80     | 0.86   | 0.050   | on    | on     | 0.195    | on       | on      | 2752 | 0.00891 | -0.86   | 0.55  | 3835 | 262 | 50 |
| 1822 | 960       | 80     | 80     | 0.79   | 0.053   | on    | on     | 0.098    | on       | on      | 5056 | 0.00883 | 0.89    | 0.59  | 3835 | 260 | 50 |
| 1823 | 1067      | 40     | 60     | 0.84   | 0.040   | on    | on     | 0.108    | on       | on      | 2016 | 0.00882 | -0.95   | 0.60  | 2274 | 346 | 50 |
| 1824 | 1255      | 140    | 80     | 0.72   | 0.009   | on    | on     | 0.025    | on       | on      | 8064 | 0.00882 | -0.96   | 0.60  | 2280 | 346 | 50 |
| 1825 | 1405      | 40     | 60     | 0.72   | 0.032   | on    | on     | 0.181    | on       | on      | 1728 | 0.00881 | -0.97   | 0.60  | 2283 | 346 | 50 |
| 1826 | 692       | 40     | 60     | 0.77   | 0.049   | on    | on     | 0.170    | on       | on      | 1848 | 0.00876 | -0.99   | 0.61  | 2290 | 346 | 50 |
| 1827 | 371       | 60     | 80     | 0.70   | 0.040   | on    | on     | 0.192    | on       | on      | 3360 | 0.00871 | -0.91   | 0.59  | 2259 | 346 | 50 |
| 1828 | 559       | 40     | 40     | 0.71   | 0.017   | on    | on     | 0.193    | on       | on      | 1136 | 0.00870 | -0.83   | 0.56  | 3848 | 261 | 50 |
| 1829 | 784       | 40     | 40     | 0.72   | 0.032   | on    | on     | 0.136    | on       | on      | 1152 | 0.00868 | -1.04   | 0.62  | 2399 | 342 | 50 |
| 1830 | 1770      | 40     | 60     | 0.79   | 0.047   | on    | on     | 0.088    | on       | on      | 1896 | 0.00847 | -1.05   | 0.63  | 2360 | 344 | 50 |
| 1831 | 1846      | 80     | 40     | 0.75   | 0.052   | on    | on     | 0.031    | on       | on      | 2400 | 0.00837 | -0.98   | 0.54  | 3844 | 263 | 50 |
| 1832 | 1474      | 40     | 60     | 0.72   | 0.043   | on    | on     | 0.099    | on       | on      | 1728 | 0.00834 | 1.08    | 0.52  | 2302 | 337 | 50 |
| 1833 | 499       | 140    | 60     | 0.75   | 0.054   | on    | on     | 0.093    | on       | on      | 6300 | 0.00826 | 1.17    | 0.48  | 2387 | 329 | 50 |
| 1834 | 1843      | 40     | 40     | 0.77   | 0.054   | on    | on     | 0.188    | on       | on      | 1232 | 0.00822 | 0.88    | 0.60  | 3873 | 259 | 50 |
| 1835 | 167       | 40     | 40     | 0.74   | 0.037   | on    | on     | 0.186    | on       | on      | 1184 | 0.00817 | -0.97   | 0.55  | 3861 | 262 | 50 |
| 1836 | 1134      | 60     | 80     | 0.77   | 0.034   | on    | on     | 0.173    | on       | on      | 3696 | 0.00816 | -0.97   | 0.62  | 2242 | 348 | 50 |
| 1837 | 1280      | 40     | 60     | 0.81   | 0.050   | on    | on     | 0.017    | on       | on      | 1944 | 0.00813 | -1.02   | 0.63  | 2263 | 348 | 50 |
| 1838 | 1624      | 40     | 80     | 0.82   | 0.024   | on    | on     | 0.192    | on       | on      | 2624 | 0.00810 | 0.98    | 0.63  | 3855 | 258 | 50 |
| 1839 | 1754      | 40     | 40     | 0.72   | 0.038   | on    | on     | 0.095    | on       | on      | 1152 | 0.00798 | -1.06   | 0.64  | 2276 | 348 | 50 |
| 1840 | 1352      | 80     | 80     | 0.86   | 0.054   | on    | on     | 0.154    | on       | on      | 5504 | 0.00787 | -0.91   | 0.61  | 2218 | 348 | 50 |

ตารางที่ ข.3 รายละเอียดของค่าพารามิเตอร์จำนวน 2,000 ชุด และผลการคำนวณย้อนกลับ (ต่อ)

| Rank | Set Index | maxgen | numpop | pcross | pjumpmu | unifm | icreep | pcreepmu | ibstmold | niching | CE   | Fitness | Max Err | RMSE | E1   | E2  | E3 |
|------|-----------|--------|--------|--------|---------|-------|--------|----------|----------|---------|------|---------|---------|------|------|-----|----|
| 1841 | 1889      | 60     | 80     | 0.71   | 0.030   | on    | on     | 0.141    | on       | on      | 3408 | 0.00783 | -1.08   | 0.65 | 2285 | 348 | 50 |
| 1842 | 292       | 60     | 40     | 0.79   | 0.047   | on    | on     | 0.143    | on       | on      | 1896 | 0.00774 | -1.06   | 0.55 | 3863 | 263 | 50 |
| 1843 | 123       | 40     | 60     | 0.72   | 0.046   | on    | on     | 0.194    | on       | on      | 1728 | 0.00768 | 1.04    | 0.65 | 3859 | 257 | 50 |
| 1844 | 223       | 80     | 80     | 0.75   | 0.016   | on    | on     | 0.179    | on       | on      | 4800 | 0.00760 | -1.02   | 0.65 | 2219 | 350 | 50 |
| 1845 | 33        | 40     | 40     | 0.85   | 0.050   | on    | on     | 0.019    | on       | on      | 1360 | 0.00752 | 1.09    | 0.67 | 3836 | 257 | 50 |
| 1846 | 373       | 40     | 80     | 0.85   | 0.023   | on    | on     | 0.089    | on       | on      | 2720 | 0.00743 | 0.91    | 0.53 | 3018 | 288 | 50 |
| 1847 | 1108      | 80     | 60     | 0.78   | 0.022   | on    | on     | 0.014    | on       | on      | 3744 | 0.00741 | -0.90   | 0.61 | 3923 | 258 | 50 |
| 1848 | 655       | 100    | 60     | 0.73   | 0.049   | on    | on     | 0.085    | on       | on      | 4380 | 0.00739 | -1.15   | 0.48 | 3293 | 296 | 50 |
| 1849 | 1635      | 100    | 60     | 0.77   | 0.042   | on    | on     | 0.120    | on       | on      | 4620 | 0.00735 | -1.04   | 0.66 | 2210 | 351 | 50 |
| 1850 | 1636      | 100    | 80     | 0.86   | 0.048   | on    | on     | 0.146    | on       | on      | 6880 | 0.00735 | -1.04   | 0.66 | 2210 | 351 | 50 |
| 1851 | 1209      | 40     | 80     | 0.71   | 0.050   | on    | on     | 0.191    | on       | on      | 2272 | 0.00732 | -1.02   | 0.65 | 2201 | 351 | 50 |
| 1852 | 1740      | 40     | 40     | 0.74   | 0.047   | on    | on     | 0.073    | on       | on      | 1184 | 0.00713 | 1.12    | 0.68 | 3854 | 256 | 50 |
| 1853 | 1887      | 80     | 60     | 0.85   | 0.047   | on    | on     | 0.048    | on       | on      | 4080 | 0.00710 | -1.06   | 0.67 | 2195 | 352 | 50 |
| 1854 | 679       | 60     | 60     | 0.84   | 0.028   | on    | on     | 0.036    | on       | on      | 3024 | 0.00708 | -1.04   | 0.67 | 2189 | 352 | 50 |
| 1855 | 1462      | 60     | 40     | 0.72   | 0.054   | on    | on     | 0.058    | on       | on      | 1728 | 0.00704 | 1.11    | 0.58 | 2214 | 344 | 50 |
| 1856 | 474       | 100    | 80     | 0.81   | 0.041   | on    | on     | 0.157    | on       | on      | 6480 | 0.00688 | -0.99   | 0.66 | 2167 | 352 | 50 |
| 1857 | 898       | 40     | 60     | 0.79   | 0.048   | on    | on     | 0.129    | on       | on      | 1896 | 0.00670 | -2.54   | 1.54 | 3456 | 261 | 51 |
| 1858 | 55        | 80     | 60     | 0.87   | 0.052   | on    | on     | 0.111    | on       | on      | 4176 | 0.00667 | -2.48   | 1.53 | 3314 | 266 | 51 |
| 1859 | 1648      | 80     | 80     | 0.73   | 0.045   | on    | on     | 0.127    | on       | on      | 4672 | 0.00662 | 1.04    | 0.68 | 3970 | 254 | 50 |
| 1860 | 1637      | 40     | 40     | 0.79   | 0.045   | on    | on     | 0.182    | on       | on      | 1264 | 0.00660 | -2.44   | 1.52 | 3267 | 269 | 51 |
| 1861 | 555       | 40     | 60     | 0.74   | 0.025   | on    | on     | 0.174    | on       | on      | 1776 | 0.00660 | -1.06   | 0.69 | 2158 | 354 | 50 |
| 1862 | 222       | 60     | 60     | 0.77   | 0.046   | on    | on     | 0.109    | on       | on      | 2772 | 0.00659 | -2.44   | 1.52 | 3260 | 269 | 51 |
| 1863 | 797       | 60     | 60     | 0.82   | 0.053   | on    | on     | 0.190    | on       | on      | 2952 | 0.00658 | -2.59   | 1.56 | 3490 | 257 | 51 |
| 1864 | 1826      | 100    | 40     | 0.85   | 0.043   | on    | on     | 0.091    | on       | on      | 3400 | 0.00658 | -1.06   | 0.69 | 2155 | 354 | 50 |
| 1865 | 672       | 60     | 80     | 0.78   | 0.042   | on    | on     | 0.154    | on       | on      | 3744 | 0.00658 | -0.99   | 0.64 | 3982 | 256 | 50 |
| 1866 | 1237      | 60     | 60     | 0.80   | 0.042   | on    | on     | 0.113    | on       | on      | 2880 | 0.00651 | -2.62   | 1.57 | 3606 | 254 | 51 |
| 1867 | 1346      | 120    | 40     | 0.80   | 0.051   | on    | on     | 0.097    | on       | on      | 3840 | 0.00640 | -2.64   | 1.58 | 3650 | 252 | 51 |
| 1868 | 1404      | 80     | 40     | 0.85   | 0.043   | on    | on     | 0.182    | on       | on      | 2720 | 0.00631 | -1.21   | 0.72 | 2341 | 348 | 50 |
| 1869 | 1380      | 40     | 40     | 0.85   | 0.054   | on    | on     | 0.200    | on       | on      | 1360 | 0.00627 | 1.04    | 0.69 | 4003 | 253 | 50 |
| 1870 | 505       | 60     | 80     | 0.78   | 0.038   | on    | on     | 0.177    | on       | on      | 3744 | 0.00622 | -1.03   | 0.69 | 2126 | 355 | 50 |
| 1871 | 1771      | 40     | 80     | 0.75   | 0.035   | on    | on     | 0.054    | on       | on      | 2400 | 0.00614 | -1.17   | 0.70 | 2478 | 341 | 50 |
| 1872 | 1858      | 40     | 80     | 0.76   | 0.050   | on    | on     | 0.073    | on       | on      | 2432 | 0.00597 | -1.04   | 0.59 | 3017 | 312 | 50 |
| 1873 | 842       | 40     | 40     | 0.73   | 0.039   | on    | on     | 0.136    | on       | on      | 1168 | 0.00596 | 1.17    | 0.65 | 2137 | 350 | 50 |
| 1874 | 821       | 40     | 40     | 0.71   | 0.050   | on    | on     | 0.112    | on       | on      | 1136 | 0.00591 | -2.58   | 1.56 | 3606 | 257 | 51 |
| 1875 | 964       | 40     | 80     | 0.84   | 0.039   | on    | on     | 0.040    | on       | on      | 2688 | 0.00589 | -2.38   | 1.52 | 3260 | 273 | 51 |
| 1876 | 931       | 40     | 60     | 0.71   | 0.053   | on    | on     | 0.038    | on       | on      | 1704 | 0.00588 | -1.07   | 0.72 | 2103 | 357 | 50 |
| 1877 | 1773      | 40     | 40     | 0.75   | 0.039   | on    | on     | 0.042    | on       | on      | 1200 | 0.00586 | 2.60    | 1.60 | 2734 | 335 | 49 |
| 1878 | 1383      | 60     | 40     | 0.84   | 0.031   | on    | on     | 0.094    | on       | on      | 2016 | 0.00586 | -1.18   | 0.74 | 2126 | 358 | 50 |
| 1879 | 1232      | 100    | 60     | 0.83   | 0.038   | on    | on     | 0.111    | on       | on      | 4980 | 0.00586 | 2.61    | 1.61 | 2711 | 336 | 49 |
| 1880 | 408       | 120    | 80     | 0.81   | 0.035   | on    | on     | 0.028    | on       | on      | 7776 | 0.00586 | 2.61    | 1.61 | 2711 | 336 | 49 |

ตารางที่ ข.3 รายละเอียดของค่าพารามิเตอร์จำนวน 2,000 ชุด และผลการคำนวณย้อนกลับ (ต่อ)

| Rank | Set Index | maxgen | numpop | pcross | pjumpmu | unifm | icreep | pcreepmu | ibstmold | niching | CE   | Fitness | Max Err | RMSE | E1   | E2  | E3 |
|------|-----------|--------|--------|--------|---------|-------|--------|----------|----------|---------|------|---------|---------|------|------|-----|----|
| 1881 | 1017      | 140    | 80     | 0.85   | 0.043   | on    | on     | 0.025    | on       | on      | 9520 | 0.00586 | 2.61    | 1.61 | 2715 | 336 | 49 |
| 1882 | 1444      | 40     | 40     | 0.75   | 0.032   | on    | on     | 0.096    | on       | on      | 1200 | 0.00585 | 2.59    | 1.60 | 2752 | 334 | 49 |
| 1883 | 96        | 40     | 40     | 0.87   | 0.042   | on    | on     | 0.153    | on       | on      | 1392 | 0.00585 | 2.62    | 1.61 | 2704 | 337 | 49 |
| 1884 | 549       | 40     | 80     | 0.75   | 0.028   | on    | on     | 0.010    | on       | on      | 2400 | 0.00585 | 2.62    | 1.61 | 2701 | 337 | 49 |
| 1885 | 506       | 80     | 40     | 0.87   | 0.038   | on    | on     | 0.095    | on       | on      | 2784 | 0.00585 | 2.60    | 1.61 | 2723 | 335 | 49 |
| 1886 | 460       | 100    | 80     | 0.71   | 0.043   | on    | on     | 0.117    | on       | on      | 5680 | 0.00585 | 2.60    | 1.60 | 2740 | 335 | 49 |
| 1887 | 786       | 100    | 40     | 0.75   | 0.033   | on    | on     | 0.185    | on       | on      | 3000 | 0.00584 | 2.63    | 1.62 | 2677 | 338 | 49 |
| 1888 | 848       | 80     | 60     | 0.72   | 0.048   | on    | on     | 0.125    | on       | on      | 3456 | 0.00584 | 2.61    | 1.61 | 2701 | 336 | 49 |
| 1889 | 152       | 140    | 40     | 0.72   | 0.047   | on    | on     | 0.017    | on       | on      | 4032 | 0.00584 | 2.56    | 1.59 | 2778 | 332 | 49 |
| 1890 | 1360      | 120    | 80     | 0.71   | 0.036   | on    | on     | 0.022    | on       | on      | 6816 | 0.00583 | 2.64    | 1.62 | 2670 | 339 | 49 |
| 1891 | 778       | 120    | 40     | 0.77   | 0.032   | on    | on     | 0.129    | on       | on      | 3696 | 0.00582 | 2.55    | 1.59 | 2800 | 331 | 49 |
| 1892 | 1764      | 40     | 60     | 0.75   | 0.054   | on    | on     | 0.110    | on       | on      | 1800 | 0.00580 | 2.55    | 1.59 | 2808 | 301 | 49 |
| 1893 | 788       | 60     | 40     | 0.87   | 0.052   | on    | on     | 0.029    | on       | on      | 2088 | 0.00580 | 2.63    | 1.62 | 2663 | 338 | 49 |
| 1894 | 1093      | 80     | 40     | 0.71   | 0.035   | on    | on     | 0.139    | on       | on      | 2272 | 0.00580 | 2.54    | 1.58 | 2810 | 330 | 49 |
| 1895 | 214       | 140    | 60     | 0.87   | 0.018   | on    | on     | 0.182    | on       | on      | 7308 | 0.00579 | 2.66    | 1.63 | 2629 | 341 | 49 |
| 1896 | 887       | 80     | 60     | 0.86   | 0.040   | on    | on     | 0.137    | on       | on      | 4128 | 0.00578 | 2.63    | 1.62 | 2707 | 338 | 49 |
| 1897 | 1964      | 40     | 80     | 0.70   | 0.044   | on    | on     | 0.178    | on       | on      | 2240 | 0.00576 | 2.59    | 1.61 | 2700 | 355 | 50 |
| 1898 | 1030      | 100    | 40     | 0.79   | 0.052   | on    | on     | 0.105    | on       | on      | 3160 | 0.00576 | 2.68    | 1.64 | 2633 | 342 | 49 |
| 1899 | 674       | 40     | 40     | 0.70   | 0.029   | on    | on     | 0.177    | on       | on      | 1120 | 0.00575 | 2.52    | 1.58 | 2843 | 328 | 49 |
| 1900 | 1601      | 80     | 40     | 0.78   | 0.043   | on    | on     | 0.111    | on       | on      | 2496 | 0.00575 | 2.69    | 1.64 | 2606 | 343 | 49 |
| 1901 | 1191      | 100    | 80     | 0.86   | 0.046   | on    | on     | 0.055    | on       | on      | 6880 | 0.00575 | 2.55    | 1.59 | 2769 | 331 | 49 |
| 1902 | 1700      | 140    | 60     | 0.84   | 0.047   | on    | on     | 0.178    | on       | on      | 7056 | 0.00575 | 2.52    | 1.58 | 2834 | 328 | 49 |
| 1903 | 889       | 40     | 80     | 0.73   | 0.040   | on    | on     | 0.025    | on       | on      | 2336 | 0.00572 | 2.62    | 1.61 | 2734 | 337 | 49 |
| 1904 | 412       | 40     | 40     | 0.75   | 0.038   | on    | on     | 0.171    | on       | on      | 1200 | 0.00571 | 2.53    | 1.58 | 2853 | 329 | 49 |
| 1905 | 26        | 60     | 80     | 0.74   | 0.050   | on    | on     | 0.077    | on       | on      | 3552 | 0.00569 | 2.71    | 1.65 | 2578 | 345 | 49 |
| 1906 | 822       | 60     | 40     | 0.80   | 0.043   | on    | on     | 0.071    | on       | on      | 1920 | 0.00568 | 2.65    | 1.64 | 2618 | 340 | 49 |
| 1907 | 397       | 40     | 60     | 0.70   | 0.021   | on    | on     | 0.031    | on       | on      | 1680 | 0.00567 | 2.50    | 1.57 | 2892 | 326 | 49 |
| 1908 | 922       | 40     | 80     | 0.83   | 0.035   | on    | on     | 0.116    | on       | on      | 2656 | 0.00565 | 2.72    | 1.66 | 2557 | 346 | 49 |
| 1909 | 1879      | 60     | 60     | 0.85   | 0.032   | on    | on     | 0.139    | on       | on      | 3060 | 0.00565 | 2.48    | 1.57 | 2902 | 325 | 49 |
| 1910 | 1593      | 40     | 40     | 0.72   | 0.042   | on    | on     | 0.172    | on       | on      | 1152 | 0.00563 | -2.29   | 1.49 | 2991 | 282 | 51 |
| 1911 | 1571      | 60     | 80     | 0.80   | 0.054   | on    | on     | 0.184    | on       | on      | 3840 | 0.00563 | 2.71    | 1.66 | 2554 | 345 | 49 |
| 1912 | 1530      | 140    | 40     | 0.71   | 0.008   | on    | on     | 0.014    | on       | on      | 3976 | 0.00563 | 2.72    | 1.66 | 2547 | 346 | 49 |
| 1913 | 885       | 140    | 80     | 0.79   | 0.052   | on    | on     | 0.014    | on       | on      | 8848 | 0.00563 | 2.72    | 1.66 | 2547 | 346 | 49 |
| 1914 | 1937      | 60     | 40     | 0.80   | 0.046   | on    | on     | 0.096    | on       | on      | 1920 | 0.00562 | 2.73    | 1.67 | 2547 | 347 | 49 |
| 1915 | 1899      | 140    | 40     | 0.72   | 0.054   | on    | on     | 0.126    | on       | on      | 4032 | 0.00561 | 2.73    | 1.67 | 2541 | 347 | 49 |
| 1916 | 644       | 60     | 80     | 0.70   | 0.046   | on    | on     | 0.088    | on       | on      | 3360 | 0.00560 | 2.47    | 1.56 | 2923 | 324 | 49 |
| 1917 | 471       | 60     | 40     | 0.87   | 0.045   | on    | on     | 0.119    | on       | on      | 2088 | 0.00558 | 2.70    | 1.66 | 2547 | 345 | 49 |
| 1918 | 1464      | 40     | 80     | 0.71   | 0.020   | on    | on     | 0.032    | on       | on      | 2272 | 0.00558 | 2.65    | 1.62 | 2716 | 339 | 49 |
| 1919 | 824       | 40     | 40     | 0.71   | 0.054   | on    | on     | 0.120    | on       | on      | 1136 | 0.00557 | 2.65    | 1.62 | 2717 | 339 | 49 |
| 1920 | 1033      | 120    | 40     | 0.78   | 0.051   | on    | on     | 0.101    | on       | on      | 3744 | 0.00556 | 2.74    | 1.67 | 2546 | 348 | 49 |

ตารางที่ ข.3 รายละเอียดของค่าพารามิเตอร์จำนวน 2,000 ชุด และผลการคำนวณย้อนกลับ (ต่อ)

| Rank | Set Index | maxgen | numpop | pcross | pjumpmu | unifm | icreep | pcreepmu | ibstmold | niching | CE   | Fitness | Max Err | RMSE | E1   | E2  | E3 |
|------|-----------|--------|--------|--------|---------|-------|--------|----------|----------|---------|------|---------|---------|------|------|-----|----|
| 1921 | 189       | 80     | 60     | 0.84   | 0.054   | on    | on     | 0.058    | on       | on      | 4032 | 0.00553 | 2.79    | 1.70 | 2454 | 353 | 49 |
| 1922 | 582       | 40     | 60     | 0.87   | 0.038   | on    | on     | 0.101    | on       | on      | 2088 | 0.00553 | 2.75    | 1.68 | 2517 | 349 | 49 |
| 1923 | 1522      | 40     | 80     | 0.73   | 0.042   | on    | on     | 0.088    | on       | on      | 2336 | 0.00552 | -1.22   | 0.08 | 2105 | 360 | 50 |
| 1924 | 1570      | 100    | 80     | 0.86   | 0.026   | on    | on     | 0.023    | on       | on      | 6880 | 0.00549 | 2.76    | 1.68 | 2503 | 350 | 49 |
| 1925 | 1074      | 80     | 80     | 0.73   | 0.048   | on    | on     | 0.010    | on       | on      | 4672 | 0.00547 | 2.44    | 1.56 | 2965 | 321 | 49 |
| 1926 | 1353      | 40     | 80     | 0.83   | 0.033   | on    | on     | 0.015    | on       | on      | 2656 | 0.00545 | -2.69   | 1.60 | 3828 | 247 | 51 |
| 1927 | 563       | 100    | 40     | 0.74   | 0.053   | on    | on     | 0.055    | on       | on      | 2960 | 0.00545 | 2.43    | 1.56 | 2945 | 321 | 49 |
| 1928 | 1453      | 80     | 80     | 0.75   | 0.043   | on    | on     | 0.015    | on       | on      | 4800 | 0.00543 | 2.77    | 1.69 | 2482 | 351 | 49 |
| 1929 | 1392      | 100    | 40     | 0.76   | 0.050   | on    | on     | 0.015    | on       | on      | 3040 | 0.00539 | 2.79    | 1.69 | 2479 | 352 | 49 |
| 1930 | 1147      | 60     | 80     | 0.75   | 0.047   | on    | on     | 0.060    | on       | on      | 3600 | 0.00538 | 2.76    | 1.68 | 2556 | 349 | 49 |
| 1931 | 111       | 100    | 60     | 0.73   | 0.045   | on    | on     | 0.057    | on       | on      | 4380 | 0.00538 | 2.77    | 1.69 | 2466 | 351 | 49 |
| 1932 | 1007      | 40     | 60     | 0.75   | 0.038   | on    | on     | 0.164    | on       | on      | 1800 | 0.00536 | 2.52    | 1.60 | 2762 | 329 | 49 |
| 1933 | 1105      | 60     | 60     | 0.81   | 0.051   | on    | on     | 0.178    | on       | on      | 2916 | 0.00536 | 2.43    | 1.56 | 2925 | 321 | 49 |
| 1934 | 368       | 60     | 40     | 0.73   | 0.040   | on    | on     | 0.188    | on       | on      | 1752 | 0.00534 | -1.11   | 0.75 | 2061 | 360 | 50 |
| 1935 | 1068      | 60     | 80     | 0.70   | 0.029   | on    | on     | 0.114    | on       | on      | 3360 | 0.00534 | 2.80    | 1.70 | 2464 | 353 | 49 |
| 1936 | 489       | 60     | 40     | 0.79   | 0.007   | on    | on     | 0.157    | on       | on      | 1896 | 0.00533 | 1.24    | 0.68 | 2093 | 353 | 50 |
| 1937 | 1246      | 40     | 60     | 0.75   | 0.050   | on    | on     | 0.023    | on       | on      | 1800 | 0.00532 | 1.46    | 0.55 | 2496 | 317 | 50 |
| 1938 | 184       | 60     | 40     | 0.79   | 0.044   | on    | on     | 0.145    | on       | on      | 1896 | 0.00532 | 2.79    | 1.70 | 2447 | 353 | 50 |
| 1939 | 194       | 100    | 80     | 0.83   | 0.014   | on    | on     | 0.114    | on       | on      | 6640 | 0.00531 | 2.79    | 1.70 | 2444 | 353 | 50 |
| 1940 | 756       | 120    | 60     | 0.82   | 0.011   | on    | on     | 0.096    | on       | on      | 5904 | 0.00529 | -2.79   | 1.65 | 3819 | 241 | 51 |
| 1941 | 604       | 60     | 60     | 0.82   | 0.054   | on    | on     | 0.051    | on       | on      | 2952 | 0.00528 | 2.40    | 1.55 | 3028 | 318 | 49 |
| 1942 | 1941      | 80     | 80     | 0.76   | 0.044   | on    | on     | 0.147    | on       | on      | 4864 | 0.00528 | 2.81    | 1.71 | 2454 | 354 | 49 |
| 1943 | 1272      | 80     | 40     | 0.78   | 0.050   | on    | on     | 0.152    | on       | on      | 2496 | 0.00525 | 0.86    | 0.54 | 3153 | 282 | 50 |
| 1944 | 661       | 40     | 80     | 0.84   | 0.013   | on    | on     | 0.058    | on       | on      | 2688 | 0.00522 | -2.81   | 1.65 | 3884 | 239 | 51 |
| 1945 | 1019      | 60     | 80     | 0.73   | 0.041   | on    | on     | 0.090    | on       | on      | 3504 | 0.00521 | -1.26   | 0.79 | 2083 | 262 | 50 |
| 1946 | 1330      | 40     | 60     | 0.85   | 0.023   | on    | on     | 0.082    | on       | on      | 2040 | 0.00520 | 2.82    | 1.72 | 2415 | 355 | 49 |
| 1947 | 331       | 40     | 60     | 0.84   | 0.018   | on    | on     | 0.189    | on       | on      | 2016 | 0.00519 | -1.34   | 0.80 | 2168 | 359 | 50 |
| 1948 | 1194      | 40     | 60     | 0.72   | 0.013   | on    | on     | 0.156    | on       | on      | 1728 | 0.00518 | -2.82   | 1.66 | 3921 | 238 | 51 |
| 1949 | 1110      | 40     | 40     | 0.86   | 0.042   | on    | on     | 0.099    | on       | on      | 1376 | 0.00517 | -2.21   | 1.49 | 2903 | 288 | 51 |
| 1950 | 616       | 40     | 60     | 0.73   | 0.046   | on    | on     | 0.092    | on       | on      | 1752 | 0.00517 | 2.83    | 1.72 | 2430 | 356 | 49 |
| 1951 | 1440      | 40     | 80     | 0.75   | 0.045   | on    | on     | 0.163    | on       | on      | 2400 | 0.00517 | 1.51    | 0.57 | 2397 | 324 | 50 |
| 1952 | 1861      | 60     | 80     | 0.71   | 0.051   | on    | on     | 0.184    | on       | on      | 3408 | 0.00517 | 2.83    | 1.72 | 2427 | 356 | 49 |
| 1953 | 237       | 40     | 80     | 0.75   | 0.050   | on    | on     | 0.142    | on       | on      | 2400 | 0.00501 | 2.86    | 1.74 | 2381 | 359 | 49 |
| 1954 | 1608      | 40     | 40     | 0.75   | 0.039   | on    | on     | 0.095    | on       | on      | 1200 | 0.00496 | -1.39   | 0.59 | 3344 | 296 | 50 |
| 1955 | 854       | 80     | 60     | 0.70   | 0.053   | on    | on     | 0.064    | on       | on      | 3360 | 0.00491 | 2.33    | 1.54 | 3124 | 312 | 49 |
| 1956 | 1867      | 40     | 40     | 0.84   | 0.025   | on    | on     | 0.027    | on       | on      | 1344 | 0.00490 | 2.35    | 1.54 | 3135 | 313 | 49 |
| 1957 | 438       | 40     | 60     | 0.76   | 0.052   | on    | on     | 0.120    | on       | on      | 1824 | 0.00484 | -1.17   | 0.72 | 2731 | 329 | 50 |
| 1958 | 1328      | 60     | 60     | 0.73   | 0.031   | on    | on     | 0.072    | on       | on      | 2628 | 0.00483 | 2.32    | 1.54 | 3149 | 311 | 49 |
| 1959 | 440       | 60     | 80     | 0.70   | 0.052   | on    | on     | 0.194    | on       | on      | 3360 | 0.00480 | -1.38   | 0.82 | 2284 | 354 | 50 |
| 1960 | 557       | 100    | 40     | 0.85   | 0.031   | on    | on     | 0.021    | on       | on      | 3400 | 0.00475 | -1.37   | 0.61 | 3274 | 300 | 50 |

ตารางที่ ข.3 รายละเอียดของค่าพารามิเตอร์จำนวน 2,000 ชุด และผลการคำนวณย้อนกลับ (ต่อ)

| Rank | Set Index | maxgen | numpop | pcross | pjumpmu | unifm | icreep | pcreepmu | ibstmold | niching | CE   | Fitness | Max Err | RMSE | E1   | E2  | E3 |
|------|-----------|--------|--------|--------|---------|-------|--------|----------|----------|---------|------|---------|---------|------|------|-----|----|
| 1961 | 492       | 40     | 40     | 0.75   | 0.047   | on    | on     | 0.164    | on       | on      | 1200 | 0.00470 | 2.91    | 1.77 | 2317 | 364 | 49 |
| 1962 | 1381      | 80     | 40     | 0.70   | 0.010   | on    | on     | 0.153    | on       | on      | 2240 | 0.00470 | -2.87   | 1.68 | 4066 | 233 | 51 |
| 1963 | 1848      | 60     | 40     | 0.84   | 0.011   | on    | on     | 0.138    | on       | on      | 2016 | 0.00469 | -2.87   | 1.68 | 4084 | 233 | 51 |
| 1964 | 580       | 40     | 60     | 0.78   | 0.042   | on    | on     | 0.049    | on       | on      | 1872 | 0.00465 | 2.91    | 1.78 | 2287 | 364 | 49 |
| 1965 | 1313      | 60     | 60     | 0.76   | 0.044   | on    | on     | 0.158    | on       | on      | 2736 | 0.00458 | 2.94    | 1.79 | 2291 | 366 | 49 |
| 1966 | 745       | 40     | 40     | 0.79   | 0.025   | on    | on     | 0.037    | on       | on      | 1264 | 0.00449 | -2.90   | 1.70 | 4105 | 231 | 51 |
| 1967 | 736       | 40     | 80     | 0.84   | 0.038   | on    | on     | 0.197    | on       | on      | 2688 | 0.00448 | 2.94    | 1.80 | 2250 | 367 | 49 |
| 1968 | 1021      | 100    | 40     | 0.76   | 0.048   | on    | on     | 0.188    | on       | on      | 3040 | 0.00448 | -2.89   | 1.69 | 4138 | 231 | 51 |
| 1969 | 1085      | 40     | 60     | 0.75   | 0.038   | on    | on     | 0.094    | on       | on      | 1800 | 0.00440 | 2.94    | 1.76 | 2332 | 366 | 49 |
| 1970 | 416       | 40     | 80     | 0.82   | 0.007   | on    | on     | 0.040    | on       | on      | 2624 | 0.00440 | 2.97    | 1.81 | 2245 | 369 | 49 |
| 1971 | 942       | 40     | 60     | 0.74   | 0.046   | on    | on     | 0.166    | on       | on      | 1776 | 0.00439 | 2.25    | 1.54 | 3246 | 305 | 49 |
| 1972 | 1659      | 60     | 40     | 0.86   | 0.048   | on    | on     | 0.092    | on       | on      | 2064 | 0.00428 | 2.99    | 1.82 | 2226 | 371 | 49 |
| 1973 | 379       | 60     | 80     | 0.76   | 0.052   | on    | on     | 0.047    | on       | on      | 3648 | 0.00426 | 2.73    | 1.68 | 2692 | 346 | 49 |
| 1974 | 717       | 40     | 40     | 0.81   | 0.048   | on    | on     | 0.086    | on       | on      | 1296 | 0.00418 | 2.99    | 1.82 | 2258 | 371 | 49 |
| 1975 | 287       | 40     | 40     | 0.79   | 0.007   | on    | on     | 0.156    | on       | on      | 1264 | 0.00415 | 3.01    | 1.84 | 2188 | 373 | 49 |
| 1976 | 874       | 40     | 40     | 0.76   | 0.036   | on    | on     | 0.065    | on       | on      | 1216 | 0.00411 | 3.01    | 1.84 | 2222 | 373 | 49 |
| 1977 | 1995      | 80     | 60     | 0.83   | 0.054   | on    | on     | 0.104    | on       | on      | 3984 | 0.00409 | -1.47   | 0.90 | 2020 | 370 | 50 |
| 1978 | 215       | 60     | 80     | 0.73   | 0.049   | on    | on     | 0.042    | on       | on      | 3504 | 0.00404 | 1.71    | 0.65 | 2242 | 334 | 50 |
| 1979 | 1343      | 60     | 60     | 0.71   | 0.042   | on    | on     | 0.122    | on       | on      | 2556 | 0.00394 | 1.43    | 0.91 | 4240 | 241 | 50 |
| 1980 | 1719      | 120    | 40     | 0.84   | 0.006   | on    | on     | 0.076    | on       | on      | 4032 | 0.00369 | -2.97   | 1.73 | 4357 | 244 | 51 |
| 1981 | 1591      | 40     | 40     | 0.76   | 0.034   | on    | on     | 0.184    | on       | on      | 1216 | 0.00351 | 3.02    | 1.85 | 2298 | 373 | 49 |
| 1982 | 930       | 80     | 60     | 0.77   | 0.047   | on    | on     | 0.085    | on       | on      | 3696 | 0.00346 | 2.11    | 1.56 | 3443 | 293 | 49 |
| 1983 | 265       | 40     | 40     | 0.84   | 0.052   | on    | on     | 0.092    | on       | on      | 1344 | 0.00345 | -1.63   | 0.81 | 4315 | 247 | 50 |
| 1984 | 1219      | 40     | 40     | 0.79   | 0.045   | on    | on     | 0.040    | on       | on      | 1264 | 0.00337 | 1.82    | 0.69 | 2425 | 318 | 50 |
| 1985 | 228       | 100    | 60     | 0.81   | 0.048   | on    | on     | 0.061    | on       | on      | 4860 | 0.00334 | 1.86    | 0.70 | 2355 | 323 | 50 |
| 1986 | 1276      | 40     | 40     | 0.81   | 0.054   | on    | on     | 0.068    | on       | on      | 1296 | 0.00332 | -1.40   | 0.96 | 1831 | 380 | 50 |
| 1987 | 648       | 40     | 40     | 0.75   | 0.015   | on    | on     | 0.011    | on       | on      | 1200 | 0.00329 | 2.10    | 1.55 | 3574 | 291 | 49 |
| 1988 | 830       | 40     | 60     | 0.80   | 0.006   | on    | on     | 0.193    | on       | on      | 1920 | 0.00321 | -3.05   | 1.79 | 4499 | 217 | 50 |
| 1989 | 352       | 40     | 60     | 0.76   | 0.036   | on    | on     | 0.099    | on       | on      | 1824 | 0.00311 | -2.03   | 1.48 | 2506 | 304 | 50 |
| 1990 | 878       | 60     | 40     | 0.78   | 0.030   | on    | on     | 0.059    | on       | on      | 1872 | 0.00304 | 3.17    | 1.98 | 1938 | 390 | 49 |
| 1991 | 1849      | 60     | 40     | 0.76   | 0.017   | on    | on     | 0.181    | on       | on      | 1824 | 0.00298 | -3.08   | 1.81 | 4629 | 214 | 51 |
| 1992 | 614       | 40     | 40     | 0.81   | 0.040   | on    | on     | 0.032    | on       | on      | 1296 | 0.00290 | 3.17    | 1.97 | 2116 | 388 | 49 |
| 1993 | 197       | 60     | 60     | 0.82   | 0.006   | on    | on     | 0.011    | on       | on      | 2952 | 0.00280 | -3.09   | 1.81 | 4663 | 213 | 51 |
| 1994 | 924       | 40     | 40     | 0.80   | 0.017   | on    | on     | 0.138    | on       | on      | 1280 | 0.00271 | -3.14   | 1.86 | 4649 | 210 | 51 |
| 1995 | 800       | 40     | 40     | 0.79   | 0.027   | on    | on     | 0.077    | on       | on      | 1264 | 0.00263 | -3.12   | 1.84 | 4736 | 210 | 51 |
| 1996 | 1703      | 40     | 80     | 0.75   | 0.047   | on    | on     | 0.091    | on       | on      | 2400 | 0.00236 | 1.79    | 1.17 | 4666 | 225 | 50 |
| 1997 | 1393      | 60     | 40     | 0.77   | 0.054   | on    | on     | 0.088    | on       | on      | 1848 | 0.00168 | 3.66    | 2.36 | 1496 | 438 | 49 |
| 1998 | 543       | 40     | 40     | 0.85   | 0.053   | on    | on     | 0.188    | on       | on      | 1360 | 0.00163 | -4.96   | 3.02 | 3678 | 228 | 52 |
| 1999 | 286       | 100    | 40     | 0.79   | 0.029   | on    | on     | 0.158    | on       | on      | 3160 | 0.00129 | 5.16    | 3.21 | 2819 | 359 | 48 |
| 2000 | 907       | 140    | 40     | 0.78   | 0.042   | on    | on     | 0.116    | on       | on      | 4368 | 0.00055 | 2.75    | 1.68 | 2509 | 349 | 49 |



ตารางที่ ข.4 ผลการคำนวณย้อนกลับของแบบจำลองโครงสร้างทางจากชุดพารามิเตอร์ 77 ชุด

| Rank | Model. No | Best Fitn. | Max Err | RMSE [%] | E1   | E2  | E3  | Err. E [%] |
|------|-----------|------------|---------|----------|------|-----|-----|------------|
| 1    | 1         | 0.03534    | 0.54    | 0.30     | 750  | 177 | 45  | 4.23       |
|      | 2         | 0.00375    | 2.44    | 1.43     | 787  | 174 | 44  | 11.81      |
|      | 3         | 0.00500    | -3.48   | 2.11     | 652  | 192 | 57  | 3.13       |
|      | 4         | 0.03716    | 1.13    | 0.85     | 2602 | 398 | 89  | 2.46       |
|      | 5         | 0.00052    | -6.40   | 4.13     | 1838 | 222 | 42  | 50.74      |
|      | 6         | 0.00263    | -10.61  | 5.38     | 2530 | 240 | 106 | 24.66      |
|      | 7         | 0.00503    | -3.17   | 2.08     | 2539 | 528 | 87  | 9.66       |
|      | 8         | 0.00534    | -2.34   | 1.49     | 1891 | 305 | 51  | 16.82      |
|      | 9         | 0.00259    | 2.41    | 1.71     | 566  | 139 | 59  | 12.84      |
|      | 10        | 0.00413    | -4.19   | 2.26     | 1263 | 176 | 52  | 7.91       |
|      | Avg.      | 0.01015    |         | 2.17     |      |     |     | 14.43      |
| 2    | 1         | 0.00603    | 1.24    | 0.71     | 832  | 173 | 45  | 11.12      |
|      | 2         | 0.67711    | -0.08   | 0.03     | 902  | 150 | 45  | 0.13       |
|      | 3         | 0.06269    | -0.48   | 0.28     | 628  | 203 | 55  | 2.14       |
|      | 4         | 0.56750    | 0.16    | 0.07     | 2479 | 400 | 90  | 0.48       |
|      | 5         | 0.11037    | 0.23    | 0.14     | 941  | 305 | 40  | 3.54       |
|      | 6         | 0.13209    | 1.11    | 0.59     | 1928 | 370 | 94  | 3.95       |
|      | 7         | 0.59667    | -0.19   | 0.11     | 2157 | 505 | 90  | 1.27       |
|      | 8         | 0.00699    | -2.26   | 1.38     | 1814 | 310 | 51  | 13.82      |
|      | 9         | 0.01669    | 0.56    | 0.32     | 756  | 122 | 60  | 4.82       |
|      | 10        | 0.00294    | -2.41   | 1.51     | 1523 | 160 | 51  | 19.40      |
|      | Avg       | 0.21791    |         | 0.51     |      |     |     | 6.07       |
| 3    | 1         | 0.01221    | 0.89    | 0.49     | 830  | 178 | 45  | 10.74      |
|      | 2         | 0.24205    | -0.19   | 0.13     | 952  | 153 | 45  | 3.53       |
|      | 3         | 0.03946    | -0.66   | 0.37     | 625  | 204 | 55  | 2.50       |
|      | 4         | 0.00517    | -4.51   | 2.61     | 3645 | 311 | 93  | 29.46      |
|      | 5         | 0.00310    | 1.39    | 0.92     | 1528 | 261 | 40  | 31.39      |
|      | 6         | 0.03146    | -2.19   | 1.16     | 2227 | 308 | 97  | 9.61       |
|      | 7         | 0.99474    | 0.03    | 0.01     | 2199 | 500 | 90  | 0.03       |
|      | 8         | 0.00131    | 5.13    | 3.15     | 946  | 465 | 48  | 28.63      |
|      | 9         | 0.20041    | -0.18   | 0.10     | 686  | 126 | 60  | 1.24       |
|      | 10        | 0.00366    | -4.35   | 2.22     | 1409 | 161 | 52  | 15.27      |
|      | Avg       | 0.15336    |         | 1.12     |      |     |     | 13.24      |

ตารางที่ ข.4 ผลการคำนวณย้อนกลับของแบบจำลองโครงสร้างทางจากชุดพารามิเตอร์ 77 ชุด (ต่อ)

| Rank | Model. No | Best Fitn. | Max Err | RMSE [%] | E1   | E2  | E3 | Err. E [%] |
|------|-----------|------------|---------|----------|------|-----|----|------------|
| 4    | 1         | 0.59216    | 0.13    | 0.09     | 739  | 183 | 45 | 3.36       |
|      | 2         | 0.01458    | 0.84    | 0.49     | 881  | 160 | 45 | 4.04       |
|      | 3         | 0.06677    | -0.49   | 0.28     | 630  | 203 | 55 | 1.98       |
|      | 4         | 0.00314    | -4.80   | 2.93     | 3938 | 289 | 93 | 36.92      |
|      | 5         | 0.00317    | 1.29    | 0.90     | 1524 | 262 | 40 | 31.12      |
|      | 6         | 0.02877    | -3.18   | 1.59     | 2174 | 308 | 98 | 8.75       |
|      | 7         | 0.29570    | -0.32   | 0.18     | 2292 | 492 | 90 | 2.59       |
|      | 8         | 0.35286    | -0.19   | 0.10     | 1537 | 347 | 50 | 1.51       |
|      | 9         | 0.00102    | -5.36   | 3.77     | 752  | 113 | 63 | 7.58       |
|      | 10        | 0.05471    | -0.47   | 0.25     | 1259 | 194 | 50 | 3.33       |
|      | Avg       | 0.14129    |         | 1.06     |      |     |    | 10.12      |
| 5    | 1         | 0.00691    | -2.34   | 1.45     | 747  | 174 | 46 | 4.51       |
|      | 2         | 0.47596    | -0.12   | 0.08     | 893  | 151 | 45 | 0.59       |
|      | 3         | 0.00627    | -1.59   | 1.18     | 606  | 200 | 56 | 4.05       |
|      | 4         | 0.05227    | 1.45    | 0.88     | 2322 | 427 | 89 | 5.70       |
|      | 5         | 0.05791    | -0.29   | 0.22     | 903  | 310 | 40 | 5.92       |
|      | 6         | 0.21895    | -1.08   | 0.54     | 2041 | 337 | 96 | 2.52       |
|      | 7         | 0.61127    | -0.20   | 0.08     | 2242 | 497 | 90 | 1.16       |
|      | 8         | 0.22519    | -0.26   | 0.13     | 1551 | 346 | 50 | 2.07       |
|      | 9         | 0.00287    | -2.28   | 1.60     | 852  | 113 | 61 | 13.74      |
|      | 10        | 0.01410    | -2.30   | 1.20     | 1130 | 219 | 49 | 6.54       |
|      | Avg       | 0.16717    |         | 0.74     |      |     |    | 4.68       |
| 6    | 1         | 0.05850    | 0.33    | 0.20     | 741  | 178 | 45 | 3.44       |
|      | 2         | 0.97429    | -0.02   | 0.01     | 900  | 150 | 45 | 0.00       |
|      | 3         | 0.00257    | -3.83   | 2.28     | 760  | 185 | 57 | 10.89      |
|      | 4         | 0.05351    | 0.70    | 0.43     | 2811 | 379 | 90 | 7.80       |
|      | 5         | 0.28287    | -0.12   | 0.09     | 960  | 304 | 40 | 2.43       |
|      | 6         | 0.47331    | 0.20    | 0.15     | 2038 | 345 | 95 | 1.37       |
|      | 7         | 0.97594    | -0.03   | 0.02     | 2203 | 500 | 90 | 0.08       |
|      | 8         | 0.00518    | -3.81   | 2.12     | 1599 | 319 | 52 | 6.78       |
|      | 9         | 0.96451    | 0.03    | 0.01     | 699  | 125 | 60 | 0.08       |
|      | 10        | 0.00259    | -2.44   | 1.61     | 1537 | 157 | 51 | 20.45      |
|      | Avg       | 0.37933    |         | 0.69     |      |     |    | 5.33       |

ตารางที่ ข.4 ผลการคำนวณย้อนกลับของแบบจำลองโครงสร้างทางจากชุดพารามิเตอร์ 77 ชุด (ต่อ)

| Rank | Model. No | Best Fitn. | Max Err | RMSE [%] | E1   | E2  | E3 | Err. E [%] |
|------|-----------|------------|---------|----------|------|-----|----|------------|
| 7    | 1         | 0.59216    | 0.13    | 0.09     | 739  | 183 | 45 | 3.36       |
|      | 2         | 0.01010    | 0.90    | 0.62     | 869  | 162 | 45 | 5.03       |
|      | 3         | 0.35490    | -0.17   | 0.10     | 642  | 201 | 55 | 0.77       |
|      | 4         | 0.00631    | -2.08   | 1.27     | 1748 | 470 | 90 | 20.09      |
|      | 5         | 0.00656    | 1.18    | 0.65     | 1305 | 272 | 40 | 18.42      |
|      | 6         | 0.04857    | -0.86   | 0.59     | 2174 | 330 | 95 | 6.01       |
|      | 7         | 0.99474    | 0.03    | 0.01     | 2199 | 500 | 90 | 0.03       |
|      | 8         | 0.02654    | 0.83    | 0.51     | 1572 | 338 | 50 | 3.41       |
|      | 9         | 0.01506    | -0.71   | 0.39     | 642  | 129 | 60 | 5.13       |
|      | 10        | 0.03316    | 0.59    | 0.39     | 1271 | 191 | 50 | 4.29       |
| Avg  |           | 0.20881    |         | 0.46     |      |     |    | 6.65       |
| 8    | 1         | 0.02519    | 0.64    | 0.35     | 772  | 180 | 45 | 5.94       |
|      | 2         | 0.01823    | -2.02   | 1.02     | 979  | 143 | 46 | 5.88       |
|      | 3         | 0.14712    | -0.22   | 0.15     | 650  | 201 | 55 | 0.29       |
|      | 4         | 0.31652    | -0.27   | 0.16     | 2428 | 407 | 90 | 1.95       |
|      | 5         | 0.59652    | 0.07    | 0.05     | 979  | 302 | 40 | 1.27       |
|      | 6         | 0.18598    | 1.08    | 0.58     | 1971 | 360 | 94 | 1.95       |
|      | 7         | 0.99474    | 0.03    | 0.01     | 2199 | 500 | 90 | 0.03       |
|      | 8         | 0.18779    | -0.32   | 0.14     | 1524 | 350 | 50 | 0.92       |
|      | 9         | 0.62354    | -0.06   | 0.02     | 701  | 125 | 60 | 0.08       |
|      | 10        | 0.00294    | -2.40   | 1.48     | 1524 | 161 | 51 | 19.26      |
| Avg  |           | 0.30986    |         | 0.40     |      |     |    | 3.76       |
| 9    | 1         | 0.58692    | 0.14    | 0.09     | 738  | 183 | 45 | 3.28       |
|      | 2         | 0.61831    | 0.19    | 0.11     | 946  | 153 | 45 | 3.17       |
|      | 3         | 0.49640    | -0.12   | 0.05     | 653  | 200 | 55 | 0.27       |
|      | 4         | 0.76388    | 0.11    | 0.06     | 2538 | 397 | 90 | 0.98       |
|      | 5         | 0.81477    | 0.05    | 0.02     | 1007 | 299 | 40 | 0.45       |
|      | 6         | 0.99694    | 0.01    | 0.01     | 1998 | 350 | 95 | 0.06       |
|      | 7         | 0.84147    | -0.10   | 0.05     | 2224 | 498 | 90 | 0.67       |
|      | 8         | 0.55542    | -0.12   | 0.07     | 1524 | 348 | 50 | 0.98       |
|      | 9         | 0.00821    | -1.97   | 1.34     | 763  | 119 | 61 | 5.97       |
|      | 10        | 0.01580    | -0.83   | 0.50     | 1316 | 188 | 50 | 6.57       |
| Avg  |           | 0.56981    |         | 0.23     |      |     |    | 2.24       |

ตารางที่ ข.4 ผลการคำนวณย้อนกลับของแบบจำลองโครงสร้างทางจากชุดพารามิเตอร์ 77 ชุด (ต่อ)

| Rank | Model. No | Best Fitn. | Max Err | RMSE [%] | E1   | E2  | E3 | Err. E [%] |
|------|-----------|------------|---------|----------|------|-----|----|------------|
| 10   | 1         | 0.06162    | 0.37    | 0.21     | 776  | 181 | 45 | 6.28       |
|      | 2         | 0.14175    | 0.26    | 0.20     | 962  | 151 | 45 | 4.00       |
|      | 3         | 0.01653    | 0.97    | 0.56     | 695  | 194 | 55 | 4.36       |
|      | 4         | 0.15841    | 0.43    | 0.19     | 2361 | 408 | 90 | 3.41       |
|      | 5         | 0.47501    | 0.08    | 0.06     | 976  | 302 | 40 | 1.44       |
|      | 6         | 0.99694    | 0.01    | 0.01     | 1998 | 350 | 95 | 0.06       |
|      | 7         | 0.97721    | 0.04    | 0.02     | 2196 | 500 | 90 | 0.10       |
|      | 8         | 0.61872    | 0.11    | 0.06     | 1520 | 348 | 50 | 0.84       |
|      | 9         | 0.00282    | -2.29   | 1.60     | 861  | 113 | 61 | 14.42      |
|      | 10        | 0.01925    | -0.83   | 0.43     | 1303 | 190 | 50 | 5.74       |
|      | Avg       | 0.34683    |         | 0.33     |      |     |    | 4.06       |
| 11   | 1         | 0.06667    | 0.39    | 0.22     | 769  | 181 | 45 | 5.70       |
|      | 2         | 0.61831    | 0.19    | 0.11     | 946  | 153 | 45 | 3.17       |
|      | 3         | 0.02059    | -1.85   | 1.07     | 676  | 193 | 56 | 3.24       |
|      | 4         | 0.04739    | -1.51   | 0.88     | 2722 | 372 | 91 | 6.56       |
|      | 5         | 0.15823    | -0.20   | 0.13     | 944  | 306 | 40 | 3.43       |
|      | 6         | 0.59415    | -0.20   | 0.12     | 1972 | 354 | 95 | 1.04       |
|      | 7         | 0.99454    | 0.03    | 0.01     | 2200 | 500 | 90 | 0.00       |
|      | 8         | 0.01968    | -1.95   | 1.08     | 1557 | 333 | 51 | 3.74       |
|      | 9         | 0.01669    | 0.56    | 0.32     | 756  | 122 | 60 | 4.82       |
|      | 10        | 0.00291    | -2.41   | 1.51     | 1525 | 160 | 51 | 19.47      |
|      | Avg       | 0.25392    |         | 0.55     |      |     |    | 5.12       |
| 12   | 1         | 0.59216    | 0.13    | 0.09     | 739  | 183 | 45 | 3.36       |
|      | 2         | 0.52461    | 0.19    | 0.11     | 948  | 153 | 45 | 3.29       |
|      | 3         | 0.75529    | 0.07    | 0.03     | 648  | 200 | 55 | 0.18       |
|      | 4         | 0.71814    | -0.10   | 0.06     | 2547 | 397 | 90 | 1.17       |
|      | 5         | 0.17122    | 0.14    | 0.12     | 947  | 305 | 40 | 3.21       |
|      | 6         | 0.89302    | 0.09    | 0.04     | 1987 | 351 | 95 | 0.41       |
|      | 7         | 0.94977    | -0.05   | 0.03     | 2205 | 500 | 90 | 0.13       |
|      | 8         | 0.15830    | 0.38    | 0.14     | 1456 | 352 | 50 | 1.73       |
|      | 9         | 0.96451    | 0.03    | 0.01     | 699  | 125 | 60 | 0.08       |
|      | 10        | 0.03739    | -0.65   | 0.28     | 1268 | 194 | 50 | 3.70       |
|      | Avg       | 0.57644    |         | 0.09     |      |     |    | 1.73       |

ตารางที่ ข.4 ผลการคำนวณย้อนกลับของแบบจำลองโครงสร้างทางจากชุดพารามิเตอร์ 77 ชุด (ต่อ)

| Rank | Model. No | Best Fitn. | Max Err | RMSE [%] | E1   | E2  | E3 | Err. E [%] |
|------|-----------|------------|---------|----------|------|-----|----|------------|
| 13   | 1         | 0.00199    | -2.81   | 1.88     | 1004 | 168 | 46 | 25.40      |
|      | 2         | 0.01833    | -2.02   | 1.02     | 977  | 143 | 46 | 5.77       |
|      | 3         | 0.01821    | -1.75   | 1.07     | 648  | 196 | 56 | 1.57       |
|      | 4         | 0.70591    | -0.10   | 0.06     | 2548 | 397 | 90 | 1.19       |
|      | 5         | 0.17122    | 0.14    | 0.12     | 947  | 305 | 40 | 3.21       |
|      | 6         | 0.21936    | -1.08   | 0.54     | 2039 | 337 | 96 | 2.50       |
|      | 7         | 0.29570    | -0.32   | 0.18     | 2292 | 492 | 90 | 2.59       |
|      | 8         | 0.08427    | 0.43    | 0.24     | 1410 | 358 | 50 | 3.71       |
|      | 9         | 0.00465    | -2.14   | 1.45     | 820  | 116 | 61 | 10.78      |
|      | 10        | 0.03451    | -0.64   | 0.31     | 1274 | 193 | 50 | 4.09       |
|      | Avg       | 0.15542    |         | 0.69     |      |     |    | 6.08       |
| 14   | 1         | 0.02448    | -0.60   | 0.22     | 783  | 182 | 45 | 6.88       |
|      | 2         | 0.61831    | 0.19    | 0.11     | 946  | 153 | 45 | 3.17       |
|      | 3         | 0.14416    | 0.28    | 0.12     | 637  | 201 | 55 | 1.19       |
|      | 4         | 0.70591    | -0.10   | 0.06     | 2548 | 397 | 90 | 1.19       |
|      | 5         | 0.31987    | -0.11   | 0.06     | 998  | 301 | 40 | 0.22       |
|      | 6         | 0.02797    | -3.18   | 1.59     | 2180 | 309 | 98 | 8.72       |
|      | 7         | 0.78213    | 0.10    | 0.07     | 2230 | 497 | 90 | 0.86       |
|      | 8         | 0.00562    | -2.36   | 1.47     | 1901 | 306 | 51 | 17.09      |
|      | 9         | 0.04803    | 0.38    | 0.21     | 731  | 123 | 60 | 2.72       |
|      | 10        | 0.01828    | -0.75   | 0.50     | 1304 | 188 | 50 | 6.09       |
|      | Avg       | 0.26948    |         | 0.44     |      |     |    | 4.81       |
| 15   | 1         | 0.59216    | 0.13    | 0.09     | 739  | 183 | 45 | 3.36       |
|      | 2         | 0.61831    | 0.19    | 0.11     | 946  | 153 | 45 | 3.17       |
|      | 3         | 0.99125    | 0.02    | 0.01     | 650  | 200 | 55 | 0.00       |
|      | 4         | 0.69254    | -0.11   | 0.06     | 2549 | 397 | 90 | 1.21       |
|      | 5         | 0.83152    | 0.04    | 0.02     | 1009 | 299 | 40 | 0.55       |
|      | 6         | 0.21936    | -1.08   | 0.54     | 2039 | 337 | 96 | 2.50       |
|      | 7         | 0.04981    | -1.36   | 0.83     | 2443 | 465 | 91 | 7.58       |
|      | 8         | 0.55542    | -0.12   | 0.07     | 1524 | 348 | 50 | 0.98       |
|      | 9         | 0.00977    | -0.88   | 0.48     | 629  | 130 | 60 | 6.29       |
|      | 10        | 0.06777    | 0.36    | 0.25     | 1252 | 194 | 50 | 3.04       |
|      | Avg       | 0.46279    |         | 0.25     |      |     |    | 2.87       |

ตารางที่ ข.4 ผลการคำนวณย้อนกลับของแบบจำลองโครงสร้างทางจากชุดพารามิเตอร์ 77 ชุด (ต่อ)

| Rank | Model. No | Best Fitn. | Max Err | RMSE [%] | E1   | E2  | E3 | Err. E [%] |
|------|-----------|------------|---------|----------|------|-----|----|------------|
| 16   | 1         | 0.01001    | 0.86    | 0.50     | 845  | 178 | 45 | 11.98      |
|      | 2         | 0.61831    | 0.19    | 0.11     | 946  | 153 | 45 | 3.17       |
|      | 3         | 0.93715    | 0.03    | 0.02     | 649  | 200 | 55 | 0.09       |
|      | 4         | 0.04416    | 1.51    | 0.93     | 2217 | 431 | 89 | 7.95       |
|      | 5         | 0.96278    | 0.03    | 0.02     | 999  | 300 | 40 | 0.06       |
|      | 6         | 0.21936    | -1.08   | 0.54     | 2039 | 337 | 96 | 2.50       |
|      | 7         | 0.99474    | 0.03    | 0.01     | 2199 | 500 | 90 | 0.03       |
|      | 8         | 0.02854    | 0.87    | 0.50     | 1614 | 336 | 50 | 4.96       |
|      | 9         | 0.01669    | 0.56    | 0.32     | 756  | 122 | 60 | 4.82       |
|      | 10        | 0.07977    | -0.39   | 0.25     | 1173 | 205 | 50 | 1.94       |
|      | Avg       | 0.39115    |         | 0.32     |      |     |    | 3.75       |
| 17   | 1         | 0.02467    | 0.49    | 0.31     | 764  | 177 | 45 | 5.37       |
|      | 2         | 0.16749    | -0.21   | 0.15     | 883  | 152 | 45 | 1.33       |
|      | 3         | 0.00314    | -2.19   | 1.51     | 778  | 184 | 56 | 12.32      |
|      | 4         | 0.07545    | 1.33    | 0.81     | 2412 | 417 | 89 | 3.25       |
|      | 5         | 0.76396    | -0.04   | 0.02     | 1002 | 300 | 40 | 0.12       |
|      | 6         | 0.05231    | -2.13   | 1.09     | 2059 | 323 | 97 | 4.92       |
|      | 7         | 0.94799    | -0.05   | 0.03     | 2212 | 499 | 90 | 0.34       |
|      | 8         | 0.50556    | -0.14   | 0.07     | 1526 | 348 | 50 | 1.05       |
|      | 9         | 0.20718    | -0.18   | 0.10     | 685  | 126 | 60 | 1.32       |
|      | 10        | 0.02237    | 0.72    | 0.47     | 1288 | 189 | 50 | 5.29       |
|      | Avg       | 0.27701    |         | 0.46     |      |     |    | 3.53       |
| 18   | 1         | 0.00674    | -2.31   | 1.40     | 811  | 175 | 46 | 9.38       |
|      | 2         | 0.52461    | 0.19    | 0.11     | 948  | 153 | 45 | 3.29       |
|      | 3         | 0.02203    | -0.67   | 0.39     | 691  | 196 | 55 | 3.82       |
|      | 4         | 0.04078    | 1.54    | 0.95     | 2228 | 434 | 89 | 8.00       |
|      | 5         | 0.15823    | -0.20   | 0.13     | 944  | 306 | 40 | 3.43       |
|      | 6         | 0.96008    | 0.05    | 0.03     | 2005 | 349 | 95 | 0.22       |
|      | 7         | 0.96952    | -0.04   | 0.02     | 2191 | 501 | 90 | 0.26       |
|      | 8         | 0.01095    | -1.70   | 1.17     | 1399 | 350 | 51 | 4.06       |
|      | 9         | 0.96451    | 0.03    | 0.01     | 699  | 125 | 60 | 0.08       |
|      | 10        | 0.01480    | 2.26    | 1.19     | 1156 | 216 | 49 | 5.21       |
|      | Avg       | 0.36723    |         | 0.54     |      |     |    | 3.78       |

ตารางที่ ข.4 ผลการคำนวณย้อนกลับของแบบจำลองโครงสร้างทางจากชุดพารามิเตอร์ 77 ชุด (ต่อ)

| Rank | Model. No | Best Fitn. | Max Err | RMSE [%] | E1   | E2  | E3 | Err. E [%] |
|------|-----------|------------|---------|----------|------|-----|----|------------|
| 19   | 1         | 0.59216    | 0.13    | 0.09     | 739  | 183 | 45 | 3.36       |
|      | 2         | 0.61831    | 0.19    | 0.11     | 946  | 153 | 45 | 3.17       |
|      | 3         | 0.02059    | -1.85   | 1.07     | 676  | 193 | 56 | 3.24       |
|      | 4         | 0.04608    | 1.51    | 0.92     | 2227 | 431 | 89 | 7.76       |
|      | 5         | 0.96278    | 0.03    | 0.02     | 999  | 300 | 40 | 0.06       |
|      | 6         | 0.50759    | -0.23   | 0.12     | 2036 | 346 | 95 | 1.23       |
|      | 7         | 0.79605    | 0.11    | 0.07     | 2227 | 497 | 90 | 0.79       |
|      | 8         | 0.01868    | 2.02    | 1.11     | 1439 | 369 | 49 | 4.08       |
|      | 9         | 0.96451    | 0.03    | 0.01     | 699  | 125 | 60 | 0.08       |
|      | 10        | 0.40402    | 0.13    | 0.08     | 1216 | 198 | 50 | 0.96       |
|      | Avg       | 0.49308    |         | 0.36     |      |     |    | 2.47       |
| 20   | 1         | 0.17342    | 0.20    | 0.12     | 757  | 182 | 45 | 4.74       |
|      | 2         | 0.43759    | 0.20    | 0.11     | 939  | 154 | 45 | 2.94       |
|      | 3         | 0.01833    | -1.86   | 1.07     | 678  | 192 | 56 | 3.55       |
|      | 4         | 0.18312    | -0.37   | 0.22     | 2420 | 409 | 90 | 2.26       |
|      | 5         | 0.96278    | 0.03    | 0.02     | 999  | 300 | 40 | 0.06       |
|      | 6         | 0.39868    | 0.26    | 0.18     | 2041 | 344 | 95 | 1.54       |
|      | 7         | 0.99474    | 0.03    | 0.01     | 2199 | 500 | 90 | 0.03       |
|      | 8         | 0.55542    | -0.12   | 0.07     | 1524 | 348 | 50 | 0.98       |
|      | 9         | 0.24973    | -0.13   | 0.05     | 704  | 125 | 60 | 0.33       |
|      | 10        | 0.01166    | -2.26   | 1.16     | 1321 | 177 | 51 | 8.91       |
|      | Avg       | 0.39855    |         | 0.30     |      |     |    | 2.53       |
| 21   | 1         | 0.01361    | -0.72   | 0.35     | 820  | 180 | 45 | 9.90       |
|      | 2         | 0.61831    | 0.19    | 0.11     | 946  | 153 | 45 | 3.17       |
|      | 3         | 0.99125    | 0.02    | 0.01     | 650  | 200 | 55 | 0.00       |
|      | 4         | 0.99300    | 0.04    | 0.02     | 2502 | 400 | 90 | 0.05       |
|      | 5         | 0.96278    | 0.03    | 0.02     | 999  | 300 | 40 | 0.06       |
|      | 6         | 0.78504    | 0.10    | 0.07     | 1997 | 349 | 95 | 0.19       |
|      | 7         | 0.98505    | 0.03    | 0.02     | 2202 | 500 | 90 | 0.05       |
|      | 8         | 0.99220    | -0.02   | 0.01     | 1499 | 350 | 50 | 0.04       |
|      | 9         | 0.20718    | -0.18   | 0.10     | 685  | 126 | 60 | 1.32       |
|      | 10        | 0.42346    | -0.13   | 0.08     | 1185 | 202 | 50 | 0.92       |
|      | Avg       | 0.69719    |         | 0.08     |      |     |    | 1.57       |

ตารางที่ ข.4 ผลการคำนวณย้อนกลับของแบบจำลองโครงสร้างทางจากชุดพารามิเตอร์ 77 ชุด (ต่อ)

| Rank | Model. No | Best Fitn. | Max Err | RMSE [%] | E1   | E2  | E3 | Err. E [%] |
|------|-----------|------------|---------|----------|------|-----|----|------------|
| 22   | 1         | 0.18280    | 0.21    | 0.13     | 755  | 182 | 45 | 4.58       |
|      | 2         | 0.31169    | 0.19    | 0.14     | 954  | 152 | 45 | 3.55       |
|      | 3         | 0.06677    | -0.49   | 0.28     | 630  | 203 | 55 | 1.98       |
|      | 4         | 0.89374    | 0.06    | 0.03     | 2482 | 401 | 90 | 0.44       |
|      | 5         | 0.85625    | 0.03    | 0.02     | 1001 | 300 | 40 | 0.06       |
|      | 6         | 0.95915    | 0.05    | 0.03     | 2006 | 349 | 95 | 0.24       |
|      | 7         | 0.99474    | 0.03    | 0.01     | 2199 | 500 | 90 | 0.03       |
|      | 8         | 0.01084    | -1.24   | 0.71     | 1795 | 328 | 50 | 11.92      |
|      | 9         | 0.62354    | -0.06   | 0.02     | 701  | 125 | 60 | 0.08       |
|      | 10        | 0.72195    | 0.07    | 0.04     | 1208 | 199 | 50 | 0.48       |
|      | Avg       | 0.56215    |         | 0.14     |      |     |    | 2.34       |
| 23   | 1         | 0.05320    | 0.36    | 0.21     | 780  | 181 | 45 | 6.61       |
|      | 2         | 0.61831    | 0.19    | 0.11     | 946  | 153 | 45 | 3.17       |
|      | 3         | 0.14416    | 0.28    | 0.12     | 637  | 201 | 55 | 1.19       |
|      | 4         | 0.99262    | 0.04    | 0.02     | 2500 | 400 | 90 | 0.00       |
|      | 5         | 0.17122    | 0.14    | 0.12     | 947  | 305 | 40 | 3.21       |
|      | 6         | 0.99694    | 0.01    | 0.01     | 1998 | 350 | 95 | 0.06       |
|      | 7         | 0.89027    | 0.08    | 0.05     | 2215 | 498 | 90 | 0.46       |
|      | 8         | 0.55542    | -0.12   | 0.07     | 1524 | 348 | 50 | 0.98       |
|      | 9         | 0.01669    | 0.56    | 0.32     | 756  | 122 | 60 | 4.82       |
|      | 10        | 0.78726    | 0.06    | 0.03     | 1197 | 200 | 50 | 0.14       |
|      | Avg       | 0.52261    |         | 0.11     |      |     |    | 2.06       |
| 24   | 1         | 0.03268    | 0.55    | 0.30     | 790  | 180 | 45 | 7.42       |
|      | 2         | 0.61831    | 0.19    | 0.11     | 946  | 153 | 45 | 3.17       |
|      | 3         | 0.99125    | 0.02    | 0.01     | 650  | 200 | 55 | 0.00       |
|      | 4         | 0.05520    | 1.44    | 0.88     | 2279 | 425 | 89 | 6.28       |
|      | 5         | 0.84040    | 0.05    | 0.02     | 1008 | 299 | 40 | 0.50       |
|      | 6         | 0.40626    | 0.27    | 0.18     | 2022 | 345 | 95 | 1.04       |
|      | 7         | 0.99454    | 0.03    | 0.01     | 2200 | 500 | 90 | 0.00       |
|      | 8         | 0.83433    | 0.07    | 0.04     | 1507 | 349 | 50 | 0.32       |
|      | 9         | 0.00814    | -0.76   | 0.38     | 772  | 122 | 60 | 6.10       |
|      | 10        | 0.72220    | 0.07    | 0.05     | 1207 | 199 | 50 | 0.44       |
|      | Avg       | 0.55033    |         | 0.20     |      |     |    | 2.53       |



ตารางที่ ข.4 ผลการคำนวณย้อนกลับของแบบจำลองโครงสร้างทางจากชุดพารามิเตอร์ 77 ชุด (ต่อ)

| Rank | Model. No | Best Fitn. | Max Err | RMSE [%] | E1   | E2  | E3 | Err. E [%] |
|------|-----------|------------|---------|----------|------|-----|----|------------|
| 25   | 1         | 0.01902    | 0.72    | 0.40     | 809  | 179 | 45 | 9.00       |
|      | 2         | 0.61831    | 0.19    | 0.11     | 946  | 153 | 45 | 3.17       |
|      | 3         | 0.99125    | 0.02    | 0.01     | 650  | 200 | 55 | 0.00       |
|      | 4         | 0.98788    | 0.04    | 0.02     | 2499 | 400 | 90 | 0.02       |
|      | 5         | 0.28249    | 0.16    | 0.08     | 1037 | 296 | 40 | 2.27       |
|      | 6         | 0.99055    | 0.02    | 0.01     | 1997 | 350 | 95 | 0.09       |
|      | 7         | 0.99454    | 0.03    | 0.01     | 2200 | 500 | 90 | 0.00       |
|      | 8         | 0.02909    | 0.84    | 0.49     | 1649 | 335 | 50 | 6.25       |
|      | 9         | 0.96451    | 0.03    | 0.01     | 699  | 125 | 60 | 0.08       |
|      | 10        | 0.02080    | 0.67    | 0.46     | 1299 | 189 | 50 | 5.72       |
|      | Avg       | 0.58984    |         | 0.16     |      |     |    | 2.66       |
| 26   | 1         | 0.05982    | 0.42    | 0.23     | 764  | 181 | 45 | 5.29       |
|      | 2         | 0.43759    | 0.20    | 0.11     | 939  | 154 | 45 | 2.94       |
|      | 3         | 0.99125    | 0.02    | 0.01     | 650  | 200 | 55 | 0.00       |
|      | 4         | 0.47044    | -0.20   | 0.09     | 2572 | 396 | 90 | 1.76       |
|      | 5         | 0.59652    | 0.07    | 0.05     | 979  | 302 | 40 | 1.27       |
|      | 6         | 0.60054    | 0.17    | 0.12     | 2026 | 346 | 95 | 1.00       |
|      | 7         | 0.94799    | -0.05   | 0.03     | 2212 | 499 | 90 | 0.34       |
|      | 8         | 0.62274    | 0.11    | 0.07     | 1519 | 348 | 50 | 0.80       |
|      | 9         | 0.96451    | 0.03    | 0.01     | 699  | 125 | 60 | 0.08       |
|      | 10        | 0.01250    | -2.25   | 1.16     | 1313 | 178 | 51 | 8.44       |
|      | Avg       | 0.57039    |         | 0.19     |      |     |    | 2.19       |
| 27   | 1         | 0.28965    | 0.17    | 0.13     | 723  | 184 | 45 | 2.29       |
|      | 2         | 0.01833    | -2.02   | 1.02     | 977  | 143 | 46 | 5.77       |
|      | 3         | 0.99125    | 0.02    | 0.01     | 650  | 200 | 55 | 0.00       |
|      | 4         | 0.76388    | 0.11    | 0.06     | 2538 | 397 | 90 | 0.98       |
|      | 5         | 0.84040    | 0.05    | 0.02     | 1008 | 299 | 40 | 0.50       |
|      | 6         | 0.02780    | -3.18   | 1.59     | 2177 | 306 | 98 | 9.06       |
|      | 7         | 0.96952    | -0.04   | 0.02     | 2191 | 501 | 90 | 0.26       |
|      | 8         | 0.99365    | -0.03   | 0.01     | 1500 | 350 | 50 | 0.00       |
|      | 9         | 0.01337    | 0.77    | 0.41     | 758  | 121 | 60 | 5.13       |
|      | 10        | 0.16518    | -0.21   | 0.15     | 1196 | 202 | 50 | 0.61       |
|      | Avg       | 0.50730    |         | 0.34     |      |     |    | 2.46       |

ตารางที่ ข.4 ผลการคำนวณย้อนกลับของแบบจำลองโครงสร้างทางจากชุดพารามิเตอร์ 77 ชุด (ต่อ)

| Rank | Model. No | Best Fitn. | Max Err | RMSE [%] | E1   | E2  | E3 | Err. E [%] |
|------|-----------|------------|---------|----------|------|-----|----|------------|
| 28   | 1         | 0.04654    | -0.33   | 0.22     | 745  | 178 | 45 | 3.77       |
|      | 2         | 0.36669    | 0.14    | 0.09     | 905  | 149 | 45 | 0.50       |
|      | 3         | 0.00333    | 1.68    | 1.08     | 765  | 189 | 55 | 10.70      |
|      | 4         | 0.53416    | 0.15    | 0.09     | 2439 | 404 | 90 | 1.52       |
|      | 5         | 0.64839    | -0.06   | 0.03     | 1012 | 299 | 40 | 0.72       |
|      | 6         | 0.02847    | -3.18   | 1.59     | 2174 | 307 | 98 | 8.88       |
|      | 7         | 0.99474    | 0.03    | 0.01     | 2199 | 500 | 90 | 0.03       |
|      | 8         | 0.99365    | -0.03   | 0.01     | 1500 | 350 | 50 | 0.00       |
|      | 9         | 0.00451    | -2.00   | 1.38     | 787  | 119 | 61 | 7.75       |
|      | 10        | 0.01168    | -2.26   | 1.17     | 1319 | 177 | 51 | 8.84       |
|      | Avg       | 0.36322    |         | 0.57     |      |     |    | 4.27       |
| 29   | 1         | 0.01854    | -0.69   | 0.25     | 788  | 182 | 45 | 7.29       |
|      | 2         | 0.61831    | 0.19    | 0.11     | 946  | 153 | 45 | 3.17       |
|      | 3         | 0.00371    | -2.16   | 1.48     | 766  | 184 | 56 | 11.34      |
|      | 4         | 0.99432    | 0.04    | 0.02     | 2501 | 400 | 90 | 0.02       |
|      | 5         | 0.17122    | 0.14    | 0.12     | 947  | 305 | 40 | 3.21       |
|      | 6         | 0.99694    | 0.01    | 0.01     | 1998 | 350 | 95 | 0.06       |
|      | 7         | 0.89571    | 0.08    | 0.05     | 2217 | 498 | 90 | 0.50       |
|      | 8         | 0.02854    | -0.78   | 0.47     | 1351 | 366 | 50 | 6.31       |
|      | 9         | 0.01273    | 0.77    | 0.41     | 764  | 121 | 60 | 5.59       |
|      | 10        | 0.03864    | 0.48    | 0.33     | 1271 | 192 | 50 | 4.12       |
|      | Avg       | 0.37787    |         | 0.33     |      |     |    | 4.16       |
| 30   | 1         | 0.00883    | 1.10    | 0.60     | 842  | 177 | 45 | 11.75      |
|      | 2         | 0.52461    | 0.19    | 0.11     | 948  | 153 | 45 | 3.29       |
|      | 3         | 0.00230    | -3.92   | 2.38     | 777  | 177 | 57 | 13.26      |
|      | 4         | 0.70591    | -0.10   | 0.06     | 2548 | 397 | 90 | 1.19       |
|      | 5         | 0.15823    | -0.20   | 0.13     | 944  | 306 | 40 | 3.43       |
|      | 6         | 0.99694    | 0.01    | 0.01     | 1998 | 350 | 95 | 0.06       |
|      | 7         | 0.99474    | 0.03    | 0.01     | 2199 | 500 | 90 | 0.03       |
|      | 8         | 0.01847    | 1.96    | 1.10     | 1475 | 365 | 49 | 2.90       |
|      | 9         | 0.82202    | -0.04   | 0.02     | 700  | 125 | 60 | 0.00       |
|      | 10        | 0.01308    | -2.24   | 1.15     | 1309 | 179 | 51 | 8.10       |
|      | Avg       | 0.42451    |         | 0.56     |      |     |    | 4.40       |

ตารางที่ ข.4 ผลการคำนวณย้อนกลับของแบบจำลองโครงสร้างทางจากชุดพารามิเตอร์ 77 ชุด (ต่อ)

| Rank | Model. No | Best Fitn. | Max Err | RMSE [%] | E1   | E2  | E3 | Err. E [%] |
|------|-----------|------------|---------|----------|------|-----|----|------------|
| 31   | 1         | 0.55148    | 0.14    | 0.09     | 737  | 183 | 45 | 3.20       |
|      | 2         | 0.61831    | 0.19    | 0.11     | 946  | 153 | 45 | 3.17       |
|      | 3         | 0.87100    | -0.05   | 0.02     | 651  | 200 | 55 | 0.09       |
|      | 4         | 0.12225    | -0.47   | 0.28     | 2328 | 414 | 90 | 4.46       |
|      | 5         | 0.96278    | 0.03    | 0.02     | 999  | 300 | 40 | 0.06       |
|      | 6         | 0.98995    | -0.02   | 0.01     | 2000 | 350 | 95 | 0.00       |
|      | 7         | 0.99474    | 0.03    | 0.01     | 2199 | 500 | 90 | 0.03       |
|      | 8         | 0.53130    | -0.13   | 0.07     | 1525 | 348 | 50 | 1.02       |
|      | 9         | 0.17746    | -0.17   | 0.10     | 682  | 126 | 60 | 1.55       |
|      | 10        | 0.99276    | 0.02    | 0.01     | 1200 | 200 | 50 | 0.00       |
|      | Avg       | 0.68120    |         | 0.07     |      |     |    | 1.36       |
| 32   | 1         | 0.59216    | 0.13    | 0.09     | 739  | 183 | 45 | 3.36       |
|      | 2         | 0.59501    | 0.19    | 0.11     | 945  | 153 | 45 | 3.11       |
|      | 3         | 0.00322    | -3.86   | 2.24     | 761  | 181 | 57 | 11.48      |
|      | 4         | 0.46897    | -0.21   | 0.08     | 2563 | 397 | 90 | 1.52       |
|      | 5         | 0.83152    | 0.04    | 0.02     | 1009 | 299 | 40 | 0.55       |
|      | 6         | 0.02916    | -3.18   | 1.59     | 2164 | 308 | 98 | 8.59       |
|      | 7         | 0.99474    | 0.03    | 0.01     | 2199 | 500 | 90 | 0.03       |
|      | 8         | 0.55542    | -0.12   | 0.07     | 1524 | 348 | 50 | 0.98       |
|      | 9         | 0.00233    | -3.87   | 2.62     | 819  | 113 | 62 | 11.43      |
|      | 10        | 0.00424    | -4.29   | 2.22     | 1340 | 167 | 52 | 11.89      |
|      | Avg       | 0.40768    |         | 0.91     |      |     |    | 5.29       |
| 33   | 1         | 0.59216    | 0.13    | 0.09     | 739  | 183 | 45 | 3.36       |
|      | 2         | 0.01811    | -2.02   | 1.02     | 980  | 143 | 46 | 5.94       |
|      | 3         | 0.00292    | 2.33    | 1.35     | 765  | 186 | 55 | 10.99      |
|      | 4         | 0.20403    | -0.37   | 0.21     | 2389 | 410 | 90 | 2.94       |
|      | 5         | 0.60586    | 0.08    | 0.04     | 1018 | 298 | 40 | 1.11       |
|      | 6         | 0.02704    | -3.19   | 1.59     | 2189 | 305 | 98 | 9.39       |
|      | 7         | 0.96558    | 0.05    | 0.03     | 2207 | 499 | 90 | 0.22       |
|      | 8         | 0.98065    | -0.03   | 0.01     | 1501 | 350 | 50 | 0.04       |
|      | 9         | 0.00287    | -2.28   | 1.60     | 852  | 113 | 61 | 13.74      |
|      | 10        | 0.72220    | 0.07    | 0.05     | 1207 | 199 | 50 | 0.44       |
|      | Avg       | 0.41214    |         | 0.60     |      |     |    | 4.82       |

ตารางที่ ข.4 ผลการคำนวณย้อนกลับของแบบจำลองโครงสร้างทางจากชุดพารามิเตอร์ 77 ชุด (ต่อ)

| Rank | Model. No | Best Fitn. | Max Err | RMSE [%] | E1   | E2  | E3 | Err. E [%] |
|------|-----------|------------|---------|----------|------|-----|----|------------|
| 34   | 1         | 0.00901    | 0.92    | 0.42     | 622  | 183 | 45 | 6.50       |
|      | 2         | 0.00287    | 4.78    | 2.42     | 804  | 178 | 43 | 12.68      |
|      | 3         | 0.99125    | 0.02    | 0.01     | 650  | 200 | 55 | 0.00       |
|      | 4         | 0.05838    | 0.69    | 0.36     | 2242 | 417 | 90 | 6.44       |
|      | 5         | 0.03465    | -0.45   | 0.29     | 875  | 314 | 40 | 7.70       |
|      | 6         | 0.50759    | -0.23   | 0.12     | 2036 | 346 | 95 | 1.23       |
|      | 7         | 0.79696    | 0.11    | 0.07     | 2226 | 497 | 90 | 0.77       |
|      | 8         | 0.19836    | 0.25    | 0.16     | 1556 | 345 | 50 | 2.31       |
|      | 9         | 0.96451    | 0.03    | 0.01     | 699  | 125 | 60 | 0.08       |
|      | 10        | 0.06276    | -0.39   | 0.25     | 1255 | 194 | 50 | 3.16       |
|      | Avg       | 0.36263    |         | 0.41     |      |     |    | 4.09       |
| 35   | 1         | 0.00785    | -2.24   | 1.37     | 790  | 177 | 46 | 7.59       |
|      | 2         | 0.36419    | 0.19    | 0.12     | 950  | 153 | 45 | 3.41       |
|      | 3         | 0.00218    | -3.87   | 2.39     | 758  | 177 | 57 | 11.85      |
|      | 4         | 0.35414    | 0.23    | 0.14     | 2598 | 393 | 90 | 2.48       |
|      | 5         | 0.89653    | 0.03    | 0.02     | 997  | 300 | 40 | 0.17       |
|      | 6         | 0.02543    | -3.19   | 1.60     | 2199 | 303 | 98 | 9.82       |
|      | 7         | 0.21654    | 0.39    | 0.22     | 2091 | 510 | 90 | 3.08       |
|      | 8         | 0.17465    | -0.34   | 0.15     | 1557 | 346 | 50 | 2.29       |
|      | 9         | 0.82202    | -0.04   | 0.02     | 700  | 125 | 60 | 0.00       |
|      | 10        | 0.14263    | 0.30    | 0.13     | 1186 | 200 | 50 | 0.67       |
|      | Avg       | 0.30062    |         | 0.62     |      |     |    | 4.14       |
| 36   | 1         | 0.03569    | 0.55    | 0.30     | 748  | 177 | 45 | 4.07       |
|      | 2         | 0.97429    | -0.02   | 0.01     | 900  | 150 | 45 | 0.00       |
|      | 3         | 0.75529    | 0.07    | 0.03     | 648  | 200 | 55 | 0.18       |
|      | 4         | 0.69254    | -0.11   | 0.06     | 2549 | 397 | 90 | 1.21       |
|      | 5         | 0.15823    | -0.20   | 0.13     | 944  | 306 | 40 | 3.43       |
|      | 6         | 0.62024    | 0.19    | 0.09     | 1970 | 353 | 95 | 1.00       |
|      | 7         | 0.89571    | 0.08    | 0.05     | 2217 | 498 | 90 | 0.50       |
|      | 8         | 0.42111    | 0.18    | 0.10     | 1526 | 347 | 50 | 1.12       |
|      | 9         | 0.01740    | 0.56    | 0.32     | 755  | 122 | 60 | 4.74       |
|      | 10        | 0.03175    | 0.55    | 0.38     | 1278 | 191 | 50 | 4.56       |
|      | Avg       | 0.46023    |         | 0.15     |      |     |    | 2.08       |

ตารางที่ ข.4 ผลการคำนวณย้อนกลับของแบบจำลองโครงสร้างทางจากชุดพารามิเตอร์ 77 ชุด (ต่อ)

| Rank | Model. No | Best Fitn. | Max Err | RMSE [%] | E1   | E2  | E3 | Err. E [%] |
|------|-----------|------------|---------|----------|------|-----|----|------------|
| 37   | 1         | 0.56596    | 0.13    | 0.08     | 740  | 183 | 45 | 3.44       |
|      | 2         | 0.61831    | 0.19    | 0.11     | 946  | 153 | 45 | 3.17       |
|      | 3         | 0.00256    | -3.88   | 2.33     | 765  | 178 | 57 | 12.21      |
|      | 4         | 0.87683    | 0.07    | 0.04     | 2481 | 401 | 90 | 0.46       |
|      | 5         | 0.15823    | -0.20   | 0.13     | 944  | 306 | 40 | 3.43       |
|      | 6         | 0.96008    | 0.05    | 0.03     | 2005 | 349 | 95 | 0.22       |
|      | 7         | 0.87762    | 0.07    | 0.05     | 2221 | 498 | 90 | 0.60       |
|      | 8         | 0.44943    | -0.16   | 0.09     | 1474 | 353 | 50 | 1.12       |
|      | 9         | 0.19423    | -0.17   | 0.10     | 683  | 126 | 60 | 1.48       |
|      | 10        | 0.02191    | -0.81   | 0.39     | 1295 | 191 | 50 | 5.26       |
| Avg  |           | 0.47252    |         | 0.34     |      |     |    | 3.14       |
| 38   | 1         | 0.28221    | -0.14   | 0.08     | 745  | 183 | 45 | 3.83       |
|      | 2         | 0.61831    | 0.19    | 0.11     | 946  | 153 | 45 | 3.17       |
|      | 3         | 0.99125    | 0.02    | 0.01     | 650  | 200 | 55 | 0.00       |
|      | 4         | 0.70591    | -0.10   | 0.06     | 2548 | 397 | 90 | 1.19       |
|      | 5         | 0.96278    | 0.03    | 0.02     | 999  | 300 | 40 | 0.06       |
|      | 6         | 0.99694    | 0.01    | 0.01     | 1998 | 350 | 95 | 0.06       |
|      | 7         | 0.99474    | 0.03    | 0.01     | 2199 | 500 | 90 | 0.03       |
|      | 8         | 0.99365    | -0.03   | 0.01     | 1500 | 350 | 50 | 0.00       |
|      | 9         | 0.96451    | 0.03    | 0.01     | 699  | 125 | 60 | 0.08       |
|      | 10        | 0.95991    | -0.02   | 0.01     | 1201 | 200 | 50 | 0.05       |
| Avg  |           | 0.84702    |         | 0.03     |      |     |    | 0.85       |
| 39   | 1         | 0.17940    | 0.20    | 0.13     | 756  | 182 | 45 | 4.66       |
|      | 2         | 0.00816    | 2.54    | 1.30     | 876  | 167 | 44 | 6.84       |
|      | 3         | 0.01661    | 1.84    | 1.11     | 654  | 204 | 54 | 1.60       |
|      | 4         | 0.98868    | 0.04    | 0.02     | 2503 | 400 | 90 | 0.07       |
|      | 5         | 0.96278    | 0.03    | 0.02     | 999  | 300 | 40 | 0.06       |
|      | 6         | 0.96008    | 0.05    | 0.03     | 2005 | 349 | 95 | 0.22       |
|      | 7         | 0.79696    | 0.11    | 0.07     | 2226 | 497 | 90 | 0.77       |
|      | 8         | 0.99365    | -0.03   | 0.01     | 1500 | 350 | 50 | 0.00       |
|      | 9         | 0.96451    | 0.03    | 0.01     | 699  | 125 | 60 | 0.08       |
|      | 10        | 0.40151    | 0.14    | 0.09     | 1214 | 198 | 50 | 0.89       |
| Avg  |           | 0.62723    |         | 0.28     |      |     |    | 1.52       |

ตารางที่ ข.4 ผลการคำนวณย้อนกลับของแบบจำลองโครงสร้างทางจากชุดพารามิเตอร์ 77 ชุด (ต่อ)

| Rank | Model. No | Best Fitn. | Max Err | RMSE [%] | E1   | E2  | E3 | Err. E [%] |
|------|-----------|------------|---------|----------|------|-----|----|------------|
| 40   | 1         | 0.98423    | -0.02   | 0.01     | 701  | 180 | 45 | 0.08       |
|      | 2         | 0.95944    | 0.02    | 0.01     | 899  | 150 | 45 | 0.06       |
|      | 3         | 0.99125    | 0.02    | 0.01     | 650  | 200 | 55 | 0.00       |
|      | 4         | 0.99432    | 0.04    | 0.02     | 2501 | 400 | 90 | 0.02       |
|      | 5         | 0.28464    | 0.16    | 0.07     | 1021 | 297 | 40 | 1.34       |
|      | 6         | 0.60003    | 0.17    | 0.12     | 2027 | 346 | 95 | 1.02       |
|      | 7         | 0.98598    | 0.04    | 0.02     | 2197 | 500 | 90 | 0.08       |
|      | 8         | 0.55542    | -0.12   | 0.07     | 1524 | 348 | 50 | 0.98       |
|      | 9         | 0.01231    | 0.76    | 0.41     | 766  | 121 | 60 | 5.75       |
|      | 10        | 0.04503    | -0.48   | 0.29     | 1266 | 193 | 50 | 3.76       |
| Avg  |           | 0.64127    |         | 0.10     |      |     |    | 1.31       |
| 41   | 1         | 0.05548    | 0.43    | 0.24     | 762  | 181 | 45 | 5.12       |
|      | 2         | 0.61831    | 0.19    | 0.11     | 946  | 153 | 45 | 3.17       |
|      | 3         | 0.00725    | -2.03   | 1.26     | 724  | 187 | 56 | 7.64       |
|      | 4         | 0.59009    | -0.13   | 0.08     | 2562 | 396 | 90 | 1.54       |
|      | 5         | 0.32127    | -0.11   | 0.07     | 1033 | 297 | 40 | 1.99       |
|      | 6         | 0.21936    | -1.08   | 0.54     | 2039 | 337 | 96 | 2.50       |
|      | 7         | 0.99474    | 0.03    | 0.01     | 2199 | 500 | 90 | 0.03       |
|      | 8         | 0.85815    | 0.06    | 0.04     | 1509 | 349 | 50 | 0.38       |
|      | 9         | 0.00329    | -2.24   | 1.55     | 851  | 114 | 61 | 13.49      |
|      | 10        | 0.74439    | -0.06   | 0.04     | 1192 | 201 | 50 | 0.48       |
| Avg  |           | 0.44123    |         | 0.39     |      |     |    | 3.63       |
| 42   | 1         | 0.24584    | 0.19    | 0.10     | 714  | 179 | 45 | 1.20       |
|      | 2         | 0.17602    | -0.22   | 0.15     | 884  | 152 | 45 | 1.28       |
|      | 3         | 0.00437    | -2.12   | 1.38     | 756  | 186 | 56 | 10.30      |
|      | 4         | 0.01280    | 1.86    | 1.28     | 1921 | 460 | 89 | 15.94      |
|      | 5         | 0.29070    | -0.14   | 0.09     | 963  | 304 | 40 | 2.27       |
|      | 6         | 0.99694    | 0.01    | 0.01     | 1998 | 350 | 95 | 0.06       |
|      | 7         | 0.99474    | 0.03    | 0.01     | 2199 | 500 | 90 | 0.03       |
|      | 8         | 0.01474    | -2.09   | 1.15     | 1666 | 323 | 51 | 7.87       |
|      | 9         | 0.20718    | -0.18   | 0.10     | 685  | 126 | 60 | 1.32       |
|      | 10        | 0.01833    | -0.98   | 0.38     | 1291 | 193 | 50 | 4.82       |
| Avg  |           | 0.29617    |         | 0.47     |      |     |    | 4.51       |

ตารางที่ ข.4 ผลการคำนวณย้อนกลับของแบบจำลองโครงสร้างทางจากชุดพารามิเตอร์ 77 ชุด (ต่อ)

| Rank | Model. No | Best Fitn. | Max Err | RMSE [%] | E1   | E2  | E3 | Err. E [%] |
|------|-----------|------------|---------|----------|------|-----|----|------------|
| 43   | 1         | 0.56596    | 0.13    | 0.08     | 740  | 183 | 45 | 3.44       |
|      | 2         | 0.01668    | -2.03   | 1.01     | 994  | 141 | 46 | 7.07       |
|      | 3         | 0.99125    | 0.02    | 0.01     | 650  | 200 | 55 | 0.00       |
|      | 4         | 0.07907    | -0.61   | 0.36     | 2285 | 418 | 90 | 5.60       |
|      | 5         | 0.17122    | 0.14    | 0.12     | 947  | 305 | 40 | 3.21       |
|      | 6         | 0.21936    | -1.08   | 0.54     | 2039 | 337 | 96 | 2.50       |
|      | 7         | 0.96342    | 0.05    | 0.03     | 2210 | 499 | 90 | 0.29       |
|      | 8         | 0.99365    | -0.03   | 0.01     | 1500 | 350 | 50 | 0.00       |
|      | 9         | 0.01599    | 0.56    | 0.32     | 757  | 122 | 60 | 4.90       |
|      | 10        | 0.00294    | -2.40   | 1.48     | 1524 | 161 | 51 | 19.26      |
|      | Avg       | 0.40195    |         | 0.40     |      |     |    | 4.63       |
| 44   | 1         | 0.07809    | 0.37    | 0.20     | 731  | 178 | 45 | 2.64       |
|      | 2         | 0.97429    | -0.02   | 0.01     | 900  | 150 | 45 | 0.00       |
|      | 3         | 0.00305    | -3.86   | 2.25     | 765  | 182 | 57 | 11.65      |
|      | 4         | 0.30027    | 0.28    | 0.16     | 2603 | 392 | 90 | 2.64       |
|      | 5         | 0.17122    | 0.14    | 0.12     | 947  | 305 | 40 | 3.21       |
|      | 6         | 0.99694    | 0.01    | 0.01     | 1998 | 350 | 95 | 0.06       |
|      | 7         | 0.96898    | -0.04   | 0.02     | 2190 | 501 | 90 | 0.29       |
|      | 8         | 0.03072    | 0.84    | 0.48     | 1622 | 336 | 50 | 5.23       |
|      | 9         | 0.96451    | 0.03    | 0.01     | 699  | 125 | 60 | 0.08       |
|      | 10        | 0.99276    | -0.02   | 0.01     | 1200 | 200 | 50 | 0.00       |
|      | Avg       | 0.54808    |         | 0.33     |      |     |    | 2.58       |
| 45   | 1         | 0.01031    | 1.04    | 0.55     | 800  | 178 | 45 | 8.27       |
|      | 2         | 0.61831    | 0.19    | 0.11     | 946  | 153 | 45 | 3.17       |
|      | 3         | 0.00230    | -3.92   | 2.38     | 777  | 177 | 57 | 13.26      |
|      | 4         | 0.07415    | 1.29    | 0.80     | 2454 | 414 | 89 | 2.37       |
|      | 5         | 0.29282    | -0.13   | 0.09     | 962  | 304 | 40 | 2.33       |
|      | 6         | 0.99694    | 0.01    | 0.01     | 1998 | 350 | 95 | 0.06       |
|      | 7         | 0.62531    | 0.15    | 0.10     | 2211 | 497 | 90 | 0.45       |
|      | 8         | 0.99365    | -0.03   | 0.01     | 1500 | 350 | 50 | 0.00       |
|      | 9         | 0.00465    | -2.14   | 1.45     | 820  | 116 | 61 | 10.78      |
|      | 10        | 0.00678    | -1.26   | 0.85     | 1054 | 221 | 50 | 9.28       |
|      | Avg       | 0.36252    |         | 0.64     |      |     |    | 5.00       |

ตารางที่ ข.4 ผลการคำนวณย้อนกลับของแบบจำลองโครงสร้างทางจากชุดพารามิเตอร์ 77 ชุด (ต่อ)

| Rank | Model. No | Best Fitn. | Max Err | RMSE [%] | E1   | E2  | E3 | Err. E [%] |
|------|-----------|------------|---------|----------|------|-----|----|------------|
| 46   | 1         | 0.00798    | -2.22   | 1.36     | 783  | 177 | 46 | 7.03       |
|      | 2         | 0.43925    | 0.20    | 0.11     | 938  | 154 | 45 | 2.88       |
|      | 3         | 0.30989    | -0.16   | 0.10     | 641  | 201 | 55 | 0.85       |
|      | 4         | 0.67847    | -0.12   | 0.06     | 2550 | 397 | 90 | 1.23       |
|      | 5         | 0.15823    | -0.20   | 0.13     | 944  | 306 | 40 | 3.43       |
|      | 6         | 0.99694    | 0.01    | 0.01     | 1998 | 350 | 95 | 0.06       |
|      | 7         | 0.99454    | 0.03    | 0.01     | 2200 | 500 | 90 | 0.00       |
|      | 8         | 0.99220    | -0.02   | 0.01     | 1499 | 350 | 50 | 0.04       |
|      | 9         | 0.00287    | -2.28   | 1.60     | 852  | 113 | 61 | 13.74      |
|      | 10        | 0.38019    | -0.15   | 0.09     | 1188 | 202 | 50 | 0.82       |
|      | Avg       | 0.49606    |         | 0.35     |      |     |    | 3.01       |
| 47   | 1         | 0.00681    | -2.32   | 1.41     | 816  | 175 | 46 | 9.79       |
|      | 2         | 0.03752    | -0.53   | 0.35     | 910  | 158 | 45 | 3.15       |
|      | 3         | 0.01345    | -1.15   | 0.65     | 610  | 207 | 55 | 4.09       |
|      | 4         | 0.78472    | 0.09    | 0.05     | 2468 | 402 | 90 | 0.79       |
|      | 5         | 0.04765    | 0.43    | 0.24     | 1109 | 289 | 40 | 6.64       |
|      | 6         | 0.24782    | -0.35   | 0.23     | 1935 | 358 | 95 | 2.29       |
|      | 7         | 0.13145    | 1.16    | 0.66     | 2176 | 513 | 89 | 1.75       |
|      | 8         | 0.04246    | -0.69   | 0.40     | 1391 | 363 | 50 | 4.71       |
|      | 9         | 0.00587    | 2.18    | 1.49     | 610  | 134 | 59 | 8.56       |
|      | 10        | 0.06890    | -0.36   | 0.22     | 1205 | 202 | 50 | 0.63       |
|      | Avg       | 0.13867    |         | 0.57     |      |     |    | 4.24       |
| 48   | 1         | 0.00798    | -2.22   | 1.36     | 783  | 177 | 46 | 7.03       |
|      | 2         | 0.43925    | 0.20    | 0.11     | 938  | 154 | 45 | 2.88       |
|      | 3         | 0.30989    | -0.16   | 0.10     | 641  | 201 | 55 | 0.85       |
|      | 4         | 0.67847    | -0.12   | 0.06     | 2550 | 397 | 90 | 1.23       |
|      | 5         | 0.15823    | -0.20   | 0.13     | 944  | 306 | 40 | 3.43       |
|      | 6         | 0.99694    | 0.01    | 0.01     | 1998 | 350 | 95 | 0.06       |
|      | 7         | 0.99454    | 0.03    | 0.01     | 2200 | 500 | 90 | 0.00       |
|      | 8         | 0.99220    | -0.02   | 0.01     | 1499 | 350 | 50 | 0.04       |
|      | 9         | 0.00287    | -2.28   | 1.60     | 852  | 113 | 61 | 13.74      |
|      | 10        | 0.38019    | -0.15   | 0.09     | 1188 | 202 | 50 | 0.82       |
|      | Avg       | 0.49606    |         | 0.35     |      |     |    | 3.01       |



ตารางที่ ข.4 ผลการคำนวณย้อนกลับของแบบจำลองโครงสร้างทางจากชุดพารามิเตอร์ 77 ชุด (ต่อ)

| Rank | Model. No | Best Fitn. | Max Err | RMSE [%] | E1   | E2  | E3 | Err. E [%] |
|------|-----------|------------|---------|----------|------|-----|----|------------|
| 49   | 1         | 0.03237    | 0.55    | 0.30     | 791  | 180 | 45 | 7.51       |
|      | 2         | 0.61831    | 0.19    | 0.11     | 946  | 153 | 45 | 3.17       |
|      | 3         | 0.00436    | -2.13   | 1.41     | 756  | 185 | 56 | 10.42      |
|      | 4         | 0.87643    | 0.07    | 0.04     | 2524 | 398 | 90 | 0.62       |
|      | 5         | 0.96278    | 0.03    | 0.02     | 999  | 300 | 40 | 0.06       |
|      | 6         | 0.02946    | -3.18   | 1.59     | 2164 | 309 | 98 | 8.45       |
|      | 7         | 0.99474    | 0.03    | 0.01     | 2199 | 500 | 90 | 0.03       |
|      | 8         | 0.85815    | 0.06    | 0.04     | 1509 | 349 | 50 | 0.38       |
|      | 9         | 0.96451    | 0.03    | 0.01     | 699  | 125 | 60 | 0.08       |
|      | 10        | 0.00671    | -2.32   | 1.25     | 1396 | 171 | 51 | 12.66      |
|      | Avg       | 0.53478    |         | 0.48     |      |     |    | 4.34       |
| 50   | 1         | 0.00881    | 1.09    | 0.60     | 843  | 177 | 45 | 11.83      |
|      | 2         | 0.27842    | 0.19    | 0.14     | 956  | 152 | 45 | 3.67       |
|      | 3         | 0.00229    | -3.90   | 2.38     | 770  | 177 | 57 | 12.73      |
|      | 4         | 0.99300    | 0.04    | 0.02     | 2502 | 400 | 90 | 0.05       |
|      | 5         | 0.27102    | 0.17    | 0.08     | 1035 | 296 | 40 | 2.16       |
|      | 6         | 0.21643    | -1.08   | 0.54     | 2035 | 337 | 96 | 2.45       |
|      | 7         | 0.99454    | 0.03    | 0.01     | 2200 | 500 | 90 | 0.00       |
|      | 8         | 0.58182    | -0.12   | 0.07     | 1486 | 352 | 50 | 0.63       |
|      | 9         | 0.19423    | -0.17   | 0.10     | 683  | 126 | 60 | 1.48       |
|      | 10        | 0.03788    | 0.51    | 0.32     | 1132 | 208 | 50 | 4.00       |
|      | Avg       | 0.35784    |         | 0.43     |      |     |    | 3.90       |
| 51   | 1         | 0.06704    | 0.39    | 0.21     | 770  | 181 | 45 | 5.78       |
|      | 2         | 0.61831    | 0.19    | 0.11     | 946  | 153 | 45 | 3.17       |
|      | 3         | 0.01274    | -1.69   | 1.11     | 632  | 198 | 56 | 2.00       |
|      | 4         | 0.90892    | 0.06    | 0.03     | 2483 | 401 | 90 | 0.42       |
|      | 5         | 0.83152    | 0.04    | 0.02     | 1009 | 299 | 40 | 0.55       |
|      | 6         | 0.60003    | 0.17    | 0.12     | 2027 | 346 | 95 | 1.02       |
|      | 7         | 0.96773    | 0.05    | 0.03     | 2208 | 499 | 90 | 0.24       |
|      | 8         | 0.97640    | -0.02   | 0.01     | 1498 | 350 | 50 | 0.08       |
|      | 9         | 0.01669    | 0.56    | 0.32     | 756  | 122 | 60 | 4.82       |
|      | 10        | 0.99276    | 0.02    | 0.01     | 1200 | 200 | 50 | 0.00       |
|      | Avg       | 0.59921    |         | 0.20     |      |     |    | 1.81       |

ตารางที่ ข.4 ผลการคำนวณย้อนกลับของแบบจำลองโครงสร้างทางจากชุดพารามิเตอร์ 77 ชุด (ต่อ)

| Rank | Model. No | Best Fitn. | Max Err | RMSE [%] | E1   | E2  | E3 | Err. E [%] |
|------|-----------|------------|---------|----------|------|-----|----|------------|
| 52   | 1         | 0.17940    | 0.20    | 0.13     | 756  | 182 | 45 | 4.66       |
|      | 2         | 0.61831    | 0.19    | 0.11     | 946  | 153 | 45 | 3.17       |
|      | 3         | 0.07578    | -0.38   | 0.24     | 645  | 202 | 55 | 0.73       |
|      | 4         | 0.04081    | 1.54    | 0.95     | 2203 | 434 | 89 | 8.46       |
|      | 5         | 0.16161    | -0.19   | 0.09     | 1013 | 300 | 40 | 0.75       |
|      | 6         | 0.98995    | -0.02   | 0.01     | 2000 | 350 | 95 | 0.00       |
|      | 7         | 0.89571    | 0.08    | 0.05     | 2217 | 498 | 90 | 0.50       |
|      | 8         | 0.29783    | 0.21    | 0.13     | 1540 | 346 | 50 | 1.68       |
|      | 9         | 0.00568    | -1.16   | 0.62     | 636  | 131 | 60 | 5.96       |
|      | 10        | 0.00354    | -2.27   | 1.34     | 1424 | 175 | 51 | 13.02      |
|      | Avg       | 0.32686    |         | 0.37     |      |     |    | 3.89       |
| 53   | 1         | 0.03107    | 0.51    | 0.30     | 757  | 177 | 45 | 4.80       |
|      | 2         | 0.97429    | -0.02   | 0.01     | 900  | 150 | 45 | 0.00       |
|      | 3         | 0.01463    | -1.89   | 1.11     | 689  | 193 | 56 | 4.15       |
|      | 4         | 0.63432    | 0.13    | 0.08     | 2556 | 396 | 90 | 1.42       |
|      | 5         | 0.15823    | -0.20   | 0.13     | 944  | 306 | 40 | 3.43       |
|      | 6         | 0.99674    | -0.02   | 0.01     | 1999 | 350 | 95 | 0.03       |
|      | 7         | 0.79588    | 0.11    | 0.07     | 2225 | 497 | 90 | 0.74       |
|      | 8         | 0.42626    | 0.17    | 0.10     | 1527 | 347 | 50 | 1.15       |
|      | 9         | 0.01337    | 0.77    | 0.41     | 758  | 121 | 60 | 5.13       |
|      | 10        | 0.03887    | 0.48    | 0.32     | 1133 | 208 | 50 | 3.97       |
|      | Avg       | 0.40837    |         | 0.25     |      |     |    | 2.48       |
| 54   | 1         | 0.59216    | 0.13    | 0.09     | 739  | 183 | 45 | 3.36       |
|      | 2         | 0.06836    | 0.34    | 0.27     | 974  | 150 | 45 | 4.75       |
|      | 3         | 0.05965    | -0.48   | 0.28     | 627  | 203 | 55 | 2.22       |
|      | 4         | 0.05912    | 1.43    | 0.87     | 2291 | 425 | 89 | 6.06       |
|      | 5         | 0.17122    | 0.14    | 0.12     | 947  | 305 | 40 | 3.21       |
|      | 6         | 0.48403    | 0.21    | 0.15     | 2036 | 345 | 95 | 1.33       |
|      | 7         | 0.89571    | 0.08    | 0.05     | 2217 | 498 | 90 | 0.50       |
|      | 8         | 0.04467    | 0.63    | 0.38     | 1628 | 338 | 50 | 5.31       |
|      | 9         | 0.01334    | 0.78    | 0.42     | 756  | 121 | 60 | 4.97       |
|      | 10        | 0.89179    | 0.04    | 0.02     | 1198 | 200 | 50 | 0.10       |
|      | Avg       | 0.32801    |         | 0.27     |      |     |    | 3.18       |

ตารางที่ ข.4 ผลการคำนวณย้อนกลับของแบบจำลองโครงสร้างทางจากชุดพารามิเตอร์ 77 ชุด (ต่อ)

| Rank | Model. No | Best Fitn. | Max Err | RMSE [%] | E1   | E2  | E3 | Err. E [%] |
|------|-----------|------------|---------|----------|------|-----|----|------------|
| 55   | 1         | 0.59216    | 0.13    | 0.09     | 739  | 183 | 45 | 3.36       |
|      | 2         | 0.04540    | 0.46    | 0.34     | 980  | 149 | 45 | 5.15       |
|      | 3         | 0.87100    | -0.05   | 0.02     | 651  | 200 | 55 | 0.09       |
|      | 4         | 0.08635    | -0.49   | 0.32     | 2282 | 416 | 90 | 5.54       |
|      | 5         | 0.20722    | 0.14    | 0.10     | 955  | 304 | 40 | 2.71       |
|      | 6         | 0.99694    | 0.01    | 0.01     | 1998 | 350 | 95 | 0.06       |
|      | 7         | 0.79325    | 0.11    | 0.07     | 2228 | 497 | 90 | 0.81       |
|      | 8         | 0.55542    | -0.12   | 0.07     | 1524 | 348 | 50 | 0.98       |
|      | 9         | 0.20718    | -0.18   | 0.10     | 685  | 126 | 60 | 1.32       |
|      | 10        | 0.99276    | 0.02    | 0.01     | 1200 | 200 | 50 | 0.00       |
|      | Avg       | 0.53477    |         | 0.11     |      |     |    | 2.00       |
| 56   | 1         | 0.22409    | 0.17    | 0.13     | 731  | 183 | 45 | 2.73       |
|      | 2         | 0.43925    | 0.20    | 0.11     | 938  | 154 | 45 | 2.88       |
|      | 3         | 0.56139    | 0.11    | 0.04     | 647  | 200 | 55 | 0.27       |
|      | 4         | 0.81242    | 0.07    | 0.05     | 2470 | 402 | 90 | 0.75       |
|      | 5         | 0.14997    | -0.23   | 0.13     | 948  | 306 | 40 | 3.22       |
|      | 6         | 0.99674    | -0.02   | 0.01     | 1999 | 350 | 95 | 0.03       |
|      | 7         | 0.79325    | 0.11    | 0.07     | 2228 | 497 | 90 | 0.81       |
|      | 8         | 0.99220    | -0.02   | 0.01     | 1499 | 350 | 50 | 0.04       |
|      | 9         | 0.20718    | -0.18   | 0.10     | 685  | 126 | 60 | 1.32       |
|      | 10        | 0.01099    | -2.26   | 1.16     | 1333 | 177 | 51 | 9.29       |
|      | Avg       | 0.51875    |         | 0.18     |      |     |    | 2.13       |
| 57   | 1         | 0.06704    | 0.39    | 0.21     | 770  | 181 | 45 | 5.78       |
|      | 2         | 0.04350    | -0.41   | 0.28     | 947  | 155 | 45 | 3.58       |
|      | 3         | 0.00230    | -3.91   | 2.38     | 773  | 177 | 57 | 12.96      |
|      | 4         | 0.03494    | 1.57    | 0.98     | 2163 | 436 | 89 | 9.38       |
|      | 5         | 0.03534    | -0.48   | 0.29     | 879  | 314 | 40 | 7.49       |
|      | 6         | 0.58770    | -0.19   | 0.12     | 1969 | 354 | 95 | 1.11       |
|      | 7         | 0.29066    | 0.31    | 0.20     | 2292 | 491 | 90 | 2.63       |
|      | 8         | 0.42626    | 0.17    | 0.10     | 1527 | 347 | 50 | 1.15       |
|      | 9         | 0.20718    | -0.18   | 0.10     | 685  | 126 | 60 | 1.32       |
|      | 10        | 0.03975    | -0.57   | 0.30     | 1270 | 193 | 50 | 3.93       |
|      | Avg       | 0.17347    |         | 0.50     |      |     |    | 4.93       |

ตารางที่ ข.4 ผลการคำนวณย้อนกลับของแบบจำลองโครงสร้างทางจากชุดพารามิเตอร์ 77 ชุด (ต่อ)

| Rank | Model. No | Best Fitn. | Max Err | RMSE [%] | E1   | E2  | E3 | Err. E [%] |
|------|-----------|------------|---------|----------|------|-----|----|------------|
| 58   | 1         | 0.05316    | 0.44    | 0.24     | 761  | 181 | 45 | 5.04       |
|      | 2         | 0.43925    | 0.20    | 0.11     | 938  | 154 | 45 | 2.88       |
|      | 3         | 0.00255    | -5.33   | 3.07     | 701  | 182 | 58 | 7.58       |
|      | 4         | 0.42219    | 0.23    | 0.13     | 2571 | 394 | 90 | 1.85       |
|      | 5         | 0.83315    | 0.05    | 0.03     | 990  | 301 | 40 | 0.61       |
|      | 6         | 0.03171    | -2.18   | 1.17     | 2207 | 308 | 97 | 9.23       |
|      | 7         | 0.96342    | 0.05    | 0.03     | 2210 | 499 | 90 | 0.29       |
|      | 8         | 0.29922    | 0.22    | 0.13     | 1539 | 346 | 50 | 1.64       |
|      | 9         | 0.00287    | -2.28   | 1.60     | 849  | 113 | 61 | 13.52      |
|      | 10        | 0.01168    | -2.26   | 1.17     | 1319 | 177 | 51 | 8.84       |
|      | Avg       | 0.30592    |         | 0.77     |      |     |    | 5.15       |
| 59   | 1         | 0.01160    | -0.69   | 0.42     | 834  | 179 | 45 | 11.06      |
|      | 2         | 0.61831    | 0.19    | 0.11     | 946  | 153 | 45 | 3.17       |
|      | 3         | 0.00254    | -3.91   | 2.34     | 775  | 178 | 57 | 12.96      |
|      | 4         | 0.00473    | -4.57   | 2.68     | 3623 | 306 | 93 | 29.33      |
|      | 5         | 0.96278    | 0.03    | 0.02     | 999  | 300 | 40 | 0.06       |
|      | 6         | 0.99694    | 0.01    | 0.01     | 1998 | 350 | 95 | 0.06       |
|      | 7         | 0.79696    | 0.11    | 0.07     | 2226 | 497 | 90 | 0.77       |
|      | 8         | 0.42894    | 0.17    | 0.10     | 1528 | 347 | 50 | 1.19       |
|      | 9         | 0.96451    | 0.03    | 0.01     | 699  | 125 | 60 | 0.08       |
|      | 10        | 0.06445    | -0.46   | 0.20     | 1222 | 200 | 50 | 1.06       |
|      | Avg       | 0.48518    |         | 0.60     |      |     |    | 5.97       |
| 60   | 1         | 0.04373    | 0.46    | 0.26     | 757  | 181 | 45 | 4.71       |
|      | 2         | 0.13338    | 0.25    | 0.20     | 964  | 151 | 45 | 4.12       |
|      | 3         | 0.01907    | 0.82    | 0.36     | 634  | 199 | 55 | 1.45       |
|      | 4         | 0.46534    | -0.15   | 0.10     | 2501 | 402 | 90 | 0.29       |
|      | 5         | 0.85625    | 0.03    | 0.02     | 1001 | 300 | 40 | 0.06       |
|      | 6         | 0.06651    | -2.12   | 1.08     | 2054 | 327 | 97 | 4.28       |
|      | 7         | 0.99454    | 0.03    | 0.01     | 2200 | 500 | 90 | 0.00       |
|      | 8         | 0.03873    | 0.71    | 0.42     | 1632 | 337 | 50 | 5.51       |
|      | 9         | 0.00220    | -3.92   | 2.65     | 836  | 112 | 62 | 12.87      |
|      | 10        | 0.05364    | 0.45    | 0.30     | 1256 | 193 | 50 | 3.37       |
|      | Avg       | 0.26734    |         | 0.54     |      |     |    | 3.67       |

ตารางที่ ข.4 ผลการคำนวณย้อนกลับของแบบจำลองโครงสร้างทางจากชุดพารามิเตอร์ 77 ชุด (ต่อ)

| Rank | Model. No | Best Fitn. | Max Err | RMSE [%] | E1   | E2  | E3 | Err. E [%] |
|------|-----------|------------|---------|----------|------|-----|----|------------|
| 61   | 1         | 0.00793    | -2.23   | 1.37     | 787  | 177 | 46 | 7.35       |
|      | 2         | 0.59084    | 0.19    | 0.11     | 947  | 153 | 45 | 3.23       |
|      | 3         | 0.00230    | -3.92   | 2.39     | 778  | 177 | 57 | 13.33      |
|      | 4         | 0.07802    | 0.65    | 0.37     | 2703 | 383 | 90 | 5.29       |
|      | 5         | 0.13234    | 0.16    | 0.14     | 938  | 306 | 40 | 3.76       |
|      | 6         | 0.59221    | -0.19   | 0.12     | 1970 | 354 | 95 | 1.09       |
|      | 7         | 0.68947    | 0.15    | 0.09     | 2234 | 496 | 90 | 1.00       |
|      | 8         | 0.90789    | 0.05    | 0.02     | 1496 | 350 | 50 | 0.15       |
|      | 9         | 0.93802    | 0.03    | 0.02     | 698  | 125 | 60 | 0.16       |
|      | 10        | 0.00438    | 1.70    | 1.12     | 1360 | 177 | 50 | 10.17      |
|      | Avg       | 0.39434    |         | 0.58     |      |     |    | 4.55       |
| 62   | 1         | 0.00404    | 2.79    | 1.77     | 622  | 194 | 44 | 7.95       |
|      | 2         | 0.09753    | -0.32   | 0.22     | 925  | 156 | 45 | 2.81       |
|      | 3         | 0.00241    | -3.94   | 2.35     | 787  | 178 | 57 | 13.89      |
|      | 4         | 0.84932    | -0.07   | 0.05     | 2477 | 402 | 90 | 0.60       |
|      | 5         | 0.19981    | 0.18    | 0.10     | 1049 | 295 | 40 | 2.99       |
|      | 6         | 0.02542    | -3.19   | 1.59     | 2215 | 305 | 98 | 9.85       |
|      | 7         | 0.13175    | -1.20   | 0.66     | 2290 | 483 | 91 | 3.14       |
|      | 8         | 0.04315    | -0.77   | 0.30     | 1584 | 347 | 50 | 3.27       |
|      | 9         | 0.16716    | 0.19    | 0.10     | 714  | 124 | 60 | 1.24       |
|      | 10        | 0.01075    | -2.27   | 1.17     | 1333 | 176 | 51 | 9.50       |
|      | Avg       | 0.15313    |         | 0.83     |      |     |    | 5.52       |
| 63   | 1         | 0.06593    | 0.40    | 0.22     | 768  | 181 | 45 | 5.62       |
|      | 2         | 0.61831    | 0.19    | 0.11     | 946  | 153 | 45 | 3.17       |
|      | 3         | 0.04401    | -0.54   | 0.33     | 640  | 203 | 55 | 1.24       |
|      | 4         | 0.04129    | 1.54    | 0.95     | 2216 | 434 | 89 | 8.22       |
|      | 5         | 0.56655    | 0.07    | 0.05     | 978  | 302 | 40 | 1.33       |
|      | 6         | 0.99694    | 0.01    | 0.01     | 1998 | 350 | 95 | 0.06       |
|      | 7         | 0.79696    | 0.11    | 0.07     | 2226 | 497 | 90 | 0.77       |
|      | 8         | 0.29235    | -0.24   | 0.11     | 1541 | 347 | 50 | 1.65       |
|      | 9         | 0.20041    | -0.18   | 0.10     | 686  | 126 | 60 | 1.24       |
|      | 10        | 0.99276    | 0.02    | 0.01     | 1200 | 200 | 50 | 0.00       |
|      | Avg       | 0.46155    |         | 0.20     |      |     |    | 2.33       |

ตารางที่ ข.4 ผลการคำนวณย้อนกลับของแบบจำลองโครงสร้างทางจากชุดพารามิเตอร์ 77 ชุด (ต่อ)

| Rank | Model. No | Best Fitn. | Max Err | RMSE [%] | E1   | E2  | E3 | Err. E [%] |
|------|-----------|------------|---------|----------|------|-----|----|------------|
| 64   | 1         | 0.17342    | 0.20    | 0.12     | 757  | 182 | 45 | 4.74       |
|      | 2         | 0.59501    | 0.19    | 0.11     | 945  | 153 | 45 | 3.11       |
|      | 3         | 0.87100    | -0.05   | 0.02     | 651  | 200 | 55 | 0.09       |
|      | 4         | 0.07618    | 1.32    | 0.81     | 2419 | 416 | 89 | 3.04       |
|      | 5         | 0.04934    | 0.37    | 0.20     | 916  | 307 | 40 | 5.03       |
|      | 6         | 0.85766    | 0.09    | 0.06     | 2013 | 348 | 95 | 0.50       |
|      | 7         | 0.48279    | -0.23   | 0.12     | 2260 | 495 | 90 | 1.68       |
|      | 8         | 0.07230    | -0.40   | 0.27     | 1500 | 354 | 50 | 0.66       |
|      | 9         | 0.00858    | -1.97   | 1.34     | 760  | 119 | 61 | 5.75       |
|      | 10        | 0.72220    | 0.07    | 0.05     | 1207 | 199 | 50 | 0.44       |
|      | Avg       | 0.39085    |         | 0.31     |      |     |    | 2.50       |
| 65   | 1         | 0.00791    | -2.23   | 1.37     | 788  | 177 | 46 | 7.43       |
|      | 2         | 0.19565    | 0.20    | 0.16     | 931  | 155 | 45 | 2.77       |
|      | 3         | 0.75529    | 0.07    | 0.03     | 648  | 200 | 55 | 0.18       |
|      | 4         | 0.43292    | -0.17   | 0.10     | 2503 | 402 | 90 | 0.30       |
|      | 5         | 0.59652    | 0.07    | 0.05     | 979  | 302 | 40 | 1.27       |
|      | 6         | 0.89880    | -0.09   | 0.04     | 2010 | 349 | 95 | 0.33       |
|      | 7         | 0.68747    | 0.14    | 0.09     | 2237 | 496 | 90 | 1.08       |
|      | 8         | 0.24619    | 0.23    | 0.14     | 1513 | 347 | 50 | 0.70       |
|      | 9         | 0.07172    | -0.23   | 0.14     | 694  | 126 | 60 | 0.68       |
|      | 10        | 0.28801    | -0.19   | 0.09     | 1221 | 198 | 50 | 1.16       |
|      | Avg       | 0.41805    |         | 0.22     |      |     |    | 1.59       |
| 66   | 1         | 0.01245    | 0.90    | 0.49     | 827  | 178 | 45 | 10.49      |
|      | 2         | 0.61831    | 0.19    | 0.11     | 946  | 153 | 45 | 3.17       |
|      | 3         | 0.00376    | -1.58   | 0.99     | 757  | 190 | 55 | 9.93       |
|      | 4         | 0.70591    | -0.10   | 0.06     | 2548 | 397 | 90 | 1.19       |
|      | 5         | 0.79020    | -0.04   | 0.02     | 1010 | 299 | 40 | 0.61       |
|      | 6         | 0.12537    | -0.51   | 0.35     | 2101 | 338 | 95 | 3.52       |
|      | 7         | 0.89438    | -0.07   | 0.04     | 2180 | 502 | 90 | 0.57       |
|      | 8         | 0.03222    | 0.71    | 0.44     | 1657 | 336 | 50 | 6.47       |
|      | 9         | 0.96451    | 0.03    | 0.01     | 699  | 125 | 60 | 0.08       |
|      | 10        | 0.03135    | -0.73   | 0.30     | 1272 | 194 | 50 | 3.87       |
|      | Avg       | 0.41785    |         | 0.28     |      |     |    | 3.99       |

ตารางที่ ข.4 ผลการคำนวณย้อนกลับของแบบจำลองโครงสร้างทางจากชุดพารามิเตอร์ 77 ชุด (ต่อ)

| Rank | Model. No | Best Fitn. | Max Err | RMSE [%] | E1   | E2  | E3 | Err. E [%] |
|------|-----------|------------|---------|----------|------|-----|----|------------|
| 67   | 1         | 0.01251    | 0.91    | 0.49     | 826  | 178 | 45 | 10.41      |
|      | 2         | 0.01679    | -2.01   | 1.03     | 961  | 144 | 46 | 4.72       |
|      | 3         | 0.04874    | -0.46   | 0.28     | 624  | 203 | 55 | 2.47       |
|      | 4         | 0.03394    | 1.59    | 0.99     | 2169 | 438 | 89 | 9.43       |
|      | 5         | 0.60586    | 0.08    | 0.04     | 1018 | 298 | 40 | 1.11       |
|      | 6         | 0.47935    | 0.21    | 0.15     | 2037 | 345 | 95 | 1.35       |
|      | 7         | 0.27957    | -0.36   | 0.22     | 2154 | 508 | 90 | 1.52       |
|      | 8         | 0.48915    | 0.14    | 0.09     | 1511 | 348 | 50 | 0.54       |
|      | 9         | 0.06249    | -0.24   | 0.14     | 695  | 126 | 60 | 0.62       |
|      | 10        | 0.01090    | -2.26   | 1.17     | 1334 | 177 | 51 | 9.33       |
|      | Avg       | 0.20393    |         | 0.46     |      |     |    | 4.15       |
| 68   | 1         | 0.59216    | 0.13    | 0.09     | 739  | 183 | 45 | 3.36       |
|      | 2         | 0.10024    | -0.31   | 0.21     | 968  | 151 | 45 | 4.38       |
|      | 3         | 0.99125    | 0.02    | 0.01     | 650  | 200 | 55 | 0.00       |
|      | 4         | 0.08748    | 0.54    | 0.29     | 2289 | 414 | 90 | 5.28       |
|      | 5         | 0.96278    | 0.03    | 0.02     | 999  | 300 | 40 | 0.06       |
|      | 6         | 0.99694    | 0.01    | 0.01     | 1998 | 350 | 95 | 0.06       |
|      | 7         | 0.89571    | 0.08    | 0.05     | 2217 | 498 | 90 | 0.50       |
|      | 8         | 0.50556    | -0.14   | 0.07     | 1526 | 348 | 50 | 1.05       |
|      | 9         | 0.01669    | 0.56    | 0.32     | 756  | 122 | 60 | 4.82       |
|      | 10        | 0.18527    | -0.21   | 0.12     | 1204 | 201 | 50 | 0.35       |
|      | Avg       | 0.53341    |         | 0.12     |      |     |    | 1.99       |
| 69   | 1         | 0.06174    | 0.42    | 0.23     | 765  | 181 | 45 | 5.37       |
|      | 2         | 0.52461    | 0.19    | 0.11     | 948  | 153 | 45 | 3.29       |
|      | 3         | 0.67388    | -0.08   | 0.03     | 652  | 200 | 55 | 0.18       |
|      | 4         | 0.36143    | 0.24    | 0.14     | 2592 | 393 | 90 | 2.35       |
|      | 5         | 0.16051    | 0.16    | 0.12     | 946  | 305 | 40 | 3.26       |
|      | 6         | 0.02705    | -3.19   | 1.59     | 2186 | 305 | 98 | 9.34       |
|      | 7         | 0.96898    | -0.04   | 0.02     | 2190 | 501 | 90 | 0.29       |
|      | 8         | 0.40049    | -0.17   | 0.11     | 1478 | 353 | 50 | 0.98       |
|      | 9         | 0.96451    | 0.03    | 0.01     | 699  | 125 | 60 | 0.08       |
|      | 10        | 0.40345    | -0.14   | 0.09     | 1187 | 202 | 50 | 0.85       |
|      | Avg       | 0.45467    |         | 0.25     |      |     |    | 2.60       |

ตารางที่ ข.4 ผลการคำนวณย้อนกลับของแบบจำลองโครงสร้างทางจากชุดพารามิเตอร์ 77 ชุด (ต่อ)

| Rank | Model. No | Best Fitn. | Max Err | RMSE [%] | E1   | E2  | E3 | Err. E [%] |
|------|-----------|------------|---------|----------|------|-----|----|------------|
| 70   | 1         | 0.00862    | 1.16    | 0.61     | 830  | 177 | 45 | 10.77      |
|      | 2         | 0.31169    | 0.19    | 0.14     | 954  | 152 | 45 | 3.55       |
|      | 3         | 0.00217    | -3.97   | 2.40     | 797  | 177 | 57 | 14.80      |
|      | 4         | 0.69254    | -0.11   | 0.06     | 2549 | 397 | 90 | 1.21       |
|      | 5         | 0.38110    | -0.12   | 0.07     | 974  | 303 | 40 | 1.61       |
|      | 6         | 0.95435    | -0.06   | 0.03     | 1992 | 351 | 95 | 0.28       |
|      | 7         | 0.52406    | -0.19   | 0.11     | 2256 | 495 | 90 | 1.58       |
|      | 8         | 0.55542    | -0.12   | 0.07     | 1524 | 348 | 50 | 0.98       |
|      | 9         | 0.15840    | 0.19    | 0.10     | 715  | 124 | 60 | 1.32       |
|      | 10        | 0.96730    | 0.02    | 0.01     | 1199 | 200 | 50 | 0.05       |
| Avg  |           | 0.45557    |         | 0.36     |      |     |    | 3.61       |
| 71   | 1         | 0.06500    | -0.36   | 0.13     | 756  | 183 | 45 | 4.72       |
|      | 2         | 0.61831    | 0.19    | 0.11     | 946  | 153 | 45 | 3.17       |
|      | 3         | 0.99125    | 0.02    | 0.01     | 650  | 200 | 55 | 0.00       |
|      | 4         | 0.99432    | 0.04    | 0.02     | 2501 | 400 | 90 | 0.02       |
|      | 5         | 0.41924    | -0.10   | 0.07     | 971  | 303 | 40 | 1.77       |
|      | 6         | 0.99694    | 0.01    | 0.01     | 1998 | 350 | 95 | 0.06       |
|      | 7         | 0.98598    | 0.04    | 0.02     | 2197 | 500 | 90 | 0.08       |
|      | 8         | 0.07577    | -0.47   | 0.26     | 1600 | 342 | 50 | 4.07       |
|      | 9         | 0.20718    | -0.18   | 0.10     | 685  | 126 | 60 | 1.32       |
|      | 10        | 0.02874    | -0.77   | 0.31     | 1274 | 194 | 50 | 3.96       |
| Avg  |           | 0.53827    |         | 0.10     |      |     |    | 1.92       |
| 72   | 1         | 0.12418    | -0.20   | 0.12     | 762  | 182 | 45 | 5.15       |
|      | 2         | 0.61831    | 0.19    | 0.11     | 946  | 153 | 45 | 3.17       |
|      | 3         | 0.99125    | 0.02    | 0.01     | 650  | 200 | 55 | 0.00       |
|      | 4         | 0.09233    | 0.45    | 0.30     | 2290 | 415 | 90 | 5.31       |
|      | 5         | 0.96278    | 0.03    | 0.02     | 999  | 300 | 40 | 0.06       |
|      | 6         | 0.99694    | 0.01    | 0.01     | 1998 | 350 | 95 | 0.06       |
|      | 7         | 0.94977    | -0.05   | 0.03     | 2205 | 500 | 90 | 0.13       |
|      | 8         | 0.83433    | 0.07    | 0.04     | 1507 | 349 | 50 | 0.32       |
|      | 9         | 0.19423    | -0.17   | 0.10     | 683  | 126 | 60 | 1.48       |
|      | 10        | 0.99276    | 0.02    | 0.01     | 1200 | 200 | 50 | 0.00       |
| Avg  |           | 0.67569    |         | 0.08     |      |     |    | 1.57       |



ตารางที่ ข.4 ผลการคำนวณย้อนกลับของแบบจำลองโครงสร้างทางจากชุดพารามิเตอร์ 77 ชุด (ต่อ)

| Rank | Model. No | Best Fitn. | Max Err | RMSE [%] | E1   | E2  | E3 | Err. E [%] |
|------|-----------|------------|---------|----------|------|-----|----|------------|
| 73   | 1         | 0.01522    | 0.69    | 0.40     | 823  | 179 | 45 | 10.15      |
|      | 2         | 0.52461    | 0.19    | 0.11     | 948  | 153 | 45 | 3.29       |
|      | 3         | 0.25654    | -0.18   | 0.10     | 660  | 199 | 55 | 0.93       |
|      | 4         | 0.99432    | 0.04    | 0.02     | 2501 | 400 | 90 | 0.02       |
|      | 5         | 0.96278    | 0.03    | 0.02     | 999  | 300 | 40 | 0.06       |
|      | 6         | 0.95435    | -0.06   | 0.03     | 1992 | 351 | 95 | 0.28       |
|      | 7         | 0.79325    | 0.11    | 0.07     | 2228 | 497 | 90 | 0.81       |
|      | 8         | 0.57704    | -0.11   | 0.07     | 1523 | 348 | 50 | 0.94       |
|      | 9         | 0.00928    | -1.91   | 1.31     | 740  | 120 | 61 | 4.14       |
|      | 10        | 0.41859    | -0.13   | 0.09     | 1186 | 202 | 50 | 0.89       |
|      | Avg       | 0.55060    |         | 0.22     |      |     |    | 2.15       |
| 74   | 1         | 0.59216    | 0.13    | 0.09     | 739  | 183 | 45 | 3.36       |
|      | 2         | 0.61831    | 0.19    | 0.11     | 946  | 153 | 45 | 3.17       |
|      | 3         | 0.99125    | 0.02    | 0.01     | 650  | 200 | 55 | 0.00       |
|      | 4         | 0.82739    | 0.07    | 0.04     | 2503 | 399 | 90 | 0.16       |
|      | 5         | 0.95131    | 0.03    | 0.02     | 998  | 300 | 40 | 0.12       |
|      | 6         | 0.99694    | 0.01    | 0.01     | 1998 | 350 | 95 | 0.06       |
|      | 7         | 0.99474    | 0.03    | 0.01     | 2199 | 500 | 90 | 0.03       |
|      | 8         | 0.85440    | 0.06    | 0.03     | 1510 | 349 | 50 | 0.42       |
|      | 9         | 0.96451    | 0.03    | 0.01     | 699  | 125 | 60 | 0.08       |
|      | 10        | 0.04038    | 0.50    | 0.33     | 1268 | 192 | 50 | 4.00       |
|      | Avg       | 0.78314    |         | 0.07     |      |     |    | 1.14       |
| 75   | 1         | 0.10440    | -0.24   | 0.13     | 764  | 182 | 45 | 5.32       |
|      | 2         | 0.61831    | 0.19    | 0.11     | 946  | 153 | 45 | 3.17       |
|      | 3         | 0.99125    | 0.02    | 0.01     | 650  | 200 | 55 | 0.00       |
|      | 4         | 0.99300    | 0.04    | 0.02     | 2502 | 400 | 90 | 0.05       |
|      | 5         | 0.85625    | 0.03    | 0.02     | 1001 | 300 | 40 | 0.06       |
|      | 6         | 0.27612    | -0.35   | 0.21     | 2061 | 343 | 95 | 2.11       |
|      | 7         | 0.95288    | 0.06    | 0.03     | 2205 | 499 | 90 | 0.17       |
|      | 8         | 0.88260    | -0.04   | 0.03     | 1489 | 351 | 50 | 0.45       |
|      | 9         | 0.02093    | -0.47   | 0.22     | 705  | 126 | 60 | 0.62       |
|      | 10        | 0.99276    | 0.02    | 0.01     | 1200 | 200 | 50 | 0.00       |
|      | Avg       | 0.66885    |         | 0.08     |      |     |    | 1.19       |

ตารางที่ ข.4 ผลการคำนวณย้อนกลับของแบบจำลองโครงสร้างทางจากชุดพารามิเตอร์ 77 ชุด (ต่อ)

| Rank | Model. No | Best Fitn. | Max Err | RMSE [%] | E1   | E2  | E3 | Err. E [%] |
|------|-----------|------------|---------|----------|------|-----|----|------------|
| 76   | 1         | 0.17940    | 0.20    | 0.13     | 756  | 182 | 45 | 4.66       |
|      | 2         | 0.52461    | 0.19    | 0.11     | 948  | 153 | 45 | 3.29       |
|      | 3         | 0.02075    | -1.85   | 1.06     | 674  | 193 | 56 | 3.12       |
|      | 4         | 0.35414    | 0.23    | 0.14     | 2598 | 393 | 90 | 2.48       |
|      | 5         | 0.64839    | -0.06   | 0.03     | 1012 | 299 | 40 | 0.72       |
|      | 6         | 0.95915    | 0.05    | 0.03     | 2006 | 349 | 95 | 0.24       |
|      | 7         | 0.99474    | 0.03    | 0.01     | 2199 | 500 | 90 | 0.03       |
|      | 8         | 0.99365    | -0.03   | 0.01     | 1500 | 350 | 50 | 0.00       |
|      | 9         | 0.00698    | 2.12    | 1.45     | 627  | 133 | 59 | 7.13       |
|      | 10        | 0.72195    | 0.07    | 0.04     | 1208 | 199 | 50 | 0.48       |
| Avg  | 0.54038   |            |         | 0.30     |      |     |    | 2.21       |
| 77   | 1         | 0.59216    | 0.13    | 0.09     | 739  | 183 | 45 | 3.36       |
|      | 2         | 0.30011    | 0.19    | 0.14     | 955  | 152 | 45 | 3.61       |
|      | 3         | 0.99125    | 0.02    | 0.01     | 650  | 200 | 55 | 0.00       |
|      | 4         | 0.07534    | 1.29    | 0.80     | 2447 | 414 | 89 | 2.45       |
|      | 5         | 0.96278    | 0.03    | 0.02     | 999  | 300 | 40 | 0.06       |
|      | 6         | 0.04111    | -2.17   | 1.10     | 2189 | 315 | 97 | 8.04       |
|      | 7         | 0.99454    | 0.03    | 0.01     | 2200 | 500 | 90 | 0.00       |
|      | 8         | 0.62113    | 0.12    | 0.07     | 1518 | 348 | 50 | 0.77       |
|      | 9         | 0.56985    | 0.06    | 0.03     | 696  | 125 | 60 | 0.33       |
|      | 10        | 0.02862    | -0.62   | 0.41     | 1128 | 210 | 50 | 4.51       |
| Avg  | 0.51769   |            |         | 0.27     |      |     |    | 2.31       |

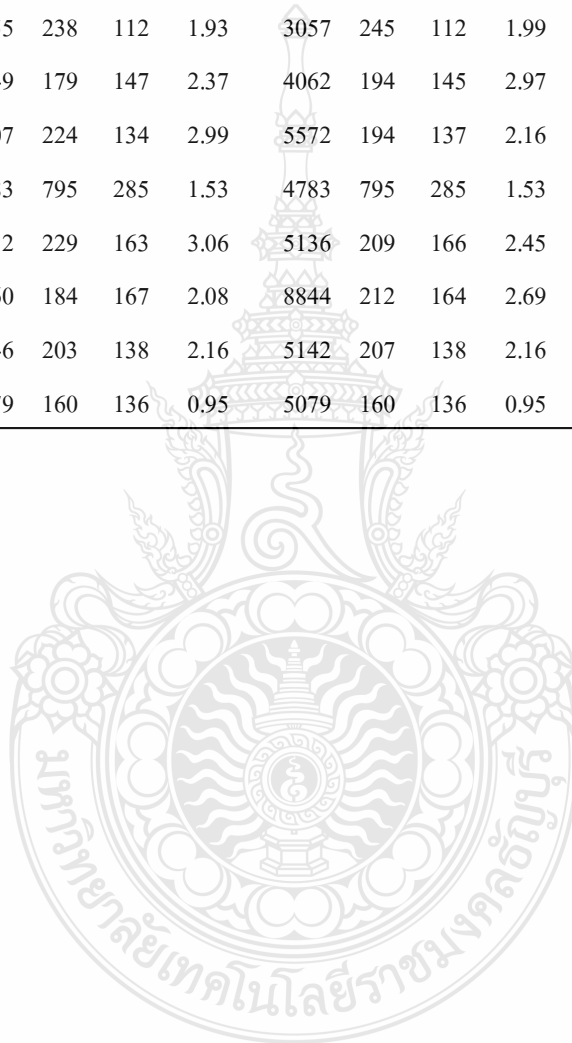
ภาคผนวก ค

ผลการคำนวณย้อนกลับจากข้อมูลผลการทดสอบด้วยเครื่อง FWD บริเวณทางวิ่ง  
ของสนามบินเพชรบูรณ์



ตารางที่ ค.1 ผลการคำนวณย้อนกลับจากข้อมูลผลการทดสอบด้วยเครื่อง FWD บริเวณทางวิ่งของ  
สนามบินเพชรบูรณ์

| No. | Chainage   | GAMLET Best |     |     |      | RMSE<br>[%] | GAMLET Selected |     |      |       | RMSE | PAVERS 2.8 |      |    |  | RMSE |
|-----|------------|-------------|-----|-----|------|-------------|-----------------|-----|------|-------|------|------------|------|----|--|------|
|     |            | E1          | E2  | E3  |      |             | E1              | E2  | E3   |       |      | E1         | E2   | E3 |  |      |
| 1   | RWY1 0+200 | 3622        | 729 | 261 | 2.71 | 3709        | 716             | 261 | 2.75 | 3268  | 823  | 256        | 2.38 |    |  |      |
| 2   | RWY1 0+300 | 2791        | 487 | 210 | 1.89 | 2820        | 473             | 212 | 1.54 | 3257  | 399  | 214        | 1.08 |    |  |      |
| 3   | RWY1 0+500 | 3155        | 238 | 112 | 1.93 | 3057        | 245             | 112 | 1.99 | 3774  | 180  | 115        | 1.07 |    |  |      |
| 4   | RWY1 0+700 | 4249        | 179 | 147 | 2.37 | 4062        | 194             | 145 | 2.97 | 5058  | 139  | 152        | 1.61 |    |  |      |
| 5   | RWY1 1+200 | 5107        | 224 | 134 | 2.99 | 5572        | 194             | 137 | 2.16 | 6863  | 138  | 143        | 1.33 |    |  |      |
| 6   | RWY3 0+350 | 4783        | 795 | 285 | 1.53 | 4783        | 795             | 285 | 1.53 | 5440  | 660  | 289        | 1.10 |    |  |      |
| 7   | RWY3 0+750 | 4932        | 229 | 163 | 3.06 | 5136        | 209             | 166 | 2.45 | 6448  | 150  | 172        | 1.88 |    |  |      |
| 8   | RWY3 1+150 | 9560        | 184 | 167 | 2.08 | 8844        | 212             | 164 | 2.69 | 10000 | 139  | 175        | 2.45 |    |  |      |
| 9   | RWY3 1+350 | 5246        | 203 | 138 | 2.16 | 5142        | 207             | 138 | 2.16 | 6207  | 135  | 144        | 1.58 |    |  |      |
| 10  | RWY3 2+050 | 5079        | 160 | 136 | 0.95 | 5079        | 160             | 136 | 0.95 | 5132  | 157  | 137        | 0.95 |    |  |      |





ภาคผนวก ง

ผลงานตีพิมพ์เผยแพร่

เอกสารประกอบการประชุม

# การประชุมวิชาการวิศวกรรมโยธาแห่งชาติ ครั้งที่ 19 The 19<sup>th</sup> National Convention on Civil Engineering

เนื่องในโอกาสเฉลิมฉลองครบรอบ 50 ปี ภาควิชาวิศวกรรมโยธา คณะวิศวกรรมศาสตร์ มหาวิทยาลัยขอนแก่น



วิศวกรรมโยธากับประชาคมเศรษฐกิจอาเซียน  
Civil Engineering and ASEAN Economic Community



14-16 พฤษภาคม 2557  
ณ โรงแรมพูลแมน ขอนแก่น ราชา ออคิด  
May 14-16, 2014  
Pullman Khon Kaen Raja Orchid Hotel

จัดโดย

ภาควิชาวิศวกรรมโยธา คณะวิศวกรรมศาสตร์ มหาวิทยาลัยขอนแก่น  
และวิศวกรรมสถานแห่งประเทศไทย ในพระบรมราชูปถัมภ์ (วสท.)



## ผู้ทรงคุณวุฒิพิจารณาบทความการประชุมวิชาการวิศวกรรมโยธาแห่งชาติ ครั้งที่ 19

### รายชื่อผู้ทรงคุณวุฒิ

|    |                    |                |                        |
|----|--------------------|----------------|------------------------|
| 1  | ศ.ดร.ธีรพงศ์       | เสนจันทร์ดิไชย | จุฬาลงกรณ์มหาวิทยาลัย  |
| 2  | ศ.ดร.เอกสิทธิ์     | ลิ้มสุวรรณ     | จุฬาลงกรณ์มหาวิทยาลัย  |
| 3  | รศ.ดร.เกษม         | ชูจารกุล       | จุฬาลงกรณ์มหาวิทยาลัย  |
| 4  | รศ.ดร.ฐิรวัตร      | บุญญะฐี        | จุฬาลงกรณ์มหาวิทยาลัย  |
| 5  | รศ.ดร.ธัญวัฒน์     | โพธิศิริ       | จุฬาลงกรณ์มหาวิทยาลัย  |
| 6  | รศ.ดร.บรรเจิด      | พละการ         | จุฬาลงกรณ์มหาวิทยาลัย  |
| 7  | รศ.ดร.บุญไชย       | สถิตมั่นในธรรม | จุฬาลงกรณ์มหาวิทยาลัย  |
| 8  | รศ.ดร.วิสุทธิ์     | ช่อวิเชียร     | จุฬาลงกรณ์มหาวิทยาลัย  |
| 9  | รศ.ดร.ศักดิ์สิทธิ์ | เฉลิมพงศ์      | จุฬาลงกรณ์มหาวิทยาลัย  |
| 10 | รศ.ดร.สรวิศ        | นฤปิติ         | จุฬาลงกรณ์มหาวิทยาลัย  |
| 11 | รศ.ดร.สุเชษฐ์      | ลิขิตเลอสรวง   | จุฬาลงกรณ์มหาวิทยาลัย  |
| 12 | รศ.ดร.อัศวินทร์    | เลนวารี        | จุฬาลงกรณ์มหาวิทยาลัย  |
| 13 | รศ.วิชัย           | เยี่ยงวีรชน    | จุฬาลงกรณ์มหาวิทยาลัย  |
| 14 | ผศ.ดร.จิตติชัย     | รุจนกนกนาฏ     | จุฬาลงกรณ์มหาวิทยาลัย  |
| 15 | ผศ.ดร.ฉัตรพันธ์    | จินตนาภักดี    | จุฬาลงกรณ์มหาวิทยาลัย  |
| 16 | ผศ.ดร.ธเนศ         | ศรีศิริโรจนกร  | จุฬาลงกรณ์มหาวิทยาลัย  |
| 17 | ผศ.ดร.นพดล         | จอกแก้ว        | จุฬาลงกรณ์มหาวิทยาลัย  |
| 18 | ผศ.ดร.มานิช        | โลหเตปานนท์    | จุฬาลงกรณ์มหาวิทยาลัย  |
| 19 | ผศ.ดร.วัชร         | เพ็ชรสุภาพ     | จุฬาลงกรณ์มหาวิทยาลัย  |
| 20 | ผศ.ดร.ศรีเลิศ      | โชติพันธ์รัตน์ | จุฬาลงกรณ์มหาวิทยาลัย  |
| 21 | อ.ดร.เบญจพร        | สุวรรณศิลป์    | จุฬาลงกรณ์มหาวิทยาลัย  |
| 22 | อ.ดร.อรอนงค์       | ลาภปริสุทธิ    | จุฬาลงกรณ์มหาวิทยาลัย  |
| 23 | ศ.ดร.วิโรจน์       | รุโงปการ       | มหาวิทยาลัยเกษตรศาสตร์ |
| 24 | รศ.ดร.ก่อโชค       | จันทร์วางกูร   | มหาวิทยาลัยเกษตรศาสตร์ |
| 25 | รศ.ดร.ชวเลข        | วณิชเวทิน      | มหาวิทยาลัยเกษตรศาสตร์ |
| 26 | รศ.ดร.ตีบุญ        | เมธากุลชาติ    | มหาวิทยาลัยเกษตรศาสตร์ |
| 27 | รศ.ดร.วัชรินทร์    | วิทยกุล        | มหาวิทยาลัยเกษตรศาสตร์ |
| 28 | รศ.ดร.สุธาริน      | สถาปตานนท์     | มหาวิทยาลัยเกษตรศาสตร์ |
| 29 | รศ.ดร.สุทธิศักดิ์  | ครลัมพ์        | มหาวิทยาลัยเกษตรศาสตร์ |
| 30 | รศ.ดร.สุวัฒนา      | จิตตลดากร      | มหาวิทยาลัยเกษตรศาสตร์ |
| 31 | รศ.ดร.สุวิมล       | ลัจจวาณิชย์    | มหาวิทยาลัยเกษตรศาสตร์ |



|    |                          |                      |                        |
|----|--------------------------|----------------------|------------------------|
| 32 | ผศ.ดร.กิจพัฒน์           | ภู่วรรณ              | มหาวิทยาลัยเกษตรศาสตร์ |
| 33 | ผศ.ดร.ปิยนุช             | เวทย์วิวัฒน์         | มหาวิทยาลัยเกษตรศาสตร์ |
| 34 | ผศ.ดร.วราเมศวร์          | วิเชียรแสน           | มหาวิทยาลัยเกษตรศาสตร์ |
| 35 | ผศ.ดร.วันชัย             | ยอดสุดใจ             | มหาวิทยาลัยเกษตรศาสตร์ |
| 36 | ผศ.ดร.วีระเกษตร          | สวนผกา               | มหาวิทยาลัยเกษตรศาสตร์ |
| 37 | ผศ.ดร.เหมือนมาศ          | วิเชียรสินธุ์        | มหาวิทยาลัยเกษตรศาสตร์ |
| 38 | ผศ.ดร.อดิษฐ์             | พรพรหมินทร์          | มหาวิทยาลัยเกษตรศาสตร์ |
| 39 | ผศ.ดร.เอกสิทธิ์          | โฆสิตสกุลชัย         | มหาวิทยาลัยเกษตรศาสตร์ |
| 40 | ผศ.พีชวุฒิ               | พุทธภิมย์            | มหาวิทยาลัยเกษตรศาสตร์ |
| 41 | อ.ดร.จิระกานต์           | ศิริวิชญ์ไมตรี       | มหาวิทยาลัยเกษตรศาสตร์ |
| 42 | อ.ดร.จิระวัฒน์           | กณะสุด               | มหาวิทยาลัยเกษตรศาสตร์ |
| 43 | อ.ดร.ปนัดดา              | กลกิจวิวัฒน์         | มหาวิทยาลัยเกษตรศาสตร์ |
| 44 | อ.ดร.พรรณพิมพ์ พุทธรักษา | มะเปี่ยม             | มหาวิทยาลัยเกษตรศาสตร์ |
| 45 | อ.ดร.ยุวดี               | แช่ตั้ง              | มหาวิทยาลัยเกษตรศาสตร์ |
| 46 | อ.ดร.วิษุวัฒน์           | แต่สมบัติ            | มหาวิทยาลัยเกษตรศาสตร์ |
| 47 | อ.ดร.สมชาย               | ดอนเจดีย์            | มหาวิทยาลัยเกษตรศาสตร์ |
| 48 | อ.ดร.สรโรช               | บุญศิริพันธ์         | มหาวิทยาลัยเกษตรศาสตร์ |
| 49 | อ.ดร.สุภาพร              | แก้วกอ เลี้ยวไพโรจน์ | มหาวิทยาลัยเกษตรศาสตร์ |
| 50 | อ.ดร.สุรียน              | เปรมปราโมทย์         | มหาวิทยาลัยเกษตรศาสตร์ |
| 51 | อ.ดร.เอกชัย              | ศิริกมลพานิชย์กุล    | มหาวิทยาลัยเกษตรศาสตร์ |
| 52 | อ.ฐิตาภรณ์               | ท้อบุตรดี            | มหาวิทยาลัยเกษตรศาสตร์ |
| 53 | อ.ต่อศักดิ์              | ประเสริฐสังข์        | มหาวิทยาลัยเกษตรศาสตร์ |
| 54 | อ.ทศพล                   | จตุระบุล             | มหาวิทยาลัยเกษตรศาสตร์ |
| 55 | ศ.ดร.ปริญญา              | จินดาประเสริฐ        | มหาวิทยาลัยขอนแก่น     |
| 56 | รศ.ดร.เฉลิมชัย           | พาวัฒนา              | มหาวิทยาลัยขอนแก่น     |
| 57 | รศ.ดร.พงศกร              | พรรณรัตน์ศิลป์       | มหาวิทยาลัยขอนแก่น     |
| 58 | รศ.พัชรี                 | ห่อวิจิตร            | มหาวิทยาลัยขอนแก่น     |
| 59 | รศ.วินัย                 | ศรีอำพร              | มหาวิทยาลัยขอนแก่น     |
| 60 | รศ.วีระ                  | หอสกุลไท             | มหาวิทยาลัยขอนแก่น     |
| 61 | ผศ.ดร.กอปร               | ศรีนาวิน             | มหาวิทยาลัยขอนแก่น     |
| 62 | ผศ.ดร.จาร์ึก             | ธีระวงษ์             | มหาวิทยาลัยขอนแก่น     |
| 63 | ผศ.ดร.ชาติชาย            | ไวยสุระสิงห์         | มหาวิทยาลัยขอนแก่น     |
| 64 | ผศ.ดร.ณรงค์              | เหลืองบุตรนาค        | มหาวิทยาลัยขอนแก่น     |
| 65 | ผศ.ดร.ณัฐพงษ์            | อารีมิตร             | มหาวิทยาลัยขอนแก่น     |
| 66 | ผศ.ดร.ดลฤดี              | หอมดี                | มหาวิทยาลัยขอนแก่น     |





|     |                 |                 |  |
|-----|-----------------|-----------------|--|
| 67  | ผศ.ดร.ธเนศ      | เสถียรนาม       | มหาวิทยาลัยขอนแก่น                         |
| 68  | ผศ.ดร.ธัญดา     | พรรณเชษฐ์       | มหาวิทยาลัยขอนแก่น                         |
| 69  | ผศ.ดร.พนกฤษณ    | คลังบุญครอง     | มหาวิทยาลัยขอนแก่น                         |
| 70  | ผศ.ดร.รัตมณี    | นันทสาร         | มหาวิทยาลัยขอนแก่น                         |
| 71  | ผศ.ดร.ลัดดา     | ต้นวานิชกุล     | มหาวิทยาลัยขอนแก่น                         |
| 72  | ผศ.ดร.วันชัย    | สะตะ            | มหาวิทยาลัยขอนแก่น                         |
| 73  | ผศ.ดร.วิชุดา    | เสถียรนาม       | มหาวิทยาลัยขอนแก่น                         |
| 74  | อ.ดร.กิตติเวช   | ขันตยวิชัย      | มหาวิทยาลัยขอนแก่น                         |
| 75  | อ.ดร.ธนากร      | เมธาธรรม        | มหาวิทยาลัยขอนแก่น                         |
| 76  | อ.ดร.ธัญลักษณ์  | ราษฎร์ภักดี     | มหาวิทยาลัยขอนแก่น                         |
| 77  | อ.ดร.ปิยะวัชร   | ฝอยทอง          | มหาวิทยาลัยขอนแก่น                         |
| 78  | อ.ดร.พัศพันธ์   | ชาญวสุนันท์     | มหาวิทยาลัยขอนแก่น                         |
| 79  | อ.สุรัตน์       | ประมวลศักดิ์กุล | มหาวิทยาลัยขอนแก่น                         |
| 80  | รศ.ชูโชค        | อายุพงศ์        | มหาวิทยาลัยเชียงใหม่                       |
| 81  | รศ.ดร.ธนพร      | สุปรียศิลป์     | มหาวิทยาลัยเชียงใหม่                       |
| 82  | ผศ.ดร.พุทธิพล   | ดำรงชัย         | มหาวิทยาลัยเชียงใหม่                       |
| 83  | อ.ดร.เกรียงไกร  | อรุณทยานันท์    | มหาวิทยาลัยเชียงใหม่                       |
| 84  | อ.ดร.ปรีดา      | พิชยาพันธ์      | มหาวิทยาลัยเชียงใหม่                       |
| 85  | อ.ดร.รังสรรค์   | อุดมศรี         | มหาวิทยาลัยเชียงใหม่                       |
| 86  | อ.ดร.อรธรวิทย์  | อุไยคิน         | มหาวิทยาลัยเชียงใหม่                       |
| 87  | ศ.ดร.ชัย        | จาตุรพิทักษ์กุล | มหาวิทยาลัยเทคโนโลยีพระจอมเกล้าธนบุรี      |
| 88  | ศ.ดร.ชัยยุทธ    | ชินณะราตรี      | มหาวิทยาลัยเทคโนโลยีพระจอมเกล้าธนบุรี      |
| 89  | รศ.ดร.พรเกษม    | จงประดิษฐ์      | มหาวิทยาลัยเทคโนโลยีพระจอมเกล้าธนบุรี      |
| 90  | รศ.ดร.วิโรจน์   | ศรีสุรภานนท์    | มหาวิทยาลัยเทคโนโลยีพระจอมเกล้าธนบุรี      |
| 91  | ผศ.ดร.ธิดารัตน์ | บุญศรี          | มหาวิทยาลัยเทคโนโลยีพระจอมเกล้าธนบุรี      |
| 92  | ผศ.ดร.พิชญ์     | สุธีรวรรณนา     | มหาวิทยาลัยเทคโนโลยีพระจอมเกล้าธนบุรี      |
| 93  | ผศ.ดร.วรัช      | ก้องกิงกุล      | มหาวิทยาลัยเทคโนโลยีพระจอมเกล้าธนบุรี      |
| 94  | ผศ.ดร.วิลาลินี  | อยู่ชัชวาล      | มหาวิทยาลัยเทคโนโลยีพระจอมเกล้าธนบุรี      |
| 95  | ผศ.ดร.วีรชาติ   | ตั้งจิรภัทร     | มหาวิทยาลัยเทคโนโลยีพระจอมเกล้าธนบุรี      |
| 96  | ผศ.ดร.วุฒิพงศ์  | เมื่อน้อย       | มหาวิทยาลัยเทคโนโลยีพระจอมเกล้าธนบุรี      |
| 97  | อ.ดร.ชัยวัฒน์   | เอกวัฒน์พานิชย์ | มหาวิทยาลัยเทคโนโลยีพระจอมเกล้าธนบุรี      |
| 98  | อ.ดร.ทรงเกียรติ | ภัทรปัทมาวงศ์   | มหาวิทยาลัยเทคโนโลยีพระจอมเกล้าธนบุรี      |
| 99  | อ.ดร.ประพัทธ์   | พงษ์เกียรติกุล  | มหาวิทยาลัยเทคโนโลยีพระจอมเกล้าธนบุรี      |
| 100 | รศ.ดร.กิตติชัย  | ธนทรัพย์สิน     | มหาวิทยาลัยเทคโนโลยีพระจอมเกล้าพระนครเหนือ |
| 101 | รศ.ดร.ปิติ      | สุนทรสุขกุล     | มหาวิทยาลัยเทคโนโลยีพระจอมเกล้าพระนครเหนือ |



|     |                  |                  |   |
|-----|------------------|------------------|---|
| 102 | รศ.ดร.พานิช      | วุฒิปภฤกษ์       | มหาวิทยาลัยเทคโนโลยีพระจอมเกล้าพระนครเหนือ  |
| 103 | รศ.ดร.วรรณวิทย์  | แต่้มทอง         | มหาวิทยาลัยเทคโนโลยีพระจอมเกล้าพระนครเหนือ  |
| 104 | รศ.ดร.สมิตร      | ส่งพิริยะกิจ     | มหาวิทยาลัยเทคโนโลยีพระจอมเกล้าพระนครเหนือ  |
| 105 | รศ.ดร.สุพรชัย    | อุทัยนฤมล        | มหาวิทยาลัยเทคโนโลยีพระจอมเกล้าพระนครเหนือ  |
| 106 | ผศ.ดร.เทอดศักดิ์ | รองวีริยะพานิช   | มหาวิทยาลัยเทคโนโลยีพระจอมเกล้าพระนครเหนือ  |
| 107 | อ.ดร.ณัฐพงศ์     | มกระธัช          | มหาวิทยาลัยเทคโนโลยีพระจอมเกล้าพระนครเหนือ  |
| 108 | รศ.ดร.สายสุนีย์  | พุทธาคุณเจริญ    | มหาวิทยาลัยเทคโนโลยีมหานคร                  |
| 109 | ผศ.ดร.ปิตินานต์  | กร้ามาตร         | มหาวิทยาลัยเทคโนโลยีราชมงคลธัญบุรี          |
| 110 | อ.ดร.จตุพล       | ตั้งปกาศิต       | มหาวิทยาลัยเทคโนโลยีราชมงคลธัญบุรี          |
| 111 | ผศ.ดร.สำเร็จ     | รักซ้อน          | มหาวิทยาลัยเทคโนโลยีราชมงคลพระนคร           |
| 112 | รศ.จรรยา         | เจริญเนตรกุล     | มหาวิทยาลัยเทคโนโลยีราชมงคลศรีวิชัย         |
| 113 | ผศ.นัฐวุฒิ       | ทิพย์โยธา        | มหาวิทยาลัยเทคโนโลยีราชมงคลอีสาน นครราชสีมา |
| 114 | อ.ดร.เกียรติสุดา | สมนา             | มหาวิทยาลัยเทคโนโลยีราชมงคลอีสาน นครราชสีมา |
| 115 | อ.ดร.รัฐพล       | สมนา             | มหาวิทยาลัยเทคโนโลยีราชมงคลอีสาน นครราชสีมา |
| 116 | รศ.ดร.วชรภูมิ    | เบญจโอาหาร       | มหาวิทยาลัยเทคโนโลยีสุรนารี                 |
| 117 | รศ.ดร.วัฒนวงค์   | รัตนวราห         | มหาวิทยาลัยเทคโนโลยีสุรนารี                 |
| 118 | รศ.ดร.สิทธิชัย   | แสงอาทิตย์       | มหาวิทยาลัยเทคโนโลยีสุรนารี                 |
| 119 | รศ.ดร.อวิรุทธิ์  | ชินกุลกิจนิวัฒน์ | มหาวิทยาลัยเทคโนโลยีสุรนารี                 |
| 120 | ผศ.ดร.ฉัตรชัย    | โชติขลุ่ยางกูร   | มหาวิทยาลัยเทคโนโลยีสุรนารี                 |
| 121 | ผศ.ดร.ธีรวัฒน์   | สินศิริ          | มหาวิทยาลัยเทคโนโลยีสุรนารี                 |
| 122 | ผศ.ดร.ปรียาพร    | โกษา             | มหาวิทยาลัยเทคโนโลยีสุรนารี                 |
| 123 | ผศ.ดร.พรพจน์     | ต้นเส็ง          | มหาวิทยาลัยเทคโนโลยีสุรนารี                 |
| 124 | ผศ.ดร.รัฐพล      | ภูบผาพันธ์       | มหาวิทยาลัยเทคโนโลยีสุรนารี                 |
| 125 | อ.ดร.ศิรดล       | ศิริธร           | มหาวิทยาลัยเทคโนโลยีสุรนารี                 |
| 126 | รศ.ดร.ชวลิต      | ชาสิทธิ์ตระกูล   | มหาวิทยาลัยธรรมศาสตร์                       |
| 127 | รศ.ดร.นคร        | ภูวโรดม          | มหาวิทยาลัยธรรมศาสตร์                       |
| 128 | รศ.ดร.บุรฉัตร    | ฉัตรวิริยะ       | มหาวิทยาลัยธรรมศาสตร์                       |
| 129 | รศ.ดร.วีรยา      | ฉิมอ้อย          | มหาวิทยาลัยธรรมศาสตร์                       |
| 130 | รศ.ดร.สายันต์    | ศิริมนตรี        | มหาวิทยาลัยธรรมศาสตร์                       |
| 131 | ผศ.ดร.กฤตดายุทธ์ | ชมภูนึ่ง         | มหาวิทยาลัยธรรมศาสตร์                       |
| 132 | ผศ.ดร.ภาวิณี     | เยี่ยมตระกูล     | มหาวิทยาลัยธรรมศาสตร์                       |
| 133 | ผศ.ดร.สสิกรณณ์   | เหล็องวิชชเจริญ  | มหาวิทยาลัยนเรศวร                           |
| 134 | อ.ดร.ดุขภู       | สทธิเศรษฐทวี     | มหาวิทยาลัยนเรศวร                           |
| 135 | ผศ.ดร.ทวีชัย     | สำราญวานิช       | มหาวิทยาลัยบูรพา                            |
| 136 | ผศ.ดร.ธรรมบุญ    | รัศมีมาสเมือง    | มหาวิทยาลัยบูรพา                            |



|     |                     |                 |                                |
|-----|---------------------|-----------------|--------------------------------|
| 137 | ผศ.ดร.วิเชียร       | ชาลี            | มหาวิทยาลัยบูรพา               |
| 138 | ผศ.ดร.สยาม          | ยิ้มศิริ        | มหาวิทยาลัยบูรพา               |
| 139 | ผศ.ดร.สุเมศวร์      | พิริยวัฒน์      | มหาวิทยาลัยบูรพา               |
| 140 | อ.ดร.ฐิติมา         | วงศ์อินตา       | มหาวิทยาลัยบูรพา               |
| 141 | อ.ดร.ปิติ           | โรจน์วรรณสินธุ์ | มหาวิทยาลัยบูรพา               |
| 142 | อ.ดร.พัทธพงษ์       | อาสนจินดา       | มหาวิทยาลัยบูรพา               |
| 143 | อ.ดร.เพชรรัตน์      | ลิมสุปรียรัตน์  | มหาวิทยาลัยบูรพา               |
| 144 | อ.เรือเอก ดร.สรารัฐ | ลักษณะโต        | มหาวิทยาลัยบูรพา               |
| 145 | ผศ.ดร.ณัฐพงศ์       | ดำรงวิริยะนุภาพ | มหาวิทยาลัยพะเยา               |
| 146 | ผศ.ดร.ธนกร          | ชมภูรัตน์       | มหาวิทยาลัยพะเยา               |
| 147 | ผศ.ดร.สมบูรณ์       | เชียงใหม่       | มหาวิทยาลัยพะเยา               |
| 148 | ผศ.ดร.กริสน์        | ชัยมูล          | มหาวิทยาลัยมหาสารคาม           |
| 149 | ผศ.ดร.เรือรุ่งชดี   | ชีระโรจน์       | มหาวิทยาลัยมหาสารคาม           |
| 150 | ผศ.ดร.สหลาภ         | หอมวุฒิวังศ์    | มหาวิทยาลัยมหาสารคาม           |
| 151 | ผศ.ดร.ธัชวีร์       | สิทธิ์วัฒน์     | มหาวิทยาลัยมหิดล               |
| 152 | ผศ.ดร.สมชาย         | ปฐมศิริ         | มหาวิทยาลัยมหิดล               |
| 153 | อ.ดร.ชลลดา          | เลาะพอ          | มหาวิทยาลัยมหิดล               |
| 154 | ผศ.ดร.วรรณิ         | ศุขสาตร         | มหาวิทยาลัยรังสิต              |
| 155 | ผศ.สมศักดิ์         | เอื้ออัชฌาศัย   | มหาวิทยาลัยรังสิต              |
| 156 | อ.ดร.กรกนก          | บุญเสริม        | มหาวิทยาลัยราชภัฏมหาสารคาม     |
| 157 | อ.ดร.สกลวรรณ        | ห่านจิตสุวรรณ์  | มหาวิทยาลัยราชภัฏลำปาง         |
| 158 | ผศ.ดร.วสันต์        | ธีระเจตกุล      | มหาวิทยาลัยศรีนครินทรวิโรฒ     |
| 159 | ศ.ดร.พิชัย          | ธานีรณานนท์     | มหาวิทยาลัยสงขลานครินทร์       |
| 160 | ผศ.ดร.ธนันท์        | ชูอุปการ        | มหาวิทยาลัยสงขลานครินทร์       |
| 161 | ผศ.ดร.ภาสกร         | ชัยวิริยะวงศ์   | มหาวิทยาลัยสงขลานครินทร์       |
| 162 | อ.ดร.ปรเมศวร์       | เหลือเทพ        | มหาวิทยาลัยสงขลานครินทร์       |
| 163 | อ.ดร.วิชัยรัตน์     | แก้วเจือ        | มหาวิทยาลัยสงขลานครินทร์       |
| 164 | อ.ดร.ฐกฤตพัศ        | เจนจิวัฒนกุล    | มหาวิทยาลัยสยาม                |
| 165 | รศ.ดร.สถาพร         | โกคา            | มหาวิทยาลัยอุบลราชธานี         |
| 166 | ผศ.ดร.เกรียงศักดิ์  | แก้วกุลชัย      | มหาวิทยาลัยอุบลราชธานี         |
| 167 | ผศ.ดร.สิทธิธา       | เจนศิริศักดิ์   | มหาวิทยาลัยอุบลราชธานี         |
| 168 | อ.ดร.ถนัดกิจ        | ชาวีรัตน์       | มหาวิทยาลัยอุบลราชธานี         |
| 169 | พ.อ.ผศ.ดร.ไท        | ชาญกุล          | โรงเรียนนายร้อยพระจุลจอมเกล้า  |
| 170 | อ.ดร.ภักดิ์วัฒน์    | แสนเจริญ        | สถาบันเทคโนโลยีนานาชาติสิรินธร |
| 171 | อ.ดร.รักติพงษ์      | สนิทรมงคล       | สถาบันเทคโนโลยีนานาชาติสิรินธร |



จัดโดย ภาควิชาวิศวกรรมโยธา คณะวิศวกรรมศาสตร์ มหาวิทยาลัยขอนแก่น  
และวิศวกรรมสถานแห่งประเทศไทย ในพระบรมราชูปถัมภ์ (วสท.)

|     |                |               |  |
|-----|----------------|---------------|--|
| 172 | อ.ดร.วรางคณา   | แสงสร้อย      | สถาบันเทคโนโลยีนานาชาติสิรินธร                 |
| 173 | รศ.ดร.จักรพงษ์ | พงษ์เพ็ง      | สถาบันเทคโนโลยีพระจอมเกล้าเจ้าคุณทหารลาดกระบัง |
| 174 | รศ.ดร.เอกชัย   | สุมาลี        | สถาบันเทคโนโลยีพระจอมเกล้าเจ้าคุณทหารลาดกระบัง |
| 175 | รศ.แหลมทอง     | เหล่าคงถาวร   | สถาบันเทคโนโลยีพระจอมเกล้าเจ้าคุณทหารลาดกระบัง |
| 176 | ผศ.ดร.อุมา     | สิบุญเรือง    | สถาบันเทคโนโลยีพระจอมเกล้าเจ้าคุณทหารลาดกระบัง |
| 177 | อ.ดร.จรัส      | พิทักษ์ศฤงคาร | สถาบันเทคโนโลยีพระจอมเกล้าเจ้าคุณทหารลาดกระบัง |
| 178 | ดร.สุเมธ       | องกิตติกุล    | สถาบันวิจัยเพื่อการพัฒนาประเทศไทย              |

หมายเหตุ: เรียงลำดับตามชื่อสถาบันการศึกษา หน่วยงานราชการ และหน่วยงานเอกชน (ก-ฮ)





จัดโดย ภาควิชาวิศวกรรมโยธา คณะวิศวกรรมศาสตร์ มหาวิทยาลัยขอนแก่น  
และวิศวกรรมสถานแห่งประเทศไทย ในพระบรมราชูปถัมภ์ (วสท.)

#### Technical Session 8-2: Network Analysis & Emissions

Room: FAH MUI 3

Chairperson: Dr. Thakonlaphat Jenjiwattanakul

| Time          | Paper ID | Title   | Page No |
|---------------|----------|---|---------|
| 17:15 - 17:30 | 118      | Analysis of Cities and Highway Network in Greater Mekong Subregion  | 274     |
| 17:30 - 17:45 | 55       | Network Evaluation of Flood Impact for Rural Highway Management Preparedness  | 275     |
| 17:45 - 18:00 | 268      | Study Equity Accessibility to Activities of Chiang Mai City   | 275     |
| 18:00 - 18:15 | 455      | Study of Short-Term Measures to Reduce CO2 Emission from Transport Sector in Khon Kaen City   | 276     |
| 18:15 - 18:30 | 130      | Estimation of Fuel Consumption and CO2 Emission of Private Vehicles from Vehicle Kilometer Traveled Data : A Case Study of Hat Yai City | 276     |
| 18:30 - 18:45 | 428      | An Evaluation of Transportation System for Supporting Tourism in Nonghan Area Sakon Nakhon Province                                     | 277     |

#### Technical Session 8-3: Pavement

Room: CHAT TAN 1

Chairperson: Asst.Prof.Weerakaset Suanpaga

| Time          | Paper ID | Title   | Page No |
|---------------|----------|---|---------|
| 17:15 - 17:30 | 321      | The Application of Microwave Pre-Heating for Asphalt Road in the Recycled Process   | 277     |
| 17:30 - 17:45 | 616      | Asphalt Pavement Recycling Alternative Using Bitumen Emulsion   | 278     |
| 17:45 - 18:00 | 64       | The Study Mixed Ratio of Natural Rubber with Mechanical Properties Testing of Para Asphalt Concrete by Hot Mixed Asphalt (by Masterbatch 1:1) | 278     |
| 18:00 - 18:15 | 458      | Selection of Genetic Algorithm Parameters for Backcalculation of Layer Moduli of Asphalt Concrete Pavement                                    | 279     |
| 18:15 - 18:30 | 518      | The Study of Factors Influencing the Skid Resistance of the Road Surface  | 280     |
| 18:30 - 18:45 | 208      | Design and Development of the Method to Forecasting the Skid Resistance of Asphaltic Pavements from Aggregate Characteristics                 | 280     |



## Selection of Genetic Algorithm Parameters for Backcalculation of Layer Moduli of Asphalt Concrete Pavement

Chakrapong Nammahachai<sup>1</sup>, Puttapon Thongindam<sup>2</sup>

<sup>1,2</sup>Department of Civil Engineering, Rajamangala University of Technology Thanyaburi

E-mail: <sup>1</sup>n.chakrapong@gmail.com, <sup>2</sup>puttapon.t@en.rmutt.ac.th

### ABSTRACT

Recently, backcalculation from pavement surface deflections has been used to evaluate layer moduli of asphalt concrete road structure. It was found that the local minima occur from the process mentioned. Genetic algorithms (GAs) have been used successfully for backcalculation program by showing the capability to overcome the local minima problem. While the introduction of new GA techniques are of importance for improvement of solution accuracy, this makes selection of GA parameters more complicate. Hence, this research focuses on the selection of optimal GA parameters to be adopted for backcalculation of layer moduli of Asphalt Concrete (AC) pavement using GAMLET software. A number of parameter sets have been randomly generated using statistical method. The generated parameter sets have been evaluated by the level of accuracy desired and the corresponding computational effort (CE). The selected parameters have been evaluated using some hypothetical and field problems. The results show that the optimal GA parameter set could, in most of the cases, decrease the root mean square error to less than 3% which is considered as acceptable. The optimal GA parameter set found in this study are as follow: number of generations: 100, number of population: 40, and the value of uniform crossover probability, jump mutation probability, creep mutation probability are 0.77, 0.016, and 0.140 respectively including elitism and niching functions.

**Keywords:** Selection of GA Parameters, Backcalculation Software Gamlet, Pavement Layer Moduli

## Study and Development of Prototype to Explore and Evaluate the Pavement Friction for Safety

Smai Chotisakul<sup>1</sup>, Santiparp Siriyong<sup>2</sup>, Phromchat Chuathong<sup>3</sup>, Wisanu Subsophon<sup>4</sup>,  
Subskul Phiphobmongkol<sup>5</sup>, Nuntawat Lersinghanart<sup>6</sup>, Weerachai Wongweeranimit<sup>7</sup>

<sup>1,2,3</sup>Bureau of Traffic Safety, Department of Rural Roads, Ministry of Transport

<sup>4,5,6,7</sup>Infrastructure Management Research Unit, Chulalongkorn University

E-mail: <sup>1</sup>smal3388@gmail.com, <sup>2</sup>ssiriyong@hotmail.com, <sup>3</sup>phromchatchuathong@gmail.com, <sup>4</sup>swisanu@chula.ac.th,  
<sup>5</sup>subskul.p@chula.ac.th, <sup>6</sup>Nuntawat\_n@hotmail.com, <sup>7</sup>wrachai.w@gmail.com

### ABSTRACT

This project presents the development of a prototype device to measure Mean Profile Depth (MPD) as Laser MPD: DRR, which indicates the characteristic of macro pavement texture. Theoretically, macro texture is a key factor that affects pavement friction. The main idea of this research is to use MPD as a surrogate factor to reflect the pavement friction at the investigatory level, since MPD can be measured with faster and more cost-effective than measuring pavement friction directly. The MPD measuring device is developed based on the ASTM E 1845. From correlation analysis between MPD and coefficient of friction ( $\mu$ ) of sample pavements, it was found that if MPDs are higher than 1.5 millimeter, all coefficients of pavement friction ( $\mu$ ) would be higher than the required investigatory level at 0.35. Therefore, MPD can be used as a threshold to reduce needs of direct friction measurement of all pavements especially at the investigatory level. As a result, it can save cost and time of data collection for friction management at a network level planning, in order to promoting the current security standard of maintenance plan for rural roads safety.

**Keywords:** Mean Profile Depth, Macro-Texture, Pavement Friction



การเลือกชุดพารามิเตอร์สำหรับระเบียบขั้นตอนวิธีเชิงพันธุกรรม  
ในการคำนวณย้อนกลับหาค่าโมดูลัสชั้นทางแอสฟัลต์คอนกรีต

Selection of Genetic Algorithm Parameters for  
Backcalculation of Layer Moduli of Asphalt Concrete Pavement

จักรพงษ์ นามหาชัย<sup>1\*</sup> และ พุทธิพล ทองอินทร์คำ<sup>2</sup>

<sup>1,2</sup> ภาควิชาวิศวกรรมโยธา คณะวิศวกรรมศาสตร์ มหาวิทยาลัยเทคโนโลยีราชมงคลธัญบุรี จ.ปทุมธานี

บทคัดย่อ

ในปัจจุบันการประเมินกำลังรับน้ำหนักของโครงสร้างทาง ด้วยวิธีการคำนวณย้อนกลับจากการยุบตัวของผิวทาง มักพบปัญหาจุดต่ำสุดเฉพาะที่ของพื้นผิวค่าคอบ ระเบียบขั้นตอนวิธีเชิงพันธุกรรมได้ถูกนำมาประยุกต์ใช้ในการแก้ปัญหานี้ได้เป็นอย่างดีประสบความสำเร็จ ในขณะที่การใช้เทคนิคแบบใหม่ของระเบียบขั้นตอนวิธีเชิงพันธุกรรมซึ่งเป็นส่วนสำคัญในการช่วยเพิ่มประสิทธิภาพของการค้นหาค่าคอบกลับก่อให้เกิดการเพิ่มของตัวแปรที่มากขึ้น ดังนั้นงานวิจัยนี้จึงมุ่งเน้นที่จะศึกษาการคัดเลือกชุดพารามิเตอร์ที่เหมาะสมในการคำนวณย้อนกลับเพื่อหาค่าโมดูลัสชั้นทางแอสฟัลต์คอนกรีต ด้วยโปรแกรมคำนวณย้อนกลับ GAMLET โดยในการศึกษาได้มีการกำหนดและสุ่มชุดตัวอย่างของชุดพารามิเตอร์นี้ด้วยหลักการทางสถิติ และทำการวิเคราะห์เพื่อประเมินความเหมาะสม ทั้งจากแบบจำลองโครงสร้างทางที่สมมุติขึ้นและจากข้อมูลการทดสอบจริงในสนาม โดยใช้ระดับความถูกต้องของผลค่าคอบที่ต้องการและการะการคำนวณของคอมพิวเตอร์ (Computational effort, CE) เป็นเกณฑ์ตัดสินเพื่อคัดเลือกชุดพารามิเตอร์ ผลการศึกษาพบว่าชุดพารามิเตอร์ที่เลือกให้ค่าความคลาดเคลื่อนของผลค่าคอบส่วนใหญ่มีน้อยกว่า 3 เปอร์เซ็นต์ ซึ่งอยู่ในเกณฑ์ที่ยอมรับได้ โดยชุดพารามิเตอร์ที่มีประสิทธิภาพสูงสุดคือ จำนวนรุ่นสูงสุด 100 รุ่น ขนาดประชากร 40 ใช้อัตราการผสมข้ามแบบสม่ำเสมอ การกลายพันธุ์แบบกระโดดและการกลายพันธุ์แบบคืบ เท่ากับ 0.77, 0.016 และ 0.140 ตามลำดับ รวมถึงมีการเปิดใช้การคัดเลือกผู้นำและวิธีกลุ่มเฉพาะ

คำสำคัญ: การเลือกชุดพารามิเตอร์, โปรแกรมคำนวณย้อนกลับ GAMLET, ค่าโมดูลัสชั้นทาง

Abstract

Recently, backcalculation from pavement surface deflections has been used to evaluate layer moduli of asphalt concrete road structure. It was found that the local minima occur from the process mentioned. Genetic algorithms (GAs) have been used successfully for backcalculation program by showing the capability to overcome the local minima problem. While the introduction of new GA techniques are of importance for improvement of solution accuracy, this makes selection of GA parameters more complicate. Hence, this research focuses on the selection of optimal GA parameters to be adopted for backcalculation of layer moduli of Asphalt concrete (AC) pavement using GAMLET software. A number of parameter sets have been randomly generated using statistical method. The generated parameter sets have been evaluated by the level of accuracy desired and the corresponding computational effort (CE). The selected parameters have been evaluated using some hypothetical and field problems. The results show that the optimal GA parameter set could, in most of the cases, decrease the root mean square error to less than 3% which is considered as acceptable. The optimal GA parameter set found in this study are as follow: number of generations: 100, number of population: 40, and the value of uniform crossover probability, jump mutation probability, creep mutation probability are 0.77, 0.016, and 0.140 respectively including elitism and niching functions.

Keywords: Selection of GA Parameters, Backcalculation software GAMLET, Pavement layer moduli

\* ผู้เขียนผู้รับผิดชอบบทความ (Corresponding author)  
E-mail address: n.chakrapong@gmail.com

## 1. บทนำ

ปัจจุบันประเทศไทยมีการขยายตัวทางเศรษฐกิจเพิ่มขึ้นทำให้มีการคมนาคมขนส่งทางบกเพิ่มมากขึ้นตามไปด้วย จากรายงานประจำปี 2555 ของกรมทางหลวง พบว่า กรมทางหลวงเพียงหน่วยงานเดียวมีสายทางที่จำเป็นต้องมีการบำรุงรักษาอยู่ถึง 66,871 กิโลเมตรต่อสองช่องจราจร หรือคิดเป็นร้อยละ 98.64 ของสายทางที่อยู่ในความรับผิดชอบ [1] ดังนั้นจึงจำเป็นต้องมีวิธีการประเมินความเสียหายและความแข็งแรงของโครงสร้างทางอย่างเหมาะสม เพื่อให้การขนส่งและเดินทางเป็นไปด้วยความสะดวกและปลอดภัย

ในการประเมินกำลังรับน้ำหนักของโครงสร้างชั้นทางแบบไม่ทำลาย มีเครื่องมือทดสอบหลายชนิด เช่น เครื่องมือเบนเคลแมนบีม (Benkelman Beam) เครื่องมือทดสอบการยุบตัวด้วยลูกตุ้มคกกระทก (Falling Weight Deflectometer, FWD) และเครื่อง Dynaflect หรือ Road Rater เป็นต้น [2] ปัจจุบันการทดสอบแบบไม่ทำลายกำลังเป็นที่นิยม โดยเฉพาะการทดสอบด้วย FWD จัดว่าเป็นวิธีการประเมินความแข็งแรงของโครงสร้างถนนและสนามบินที่ได้รับการยอมรับอย่างกว้างขวาง เนื่องจากเป็นวิธีการทดสอบที่ทำได้รวดเร็วและปลอดภัย อีกทั้งยังมีความน่าเชื่อถือสูง สามารถวัดความแข็งแรงได้ทุกชั้นทาง โดยผลการทดสอบที่ได้จะจะเป็นข้อมูลนำเข้าสำหรับคำนวณย้อนกลับหาค่าโมดูลัสชั้นทางด้วย โปรแกรมคอมพิวเตอร์ ทั้งนี้ สมรรถนะและประสิทธิภาพของแต่ละโปรแกรมขึ้นอยู่กับลักษณะของขั้นตอนวิธี (algorithm) ของแต่ละโปรแกรม [3]

ในช่วงหลายปีที่ผ่านมาวิธีที่ได้นำมาประยุกต์ใช้อย่างประสบความสำเร็จในกระบวนการคำนวณย้อนกลับ คือ ระเบียบขั้นตอนวิธีเชิงพันธุกรรม (Genetic Algorithm, GA) เนื่องจากเป็นวิธีที่ขจัดปัญหาของค่าคำตอบที่ได้ขัดแย้งกับความเป็นไปได้จากมุมมองทางวิศวกรรม โดยมีสาเหตุหลักมาจากความซับซ้อนและประกอบด้วยจุดต่ำสุดเฉพาะที่ (local minima) จำนวนมากของพื้นผิวคำตอบ แต่ข้อจำกัดของระเบียบขั้นตอนวิธีเชิงพันธุกรรม คือ ระยะเวลาในการประมวลผลที่นานขึ้น และปัญหาในการเลือกตัวแปรหรือค่าพารามิเตอร์ที่เหมาะสม [5] ค่าพารามิเตอร์ที่สำคัญสำหรับระเบียบขั้นตอนวิธีเชิงพันธุกรรมอย่างง่าย ประกอบด้วย จำนวนประชากรดั้งเดิม (size population) จำนวนรุ่นสูงสุดของประชากร (maximum generation) อัตราการผสมข้าม (crossover rate) และอัตราการเปลี่ยนแปลงยีนส์ (mutation rate) ปัจจุบันได้มีนักวิจัยหลายท่านได้ศึกษาเกี่ยวกับการเลือกชุดพารามิเตอร์ที่เหมาะสม ในแต่ละโปรแกรม เพื่อเพิ่มประสิทธิภาพและลดระยะเวลาในการคำนวณลง [6] แต่ส่วนใหญ่ชุดพารามิเตอร์ดังกล่าวสามารถใช้ได้กับโปรแกรม นั้น ๆ เท่านั้น และถ้าหากใช้เทคนิคแบบใหม่ของระเบียบขั้นตอนวิธี

เชิงพันธุกรรมยังทำให้จำนวนของค่าพารามิเตอร์เพิ่มขึ้น ส่งผลให้การคัดเลือกค่าพารามิเตอร์ที่เหมาะสมมีความยากยิ่งขึ้น และถ้ามีการกำหนดค่าพารามิเตอร์ที่ไม่เหมาะสมก็จะทำให้ประสิทธิภาพในการคำนวณของโปรแกรมต่ำลง ทำให้จะมีผลต่อเนื่องถึงประสิทธิภาพในการคำนวณหาจุดคงเหลือและการออกแบบเสริมความแข็งแรงของโครงสร้างทาง

ดังนั้น การศึกษาวิจัยนี้จึงมุ่งหวังคัดเลือกชุดพารามิเตอร์ที่เหมาะสมเพื่อใช้ในการกำหนดค่าให้กับ โปรแกรมเกมเล็ต (GAMLET) [5] จำนวน 9 พารามิเตอร์ ประกอบด้วย จำนวนรุ่นสูงสุด ขนาดประชากร อัตราการผสมข้าม การกลายพันธุ์แบบกระโดดและการกลายพันธุ์แบบคืบ การเปิดใช้งานการผสมข้ามแบบสม่ำเสมอ การคัดเลือกผู้นำและวิธีกุ่มเฉพาะ ซึ่ง GAMLET เป็นการคำนวณย้อนกลับหาค่าโมดูลัสชั้นทางที่ถูกพัฒนาขึ้น โดยพุทธพล [5] และใช้ทฤษฎียีนส์ของชั้นทางเป็นแบบจำลองของการคำนวณแบบเดินทางและประยุกต์ใช้เทคนิคแบบใหม่ของระเบียบขั้นตอนวิธีเชิงพันธุกรรมเป็นขบวนการในการค้นหาคำตอบ การคัดเลือกชุดพารามิเตอร์ดังกล่าวอยู่บนพื้นฐานของความเหมาะสมระหว่างความถูกต้องของคำตอบและภาระในการประมวลผลของคอมพิวเตอร์ ซึ่งชุดพารามิเตอร์ที่ได้จะสามารถเพิ่มประสิทธิภาพและความแม่นยำในการค้นหาคำตอบ อีกทั้งยังสามารถใช้เป็นแนวทางสำหรับต่อยอดในการเลือกชุดพารามิเตอร์ที่เหมาะสม เพื่อเพิ่มประสิทธิภาพให้กับ การคำนวณหาจุดคงเหลือและการออกแบบเสริมความแข็งแรงของโครงสร้างทางรวมทั้งเป็นแนวทางในการเลือกพารามิเตอร์ให้กับ โปรแกรมอื่นที่ใช้ระเบียบขั้นตอนวิธีเชิงพันธุกรรมในลักษณะคล้ายคลึงกันต่อไป

## 2. ทฤษฎีและงานวิจัยที่เกี่ยวข้อง

### 2.1 ระเบียบขั้นตอนวิธีเชิงพันธุกรรม (Genetic Algorithm, GA)

ระเบียบขั้นตอนวิธีเชิงพันธุกรรม (Genetic Algorithm, GA) คิดค้นขึ้นโดย John Holland (1975) เพื่อหาค่าผลเฉลยที่เหมาะสม โดยมีแรงบันดาลใจมาจาก ทฤษฎีวิวัฒนาการของ Charles Darwin (1859) ซึ่งเป็นการเลียนแบบกลไกการคัดเลือกทางธรรมชาติ นั่นคือ สายพันธุ์ที่เหมาะสมกับสภาพแวดล้อมคือสายพันธุ์ที่อยู่รอด ซึ่งโดยพื้นฐาน GA ประกอบไปด้วย 5 ขั้นตอนคือ การสร้างกลุ่มประชากร (creation of population) การประเมินความเหมาะสม (evaluation) การคัดเลือก (selection) การจับคู่ผสมข้าม (crossover) และการกลายพันธุ์ (mutation) [3]

การทำงานของ GA อย่างง่ายจะเริ่มจากกลุ่มสร้างชุดรหัสเลขฐานสองเรียกว่า โครโมโซม ซึ่งสามารถแปลงรหัสกลับไปเป็นค่าพารามิเตอร์เลขฐานสิบใช้ในการคำนวณวิเคราะห์ และทำการประเมินค่าความเหมาะสม (fitness evaluation) แล้วนำมาคัดเลือกเพื่อนำไปเป็นกลุ่มประชากรรุ่นพ่อแม่ จากนั้นประชากรที่ถูกเลือกในรูปแบบของโครโมโซมจะถูกนำมาดำเนินการทางพันธุกรรม (genetic operation หรือ reproduction operation) คือการผสมข้ามและการกลายพันธุ์ เพื่อสร้างประชากรรุ่นลูกหรือทายาท และเมื่อนำประชากรกลุ่มนี้มาประเมินค่าความเหมาะสมแล้วพบคำตอบที่เหมาะสมกับปัญหา กระบวนการทำงานก็จะสิ้นสุดลง แต่หากยังไม่พบคำตอบที่ต้องการ กระบวนการทำงานก็จะดำเนินต่อไป โดยมีการแทนที่ของประชากรรุ่นพ่อแม่ด้วยรุ่นลูกซึ่งพิจารณาโอกาสในการแทนที่จากค่าความเหมาะสม สายรหัสโครโมโซมที่มีความเหมาะสมมากก็จะมีโอกาสที่จะถูกเลือกมาก ในทางตรงข้ามสายรหัสที่มีความเหมาะสมน้อยก็จะมีโอกาสถูกเลือกน้อยและอาจสูญพันธุ์ไปในที่สุด เมื่อแทนที่เสร็จก็จะกลับเข้าสู่กระบวนการคัดเลือกใหม่ โดยกระบวนการเหล่านี้จะดำเนินการ



ไปเรื่อย ๆ เมื่อผ่านไปหลาย ๆ รุ่น ลักษณะทางพันธุกรรมที่ดีของรุ่นบรรพบุรุษจะถูกถ่ายทอดไปยังรุ่นทายาท ซึ่งจะทำให้รุ่นถัดไปมีความเหมาะสมสูงขึ้นจนนำไปสู่การค้นพบคำตอบที่เหมาะสม

จุดเด่นของ GA อยู่ที่การค้นหาคำตอบที่มีความเหมาะสม โดยรวม ซึ่งเป็นผลมาจากการจับคู่สมพันธุ์ของประชากรที่มีความเหมาะสมต่างกัน ทำให้มีโอกาสในการค้นหาบนพื้นที่คำตอบที่กว้างขึ้น [3] และการกลายพันธุ์ที่ทำให้การค้นหาคำตอบไม่ติดอยู่กับหรือจุดต่ำสุดเฉพาะที่ แต่การค้นหาคำตอบที่เหมาะสม โดยรวมจะเกิดขึ้นได้ก็ต่อเมื่อมีการกำหนดตัวดำเนินการทางพันธุกรรมหรือพารามิเตอร์ที่เหมาะสม ซึ่งเปรียบเสมือนการกำหนดสภาพแวดล้อมให้กับกลุ่มประชากร ในทางกลับกันการเลือกชุดพารามิเตอร์ที่ไม่เหมาะสมก็จะทำให้คำตอบที่ได้เป็นคำตอบที่ติดอยู่กับจุดต่ำสุดเฉพาะที่ของพื้นที่คำตอบเท่านั้น

## 2.2 การกำหนดค่าพารามิเตอร์

การกำหนดค่าพารามิเตอร์ หรือการกำหนดค่าการดำเนินการทางพันธุกรรม มีผลโดยตรงต่อประสิทธิภาพของ GA ในช่วงหลายปีที่ผ่านมา มีนักวิจัยหลายท่านพยายามศึกษาและทำความเข้าใจเกี่ยวกับค่าพารามิเตอร์ที่มีผลต่อประสิทธิภาพของ GA ในเชิงทฤษฎีและเชิงประจักษ์ ซึ่งมีดังนี้

การศึกษาค่าพารามิเตอร์ที่เหมาะสมส่วนใหญ่ในเชิงทฤษฎีเป็นการหาค่าพารามิเตอร์ที่ละตัว โดยการกำหนดให้ค่าพารามิเตอร์อื่นคงที่ ซึ่งได้มีการศึกษาไว้ดังนี้ Grefenstette (1984) [8] ได้ศึกษาถึงการตั้งค่าพารามิเตอร์ GA เพื่อหาคำตอบของฟังก์ชันวัตถุประสงค์ทั่วไปที่ใช้กลุ่มประชากรไม่มาก โดยสรุปได้ว่าควรใช้กลุ่มประชากรจำนวน 30 ตัวอย่าง แต่ไม่ได้มีการระบุถึงจำนวนรุ่นของประชากร ใช้วิธีผสมข้ามสายพันธุ์แบบสองตำแหน่ง โดยใช้อัตราการผสมข้ามเท่ากับ 0.9 และใช้อัตราการเปลี่ยนแปลงค่ายีนส์เท่ากับ 0.01 ต่อมา De Jong และ Spears (1990) [9] ได้ศึกษาถึงการตั้งค่าเพื่อให้เป็นมาตรฐานสำหรับระเบียบขั้นตอนวิธีเชิงพันธุกรรมส่วนใหญ่ โดยพารามิเตอร์ชุดนี้จะทำให้การคำนวณดีขึ้นกว่าชุดพารามิเตอร์ที่ผ่านมาจากการศึกษาพบว่า ต้องกำหนดขนาดจำนวนประชากรเท่ากับ 50 มีจำนวนรุ่นของกลุ่มประชากรทั้งหมด 1,000 รุ่น ใช้วิธีผสมข้ามสายพันธุ์แบบสองตำแหน่ง โดยมีอัตราส่วนของการผสมข้ามเท่ากับ 0.6 และใช้อัตราการเปลี่ยนแปลงค่ายีนส์เท่ากับ 0.001 ซึ่งแตกต่างไปจากงานวิจัยก่อนหน้านี้ จากนั้น Goldberg และคณะ (1992) [10] ได้สร้างสมการสำหรับหาขนาดของประชากรขึ้นเป็นครั้งแรกและได้รับการกลั่นกรองโดย Harik และคณะ (1997) [11] ต่อจากนั้น Muhlenbein (1992) [12] และ Back (1993) [13] ได้ตรวจสอบผลกระทบของอัตราการกลายพันธุ์ต่อประสิทธิภาพของ GA พบว่า มีค่าเท่ากับ  $1/2$  สำหรับปัญหาที่มีวัตถุประสงค์เดียว เมื่อ  $l$  คือค่าความยาวของปัญหา

จากงานวิจัยข้างต้นแสดงให้เห็นว่าวิธีเชิงทฤษฎีสามารถนำมาใช้ในการกำหนดค่าพารามิเตอร์ได้เพียงบางค่าเท่านั้น แต่ถ้าหากต้องการกำหนดค่าพารามิเตอร์ที่ละหลายชุด การใช้วิธีการนี้ก็จะเป็นเรื่องยากและไม่เหมาะสม ดังนั้นจึงมีนักวิจัยหลายท่านที่นำเอาวิธีเชิงประจักษ์มาใช้ในการกำหนดค่าพารามิเตอร์เช่น De Jong (1975) [14] พบว่าขนาดของประชากรมากจะทำให้ GA มีประสิทธิภาพดีในการคำนวณระยะยาว แต่ในทาง

กลับกัน ขนาดประชากรน้อยจะตอบสนองการค้นหาคำตอบได้ดีในช่วงเริ่มต้น โดยอัตราการผสมข้ามและอัตราการกลายพันธุ์จะมีค่าประมาณ 0.60 และ 0.001 ตามลำดับ ส่วนขนาดประชากรจะมีค่าระหว่าง 50-100 ต่อมา Grafenstette (1986) [15] ได้ศึกษาในแนวทางเดียวกับ De Jong พบว่าควรมีขนาดของประชากรเท่ากับ 30 อัตราการผสมข้ามและอัตราการกลายพันธุ์เป็น 0.95 และ 0.01 ตามลำดับ จากนั้น Schaffer และคณะ (1989) [16] ได้ศึกษาเพิ่มเติมต่อจากงานวิจัยของ De Jong เช่นกันพบว่า ควรใช้จำนวนประชากร 20-30 อัตราการผสมข้ามมีค่า 0.70-0.95 และอัตราการกลายพันธุ์มีค่า 0.005-0.01 จากผลการศึกษานักวิจัยทั้งสองท่านพบว่า ขนาดของประชากรและอัตราการกลายพันธุ์ แตกต่างไปจากงานวิจัยที่ De Jong ได้เคยศึกษาไว้ก่อนหน้านี้ ต่อจากนั้นงานวิจัยของ Alvarez [17] (2002) และ Emian Pan และคณะ (2012) [19] ได้ศึกษาถึงผลของการปรับค่าพารามิเตอร์ โดยได้สามารถสรุปว่าการปรับชุดพารามิเตอร์มีผลโดยตรงต่อประสิทธิภาพในการค้นหาคำตอบ ซึ่งหากมีการกำหนดชุดพารามิเตอร์ที่เหมาะสมจะช่วยลดขั้นตอนการทำงานของคอมพิวเตอร์ลงได้และทำให้กระบวนการค้นหาคำตอบมีประสิทธิภาพที่ดียิ่งขึ้น

สำหรับในงานวิศวกรรมคิพทางได้มีนักวิจัยหลายท่านที่ได้ศึกษาการกำหนดค่าพารามิเตอร์ที่เหมาะสมสำหรับการคำนวณย้อนกลับ เช่น Reddy และคณะ [3] เป็นต้น ได้ศึกษาเพื่อเลือกชุดพารามิเตอร์ที่เหมาะสม จากการสุ่มชุดพารามิเตอร์จำนวน 4 พารามิเตอร์คือ จำนวนรุ่นสูงสุด ขนาดประชากร อัตราการผสมข้าม และอัตราการกลายพันธุ์ โดยได้สุ่มพารามิเตอร์ทั้งหมด 1200 ชุด และทดสอบประสิทธิภาพของชุดพารามิเตอร์ที่เลือกกับโครงสร้างชั้นทางที่สมมุติขึ้นซึ่งมีรายละเอียดดังตารางที่ 1 โดยผลการศึกษาของ Reddy และคณะ ได้ชุดพารามิเตอร์ที่เหมาะสม ซึ่งแสดงรายละเอียดร่วมกับนักวิจัยท่านอื่น ๆ ดังตารางที่ 2

จากงานวิจัยของหลาย ๆ ท่านที่ได้ศึกษาเกี่ยวกับการเลือกชุดพารามิเตอร์ที่เหมาะสมเพื่อเพิ่มประสิทธิภาพของ GA แสดงให้เห็นว่า ชุดพารามิเตอร์ของ GA ที่ดีที่สุดนั้น ไม่ได้มีรูปแบบของค่าพารามิเตอร์ที่แน่นอน ทั้งนี้รูปแบบของชุดพารามิเตอร์อาจขึ้นอยู่กับเป้าหมายของการค้นหาคำตอบ ดังนั้นในงานวิจัยนี้จึงเลือกใช้วิธีการศึกษานี้ (Heuristics) ในการค้นหาเพื่อเลือกชุดพารามิเตอร์ที่เหมาะสมทั้ง 9 พารามิเตอร์

ตารางที่ 1 ลักษณะโครงสร้างชั้นทางที่ Reddy และคณะสมมุติขึ้น [3]

| No. | Layer moduli [Mpa] |     |    | Layer thickness [mm] |     |
|-----|--------------------|-----|----|----------------------|-----|
|     | E1                 | E2  | E3 | H1                   | H2  |
| 1   | 700                | 180 | 45 | 90                   | 600 |
| 2   | 900                | 150 | 45 | 225                  | 450 |
| 3   | 650                | 200 | 55 | 150                  | 600 |
| 4   | 2500               | 400 | 90 | 125                  | 300 |
| 5   | 1000               | 300 | 40 | 95                   | 300 |
| 6   | 2000               | 350 | 95 | 225                  | 425 |
| 7   | 2200               | 500 | 90 | 155                  | 450 |
| 8   | 1500               | 350 | 50 | 150                  | 500 |
| 9   | 700                | 125 | 60 | 95                   | 275 |
| 10  | 1200               | 200 | 50 | 200                  | 350 |

ตารางที่ 2 สรุปค่าพารามิเตอร์ที่ใช้ในการคำนวณย้อนกลับหาค่าโมดูลัสชั้นทาง

| นักวิจัย                    | จำนวนรุ่น | จำนวนประชากร | การผสมข้าม | การกลายพันธุ์       | CE*     | จำนวนชั้นทาง |
|-----------------------------|-----------|--------------|------------|---------------------|---------|--------------|
| Fwa และคณะ (1997) [19]      | 60        | 40-150       | 0.85       | 0.15                | 2040    | 3            |
|                             | 60        | 120          | 0.85       | 0.15                | 7650    | 4            |
| Kameyama และคณะ (1997) [20] | 50        | 42-593       | แปรผัน     | แปรผัน              | ไม่ระบุ | 4            |
|                             | 50        | 150          | แปรผัน     | แปรผัน (แบบโคนามิค) | ไม่ระบุ | 3            |
| Hunaidi (1998) [21]         | 50        | 100          | 0.50       | 0.02 (0.04 แบบคืบ)  | 2500    | 3            |
| Reddy และคณะ (2004) [3]     | 100       | 60           | 0.90       | 0.02                | 5400    | 4            |
|                             | 60        | 60           | 0.74       | 0.10                | 2664    | 3, 4         |
| Tsai และคณะ (2004) [22]     | 500       | 50           | ไม่ระบุ    | ไม่ระบุ             | ไม่ระบุ | 3            |
| Alkasawneh (2007) [7]       | 100       | 100          | 0.75       | 0.001               | 7500    | 3            |
| Senseny และคณะ (2013) [23]  | 60        | 60           | 0.5        | 0.1                 | 1800    | 2            |

\*ภาระการประมวลผลของคอมพิวเตอร์ (Computational effort): CE = จำนวนรุ่น×จำนวนประชากร×การผสมข้าม

### 2.3 ระเบียบขั้นตอนวิธีเชิงพันธุกรรมในการคำนวณย้อนกลับ

Fwa และ คณะ [19] ได้พัฒนาโปรแกรม NUS-GABACK ในปี 1997 ซึ่งเป็นบทความแรกที่ได้มีการนำเสนอการนำ GA มาประยุกต์ใช้ในงานวิศวกรรมชีวทาง Kameyama และคณะ [20] ในปี ค.ศ. 1998 ได้พัฒนาโปรแกรมคำนวณย้อนกลับหาค่าโมดูลัสชั้นทางทั้งทิศทางที่เป็นแบบยี่หุบและทิศทางแบบแข็งในปีถัดมา ต่อมา Reddy และคณะ [24] ได้พัฒนาโปรแกรม BACKGA สำหรับคำนวณย้อนกลับหาค่าโมดูลัสชั้นทางในปี ค.ศ. 2002 และทำการหาค่าพารามิเตอร์ที่เหมาะสมในปี ค.ศ. 2006 [3] Park และคณะ [25] ได้พัฒนาโปรแกรม GAPAVE ในปี ค.ศ. 2006 และได้มีการหาค่าพารามิเตอร์เพื่อเพิ่มประสิทธิภาพการคำนวณย้อนกลับโดย Park ในปี ค.ศ. 2009 และในปี 2007 Alkasawneh [7] ได้พัฒนาโปรแกรม Back Genetic 3d ขึ้น

โดยโปรแกรมที่ได้กล่าวมาส่วนใหญ่ใช้กระบวนการคำนวณแบบเดินหน้าที่ต่างกันและใช้ระเบียบขั้นตอนวิธีเชิงพันธุกรรมอย่างง่าย (Simple Genetic Algorithm, SGA) ในการคำนวณย้อนกลับ ซึ่งประกอบด้วยขั้นตอนพื้นฐานดังนี้

#### 2.3.1 การสร้างกลุ่มประชากร

ค่าโมดูลัสชั้นทางแต่ละชั้นจะถูกสุ่มผลิตขึ้นจากขอบเขตของค่าตอบที่เป็นไปได้ (ตัวแปร E) แล้วแปลงเป็นระบบเลขฐานสอง เพื่อแทนเป็นอินดีแต่ละชุดซึ่งจะถูกนำไปเรียงต่อกันเป็นสายโครโมโซม นั้นหมายความว่าสายโครโมโซมหนึ่งสายแทนลักษณะโครงสร้างชั้นทางหนึ่งแบบ โดยจำนวนลักษณะ โครงสร้างชั้นทางคือจำนวนประชากรของสายโครโมโซมที่ผู้ใช้กำหนด (ตัวแปร numpop)

#### 2.3.2 การประเมินค่าความเหมาะสม

ค่าความเหมาะสมส่วนใหญ่จะถูกประเมินจากค่า RMSE ของการขุดตัวของผิวทางที่ได้จากการทดสอบจริงในสนามด้วยเครื่อง FWD และจากการคำนวณแบบเดินหน้าของโปรแกรม โดยประชากรที่มีค่า RMSE น้อยก็จะมีค่าความเหมาะสมมาก

#### 2.3.3 การคัดเลือกประชากร

ประชากรทั้งหมดจะถูกคัดเลือกจากค่าความเหมาะสม โดยประชากรที่มีค่าความเหมาะสมมากที่สุดจะมีโอกาสขยายพันธุ์มาก ส่วนประชากรที่มีความเหมาะสมน้อยก็จะมีโอกาสขยายพันธุ์น้อยและอาจสูญพันธุ์ไปในที่สุด

#### 2.3.4 การผสมข้ามแบบจุดเดียว

เป็นการจับคู่ของประชากรแล้วผสมข้ามจุดใดจุดหนึ่งบนสายโครโมโซมเพื่อผลิตรุ่นลูกหรือทายาทตามอัตราความเป็นไปได้ของการผสมข้ามตามที่ผู้ใช้กำหนด (ตัวแปร pcross)

#### 2.3.5 การกลายพันธุ์แบบกระโดด

เป็นการเปลี่ยนแปลงลักษณะของประชากรโดยมีการเปลี่ยนจากค่า 0 เป็น 1 หรือกลับกันในตำแหน่งใดๆที่สุ่มขึ้นบนสายโครโมโซมตามอัตราความเป็นไปได้ของการผสมข้ามแบบกระโดดที่ผู้ใช้กำหนด (ตัวแปร pjumpmu)

จากนั้นกระบวนการค้นหาค่าตอบจะดำเนินการไปเรื่อย ๆ จนกว่าจะครบจำนวนรุ่นที่ตั้งไว้ (ตัวแปร maxgen) หรือจนกว่าจะพบค่าตอบที่เหมาะสมตามเงื่อนไขที่ตั้งไว้ เช่น  $RMSE_{ปัจจุบัน} < RMSE_{ดีที่สุด}$

จากที่ได้กล่าวมาข้างต้นจะเห็นได้ว่าขั้นตอนพื้นฐานของ SGA ประกอบไปด้วยจำนวนของพารามิเตอร์ที่ไม่มากนัก แต่สำหรับโปรแกรมที่ใช้เทคนิคแบบใหม่ของ GA อย่างโปรแกรมแกมเล็ต จะทำให้มีจำนวนพารามิเตอร์ที่เพิ่มมากขึ้น ทำให้ค่าพารามิเตอร์ที่ได้กล่าวมาใช้เป็นเพียงแนวทางได้เท่านั้น ไม่สามารถนำมากำหนดค่าได้โดยตรง ดังนั้นในงานวิจัยนี้จึงได้มีการคัดเลือกค่าพารามิเตอร์ที่เหมาะสมสำหรับโปรแกรมแกมเล็ต ซึ่งรายละเอียดและจุดเด่นของโปรแกรมจะกล่าวในหัวข้อถัดไป

### 2.4 โปรแกรมคำนวณย้อนกลับแกมเล็ต (GAMLET)

แกมเล็ตเป็นโปรแกรมคำนวณย้อนกลับหาค่าโมดูลัสชั้นทางถูกพัฒนาขึ้นโดย พุทธพล [5] ด้วยภาษาคอมพิวเตอร์ Digital Fortran ใช้ทฤษฎียืดหยุ่นของชั้นทาง (Multilayered Elastic Theory, MLET) ในการคำนวณแบบเดินหน้าเพื่อหาค่าการขุดตัวของผิวทางและใช้ GA คำนวณ

ย้อนกลับหาค่าโมดูลัสชั้นทางด้วยเทคนิคแบบใหม่ โดยหลักการทำงานของเกมส์ที่อาศัยข้อมูลนำเข้าจากการทดสอบด้วยเครื่อง FWD ประกอบไปด้วยค่าการขยุยตัวแต่ละตำแหน่งที่วัดจริงจากสนาม ระยะห่างของตำแหน่งที่วัดการขยุยตัวจากหน้าหน้ากระทำ แรงคั้นและรัศมีของหน้าหน้ากระทำ ร่วมกับข้อมูลของวัสดุชั้นทางคือความหนาแต่ละชั้นทางในตำแหน่งที่ทำการทดสอบ และค่าอัตราส่วนบิวซ์ของของแต่ละชั้นทาง โดยเกมส์ที่สามารถวิเคราะห์โครงสร้างชั้นทางได้มากถึงสามสิบชั้น แต่ในงานวิจัยนี้ใช้ GAMLET 308 ที่สามารถคำนวณย้อนกลับหาค่าโมดูลัสชั้นทางได้ 3 ชั้น จากค่าการขยุยตัวของผิวทาง 8 ตำแหน่ง โดยเกมส์ที่มีคุณลักษณะโดดเด่นที่สำคัญที่สามารถสรุปได้ดังนี้

#### 2.4.1 การคัดเลือกประชากร

เกมส์เลือกใช้วิธีการคัดเลือกประชากรแบบ Tournament ซึ่งได้ทำการศึกษาโดย Goldberg และ Deb [26] และพบว่ามีประสิทธิภาพในการค้นหาหาค่าตอบและต้องการกลุ่มประชากรน้อยกว่าวิธี Roulette-wheel ที่ใช้ใน SGA ทั่วไป

#### 2.4.2 การประเมินค่าความเหมาะสม

จากที่โปรแกรมคำนวณย้อนกลับที่ใช้ SGA อื่นใช้เพียงสมการเดียว เพื่อเพิ่มศักยภาพในการคำนวณย้อนกลับ โปรแกรมเกมส์ได้ใช้สมการในการประเมินค่าความเหมาะสมมากถึง 3 สมการ ซึ่งประกอบไปด้วย

$$\text{ค่าน้อยสุดของ } f_1 = \max \text{ of } \left| \frac{d_i - D_i}{D_i} \right| \times 100 \quad (1)$$

$$\text{ค่าน้อยสุดของ } f_2 = \sqrt{\frac{1}{n} \sum_{i=1}^N \left( \frac{d_i - D_i}{D_i} \right)^2} \times 100\% \quad (2)$$

$$\text{ค่ามากที่สุดของ } f_3 = \frac{1}{1 + \left( \frac{OBJ}{10^6} \right)} \quad (3)$$

$$\text{โดย } OBJ = \sum_{i=1}^N (d_i - D_i)^2 \quad (4)$$

เมื่อ  $N$  คือจำนวนอุปกรณ์วัดค่าการขยุยตัว

$d_i$  คือค่าการขยุยตัวที่ได้จากการคำนวณในตำแหน่งที่  $i$

$D_i$  คือค่าการขยุยตัวที่ได้จากการวัดจริงในตำแหน่งที่  $i$

โดยจากสมการทั้ง 3 จะพบว่า สมการที่ 1 เป็นสมการที่บ่งชี้ความคลาดเคลื่อนเฉพาะตำแหน่งที่เกิดความคลาดเคลื่อนมากที่สุดบนเส้นการขยุยตัวของผิวทางส่วนสมการที่ 2 คือค่า RMSE และสมการที่ 3 คือค่าความคลาดเคลื่อนโดยรวมของเส้นการขยุยตัวทั้งหมดโดยค่าที่สมบูรณ์แบบทั้งสามสมการคือ 0.0, 0.0 และ 1.0 ตามลำดับ

#### 2.4.3 การผสมข้าม

เกมส์ได้มีการบรรจุวิธีการผสมข้ามทั้งแบบจุดเดียว (ตัวแปร pcross) ที่ใช้ใน โปรแกรมคำนวณย้อนกลับทั่วไปที่ใช้กระบวนการย้อนกลับแบบ SGA และการผสมข้ามแบบสม่ำเสมอ (ตัวแปร iunifm) เนื่องจาก Syswerda [27] ได้เปรียบเทียบการผสมข้ามแบบต่าง ๆ พบว่าการผสมข้ามแบบสม่ำเสมอมีประสิทธิภาพที่โดดเด่น

#### 2.4.4 การกลายพันธุ์

เกมส์ได้บรรจุการกลายพันธุ์ทั้งแบบกระโดด (ตัวแปร pjumpm) ที่ใช้อยู่ใน โปรแกรมคำนวณย้อนกลับทั่วไป และการกลายพันธุ์แบบคืบ (ตัวแปร pcreepm) ซึ่งการกลายพันธุ์ทั้งสองแบบสามารถใช้ร่วมกันหรือแยกกันก็ได้

#### 2.4.5 การคัดเลือกผู้นำ (Elitism technique)

การคัดเลือกผู้นำ (ตัวแปร ibstmodl) เป็นเทคนิคที่ใช้สำหรับเลือกผู้นำของประชากรแต่ละรุ่นที่มีค่าความเหมาะสมสูงสุดเก็บไว้เพื่อการดำรงอยู่ในรุ่นถัดไปโดยอัตโนมัติ โดยในเกมส์สามารถเลือกเปิดหรือปิดการใช้งานได้

#### 2.4.6 วิธีกลุ่มเฉพาะ (Niche method)

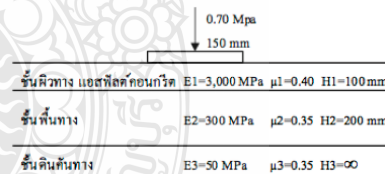
เกมส์ได้บรรจุวิธีกลุ่มเฉพาะ (ตัวแปร niching) ซึ่งเป็นวิธีที่ใช้สำหรับแบ่งพื้นผิวค่าตอบออกเป็นหลาย ๆ ส่วนด้วยวิธีแบ่งแบบสามเหลี่ยม เพื่อค้นหาจุดต่ำสุดหลาย ๆ ตำแหน่งพร้อมกัน โดยสามารถเลือกเปิดหรือปิดการใช้งานได้เช่นกัน

นอกจากนั้นเกมส์ยังมีคุณสมบัติเด่นอื่น ๆ อีกเช่น FWDLIne, Micro GA, CSCM [28] แต่เนื่องจากอยู่บนเงื่อนไขขอบเขตที่ได้ทำการศึกษา จึงไม่ขอกล่าวถึงรายละเอียดในที่นี้

### 3. ขั้นตอนการศึกษา

#### 3.1 จำลองการทดสอบด้วยเครื่อง FWD กับแบบจำลองโครงสร้างชั้นทาง

ทำการสร้างแบบจำลองโครงสร้างชั้นทาง โดยสมมติให้เป็นผิวทางแบบยึดหยุ่นที่มีลักษณะดังรูปที่ 1 จากนั้นคำนวณแรงแรงการขยุยด้วยโปรแกรม BISAR ซึ่งเป็นการจำลองการทดสอบเครื่อง FWD



รูปที่ 1 แบบจำลองการทดสอบด้วยเครื่อง FWD กับโครงสร้างชั้นทางแบบยึดหยุ่น 3 ชั้นทางเพื่อใช้เลือกค่าพารามิเตอร์ที่เหมาะสม

#### 3.2 สร้างชุดพารามิเตอร์ของ GA

สร้างชุดพารามิเตอร์ที่แตกต่างกันจำนวน 2000 ชุด โดยมีขอบเขตการสุ่มของทั้ง 9 พารามิเตอร์ ตามตารางที่ 3 โดยใช้งานวิจัยที่ผ่านมา [3, 5, 7, 9] เป็นแนวทางและคำนวณภาระการประมวลผลของคอมพิวเตอร์ (Computational effort, CE) ตามสมการที่ 5 [29] เพื่อใช้ในการกำหนดขนาดของชุดพารามิเตอร์

$$CE = \maxgen \times \text{numpop} \times \text{pcross} \quad (5)$$

เมื่อ  $\maxgen$  คือการสุ่มสูงสุด

$\text{numpop}$  คือจำนวนประชากร

$\text{pcross}$  คืออัตราการผสมข้าม

ตารางที่ 3 ขอบเขตของชุดพารามิเตอร์ที่ใช้ในการพิจารณา

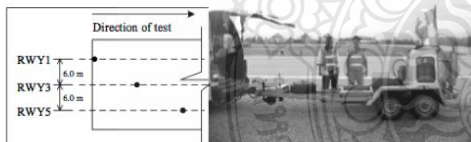
| พารามิเตอร์   | ขอบเขต      |
|---|-------------|
| จำนวนรุ่นสูงสุด (maxgen)                              | 40-140      |
| ขนาดของประชากร (numpop)                               | 40-80       |
| อัตราความเป็นไปได้ของการผสมข้ามแบบจุดเดียว (pcross)   | 0.70-0.90   |
| อัตราความเป็นไปได้ของการกลายพันธุ์แบบกระโดด (pjumpmu) | 0.01-0.05   |
| การปิด-เปิด การผสมข้ามแบบสม่ำเสมอ (uniform)           | off-on      |
| การปิด-เปิด การกลายพันธุ์แบบคืบ (icreep)              | off-on      |
| อัตราความเป็นไปได้ของการกลายพันธุ์แบบคืบ (pcreepmu)   | 0.001-0.200 |
| การปิด-เปิด การคัดเลือกผู้มา (ibst mold)              | off-on      |
| การปิด-เปิด วิกิถุ่มเฉพาะ (niching)                   | off-on      |

3.3 เลือกชุดพารามิเตอร์ที่เหมาะสม

นำชุดพารามิเตอร์จากหัวข้อที่ 3.2 มาตั้งให้กับ โปรแกรมแกมเล็ตเพื่อ คำนวณย้อนกลับหาค่าโมดูลัสชั้นทาง โดยใช้ข้อมูลชั้นทางและแองการ ควบคู่ที่ได้สร้างแบบจำลองไว้ในหัวข้อที่ 3.1 เป็นข้อมูลเข้า แล้วเลือกชุด พารามิเตอร์ที่เหมาะสมโดยพิจารณาจากชุดพารามิเตอร์ที่ค่าความ เหมาะสมมาก ๆ ในขณะที่มีค่า CE อยู่ในระดับที่ทำให้ค่าความ คลาดเคลื่อนของค่าตอบอยู่ในเกณฑ์ที่ยอมรับได้

3.4 ทดสอบประสิทธิภาพของชุดพารามิเตอร์

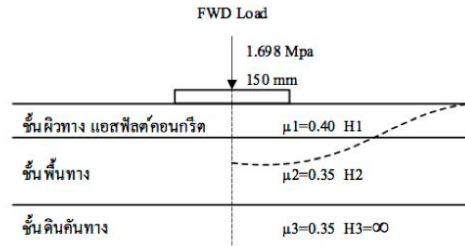
นำชุดพารามิเตอร์ที่ได้รับการคัดเลือกมาตั้งค่าเพื่อใช้ในการคำนวณ ย้อนกลับหาค่าโมดูลัสชั้นทางจากข้อมูลการทดสอบในสนามด้วยเครื่อง FWD ที่ทดสอบบริเวณทางวิ่งของสนามบินเพชรบูรณ์ (PB RWY 18/36) ที่ ตำแหน่ง RWY1 และ RWY3 ซึ่งมีรายละเอียดและตำแหน่งการทดสอบดัง รูปที่ 2 โดยตัวแปรที่ใช้เป็นข้อมูลนำเข้าทั้งหมดดังแสดงในรูปที่ 3 และ ตารางที่ 4 โดยพิจารณาประสิทธิภาพของชุดพารามิเตอร์ที่ใช้ในการ คำนวณย้อนกลับจากค่า RMSE ที่คำนวณได้จากสมการที่ 2 ซึ่งใช้เป็นดัชนีชี้วัดความคลาดเคลื่อนของการคำนวณย้อนกลับ



รูปที่ 2 ตำแหน่งและการทดสอบ FWD บริเวณทางวิ่งของสนามบินเพชรบูรณ์

ตารางที่ 4 ผลการทดสอบการควบคู่จริงในสนามด้วยเครื่อง FWD

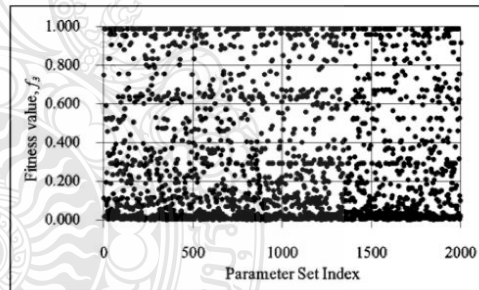
| No. | Chainage   | Layer thickness [mm] |     | Surface deflection [ $\mu$ m] at a radial distance of [mm] |        |        |        |        |        |        |        |
|-----|------------|----------------------|-----|--|--------|--------|--------|--------|--------|--------|--------|
|     |            | H1                   | H2  | 0  | 200    | 300    | 450    | 600    | 1200   | 1500   | 1800   |
| 1   | RWY1 0+200 | 180                  | 290 | 461.98   | 354.79 | 299.28 | 239.84 | 198.65 | 141.06 | 111.56 | 94.08  |
| 2   | RWY1 0+300 | 179                  | 229 | 632.45   | 481.26 | 408.02 | 325.81 | 264.06 | 182.72 | 132.36 | 102.91 |
| 3   | RWY1 0+500 | 180                  | 269 | 959.16   | 794.19 | 698.20 | 581.45 | 483.37 | 346.96 | 249.76 | 194.29 |
| 4   | RWY1 0+700 | 165                  | 291 | 868.69   | 709.00 | 612.12 | 501.15 | 401.96 | 270.21 | 193.55 | 142.09 |
| 5   | RWY1 1+200 | 173                  | 333 | 779.81   | 655.70 | 584.42 | 491.72 | 414.83 | 291.49 | 209.12 | 157.17 |
| 6   | RWY3 0+350 | 168                  | 187 | 450.63   | 352.20 | 298.54 | 242.37 | 198.91 | 135.47 | 98.32  | 76.70  |
| 7   | RWY3 0+750 | 167                  | 284 | 743.90   | 607.38 | 530.53 | 432.66 | 357.44 | 245.56 | 171.00 | 127.43 |
| 8   | RWY3 1+150 | 156                  | 337 | 664.03   | 564.95 | 502.42 | 427.01 | 354.00 | 248.92 | 170.78 | 130.41 |
| 9   | RWY3 1+350 | 187                  | 245 | 751.85   | 638.47 | 570.61 | 480.10 | 403.64 | 293.42 | 211.84 | 156.51 |
| 10  | RWY3 2+050 | 185                  | 434 | 785.64   | 669.93 | 597.95 | 498.39 | 415.07 | 295.43 | 209.71 | 167.40 |



รูปที่ 3 ค่าตัวแปรทางกลศาสตร์ที่ใช้เพื่อหาค่าโมดูลัสชั้นทาง จากการทดสอบ FWD บริเวณทางวิ่งของสนามบินเพชรบูรณ์

4. ผลการศึกษา

จากการคำนวณย้อนกลับโดยนำชุดพารามิเตอร์ที่ได้สุ่มสร้างขึ้นตาม หัวข้อที่ 3.2 จำนวน 2,000 ชุด มาตั้งค่าให้กับ GAMLET ทำให้ได้ค่าความ เหมาะสมที่แตกต่างกัน จากสมการประเมินค่าความเหมาะสมทั้ง 3 สมการ พบว่า ค่าความเหมาะสมที่พิจารณาโดยใช้สมการที่ 3 มีความแปรผันมากที่สุด ดังแสดงในรูปที่ 4 ดังนั้นในการศึกษาครั้งนี้จึงมุ่งเน้นที่จะพิจารณา ค่าความเหมาะสมจากสมการที่ 3 เป็นหลัก โดยในเบื้องต้นพบว่าชุด พารามิเตอร์ส่วนใหญ่ให้ค่าความเหมาะสมน้อยกว่า 0.1 ซึ่งเป็นค่าที่ต่ำมาก และส่วนที่เหลือมีการกระจายตัวออกไป โดยพบว่ามีชุดพารามิเตอร์ บางส่วนที่ให้ค่าความเหมาะสมที่สูงกว่า 0.9 ซึ่งถือว่าสูงมาก และชุด พารามิเตอร์ในส่วนนี้เหมาะสมสำหรับนำไปใช้วิเคราะห์เชิงลึกเพื่อคัดเลือก เป็นชุดพารามิเตอร์ที่เหมาะสม เมื่อนำค่าพารามิเตอร์มาเรียงลำดับ โดยเรียง

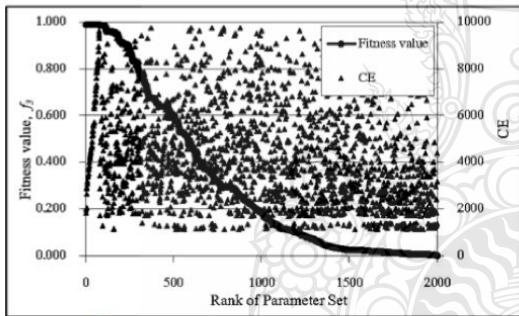


รูปที่ 4 ค่าความเหมาะสมที่ได้จากการตั้งค่าชุดพารามิเตอร์ที่ต่างกัน

ตารางที่ 5 รายละเอียดของชุดพารามิเตอร์ที่มีค่าความเหมาะสมมากที่สุด 10 อันดับแรก

| Rank | maxgen | numpop | pccross | pjumpmu | iuniform | icreep | pcreepmu | ibstmold | niching | CE   | Fitness | Max Err | RMSE |
|------|--------|--------|---------|---------|----------|--------|----------|----------|---------|------|---------|---------|------|
| 1    | 40     | 60     | 0.77    | 0.007   | on       | on     | 0.025    | on       | on      | 1848 | 0.98977 | 0.01    | 0.01 |
| 2    | 60     | 40     | 0.77    | 0.015   | on       | on     | 0.188    | on       | on      | 1848 | 0.98977 | 0.01    | 0.01 |
| 3    | 60     | 40     | 0.82    | 0.007   | on       | on     | 0.129    | on       | on      | 1968 | 0.98977 | 0.01    | 0.01 |
| 4    | 60     | 40     | 0.85    | 0.016   | on       | on     | 0.050    | on       | on      | 2040 | 0.98977 | 0.01    | 0.01 |
| 5    | 80     | 40     | 0.82    | 0.027   | on       | on     | 0.050    | on       | on      | 2624 | 0.98977 | 0.01    | 0.01 |
| 6    | 100    | 40     | 0.72    | 0.011   | on       | on     | 0.083    | on       | on      | 2880 | 0.98977 | 0.01    | 0.01 |
| 7    | 100    | 40     | 0.73    | 0.007   | on       | on     | 0.130    | on       | on      | 2920 | 0.98977 | 0.01    | 0.01 |
| 8    | 100    | 40     | 0.77    | 0.022   | on       | on     | 0.109    | on       | on      | 3080 | 0.98977 | 0.01    | 0.01 |
| 9    | 100    | 40     | 0.77    | 0.016   | on       | on     | 0.140    | on       | on      | 3080 | 0.98977 | 0.01    | 0.01 |
| 10   | 100    | 40     | 0.79    | 0.011   | on       | on     | 0.132    | on       | on      | 3160 | 0.98977 | 0.01    | 0.01 |

จากชุดที่ให้ค่าความเหมาะสมมากและมีค่า CE น้อย โดยตารางที่ 5 แสดงถึงรายละเอียดของชุดพารามิเตอร์ที่มีความเหมาะสมสูงสุด 10 อันดับแรก แสดง โดยหากพิจารณาความสัมพันธ์ระหว่างค่าความเหมาะสมและค่า CE ของแต่ละลำดับชุดพารามิเตอร์ ในรูปที่ 5 พบว่า ค่าความเหมาะสมไม่ได้มีความสัมพันธ์กับค่า CE โดยตรง เนื่องจากชุดพารามิเตอร์ที่มีค่าความเหมาะสมเดียวกันก็มีค่า CE ที่แตกต่างกันได้และพบว่าพารามิเตอร์มากกว่า 70 ชุด ที่ให้ค่าความเหมาะสมในระดับสูงสุด (Fitness = 0.98977)



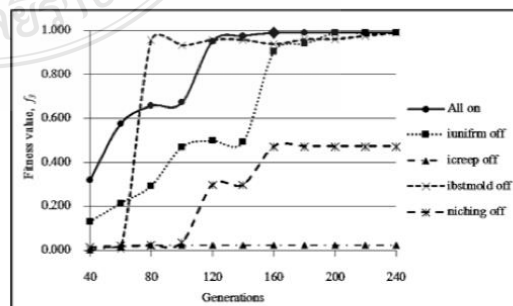
รูปที่ 5 ความสัมพันธ์ระหว่างค่าความเหมาะสมและค่า CE

ตารางที่ 6 ตัวอย่างบางส่วนของค่าโมดูลัสซึ่งหาได้จากค่าความย้อนกลับ

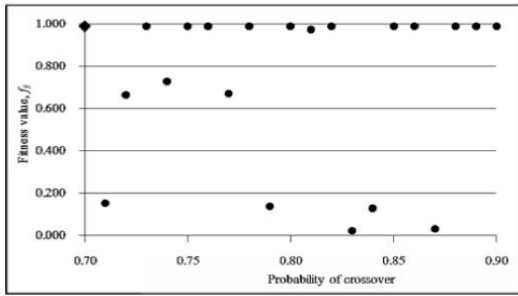
| Rank | CE   | Fitness value | Backcalculated moduli [Mpa] |     |    |
|------|------|---------------|-----------------------------|-----|----|
|      |      |               | E1                          | E2  | E3 |
|      |      |               | 3000                        | 300 | 50 |
| 1    | 1848 | 0.98977       | 3000                        | 300 | 50 |
| 88   | 5040 | 0.98768       | 3001                        | 300 | 50 |
| 101  | 4760 | 0.98594       | 2999                        | 300 | 50 |
| 285  | 5328 | 0.83018       | 3035                        | 298 | 50 |
| 538  | 4312 | 0.52820       | 3073                        | 296 | 50 |
| 1024 | 1152 | 0.16134       | 3015                        | 297 | 50 |
| 1156 | 2664 | 0.11073       | 3088                        | 298 | 50 |
| 1234 | 2304 | 0.08651       | 2780                        | 313 | 50 |
| 1793 | 2240 | 0.01095       | 2333                        | 340 | 50 |
| 1999 | 3160 | 0.00129       | 2819                        | 359 | 48 |

ตารางที่ 6 แสดงผลของค่าโมดูลัสซึ่งหาได้จากค่าความย้อนกลับที่คั่งค่าตามชุดพารามิเตอร์ที่สร้างขึ้น โดยพบว่าชุดพารามิเตอร์ที่ให้ค่าความเหมาะสมสูงสุด เช่นในลำดับที่ 1 จะเป็นชุดที่ให้ผลของค่าโมดูลัสซึ่งหาได้จากค่าความย้อนกลับตรงตามแบบจำลองที่สร้างขึ้น

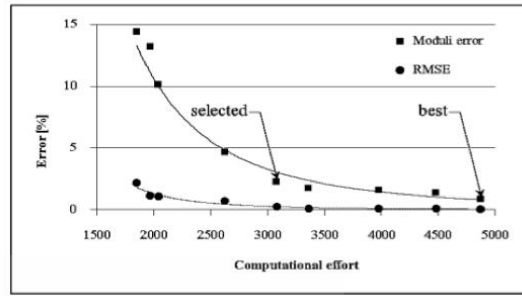
รูปที่ 6 แสดงถึงความสัมพันธ์ระหว่างค่าความเหมาะสมกับจำนวนรุ่นสูงสุด โดยจากรูปพบว่าจำนวนรุ่นสูงสุดมีผลโดยตรงต่อค่าความเหมาะสม โดยหากเพิ่มจำนวนรุ่นขึ้นจะทำให้ได้คำตอบที่มีค่าความเหมาะสมเพิ่มขึ้นเช่นกัน และยังพบอีกว่าในกรณีที่มีการเปิดใช้เทคนิคพิเศษของ GA ทั้งหมด (All on) ซึ่งประกอบไปด้วย การผสมข้ามแบบสุ่มเสมอ การกลายพันธุ์แบบคืบ วิธีกลุ่มเฉพาะและการคัดเลือกผู้ นำ มีโอกาสทำให้ค่าความเหมาะสมเข้าสู่คำตอบได้รวดเร็วกว่ากรณีอื่น ๆ เพียงใช้จำนวนรุ่น 160 รุ่นก็สามารถให้ค่าความเหมาะสมในระดับสูงสุดแล้ว ส่วนในกรณีที่มีการปิดเทคนิคการคัดเลือกผู้นำ (ตัวแปร ibstmold off) นั้นพบว่าในกรณีที่มีจำนวนรุ่นไม่มากมีการพัฒนากระบวนการค้นหาเพื่อเข้าสู่คำตอบที่ค่าความเหมาะสมเพิ่มขึ้นอย่างรวดเร็ว จากจำนวนรุ่นที่ 60 รุ่นให้ค่าความเหมาะสมที่น้อยกว่า 0.1 แต่เมื่อเพิ่มจำนวนรุ่นเป็น 80 รุ่น ให้ค่าความเหมาะสมมากกว่า 0.9 จากนั้นเมื่อเพิ่มจำนวนรุ่นขึ้นไปเรื่อย ๆ กลับพบว่าค่าความเหมาะสมมีการพัฒนาไปน้อยมากและเมื่อเพิ่มจำนวนรุ่นจนถึง 180 รุ่น ซึ่งมากกว่าในกรณีที่มีการเปิดใช้เทคนิคทั้งหมดก็ยังไม่สามารถให้ค่าความเหมาะสมในระดับสูงสุด ซึ่งแสดงให้เห็นอย่างชัดเจนว่าการเปิดใช้เทคนิคแบบใหม่ของ GA ทั้งหมดมีความสามารถโดดเด่นที่ทำให้ค่าความเหมาะสมอยู่ในระดับที่ดีกว่ากรณีอื่น ๆ



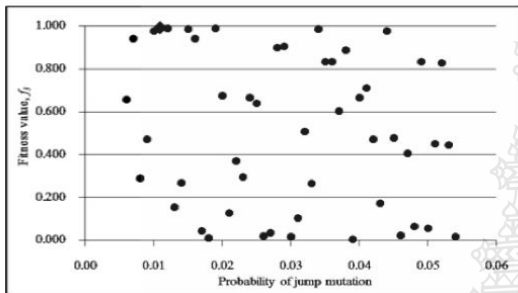
รูปที่ 6 ความสัมพันธ์ระหว่างค่าความเหมาะสมและจำนวนรุ่นสูงสุด



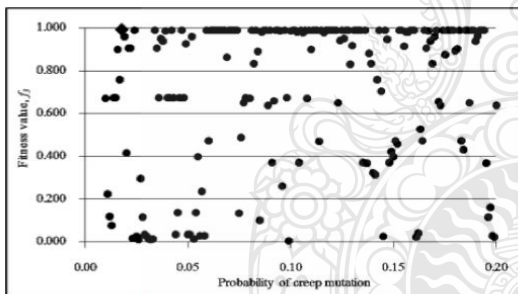
รูปที่ 7 ความสัมพันธ์ระหว่างค่าความเหมาะสมและค่าอัตราการผสมข้าม



รูปที่ 10 ความสัมพันธ์ระหว่างค่าความคลาดเคลื่อนของค่าโมดูลัสชั้นทาง และค่า RMSE กับค่า CE



รูปที่ 8 ความสัมพันธ์ระหว่างค่าความเหมาะสม และค่าอัตราการกลายพันธุ์แบบกระโดด



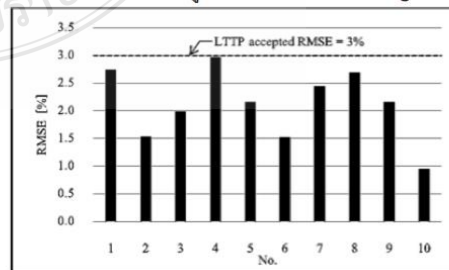
รูปที่ 9 ความสัมพันธ์ระหว่างค่าความเหมาะสม และค่าอัตราการกลายพันธุ์แบบคืบ

ตารางที่ 7 รายละเอียดของชุดพารามิเตอร์ที่ดีที่สุดและชุดพารามิเตอร์ที่เลือก

| พารามิเตอร์                                 | ความคลาดเคลื่อนต่ำสุด | ประสิทธิภาพสูงสุด |
|---|-----------------------|-------------------|
| จำนวนรุ่นสูงสุด                             | 140                   | 100               |
| ขนาดของประชากร                              | 40                    | 40                |
| อัตราความเป็นไปได้ของการผสมข้ามแบบจุดเดียว  | 0.87                  | 0.77              |
| อัตราความเป็นไปได้ของการกลายพันธุ์แบบกระโดด | 0.008                 | 0.016             |
| การปิด-เปิด การผสมข้ามแบบสม่ำเสมอ           | on                    | on                |
| การปิด-เปิด การกลายพันธุ์แบบคืบ             | on                    | on                |
| อัตราความเป็นไปได้ของการกลายพันธุ์แบบคืบ    | 0.182                 | 0.140             |
| การปิด-เปิด การคัดเลือกผู้นำ                | on                    | on                |
| การปิด-เปิด วิธีกุ่มเฉพาะ                   | on                    | on                |
| ภาวะการประมวลผลของคอมพิวเตอร์ (CE)          | 4,872                 | 3,080             |

CE เท่ากับ 4,872 จากนั้นคัดชุดพารามิเตอร์ที่มีค่า CE น้อยกว่าที่ยังคงให้ค่าความคลาดเคลื่อนไม่มากจะได้ความสัมพันธ์ดังรูปที่ 10 พบว่าค่าความคลาดเคลื่อนเริ่มมีความเปลี่ยนแปลงน้อยลงในขณะที่ค่า CE เพิ่มขึ้นบริเวณที่มีค่า CE มากกว่า 3,080 ขึ้นไป ดังนั้นจึงสรุปได้ว่าชุดพารามิเตอร์ชุดนี้มีประสิทธิภาพสูงสุด เนื่องจากการคำนวณน้อยและยังคงให้ค่าตอบเป็นที่น่าพอใจ สำหรับชุดพารามิเตอร์ที่มีความคลาดเคลื่อนต่ำสุดและชุดที่มีประสิทธิภาพสูงสุด มีรายละเอียดดังแสดงในตารางที่ 7

ชุดพารามิเตอร์ดังกล่าวได้มีการนำไปทดสอบใช้กับข้อมูลจากการทดสอบจริงในสนาม ผลการคำนวณย้อนกลับจากข้อมูลการทดสอบในสนามแสดงดังรูปที่ 11 พบว่า ค่า RMSE ส่วนใหญ่พบว่า อยู่ในเกณฑ์ที่ยอมรับได้เมื่อเทียบกับค่าที่ใช้อยู่ทั่วไป เช่น ในโครงการ Long Term



รูปที่ 11 ค่าโมดูลัสชั้นทางที่คำนวณย้อนกลับจากข้อมูลผลการทดสอบด้วยเครื่อง FWD บริเวณทางวิ่งของสนามบินพชรบูรณ์

จากรูปที่ 7 ถึงรูปที่ 9 พบว่าการปรับเปลี่ยนค่าพารามิเตอร์ต่าง ๆ ที่ให้ค่าความเหมาะสมสูงสุดมีด้วยกันหลายชุดและกระจายตัวกันอย่างไม่เป็นรูปแบบที่แน่ชัด โดยชุดพารามิเตอร์ที่มีค่าอัตราน้อยที่สุดและให้ค่าความเหมาะสมสูงสุดแสดงเป็นจุดที่ใหญ่กว่า ดังนั้นค่าพารามิเตอร์เหล่านี้ไม่สามารถสรุปได้ชัดเจนว่าชุดใดเป็นชุดพารามิเตอร์ที่มีความเหมาะสมมากที่สุด

จากตารางที่ 4 และในรูปที่ 5 พบว่า มีพารามิเตอร์หลายชุดที่ให้ค่าความเหมาะสมในระดับสูงสุดในขณะที่ค่า CE มีความแตกต่างกัน ดังนั้นจึงใช้แบบจำลองโครงสร้างชั้นทางที่ Reddy และคณะ [3] สมมุติขึ้น 10 แบบ มาทดสอบกับชุดพารามิเตอร์ที่ยังให้ค่าความเหมาะสมสูงสุด เพื่อคัดเลือกชุดพารามิเตอร์อีกครั้ง จากการคำนวณย้อนกลับพบว่าชุดพารามิเตอร์ที่มีค่าความคลาดเคลื่อนเฉลี่ยน้อยที่สุดซึ่งเป็นชุดที่ดีที่สุดมีค่า

Pavement Performance (LTTP) ในประเทศสหรัฐอเมริกา ใช้ค่า RMSE=3% [7] ในกรณีของผิวทางที่มีค่าความคลาดเคลื่อนมากอาจมีผลมาจากหลายปัจจัย เช่น ความคลาดเคลื่อนจากการหาความหนาชั้นทาง ความไม่เป็นเนื้อเดียวกันของชั้นทาง รวมถึงปัจจัยอื่น ๆ ที่ไม่เป็นไปตามทฤษฎีขีดหุ่ยของชั้นทาง เป็นต้น

## 5. สรุป

การเลือกชุดพารามิเตอร์สำหรับ GA มีผลกระทบโดยตรงต่อการคำนวณย้อนกลับหาค่าโมดูลัสชั้นทาง ดังนั้น การเลือกชุดพารามิเตอร์ที่เหมาะสมจึงมีความสำคัญเป็นอย่างมาก จากการวิจัยเพื่อเลือกชุดพารามิเตอร์สำหรับโปรแกรมเกมเล็ทที่มีความเหมาะสม มีการเลือก 2 ครั้ง โดยใช้แบบจำลองชั้นทางที่แตกต่างกัน มีระดับความถูกต้องของค่าตอบและค่า CE เป็นเกณฑ์ในการคัดเลือก ได้ชุดพารามิเตอร์ที่มีประสิทธิภาพที่สุดคือ มีจำนวนรุ่นสูงสุด 100 รุ่น ขนาดประชากรเท่ากับ 40 ใช้อัตราการผสมข้ามแบบสม่ำเสมอ การกลายพันธุ์แบบกระโดดและการกลายพันธุ์แบบคืบ เท่ากับ 0.77, 0.016 และ 0.140 ตามลำดับ และมีการเปิดใช้การคัดเลือกผู้นำและวิธีกุ่มเฉพาะ

สำหรับค่าพารามิเตอร์ชุดดังกล่าวได้มีการนำไปตั้งค่าเพื่อคำนวณย้อนกลับหาค่าโมดูลัสชั้นทาง ทั้งจากแบบจำลองโครงสร้างชั้นทางที่สมมุติขึ้น และจากข้อมูลการทดสอบจริงในสนามด้วยเครื่อง FWD ผลที่ได้ชี้ให้เห็นว่าพารามิเตอร์ชุดนี้มีความถูกต้องและน่าเชื่อถือ เนื่องจากค่า RMSE อยู่ในเกณฑ์ที่ยอมรับกันส่วนใหญ่ เช่นในโครงการ LTTP ในประเทศสหรัฐอเมริกา ใช้ค่า RMSE=3% ดังนั้นสรุปได้ว่าสามารถนำค่าพารามิเตอร์ชุดนี้มาตั้งค่าให้กับ โปรแกรมเกมเล็ทเพื่อคำนวณย้อนกลับหาค่าโมดูลัสชั้นทางแอสฟัลต์คอนกรีตได้อย่างมีประสิทธิภาพ

## เอกสารอ้างอิง

- [1] กรมทางหลวง. รายงานประจำปี 2555. สำนักงานประชาสัมพันธ์ กรมทางหลวง, 2555. หน้า 41-130.
- [2] พุทธิพล ทองอินทร์คำ. 2556. "ผลกระทบจากความคลาดเคลื่อนของความหนาชั้นทางต่อการประเมินค่าโมดูลัสขีดหุ่ยชั้นทางของโครงสร้างผิวทางคอนกรีต." การประชุมวิชาการคอนกรีต ประจำปี, ครั้งที่ 9, 2556.
- [3] Reddy, M. Amarnatha Reddy, K. Sudhakar and Pandey, B.B. "Selection of Genetic Algorithm Parameters for Backcalculation of Pavement Moduli," International Journal of Pavement Engineering (Electronic), 2004, pp. 37-44.
- [4] พุทธิพล ทองอินทร์คำ. "วิศวกรรมงานทางแบบบูรณาการในการประเมินสภาพถนนลาดยางไทยแบบมีชีวิด." การประกวดบทความวิชาการด้านวิศวกรรมขนส่งและการจราจร. ปทุมธานี: ภาควิชาวิศวกรรมโยธา คณะวิศวกรรมศาสตร์ มหาวิทยาลัยเทคโนโลยีราชมงคลธัญบุรี.2553.
- [5] Puttapon Thongindam. "Enhancement of Backcalculation Techniques for Assessing Flexible Pavement Layer Moduli Using Genetic Algorithms," Doctoral Dissertation, Gottfried Wilhelm Leibniz University of Hannover, Hannover, Germany, 2009.
- [6] Maria Angelova, and Tania Pencheva, "Tuning Genetic Algorithm Parameters to Improve Convergence Time," International Journal of Chemical Engineering (Electronic), 2011.
- [7] Alkasawneh, W. "Backcalculation of Pavement Moduli Using Genetic Algorithms." Ph.D. Thesis, The University of Akron, Akron, 2007.
- [8] Grefenstette, J.J. "Optimization of Control Parameters for Genetic Algorithms," IEEE Trans. Systems (Electronic), Vol. SMC-16, No. 1, 1986, pp. 122-128.
- [9] De Jong, K.A. and Spears, W.M. "An Analysis of the Interacting Roles Population Size and Crossover in Genetic Algorithms," Parallel Problem Solving from Nature (Electronic), 1990, pp. 38-47.
- [10] Goldberg, D.E., Deb, K. and Clark, J.H. "Genetic algorithms noise, and the sizing of populations", Complex Systems 6, 1992, pp. 333-362.
- [11] Harik, G.R., Cantu-Paz, E., Goldberg, D.E. and Miller, B.L. "The gambler's ruin problem genetic algorithms, and the sizing of populations", In: Back, T., ed., Proceedings of 1997 IEEE International Conference on Evolutionary Computation (IEEE Press, New York), 1997, pp. 7-12.
- [12] Muhlenbein, H. "How genetic algorithms really work: I. mutation and hill climbing", In: Manner, R. and Manderick, B., eds, Parallel Problem Solving from Nature (Elsevier Science, Amsterdam, The Netherlands), Vol. 2, 1992 pp. 15-25.
- [13] Back, T. "Optimal mutation rates in genetic search", In: Forrest, S., ed., Proceedings of the Fifth International Conference on Genetic Algorithms (Morgan Kaufmann, San Mateo, CA), 1993, pp 2-8.
- [14] De Jong, K.A. "An analysis of the behavior of a class of genetic adaptive systems", Doctoral Dissertation, University of Michigan, Ann Arbor, 1975.
- [15] Grefenstette, J.J. "Optimization of control parameters for genetic algorithms", In: Sage, A.P., ed., IEEE Transactions on Systems, Man, and Cybernetics (New York), Vol. SMC-16 (1), 1986, pp. 122-128.
- [16] Schaffer, J.D., Caruana, R.A., Eshelman, L.J. and Das, R. "A study of control parameters affecting online performance of genetic algorithms for function optimization", In: Schaffer, J.D., ed., Proceedings of International Conference on Genetic Algorithms (Morgan Kaufmann, San Mateo, CA), 1989, pp. 51-60.

- [17] A. Gabriel. "Can we make genetic algorithms work in high dimensionality problems?". [Online]. Available : [http://sepwww.stanford.edu/public/docs/sep112/gabriel1/paper\\_html/](http://sepwww.stanford.edu/public/docs/sep112/gabriel1/paper_html/), 2002.
- [18] Ernian Pan, Ali Sangghaleh, Amirhossein Molavi, Yanfei Zhao, and Ping Yi "An Efficient and Accurate Genetic Algorithm for Backcalculation of Flexible Pavement Layer Moduli". 2012
- [19] Fwa, T.F., Tan, C.Y. and Chan, W.T. "Backcalculation analysis of pavement layer moduli using genetic algorithms", Transportation Research Record 1570 (TRB, National Research Council, Washington DC), 1997, pp. 134-142.
- [20] Kameyama, S., Himeno, K., Kasahara, A. and Maruyama, T. "Backcalculation of pavement layer moduli using genetic algorithms", 8th International conference on Asphalt Pavements (University of Washington, Seattle, Washington), 1998, pp. 1375-1385.
- [21] Osama Hunaidi, "Evolution-based genetic algorithms for analysis of non-destructive surface wave tests on pavements". NDT&E International, Vol. 31, No. 4, 1998, pp. 273-280.
- [22] Tsai, B., Kannekanti, V., and Harvey, J.T. "Application of Genetic Algorithm in Asphalt Pavement Design", Transportation Research Board, No. 1891, National Research Council, Washington, D.C., 2004, pp. 112-120.
- [23] Christopher T. Senseney, Richard A. Krahenbuhl, and Michael A. Mooney. "Genetic Algorithm to Optimize Layer Parameters in Light Weight Deflectometer Backcalculation," International Journal of Geomechanics, Vol. 13, No. 4, 2013, pp. 473-476.
- [24] Raddy, M.A., Murthy, M.S., Reddy, K.S. and pende, B.B. "Backcalculation of Pavement Layer Moduli Using Genetic Algorithms". Journal of Highway Research Board 66, 2002, pp. 1-10.
- [25] Park, H.M., Park, S.W. and Hwang, J.J. "Use of Genetic Algorithm and Finite Element for Backcalculating Layer Moduli in Asphalt Pavements". Transportation Research Record No. 07-2614, Washington D.C. 2006.
- [26] Goldberg, D.E. and Deb, K., "Comparative Analysis of Selection Schemes used in Genetic Algorithms". Foundations of Genetic Algorithms, 1991, pp. 66-93.
- [27] Syswerda, G. "Uniform Crossover in Genetic Algorithm" 3<sup>rd</sup> International Conference on Genetic Algorithms. 1989, pp. 2-9, Morgan Kaufmann.
- [28] Puttapon Thongindam. "Alternative for Pavement Model in Backcalculation Process". The 5th PSU-UNS International Conference on Engineering and Technology (ICET-2011), 2011, pp. 154.
- [29] Deb, K. (1995) "Optimization for Engineering Design" (Prentice-Hall, New Delhi), pp. 310.



## ประวัติผู้เขียน

|                    |  |
|--------------------|--|
| ชื่อ-นามสกุล       | นายจักรพงษ์ นามหาไชย   |
| วัน เดือน ปีเกิด   | 7 ธันวาคม 2532   |
| ที่อยู่            | 223 หมู่ 18 ตำบลเกษตรวิสัย อำเภอเกษตรวิสัย<br>จังหวัดร้อยเอ็ด 45150  |
| การศึกษา           | ปริญญาตรี สาขาวิชาวิศวกรรมโยธา คณะวิศวกรรมศาสตร์<br>มหาวิทยาลัยเทคโนโลยีราชมงคลธัญบุรี   |
| ประสบการณ์การทำงาน | ผู้ช่วยนักวิจัยและวิศวกรประจำศูนย์วิจัยเทคโนโลยีผิวทางถนนและ<br>ทำอากาศยาน ภาควิชาวิศวกรรมโยธา คณะวิศวกรรมศาสตร์<br>มหาวิทยาลัยเทคโนโลยีราชมงคลธัญบุรี |
| เบอร์โทรศัพท์      | 08-3672-7866   |
| อีเมล              | n.chakrapong@gmail.com   |

